

MINISTERUL EDUCATIEI SI INVATAMINTULUI

INSTITUTUL POLITEHNIC „TRAIAN VUIA” DIN TIMISOARA  
FACULTATEA DE ELECTROTEHNICA

Ing. TOMA-LEONIDA DRAGOMIR

S I S T E M E   C U   M A S I N I   E L E C T R I C E  
C U   L E V I T A T I E   E L E C T R O M A G N E T I C A

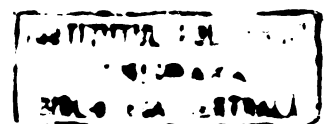
TEZA DE DOCTORAT

INSTITUTUL POLITEHNIC TIMISOARA	
B. I. . . . .	
444052	
Volume:	
Dupa 258 Lit. 9	

CONDUCATOR STIINTIFIC  
Prof. Dr. Ing. TOMA DORDEA

BIBLIOTECA CENTRALĂ  
UNIVERSITATEA "POLITEHNICA"  
TIMISOARA

In memoria tatălui meu





## C U P R I N S

PREFATA.	1.
INDEX DE ABREVIERI SI CITEVA NOTATII.	2.
CAPITOLUL 1. INTRODUCERE.	3.
1.1. Vehicule pe pernă magnetică.	3.
1.2. Mașinile electrice liniare utilizate în cadrul vehiculelor cu levitație electromagnetice și problemele ridicate de realizarea acestor mașini.	6.
1.3. Sistemele cu levitație electromagnetice ale mașinilor electrice liniare cu levitație electromagnetice și obiectivul tezei.	10.
CAPITOLUL 2. MODELAREA SISTEMELOR ELECTROMAGNET-SINA.	13.
2.1. Modelarea sistemului electromagnet-șină cu un grad de libertate.	13.
2.1.1. Definierea sistemului electromagnet-șină cu un grad de libertate.	13.
2.1.2. Modele matematice liniare cu coeficienți constanți ale SES-1L.	15.
2.1.2.1. Modele matematice de ordin redus.	15.
2.1.2.2. Analiza modelelor matematice de ordin redus.	21.
2.1.2.3. Modele matematice de ordin superior.	22.
2.1.3. Dependența parametrilor SES-1L și a coeficienților modelelor matematice de ordin redus ale acestuia de punctul nominal de funcționare.	28.
2.1.4. Modele matematice neliniare.	33.
2.2. Modelarea unui sistem electromagnet-șină cu cinci grade de libertate.	36.
2.2.1. Definierea sistemului electromagnet-șină cu cinci grade de libertate.	36.
2.2.2. Modelarea dinamicii cadrului cu electromagneți.	41.
2.2.3. Modelarea subsistemului de sustentare al SES-5L.	45.
2.2.4. Modelarea subsistemului de ghidare al SES-5L.	51.
2.2.5. MM-ISI al SES-5L. Sistemul electromagnet-șină de bază.	55.
CAPITOLUL 3. ESTIMAREA PARAMETRILOR SISTEMULUI ELECTROMAGNET-SINA CU UN GRAD DE LIBERTATE	60.
3.1. Estimarea teoretică a parametrilor SES-1L.	60.
3.1.1. Relații de bază pentru estimarea teoretică a parametrilor SES-1L.	60.
3.1.2. Procedee de estimare teoretică a parametrilor SES-1L.	61.

3.2. Estimarea experimentală a parametrilor SES-1L.	65.
3.2.1. Posibilități de identificare experimentală a SES-1L în circuit deschis.	65.
3.2.2. Posibilități de identificare experimentală a SES-1L în circuit închis.	67.
3.2.2.1. Identificarea prin procedee de măsurare directă.	68.
3.2.2.1.1. Relații de legătură între parametrii SES-1L și coeficienții MM al SLEM-1L.	68.
3.2.2.1.2. Metode matematice utilizabile pentru identificarea f.d.t. $G_{Z_{\delta}} Z_{\delta}(s)$ și $G_{Z_{\delta}} \tilde{Z}_{\delta}(s)$ cu semnale de probă neperiodice, prin înregistrarea semnalului de intrare și a răspunsului tranzitoriu.	70.
3.2.2.2. Identificarea prin procedee de măsurare adaptivă.	76.
<b>CAPITOLUL 4. PERFORMANȚELE IMPUSE SISTEMULUI CU LEVITATIE ELECTROMAGNETICA CU UN GRAD DE LIBERTATE.</b>	
	84.
4.1. Aspecte calitative ale problemei performanțelor.	84.
4.2. Aspecte cantitative ale problemei performanțelor.	89.
4.2.1. Aspecte referitoare la mărimea de conducere $\tilde{Z}_{\delta}$ .	90.
4.2.2. Aspecte referitoare la mărimea $Z_{\delta}$ .	91.
4.2.2.1. Neregularitățile de categoria a doua ale căii de glisare.	91.
4.2.2.1.1. Perturbațiile de tip aleator introduse de calea de glisare.	91.
4.2.2.1.2. Perturbațiile de tip determinist introduse de calea de glisare.	97.
4.2.2.1.3. Verificarea întrefierului nominal și confortului de călătorie în condițiile apariției unei perturbații $Z_{sp}$ complete.	99.
4.2.2.1.4. Modelarea componentei deterministe a neregularităților de categoria a II-a ale căii de glisare.	101.
4.2.2.1.5. Asupra unor relații utilizate în cadrul pct. 4.2.2.1.	102.
4.2.2.2. Neregularitățile de categoria I-a ale căii de glisare.	102.
4.2.3. Aspecte referitoare la mărimea $F_e$ .	105.
4.2.4. Erori datorate traductoarelor de măsură.	105.
4.2.5. Aspecte referitoare la puterea de comandă a SES-1L.	106.
<b>CAPITOLUL 5. SINTEZA, ANALIZA SI PROIECTAREA ALGORITMICA A SISTEMELOR CU LEVITATIE ELECTROMAGNETICA CU UN GRAD DE LIBERTATE CU REACTIE DUPA INTREFIER, VITEZA DE VARIATIE A INTREFIERULUI SI ACCELERATIA ABSOLUTA A ELECTROMAGNETULUI.</b>	
	109.
5.1. Considerații referitoare la conținutul capitolului.	109.

5.2. Analiza sistemului cu levitație electromagnetică de bază.	111.
5.2.1. Ecuațiile SLEM-B.	111.
5.2.2. Aspecte referitoare la performanțele SLEM-B în raport cu mărimile de intrare.	112.
5.2.2.1. Aspecte referitoare la performanțele SLEM-B în raport cu $Z_{\xi}$ .	112.
5.2.2.2. Aspecte referitoare la performanțele SLEM-B în raport cu $F_e$ .	114.
5.2.2.3. Aspecte referitoare la performanțele SLEM-B în raport cu $Z_s$ .	115.
5.2.2.3.1. Neregularitățile de categoria I-a: $Z_{su}$ .	116.
5.2.2.3.2. Neregularitățile de categoria a IV-a: $Z_{sp}$ .	116.
5.2.3. Sensibilitatea SLEM-B.	119.
5.2.3.1. Analiza sensibilității SLEM-B cu ajutorul modelelor de sensibilitate.	119.
5.2.3.1.1. Modelele de sensibilitate ale SLEM-B.	119.
5.2.3.1.2. Expresiile coeficienților modelelor de sensibilitate ale SLEM-B.	122.
5.2.3.1.3. Tipuri de funcții de intrare pentru modelele de sensibilitate ale SLEM-B.	124.
5.2.3.2. Analiza sensibilității SLEM-B cu ajutorul locului rădăcinilor.	125.
5.3. Probleme de analiză, sinteză și proiectare legate de regimul staționar al SLEM-B.	127.
5.3.1. Influența modificării masei M.	128.
5.3.2. Influența modificării componentei statice a forței exterioare $F_{e0}$ .	131.
5.3.3. Influența modificării rezistenței R.	131.
5.3.4. Influența modificării parametrului $K_c$ .	132.
5.3.5. Influența modificării independente a parametrilor $K_p$ , $K_v$ și $K_a$ .	132.
5.3.6. Influența erorii de măsură $\tilde{Z}_{m\epsilon}$ a traductorului de accelerație.	133.
5.3.7. Puterea de comandă a SLEM-B.	133.
5.4. Proiectarea compensatorului de stabilizare al SLEM-B.	134.
5.4.1. Considerente referitoare la proiectarea compensatorului de stabilizare în condiții de optimizare cu restricții a regimului liber al SLEM-B.	134.
5.4.1.1. Criteriile de calitate considerate.	134.
5.4.1.2. Incadrarea problemei de calcul a compensatorului ca o problemă de stabilizare optimă cu restricții.	135.
5.4.1.3. Stabilirea domeniului soluției problemei de stabilizare optimă cu restricții în cazul indicelui de calitate $I(U_a)$ .	137.

5.4.1.4. Stabilirea domeniului soluției problemei de stabilizare cu restricții în cazul indicelui de calitate $I'(U_a)$ .	140.
5.4.2. Considerente referitoare la proiectarea compensatorului de stabilizare în condiții de optimizare a regimurilor forțate ale SLEM-B.	141.
5.4.3. Metodologia de proiectare a compensatorului de stabilizare al SLEM-B.	144.
5.5. Sisteme cu levitație electromagnetică cu un grad de libertate fără compensarea perturbațiilor.	146.
5.5.1. Relații generale pentru calculul observatorilor SLEM-1L.	147.
5.5.2. SLEM-1L cu observator de stare identic.	150.
5.5.3. SLEM-1L cu observator de ordinul II pentru funcționala liniară $u = \underline{K}^T \underline{X}_1$ .	151.
5.5.3.1. Construcția observatorului de ordinul II al FLS: $u = \underline{K}^T \underline{X}_1$ .	151.
5.5.3.2. Analiza SLEM-1L prevăzut cu OFLS-varianta MEB.	153.
5.5.4. SLEM-1L cu observator de ordinul I pentru funcționala liniară $u = \underline{K}^T \underline{X}_1$ .	155.
5.5.4.1. Construcția observatorului de ordinul I al FLS: $u = \underline{K}^T \underline{X}_1$ .	156.
5.5.4.2. Analiza SLEM-1L prevăzut cu OFLS-varianta II.	157.
5.6. Sisteme cu levitație electromagnetică cu un grad de libertate cu compensarea perturbațiilor.	158.
5.6.1. Relații generale pentru calculul reguletoarelor SLEM-1L.	159.
5.6.1.1. Relații pentru calculul reguletoarelor sistemelor liniare multivariabile.	159.
5.6.1.2. Relații pentru calculul blocurilor de compensare ale reguletoarelor SLEM-1L.	161.
5.6.2. Sisteme cu levitație electromagnetică cu un grad de libertate cu compensarea efectului modificării forței exterioare.	163.
5.6.2.1. Compensarea efectului forței exterioare cu un compensator de ordinul II.	163.
5.6.2.1.1. Construcția blocului de compensare a perturbației $\underline{x}_p = [\underline{F}_e \ \dot{\underline{F}}_e]^T$ .	164.
5.6.2.1.2. Analiza SLEM-1L prevăzut cu compensarea efectului perturbației $\underline{x}_p = [\underline{F}_e \ \dot{\underline{F}}_e]^T$ .	165.
5.6.2.2. Compensarea efectului forței exterioare cu un compensator de ordinul I.	168.
5.6.2.2.1. Construcția blocului de compensare a perturbației $\underline{x}_p = [\underline{F}_e]$ .	169.
5.6.2.2.2. Analiza SLEM-1L cu compensarea perturbației $\underline{x}_p = [\underline{F}_e]$ .	169.

5.6.3. SLEM-1L cu compensarea efectului neregularităților căii de glisare.	171.
5.6.3.1. Principiul de realizare a SLEM-1L cu compensarea efectului neregularităților căii de glisare.	172.
5.6.3.2. Variantă de SLEM-1L cu compensarea efectului modificării componentei $Z_{su}$ a poziției căii de glisare.	176.
5.6.3.3. Variantă de SLEM-1L cu compensarea efectului modificării componentei $Z_{sp}$ a poziției căii de glisare.	179.
<b>CAPITOLUL 6. SISTEME CU LEVITATIE ELECTROMAGNETICA CU MAI MULTE GRADE DE LIBERTATE.</b>	
6.1. SLEM-1L descentralizat cu roată magnetică.	184.
6.1.1. Sistemul electromagnet-șină cu suspensie elastică cu un grad de libertate.	185.
6.1.2. Roata magnetică.	185.
6.1.3. Observație asupra unei variante de roată magnetică.	186.
6.1.4. Utilizarea roții magnetice pentru realizarea VPM.	190.
6.2. SLEM-5L centralizat.	191.
6.2.1. Structura SLEM-5L centralizat.	193.
6.2.2. Calculul blocului de reglare al SLEM-5L centralizat.	193.
6.2.3. Pretensionarea electromagneților SLEM-5L centralizat.	196.
6.2.4. Simularea SLEM-5L centralizat.	199.
<b>CAPITOLUL 7. EXEMPLE DE PROIECTARE SI ANALIZA A UNOR SISTEME CU LEVITATIE ELECTROMAGNETICA CU UN GRAD DE LIBERTATE. INCERCARI EXPERIMENTALE.</b>	
7.1. Proiectarea și analizarea unor SLEM-1L.	205.
7.1.1. Punctul nominal și parametrii SES-1L.	205.
7.1.2. Calculul compensatorului de stabilizare al SLEM-B.	206.
7.1.3. Calculul OFLS-varianta MBB.	206.
7.1.4. Calculul OFLS-varianta II.	210.
7.1.5. Studiul comportării SLEM-B, SLEM-1L-varianta MBB și SLEM-1L-varianta II de la pct. 7.1.2 și 7.1.4.	211.
7.1.5.1. Comportarea în raport cu mărimea de conducere $\tilde{Z}_g$ .	211.
7.1.5.2. Comportarea în raport cu forța exterioară.	214.
7.1.5.3. Comportarea în raport cu neregularitățile de categoria I-a ale căii de glisare.	215.
7.1.5.4. Comportarea în raport cu neregularitățile de categoria a II-a ale căii de glisare.	216.
7.1.5.5. Comportarea în regimuri determinate de acțiunea simultană a perturbațiilor.	218.
7.2. Studiul experimental al SLEM-1L-varianta II aferent unei MELLE.	219.



CAPITOLUL 8. CONCLUZII.	225.
ANEXE.	232.
ANEXA I. RELATII PENTRU IDENTIFICAREA ET-PDT2 PE BAZA CARACTERISTICILOR DE FRECVENTA.	232.
ANEXA II. OBSERVATIE REFERITOARE LA POSIBILITATEA DE REDUCERE A NUMARULUI TRADUCTOARELOR DE ACCELE- RATIE ALE SES-5L.	233.
ANEXA III. PRESCRIEREA INTREFIERURILOR SES-5L.	235.
ANEXA IV. ASUPRA PERFORMANTELOR DE RASPUNS INDICIAL ALE UNOR CLASE DE SISTEME LINIARE DE ORDINUL III.	236.
ANEXA V. METODA DE IDENTIFICARE ADAPTIVA A UNUI SISTEM LINIAR INVARIANT IN TIMP.	240.
ANEXA VI. STABILIREA UNUI MODEL MATEMATIC DE PRECIZIE MAI MARE ASOCIAT MARIMII $\ddot{z}_{su}$ .	245.
ANEXA VII. ANALIZA SENSIBILITATII SISTEMELOR LINIARE CONTINUE, INVARIANTE IN TIMP, CU AJUTORUL MODELELOR DE SENSIBILITATE.	246.
ANEXA VIII. PROIECTAREA ALGORITMICA A UNOR BLOCURI DE REGLARE ADAPTIVA PENTRU SLEM-B.	248.
ANEXA IX. PROGRAMUL DE CALCUL AL REGIMURILOR TRANZITORII ALE SLEM-1L.	250.
BIBLIOGRAFIE.	254.

## PREFATA

Sub conducerea clarvăzătoare a Partidului Comunist Român revoluția tehnico-științifică contemporană a devenit un instrument fundamental de dezvoltare a economiei românești, de realizare de noi soluții tehnologice, competitive pe plan mondial. O astfel de orientare a determinat și cercetările unui colectiv multidisciplinar de la Institutul politehnic „Traian Vuia” Timișoara, colectiv căruia autorul îi aparține, în domeniul, foarte tînăr, al vehiculelor pe pernă magnetică, respectiv al sistemelor cu levitație electromagnetică.

Lucrarea de față intitulată „Sisteme cu mașini electrice cu levitație electromagnetică” se înscrie ca o contribuție la rezolvarea problemelor apărute în efortul de stăpînire a acestui domeniu. Elaborată în intervalul 1978 - 1981, teza este rezultatul unei activități susținute desfășurate de către autor în cadrul, foarte favorabil, definit de:

- îndrumarea competentă, multilaterală și plină de înțelegere, primită din partea conducătorului său, tov. prof. dr. ing. Toma Dordea;
- posibilitatea de valorificare a cercetărilor întreprinse prin intermediul contractelor dintre IPTV Timișoara și CCSIT Electroputere Craiova, în cadrul cărora s-a bucurat de sprijinul profesional și moral al tov. conf. dr. ing. Ion Boldea și de colaborarea fructuoasă cu tov. asistent ing. Radu Boraci;
- condițiile de lucru de care a dispus, respectiv încrederea și înțelegerea de care s-a bucurat la locul său de muncă, Colectivul de automată al Facultății de electrotehnică Timișoara;
- privilegiul de a putea veni în contact în anul universitar 1974/1975, ca bursier DAAD la T.U. Berlin, cu principalele realizări pe plan mondial din domeniul vehiculelor pe pernă magnetică;
- înțelegerea completă și capacitatea de sacrificiu a membrilor familiei sale, în deosebi ale soției, ing. Elena Dragomir, și mamei, Genica Dragomir.

Tuturor celor menționați autorul le aduce un ales omagiu, rămînîndu-le profund îndătorat. Totodată el exprimă călduroase mulțumiri tov. Elena Maghețiu pentru executarea atentă și îngrijită a materialului grafic din lucrare.

INDEX DE ABREVIERI SI CITEVA NOTATII

c.a-p. = caracteristică amplitudine-pulsație  
c.a-p.s. = caracteristică amplitudine-pulsație simplificată  
caracteristică SMA = caracteristica solicitărilor minim admisibile  
c.d.f. = caracteristică de frecvență  
c.f-p. = caracteristică fază-pulsație  
const. = constant  
dec. = decadă  
d.p.d.v. = din punct (-ul) de vedere  
d.s.p. = densitate spectrală de putere  
ec.(X) = ecuația (X)  
ET = element de transfer  
ET-PDT? = ET proporțional-derivativ cu întârziere de ordinul II  
f.d.t. = funcție de transfer  
FLS = funcțională liniară de stare  
FLS:u(X) = funcționala liniară u de starea X  
MBB = Messerschmitt-Bölkow-Blöhm GmbH (firmă din RFG)  
MEL = mașină electrică liniară  
MELLE = MEL cu levitație electromagnetică  
MM = model matematic  
MM-II = MM intrare-ieșire  
MM-ISI = MM intrare-stare-ieșire  
OFLS = observator de funcțională liniară de stare  
OS = observator de stare  
pct.X = punctul X

PV = platformă vibratoare  
rel.(X) = relația (X)  
RM = roată magnetică  
RM-B = roată magnetică de bază  
SES = sistem electromagnet-gină  
SES-B = SES de bază  
SES-ML = SES cu mai multe grade de libertate = sistem ES-ML  
SES-1L = SES cu un grad de libertate = sistem ES-1L  
SES-5L = SES cu cinci grade de libertate  
SLEM = sistem cu levitație electromagnetică = sistem LIM  
SLEM-ML = SLEM cu mai multe grade de libertate  
SLEM-1L = SLEM cu un grad de libertate = sistem LEM-1L  
SLEM-5L = SLEM cu cinci grade de libertate  
SRA = sistem de reglare automată  
VPM = vehicul pe pernă magnetică  
v.X = vezi X

A și/sau B = fie A, fie B, fie A și B

$F|_A$  = F calculat în punctul A

$F|_{A=B}$  = F calculat în situația A = B

$\overline{F(t)}$  = valoarea medie temporală a lui F(t)

$I_n$  = matrice unitate de rang n

$X_{(m,n)}$  = matricea X de dimensiuni m x n

$X^T$  = transpusa matricii X

$\mathcal{G}(X)$  = spectrul matricii patrata X

$u_{-1}(t)$  = semnal treaptă unitate

## CAPITOLUL I

### INTRODUCERE

#### 1.1. Vehicule pe pernă magnetică.

În ultimul deceniu și jumătate în mai multe țări din lume - printre care RFG, Japonia, SUA, URSS, Anglia, Canada și Franța - s-au întreprins, cu eforturi financiare considerabile, cercetări și dezvoltări legate de așa-numitele „tehnologii noi relative la transportul terestru” sau „sisteme de transport neconvenționale”. Ele cuprind:

1. vehiculele pe pernă magnetică (VPM) cu levitație electromagnetice, cu magneți permanenți, cu levitație electrodinamică și sistemele hibride derivate din aceste tipuri;
2. vehicule pe pernă de aer.

Introducerea lor nu are drept scop înlocuirea actualelor sisteme de transport terestru sau aerian ci completarea lor.

Cercetările efectuate pînă în anii 1972-1973 cu privire la vehiculele pe pernă de aer nu au putut diminua suficient principalele deficiențe ale acestora: poluarea sonoră și randamentul slab. Ca stare cercetările ulterioare în acest domeniu s-au redus considerabil.

VPM sînt vehicule sustentate, ghidate lateral, propulsate și frînate cu forțe electromagnetice sau electrodinamice ce acționează, distribuite pe suprafețe relativ mari, între vehicul și celea de glisare, făcînd ca vehiculul să se deplaseze în lungul căii de glisare fără a veni în contact cu aceasta. Prezentarea principiilor ce stau la baza realizării VPM a făcut și face obiectul a numeroase publicații începînd cu articole de popularizare și studii economice și continuînd cu lucrări de strictă specialitate. O imagine de ansamblu asupra problemicii acestor vehicule este redată de colecțiile de lucrări [199, 203, 96] <sup>+)</sup> , referatul [45], iar o abordare sistematică a întregului ansamblu - la nivelul anului 1980 - este oferită pentru prima dată în [11].

Principalele performanțe cerute sistemelor de transport neconvenționale, destinate asigurării unor capacități de transport de pasageri și mărfuri cu viteze de (150-500) km/h, sînt:

- sporirea siguranței transportului în condițiile creșterii traficului de pasageri și mărfuri;
- nepoluarea și nedeteriorarea mediului înconjurător;

<sup>+)</sup>  O primă sinteză bibliografică asupra levitației electrice și magnetice este cuprinsă în [60].

- compatibilitate cu sistemele de transport convenționale;  
reducerea duratei de călătorie pe distanțe de (400-1100) km în raport cu duratele corespunzătoare deplasării cu trenul sau cu avionul;
- confort de călătorie sporit în comparație cu avionul și trenul;
- uzură redusă și întreținere simplă;
- greutate specifică redusă;
- economicitate ca urmare a unui consum de energie mai redus în comparație cu trenul (pe domeniul de viteze comun) și cu avionul (pe domeniul de distanțe și viteze comun);
- economicitate ca urmare a unor investiții mai reduse pentru terasamente în comparație cu terasamentele feroviare și șoselele actuale, ca urmare a utilizării unor căi de glisare mai înguste având raze de curbură mici (4 km la viteze de 400 km/h, respectiv 7 km la viteze de 800 km/h [142]) și pante ridicate ( $\approx 5\%$ );
- independență față de tipul energiei primare;
- riscuri minime în dezvoltare și utilizare.

Analiza avantajelor și dezavantajelor vehiculelor de transport neconvenționale nu face obiectul lucrării de față. Ele sînt tratate pe larg în [203,11,66,183,146,145,176,125,185,178,69,13,14,16,7,158,159].

Cercetările în domeniul utilizării levitației cu magneți permanenți pentru VPM au avut un curs oscilant. Tendința inițială de realizare a levitației exclusiv cu magneți permanenți [138] s-a dovedit lipsită de șanse de reușită. După încercări de importanță mai redusă [75], problema utilizării magneților permanenți cu cîmp coercitiv mare pentru VPM a revenit în actualitate ca urmare a propunerii unor variante hibride (levitație cu electromagneți și magneți permanenți) avînd ca scop reducerea greutății VPM datorită raportului de cca 5:1 între forța de levitație nominală a magneților permanenți și greutatea lor [6, 180]. În acest sens nu s-au formulat încă concluzii definitive, dar se apreciază că magneții permanenți pot prelua în bune condiții cca 10% din greutatea VPM.

Cercetările cu cea mai mare pondere s-au întreprins referitor la sistemul electrodinamic, bazat pe forțele repulsive dintre bobinele supraconductoare și secundar, și referitor la sistemul electromagnetic, bazat pe forțele de atracție dezvoltate de electromagneții de c.c. controlați. Cu excepția Canadei care s-a orientat de la început spre sistemul electrodinamic [204] și a Angliei care s-a orientat spre sistemul electromagnetic [84,81], în celelalte țări - FRG [145,146,194], SUA [11,16,183,28] și URSS [6,117] - s-au efectuat în paralel cercetări referitoare atât la sistemul electromagnetic cît și la sistemul

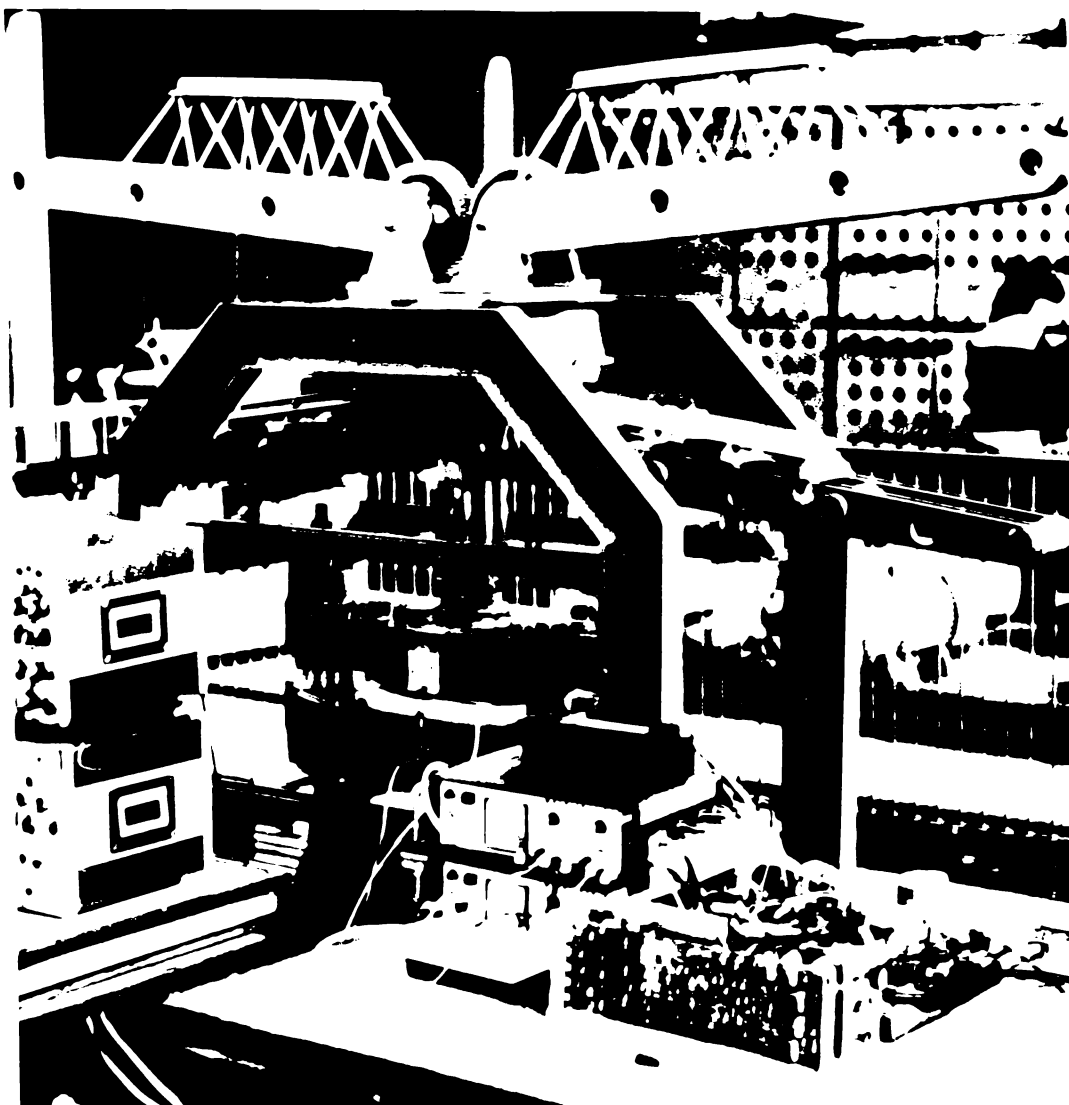


Fig. 1. - Un dispozitiv experimental pentru levitarea electromagnetică a unui corp solid.



Fig. 2. - Vehicul experimental cu levitație electromagnetică.

electrodinamic. În prezent, cu excepția SUA, în care interesul față de domeniul VPM pare să fi scăzut, în celelalte trei țări s-a optat pentru continuarea sistematică a cercetărilor legate în primul rând de vehiculele cu levitație electromagnetică [146,196,1]. În toate aceste țări o contribuție importantă în domeniul VPM au adus-o institutele de învățământ superior tehnic.

Abordarea practică a problemei VPM în R.S.România a apărut în cadrul colaborării dintre IPTV Timișoara și CCSIT Electroputere Craiova în anul 1976 [202]. În 1977 s-a luat opțiunea de concentrare a cercetărilor în direcția vehiculelor cu levitație electromagnetică. În martie 1979 s-a realizat experimental perna magnetică pe standul din fig.1.1. din laboratorul de mașini electrice al Facultății de electrotehnică din Timișoara [202/1979]. În prezent, tot aici, se află în fază de finalizare primul vehicul experimental românesc cu levitație electromagnetică MAGNIBUS 01 (fig.1.2). Comunicări de dată recentă fac cunoscute preocupări similare la IP Iași concretizate prin levitarea unei rame cu electromagneți de laborator [200].

Autorul tezei a contribuit la rezolvarea problemelor de reglare aferente sistemelor studiate și realizate la Facultatea de electrotehnică Timișoara [202]. Aceasta este de fapt sursa care a generat și explică obiectul prezentei teze în care se abordează numai probleme referitoare la sistemele cu levitație electromagnetică.

## 1.2. Mașinile electrice liniare utilizate în cadrul vehiculelor cu levitație electromagnetică și problemele ridicate de realizarea acestor mașini.

Vehiculele cu levitație electromagnetică utilizează atât pentru propulsare și frînare, cât și pentru sustentare și ghidare laterală mașini electrice liniare (MEL). Propulsarea și frînarea se realizează cu MEL convenționale, înțelegând prin aceasta tipurile de MEL care, principial, pot fi concepute plecând de la mașinile electrice rotative corespunzătoare. Principiul de funcționare al acestora și modul de utilizare în cadrul VPM, în particular al vehiculelor cu levitație electromagnetică, face obiectul a numeroase lucrări printre care [11, 124, 184, 203, 97, 98, 205, 173, 103, 101, 180]. Sustentarea și ghidarea se realizează cu electromagneți controlați în tensiune sau în curent, care constituie o categorie de MEL speciale și anume mașini electrice liniare cu levitație electromagnetică (MELLE). În literatură, considerarea ca atare a electromagneților controlați apare pentru prima dată în mod decisiv în [124], autorii înglobând în conceptul de MELLE mașinile cu forță normală predominantă. Ele cuprind în mod distinct și electro-

magneții controlați, atât pe cei de c.c. cât și pe cei de c.a. Acest punct de vedere este consecința unor acumulări anterioare, în acord cu care sistemele cu levitație electromagnetică sînt considerate ca „motoare liniare care produc forță verticală” [90,95,60].

Incadrarea electromagneților controlați în rîndul MEL speciale nu contravine conceptului general de mașină electrică și anume de „sistem de circuite electrice, plasate pe miezuri magnetice, în general mobile relativ, cuplate între ele magnetic sau electric, sau atât electric cât și magnetic, sistem capabil de transformare a energiei electrice în energie stereomecanică sau invers, sau în energie electrică de altă formă, în decursul transformării intervenind forma stereomecanică a unor corpuri solide în mișcare” [39]. În adevăr, electromagneții controlați și comandați în tensiune sau în curent, adică electromagneții stabilizați și reglați, conduși în circuit încins prin controlarea permanentă a tensiunii de alimentare a înfășurării de excitație sau a curentului de excitație, reprezintă sisteme ce posedă toate calitățile menționate. Pentru literatura tehnică de limbă română acest punct de vedere este nou datorită obișnuinței de a considera electromagneții ca aparate electrice primare a căror armătură mobilă este capabilă de a efectua secvențial deplasări limitate [76,165]. Cele două moduri de considerare a electromagneților nu sînt contradictorii întrucît electromagnetul, ca aparat electric primar, nu presupune controlabilitate continuă, adică posibilitatea de a aduce prin comandă cele două armături dintr-o poziție reciprocă oarecare într-o poziție reciprocă finală, dorită.

Datorită caracteristicilor de comandă favorabile și a posibilităților de comandă relativ simplă, a costului redus și a pierderilor prin curenți turbionari reduse, în domeniul VPM s-au iaput electromagneții controlați de c.c. Lucrarea de față se referă numai la această categorie de MELLE +)

MELLE folosesc electromagneți de c.c. de forma celor din fig.1.3. Bobina de excitație poate fi amplasată pe șagul sau pe coloanele armăturii mobile, în formă de U, confecționată din miez feromagnetic masiv. De prim interes practic sînt considerate variantele (a), ca urmare a faptului că forța de levitație nu variază sensibil la deplasări laterale reduse ale electromagnetului, inevitabile în cursul deplasării VPM. Ansamblul alcătuit din electromagnet (parte mobilă) și șină (parte fixă) se numește sistem electromagnet-șină (SES). În ipoteza că electromagnetul l execută, ca urmare a modificării forțelor ce acționează asupra lui, numai deplasări după o direc-

+ ) Unele referinți la MELLE cu electromagneți de c.a. controlați se găsesc în [82,112].



...ie perpendiculară pe cina 2 - care, la rândul ei, se poate deplasa în direcția aceeași direcție fără a resimți reacțiunii din partea electromagnetului - sistemul rezultat este numit sistem electromagnet-șină cu un grad de libertate (SES-1L sau sistem ES-1L). Ansamblul alcătuit

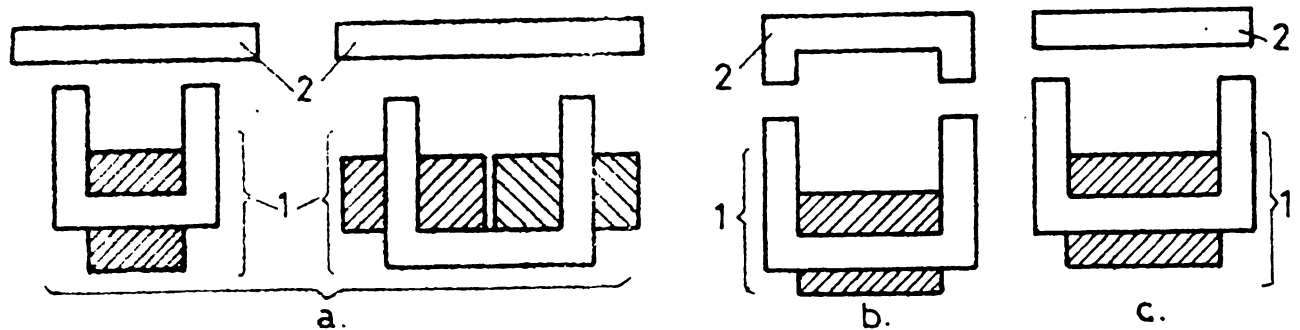


Fig. 1.3. Tipuri de electromagneți de c.c. utilizați în cadrul MELLE.

...din două sau mai multe sisteme electromagnet-șină având electromagneții cuplați mecanic rigid sau elastic, se numește sistem electromagnet-șină cu mai multe grade de libertate (SES-ML sau sistem ES-ML). VPM conțin numai astfel de sisteme, dar studiul lor, așa cum se arată și în text, se poate reduce în multe cazuri la cel al unor SES-1L autonome sau la cel al unor sisteme autonome echivalente SES-1L.

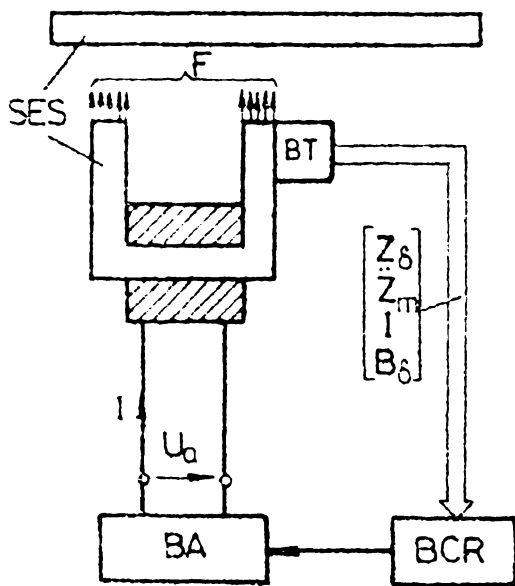


Fig. 1.4. Partea componente ale unei MELLE: SES - sistem electromagnet-șină; BA - bloc de alimentare, BT - bloc de transducere (măsurile măsurate pot fi întregul  $Z_\delta$ , accelerația  $Z_m$ , curentul de excitație  $I$ , inducția magnetică din întregul  $B_\delta$ ); BCR - bloc de comandă și reglare.

Controlul unei MELLE se realizează în principiu conform schemei din fig.1.4 +). În acord cu aceasta, MELLE reprezintă un sistem de reglare automată care pe lângă SES, împreună cu blocul de alimentare BA al acestuia, cuprinde și blocul de comandă și reglare BCR ce asigură, în funcție de informațiile culese despre starea SES de către blocul de transducere BT și în funcție de programul prestabilit pentru MELLE, controlul electromagnetului prin intermediul tensiunii de excitație  $U_a$  sau curentului de excitație  $I$ . BCR are rolul de a stabiliza MELLE și de a conferi o anumită calitate proceselor dinamice și statice care o caracterizează.

Principalele probleme care se pun cu privire la MELLE și la utilizarea lor pentru VPM sînt [67,11]':

(1) construcția optică a electromagneților și analiza comportării magnetodinamice a acestora ținînd seama și de curenții turbionari

\* Blocul de comandă și reglare a unei MELLE de acest tip, cu BCR controlat electronic datează din 1912 (Graeminger) [112], iar din 1918 (Kemper) [90,91].

induși în șină +);

(ii) alegerea sistemului de alimentare (choppere cu tranzistoare sau tiristosre alimentate în c.c. sau redresoare trifazate cu tiristoare);

(iii) realizarea unor traducătoare de intronfier, accelerație absolută, curent și inducție magnetică de mare precizie și sensibilitate și cu inerție cât mai redusă;

(iv) stabilirea unor algoritmi de control adecvați reglării și asigurării calității dorite pentru levitarea VPM, iar în particular pentru MELLE, în condițiile acționării unor perturbații complexe și a unor restricții rigide impuse mișcării vehiculului, și implementarea acestora în variantă analogică, numerică sau hibridă;

(v) stabilirea structurii mecanice a VPM (capabilă să preia momente de torsiune) astfel încât frecvențele proprii ale acesteia să se situeze dincolo de frecvențele proprii ale sistemului automat.

Forța electromagnetică dezvoltată de o MEL unilaterală convențională are întotdeauna alături de componenta tangențială, utilizată în cazul VPM pentru propulsarea acestora, și o componentă normală [124,11].

Ideea utilizării ei în scopul levitării VPM a condus la apariția MEL integrate, respectiv a așa-numitor sisteme integrate, capabile atât de dezvoltarea unor forțe normale de levitare cât și a unei forțe tangențiale de propulsare. În principiu o MEL integrată de tip electromagnetic îmbină constructiv o MEL convențională și o MELLE având miezul magnetic comun, iar secundarul (șina) realizat într-o variantă laminată sau segmentată. MEL integrate utilizează pentru levitare atât forța dezvoltată de MELLE cât și componenta normală a MEL convenționale, orientate în aceeași direcție, perpendicular pe șine. Din cadrul MEL integrate de tip electromagnetic s-au impus variantele în care MEL convențională este un motor liniar sincron [173,176,177,180, 11,203]. Spre exemplu, vehiculul MAGNIBUS 01 realizat la IPTV Timișoara este prevăzut cu mașini electrice liniare integrate sincrone monopolare [12,202]. Totodată trebuie menționat că noțiunea de MELLE integrată se utilizează și referitor la MELLE care dezvoltă simultan și forțe de susținere și forțe de guidare laterală.

În cazul unui VPM, indiferent de modul de realizare a propulsării și levitării, între subsistemele care realizează aceste funcțiuni apar interacțiuni mai mult sau mai puțin importante, care depind în bună măsură de viteza de deplasare a vehiculului [11,9,174,103,101]. În acest context unele problemele (ii), (iv) și (v) trebuie completate cu considerarea interacțiunii menționate. Mai mult ca atât, în cazul MEL integrate problema (iv) devine și problema propulsării.

---

+ ) Problema face obiectul a numeroase studii printre care [11,9,12, 125,126,127,189,151].

Calculările teoretice și experimentale întreprinse pînă în prezent au condus la concluzia că VPM cu levitație electromagnetică cu cele mai mari șanse de utilizare practică sînt [203,202]:

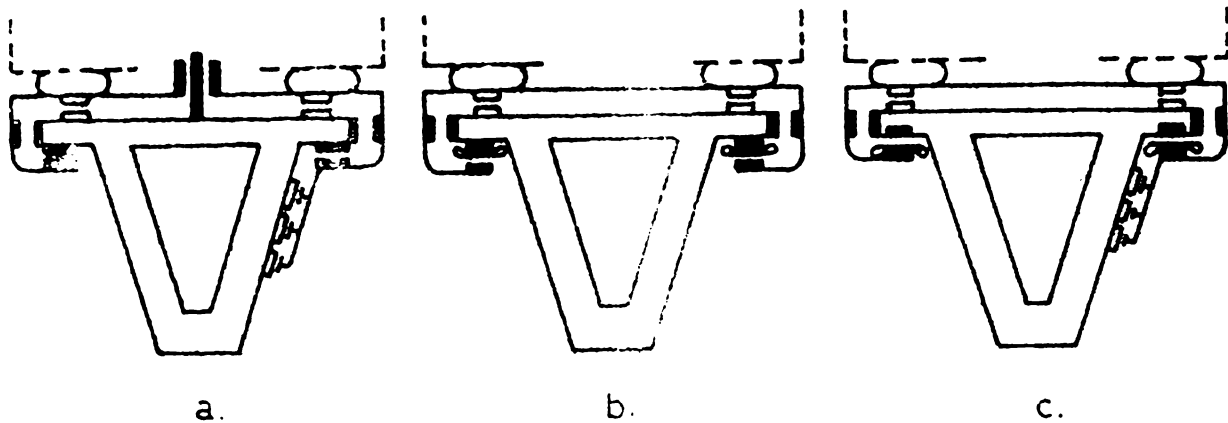


Fig.1.5. Tipuri de VPM cu levitație electromagnetică propulsate, sustentate și guidate lateral cu MEL.

- a) VPM cu propulsare cu motor de inducție liniar bilateral cu stator scurt și cu levitare și guidare realizate separat cu MELLE (fig. 1.5.a);
- b) VPM cu propulsare și levitare cu MEL integrată sincronă cu stator lung și cu guidare cu MELLE (fig.1.5.b);
- c) VPM cu propulsare și levitare cu MEL integrată sincronă monopolară cu stator scurt și cu guidare cu MELLE (fig.1.5.c).

### 1.7. Sistemele cu levitație electromagnetică ale mașinilor electrice liniare cu levitație electromagnetică și obiectivul tezei.

Obiectivul tezei îl constituie abordarea primei părți a problemei (iv) enunțată în paragraful anterior și anume traterea d.p.c.v. algoritmic a problemei de control automat. Privită numai din acest punct de vedere MELLE este denumită în cadrul tezei sistem cu levitație electromagnetică (SLEM sau sistem LEM). În consecință prin SLEM se va înțelege în continuare sistemul de control automat al SES sau, în terminologie uzuală, sistemul de reglare automată al SES.

Obiectivul este realizat parcurgînd etape caracteristice rezolvării unei probleme de reglare: modelarea și analiza procesului reglat, estimarea parametrilor modelelor, definirea performanțelor impuse sistemului de control automat, sinteza și proiectarea acestuia și verificarea calității sistemului rezultat. Privind obiectivul tezei din punctul de vedere al preocupărilor existente la I.P.T.V.Timigoua referitoare la MELLE și VPM se precizează că abordarea lui a reprezentat o necesitate, întrucît la nivelul anului 1975 cînd s-a trasat această orientare, cu excepția raportului [12], de o carte valoare informativă, în literatura de specialitate în circulație liberă nu figurau lucrări care să abordeze calculul SLEM. Cu toate acestea, studiile teoretice și experimentale întreprinse în diferite centre pînă la acea

dată erau în fază avansată. Ulterior, în literatura au apărut mai multe lucrări care au etalat principalele puncte de vedere referitoare la SLEM. Dintre acestea se apreciază în mod deosebit lucrarea [62] a colectivului de la firma vest-germană MBB. Aceste lucrări, la care teza face referiri, pe de-o parte au confirmat cercetările autorului tezei, iar pe de altă parte l-au obligat pe acesta la efectuarea unor analize critice și unor sinteze asupra diverselor aspecte. Începînd cu anul 1975 [45], în paralel cu lucrările amintite, autorul a publicat și comunicat o parte din rezultatele sale, lucrările respective fiind de asemenea menționate în teză.

Precizările de mai sus explică atât conținutul tezei cât și modul în care aceasta a fost concepută, în sensul că:

- (i) domeniul tezei corespunde rezolvării unei probleme interdisciplinare aflate la intersecția problematicii mașinilor electrice, teoriei sistemelor și controlului automat, cu toate implicațiile ce derivă din aceasta din urmă;
- (ii) structura tezei reflectă soluționarea unei probleme de control automat, fiind obligatorie tratarea fiecărei părți a ansamblului prezentat;
- (iii) capitolele tezei îmbină elemente originale cu elemente de analiză și sinteză bazate pe manipularea unei bibliografii bogate;
- (iv) principalul domeniu de aplicație vizat pentru MELLE este cel al VPM.

Privind conținutul principalelor capitole ale tezei se fac următoarele precizări:

-Cap.2 abordează modelarea SES și anume: în prima parte modelarea SES-1L, iar în a doua parte modelarea unui SES-5L. Partea a doua prezintă maniera în care se poate echivala un SES-ML cu mai multe sisteme autonome avînd structura SES-1L, problemă deosebit de importantă pentru VPM de dimensiuni mici și cu bătăiuri practic rigide.

-Cap.3 se referă la estimarea parametrilor SES-1L prin diverse mijloace, începînd cu estimarea teoretică și încheiînd cu estimarea prin procedee de măsurare adaptivă. Fără parcurgerea acestei etape nu se poate aborda concret, în principiu, realizarea unei MELLE.

-Cap.4 dezbatte performanțele impuse SLEM-1L, precizînd punctele de plecare în stabilirea algoritmilor de control ai SES-1L. Dificultatea abordării problemei și în același timp importanța ei se explică prin complexitatea cerințelor ridicate de realizarea VPM și prin complexitatea perturbațiilor care acțiunea asupra lor și

**Să transmit la nivelul MELLE cu care sînt echipate și, în același**

timp, prin lipsa unei experiențe semnificative în acest domeniu.

-Cap.5 tratează sinteza și proiectarea SLEM-1L cu reacție după întrefier, viteza de variație a întrefierului și accelerație absolută, adică sinteza și proiectarea unei categorii de SLEM-1L care în prezent este considerată în literatură, ca și de autorul tezei, că oferă mari posibilități de control automat cu asigurarea performanțelor impuse SLEM-1L. Totodată această categorie se pretează la dezvoltări ulterioare și la generarea altor categorii de SLEM-1L.

-Cap.6 prezintă principiile de realizare ale SLEM-ML și anume: SLEM cu control descentralizat și SLEM cu control centralizat, arătându-se că proiectarea algoritmică a acestor sisteme revine la proiectarea algoritmică a unor sisteme LEM-1L autonome, respectiv a unor sisteme autonome echivalente SLEM-1L. Totodată se fac referiri la simularea celor din urmă.

-Cap.7 rezumă câteva rezultate experimentale și simulări numerice efectuate de autor privitoare la SLEM-1L. Ele susțin valabilitatea concluziilor și rezultatelor capitolelor anterioare ale tezei.

-Cap.8 sistematizează principalele contribuții aduse de autor prin intermediul tezei la studiul SLEM și prin aceasta la studiul sistemelor cu MELLE.

În afara celor opt capitole teza mai conține și nouă anexe în care, din dorința unei prezentări cursive a principalelor probleme, au fost separate o seamă de aspecte.

## CAPITOLUL 2

### MODELAREA SISTEMELOR ELECTROMAGNET-ȘINĂ

Modelarea SES constituie o primă problemă ce trebuie elucidată în vederea realizării unui SLEM. Ea face obiectul capitolului de față. Deși SES are un caracter neliniar modelele matematice (MM) liniarizate permit realizarea în bune condiții a unui SLEM întrucât în regimurile normale de funcționare variațiile mărimilor caracteristice sînt foarte mici. Din acest motiv capitolul se referă în principal numai la MM liniarizate ale SES.

La pct. 2.1. se stabilesc și se analizează diferite MM ale SES-1L, iar la pct. 2.2. se stabilește MM al unui SES-5L. În fiecare caz se obțin MM cu structuri relativ simple și ușor de manipulat. Un rezultat important al analizei întreprinse îl constituie faptul că studiul ambelor sisteme poate fi redus la studiul unui sistem abstract numit sistem electromagnet-șină de bază (SES-B). Acesta este instabil însă controlabil și observabil.

#### 2.1. Modelarea sistemului electromagnet-șină cu un grad de libertate.

##### 2.1.1. Definierea sistemului electromagnet-șină cu un grad de libertate.

Conform celor precizate la pct. 1.2. prin SES-1L se înțelege ansamblul din fig.2.1. alcătuit dintr-un electromagnet și o placă feromagnetică, cu lățimea mai mare decît a electromagnetului, numită șină. Se admite

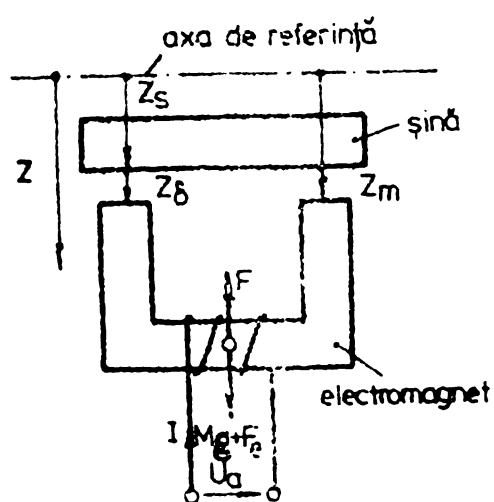


Fig. 2.1. Sistemul electromagnet-șină cu un grad de libertate (SES-1L).

că atât electromagnetul, cât și șina, se pot deplasa numai pe direcție verticală, perpendicular pe axa de referință (orizontală) fixă. Într-un anumit timp, deplasările producându-se astfel încît în orice moment valorile celor două întrefieruri sînt egale. În consecință se consideră un singur întrefier cu valoarea  $l_g$ . Masa  $M$  reprezintă masa electromagnetului inclusiv încărcătura sa statică. Cota  $z_0$  corespunde poziției șinării la trecerea întrerucătorului în poziția de repaus. Se admite că această poziție se modifică în timp independent de poziția și deplasarea electromagnetului, reprezentînd prima din cauzele perturbatoare ale stării sistemului, cauză care în cazul VT&I corespunde denivelărilor și curburilor

căii de glisare, adică traseului nominal, respectiv imperfecțiunilor de montare și de formare a căii de glisare.

Electromagnetul se consideră alimentat de la o sursă ideală de tensiune continuă cu o tensiune  $U_a$ , care forțează prin bobina sa curentul  $I$ , ce determină, în funcție de valoarea întrefierului  $Z_g$ , forța de atracție electromagnetică  $F$  dintre electromagnet și șină. Când tensiunea  $U_a$  este constantă SES-1L este instabil. În ipoteza că  $U_a$  este o tensiune modificabilă sistemul se poate stabiliza prin control automat (v. cap. 5).

O a doua cauză perturbatoare a SES-1L o reprezintă forța exterioară  $F_e$ . Prin intermediul ei se ține seamă de diverse forțe exterioare perturbatoare cum sînt cele datorite acțiunii vîntului asupra cutiei vehiculului și cele datorite dependenței forței electromagnetice de viteza de propulsare [11,9].

Cu excepția masei  $M$  toate mărimile menționate se consideră variabile în timp. După cum se va arăta, d.p.d.v. algoritmic mărimile de intrare ale sistemului sînt:  $U_a$ ,  $\ddot{Z}_s$ ,  $F_e$  și  $\dot{F}_e$ . Se consideră ca mărimi de ieșire  $Z_g$ ,  $I$  și  $\ddot{Z}_m$  - accelerația de deplasare pe verticală a electromagnetului, mărimi ce se pot măsura cu traductoare existente.

Studierea SES-1L este utilă din mai multe motive: (i) SES-1L reprezintă procesul stabilizat și reglat al SLEM-1L; (ii) SES-1L se pot reduce printr-o corelare adecvată a comenzilor la un ansamblu de subsisteme autonome avînd o structură asemănătoare cu a SES-1L; (iii) SES cu suspensie elastică care se utilizează în cadrul VPM cu control descentralizat se reduce la SES-1L; (iv) sinteza și proiectarea SLEM ale VPM se pot reduce pentru cazurile (ii) și (iii) la sinteza și proiectarea SLEM-1L; (v) studiul sistemelor ES-1L și LEM-1L este relativ simplu și oferă posibilitatea corectării eficiente a datelor de calcul pe cale experimentală.

În cadrul acestui paragraf se stabilesc cele mai importante MM ale SES-1L, MM care pot fi luate în considerație la dezvoltarea diferitelor strategii de stabilizare și de reglare a SES-1L sau de simulare a comportării acestuia.

În prezent pentru proiectarea SLEM se utilizează în exclusivitate MM liniare obținute prin liniarizare [61,186,143]. La pct. 2.1.2.1. și 2.1.2.2. sînt stabilite și analizate MM liniare de ordin  $n = 3$  (cel mai mic ordin posibil), numite „MM de ordin redus ale SES-1L”. Diferențele existente între informațiile furnizate de MM de ordin redus ale SES-1L și unele determinări experimentale au condus la ideea dezvoltării unor MM de ordin  $n > 3$ . Acestea sînt numite „MM de ordin superior ale SES-1L” și fac obiectul pct. 2.1.2.3. Coeficienții MM

menționate depinzând de punctul de funcționare, valabilitatea MM liniare este oricum restrânsă. Dependența acestor coeficienți în raport cu diverși parametri ai sistemului ES-1L este studiată la pct.2.1.3. Studiul este util din două puncte de vedere: (i) cunoașterea ordinului de mărime al variației procentuale a coeficienților ce interesează; (ii) simplificarea calculului de proiectare algoritmică atunci când se pune problema modificării punctului nominal de funcționare al SES-1L.

În fine, în ideea unei tratări unitare a problemei modelării SES-1L și a stabilirii elementelor de bază necesare pentru diverse probleme de simulare, la pct. 2.1.4. se prezintă câteva elemente referitoare la MM neliniare ale sistemului ES-1L.

Paragraful are un caracter monografic original având în vedere că lucrările existente în literatură fie că se rezumă la tratarea unor MM particulare, fie că - plecând de la anumite considerente de „secret de firmă” - nu dezvoltă decât într-o măsură redusă aspectele referitoare la etapa de modelare. Pct. 2.1.2.1. și 2.1.4. au la bază studiul întreprins de autor în [41,42] și lucrările care au constituit punctele de plecare ale acestuia [191,143,188,2,112]. Problemele dezvoltate la pct. 2.1.2.3. nu figurează în literatură, constituind o contribuție a autorului valorificabilă în condițiile în care se dispune de un ștand specializat pentru identificarea SES-1L. Problemele prezentate în cadrul pct. 2.1.3. au de asemenea un caracter original.

### 2.1.2. Modele matematice liniare cu coeficienți constanți ale SES-1L.

MM liniare cu coeficienți constanți (sistemele constante) constituie cele mai utilizate MM din teoria sistemelor [135,53]. Neliniaritățile specifice procesului electrodinamic corespunzător SES-1L pot fi liniarizate. În continuare se stabilesc și se analizează diferite tipuri de MM liniare ale SES-1L. MM de ordin redus (ordinul III) au avantajul de a fi simple, însă dezavantajul de a realiza o modelare imprecisă. Necesitatea îmbunătățirii preciziei acestora ca urmare a unor neconcordanțe menționate în literatură, au condus la propunerea MM de ordin superior prezentate în ultima parte a paragrafului. Ele sînt mai dificil de manipulat și de identificat experimental.

#### 2.1.2.1. Modele matematice de ordin redus.

Forma cea mai generală, considerată în această lucrare, a ecuațiilor care descriu procesul fizic din cadrul SES-1L, numită „ecuațiile fundamentale ale SES-1L”, este [143,188,2,112,41]:



$$U_a(t) = RI(t) + \dot{\Psi}(t) \quad (2.1)$$

$$\Psi(t) = \Psi(I(t), Z_\delta(t)) \quad (2.2)$$

$$F(t) = F(I(t), Z_\delta(t)) \quad (2.3)$$

$$M\ddot{Z}_m(t) = Mg - F(t) + F_e(t) \quad (2.4)$$

$$Z_m(t) = Z_s(t) + Z_\delta(t) \quad (2.5)$$

Primele trei ecuații caracterizează aspectul electromagnetic al procesului considerat, iar ultimele două aspectul mecanic. Ele sînt scrise în ipoteza că rezistența bobinajului  $R$  și masa  $M$  sînt mărimi invariante în timp. Valorile corespunzătoare unui punct de funcționare staționară (mărimi afectate de indicele „0”) satisfac, în acord cu relațiile anterioare, egalitățile:

$$U_{a0} = RI_0; \Psi_0 = \Psi(I_0, Z_{\delta 0}); F_0 = F(I_0, Z_{\delta 0}) = Mg + F_{e0}; Z_{m0} = Z_{s0} + Z_{\delta 0} \quad (2.6)$$

În mod obișnuit liniarizarea se face pentru un punct de funcționare staționară avînd  $F_{e0} = 0$ .

Pentru ca (2.1) ÷ (2.5) să reprezinte MM al SES-1L trebuie precizate variabilele de intrare și variabilele de ieșire ale procesului. În acest stadiu al dezvoltării problemei ele sînt  $U_a$ ,  $F_e$  și  $Z_s$ , respectiv  $Z_\delta$ ,  $I$  și  $\ddot{Z}_m$ , schema bloc structurală a SES-1L rezultînd ca în fig.2.2. Blocurile neliniare corespund ec.(2.2) și (2.3). Neliniaritățile evidențiate se datoresc pe de-o parte caracteristicii de magnetizare și histerezisului magnetic, iar pe de altă parte specificului forței electromagnetice de atracție. Alte neliniarități au fost eliminate prin ipotezele simplificatorii făcute.

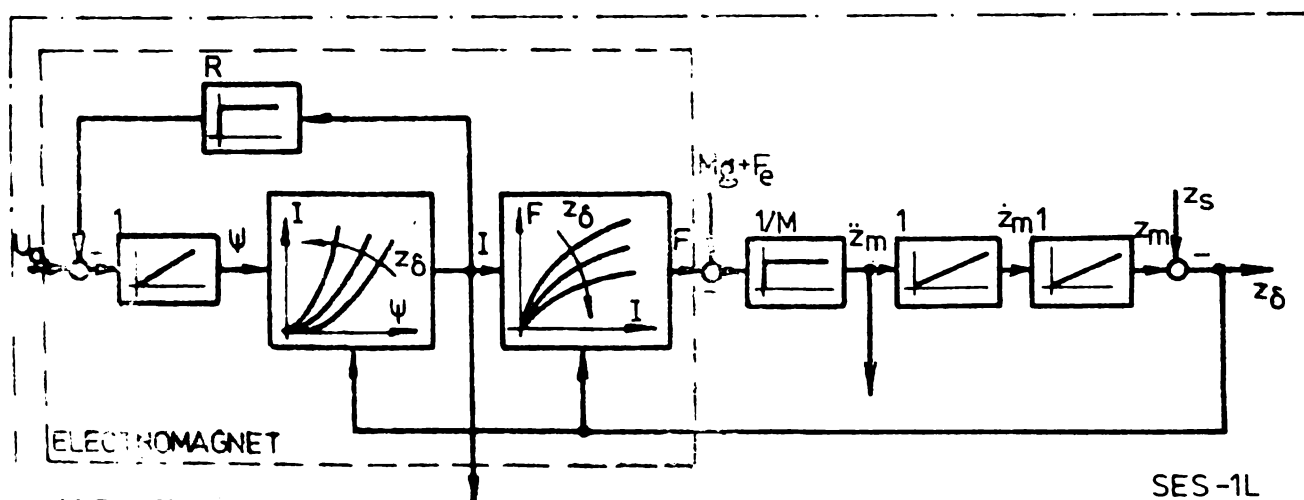


Fig. 2.2. Schema bloc structurală a SES-1L corespunzătoare ecuațiilor fundamentale.

Pentru investigarea comportării SES-1L în vecinătatea punctului de funcționare  $\Lambda_0(U_{a0}, F_{e0}, Z_{s0}, I_0, \Psi_0, Z_{\delta 0}, F_0, Z_{m0})$  este suficientă în general o aproximare prin liniarizare după tangență. Se notează:

$$\begin{aligned} U_a &= U_{a0} + \Delta U_a; & F_e &= F_{e0} + \Delta F_e; & Z_s &= Z_{s0} + \Delta Z_s; & I &= I_0 + \Delta I \\ \Psi &= \Psi_0 + \Delta \Psi; & Z_\delta &= Z_{\delta 0} + \Delta Z_\delta; & F &= F_0 + \Delta F; & Z_m &= Z_{m0} + \Delta Z_m \end{aligned} \quad (2.7)$$

în care:  $\Delta U_a$  = variația tensiunii de alimentare  $U_a$  corespunzătoare unui punct de funcționare curent  $\Lambda$  față de valoarea  $U_{a0}$  corespunzătoare punctului  $\Lambda_0$  ș.a.m.d.

Liniarizînd MM (2.1) + (2.5) în vecinătatea punctului  $\Lambda_0$  rezultă (2.8).

Convenție: Pentru simplificarea exprimărilor, variațiile  $\Delta U_a, \dots, \Delta Z_m$  se notează cu  $U_a, \dots, Z_m$ , fără a mai utiliza simbolul  $\Delta$ .

Ca urmare, în continuare variabilele MM liniare ale diferitelor sisteme reprezintă variațiile mărimilor pe care le descriu față de valorile corespunzătoare unui punct de funcționare staționară.

Potrivit acestei convenții MM (2.8) obține aspectul (2.9):

$$\begin{aligned}
 \Delta U_a &= R \Delta I + (\Delta \Psi) & U_a &= R I + \Psi \\
 \Delta \Psi &= K_I \Delta I - K_\delta \Delta Z_\delta & \Psi &= K_I I - K_\delta Z_\delta \\
 \Delta F &= C_I \Delta I - C_\delta \Delta Z_\delta & F &= C_I I - C_\delta Z_\delta & (2.9) \\
 M(\Delta Z_m)'' &= -\Delta F + \Delta F_e & M\ddot{Z}_m &= -F + F_e \\
 \Delta Z_m &= \Delta Z_s + \Delta Z_\delta & Z_m &= Z_s + Z_\delta
 \end{aligned}$$

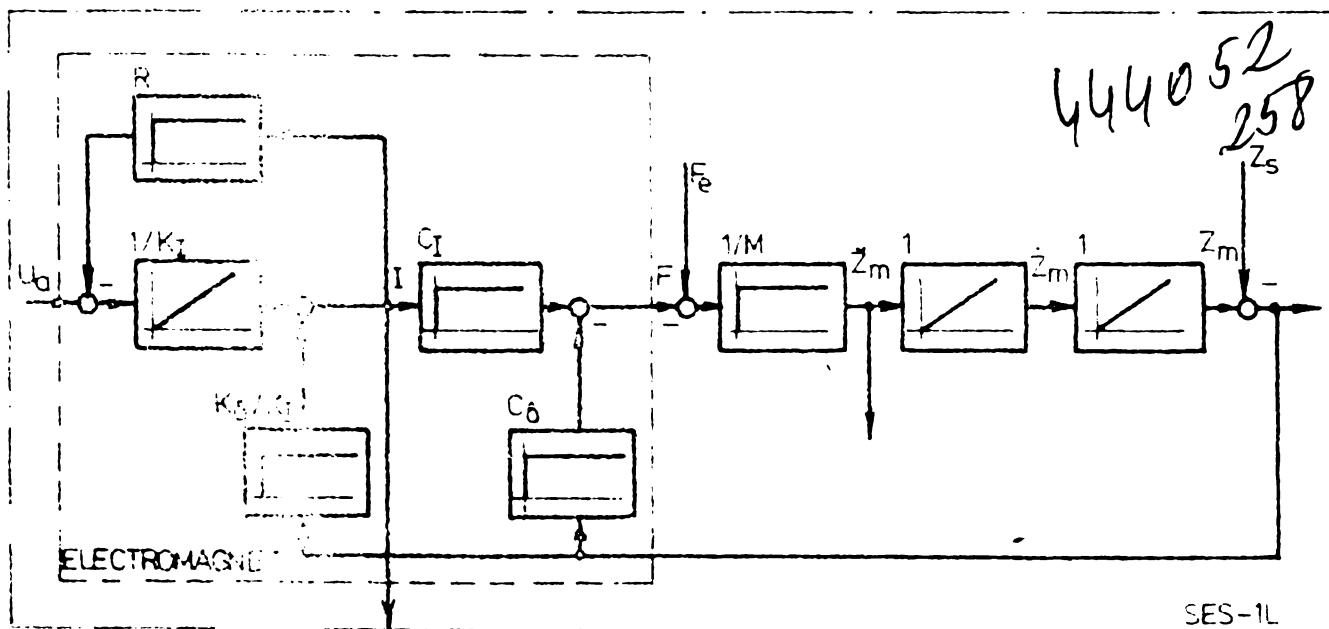
Coeficienții  $K_I, K_\delta, C_I$  și  $C_\delta$ , numiți parametrii primari ai SES-1L, sînt toți pozitivi. Valorile lor depind de punctul  $\Lambda_0$ , în vecinătatea căruia este valabilă liniarizarea, calculîndu-se cu relațiile:

$$K_I := \left. \frac{\partial \Psi}{\partial I} \right|_{\Lambda_0}; \quad K_\delta := - \left. \frac{\partial \Psi}{\partial Z_\delta} \right|_{\Lambda_0}; \quad C_I := \left. \frac{\partial F}{\partial I} \right|_{\Lambda_0}; \quad C_\delta := - \left. \frac{\partial F}{\partial Z_\delta} \right|_{\Lambda_0} \quad (2.10)$$

Din (2.9) rezultă schema bloc structurală din fig. 2.3 care prezintă avantajul de a fi modelabilă în mod simplu pe calculator analogic. Ea nu evidențiază însă constanta de timp a electromagnetului

$$T = K_I / R, \quad (2.11)$$

a cărei valoare depinde de asemenea de punctul  $\Lambda_0$ .



**Fig. 2.3.** Schema bloc structurală a SES-1L corespunzătoare MM (2.9). Constanta de timp se evidențiază eliminînd fluxul  $\Psi$  din ec.(2.9). Se

obțin ec.(2.12) și schema bloc structurală din fig. 2.4.

$$T \dot{I} + I = \frac{1}{R}(U_a + K_\delta \dot{Z}_\delta); F = C_I I - C_\delta \dot{Z}_\delta; M \ddot{Z}_m = -F + F_e; Z_m = Z_s + Z_\delta. \quad (2.12)$$

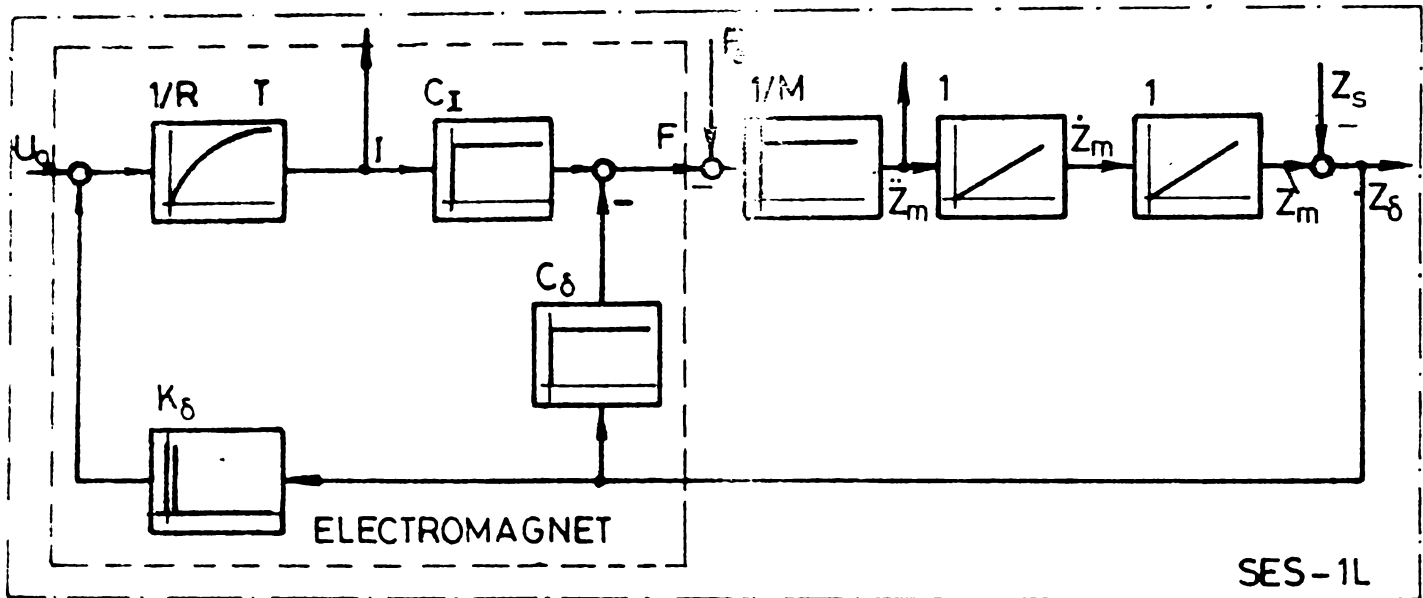


Fig. 2.4. Schema bloc structurală a SES-1L corespunzătoare ec.(2.12).

Privit prin prisma ec. (2.12) SES-1L reprezintă un sistem de ordinul III. El poate fi adus în forma intrare-stare-ieșire folosind diverse moduri de alegere a variabilelor de stare. Principial sînt posibile următoarele trei reprezentări cu interpretare fizică nemijlocită:

$$\underline{X}_1 = [Z_\delta \quad \dot{Z}_\delta \quad \ddot{Z}_m]^T \quad (2.13)$$

$$\underline{X}_2 = [I \quad Z_\delta \quad \dot{Z}_\delta]^T \quad (2.14)$$

$$\underline{X}_3 = [I \quad \dot{Z}_\delta \quad \ddot{Z}_m]^T \quad (2.15)$$

considerîndu-se de fiecare dată aceleași variabile de intrare:

$$\underline{U}_c = [U_a] - \text{mărime de comandă}, \quad (2.16)$$

$$\underline{U}_p = [F_e \quad \dot{F}_e \quad \ddot{Z}_s]^T - \text{mărimi de perturbație} \quad (2.17)$$

și aceleași variabile de ieșire:

$$\underline{Y} = [Z_\delta \quad I \quad \ddot{Z}_m]^T. \quad (2.18)$$

Mărimile  $Z_\delta$  și  $Z_m$  constituie în mod obișnuit și ieșirile de apreciere ale SES-1L.

Ecuațiile de stare și -de ieșire corespunzătoare celor trei situații (2.13) - (2.15) obțin aspectul general:

$$\dot{\underline{X}}(t) = \underline{A} \underline{X}(t) + \underline{B}_c \underline{U}_c(t) + \underline{B}_p \underline{U}_p(t) \quad (2.19)$$

$$\underline{Y}(t) = \underline{C} \underline{X}(t) + \underline{D}_p \underline{U}_p(t). \quad (2.20)$$

Expresiile concrete ale matricilor care apar în aceste ecuații sînt date în tabelul 2.1. Schema bloc structurală a MM-ISI (2.19), (2.20) este reprezentată în fig. 2.5.

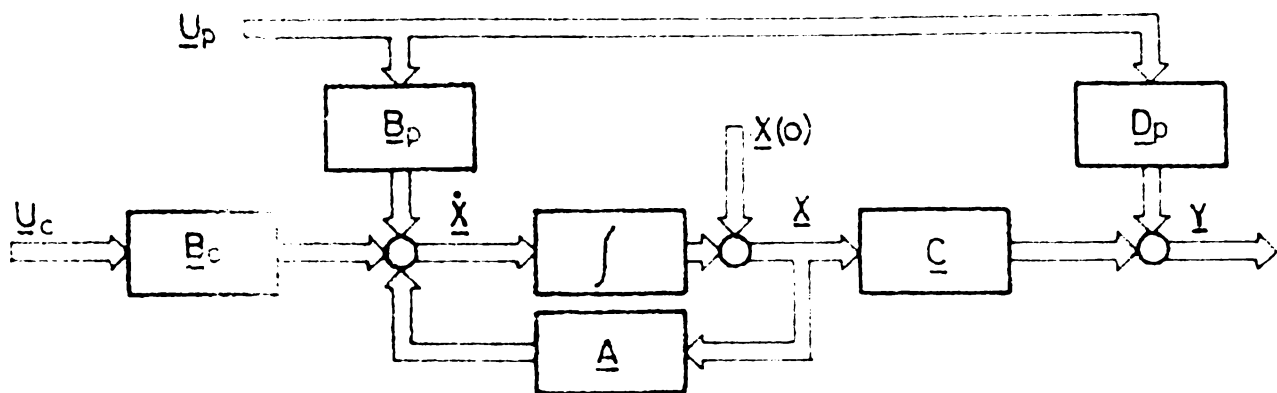
Privind aceste MM-ISI ale SES-1L se impun două observații:

1) Dacă luăm în considerație faptul că mărimea  $\ddot{Z}_s$  ca mărime de perturbație impune modificarea

**TABELUL 2.1. ELEMENTELE MM-ISI (2.19) SI (2.20) ALE SES-IL.**

$\underline{X}$	$\underline{X}_1 = [Z_\delta \dot{Z}_\delta \ddot{Z}_m]^T$	$\underline{X}_2 = [I Z_\delta \dot{Z}_\delta]^T$	$\underline{X}_3 = [I \dot{Z}_\delta \ddot{Z}_m]^T$
$\underline{U}_c$	$[U_a]$	$[U_a]$	$[U_a]$
$\underline{U}_p$	$[F_e \dot{F}_e \ddot{Z}_s]^T$	$[F_e \dot{F}_e \ddot{Z}_s]^T$	$[F_e \dot{F}_e \ddot{Z}_s]^T$
$\underline{Y}$	$[Z_\delta I \ddot{Z}_m]^T$	$[Z_\delta I \ddot{Z}_m]^T$	$[Z_\delta I \ddot{Z}_m]^T$
$\underline{A}$	$\begin{bmatrix} 0 & 1 & 0 \\ 0 & 0 & 1 \\ \frac{C_\delta}{MT} & \frac{C_\delta}{M} - \frac{C_I K_\delta}{MK_I} & -\frac{1}{T} \end{bmatrix}$	$\begin{bmatrix} -\frac{1}{T} & 0 & \frac{K_\delta}{K_I} \\ 0 & 0 & 1 \\ -\frac{C_I}{M} & \frac{C_\delta}{M} & 0 \end{bmatrix}$	$\begin{bmatrix} -\frac{1}{T} & \frac{K_\delta}{K_I} & 0 \\ 0 & 0 & 1 \\ \frac{C_I}{MT} & \frac{C_\delta}{M} - \frac{C_I K_\delta}{MK_I} & 0 \end{bmatrix}$
$\underline{B}_c$	$\begin{bmatrix} 0 & 0 & -\frac{C_I}{MK_I} \end{bmatrix}^T$	$\begin{bmatrix} \frac{1}{K_I} & 0 & 0 \end{bmatrix}^T$	$\begin{bmatrix} \frac{1}{K_I} & 0 & -\frac{C_I}{MK_I} \end{bmatrix}^T$
$\underline{B}_p$	$\begin{bmatrix} 0 & 0 & 0 \\ 0 & 0 & 1 \\ \frac{1}{MT} & \frac{1}{M} & 0 \end{bmatrix}$	$\begin{bmatrix} 0 & 0 & 0 \\ 0 & 0 & 0 \\ \frac{1}{M} & 0 & -1 \end{bmatrix}$	$\begin{bmatrix} 0 & 0 & 0 \\ 0 & 0 & -1 \\ 0 & \frac{1}{M} & 0 \end{bmatrix}$
$\underline{C}$	$\begin{bmatrix} 1 & 0 & 0 \\ \frac{C_\delta}{C_I} & 0 & -\frac{C_I}{C_I} \\ 0 & 0 & 1 \end{bmatrix}$	$\begin{bmatrix} 0 & 1 & 0 \\ 1 & 0 & 0 \\ -\frac{C_I}{M} & \frac{C_\delta}{M} & 0 \end{bmatrix}$	$\begin{bmatrix} \frac{C_I}{C_\delta} & 0 & \frac{C_I}{C_\delta} \\ \frac{1}{C_\delta} & 0 & 0 \\ 0 & 0 & 1 \end{bmatrix}$
$\underline{D}_p$	$\begin{bmatrix} 0 & 0 & 0 \\ \frac{1}{C_I} & 0 & 0 \\ 0 & 0 & 0 \end{bmatrix}$	$\begin{bmatrix} 0 & 0 & 0 \\ 0 & 0 & 0 \\ \frac{1}{M} & 0 & 0 \end{bmatrix}$	$\begin{bmatrix} \frac{1}{C_\delta} & 0 & 0 \\ 0 & 0 & 0 \\ 0 & 0 & 0 \end{bmatrix}$

schemelor bloc ale SES-IL în ceea ce privește cinematica formării lui  $Z_\delta$  ca în fig. 2.6 în care, în locul operației  $Z_\delta = Z_m - Z_s$ , apare operația  $\ddot{Z}_\delta = \ddot{Z}_m - \ddot{Z}_s$ . Efectuând, spre exemplu, o astfel de modificare în cazul schemei din fig. 2.4 rezultă schema din fig. 2.7.



**Fig.2.5. Schema bloc structurală a SES-IL corespunzătoare MM-ISI (2.19) + (2.20).**

Având în vedere că practic  $Z_s$  și  $F_s$  pot varia în treaptă, pentru ca prin

considerarea lui  $\ddot{Z}_s$  ca mărime de intrare să rezulte sisteme echivalente cu cele în care  $Z_s$  este mărime de intrare, se impune condiția de a admite pentru  $\ddot{Z}_s$  și variații de forma:

$$\ddot{Z}_s(t) = \alpha_1 \dot{\delta}(t) + \alpha_0 \delta(t) \quad (2.21)$$

$\delta(t)$  reprezentînd impulsul Dirac. Primul termen crează posibilitatea de variație în treaptă a lui  $Z_s$ , iar al doilea termen posibilitatea de variație în rampă a lui  $Z_s$ . Astfel de situații apar în cazul VPM la imbinarea șinelor căii de glisare sau la intrarea în rampe sau pante.

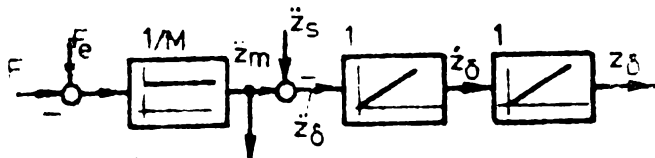


Fig. 2.6. Modelarea părții mecanice a SES-1L considerînd pe  $\ddot{Z}_s$  ca mărime perturbatoare.

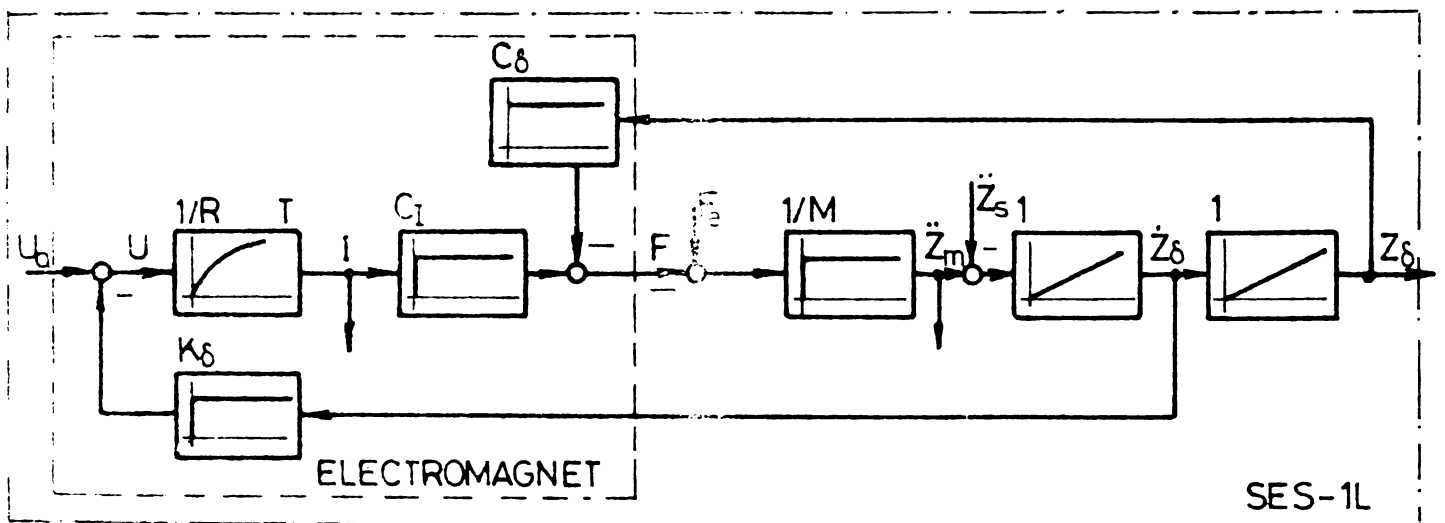


Fig. 2.7. Schemă bloc structurală a SES-1L echivalentă schemei din fig.2.4 prin ipoteza (2.21).

(ii) Atunci cînd  $\underline{U}_p \equiv \underline{0}$  cei trei vectori de stare  $\underline{X}_1$ ,  $\underline{X}_2$  și  $\underline{X}_3$  sînt legați între ei prin transformările nesingulare:

$$\underline{X}_2(t) = \underline{\theta}_{21} \underline{X}_1(t); \quad \underline{X}_3(t) = \underline{\theta}_{32} \underline{X}_2(t); \quad \underline{X}_1(t) = \underline{\theta}_{13} \underline{X}_3(t) \quad (2.22)$$

în care:

$$\underline{\theta}_{21} = \begin{bmatrix} \frac{C_\delta}{C_I} & 0 & -\frac{M}{C_I} \\ 1 & 0 & 0 \\ 0 & 1 & 0 \end{bmatrix}; \quad \underline{\theta}_{32} = \begin{bmatrix} 1 & 0 & 0 \\ 0 & 0 & 1 \\ -\frac{C_I}{M} & \frac{C_\delta}{M} & 0 \end{bmatrix}; \quad \underline{\theta}_{13} = \begin{bmatrix} \frac{C_I}{C_\delta} & 0 & \frac{M}{C_\delta} \\ 0 & 1 & 0 \\ 0 & 0 & 1 \end{bmatrix} \quad (2.23)$$

Transformările inverse sînt:

$$\underline{X}_1(t) = \underline{\theta}_{12} \underline{X}_2(t); \quad \underline{X}_2(t) = \underline{\theta}_{23} \underline{X}_3(t); \quad \underline{X}_3(t) = \underline{\theta}_{31} \underline{X}_1(t), \quad (2.22')$$

matricile care apar avînd expresiile:

$$\underline{\theta}_{12} = \underline{\theta}_{21}^{-1} = \begin{bmatrix} 0 & 1 & 0 \\ 0 & 0 & 1 \\ -\frac{C_I}{M} & \frac{C_\delta}{M} & 0 \end{bmatrix}; \quad \underline{\theta}_{23} = \underline{\theta}_{32}^{-1} = \begin{bmatrix} 1 & 0 & 0 \\ \frac{C_I}{C_\delta} & 0 & \frac{M}{C_\delta} \\ 0 & 1 & 0 \end{bmatrix}; \quad \underline{\theta}_{31} = \underline{\theta}_{13}^{-1} = \begin{bmatrix} \frac{C_\delta}{C_I} & 0 & -\frac{M}{C_I} \\ 0 & 1 & 0 \\ 0 & 0 & 1 \end{bmatrix} \quad (2.23')$$

Pe baza acestor transformări analiza SES-1L liber poate fi făcută plecînd de la oricare dintre cele trei MM-ISI, rezultatele fiind extrapolabile pentru celelalte două MM-ISI [129].

În cazul în care  $U_p \neq 0$  dependențele dintre  $X_1$ ,  $X_2$  și  $X_3$  sînt mai complexe, în cadrul lor intervenind și mărimile de perturbație.

Spre exemplu:

$$\underline{X}_2(t) = \underline{\Theta}_{21} \underline{X}_1(t) + \begin{bmatrix} \frac{1}{C_1} \\ 0 \\ 0 \end{bmatrix} \underline{F}_e(t); \quad \underline{X}_1(t) = \underline{\Theta}_{12} \underline{X}_2(t) + \begin{bmatrix} 0 \\ 0 \\ -\frac{1}{M} \end{bmatrix} \underline{F}_e(t). \quad (2.24)$$

### 2.1.2.2. Analiza modelelor matematice de ordin redus.

Stabilitatea, controlabilitatea și observabilitatea SES-LL reprezintă o primă categorie de proprietăți care interesează. În acord cu observația (ii) din paragraful anterior, dintre cele trei MM la care se referă tabelul 2.1 se tratează doar MM de vector de stare  $X_1$ .

Instabilitatea SES-LL, proprie electromagneților de c.c., este atestată aici de ecuația caracteristică:

$$s^3 + \frac{1}{T} s^2 + \left( \frac{K_f C_1}{K_L M} - \frac{C_f}{M} \right) s - \frac{C_f}{MT} = 0, \quad (2.25)$$

care, avînd termenul liber negativ, are întotdeauna și „poli instabili”. Avînd în vedere că MM considerat este de ordinul trei și faptul că:

$$\text{rang} [\underline{B}_c : \underline{A} \underline{B}_c : \underline{A}^2 \underline{B}_c] = 3 \quad (2.26)$$

și

$$\text{rang} [\underline{C}^T : \underline{A}^T \underline{C}^T : (\underline{A}^T)^2 \underline{C}^T] = 3, \quad (2.27)$$

rezultă că SES-LL este controlabil și observabil.

O a doua categorie de proprietăți care interesează se referă la modul în care MM obținute redau dinamica modificării forței electromagnetice  $F$  la modificarea tensiunii de comandă  $U_a$  sau a întrefierului  $Z_f$ . Sistemul fiind instabil, investigarea se face în ipoteza că cele două armături ale electromagnetului (ale SES-LL) pot fi aduse și blocate în orice poziție relativă. În acest scop se utilizează expresia operațională a forței [41]:

$$F(s) = \frac{C_1/R}{1+Ts} U_a(s) - C_f \frac{1+T_d s}{1+Ts} Z_f(s) \quad (2.28)$$

în care  $T_d$  reprezintă o constantă de timp derivativă a electromagnetului:

$$T_d = T - \frac{C_1 K_f}{C_f R} < T. \quad (2.29)$$

Rel.(2.28) evidențiază trei aspecte: (i) Modificările de tensiune nu conduc la modificări instantanee ale forței, pe cînd modificările de întrefier conduc la modificări instantanee ale acesteia cu o cotă parte de  $T_d / T$  din valoarea finală ( $\frac{F(0)}{F(\infty)} \Big|_{U_a=0} = \frac{T_d}{T}$ ). (ii) La modificarea lui  $U_a$  și  $Z_f$  cu valorile  $U_a(\infty)$  și  $Z_f(\infty)$  forța se modifică în final cu valoarea:

$$F(\infty) = \frac{C_1}{R} U_a(\infty) - C_f Z_f(\infty). \quad (2.30)$$

Modificarea se produce cu o întârziere de ordinul I cu constanta de timp  $\tau$ ; (iii) Întrucât la modificarea întrefierului unui SLEM-1L pentru care  $M = \text{const.}$  și  $F_e = \text{const.}$  forța  $F$  nu se modifică, deci  $F(\infty) = 0$ , tendința de modificare a forței cu  $-C_\delta Z_\delta(\infty)$  ca urmare a modificării întrefierului se compensează prin comandă și anume: prin modificarea tensiunii  $U_a$ , respectiv a curentului  $I$  cu valorile

$$U_a(\infty) = \frac{C_\delta R}{C_I} Z_\delta(\infty) ; \quad I(\infty) = \frac{C_\delta}{C_I} Z_\delta(\infty) . \quad (2.31)$$

### 2.1.2.3. Modele matematice de ordin superior.

MM ale SES-1L deduse la pct. 2.1.2.1. au o valabilitate limitată, coeficienții  $K_I$ ,  $K_\delta$ ,  $C_I$  și  $C_\delta$  depinzând de punctul de funcționare  $\Lambda$ .

În fig. 2.8 și fig. 2.9. sînt redată după [151] patru familii de c.d.f. determinate experimental la firma MBB pentru un SES-1L cu o forță nominală de 10 kN și întrefieruri nominale cuprinse între 7 mm și 28 mm. Aceste caracteristici ridicate în domeniul de frecvențe de 0,1 ÷ 20 Hz, care interesează d.p.d.v. al proprietăților de reglaj, prezintă față de caracteristicile teoretice mai multe deosebiri.

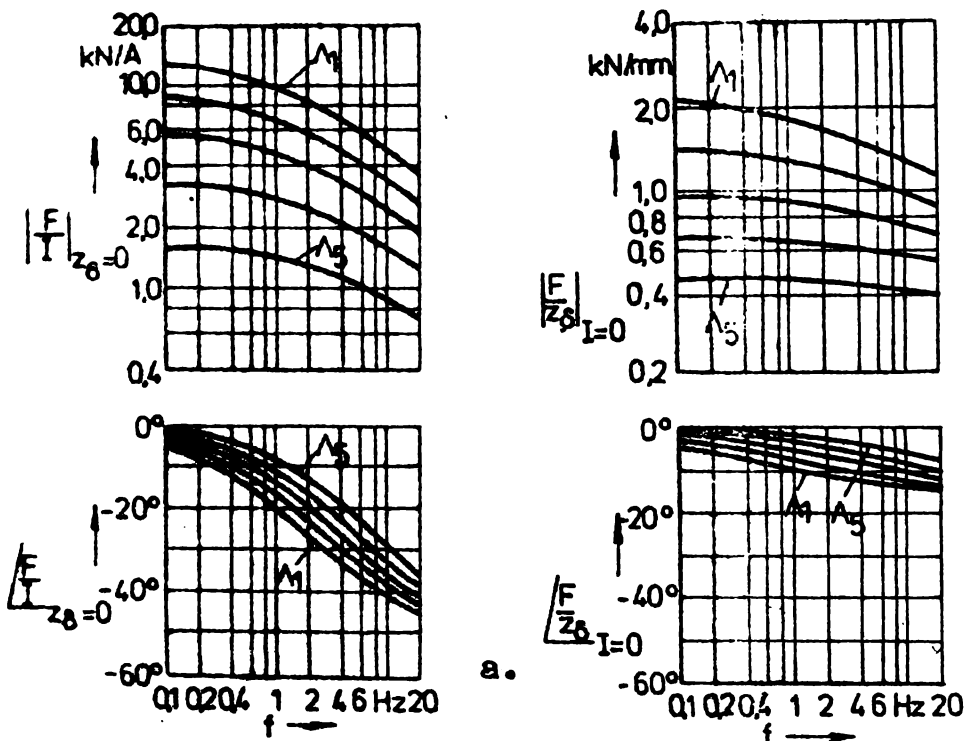


Fig. 2.8. Caracteristici de frecvență ale unui SES-1L de forță nominală  $F = 10$  kN, determinate în vecinătatea punctelor de funcționare  $\Lambda(F_0, Z_{\delta 0}, I_0)$ :  $\Lambda_1$  (10 kN, 7 mm, 15 A),  $\Lambda_2$  (10 kN, 10 mm, 22 A),  $\Lambda_3$  (10 kN, 14 mm, 30 A),  $\Lambda_4$  (10 kN, 20 mm, 44 A),  $\Lambda_5$  (10 kN, 28 mm, 66 A).

Astfel, teoretic  $\left| \frac{F(j\omega)}{I(j\omega)} \right|_{Z_\delta=0} = C_I = \text{const.}$ , pe cînd potrivit rezultatelor experimentale din fig. 2.8.a.  $C_I \neq \text{const.}$  La fel, teoretic  $\left| \frac{F(j\omega)}{Z_\delta(j\omega)} \right|_{I=0} = C_\delta = \text{const.}$ , pe cînd practic  $C_\delta \neq \text{const.}$  (v. fig. 2.8.b). În ultimul caz; la întrefieruri nominale mari variația lui  $C_\delta$  cu frecvența este relativ mică. Pentru ca MM ale SES-1L să surprindă comportarea constatată experimental este necesară modificarea structurii modelelor anterioare. Această constatare se desprinde și din examinarea caracteristicilor din fig. 2.9 cărora, pe baza pct. 2.1.1.1. , le corespund d.p.d.v. teoretic f.d.

$$\left. \frac{I(s)}{U_a(s)} \right|_{Z_\delta=0} = \frac{1}{1+Ts} \quad \text{și} \quad \left. -\frac{U_a(s)}{Z_\delta(s)} \right|_{I=0} = -sK_\delta$$

observînd că pantele c.a-p. experimentale diferă de pantele c.a-p. teoretice: -11,3 dB/dec față de -20 dB/dec în primul caz, respectiv +13,7

dB/dec față de +20 dB/dec în al doilea caz.

Alura c.f-p. la frecvențe mai mari decît 4 Hz furnizează o altă deosebire notabilă și anume faptul că acestea nu tind asimptotic spre  $-90^\circ$ , respectiv că nu se păstrează la  $+90^\circ$ . În fine, trebuie subliniată importanța c.d.f. considerate, privind informațiile furnizate referitor la ordinul de mărime al unor parametri:  $C_I \in (200, 12000) \text{ N/A}$ ,  $C_\delta \in (0,3 \cdot 10^6, 2,1 \cdot 10^6) \text{ N/m}$ ,  $T \in (0,1, 0,3) \text{ sec}$  etc.

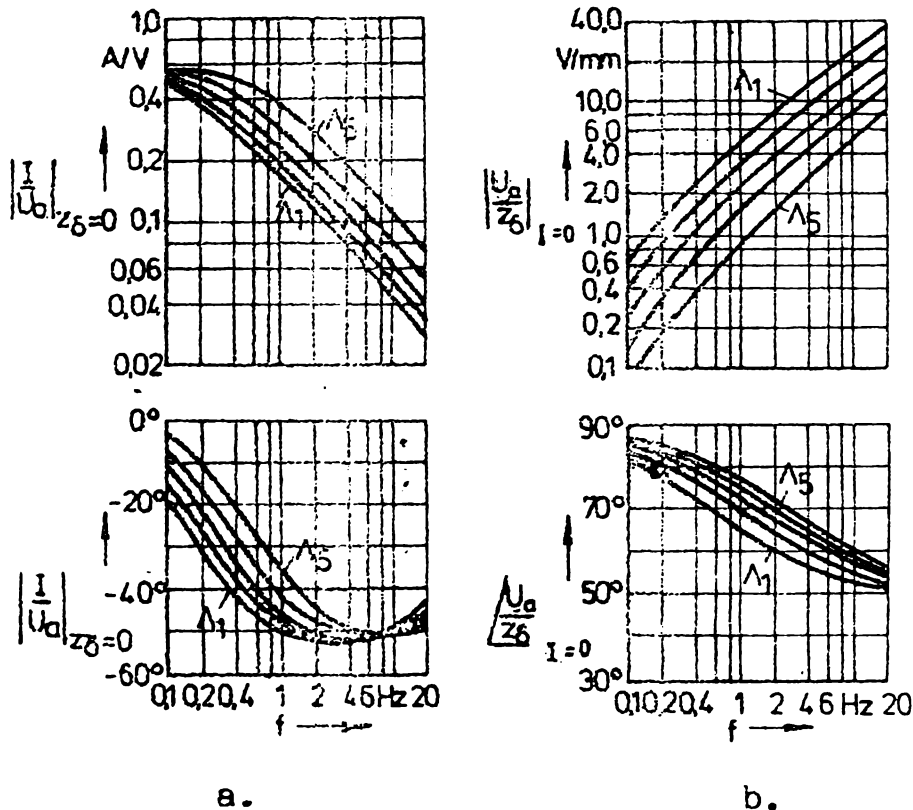


Fig. 2.9. Alte caracteristici de frecvență referitoare la același SES-1L ca și cele din fig. 2.8.

Modificarea de structură menționată este posibilă numai prin sporirea complexității structurii. Sînt posibile două căi:

- (i) modificarea structurii printr-un grad mai mare de detaliere a fenomenului de bază;
- (ii) modificarea structurii prin înlocuirea blocurilor la care se referă c.d.f. din fig. 2.8 și fig. 2.9 cu structuri identificate tocmai pe baza acestor caracteristici.

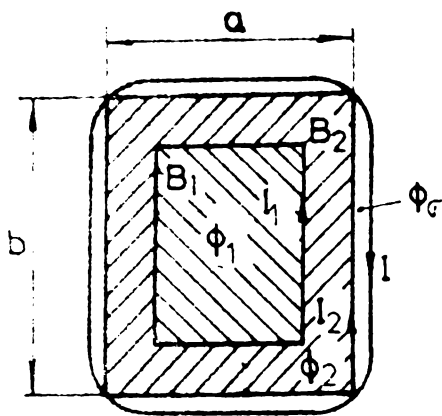
În continuare se propun două soluții în acest sens.

(i) Fenomenologic, deosebirile semnalate se explică în principal prin neglijarea dinamicii miezului feromagnetic masiv și anume a fenomenului de inducere a curenților turbionari. Așa cum se arată la pct. 2.1.3., prin discretizarea acestui fenomen se pot obține MFI mai fidele procesului real. În acest scop se procedează la împărțirea circuitului feromagnetic în tuburi de cîmp magnetic, coaxiale, amplasate în lungul liniilor cîmpului magnetic util; fiecare tub de cîmp se presupune îmbrățișat de un tub de curenți turbionari, asociindu-se astfel un proces de inducție electromagnetice, respectiv o ecuație căreia prin liniari-



zare fi corespunde o creștere a ordinului sistemului cu o unitate.

Pentru domeniul de frecvență de  $0,1 + 20$  Hz în care se investighează comportarea SES-LL se consideră suficientă împărțirea circuitului feromagnetic în două tuburi de câmp coaxiale cărora li se asociază două straturi parcurse de curenți turbionari  $I_1$  și  $I_2$ . În fig. 2.10 se prezintă o secțiune transversală prin miezul electromagnetului și bobina de excitație. Ea conține toate mărimile care interesează. Ariile secțiunilor parcurse de fluxurile  $\Phi_1$  și  $\Phi_2$  sînt în raport de 2 : 1. Avînd în vedere



proportionalitățile:  $I_1 \sim \dot{\Phi}_1$ ,  $I_2 \sim (\dot{\Phi}_1 + \dot{\Phi}_2)$  și faptul că la întregier constant, solenațiile ce ar produce inducțiile magnetice  $B_1$ , respectiv  $B_2$  în întregul miez corespund unor curenți echivalenți de forma  $I - \alpha_1 I_1 - \beta_1 I_2$ , respectiv  $I - \alpha_2 I_1 - \beta_2 I_2$  se pot scrie următoarele ecuații ce pot fi considerate ca ecuații de bază pentru dezvoltarea unui MM de ordin superior al SES-LL:

Fig. 2.10. Referitoare la discretizarea fenomenului de inducere a curenților turbionari în miezul feromagnetic al SES-LL.

$$U_a(t) = R_a(t) + \dot{\Psi}(t) \quad (2.32.1)$$

$$\Psi(t) = k_{\Phi_1} \dot{\Phi}_1 (I(t) - b_{11} \dot{\Phi}_1(t) - b_{12} \dot{\Phi}_2(t), Z_\delta(t)) + k_{\Phi_2} \dot{\Phi}_2 (I(t) - b_{21} \dot{\Phi}_1(t) - b_{22} \dot{\Phi}_2(t), Z_\delta(t)) + k_{\Phi_\sigma} \dot{\Phi}_\sigma(t) \quad (2.32.2)$$

$$\dot{\Phi}_\sigma(t) = f_1(i(t)) \quad (2.32.3)$$

$$F(t) = k_{F_1} F_1(\Phi_1(I(t) - b_{11} \dot{\Phi}_1(t) - b_{12} \dot{\Phi}_2(t), Z_\delta(t)), Z_\delta(t)) + k_{F_2} F_2(\Phi_2(I(t) - b_{21} \dot{\Phi}_1(t) - b_{22} \dot{\Phi}_2(t), Z_\delta(t)), Z_\delta(t)) \quad (2.32.4)$$

$$M \ddot{Z}_m(t) = M g - F(t) + F_e(t) \quad (2.32.5)$$

$$Z_m(t) = Z_s(t) + Z_\delta(t) \quad (2.32.6)$$

$\dot{\Phi}_\sigma$  reprezintă un flux de dispersie fascicular mediu,  $k_{\Phi_1}$ ,  $k_{\Phi_2}$ ,  $k_{\Phi_\sigma}$ ,  $k_{F_1}$ ,  $k_{F_2}$  - coeficienți adimensionali, iar  $b_{11}, \dots, b_{22}$  - coeficienți dimensionali corespunzători curenților echivalenți menționați (v. pct.

2.1.4. conform căruia se poate considera  $k_{\Phi_1} = \frac{2}{3} N$ ,  $k_{\Phi_2} = \frac{1}{3} N$ ,  $k_{F_1} = \frac{2}{3}$  și  $k_{F_2} = \frac{1}{3}$ ).

Prin liniarizarea MM (2.32) se obține MM-ISI (2.33) care constituie un prim MM-ISI de ordin superior al SES-LL și anume un MM de ordinul cinci. În [41] este prezentată o schemă bloc structurală aferentă acestui MM. Relațiile de calcul ale coeficienților din (2.33) sînt precizate în continuarea acestui sistem,  $\Lambda_0$  reprezentînd punctul de funcționare în vecinătatea căruia este valabilă liniarizarea.

$$\begin{bmatrix} \tilde{I} \\ \Phi_1 \\ \Phi_2 \\ \dot{Z}_\delta \\ Z_\delta \end{bmatrix} = \begin{bmatrix} -\frac{R}{K_\sigma k_{\phi\sigma}} & k_{\phi 1} & k_{\phi 2} & 0 & 0 \\ -K_{I1} & \frac{\tilde{K}_{I1} k_{\phi 1}}{K_\sigma k_{\phi\sigma}} - \tilde{K}_{\phi 11} & \frac{\tilde{K}_{I1} k_{\phi 2}}{K_\sigma k_{\phi\sigma}} + \tilde{K}_{\phi 12} & 0 & \tilde{K}_{\delta 1} \\ -K_{I2} & \frac{\tilde{K}_{I2} k_{\phi 1}}{K_\sigma k_{\phi\sigma}} + \tilde{K}_{\phi 21} & \frac{\tilde{K}_{I2} k_{\phi 2}}{K_\sigma k_{\phi\sigma}} - \tilde{K}_{\phi 22} & 0 & \tilde{K}_{\delta 2} \\ 0 & -\frac{1}{M} C_{I1} & -\frac{1}{M} C_{I2} & 0 & \frac{1}{M} C_\delta \\ 0 & 0 & 0 & 1 & 0 \end{bmatrix} \begin{bmatrix} \tilde{I} \\ \Phi_1 \\ \Phi_2 \\ \dot{Z}_\delta \\ Z_\delta \end{bmatrix} + \begin{bmatrix} \frac{1}{K_\sigma k_{\phi\sigma}} \\ 0 \\ 0 \\ 0 \\ 0 \end{bmatrix} U_a + \begin{bmatrix} 0 & 0 \\ 0 & 0 \\ 0 & 0 \\ \frac{1}{M} & -1 \\ 0 & 0 \end{bmatrix} \begin{bmatrix} F_e \\ \ddot{Z}_s \end{bmatrix} \quad (2.33)$$

$$\begin{bmatrix} Z_\delta \\ I \\ \ddot{Z}_m \end{bmatrix} = \begin{bmatrix} 0 & 0 & 0 & 0 & 1 \\ 1 & -\frac{K_{\phi 1}}{K_\sigma k_{\phi\sigma}} & -\frac{K_{\phi 2}}{K_\sigma k_{\phi\sigma}} & 0 & 0 \\ 0 & -\frac{1}{M} C_{I1} & -\frac{1}{M} C_{I2} & 0 & \frac{1}{M} C_\delta \end{bmatrix} \begin{bmatrix} \tilde{I} \\ \Phi_1 \\ \Phi_2 \\ \dot{Z}_\delta \\ Z_\delta \end{bmatrix} + \begin{bmatrix} 0 & 0 \\ 0 & 0 \\ \frac{1}{M} & 0 \end{bmatrix} \begin{bmatrix} F_e \\ \ddot{Z}_s \end{bmatrix}$$

$$K_\sigma = \left. \frac{dF_1}{dI} \right|_{\Lambda_0}; \quad \tilde{K}_{\phi 11} = \frac{b_{12} - b_{22}}{b_{11} b_{22} - b_{12} b_{21}}; \quad \tilde{K}_{\phi 12} = \frac{b_{11} - b_{21}}{b_{11} b_{22} - b_{12} b_{21}};$$

$$\tilde{K}_{\phi 11} = \frac{b_{22}}{K_{I1} (b_{11} b_{22} - b_{12} b_{21})} \quad \text{unde} \quad K_{I1} = \left. \frac{d\Phi_1}{d(I - b_{11}\Phi_1 - b_{12}\Phi_2)} \right|_{\Lambda_0}; \quad \tilde{K}_{\phi 21} = \frac{b_{21}}{K_{I1} (b_{11} b_{22} - b_{12} b_{21})};$$

$$\tilde{K}_{\phi 12} = \frac{b_{12}}{K_{I2} (b_{11} b_{22} - b_{12} b_{21})} \quad \text{unde} \quad K_{I2} = \left. \frac{d\Phi_2}{d(I - b_{11}\Phi_1 - b_{12}\Phi_2)} \right|_{\Lambda_0}; \quad \tilde{K}_{\phi 22} = \frac{b_{11}}{K_{I2} (b_{11} b_{22} - b_{12} b_{21})};$$

$$C_{I1} = \left. \frac{\partial F_1}{\partial \Phi_1} \right|_{\Lambda_0}; \quad C_{I2} = \left. \frac{\partial F_2}{\partial \Phi_2} \right|_{\Lambda_0}$$

$$\tilde{K}_{\delta 1} = \frac{K_{I1} K_{\delta 2} b_{12} - K_{I2} K_{\delta 1} b_{22}}{K_{I1} K_{I2} (b_{11} b_{22} - b_{12} b_{21})} \quad \text{unde} \quad K_{\delta 1} = -k_{F1} \left. \frac{\partial \Phi_1}{\partial Z_\delta} \right|_{\Lambda_0} \text{ și } K_{\delta 2} = -k_{F2} \left. \frac{\partial \Phi_2}{\partial Z_\delta} \right|_{\Lambda_0}$$

$$\tilde{K}_{\delta 2} = \frac{K_{I1} K_{\delta 2} b_{11} - K_{I2} K_{\delta 1} b_{21}}{K_{I1} K_{I2} (b_{11} b_{22} - b_{12} b_{21})}$$

$$C_\delta = - \left. \frac{\partial (k_{F1} F_1(\cdot, Z_\delta) + k_{F2} F_2(\cdot, Z_\delta))}{\partial Z_\delta} \right|_{\Lambda_0}$$

(ii) Pornind de la oricare din schemele bloc ale SES-LL prezentate la pot. 2.1.1.1. și de la c.d.f. din fig.2.8 și fig.2.9 se pot dezvolta alte MM de ordin superior ale SES-LL. Astfel, plecând de la schema bloc din fig.2.4 se obține schema bloc din fig.2.11. Cele patru blocuri cu dinamica nenominalizată reprezintă blocuri pentru care se impun corecții prin reidentificare pe baza caracteristicilor de frecvență din figurile notate în interiorul lor. În acest scop se recomandă procedee de identificare deterministă cu semnale sinusoidale [78, 163, 55, 135]. Metoda propusă se va ilustra utilizând numai caracteristicile din fig. 2:8. Rezultatul obținut poate fi completat folosind și caracteristicile din fig.2.9. Procedeele de identificare este prezentat în anexa I, relațiile de calcul nefiurind în literatură. Astfel considerind pentru

SES-1L punctul de funcționare  $\Lambda_2$ , pe baza alurii c.d.f. din fig.2.8 poate aprecia că transferul informației atât prin blocul ①, cât și în blocul ② corespunde, în gama de frecvențe considerată, unui ET-PMT<sub>2</sub>, avind f.d.t.

$$G_{①}(s) = \frac{5,03}{1 + 0,1128 s} + \frac{3,22}{1 + 0,00359 s} \neq C_I = \text{const.};$$

$$G_{②}(s) = \frac{0,45}{1 + 0,137 s} + \frac{0,9897}{1 + 0,00313 s} \neq C_S = \text{const.}$$

Ordinile de mărime ale coeficienților de transfer și ale constantelor de timp sînt reprezentative pentru procesul studiat. Generalizînd aceste rezultate se poate admite că dinamica transmiterii informației cure forță este caracterizată de o f.d.t. (cu toți parametrii pozitivi) de forma:

$$G_{①}(s) = \frac{C_{I1}}{1 + T_{I1}s} + \frac{C_{I2}}{1 + T_{I2}s}, \quad (2.34)$$

iar dinamica transmiterii informației întrefier-forță de o f.d.t. (cu toți parametrii pozitivi) de forma:

$$G_{②}(s) = \frac{C_{S1}}{1 + T_{S1}s} + \frac{C_{S2}}{1 + T_{S2}s}. \quad (2.35)$$

Considerînd pentru blocurile ③ și ④ aceeași structură ca și în fig 2.4, detalierea schemei bloc din fig.2.11 conduce la schema bloc din fig. 2.12, respectiv la MM-ISI (2.36), care constituie un al doilea MM-ISI de ordin superior al SES-1L.

$$\begin{bmatrix} Z_S \\ \dot{Z}_S \\ I \\ X_{I1} \\ X_{I2} \\ X_{S1} \\ X_{S2} \end{bmatrix} = \begin{bmatrix} 0 & 1 & 0 & 0 & 0 & 0 & 0 \\ 0 & 0 & 0 & -\frac{1}{M} & -\frac{1}{M} & \frac{1}{M} & \frac{1}{M} \\ 0 & -\frac{1}{RT} & -\frac{1}{T} & 0 & 0 & 0 & 0 \\ 0 & 0 & \frac{C_{I1}}{T_{I1}} & -\frac{1}{T_{I1}} & 0 & 0 & 0 \\ 0 & 0 & \frac{C_{I2}}{T_{I2}} & 0 & -\frac{1}{T_{I2}} & 0 & 0 \\ \frac{C_{S1}}{T_{S1}} & 0 & 0 & 0 & 0 & -\frac{1}{T_{S1}} & 0 \\ \frac{C_{S2}}{T_{S2}} & 0 & 0 & 0 & 0 & 0 & -\frac{1}{T_{S2}} \end{bmatrix} \begin{bmatrix} Z_S \\ \dot{Z}_S \\ I \\ X_{I1} \\ X_{I2} \\ X_{S1} \\ X_{S2} \end{bmatrix} + \begin{bmatrix} 0 \\ 0 \\ \frac{1}{RT} \\ 0 \\ 0 \\ 0 \\ 0 \end{bmatrix} U_a + \begin{bmatrix} 0 & 0 \\ \frac{1}{M} & -1 \\ 0 & 0 \\ 0 & 0 \\ 0 & 0 \\ 0 & 0 \\ 0 & 0 \end{bmatrix} \begin{bmatrix} F_e \\ \ddot{Z}_s \end{bmatrix}$$

$$\begin{bmatrix} Z_S \\ I \\ \ddot{Z}_m \end{bmatrix} = \begin{bmatrix} 1 & 0 & 0 & 0 & 0 & 0 & 0 \\ 0 & 0 & 1 & 0 & 0 & 0 & 0 \\ 0 & 0 & 0 & -\frac{1}{M} & -\frac{1}{M} & \frac{1}{M} & \frac{1}{M} \end{bmatrix} \begin{bmatrix} Z_S \\ \dot{Z}_S \\ I \\ X_{I1} \\ X_{I2} \\ X_{S1} \\ X_{S2} \end{bmatrix} + \begin{bmatrix} 0 & 0 \\ 0 & 0 \\ \frac{1}{M} & 0 \end{bmatrix} \begin{bmatrix} F_e \\ \ddot{Z}_s \end{bmatrix}. \quad (2.36)$$

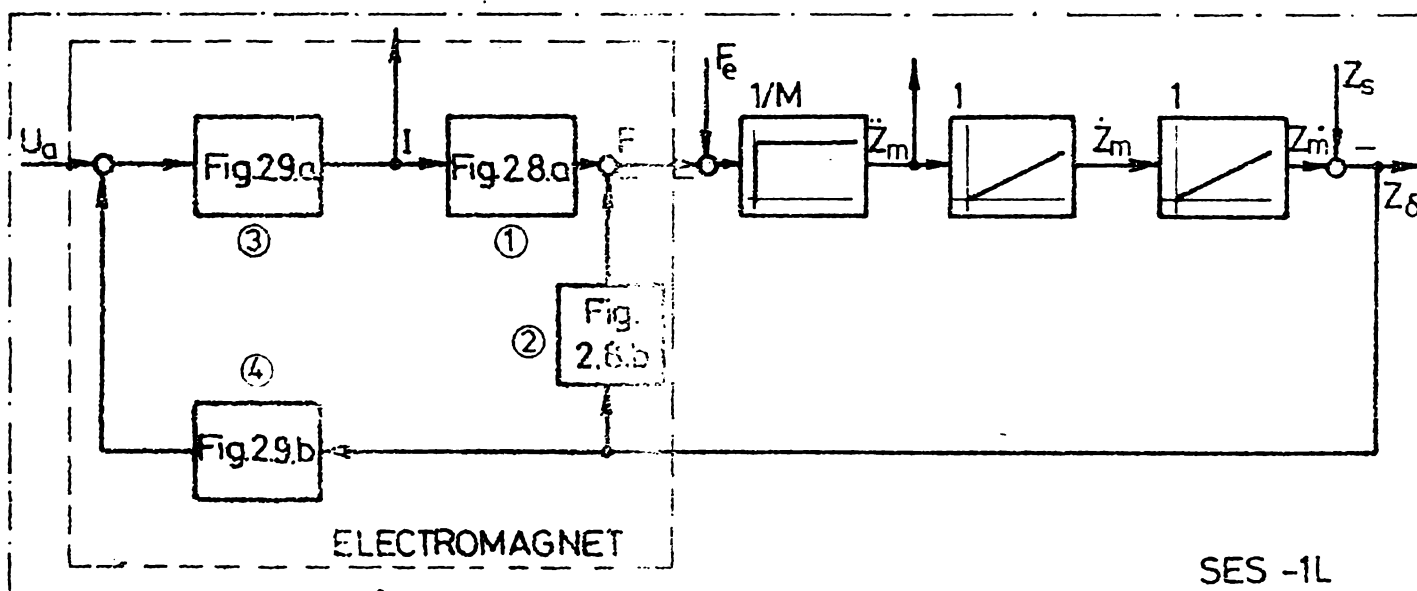


Fig. 2.11. Schemă bloc structurată a SES-1L utilizată pentru deducerea celui de al doilea MM de ordin superior.

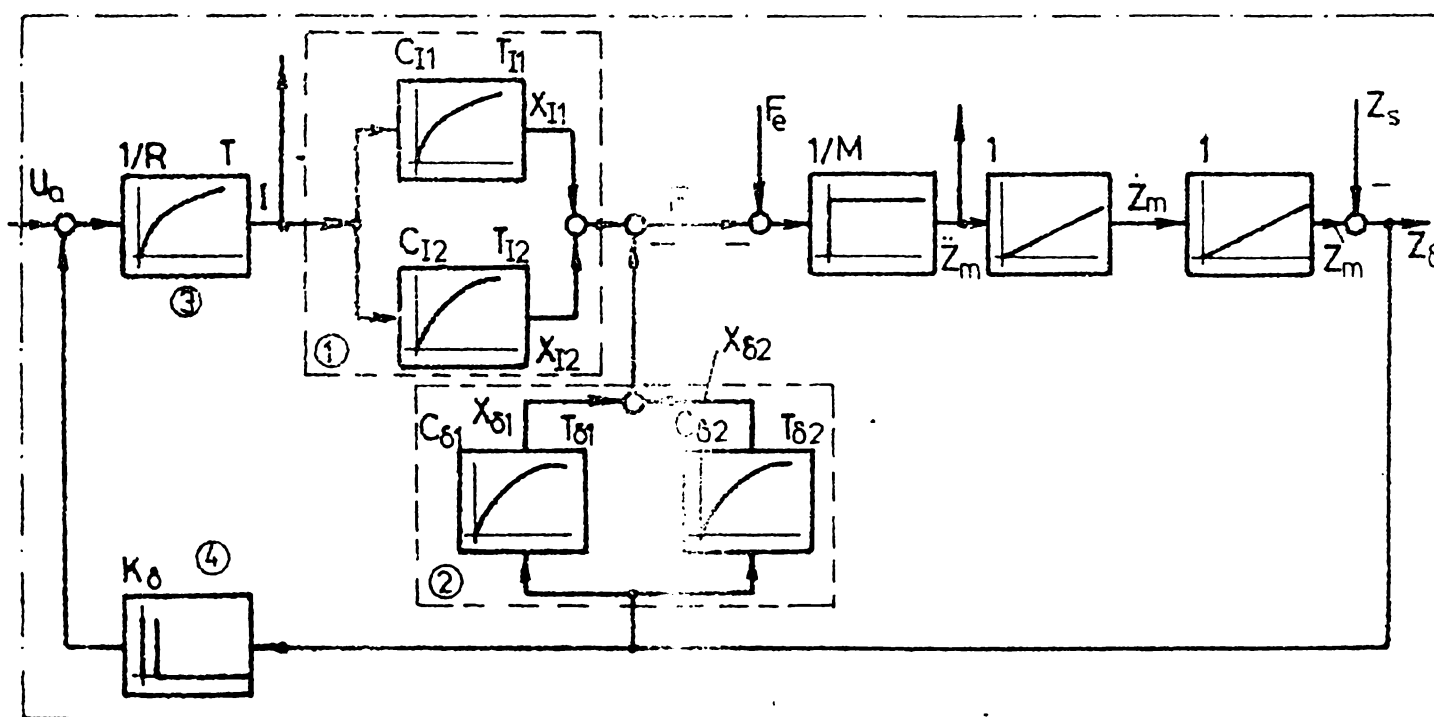


Fig. 2.12. Schema bloc structurată a celui de al doilea MM de ordin superior al SES-1L.

Evident, dacă s-ar fi considerat și c.d.f. din fi. 2.9 pentru modificarea structurii blocurilor (3) și (4), în locul MM-ISI (2.36) ar fi rezultat un MM de un ordin și mai mare.

Analizînd MM dezvoltate la punctele (i) și (ii) rezultă următoarele aspecte: (1<sup>o</sup>) MM de ordin superior se pot dezvolta numai prin identificarea experimentală, necesitînd disonibilitatea unui sistem experimental dotat cu aparatură specializată; (2<sup>o</sup>) în cazul (ii), în afară de derivativ cu cele de ordin redus, conduce la complexitatea p.d.v. al strategiei de reglare; (3<sup>o</sup>) obținerea rezultatului în cazul (ii) este mai simplă decît

în cazul (i); (4°) ambele procedee permit dezvoltarea unor MM cu structuri și mai ample decât cele ale sistemelor (2.33) și (2.36).

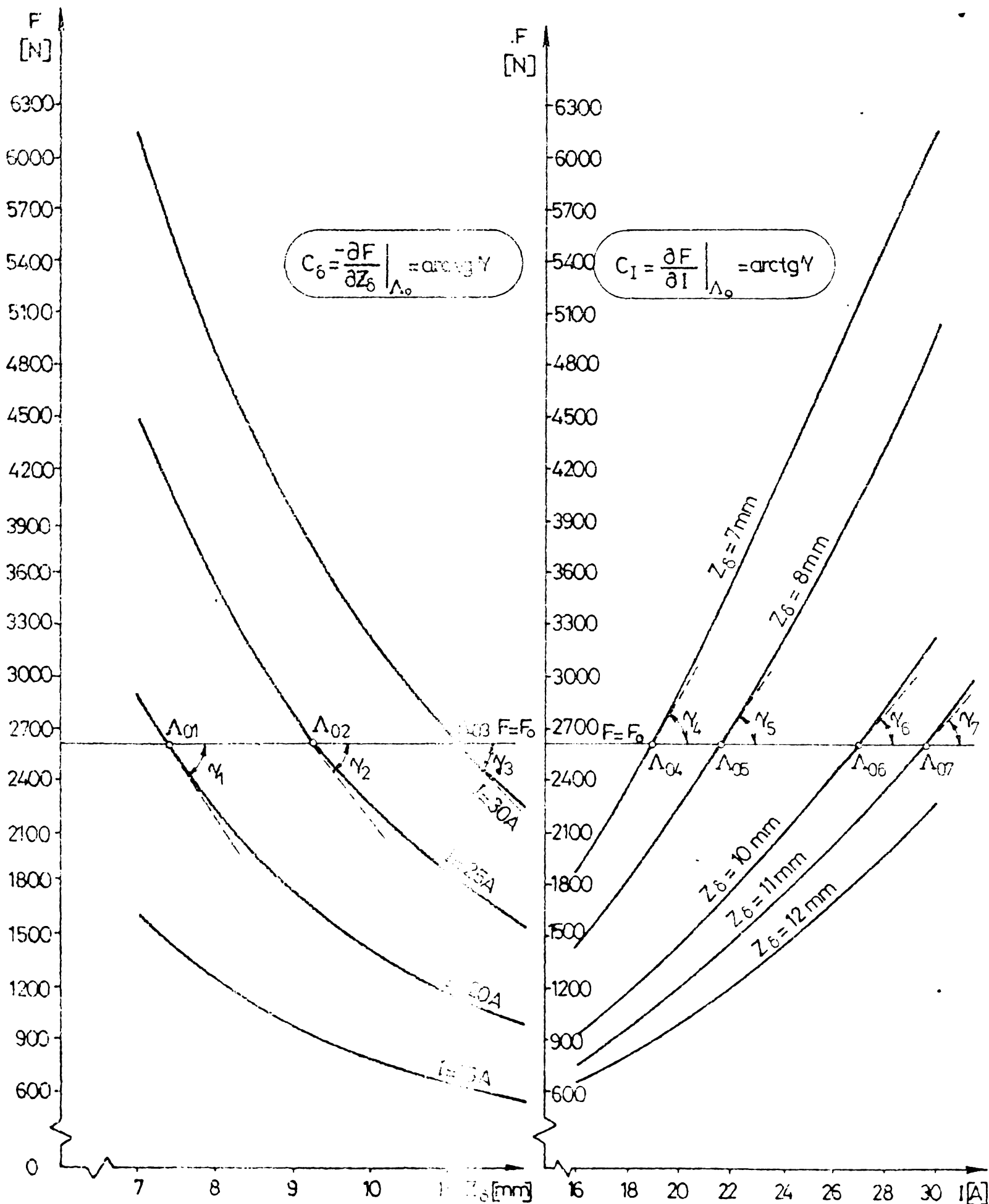
### 2.1.3. Dependența parametrilor SES-1L și a coeficienților modelelor matematice de ordin redus ale acestuia de punctul nominal de funcționare.

Aproximarea prin liniarizare după tangentă este valabilă în vecinătăți „înguste” ale punctului nominal de funcționare staționară  $\Lambda_0$  considerat. Astfel MM (2.9), MM (2.19) ÷ (2.20) precum și toate MM derivate ulterior din acesta sînt de valabilitate limitată, valorile coeficienților fiind de fapt dependente de punctul de funcționare momentan. O strategie de reglare care poate să țină seama de acest aspect este reglarea adaptivă. Cu toate acestea rezultate foarte bune se obțin și prin reglarea SES-1L cu reglatoare cu coeficienți constanți. Pentru proiectarea lor este important să se cunoască dependența coeficienților MM liniare ale SES-1L în funcție de masa  $M$  și întrefierul  $Z_{\delta_0}$ , mărimi ce contribuie la definirea punctului nominal (v. rel.(2.6)). Problema interesează din trei puncte de vedere:

- (i) estimarea variației coeficienților în procesul de reglare;
- (ii) aprecierea calității SLEM-1L la funcționarea într-un punct diferit de cel în care s-a făcut liniarizarea, ca urmare a acțiunii diferitelor cauze;
- (iii) reducerea volumului de calcule ale unui regulator optimal pentru un punct nominal oarecare prin utilizarea datelor corespunzătoare unui punct nominal cunoscut [79] (v. anexa VIII).

O imagine de ansamblu asupra modului de variație a coeficienților  $C_{\delta}$ ,  $C_I$ ,  $K_{\delta}$  și  $K_I$  o oferă caracteristicile statice din fig. 2.13 și fig. 2.14. Ele corespund rel.(2.6):  $F_0 = F(I_0, Z_{\delta_0})$ , respectiv  $\Psi_0 = \Psi(I_0, Z_{\delta_0})$ . În fig. 2.15 sînt reprezentate caracteristicile statice  $C_{\delta}$ ,  $C_I$ ,  $K_{\delta}$ ,  $K_I = f(M)$  de parametru  $Z_{\delta}$  și  $C_{\delta}$ ,  $C_I$ ,  $K_{\delta}$ ,  $K_I = f(Z_{\delta})$  de parametru  $M$ . SES-1L pentru care s-au trasat aceste caracteristici are datele (v. fig. 3.1):  $n = 0,038$  m;  $a = 0,027$  m;  $w = 0,118$  m;  $b = 0,24$  m;  $d = 0,020$  m; o bobină cu 384 spire distribuite în mod egal pe cele două coloane;  $F_{e0} = 0$ . Calculele s-au efectuat folosind relațiile aferente cazului T-5 de estimare teoretică a parametrilor SES-1L (v. pct. 2.1.1). Curba de magnetizare a miezului feromagnetic s-a luat după [119]. În fig. 2.13 și fig. 2.14 se indică totodată și modul de interpretare grafică al rel. (2.10).  $\Lambda_{01}$  reprezintă diverse puncte nominale.

D.p.d.v. al MM-ISI ne interesează în mod neajlocit variațiile parametrilor primari  $K_I$ ,  $K_{\delta}$ ,  $C_I$  și  $\delta$  și variațiile acelor combinații ale acestora care apar ca și coeficienți în MM-ISI. Astfel pentru MM-ISI



**Fig. 2.13.** Caracteristicile statice ale forței electromagnetice  $F$  a unui SES-1L (datele sistemului sînt precizate în textul pct. 2.1.3).

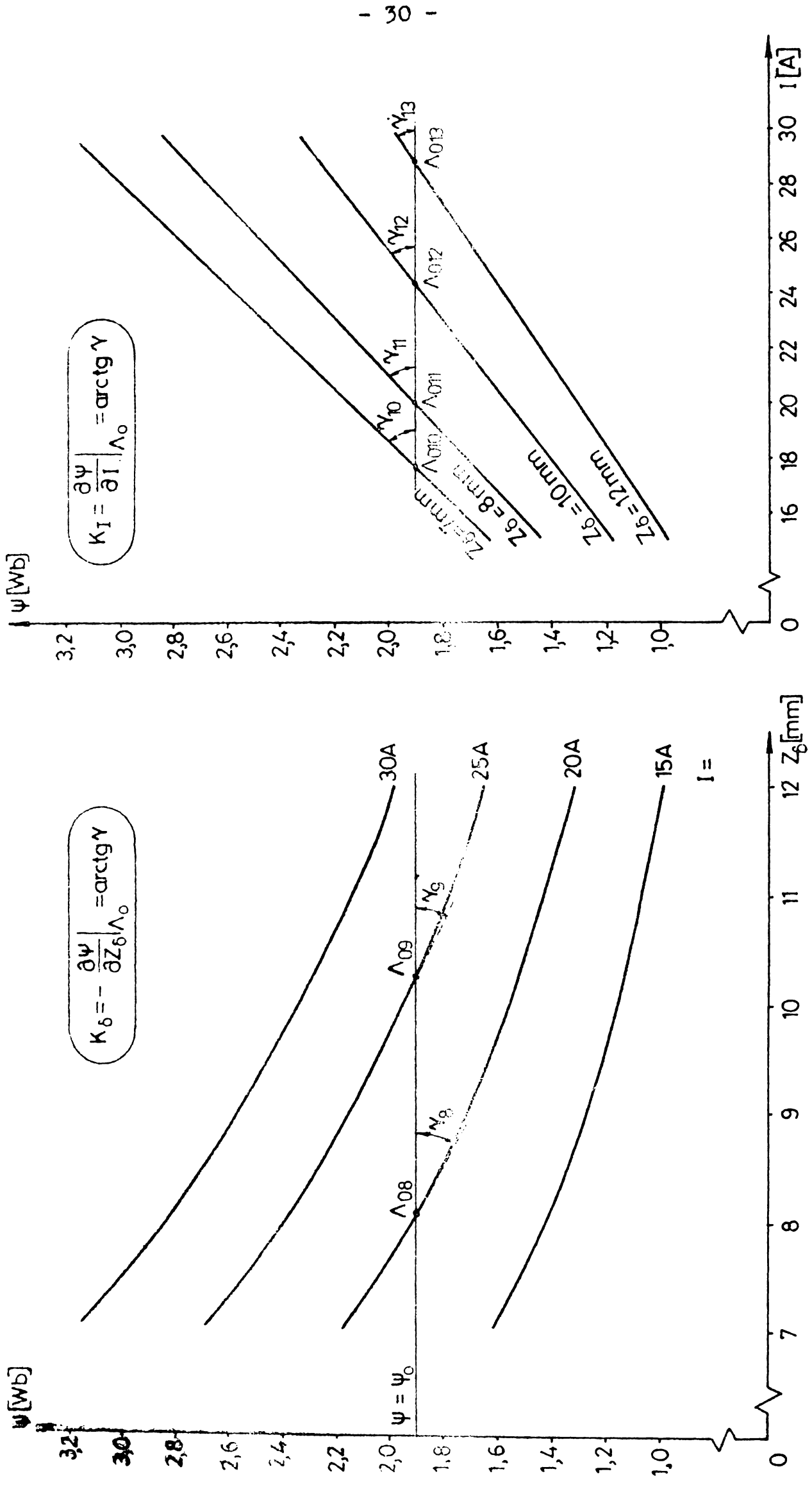


Fig. 2.14. Caracteristicile statice ale înlăntuirii magnetice  $\psi$  a unui SES-1L (datele sistemului sînt precizate în cadrul pct. 2.1.3).

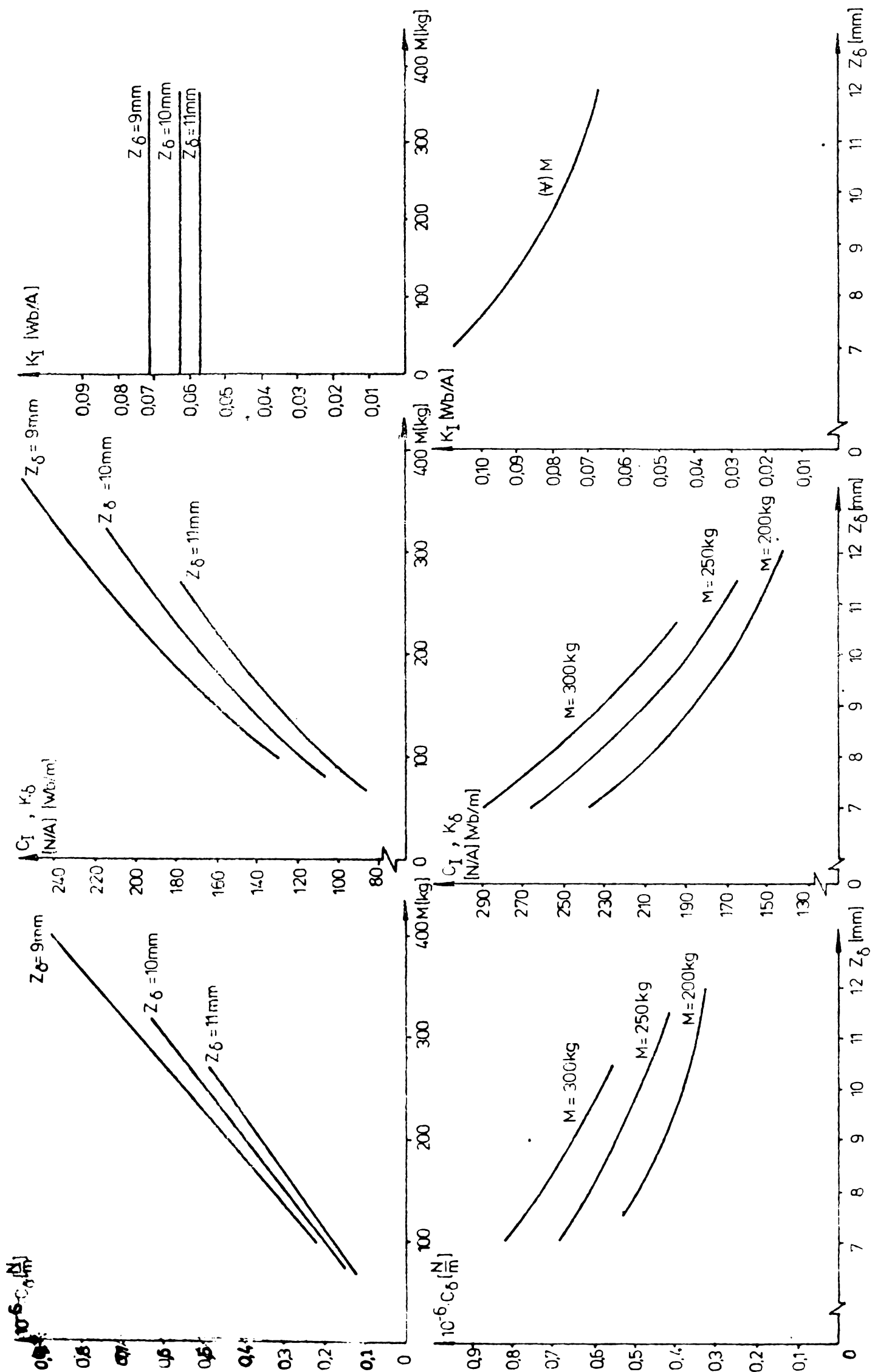


Fig. 2.15. Caracteristicile statice ale parametrilor primari ai unui SES-1L (datele sistemului sînt precizate în cadrul pct. 2.1.3).



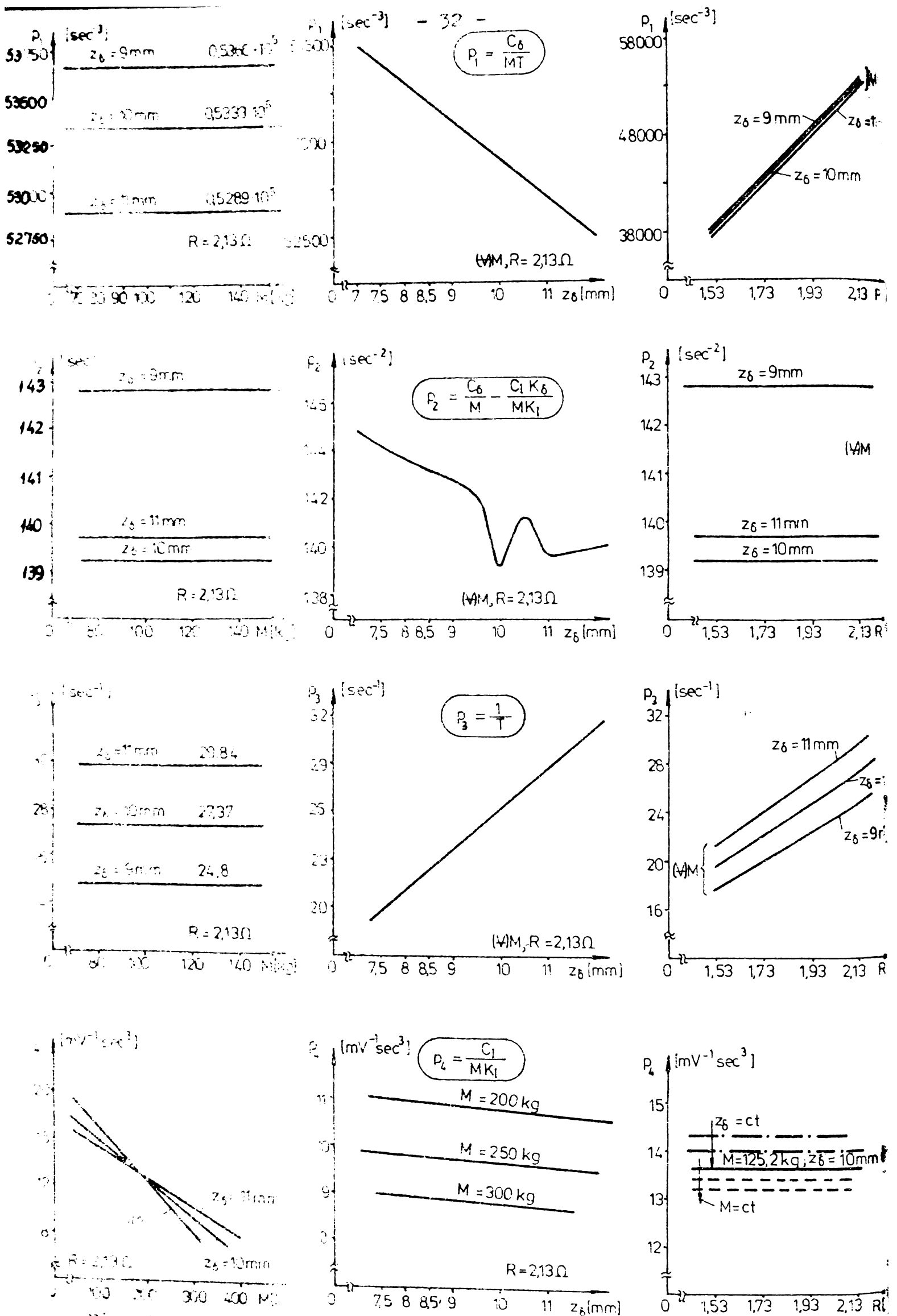


Fig. 2.16. Caracteristicile statice a patru dintre parametrii MM-IS<sub>1</sub> (2.19)+(2.20) de vector de stare  $\underline{X}_1$  (datele conform pct. 2.15)

(2.19) + (2.20), de vector de stare  $X_1$  (v. tabelul 2.1), prezintă interes cunoașterea variațiilor coeficienților:  $p_1 = \frac{C_g}{MT}$ ,  $p_2 = \frac{C_g}{M} - \frac{C_I K_g}{MK_I}$ ,  $p_3 = \frac{1}{T}$ ,  $p_4 = \frac{C_I}{MK_I}$ ,  $p_5 = \frac{C_g}{C_I}$ ,  $p_6 = \frac{M}{C_I}$  ș.a.m.d. În fig. 2.16 sînt redat

te variațiile primilor patru coeficienți în funcție de  $M$ ,  $Z_g$  și de  $R$ . Referitor la caracteristicile din fig.2.15 și fig.2.16 sînt de reținut mai multe aspecte: (1<sup>o</sup>) Coeficienții ce apar în MM-ISI prezintă variații mai reduse în raport cu  $M$  și  $Z_g$  decît parametrii primari; (2<sup>o</sup>) estimarea corectă a valorii lui  $R$  este foarte importantă datorită dependenței pronunțate a unora din coeficienți de valoarea acesteia și ca urmare a necesității proiectării regulatorului pentru o valoare a rezistenței corespunzătoare regimului de durată al SES-1L; (3<sup>o</sup>) admitînd că dependențele staționare sînt valabile și în regim dinamic și avînd în vedere faptul că pentru VPM - dintre mărimile  $M$ ,  $Z_g$  și  $R$  - mărimea  $Z_g$  prezintă variațiile cele mai importante, rezultă că singurul coeficient cu o variație semnificativă este  $\frac{1}{T}$  ( $\pm 12,5\%$  la o variație de întrefier de  $\pm 2$  mm); (4<sup>o</sup>) variațiile coeficienților MM-ISI ale SES-1L în raport cu  $M$ ,  $Z_g$  și  $R$  pot fi exprimate cu o bună aproximație prin dependențe liniare utilizabile atît la analiza SLEM-1L cît și la proiectarea acestuia pentru diverse date nominale, în sensul precizării (iii) de la începutul acestui paragraf.

#### 2.1.4. Modele matematice neliniare.

SES-1L din fig. 2.1 constituie un proces neliniar pentru care este posibilă dezvoltarea mai multor MM neliniare și în unele cazuri, din acestea, a unor MM liniarizate (v. pct. 2.1.2).

Un prim MM neliniar este alcătuit din ecuațiile fundamentale (2.1)+(2.5) interpretate ca sistem conform schemei bloc structurale din fig. 2.2. Caracteristicile aferente blocurilor neliniare nu pot fi determinate sub formă literală, ci în formă numerică, concretă, pentru fiecare SES-1L în parte, cu ajutorul unor programe adecvate bazate pe calcule de câmp electromagnetic [2,126,19,20,174,124,184,11]. Principala calitate a unui astfel de model o reprezintă modelarea mai fidelă a diferitelor neliniari

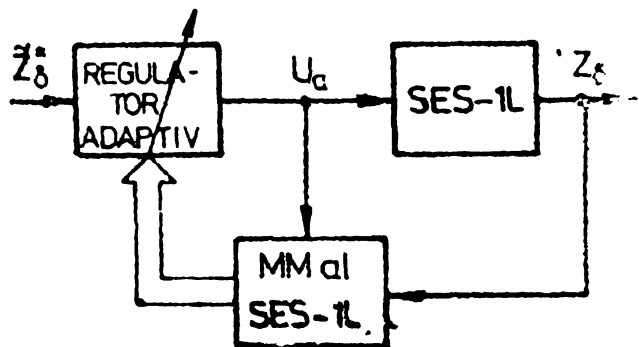


Fig. 2.17. Schemă bloc pentru reglarea adaptivă a întrefierului unui SES-1L folosind un model al SES-1L.

rități, iar utilizarea de cel mai mare interes ar reprezenta-o reglarea adaptivă a întrefierului SES-1L (fig. 2.17). Complexitatea algoritmilor și programelor aferente constituie în prezent principalul impediment al aplicării acestui principiu de reglare datorită incompatibilității dintre viteza de calcul și viteza proceselor din SES-1L.

În literatura de specialitate există și sînt utilizate în diverse scopuri și alte MM neliniare ale SES-LL, de forma (2.1) ÷ (2.5), conținînd pentru relațiile neliniare anumite expresii de aproximare [175,77].

Un al doilea MM neliniar al SES-LL se datorează lui Senatori [151] și este constituit din ec.(2.32) completate cu dependențele neliniare:

$$\theta_{Fei} = k_1 I_{\epsilon i} (1 + k_2 Z_{\delta}) / Z_{\delta} ; \quad i = 1, 2 \quad (2.38)$$

$$\Phi_i = f_2(\theta_{Fei}), \quad i = 1, 2 \quad (2.39)$$

$$F_i = k_3 \Phi_i^2 / (1 + k_4 Z_{\delta})^2, \quad i = 1, 2 \quad (2.40)$$

în care:

$$I_{\epsilon 1} = I - b_{11} \dot{\Phi}_1 - b_{12} \dot{\Phi}_2, \quad I_{\epsilon 2} = I - b_{21} \dot{\Phi}_1 - b_{22} \dot{\Phi}_2. \quad (2.41)$$

Această categorie de MM se pretează la ajustarea modelului electromagnetului pe calculator analogic, după schema bloc din fig.2.18, folosind în acest scop o familie de caracteristici statice  $F = F(I, Z_{\delta})$  ridicate experimental, ca și caracteristici de frecvență experimentale de forma celor din fig.2.8 și fig.2.9. Strategia de ajustare urmărește într-o primă etapă determinarea coeficienților  $k_1, \dots, k_4$ , iar într-o a doua etapă a coeficienților  $b_{11}, \dots, b_{22}$  și apoi  $k_{\phi}$ . Totodată trebuie menționat că schema de modelare poate ține seama și de următoarele două aspecte: (i) variația conductanței  $G_e$  cu temperatura  $\theta$  și (ii) influența curenților turbionari induși în șină ca urmare a deplasării electromagneților în raport cu aceasta (blocul și legăturile corespunzătoare s-au reprezentat cu linie întreruptă). Se neglijează influența fenomenului de histerezis.

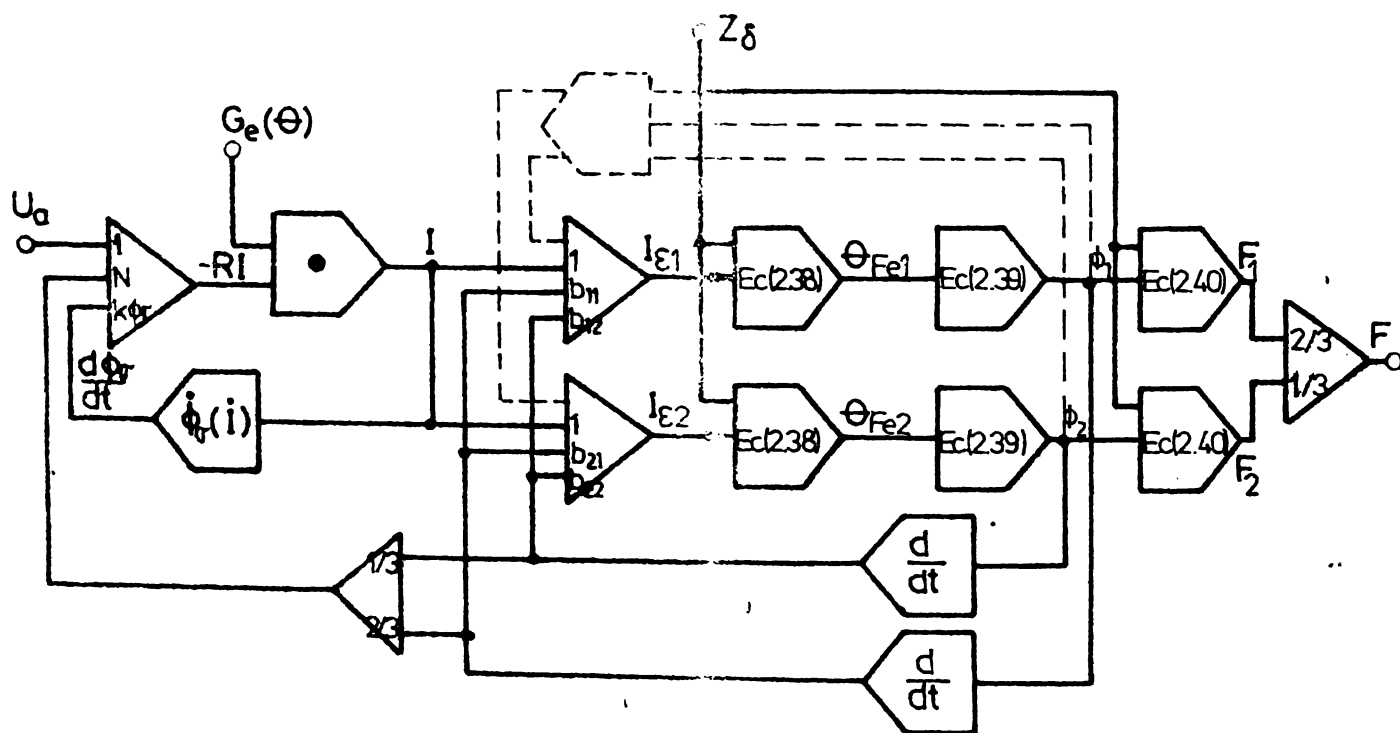


Fig. 2.16. Schema bloc structurală a electromagnetului unui SES-LL, corespunzătoare ec.(2.32.1)÷(2.32.4) și ec.(2.38)÷(2.41).

Acest MM se poate utiliza în două scopuri: (i) comanda SES-IL prin reglare adaptivă (fig.2.17); (ii) simularea mai precisă a comportării SES-IL în cadrul SLEM atunci când proiectarea regulatorului s-a efectuat pe baza MM liniarizate.

Un al treilea MM neliniar important rezultă din [112]. El ține seamă atât de fenomenul de histerezis magnetic, cât și de cel de saturație. Considerarea acestora se face prin admiterea unui ciclu de histerezis de lățime constantă, egală cu dublul intensității cimpului magnetic coercitiv  $H_c$ , și limitarea inducției magnetice din miezul feromagnetic printr-o valoare maximă de saturație  $B_{sat}$ . MM este alcătuit din ec. (2.42) și îi corespunde schema bloc din fig. 2.19.

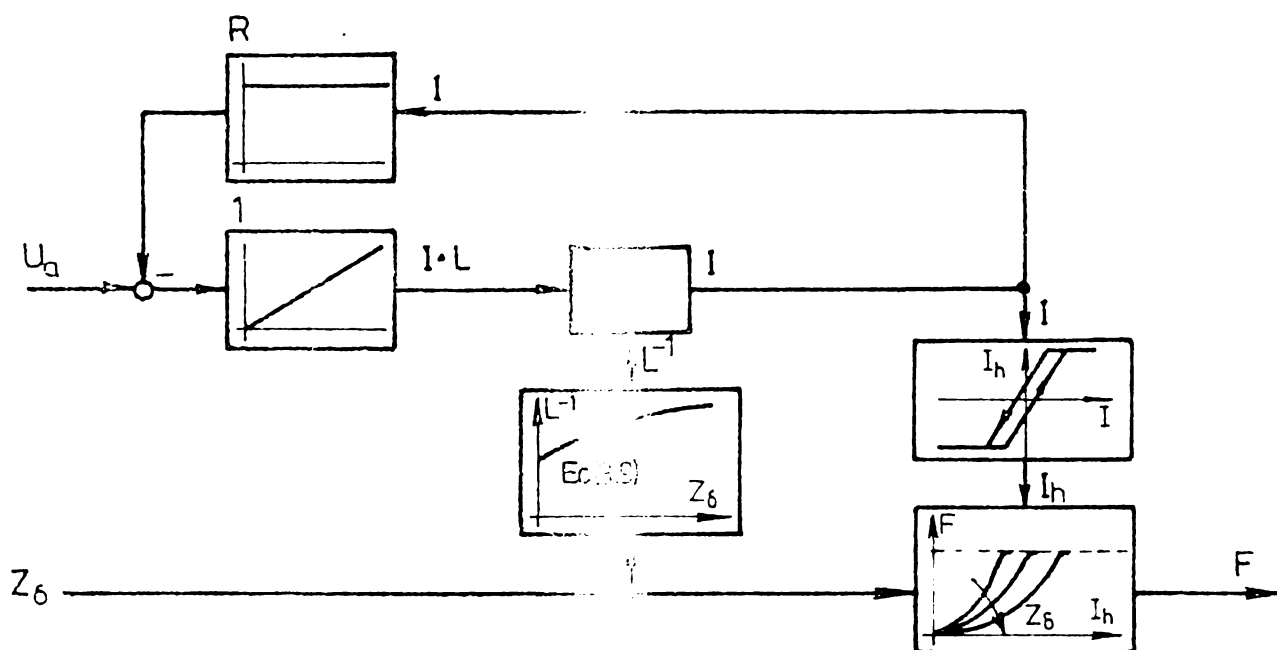


Fig. 2.19. Schema bloc structurală corespunzătoare celui de-al treilea MM neliniar al SES-IL.

$$I(t) = [L(t)]^{-1} \int (U_a(t) - RI(t)) dt ; \quad (2.42.1)$$

$$[L(t)]^{-1} = f_1(Z_\delta(t)) ; \quad (2.42.2)$$

$$I_h(t) = f_2(I(t)) ; \quad (2.42.3)$$

$$F(t) = F(I_h(t), Z_\delta(t)). \quad (2.42.4)$$

În aceste relații:

$$L(t) = \tilde{L}(\infty) + \frac{\tilde{L}_0}{Z_\delta(t)/Z_{\delta 0} + q} \quad (2.43)$$

$$I_h(t) = \begin{cases} I(t) - I_{h0} & , \text{ pentru } I(t) > 0 \\ I(t) + I_{h0} & , \text{ pentru } I(t) < 0 \end{cases} \quad (2.44.1)$$

este componenta curentului de excitație ce contribuie la creerea forței electromagnetice  $F$ , iar

$$I_{h0} = l_{re} K_c / N \quad (2.44.2)$$

este componenta curentului de excitație ce nu contribuie la creerea lui  $F$  ( $l_{re}$  - lungimea liniei de câmp în fier,  $N$  - numărul de spire ale bobinei).

nei de excitație);

$$F(t) = \begin{cases} \frac{2 L_o I_h^2(t)}{2 Z_{\delta o} (2 + Z_{\delta}(t)/Z_{\delta o})^2} & \text{pentru } \frac{2 L_o I_h^2(t)}{2 Z_{\delta o} (2 + Z_{\delta}(t)/Z_{\delta o})^2} < F_{sat} = \frac{ab}{\mu_o} \left( \frac{\Lambda_m}{\Lambda_m + \Lambda_{\sigma}} \right)^2 B_{sat} \\ F_{sat} & \text{pentru } \frac{2 L_o I_h^2(t)}{2 Z_{\delta o} (2 + Z_{\delta}(t)/Z_{\delta o})^2} > F_{sat} \end{cases} \quad (2.45)$$

În ultima relație a și b sînt dimensiunile unei tălpi polare a electro magnetului (v. fig.3.1),  $\Lambda_m$  reprezintă permeanța circuitului magneti principal, iar  $\Lambda_{\sigma}$  permeanța de dispersie a electromagnetului. Restul mărimilor au semnificația precizată la pct. 3.1.1.

Un al patrulea model matematic nelinier este cel care co- respunde situației cînd sursa de alimentare a electromagnetului, care reprezintă elementul de execuție al SLEM-1L, are o impedanță interioară ce nu mai poate fi neglijată în raport cu cea a bobinei electromag- netului. Într-un astfel de caz, puterea maximă a sursei ce furnizează tensiunea  $U_a$  nu depășește cu mult puterea de comandă necesară, dinami- ca stabilirii curentului I depinzînd și de impedanța sursei, care este de regulă un element nelinier.

## 2.2. Modelarea unui sistem electromagnet-șină cu cinci grade de libertate.

### 2.2.1. Definierea sistemului electromagnet-șină cu cinci grade de libertate.

Dintre numeroasele SES-ML în continuare se denumește „sistem electro- magnet-șină cu cinci grade de libertate” (SES-5L sau sistem ES-5L) sistemul din fig. 2.20 alcătuit din:

- (i) blocurile de distribuție a comenzilor și sursele de alimentare a electromagneților de sustentare și de ghidare \*);
- (ii) electromagneții de sustentare și electromagneții de ghidare;
- (iii) cadrul (boghiul) purtător de electromagneți împreună cu gine- le de sustentare și de ghidare (calea de glisare).

Referitor la cadrul cu electromagneți se fac următoarele ipoteze (v. fig.2.21 și fig.2.22):

- (i) Cadrul este perfect rigid și are forma unei plăci dreptunghiula- re subțiri. În cursul mișcării el se menține practic în poziție orizontală, paralel cu planul xOy al referențialului fix Oxyz.
- (ii) Masa  $M$  a cadrului, ce include și masa electromagneților și a încălzitorilor cadrului este uniform distribuită pe suprafața lui.

\* Pentru a evita confuzia termenilor în continuare în locul termenului „ghidare laterală” se utilizează termenul „ghidare”.

- (iii) Pe cadru sînt amplasați 8 electromagneți: patru electromagneți de susținere și patru electromagneți de ghidare. Forțele rezultante ale electromagneților de susținere  $F_{S1}, \dots, F_{S4}$  acționează asupra cadrului în punctele 1, 2, 3 și 4 după direcții paralele cu axa Oz. Forțele rezultante ale electromagneților de ghidare  $F_{G1}, \dots, F_{G4}$  acționează asupra cadrului în punctele 1', 2', 3' și 4' după direcții paralele cu axa Oy. Distanțele care se iau în considerație pentru calculul momentelor determinate de aceste forțe sînt indicate în fig.2.22.
- (iv) Dinamica electromagneților se ia în considerație prin ecuații de forma (2.9).
- (v) Starea SES-5L este perturbată de cauze de același tip ca și cele din cazul SES-1L: 1<sup>o</sup>. modificarea poziției șinelor de susținere și a șinelor de ghidare; 2<sup>o</sup>. acțiunea unor forțe și momente exterioare. Aceste cauze au fost surprinse în fig.2.20 prin vectorii  $\underline{Z}_S$  și  $\underline{Y}_G$ , respectiv prin forțele și momentele perturbatoare echivalente  $\vec{F}_e$  și  $\vec{M}_e$ .

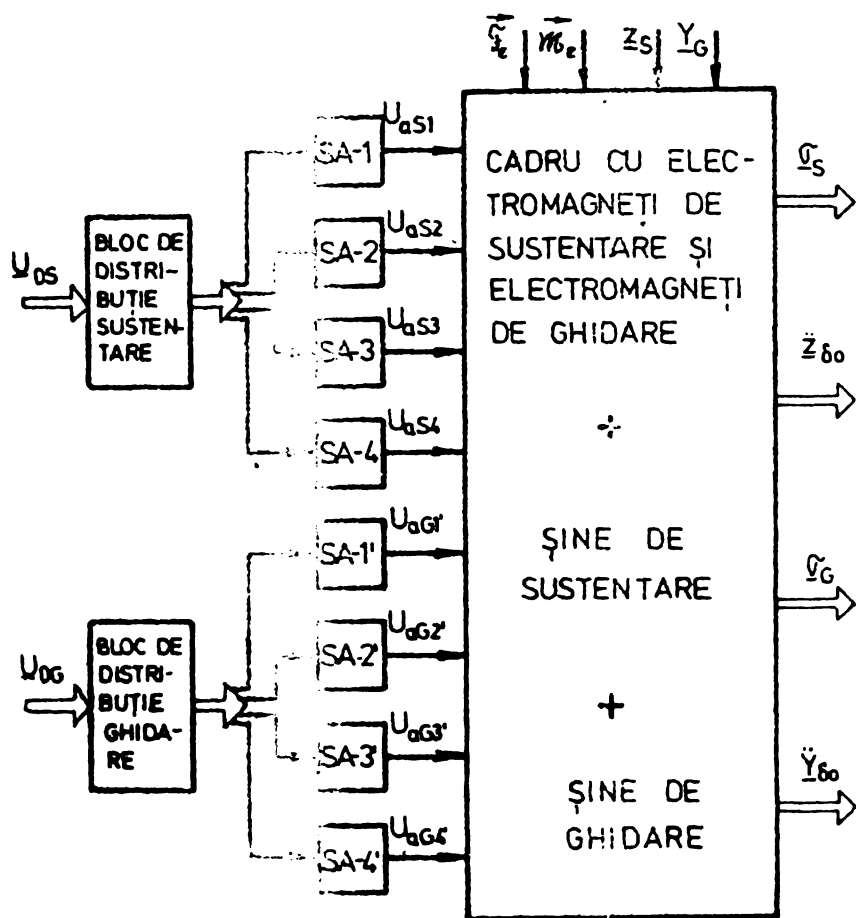


Fig. 2.20. Schema bloc a SES-5L.

( $U_{OS}, U_{OG}$  - tensiuni de comandă corespunzătoare celor cinci grade de libertate; SA-p sursă de alimentare a electromagnetului din punctul p;  $U_{aSi}$  - tensiuni de comandă a electromagneților de susținere;  $U_{aGj}$  - tensiuni de comandă a electromagneților de ghidare;  $\vec{F}_e$  și  $\vec{M}_e$  - forțe și momente exterioare echivalente ce acționează asupra cadrului cu electromagneți;  $\underline{Z}_S$  și  $\underline{Y}_G$  - cotele șinelor de susținere și ordonatele șinelor de ghidare față de un referențial fix;  $\underline{G}_S, \underline{G}_G$  - întrefieruri echivalente corespunzătoare celor cinci grade de libertate;  $\underline{Z}_{\delta_0}$  și  $\underline{Y}_{\delta_0}$  - accelerațiile mișcării după grupurile de grade de libertate.

Coordonatele centrului de masă C al cadrului cu electromagneți în raport cu referențialul fix Oxyz sînt:  $x_G, y_G, z_G$ .  $x^*y^*z^*$  și  $Cx^*y^*z^*$  sînt

două sisteme de referință cu originea în C; primul este solidar cu cadrul, iar al doilea își păstrează în permanență axele paralele cu axele referențialului Oxyz.

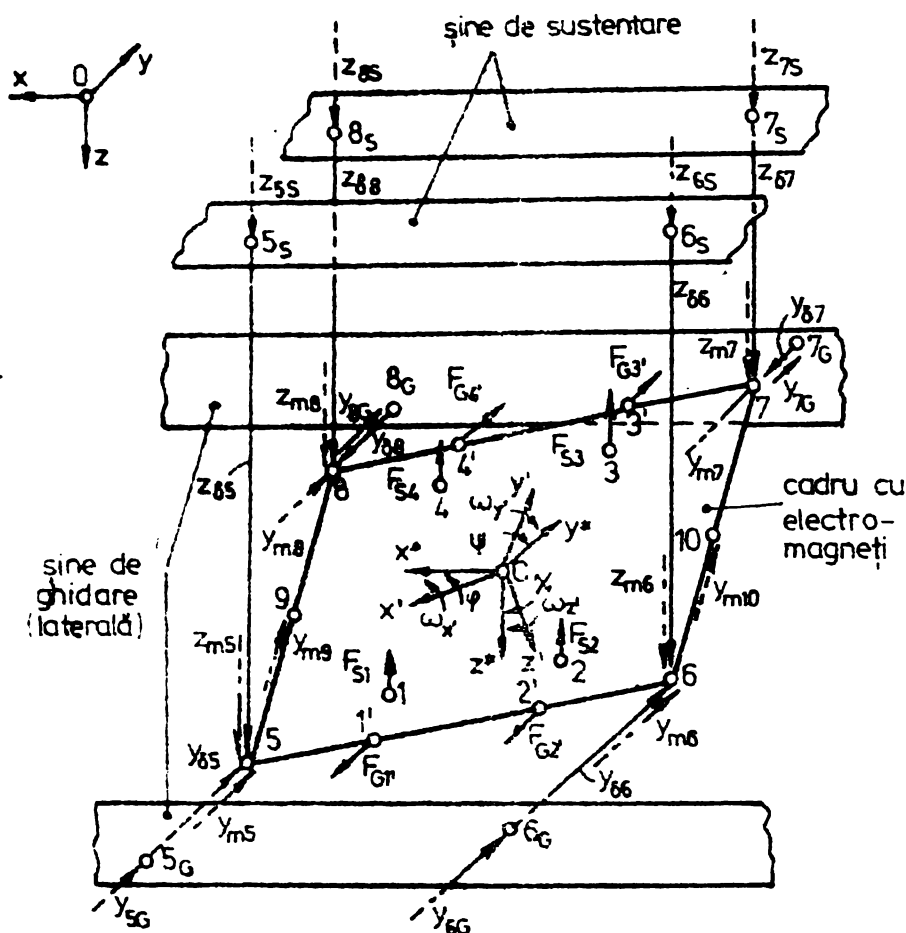


Fig.2.21. Cadrul cu electro-magneți al SES-5L împreună cu șinele de sustentare și de ghidare. (În locul electro-magneților au fost reprezentate numai forțele echivalente pe care aceștia le dezvoltă și care acționează asupra cadrului).

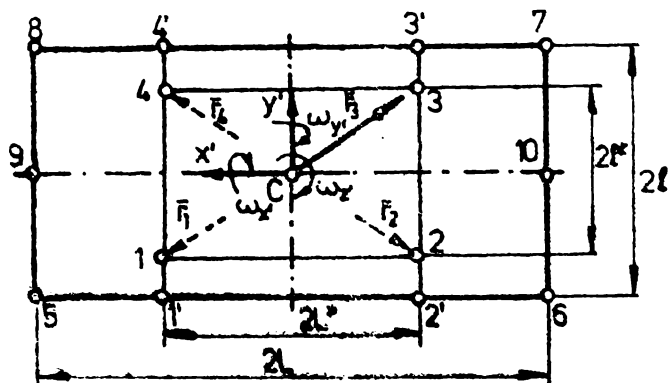


Fig.2.22. Dimensiuni referitoare la cadrul cu electro-magneți al SES-5L. SES-5L este instabil. El se poate stabiliza comandînd sursele - și prin acestea electro-magneții - în circuit încins, SRA rezultat fiind denumit „sistem cu levitație electromagnetică cu cinci grade de libertate” (SLEM-5L sau sistem LEM-5L). Traductoarele de întrefier și accelerație ale acestuia se găsesc amplasate în cele patru colțuri - punctele 5, 6,

7 și 8 ale cadrului cu electromagneți. Ele măsoară întrefierurile  $z_{\delta 5}, \dots, z_{\delta 8}$  în plan vertical, întrefierurile  $y_{\delta 5}, \dots, y_{\delta 8}$  în plan orizontal, accelerațiile  $\ddot{z}_{m5}, \dots, \ddot{z}_{m8}$  în plan vertical și accelerațiile  $\ddot{y}_{m5}, \dots, \ddot{y}_{m8}$  în plan orizontal. Cu  $z_{m5}, \dots, z_{m8}$ , respectiv  $y_{m5}, \dots, y_{m8}$  s-au notat cotele celor patru extremități, respectiv ordonatele lor în raport cu referențialul Oxyz. Pe aceleași direcții pozițiile șinelor de susținere, respectiv ale șinelor de ghidare față de referențialul Oxyz sînt precizate prin cotele  $z_{5S}, \dots, z_{8S}$ , respectiv ordonatele  $y_{5G}, \dots, y_{8G}$ . Referitor la șinele de susținere (ghidare) se face ipoteza: - șinele de susținere (ghidare) reprezintă suprafețe generate prin mișcarea unor segmente de dreaptă - perpendiculare (paralele), în tot cursul mișcării, pe (cu) axa Oz - în lungul unor curbe ce determină geometria traseului în plan vertical (orizontal).

În consecință poziția fiecărei șine este independentă de a celorlalte.

Sursele de alimentare SA ale electromagneților se presupun că sînt generatoare ideale de tensiune continuă; ele furnizează tensiunile de comandă  $U_{aS1}, \dots, U_{aS4}$  pentru electromagneții de susținere și  $U_{aG1}, \dots, U_{aG4}$  pentru cei de ghidare. Comanda surselor se face de către blocurile de distribuție în funcție de cele cinci tensiuni de comandă, cuprinse în vectorii  $\underline{U}_{oS}$  și  $\underline{U}_{oG}$ , corespunzătoare celor cinci grade de libertate ale mișcării cadrului. Tensiunile de comandă forțează prin bobinele aferente curenții  $I_{S1}, \dots, I_{S4}$ , respectiv  $I_{G1}, \dots, I_{G4}$ , care determină, în funcție de valoarea întrefierurilor din dreptul armăturilor electromagneților, forțele de atracție electromagnetică  $F_{S1}, \dots, F_{S4}$ , respectiv  $F_{G1}, \dots, F_{G4}$ .

Toate mărimile menționate pînă aici, cu excepția masei M și a dimensiunilor cadrului cu electromagneți sînt funcții de timp. În afara masei, pentru dinamica SES-5L sînt importante și anumite momente de inerție. Ele vor fi menționate ulterior.

Studiul SES-5L este legat de două aspecte aplicative: (i) realizarea unor mese vibratoare silențioase de mare tonaj; (ii) realizarea unor VPM cu levitație electromagnetică, propulsate după axa x [124,11,73]. Interacțiunea dintre subsistemele de propulsare și de levitare, precum și deplasarea cadrului, determină o modificare a forțelor de susținere și de ghidare. Pentru simplificarea calculelor se consideră că aceste interacțiuni nu se manifestă prin modificarea valorilor forțelor  $F_{Si}$  și  $F_{Gj}$  ci prin intermediul forțelor perturbatoare echivalente menționate.

După cunoștința autorului, literatura de specialitate nu abordează în mod sistematic problema modelării SES-5L. În mai multe comunicări și în câteva articole sînt menționate însă diverse aspecte ale problemei. Astfel:



Zander [191] definește în 1972 un SES-5L asemănător celui considerat în teză, precizând un mod de distribuire a tensiunilor de comandă și menționând necesitatea reducerii mărimilor măsurate. Von Thun și Zimmermann prezintă în următorii doi ani lucrările [169,170,168] în care precizează scheme bloc pentru subsistemele de sustentare și de ghidare ale unui SES-ML, valabile în ipoteza separabilității efectelor acțiunilor electromagneților se sustentare de cele ale electromagneților de ghidare. Schemele bloc menționate sînt date în mărimi normate, mărimile de bază nefiind precizate. În [168] se consideră un subsistem de sustentare cu patru grade de libertate, pe cînd în [169,170] cu trei grade de libertate, lipsind o justificare riguroasă pentru maniera de distribuție a comenzilor și de reducere a mărimilor măsurate. În lucrările [63,64], Gottstein și colaboratorii prezintă un SES-ML avînd o structură mult mai amplă (un sistem de ordinul  $n = 20$ ) utilizat de firma MBB pentru simularea sistemului de suspensie al unui VPM, în condițiile unui cadru cu electromagneți fixați elastic și a unor șine de sustentare elastice. În toate aceste lucrări dinamica cadrului cu electromagneți se consideră, fără a se da justificări, prin ecuații de aproximare de forma (2.57).

Unele aspecte ale dinamicii cadrului cu electromagneți sînt tratate în [84,66,155]. MM-II stabilite în operațional sînt simplificate mult și analizate insuficient.

Alte referiri cu privire la SES-ML se găsesc în lucrările [188,9, 93,121].

În acest paragraf se prezintă o tratare sistematică a problemei modelării SES-5L definit anterior, plecînd de la dinamica cadrului cu electromagneți (pct.2.2.2) și continuînd cu modelarea subsistemului de sustentare (pct.2.2.3) și a subsistemului de ghidare (pct.2.2.4) a căror separabilitate este justificată riguros. Studiul se încetează cu stabilirea MM al SES-5L (pct.2.2.5), demonstrîndu-se că sistemul prevăzut cu blocuri adecvate de distribuție a comenzilor și de reducere a mărimilor măsurate se comportă ca un sistem autonom după cele cinci grade de libertate (suspensie, ruluu, tangaj, alunecare, rotație), subsistemele corespunzătoare fiecărui grad de libertate fiind reductibile la același sistem abstract, numit sistem electromagnet-șină de bază, cu o structură asemănătoare SES-1L.

Originalitatea studiului de față constă în punerea și dezvoltarea problemei, modelarea SES-5L fiind tratată, în ipotezele precizate, în mod unitar și complet. MM-ISI dedus pentru sistem nu figurează în literatură. Metodica de lucru prezentată se pretează și pentru modelarea altor SES-ML.

### 2.2.2. Modelarea dinamicii cadrului cu electromagneți.

Modelarea dinamicii cadrului cu electromagneți se face plecînd de la a treia formă scalară a ecuațiilor dinamicii rigidului [110] :

$$M \ddot{x}_C(t) = \mathcal{F}_{ax}(t) + \mathcal{F}_{px}(t) \quad (2.46-1)$$

$$M \ddot{y}_C(t) = \mathcal{F}_{ay}(t) + \mathcal{F}_{py}(t) \quad (2.46-2)$$

$$M \ddot{z}_C(t) = \mathcal{F}_{az}(t) + \mathcal{F}_{pz}(t) \quad (2.46-3)$$

$$J_{x'} \dot{\omega}_{x'}(t) + (J_{z'} - J_{y'}) \omega_{y'}(t) \omega_{z'}(t) = \mathcal{M}_{aCx'}(t) + \mathcal{M}_{pCx'}(t) \quad (2.46-4)$$

$$J_{y'} \dot{\omega}_{y'}(t) + (J_{x'} - J_{z'}) \omega_{z'}(t) \omega_{x'}(t) = \mathcal{M}_{aCy'}(t) + \mathcal{M}_{pCy'}(t) \quad (2.46-5)$$

$$J_{z'} \dot{\omega}_{z'}(t) + (J_{y'} - J_{x'}) \omega_{x'}(t) \omega_{y'}(t) = \mathcal{M}_{aCz'}(t) + \mathcal{M}_{pCz'}(t) \quad (2.46-6)$$

Ec.(2.46-1) + (2.46-3) sînt ecuațiile de proiecție pe axele referențialului  $Oxyz$  ale relației ce exprimă teorema mișcării centrului de masă  $C$ , iar ec.(2.46-4) + (2.46-6) sînt ecuațiile de proiecție pe axele reperului  $Cx'y'z'$  ale relației ce exprimă teorema momentului cinetic în raport cu centrul de masă. În aceste relații:

$$\mathcal{F}_{ax} \bar{i} + \mathcal{F}_{ay} \bar{j} + \mathcal{F}_{az} \bar{k} = \vec{\mathcal{F}}_a \quad \text{și} \quad \mathcal{F}_{px} \bar{i} + \mathcal{F}_{py} \bar{j} + \mathcal{F}_{pz} \bar{k} = \vec{\mathcal{F}}_p$$

sînt rezultantele forțelor exterioare active, respectiv pasive. În acord cu fig.2.21 și cu considerațiile aferente:

$$\mathcal{F}_{ax} = 0, \quad \mathcal{F}_{ay} = -F_{G1} - F_{G2} + F_{G3} + F_{G4}, \quad \mathcal{F}_{az} = -F_{S1} - F_{S2} - F_{S3} - F_{S4}, \quad (2.47-1)$$

$$\mathcal{F}_{px} = \mathcal{F}_{py} = \mathcal{F}_{pz} = 0. \quad (2.47-2)$$

**Mărimile:**

$$\mathcal{M}_{aCx'} \bar{i}' + \mathcal{M}_{aCy'} \bar{j}' + \mathcal{M}_{aCz'} \bar{k}' = \vec{\mathcal{M}}_a \quad \text{și} \quad \mathcal{M}_{pCx'} \bar{i}' + \mathcal{M}_{pCy'} \bar{j}' + \mathcal{M}_{pCz'} \bar{k}' = \vec{\mathcal{M}}_p$$

sînt momentele rezultante în raport cu  $C$  ale solicitărilor exterioare active, respectiv pasive, aplicate cadrului și calculate în raport cu axele  $Cx'$ ,  $Cy'$  și  $Cz'$ . În absența forțelor și momentelor exterioare perturbatoare

$$\left. \begin{aligned} \mathcal{M}_{aCx'} &= L^* (F_{S1} + F_{S2} - F_{S3} - F_{S4}) \\ \mathcal{M}_{aCy'} &= L^* (F_{S1} - F_{S2} - F_{S3} + F_{S4}) \\ \mathcal{M}_{aCz'} &= L^* (-F_{G1} + F_{G2} - F_{G3} + F_{G4}) \end{aligned} \right\} \quad (2.48-1)$$

$$\mathcal{M}_{pCx'} = \mathcal{M}_{pCy'} = \mathcal{M}_{pCz'} = 0. \quad (2.48-2)$$

$J_{x'}$ ,  $J_{y'}$ ,  $J_{z'}$  sînt momentele centrale de inerție ale cadrului cu electromagneți. Axele sale centrale de inerție coincidînd cu axele reperului  $Cx'y'z'$  rezultă:

$$J_{x'} = \frac{M}{3} l^2; \quad J_{y'} = \frac{M}{3} L^2; \quad J_{z'} = \frac{M}{3} (l^2 + L^2). \quad (2.49)$$

În fine  $\omega_{x'}$ ,  $\omega_{y'}$ ,  $\omega_{z'}$  reprezintă proiecțiile vectorului viteză unghiulară instantanee pe axele reperului  $Cx'y'z'$  :

$$\vec{\omega} = \omega_{x'} \bar{i}' + \omega_{y'} \bar{j}' + \omega_{z'} \bar{k}' \quad (2.50)$$

În acord cu teorema de compunere a rotațiilor elementare [198], mișcarea unui rigid în jurul unui punct se caracterizează prin trei grade de

libertate, cărora le corespund trei rotații elementare. Un astfel de grup de rotații se obține spre exemplu cu ajutorul celor trei unghiuri ale lui Euler [110,160]. În cazul de față, suprapunerea reperului  $Cx^*y^*z^*$  peste reperul  $Cx'y'z'$  se va face utilizând un alt grup de trei rotații elementare consecutive și anume: o primă rotație în jurul axei  $Cx^*$  cu un unghi  $\varphi$ , o a doua rotație în jurul axei  $Cy^*$  (aflată în noua poziție) cu un unghi  $\psi$  și o ultimă rotație în jurul axei  $Cz^*$  (ajunsă după a doua rotație în poziția finală  $Cz'$ ) cu un unghi  $\chi$  [201]. Relațiile de legătură între versorii  $\bar{i}, \bar{j}, \bar{k}$  ai reperului  $Cx^*y^*z^*$  (peste care reperul  $Cx'y'z'$  a fost suprapus inițial) și versorii  $\bar{i}', \bar{j}', \bar{k}'$  ai reperului  $Cx'y'z'$  (aflat în poziție finală) fiind:

$$\begin{aligned} \bar{i}' &= \bar{i} \cos \psi \cos \chi + \bar{j} (\cos \varphi \sin \chi + \sin \varphi \sin \psi \cos \chi) + \bar{k} (\sin \varphi \sin \chi + \cos \varphi \sin \psi \cos \chi) \\ \bar{j}' &= -\bar{i} \cos \psi \sin \chi + \bar{j} (\cos \varphi \cos \chi - \sin \varphi \sin \psi \sin \chi) + \bar{k} (\sin \varphi \cos \chi + \cos \varphi \sin \psi \sin \chi) \\ \bar{k}' &= \bar{i} \sin \psi - \bar{j} \sin \varphi \cos \psi + \bar{k} \cos \varphi \cos \psi \end{aligned} \quad (2.51)$$

iar vectorul viteză unghiulară instantanee corespunzător compunerii celor trei rotații elementare având expresia:

$$\vec{\omega} = \dot{\varphi} \bar{i} + \dot{\psi} (\bar{j} \cos \varphi + \bar{k} \sin \varphi) + \dot{\chi} (\bar{i} \sin \psi - \bar{j} \sin \varphi \cos \psi + \bar{k} \cos \varphi \cos \psi), \quad (2.52)$$

prin identificarea rel.(2.50) și (2.52) și utilizarea rel.(2.51) rezultă:

$$\begin{aligned} \omega_{x'} &= \dot{\varphi} \cos \psi \cos \chi + \dot{\psi} \sin \chi \\ \omega_{y'} &= -\dot{\varphi} \cos \psi \sin \chi + \dot{\psi} \cos \chi \\ \omega_{z'} &= \dot{\varphi} \sin \psi + \dot{\chi} \end{aligned} \quad (2.53)$$

Ec.(2.46) necesită totodată și explicitarea componentelor accelerației unghiulare instantanee față de reperul  $Cx'y'z'$ , adică:

$$\vec{\varepsilon} = \frac{d\vec{\omega}}{dt} = \dot{\omega}_{x'} \bar{i}' + \dot{\omega}_{y'} \bar{j}' + \dot{\omega}_{z'} \bar{k}' .$$

Ele se obțin prin derivare din rel.(2.53) :

$$\begin{aligned} \dot{\omega}_{x'} &= \ddot{\varphi} \cos \psi \cos \chi - \dot{\varphi} \dot{\psi} \sin \psi \cos \chi - \dot{\varphi} \dot{\chi} \cos \psi \sin \chi + \ddot{\psi} \sin \chi + \dot{\psi} \dot{\chi} \cos \chi \\ \dot{\omega}_{y'} &= -\ddot{\varphi} \cos \psi \sin \chi + \dot{\varphi} \dot{\psi} \sin \psi \sin \chi - \dot{\varphi} \dot{\chi} \cos \psi \cos \chi + \ddot{\psi} \cos \chi - \dot{\psi} \dot{\chi} \sin \chi \\ \dot{\omega}_{z'} &= \ddot{\varphi} \sin \psi + \dot{\varphi} \dot{\psi} \cos \psi + \ddot{\chi} \end{aligned} \quad (2.54)$$

Având în vedere valorile foarte mici ale lui  $\varphi, \psi$  și  $\chi$  ce corespund posibilităților de mișcare ale cadrului cu electromagneți, rel.(2.54) se aproximează prin:

$$\dot{\omega}_{x'} = \ddot{\varphi} ; \quad \dot{\omega}_{y'} = \ddot{\psi} ; \quad \dot{\omega}_{z'} = \ddot{\chi} \quad (2.55)$$

Notarea unghiurilor  $\varphi, \psi$  și  $\chi$  s-a făcut pe baza acestor relații de aproximare, direcțiile  $\varphi, \psi$  și  $\chi$  fiind asociate, respectiv, direcțiilor  $x', y'$  și  $z'$  după regula burghiului drept. În consecință:

$$\vec{\varepsilon} = \ddot{\varphi} \bar{i}' + \ddot{\psi} \bar{j}' + \ddot{\chi} \bar{k}' .$$

Neglijind în produsele  $\omega_y, \omega_z, \omega_x$  și  $\omega_x, \omega_y$ , termenii de același ordin de mărime <sup>cei</sup> care au permis trecerea de la rel.(2.54) la rel.(2.55) rezultă un al doilea grup de relații de aproximare:

$$\omega_y, \omega_z, \omega_x, \omega_y = 0. \quad (2.56)$$

Înlocuind acum rel.(2.47), (2.48), (2.55) și (2.56) în ec.(2.54) se obține forma (2.57) a ecuațiilor simplificate ale dinamicii cadrului cu electromagneți, valabile în absența unor forțe și momente perturbatoare:

$$\left. \begin{aligned} M \ddot{x}_C &= 0; \quad M \ddot{y}_C = -F_{G1}, -F_{G2}, +F_{G3}, +F_{G4}; \quad M \ddot{z}_C = -F_{S1} - F_{S2} - F_{S3} - F_{S4} \\ J_x \ddot{\varphi} &= L^*(F_{S1} + F_{S2} - F_{S3} - F_{S4}) \\ J_y \ddot{\psi} &= L^*(F_{S1} - F_{S2} - F_{S3} + F_{S4}) \\ J_z \ddot{\chi} &= L^*(-F_{G1}, +F_{G2}, +F_{G3}, +F_{G4}). \end{aligned} \right\} (2.57)$$

În ipoteza că asupra cadrului cu electromagneți acționează și forțe și momente exterioare (active) perturbatoare (nereprezentate în fig.2.21) echivalate prin forțele și momentele  $F_{ex}, F_{ey}, F_{ez}, \mathcal{M}_{e\varphi}, \mathcal{M}_{e\psi}$  și  $\mathcal{M}_{ex}$  ce se manifestă, respectiv, după direcțiile  $x, y, z, \varphi, \psi$  și  $\chi$ , analog ec. (2.57) se obțin ecuațiile simplificate ale dinamicii cadrului cu electromagneți, (2.58) + (2.60), valabile în prezența forțelor și momentelor exterioare perturbatoare:

$$M \ddot{x}_C = F_{ex}; \quad (2.58)$$

$$\left. \begin{aligned} M \ddot{z}_C &= -F_{S1} - F_{S2} - F_{S3} - F_{S4} + F_{ez} \\ J_x \ddot{\varphi} &= L^*(F_{S1} + F_{S2} - F_{S3} - F_{S4}) + \mathcal{M}_{e\varphi}; \quad J_y \ddot{\psi} = L^*(F_{S1} - F_{S2} - F_{S3} + F_{S4}) + \mathcal{M}_{e\psi} \end{aligned} \right\} (2.59)$$

$$\left. \begin{aligned} M \ddot{y}_C &= -F_{G1}, -F_{G2}, +F_{G3}, +F_{G4}, +F_{ey} \\ J_z \ddot{\chi} &= L^*(-F_{G1}, +F_{G2}, -F_{G3}, +F_{G4}) + \mathcal{M}_{ex} \end{aligned} \right\} (2.60)$$

Gruparea de mai sus a ecuațiilor cadrului urmărește să evidențieze faptul că, datorită ipotezei orizontalității practice a cadrului și ca urmare a amplasării centrului de masă C în planul în care acționează forțele electromagneților de ghidare mișcarea după direcțiile  $z, \varphi$  și  $\psi$  ( $z$  - mișcare de suspensie,  $\varphi$  - mișcare de ruluu,  $\psi$  - mișcare de tangaj) este determinată numai de forțele de susținere, iar cea după direcțiile  $y$  și  $\chi$  ( $y$  - mișcare de alunecare,  $\chi$  - mișcare de girație) este determinată numai de forțele de ghidare. Făcînd abstracție de mișcarea după axa  $x$ , neinfluențată - în ipotezele făcute ( $\vec{F}_{Si} = -F_{Si} \vec{k}$  și  $\vec{F}_{Gi} = +F_{Gi} \vec{j}$ ) - de forțele dezvoltate de electromagneți, ec.(2.59) și (2.60) permit să se vorbească d.p.d.v. al acțiunii electromagneților despre o decuplare (matematică) a celor cinci grade de libertate, cadrul efectuînd simultan o mișcare determinată de forțele de susținere (grupul  $z, \varphi, \psi$ ) și o mișcare determinată de forțele de ghidare (grupul  $y, \chi$ ). În ec.(2.59) și (2.60) forțele și momentele perturbatoare se consideră pozitive atunci cînd ele acționează în sensul pozitiv al direcțiilor pe care le modifică.

În continuare se folosesc următoarele notații:

$$\underline{F}_S = [F_{S1} \ F_{S2} \ F_{S3} \ F_{S4}]^T \quad (2.61-1)$$

pentru vectorul forțelor electromagnetice de susținere,

$$\underline{F}_G = [F_{G1} \ F_{G2} \ F_{G3} \ F_{G4}]^T \quad (2.61-2)$$

pentru vectorul forțelor electromagnetice de ghidare,

$$\underline{P}_S = \left[ F_{ez} \ \frac{\mathcal{M}_{e\psi}}{l^*} \ \frac{\mathcal{M}_{e\psi}}{L^*} \right]^T, \quad \underline{P}_G = \left[ F_{ey} \ \frac{\mathcal{M}_{ex}}{L^*} \right]^T \quad (2.61-3)$$

pentru vectorii mărimilor pondero-motoare exterioare perturbatoare ce acționează asupra subsistemului de susținere, respectiv de ghidare,

$$\underline{D}_S = \frac{1}{4} \begin{bmatrix} 1 & -1 & -1 \\ 1 & -1 & 1 \\ 1 & 1 & 1 \\ 1 & 1 & -1 \end{bmatrix}, \quad \underline{D}_G = \frac{1}{4} \begin{bmatrix} 1 & 1 \\ 1 & -1 \\ -1 & 1 \\ -1 & -1 \end{bmatrix} \quad (2.61-4)$$

pentru matricile de distribuție ale subsistemelor de susținere, respectiv de ghidare,

$$\underline{J}_S = \text{diag} \left[ M, \frac{J_{x'}}{I^*}, \frac{J_{y'}}{L^*} \right], \quad \underline{J}_G = \text{diag} \left[ M, \frac{J_{z'}}{L^*} \right] \quad (2.61-5)$$

pentru matricile de inerție ale subsistemelor de susținere, respectiv de ghidare,

$$\underline{z}_{\delta_0} = [z_C \ \varphi \ \psi]^T \quad (2.61-6)$$

pentru vectorul coordonatelor generalizate ale mișcărilor de suspensie, rula și tangaj corespunzătoare subsistemului de susținere,

$$\underline{y}_{\delta_0} = [y_C \ \lambda]^T \quad (2.61-7)$$

pentru vectorul coordonatelor generalizate ale mișcărilor de alunecare, și girație corespunzătoare subsistemului de ghidare.

Cu aceste notații ec.(2.59) și (2.60) devin :

$$\ddot{\underline{z}}_{\delta_0} = \underline{J}_S^{-1} (-4 \underline{D}_S^T \underline{F}_S + \underline{P}_S), \quad (2.59')$$

$$\ddot{\underline{y}}_{\delta_0} = \underline{J}_G^{-1} (-4 \underline{D}_G^T \underline{F}_G + \underline{P}_G). \quad (2.60')$$

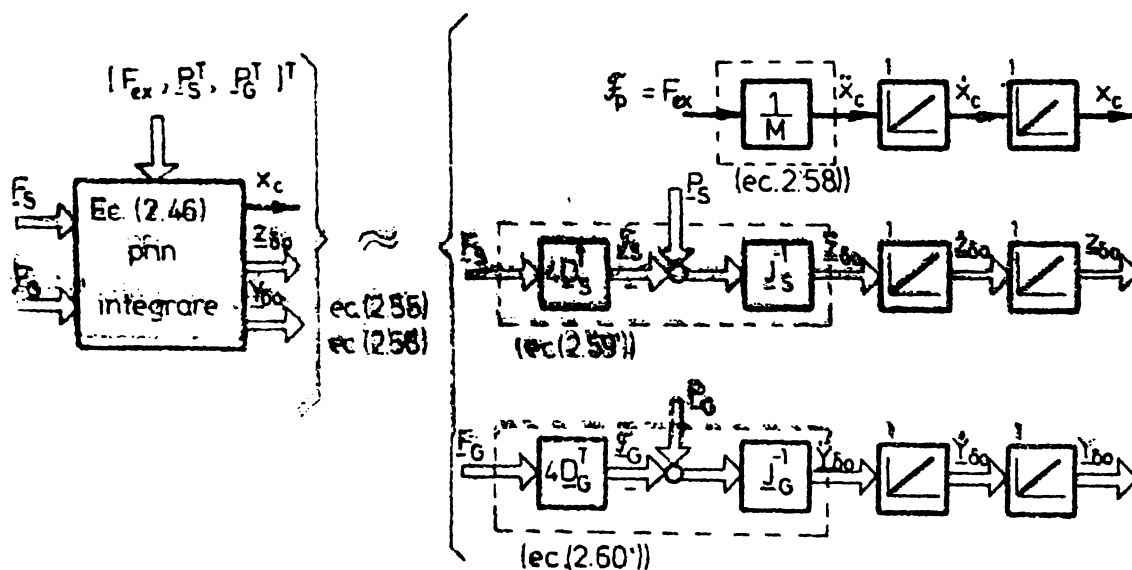


Fig. 2.23. Scheme bloc relative la aproximarea dinamicii cadrului cu electrodinamici.

Rezultatul obținut este sintetizat în fig.2.23. Ea redă faptul că dina-

mica cadrului cu electromagneți, ce rezultă în mod exact prin integrarea ec.(2.46), poate fi aproximată - în cazul unor mici variații ale mărimilor variabile - prin ec.(2.58), (2.59'), (2.60') corespunzătoare unor subsisteme liniare și autonome care intră în componența subsistemelor de propulsare, sustentare, respectiv ghidare ale SES-5L. În fig.2.23.

$$\underline{F}_S = 4 \underline{D}_S^T \underline{F}_S \quad (2.61-8)$$

reprezintă vectorul forțelor generalizate de sustentare echivalente, iar

$$\underline{F}_G = 4 \underline{D}_G^T \underline{F}_G \quad (2.61-9)$$

reprezintă vectorul forțelor generalizate de ghidare echivalente.

În încheierea acestui paragraf se impune următoarea observație:

Ipoteza rigidității perfecte a cadrului cu electromagneți trebuie abandonată în unele cazuri, în locul cadrului perfect rigid considerându-se, în funcție de dimensiuni și de material, un cadru elastic, torsionabil prin acțiunea forțelor de sustentare. De acest fapt se ține seama prin introducerea unui nou grad de libertate: unghiul de torsiune  $\zeta$ , care se alătură grupului de mărimi  $z_G, \varphi, \psi$ . În acest caz, pentru descrierea dinamicii cadrului cu electromagneți ec.(2.58) + (2.60) li se alătură ecuația [84,168] :

$$J_\zeta \ddot{\zeta} = D^* (-F_{S1} + F_{S2} - F_{S3} + F_{S4}) + \mathcal{M}G_{e\zeta} \quad (2.62)$$

Ea permite definirea unei matrici de distribuție  $\underline{D}_\zeta$  pătrată, nesingulară, de rang patru.  $J_\zeta$  este momentul de inerție de torsiune,  $D^*$  diagonală dreptunghiului 1, 2, 3, 4 (fig.2.22), iar  $\mathcal{M}G_{e\zeta}$  momentul de torsiune perturbator, considerat pozitiv atunci când, prin torsiune,  $z_{\delta 1}$  și  $z_{\delta 3}$  cresc, iar  $z_{\delta 2}$  și  $z_{\delta 4}$  scad.

### 2.2.3. Modelarea subsistemului de sustentare al SES-5L.

Subsistemul de sustentare al SES-5L asigură, prin acțiunea electromagneților de sustentare, mișcarea cadrului cu electromagneți după direcțiile  $z, \varphi$  și  $\psi$ . El are schema bloc din fig.2.24 și este alcătuit din:

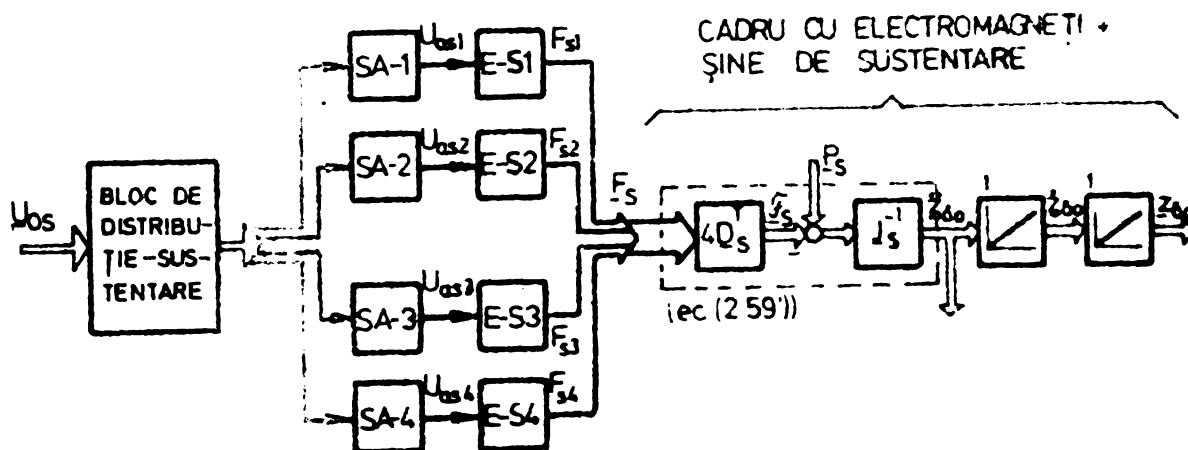


Fig. 2.24. Schema bloc a subsistemului de sustentare al SES-5L. (SA-1, ..., SA-4 - surse de alimentare a electromagneților de sustentare E-S1, ..., E-S4 - dezvolt forțele  $F_{S1}, \dots, F_{S4}$ ).

- (i) blocul de distribuție al comenzilor electromagneților de susținere și sursele comandate, de alimentare a acestora;
- (ii) electromagneții de susținere;
- (iii) cadrul cu electromagneți împreună cu ginele de susținere.

Modelarea se face în ipotezele precizate la pct.2.2.1. Astfel, în acord cu primele trei ec.(2.9), ecuațiile ce descriu fenomenul electromagnetic din cei patru electromagneți de susținere identici sînt:

$$\left. \begin{aligned} \dot{\Psi}_{Si} &= -\frac{R_S}{K_{IS}} \Psi_{Si} - \frac{R_S K_{\delta S}}{K_{IS}} z_{\delta i} + U_{aSi} \\ F_{Si} &= \frac{C_{IS}}{K_{IS}} \Psi_{Si} + \left( \frac{C_{IS} K_{\delta S}}{K_{IS}} - C_{\delta S} \right) z_{\delta i} \end{aligned} \right\} \begin{array}{l} i = 1, 2, 3, 4 \\ (i = \text{indicele electromagne-} \\ \text{tului, } S = \text{indice pentru} \\ \text{subsistemul de susținere}) \end{array} \quad (2.63)$$

Eliminînd din ec.(2.59) și (2.63) forțele  $F_{Si}$ , înlînțuirile magnetice  $\Psi_{Si}$  și tensiunile  $U_{aSi}$ , se obține sistemul de ecuații diferențiale:

$$\ddot{z} = \frac{4C_{IS}}{T_S M} \sigma_z + \frac{4}{M} \left( C_{\delta S} - \frac{C_{IS} K_{\delta S}}{K_{IS}} \right) \dot{z} - \frac{1}{T_S} \ddot{z}_c - \frac{C_{IS}}{MK_{IS}} U_z + \frac{1}{MT_S} F_{ez} + \frac{1}{M} \dot{F}_{ez} \quad (2.64-1)$$

$$\ddot{\varphi} = \frac{4C_{IS}}{T_S J_x'} \sigma_\varphi + \frac{4}{J_x'} \left( C_{\delta S} - \frac{C_{IS} K_{\delta S}}{K_{IS}} \right) \dot{\varphi} - \frac{1}{T_S} \ddot{\varphi} - \frac{C_{IS}}{J_x' K_{IS}} U_\varphi + \frac{1}{J_x' T_S} \mathcal{K}_{e\varphi} + \frac{1}{J_x'} \dot{\mathcal{K}}_{e\varphi} \quad (2.64-2)$$

$$\ddot{\psi} = \frac{4C_{IS}}{T_S J_y'} \sigma_\psi + \frac{4}{J_y'} \left( C_{\delta S} - \frac{C_{IS} K_{\delta S}}{K_{IS}} \right) \dot{\psi} - \frac{1}{T_S} \ddot{\psi} - \frac{C_{IS}}{J_y' K_{IS}} U_\psi + \frac{1}{J_y' T_S} \mathcal{K}_{e\psi} + \frac{1}{J_y'} \dot{\mathcal{K}}_{e\psi} \quad (2.64-3)$$

În aceste ecuații s-a notat cu

$$T_S = K_{IS} / R_S \quad (2.65)$$

constanta de timp a electromagneților de susținere. Totodată s-au făcut substituțiile:

$$\varepsilon_z = \frac{1}{4}(z_{\delta 1} + z_{\delta 2} + z_{\delta 3} + z_{\delta 4}) \approx \frac{1}{4}(z_{\delta 5} + z_{\delta 6} + z_{\delta 7} + z_{\delta 8}) \quad (2.66-1)$$

$$\sigma_\varphi = \frac{1}{4L}(-z_{\delta 1} - z_{\delta 2} + z_{\delta 3} + z_{\delta 4}) \approx \frac{1}{4L}(-z_{\delta 5} - z_{\delta 6} + z_{\delta 7} + z_{\delta 8}) \quad (2.66-2)$$

$$\sigma_\psi = \frac{1}{4L}(-z_{\delta 1} + z_{\delta 2} + z_{\delta 3} - z_{\delta 4}) \approx \frac{1}{4L}(-z_{\delta 5} + z_{\delta 6} + z_{\delta 7} - z_{\delta 8}) \quad (2.66-3)$$

$$U_z = U_{aS1} + U_{aS2} + U_{aS3} + U_{aS4} \quad (2.67-1)$$

$$U_\varphi = -U_{aS1} - U_{aS2} + U_{aS3} + U_{aS4} \quad (2.67-2)$$

$$U_\psi = -U_{aS1} + U_{aS2} + U_{aS3} - U_{aS4} \quad (2.67-3)$$

Aceste mărimi constituie, alături de  $F_{ez}$ ,  $\mathcal{K}_{e\varphi}$  și  $\mathcal{K}_{e\psi}$ , variabilele de intrare ale sistemului (2.64). În consecință, în urma aproximării dinamicii cadrului cu electromagneți și a liniarizării ecuațiilor electromagneților, drept mărimi de intrare ale subsistemului de susținere trebuie considerate combinații liniare ale întrefierurilor măsurate, respectiv ale tensiunilor de alimentare.

Mărimile  $U_z$ ,  $U_\varphi$ ,  $U_\psi$  sînt mărimi de calcul cu semnificația de tensiuni generalizate de comandă ale subsistemului de susținere după cele trei grade de libertate  $z$ ,  $\varphi$ , respectiv  $\psi$ . Fie  $U_z^*$ ,  $U_\varphi^*$ ,  $U_\psi^*$  mărimile de comandă reale corespunzătoare celor trei grade de libertate. Practic se pune problema stabilirii modului în care din aceste mărimi se

formează tensiunile  $U_{aS1}, \dots, U_{aS4}$ , din care apoi - în acord cu rel. (2.67) - rezultă tensiunile generalizate  $U_z, U_\varphi$  și  $U_\psi$ . Se notează:

$$\underline{U}_{oS} = [U_z \quad U_\varphi \quad U_\psi]^T \quad (2.68)$$

vectorul tensiunilor de comandă,

$$\underline{U}_{aS} = [U_{aS1} \quad U_{aS2} \quad U_{aS3} \quad U_{aS4}]^T \quad (2.69)$$

vectorul tensiunilor de alimentare a electromagneților de sustentare și

$$\underline{U}'_{oS} = [U'_z \quad U'_\varphi \quad U'_\psi]^T \quad (2.70)$$

vectorul mărimilor de comandă propriu-zise. Prin ipoteză se consideră că  $\underline{U}_{aS}$  se obține din  $\underline{U}'_{oS}$  prin transformarea liniară de matrice  $\underline{D}_S$ :

$$\underline{U}_{aS} = \underline{D}_S \underline{U}'_{oS} \quad (2.71)$$

numită „operație de distribuție”. Scriind rel.(2.67) sub forma:

$$\underline{U}_{oS} = 4 \underline{D}_S^T \underline{U}_{aS} \quad (2.72)$$

rezultă

$$\underline{U}_{oS} = 4 \underline{D}_S^T \underline{D}_S \underline{U}'_{oS} \quad (2.73)$$

Impunând condiția (2.74) rezultă ecuația nedeterminată (2.75) de variabilă matricială  $\underline{D}_S$ :

$$\underline{U}_{oS} = \underline{U}'_{oS} \quad (2.74) \quad 4 \underline{D}_S^T \underline{D}_S = \underline{I}_3 \quad (2.75)$$

Din mulțimea soluțiilor posibile se adoptă soluția:

$$\underline{D}_S = \underline{D}_S \quad (2.76)$$

Acest rezultat justifică denumirea de „matrice de distribuție” în loc de matricei  $\underline{D}_S$ . Pe baza rel.(2.74) mărimile  $U_z, U_\varphi$  și  $U_\psi$  obțin sens fizic nemijlocit de tensiuni de comandă, în continuare nemaiutilizându-se notația  $\underline{U}'_{oS}$ .

Mărimile  $G_z, G_\varphi$  și  $G_\psi$  au semnificația de întrefieruri generalizate (liniare sau unghiulare) ale celor trei grade de libertate. El sînt mrimi de calcul care se obțin din întrefieruri clasice, dar ele pot fi care totodată se pot exprima cu ajutorul coordonatelor zărilor și gurilor de sustentare din dreptul punctelor de măsurare:

$$z_{\delta i} = z_{mi} - z_{ig} \quad ; \quad i = 5, \dots, 8 \quad (2.77)$$

Matricial, a doua parte a rel.(2.65) se poate scrie sub forma:

$$\underline{G}_S = \underline{R}_S \underline{Z}_\delta \quad (2.78)$$

Tinînd seama și de rel.(2.77) rezultă:

$$\underline{G}_S = \underline{Z}_{\delta 0} - \underline{Z}_S \quad (2.79)$$

S-a notat:

$$\underline{Z}_S = [G_z \quad G_\varphi \quad G_\psi]^T \quad (2.80-1)$$

vectorul întrefierurilor generalizate (liniare, respectiv unghiulare),



$$\underline{z}_S = [z_{S5} \ z_{S6} \ z_{S7} \ z_{S8}]^T \quad (2.80-2)$$

vectorul întrefierurilor măsurate,

$$\underline{R}_S = \underline{L}_S^{-1} \underline{D}_S^T \quad (2.81)$$

matricea de reducere a întrefierurilor măsurate,

$$\underline{L}_S = \text{diag} [1, l, L] \quad (2.80-3)$$

matricea de adaptare dimensională a coordonatelor generalizate  $\underline{z}_{S0}$  la dimensiunea lungime,

$$\underline{p}_S = [p_z \ p_\varphi \ p_\psi]^T := \underline{R}_S \underline{z}_S \quad (2.80-4)$$

vectorul perturbațiilor echivalente de tip „întrefier generalizat după direcțiile  $z, \varphi$  și  $\psi$ ” datorate modificării poziției ginelor de susținere și cu

$$\underline{z}_S = [z_{5S} \ z_{6S} \ z_{7S} \ z_{8S}]^T \quad (2.80-5)$$

vectorul cotelor ginelor de susținere în dreptul punctelor de măsurare 5, ..., 8. Totodată s-a avut în vedere că din considerente similare cu cele care au condus la rel.(2.55) este valabilă și relația de aproximație

$$\underline{z}_{S0} = \underline{R}_S \underline{z}_m \quad (2.82)$$

$$\underline{z}_m = [z_{m5} \ z_{m6} \ z_{m7} \ z_{m8}]^T \quad (2.80-6)$$

fiind vectorul cotelor punctelor de măsurare 5, 6, 7 și 8.

Schema bloc structurală a subsistemului de susținere al SES-5L rezultă din ec.(2.63), obținute prin trecerea ec.(2.64) în domeniul operațional și din ec.(2.79). Ea este reprezentată în fig. 2.25.

$$\ddot{\underline{z}}_{S0} = \underline{J}_S^{-1} [4 C_{\delta S} \underline{L}_S \underline{G}_S - C_{IS} \frac{1/R_S}{1+sT_S} (\underline{U}_{0S} + 4 K_{\delta S} s \underline{L}_S \underline{G}_S) + \underline{P}_S] \quad (2.83)$$

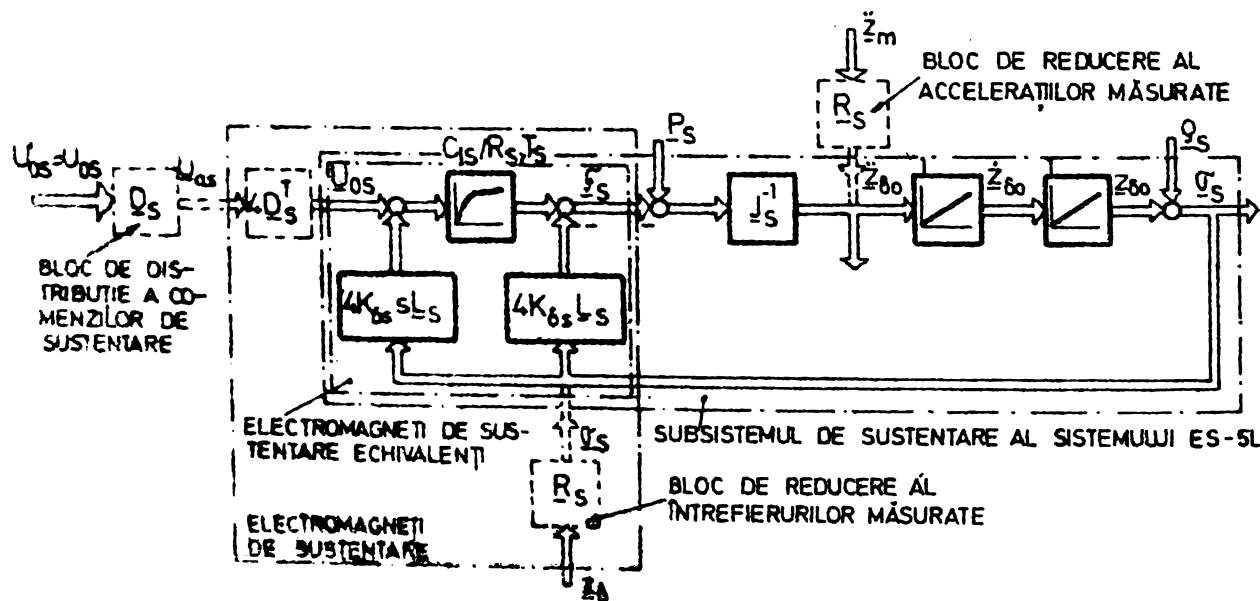


Fig. 2.25. Schema bloc structurală a subsistemului de susținere al SES-5L.

Fig. 2.25 următoarele aspecte și alte aspecte:

(i) Subsistemul alcătuit din electromagnetii de susținere cuplați mecanic prin intermediul cadrului a fost delimitat prin blocul ELECTRO-MAGNETI DE SUSTENTARE. Cu toate că practic forțele  $\underline{F}_S$  rezultă din întrefierurile  $z_{\delta 1}, \dots, z_{\delta 4}$ , d.p.d.v. al subsistemului de susținere interesează numai faptul că forțele generalizate  $\underline{F}_S$  se obțin din întrefierurile generalizate  $\underline{G}_S$ , care la rândul lor rezultă structural conform rel.(2.70). De acest fapt s-a ținut seamă prin blocul ELECTRO-MAGNETI DE SUSTENTARE ECAIVALENTI (câte unul după fiecare grad de libertate) avînd ca mărimi de intrare pe  $\underline{G}_S$  și  $\underline{U}_{\delta S}$ , în timp ce primul bloc are mărimile de intrare  $\underline{Z}_{\delta}$  și  $\underline{U}_{\delta S}$ .

(ii) Din observația anterioară rezultă că d.p.d.v. al subsistemului de susținere al SES-5L BLOCUL DE REDUCERE AL ÎNTREFIERURILOR MĂSURATE nu este necesar. El a fost reprezentat pentru a atrage atenția asupra faptului că în cadrul SLEM-5L vectorul  $\underline{G}_S$  se obține în mod practic din întrefierurile măsurate printr-un bloc de reducere de matrice  $\underline{R}_S$ .

(iii) Similar, accelerațiile  $\ddot{\underline{Z}}_{\delta 0}$  se obțin de la un BLOC DE REDUCERE AL ACCELERATIILOR MĂSURATE care, avînd în vedere că din rel.(2.62) rezultă

$$\ddot{\underline{Z}}_{\delta 0} = \underline{R}_S \ddot{\underline{Z}}_m, \quad (2.64)$$

modelează tot matricea  $\underline{R}_S$ ,  $\ddot{\underline{Z}}_m$  fiind vectorul accelerațiilor măsurate:

$$\ddot{\underline{Z}}_m = [\ddot{z}_{m5} \quad \ddot{z}_{m6} \quad \ddot{z}_{m7} \quad \ddot{z}_{m8}]^T. \quad (2.60-7)$$

În anexa II se demonstrează că numărul transformărilor de accelerație poate fi redus pînă la cinci, fapt de natură tehnică de 8 tractoare considerat, fără ca d.p.d.v. al nodului SES-5L să apară schimbări, celelalte blocuri afectate fiind cele de reducere.

(iv) Blocul de distribuție a comenzilor de susținere modelează, în acord cu rel.(2.71) și (2.76), matricea  $\underline{D}_S$ . Acestuia îi aparține acest bloc și blocul 4  $\underline{D}_S^T$  din cadrul subsistemului ELECTRO-MAGNETI DE SUSTENTARE, realizînd d.p.d.v. algoritmic transformările citate, a fost omis din cadrul blocului SUBSISTEM DE SUSTENTARE AL SES-5L.

(v) Blocurile ce nu aparțin subsistemului de susținere au fost reprezentate cu linie întreruptă.

Toate blocurile ce apar în SUBSISTEMUL DE SUSTENTARE AL SES-5L corespund unor matrici de transfer diagonale, ceea ce înseamnă, la fel ca și ec.(2.64), faptul că subsistemul este autonom după fiecare din cele trei grade de libertate. MM-ISI ale subsistemului de susținere, nulii și tangaj se obțin din ec.(2.64) și relația

$$\ddot{\underline{G}}_S = \ddot{\underline{Z}}_{\delta 0} - \ddot{\underline{G}}_S \quad (2.65)$$

dedusă din rel.(2.60) Ele au aspectul:

$$\begin{bmatrix} \ddot{G}_z \\ \ddot{\sigma}_z \\ \ddot{z}_c \end{bmatrix} = \begin{bmatrix} 0 & 1 & 0 \\ 0 & 0 & 1 \\ \frac{4C_{ds}}{MT_s} & \frac{4}{M}(C_{ds} - \frac{C_{Is}K_{ds}}{K_{Is}}) & -\frac{1}{T_s} \end{bmatrix} \begin{bmatrix} G_z \\ \sigma_z \\ z_c \end{bmatrix} + \begin{bmatrix} 0 \\ 0 \\ -\frac{C_{Is}}{MK_{Is}} \end{bmatrix} U_z + \begin{bmatrix} 0 & 0 & 0 \\ 0 & 0 & -1 \\ \frac{1}{MT_s} & \frac{1}{M} & 0 \end{bmatrix} \begin{bmatrix} F_{ez} \\ \dot{F}_{ez} \\ \ddot{z}_z \end{bmatrix} \quad (2.86-1)$$

$$\begin{bmatrix} \ddot{G}_\psi \\ \ddot{\sigma}_\psi \\ \ddot{\psi} \end{bmatrix} = \begin{bmatrix} 1 & 0 & 0 \\ 0 & 0 & 1 \\ 0 & 0 & 1 \end{bmatrix} \begin{bmatrix} G_\psi \\ \sigma_\psi \\ \psi \end{bmatrix} + \begin{bmatrix} 0 \\ 0 \\ -\frac{C_{Is}}{J_y T_s} \end{bmatrix} U_\psi + \begin{bmatrix} 0 & 0 & 0 \\ 0 & 0 & -1 \\ \frac{1}{J_y T_s} & \frac{1}{J_y} & 0 \end{bmatrix} \begin{bmatrix} M_{e\psi} \\ \dot{M}_{e\psi} \\ \ddot{\psi} \end{bmatrix} \quad (2.86-2)$$

$$\begin{bmatrix} \ddot{G}_\psi \\ \ddot{\sigma}_\psi \\ \ddot{\psi} \end{bmatrix} = \begin{bmatrix} 1 & 0 & 0 \\ 0 & 0 & 1 \\ 0 & 0 & 1 \end{bmatrix} \begin{bmatrix} G_\psi \\ \sigma_\psi \\ \psi \end{bmatrix} + \begin{bmatrix} 0 \\ 0 \\ -\frac{C_{Is}}{J_y T_s} \end{bmatrix} U_\psi + \begin{bmatrix} 0 & 0 & 0 \\ 0 & 0 & -1 \\ \frac{1}{J_y T_s} & \frac{1}{J_y} & 0 \end{bmatrix} \begin{bmatrix} M_{e\psi} \\ \dot{M}_{e\psi} \\ \ddot{\psi} \end{bmatrix} \quad (2.86-3)$$

$$\begin{bmatrix} \ddot{G}_\psi \\ \ddot{\sigma}_\psi \\ \ddot{\psi} \end{bmatrix} = \begin{bmatrix} 1 & 0 & 0 \\ 0 & 0 & 1 \\ 0 & 0 & 1 \end{bmatrix} \begin{bmatrix} G_\psi \\ \sigma_\psi \\ \psi \end{bmatrix}$$

MM-ISI al subsistemului de sustentare al SES-5L are ec.(2.87). Aspectul său se explică prin identitatea structurii celor trei MM-ISI (2.86).

$$\begin{bmatrix} \ddot{G}_s \\ \ddot{\sigma}_s \\ \ddot{z}_{do} \end{bmatrix} = \underbrace{\begin{bmatrix} 0 & I_3 & 0 \\ 0 & 0 & I_3 \\ \frac{C_{ds}}{T_s} + \frac{1}{J_s^{-1} L_s} (C_{ds} - \frac{C_{Is}K_{ds}}{K_{Is}}) & \frac{4}{J_s^{-1} L_s} & -\frac{1}{s} I_3 \end{bmatrix}}_{A_s} \begin{bmatrix} G_s \\ \sigma_s \\ z_{do} \end{bmatrix} + \underbrace{\begin{bmatrix} 0 \\ 0 \\ -\frac{C_{Is}}{K_{Is}} \frac{1}{J_s^{-1}} \end{bmatrix}}_{B_s} U_{os} + \begin{bmatrix} 0 & 0 & 0 \\ 0 & 0 & -I_3 \\ \frac{1}{T_s} \frac{1}{J_s^{-1}} & \frac{1}{J_s^{-1}} & 0 \end{bmatrix} \begin{bmatrix} P_s \\ \dot{P}_s \\ \ddot{P}_s \end{bmatrix} \quad (2.87)$$

$$\begin{bmatrix} \ddot{G}_s \\ \ddot{z}_{do} \end{bmatrix} = \begin{bmatrix} I_3 & 0 & 0 \\ 0 & 0 & I_3 \end{bmatrix} \begin{bmatrix} G_s \\ \sigma_s \\ z_{do} \end{bmatrix}$$

In rel(2.85) + (2.87), în acord cu notația (2.80-4),

$$\ddot{\bar{z}}_s = R_s \ddot{z}_s \quad (2.88)$$

reprezintă vectorul accelerațiilor generalizate perturbatoare echivalente datorate șinelor de sustentare.

Sistemul (2.87) are ordinul  $n_s = 9$ . Ecuațiile de ieșire precizează că mărimile  $\ddot{z}_s$  și  $\ddot{z}_{do}$  se consideră ieșiri măsurabile, conform observațiilor (ii) și (iii) anterioare.

Analiza subsistemului de sustentare al SES-5L se simplifică substanțial observând asemănarea MM-ISI (2.86) și (2.87) cu MM'-ISI (2.19) - (2.20) de vector de stare  $\underline{x}_1$ , al SES-1L. Astfel, fiecare dintre subsistemele (2.86-1) pentru mișcarea de susținere, (2.86-2) pentru mișcarea de

rului și (2.86-3) pentru mișcarea de tanguaj, este instabil, însă controlabil și observabil. Aceste proprietăți și rezultă și în ansamblu, din analiza sistemului (2.87), întrucât:

(i) Ecuația caracteristică (2.89) are „poli instabili”

$$s^3 \underline{I}_3 + \frac{1}{T_S} s^2 \underline{I}_3 + \left( \frac{K_{\delta S} C_{IS}}{K_{IS}} - C_{\delta S} \right) s + \frac{C_{\delta S}}{T_S} = 0, \quad (2.89)$$

(ii) Matricile de controlabilitate și observabilitate au rangul  $n_S$ :

$$\text{rang} \left[ \underline{B}_S : \underline{A}_S \underline{B}_S : \underline{A}_S^2 \underline{B}_S \right] = \text{rang} \left[ \underline{C}_S^T : \underline{A}_S^T \underline{C}_S^T : (\underline{A}_S^T)^2 \underline{C}_S^T \right] = n_S = 9. \quad (2.90)$$

### 2.2.4. Modelarea subsistemului de ghidare al SES-5L.

Subsistemul de ghidare al SES-5L reprezintă subsistemul ce asigură prin acțiunea electromagneților de ghidare mișcarea cadrului cu electromagneți după direcțiile  $y$  și  $\lambda$ . El are schema bloc din fig.2.26 și este alcătuit din:

- (i) blocul de distribuție al comenzilor electromagneților de ghidare și sursele comandate, de alimentare a acestora;
- (ii) electromagneții de ghidare;
- (iii) cadrul cu electromagneți împreună cu șinele de ghidare.

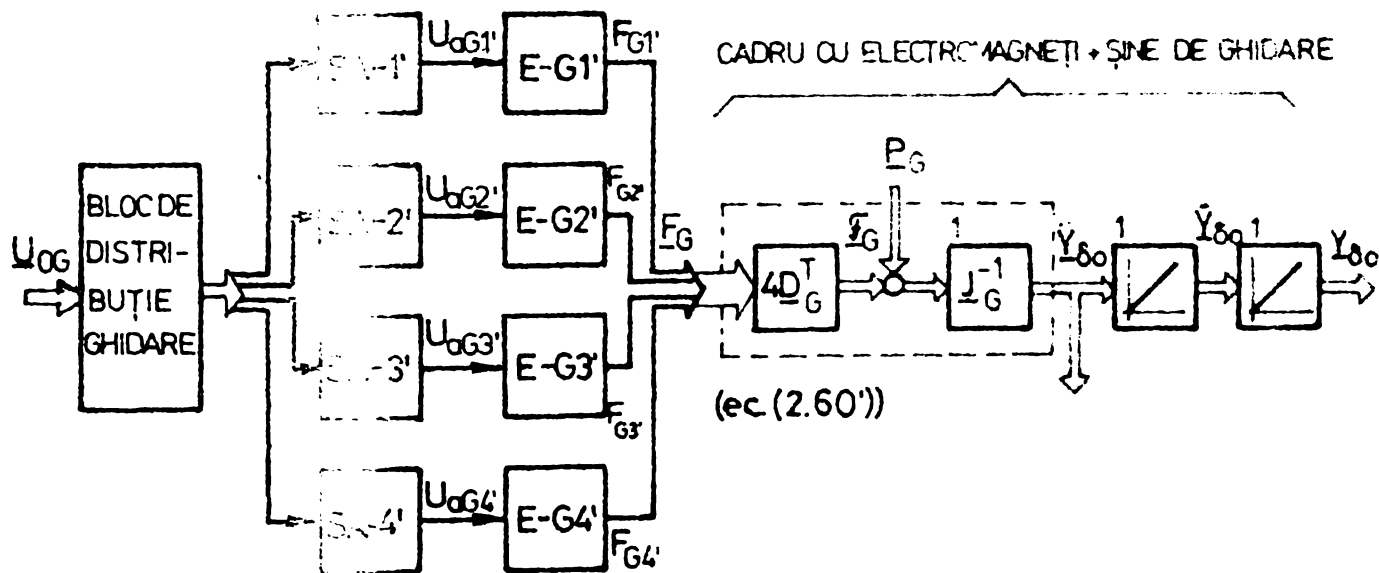


Fig.2.26. Schema bloc a subsistemului de ghidare al SES-5L. (SA-1', ..., SA-4' - surse de alimentare a electromagneților de ghidare E-G1', ..., E-G4' care dezvoltă forțele  $F_{G1}, \dots, F_{G4}$ ...)

Modelarea se face asemănător pct. 2.2.3., cu ipotezele precizate în pct. 2.2.1. Astfel, ec.(2.65) și (2.64) devin ec. (2.91) și (2.92)

$$\left. \begin{aligned} \dot{\psi}_{Gj} &= -\frac{R_G}{K_{IG}} \psi_{Gj} - \frac{R_G K_{\delta G}}{K_{IG}} y_{\delta j} + U_{aGj} \\ F_{Gj} &= \frac{C_{IG}}{K_{IG}} \psi_{Gj} + \left( \frac{C_{IG} K_{\delta G}}{K_{IG}} - C_{\delta G} \right) y_{\delta j} \end{aligned} \right\} \quad (2.91)$$

$$(\ddot{y}_c)' = \frac{4C_{\delta G}}{T_G M} \delta_y + \frac{4}{M} \left( C_{\delta G} - \frac{C_{IG} K_{\delta G}}{K_{IG}} \right) \dot{\delta}_y - \frac{1}{T_G} \ddot{y}_c - \frac{C_{IG}}{M K_{IG}} U_y + \frac{1}{M T_G} F_{ey} + \frac{1}{M} \dot{F}_{ey} \quad (2.92-1)$$

$$(\ddot{x})' = \frac{4C_{\delta G}}{J_z' T_G} \delta_x - \frac{4}{J_z'} \left( C_{\delta G} - \frac{C_{IG} K_{\delta G}}{K_{IG}} \right) \dot{\delta}_x - \frac{1}{T_G} \ddot{x} - \frac{C_{IG}}{J_z' K_{IG}} U_x + \frac{1}{J_z' T_G} \mathcal{M}_{ex} + \frac{1}{J_z'} \dot{\mathcal{M}}_{ex} \quad (2.92-2)$$

ecuațiile nou introduse au următoarea semnificație:

$$T_G = K_{IG} / R_G \quad (2.93)$$

constanta de timp a electromagneților de ghidare,

$$\delta_y = \frac{1}{4} (y_{\delta 1}, +y_{\delta 2}, -y_{\delta 3}, -y_{\delta 4}) \approx \frac{1}{4} (y_{\delta 5} + y_{\delta 6} - y_{\delta 7} - y_{\delta 8}) \quad (2.94-1)$$

$$\delta_x = \frac{1}{4L} (y_{\delta 1}, -y_{\delta 2}, +y_{\delta 3}, -y_{\delta 4}) \approx \frac{1}{4L} (y_{\delta 5} - y_{\delta 6} + y_{\delta 7} - y_{\delta 8}) \quad (2.94-2)$$

intrefierurile generalizate (liniar, respectiv unghiular) după gradele de libertate  $y$  și  $x$ , iar

$$U_y = U_{aG1}, +U_{aG2}, -U_{aG3}, -U_{aG4} \quad (2.95-1)$$

$$U_x = U_{aG1}, -U_{aG2}, +U_{aG3}, -U_{aG4} \quad (2.95-2)$$

tensiunile generalizate de comandă ale subsistemului de ghidare după cele două grade de libertate  $y$ , respectiv  $x$ .

Analog pct.2.2.3 se stabilește că, în cazul subsistemului de ghidare, blocul de distribuție al comenzilor are matricea:

$$\underline{D}_G = \underline{D}_G, \quad (2.96)$$

vectorul tensiunilor de alimentare ale electromagneților de ghidare

$$\underline{U}_{aG} = [U_{aG1}, U_{aG2}, U_{aG3}, U_{aG4}]^T \quad (2.97)$$

rezultând prin transformarea:

$$\underline{U}_{aG} = \underline{D}_G \underline{U}'_{OG} \quad (2.98)$$

din vectorul mărimilor de comandă propriu-zise ale subsistemului

$$\underline{U}'_{OG} = [U'_y, U'_x]^T \quad (2.99)$$

Scriind rel.(2.95) sub forma (2.100) rezultă rel.(2.101):

$$\underline{U}_{OG} = [U_y, U_x]^T = 4 \underline{D}_G^T \underline{U}_{aG} \quad (2.100) \quad \underline{U}_{OG} = \underline{U}'_{OG} \quad (2.101)$$

Ca urmare a acestui rezultat se va utiliza numai notație  $\underline{U}_{OG}$ .

Pentru intrefierurile generalizate sînt valabile pe de-o parte rel.

(2.102), care reprezintă forma matricială a rel.(2.94), iar pe de altă parte rel.(2.103), asemănătoare rel.(2.79) :

$$\underline{G}_G = R_G \underline{Y}_G \quad (2.102)$$

$$\underline{G}_G = \underline{I}_{\delta 0} - \underline{S}_G \quad (2.103)$$

Notațiile mai sus utilizate au semnificația:

$$\underline{Y}_G = [y_{\delta 5}, y_{\delta 6}, y_{\delta 7}, y_{\delta 8}]^T \quad (2.104-1)$$

este vectorul intrefierurilor măsurate în planul cadrului (v. anexa I)

$$\underline{S}_G = [s_y, s_x]^T \quad (2.104-2)$$

este vectorul intrefierurilor generalizate,

$$\underline{R}_G = \underline{L}_G^{-1} \underline{D}_G^T \quad (2.105)$$

este matricea de reducere a întrefierurilor măsurate, iar

$$\underline{L}_G = \text{diag} [1 \quad L] \quad (2.104-3)$$

este matricea de adaptare dimensională a coordonatelor generalizate  $\underline{Y}_{\delta_0}$  la dimensiunea lungime.

Asemănător rel.(2.80-4), pentru vectorul perturbațiilor echivalente de tip „întrefier generalizat după direcțiile y și x”, datorate modificării pozițiilor șinelor de ghidare, rezultă relația:

$$\underline{\delta}_G = [\delta_y \ \delta_x]^T = \underline{R}_G^* \underline{Y}_G, \quad (2.106-1)$$

iar corespunzător rel.(2.82) se obține relația de aproximare

$$\underline{Y}_{\delta_0} = \underline{R}_G^* \underline{Y}_m \quad (2.106-2)$$

$$\underline{Y}_G = [y_{5G} \ y_{6G} \ y_{7G} \ y_{8G}]^T \quad (2.104-4)$$

reprezintă vectorul ordonatelor șinelor de ghidare din dreptul punctelor de măsurare 5, ..., 8,

$$\underline{Y}_m = [y_{m5} \ y_{m6} \ y_{m7} \ y_{m8}]^T \quad (2.104-5)$$

vectorul ordonatelor electromagneților de ghidare, iar

$$\underline{R}_G^* = \frac{1}{4} \underline{L}_G^{-1} \begin{bmatrix} 1 & 1 & 1 & 1 \\ 1 & -1 & -1 & 1 \end{bmatrix} \quad (2.104-6)$$

matricea de reducere a accelerațiilor măsurate (v. rel.(2.103)). Această matrice este diferită de matricea  $\underline{R}_G$ , de reducere a întrefierurilor, datorită aspectelor diferite ale expresiilor întrefierurilor  $y_{\delta_j}$  din dreptul punctelor de măsurare 5 și 6 pe de o parte și din dreptul punctelor 7 și 8 pe de altă parte (v. fig.2.21):

$$\left. \begin{aligned} y_{\delta_j} &= y_{mj} - y_{jG}; \quad y_{mj} > y_{jG}, \quad j = 5, 6 \\ y_{\delta_j} &= y_{jG} - y_{mj}; \quad y_{mj} < y_{jG}, \quad j = 7, 8 \end{aligned} \right\} \quad (2.104-7)$$

În domeniul operațional, pentru subsistemul de ghidare al SES-PL, rezultă analog ec.(2.83) MM-II :

$$\underline{\bar{Y}}_{\delta_0} = \underline{J}_G^{-1} \left[ 4 \underline{C}_{IG} \underline{L}_G \underline{G}_G - \underline{C}_{IG} \frac{1/R_{Gj}}{1+sT_G} (\underline{U}_{IG} + 4 K_{\delta G} s \underline{L}_G \underline{G}_G) + \underline{P}_j \right] \cdot \quad (2.107)$$

Această ecuație împreună cu rezultatele anterioare conduce la schema bloc din fig.2.22 pentru care, cu excepția observației (iii), sînt variabile în principiu toate aspectele menționate cu privire la schema bloc din fig.2.22 (în concret apar modificările: SUBSISTEMARE → GHIDARE, S → G, Z → Y). În rel.(2.84) este luat acum de relația:

$$\underline{\bar{Y}}_{\delta_0} = \underline{R}_G^* \underline{\bar{Y}}_m \quad (2.108)$$

$$\underline{\bar{Y}}_m = [\bar{y}_{m5} \ \bar{y}_{m6} \ \bar{y}_{m7} \ \bar{y}_{m8}]^T \quad (2.104-8)$$

fiind vectorul accelerațiilor absolute măsurate în planul cartezian cu electromagneți.

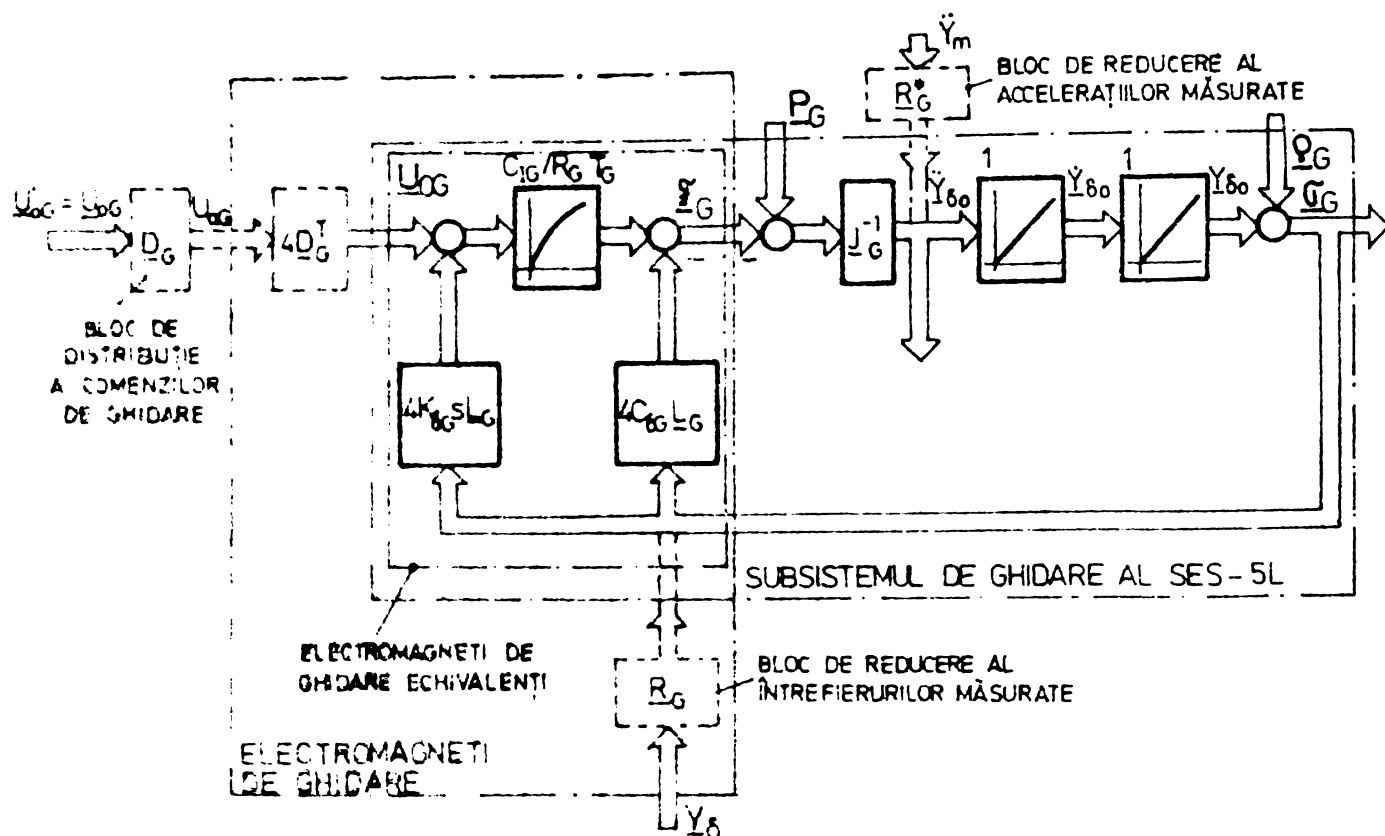


Fig. 2.27. Scheme bloc relative la subsistemul de ghidare al SES-5L.

Toate blocurile care apar în SUBSISTEMUL DE GHIDARE AL SES-5L corespund unor matrici de transfer diagonale. În consecință schema evidențiază, la fel ca și ec.(2.92), autonomia subsistemului după fiecare din cele două grade de libertate:  $y$  și  $x$ . MM-ISI ale subsistemelor de alunecare și rotație se obțin din ec.(2.92) și relația

$$\ddot{\theta}_G = \ddot{y}_{\delta 0} - \ddot{\beta}_G \quad (2.109)$$

obținută din rel.(2.103). Ele au aspectul:

$$\begin{bmatrix} \ddot{G}_y \\ \dot{G}_y \\ \ddot{y}_c \end{bmatrix} = \begin{bmatrix} 0 & 1 & 0 \\ 0 & 0 & 1 \\ \frac{4C_{\delta G}}{MT_G} & \frac{4}{M} \left( C_{\delta G} - \frac{C_{IG} K_{\delta G}}{K_{IG}} \right) & -\frac{1}{T_G} \end{bmatrix} \begin{bmatrix} G_y \\ \dot{G}_y \\ \ddot{y}_c \end{bmatrix} + \begin{bmatrix} 0 \\ 0 \\ -\frac{C_{IG}}{MK_{IG}} \end{bmatrix} U_y + \begin{bmatrix} 0 & 0 & 0 \\ 0 & 0 & -1 \\ \frac{1}{MT_G} & \frac{1}{M} & 0 \end{bmatrix} \begin{bmatrix} F_{ey} \\ \dot{F}_{ey} \\ \ddot{\beta}_y \end{bmatrix} \quad (2.110-1)$$

$$\begin{bmatrix} \ddot{G}_x \\ \dot{G}_x \\ \ddot{x} \end{bmatrix} = \begin{bmatrix} 0 & 1 & 0 \\ 0 & 0 & 1 \\ \frac{4C_{\delta G}}{J_z' T_G} & \frac{4}{J_z' L^*} \left( C_{\delta G} - \frac{C_{IG} K_{\delta G}}{K_{IG}} \right) & -\frac{1}{T_G} \end{bmatrix} \begin{bmatrix} G_x \\ \dot{G}_x \\ \ddot{x} \end{bmatrix} + \begin{bmatrix} 0 \\ 0 \\ -\frac{C_{IG}}{J_z' L^* K_{IG}} \end{bmatrix} U_x + \begin{bmatrix} 0 & 0 & 0 \\ 0 & 0 & -1 \\ \frac{1}{J_z' T_G} & \frac{1}{J_z'} & 0 \end{bmatrix} \begin{bmatrix} g_{IGex} \\ \dot{g}_{IGex} \\ \ddot{\beta}_x \end{bmatrix} \quad (2.110-2)$$

MM-ISI al subsistemului de ghidare al SES-5L are ec.(2.111), aspectul său explicându-se prin identitatea structurii MM-ISI (2.110).

$$\begin{bmatrix} \ddot{\underline{G}} \\ \dot{\underline{Y}}_{\delta_0} \end{bmatrix} = \underbrace{\begin{bmatrix} 0 & \underline{I}_2 & 0 \\ 0 & 0 & \underline{I}_2 \\ \frac{C_{\delta G}}{T_G} 4 \underline{J}_G^{-1} \underline{L}_G & C_{\delta G} - \frac{C_{1G} K_{\delta G}}{K_{1G}} 4 \underline{J}_G^{-1} \underline{L}_G & -\frac{1}{T_G} \underline{I}_2 \end{bmatrix}}_{\underline{A}_G} \begin{bmatrix} \underline{G} \\ \underline{Y}_{\delta_0} \end{bmatrix} + \underbrace{\begin{bmatrix} 0 \\ 0 \\ -\frac{C_{1G}}{K_{1G}} \underline{J}_G^{-1} \end{bmatrix}}_{\underline{B}_G} \underline{U}_{oG} + \begin{bmatrix} 0 & 0 & 0 \\ 0 & 0 & -\underline{I}_2 \\ \frac{1}{T_G} \underline{J}_G^{-1} & \underline{J}_G^{-1} & 0 \end{bmatrix} \begin{bmatrix} \underline{P} \\ \underline{\dot{P}} \\ \underline{\ddot{P}} \end{bmatrix} \quad (2.111)$$

$$\begin{bmatrix} \underline{G} \\ \underline{Y}_{\delta_0} \end{bmatrix} = \underbrace{\begin{bmatrix} \underline{I}_2 & 0 \\ 0 & \underline{I}_2 \end{bmatrix}}_{\underline{C}_G} \begin{bmatrix} \underline{G} \\ \underline{Y}_{\delta_0} \end{bmatrix}$$

In aceste ecuații  $\ddot{\underline{G}}$  reprezintă vectorul accelerațiilor generalizate perturbatoare constante datorate șinelor de ghidare. In acord cu rel. (2.104-4) și (2.104-1) :

$$\ddot{\underline{G}} := \begin{bmatrix} \ddot{\underline{y}} & \ddot{\underline{x}} \end{bmatrix}^T = \underline{R}_G^* \ddot{\underline{Y}}_G \quad (2.112)$$

Sistemul (2.111) are ordinul  $n_G = 6$ . Se consideră că  $\underline{G}$  și  $\underline{Y}_{\delta_0}$  sînt mărimi măsurabile. Acest sistem este instabil (ecuația sa caracteristică, asemănătoare cu ec. (2.89), are și „poli instabili”), controlabil și observabil (matricile de controlabilitate și de observabilitate au rangul egal cu  $n_G$ ).

### 2.2.5. MM-ISI al SES-5L. Sistemul electromagnet-șină de bază.

MM-ISI al SES-5L rezultă prin reunirea MM-ISI (2.87) și (2.111). El are aspectul (2.113), este autonom atât în raport cu fiecare din subsistemele de sustentare și de ghidare, cît și în raport cu subsistemele corespunzătoare fiecărui grad de libertate ( $z, \varphi, \psi, y, x$ ).

$$\begin{bmatrix} \dot{\underline{G}} \\ \dot{\underline{X}} \end{bmatrix} = \begin{bmatrix} 0 & \underline{I}_5 & 0 \\ 0 & 0 & \underline{I}_5 \\ \underline{A}_1 & \underline{A}_2 & \underline{I}^{-1} \end{bmatrix} \begin{bmatrix} \underline{G} \\ \underline{X} \end{bmatrix} + \begin{bmatrix} 0 \\ 0 \\ \underline{B} \end{bmatrix} \underline{U}_c + \begin{bmatrix} 0 & 0 & 0 \\ 0 & 0 & -\underline{I}_5 \\ \underline{H}^{-1} & \underline{J}^{-1} & 0 \end{bmatrix} \begin{bmatrix} \underline{P} \\ \underline{\dot{P}} \\ \underline{\ddot{P}} \end{bmatrix} \quad (2.113)$$

$$\begin{bmatrix} \underline{G} \\ \underline{X} \end{bmatrix} = \begin{bmatrix} \underline{I}_5 & 0 \\ 0 & \underline{I}_5 \end{bmatrix} \begin{bmatrix} \underline{G} \\ \underline{X} \end{bmatrix}$$

Vectorii și matricile ce apar în acest MM au următoarea semnificație:

$\underline{G} := \begin{bmatrix} \underline{G}_z^T & \underline{G}_\varphi^T & \underline{G}_\psi^T & \underline{G}_y^T & \underline{G}_x^T \end{bmatrix}^T$  este vectorul întrefierurilor

generalizate;

$\dot{\underline{G}} := \begin{bmatrix} \dot{\underline{G}}_z & \dot{\underline{G}}_\varphi & \dot{\underline{G}}_\psi & \dot{\underline{G}}_y & \dot{\underline{G}}_x \end{bmatrix}^T$  este vectorul vitezelor (de modificare a) întrefierurilor generalizate;

$\underline{X} := \begin{bmatrix} \underline{X}_{\delta_0}^T & \underline{X}_{\delta_0}^T \end{bmatrix}^T = \begin{bmatrix} \underline{z}_c & \underline{\varphi} & \underline{\psi} & \underline{y}_c & \underline{x} \end{bmatrix}^T$  este vectorul accelerațiilor cadru-

lui cu electromagneții după cele cinci direcții independente;

$\underline{U}_c := \begin{bmatrix} \underline{U}_{oS}^T & \underline{U}_{oG}^T \end{bmatrix}^T = \begin{bmatrix} U_z & U_\varphi & U_\psi & U_y & U_x \end{bmatrix}^T$  este vectorul variabilelor de



comandă ale SES-5L (variabilele de la intrarea blocurilor de distribuție din fig. 2.25 și fig. 2.27);

$$\underline{P} := \begin{bmatrix} \underline{P}_S^T & \underline{P}_G^T \end{bmatrix}^T = \begin{bmatrix} F_{ez} & \frac{M_{ev}}{L^*} & \frac{M_{ev}}{L^*} & F_{ey} & \frac{M_{ex}}{L^*} \end{bmatrix}^T \text{ este vectorul mărimilor}$$

pondero-motoare exterioare perturbatoare (toate componentele au dimensiunea forței) ce acționează asupra SES-5L;  $\dot{\underline{P}} = \frac{d}{dt} \underline{P}$ ;

$$\underline{\ddot{\xi}} := \begin{bmatrix} \underline{\ddot{\xi}}_S^T & \underline{\ddot{\xi}}_G^T \end{bmatrix}^T = \begin{bmatrix} \ddot{\xi}_z & \ddot{\xi}_\varphi & \ddot{\xi}_\psi & \ddot{\xi}_y & \ddot{\xi}_x \end{bmatrix}^T \text{ este vectorul accelerațiilor de per-$$

turbație echivalente determinate de modificarea poziției șinelor și valorilor întrefierurilor;

$$\underline{A}_1 := \text{diag} \left[ \frac{C_{\delta S}}{T_S} \cdot 4 \underline{J}_S^{-1} \underline{L}_S, \frac{C_{\delta G}}{T_G} \cdot 4 \underline{J}_G^{-1} \underline{L}_G \right];$$

$$\underline{A}_2 := \text{diag} \left[ \frac{C_{\delta S}}{T_S} T_{dS} \cdot 4 \underline{J}_S^{-1} \underline{L}_S, \frac{C_{\delta G}}{T_G} T_{dG} \cdot 4 \underline{J}_G^{-1} \underline{L}_G \right],$$

$$\text{unde } T_{dS} = T_S - \frac{C_{IS} K_{\delta S}}{C_{\delta S} R_S} \text{ și } T_{dG} = T_G - \frac{C_{IG} K_{\delta G}}{C_{\delta G} R_G};$$

$$\underline{D} := \text{diag} [T_S \underline{J}_S, T_G \underline{J}_G]; \quad \underline{B} := \text{diag} \left[ -\frac{C_{IS}}{K_{IS}} \underline{J}_S^{-1}, -\frac{C_{IG}}{K_{IG}} \underline{J}_G^{-1} \right];$$

$$\underline{J} := \text{diag} [ \underline{J}_S, \underline{J}_G ] \text{ este matricea de inerție a SES-5L.}$$

Mărimile reglate ale SES-5L sînt în mod obișnuit întrefierurile echivalente  $\underline{\xi}$  și/sau accelerațiile  $\underline{\ddot{\xi}}$ . Prescriind valorile variabilelor  $\underline{\xi}_G$  se prescrie poziția cadrului în raport cu șinele de ghidare, iar prescriind valorile variabilelor  $\underline{\xi}_S$  se prescrie poziția cadrului în raport cu șinele de susținere. Astfel, așa cum se arată în anexa III, prescriind  $\xi_y = 0$  și  $\xi_x = 0$  se prescriu, privind cadrul în sensul pozitiv al axei x, întrefieruri anterioare egale, respectiv întrefieruri posterioare egale, iar prescriind

$$\xi_z = \xi_z^*, \quad \xi_\varphi = 0, \quad \xi_\psi = 0, \quad (2.114)$$

rezultă:

$$\frac{1}{2} (z_{\delta 1} + z_{\delta 2}) = \frac{1}{2} (z_{\delta 2} + z_{\delta 3}) = \frac{1}{2} (z_{\delta 3} + z_{\delta 4}) = \frac{1}{2} (z_{\delta 4} + z_{\delta 1}) = \xi_z^*, \quad (2.115)$$

respectiv expresiile:

$$z_{\delta 1} = z_{\delta 3} = \xi_z^* - \frac{L}{4} \left( \frac{z_{1S} - z_{2S}}{L} - \frac{z_{4S} - z_{3S}}{L} \right)$$

$$z_{\delta 2} = z_{\delta 4} = \xi_z^* + \frac{L}{4} \left( \frac{z_{1S} - z_{2S}}{L} - \frac{z_{4S} - z_{3S}}{L} \right). \quad (2.116)$$

Poziția prescriasă se caracterizează, conform rel. (2.115), prin „întrefieruri la nivelul mijloacelor lateralelor cadrului cu electromagneți” a valoare egală cu  $\xi_z^*$ . Expresiile (2.116) ale întrefierurilor din dreptul mijloacelor electromagneților de susținere evidențiază necesitatea de punere a unei valori maxime admisibile pentru diferența pantelor celor două șine de susținere, astfel încît să nu apară pericolul unui impact între cadru și șine. Prin satisfacerea acestei condiții întrefierurile  $z_{\delta 1}, \dots, z_{\delta 4}$  vor avea valori foarte apropiate de valoarea  $\xi_z^*$ , valoare

care - privită prin prisma acestei observații - are interpretarea de întrefier prescris sau valoare prescrisă pentru  $z_G$ .

În cazul cînd se consideră și accelerațiile ca ieșiri de apreciere, valorile lor prescrise sînt nule.

Schema bloc structurală a SES-5L este prezentată în fig. 2.28.

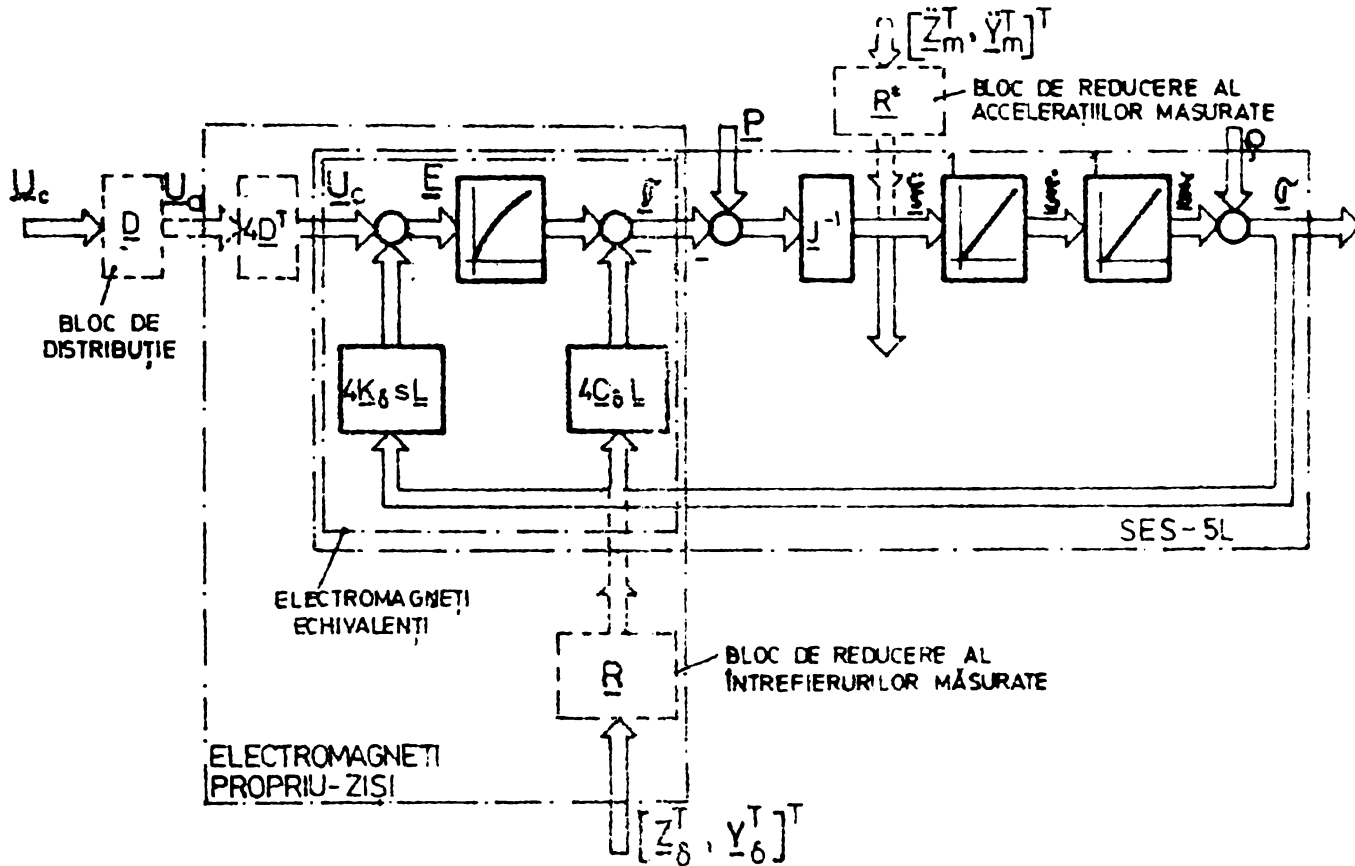


Fig. 2.28. Schema bloc structurală a SES-5L. (Notațiile:  $\underline{u}_c$ ,  $\underline{p}$ ,  $\rho$ ,  $\xi$ ,  $\underline{G}$  și  $\underline{J}$  corespund rel.(2.113),  $\underline{L}_\delta$  și  $\underline{L}_\delta^*$  - rel.(2.110),  $\underline{K}_\delta$  și  $\underline{Y}_{10}$  rel.(2.104), iar restul corespund rel.(2.117).)

S-a notat:

$$\underline{u}_a = \begin{bmatrix} \underline{u}_{aS}^T & \underline{u}_{aG}^T \end{bmatrix}^T ; \quad \underline{D} = \text{diag}[\underline{D}_S, \underline{D}_G] ; \quad \underline{R} = \text{diag}[\underline{R}_S, \underline{R}_G] ;$$

$$\underline{R}^* = \text{diag}[\underline{R}_S^*, \underline{R}_G^*] ; \quad \underline{L} = \text{diag}[\underline{L}_S, \underline{L}_G] ;$$

$$\underline{K}_\delta = \text{diag}[\underline{K}_{\delta S} \underline{I}_7, \underline{K}_{\delta G} \underline{I}_2] ; \quad \underline{C}_\delta = \text{diag}[\underline{C}_{\delta S} \underline{I}_7, \underline{C}_{\delta G} \underline{I}_2] ;$$

$$\underline{E} = \text{diag} \left[ \frac{\underline{C}_{IS}}{\underline{R}_S} \frac{1}{1+sT_S} \underline{I}_7, \frac{\underline{C}_{IG}}{\underline{R}_G} \frac{1}{1+sT_G} \underline{I}_2 \right]. \quad (2.117)$$

Sistemul (2.113), autonom după fiecare din cele cinci grade de libertate, reunește sistemele (2.86-1), (2.86-2), (2.86-3), (2.86-4) și (2.110-2), toate avînd o structură identică cu a SES-1. Acest fapt permite simplificarea esențială a proiectării și sintezei, respectiv a sintezei și proiectării sistemelor SES-1 și SES-5L, prin operarea cu un singur tip de sistem abstract: sistemul SES-1 și SES-5L (SES-B) cu ec.(2.113)

$$\begin{bmatrix} G_k \\ G_k \\ G_k \\ U_{ck} \\ F_{ek} \\ \bar{s}_k \end{bmatrix} = \begin{bmatrix} 0 & 1 & 0 \\ 0 & 0 & 1 \\ \frac{C_{\delta k}}{M_k T_k} & \frac{C_{\delta k}}{M_k T_k} T_{dk} & -\frac{1}{T_k} \end{bmatrix} \begin{bmatrix} G_k \\ G_k \\ G_k \end{bmatrix} + \begin{bmatrix} 0 \\ 0 \\ b_k \end{bmatrix} U_{ck} + \begin{bmatrix} 0 & 0 & 0 \\ 0 & 0 & -1 \\ b_{p1k} & b_{p2k} & 0 \end{bmatrix} \begin{bmatrix} F_{ek} \\ F_{ek} \\ \bar{s}_k \end{bmatrix} \quad (2.118)$$

$$\begin{bmatrix} G_k \\ G_k \\ G_k \\ U_{ck} \\ F_{ek} \\ \bar{s}_k \end{bmatrix} = \begin{bmatrix} 1 & 0 & 0 \\ 0 & 0 & 1 \end{bmatrix} \begin{bmatrix} G_k \\ G_k \\ G_k \end{bmatrix} \quad k = 0, 1, \dots, 5.$$

Potrivit notațiilor din tabelul 2.2., SES-B conduce în cazul  $k = 0$  la SES-1L, în cazurile  $k = 1, 2, 3$  la sistemele (2.86) aferente subsistemului de susținere, iar în cazurile  $k = 4, 5$  la sistemele (2.110) componente ale subsistemului de ghidare din cadrul SES-5L.

**TABELUL 2.2. RELATII DE ECHIVALARE ALE MARIMILOR SI PARAMETRILOR SES-B (2.118) CU MARIMILE SI PARAMETRII SES-1L SI SES-5L**

SES-B	SES-1L	SES-5L				
Mărimea sau parametrul	0	1	2	3	4	5
$G_k =$	$Z_{\delta}$	$G_z$	$G_{\varphi}$	$G_{\psi}$	$G_y$	$G_x$
$\dot{G}_k =$	$Z_m$	$\dot{z}_c$	$\dot{\varphi}$	$\dot{\psi}$	$\dot{y}_c$	$\dot{x}$
$U_{ck} =$	$U_a$	$U_z$	$U_{\varphi}$	$U_{\psi}$	$U_y$	$U_x$
$F_{ek} =$	$F_e$	$F_{ez}$	$\mathcal{M}_{e\varphi}$	$\mathcal{M}_{e\psi}$	$F_{ey}$	$\mathcal{M}_{ex}$
$\bar{s}_k =$	$\bar{z}_s$	$\bar{s}_z$	$\bar{s}_{\varphi}$	$\bar{s}_{\psi}$	$\bar{s}_y$	$\bar{s}_x$
$C_{\delta k} =$	$C_{\delta}$	$C_{\delta S}$	$C_{\delta S}$	$C_{\delta S}$	$C_{\delta G}$	$C_{\delta G}$
$T_k =$	$T$	$T_S$	$T_S$	$T_S$	$T_G$	$T_G$
$T_{dk} =$	$T_d$	$T_{dS}$	$T_{dS}$	$T_{dS}$	$T_{dG}$	$T_{dG}$
$M_k =$	$M$	$\frac{M}{4}$	$\frac{J_{x'}}{4LL^*}$	$\frac{J_{y'}}{4LL^*}$	$\frac{M}{4}$	$\frac{J_{z'}}{4LL^*}$
$b_k =$	$-\frac{C_I}{MK_I}$	$-\frac{C_{IS}}{MK_{IS}}$	$-\frac{C_{IS} l^*}{J_{x'} K_{IS}}$	$-\frac{C_{IS} L^*}{J_{y'} K_{IS}}$	$-\frac{C_{IG}}{MK_{IG}}$	$-\frac{C_{IG} L^*}{J_{z'} K_{IG}}$
$b_{p1k} =$	$\frac{1}{MT}$	$\frac{1}{MT_S}$	$\frac{1}{J_{x'} T_S}$	$\frac{1}{J_{y'} T_S}$	$\frac{1}{MT_G}$	$\frac{1}{J_{z'} T_G}$
$b_{p2k} =$	$\frac{1}{M}$	$\frac{1}{M}$	$\frac{1}{J_{x'}}$	$\frac{1}{J_{y'}}$	$\frac{1}{M}$	$\frac{1}{J_{z'}}$

SES-B astfel definit este, la fel ca și sistemele pe care le reprezintă, instabil, însă controlabil și observabil.

În continuare în cap. 3, 4 și 5 se dezvoltă o serie de probleme referitoare la SES-1L, respectiv la SIEM-1L. Rezultatele fiind valabile și

pentru SES-B, ele corespund în fond - pe baza corespondențelor cuprinse în tabelul 2.2. -**fiecăruia** din cele cinci subsisteme autonome ale SES-5L, respectiv ale SLEM-5L.

## CAPITOLUL 3

### ESTIMAREA PARAMETRILOR

#### SISTEMULUI ELECTROMAGNET-SINA CU UN GRAD DE LIBERTATE

În capitolul anterior s-a stabilit că cel mai important MM pentru studiul sistemelor electromagnet-șină este MM de ordin redus alcătuit din ec.(2.19) + (2.20) - taliate prin tabelul 2.1. Odată stabilit acest rezultat, cea de a doua problemă de bază ce trebuie rezolvată în vederea realizării unui SLEM o constituie estimarea parametrilor modelului menționat, adică determinarea acestora pe cale teoretică (estimare teoretică) sau pe cale experimentală (estimare experimentală).

Autorul prezintă în mod unitar o seamă de procedee de estimare cu grade de precizie diferite. Ele sînt în general ușor de aplicat în practică necesitînd mijloace tehnice și teoretice mai puțin pretențioase. Astfel la pct.3.1. se tratează procedeele de estimare teoretică a parametrilor primari și SES-LL ( $K_I$ ,  $K_g$ ,  $C_I$  și  $C_g$ ). Ele necesită precizarea dimensiunilor SES-LL și a unor date nominale ale acestuia. La pct.3.2. se studiază unele procedee de estimare experimentală a aceluiași parametri sau a parametrilor unui SLEM-LL din care se obțin apoi valorile parametrilor ce interesează. Principalul rezultat al studiului întreprins îl constituie faptul că se dispune de un număr apreciabil de procedee pentru estimarea parametrilor SES-LL, utilizabile în diferite situații pentru obținerea datelor necesare realizării în bune condiții a SLEM-LL. Scopul prezentării acestor procedee nu l-a constituit însă și compararea lor, fapt care se poate realiza doar în linii foarte largi. D.p.d.v. al terminologiei întrebuintate se precizează că pe parcursul capitolului diferitele procedee de estimare sînt denumite prin termenii de „procedee de identificare” sau „metode de identificare”, în acord cu procedura uzuală din literatura tehnică, chiar dacă aici problema identificării se pune numai sub aspectul estimării parametrilor.

#### 3.1. Estimarea teoretică a parametrilor SES-LL.

##### 3.1.1. Relații de bază pentru estimarea teoretică a parametrilor SES-

Parametrii primari  $K_I$ ,  $K_g$ ,  $C_I$  și  $C_g$  pot fi determinați cu o bună aproximație în funcție de elementele geometrice ale electromagnetului și valorile corespunzătoare punctului de funcționare staționară al SES-LL. Următorul capitol prezintă și se analizează o singură categorie de astfel de

procedee de estimare și anume cele bazate pe ipoteza că inductivitatea electromagnetului nu depinde de curentul de excitație  $I$ , miezul feromagnetic avînd permeabilitate magnetică constantă ( $\mu_{Fe} = \infty$  sau  $\mu_{Fe} = \text{finit}$ ), ci doar de întrefierul  $Z_{\delta}$ . În consecință:

$$\Psi(I, Z_{\delta}) = L(Z_{\delta}) \cdot I, \quad (3.1)$$

iar

$$F(I, Z_{\delta}) = - \left( \frac{\partial W(I, Z_{\delta})}{\partial Z_{\delta}} \right)_{I} = - \frac{1}{2} I^2 \frac{dL(Z_{\delta})}{dZ_{\delta}}, \quad (3.2)$$

$W$  reprezentînd energia înmagazinată în cîmpul electromagnetic al SES-1L. În această ipoteză relația de definiție (2.10) conduce la expresiile particulare:

$$K_I = L_0; \quad K_{\delta} = -I_0 L'_0; \quad C_I = -I_0 L'_0; \quad C_{\delta} = \frac{1}{2} I_0^2 L''_0, \quad (3.3)$$

în care:

$$L_0 := L(Z_{\delta_0}); \quad L'_0 := \left. \frac{dL(Z_{\delta})}{dZ_{\delta}} \right|_{\Lambda_0}; \quad L''_0 := \left. \frac{d^2L(Z_{\delta})}{dZ_{\delta}^2} \right|_{\Lambda_0}. \quad (3.4)$$

Rel.(3.3) se utilizează în continuare în cadrul a cinci cazuri de estimare teoretică, cazurile T-1, ..., T-5 [41]; ele au fost folosite la estimarea parametrilor unor sisteme care au funcționat practic.

În cadrul fiecărui caz se prezintă ipotezele de calcul ale inductivității electromagnetului și expresia acesteia, dimensiunile SES-1L considerîndu-se ca în fig.3.1. Pentru primele patru cazuri expresiile parametrilor sînt date în tabelul 3.1. Pentru cazul T-5 se recomandă calculul numeric direct, expresiile parametrilor fiind complicate.

Pentru calculul constantelor de timp  $T$  și  $T_d$  este necesară estimarea valorii rezistenței  $R$ , valoare care este de asemenea dependentă de punctul  $\Lambda_0$ .

Procedee de estimare similare sînt prezentate și în [186,188] și [10], în ultimul caz obținîndu-se rezultate apropiate de cele corespunzătoare procedurii T-4.

### 3.1.2. Procedee de estimare teoretică a parametrilor SES-1L.

Cazul T-1. Inductivitatea electromagnetului se calculează în ipotezele: (i) se neglijează dispersia; (ii)  $\mu_{Fe} = \infty$ ; (iii) cîmp omogen în întrefier. Expresia inductivității este:

$$L(Z_{\delta}) = \frac{N^2 \mu_0 A_p}{4Z_{\delta}}, \quad (3.5)$$

$N$  reprezentînd numărul de spire ale bobinei electromagnetului (amplasată pe coloane sau jug). Înlocuind în rel.(2.29) expresiile parametrilor, precizate pentru acest caz în primul rînd al tabelului 3.1., rezultă  $\tau_d = 0$ , iar pentru electromagnet cea mai simplă structură infor-

mațională, redată în fig.3.2. Întrucât în realitate  $T_d > 0$ , utilizarea acestor expresii ale parametrilor va face ca regimurile tranzitorii calculate să se abată în primele momente față de regimurile tranzitorii reale mai mult decât în cazurile ce urmează, pentru care  $T_d > 0$ .

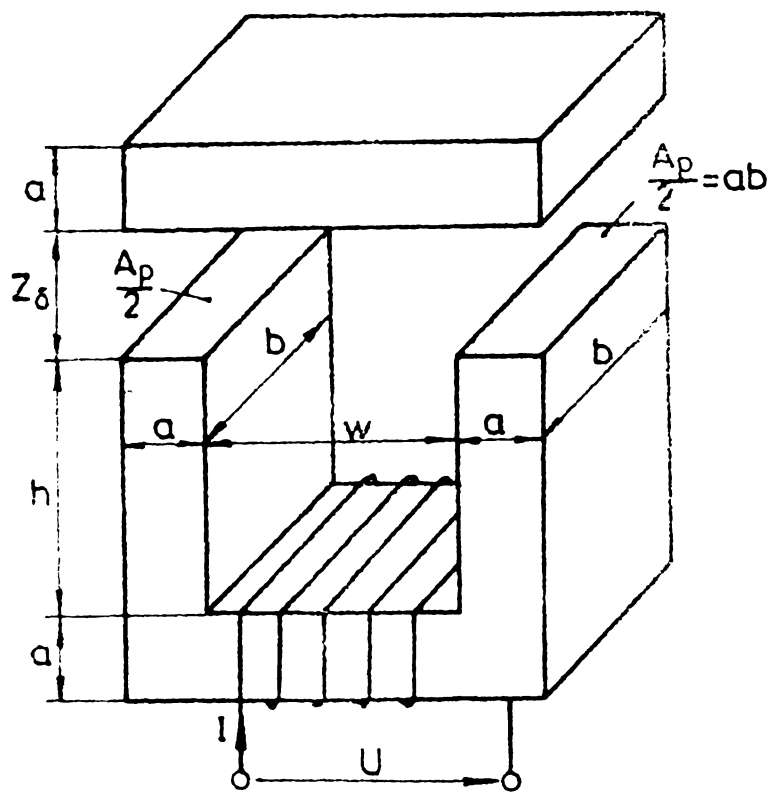


Fig. 3.1. Dimensiunile șinei și electromagnetului considerate la estimarea teoretică a parametrilor primari ai SES-1L.

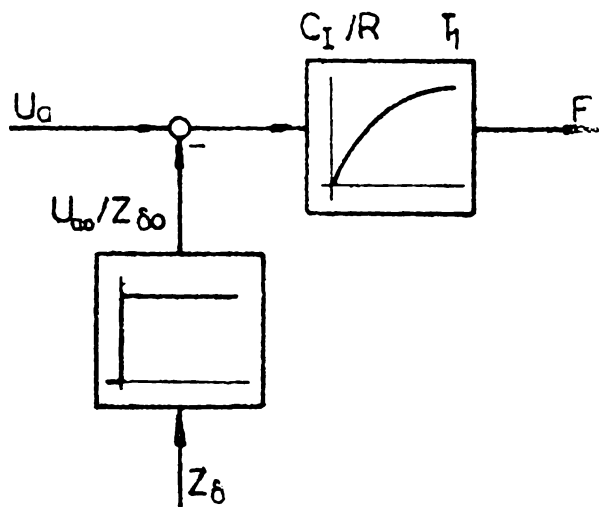


Fig. 3.2. Schema bloc structurală a electromagnetului SES-1L corespunzătoare cazului T-1.

$$T_d > 0 \quad \text{și} \quad \frac{F(0)}{F(\infty)} = \frac{\tilde{L}_\infty}{\tilde{L}_0} = \frac{\Psi_0}{\Psi_0} \quad (3.8)$$

Corespunzător noului rezultat, orice modificare de întrefier la tensiune de excitație  $U_n = U_{n0} = \text{const.}$  se soldează cu o modificare inițială instantanee a forței electromagnetice cu o cantitate care reprezintă același procent din valoarea cu care se modifică în final forța ca și procentul pe care îl reprezintă fluxul total de dispersie  $\Psi_G$  din

Cazul T-2. Ipotezele de calcul al inductivității sînt :  
 (i) electromagnetul este un element cu parametri concentrați avînd reluctanța de dispersie  $\mathcal{R}_G$  egală cu reluctanța totală corespunzătoare unui întrefier infinit ;  
 (ii)  $\mu_{Fe} = \infty$  ; (iii) cîmp omogen în întrefier. Inductivitatea are expresia:

$$L(Z_\delta) = \tilde{L}_\infty + \frac{\tilde{L}_0}{Z_\delta/Z_{\delta 0}} \quad (3.6)$$

S-a notat:

$$\tilde{L}_\infty = \frac{N^2}{\mathcal{R}_G} = \lim_{Z_\delta \rightarrow \infty} L(Z_\delta); \quad \tilde{L}_0 = \frac{N^2}{\mathcal{R}_{\delta 0}}$$

$$\mathcal{R}_{\delta 0} = \frac{4 Z_{\delta 0}}{\mu_0 A_p} \quad (3.7)$$

$\mathcal{R}_{\delta 0}$  reprezintă reluctanța totală a întrefierului SES-1L

Spre deosebire de cazul T-1, cînd - cu expresiile rezultate pentru parametrii - modificările de întrefier nu determină și modificări instantanee ale forței F (v. pct. 2.1.2.2), cu expresiile rezultate pentru parametrii primari în acest caz (rîndul al doilea din tabelul 3.1) se obțin:

înlănțuirea magnetică  $\Psi_0$  a electromagnetului, respectiv  $T_2$  din constanta de timp  $T$ . În acest caz modelarea furnizează pentru regimurile tranzitorii rezultate mult mai apropiate de realitate.

**Cazul T-3.** Față de cazul anterior se modifică numai ipoteza (ii) în forma: (ii) electromagnetul și șine sînt din materiale feromagnetice avînd același  $\mu_{Fe} = \text{const.}$  și finit (fără histeresis). Inductivitatea este:

$$L(Z_\delta) = \tilde{L}_\infty + \frac{\tilde{L}_0}{1 + Z_\delta/Z_{\delta 0}} ; \quad q = \frac{\mu_0}{\mu_{Fe}} \frac{w + 2a}{Z_{\delta 0}} \quad (3.9)$$

$\tilde{L}_\infty$  și  $\tilde{L}_0$  au expresiile din (3.7). Rel. (3.9) sînt valabile și în acest caz. Pentru calculul lui  $R_G$  se pot utiliza una din următoarele două expresii [112,94] care conduc la rezultate practic echivalente [41]:

$$R_G = \frac{1}{\mu_0 h \left[ \frac{b}{w} + \frac{2}{\pi} \ln \left( 1 + \frac{\pi a}{w} \right) \right]} ; \quad R_G = \frac{1}{\mu_0 h \left[ \frac{b}{w} + \ln \left( 1 + \frac{\pi a}{w} \right) \right]} \quad (3.10)$$

Observație: Notînd cu  $T_1$ ,  $T_2$  și  $T_3$  valorile constantei de timp a electromagnetului corespunzătoare celor trei cazuri de excitație prezentate anterior, conform tabelului 3.1. rezultă:  $T_2 = K_2 T_1 > T_3 = K_3 T_1 > T_1$ . În concluzie, în ipoteze mai puțin simplificatorii pentru  $T$  se obțin valori mai mari decît  $T_1$ . În general [41]:

$$T_1 < T < T_{\max} = T_1 \frac{l_{sp}}{b} , \quad (3.11)$$

$l_{sp}$  reprezentînd lungimea medie a unei șine a bobinei electromagnetului. Expresia lui  $T_{\max}$  este dată în [125].

**Cazul T-4.** Ipotezele pentru calculul inductivității sînt: (i) bobina electromagnetului este așezată pe jug (fig. 3.1); (ii) fluxul magnetic variază în lungul coloanelor; (iii) electromagnetul și șine sînt din materiale feromagnetice avînd același  $\mu_{Fe} = \text{const.}$  și finit (fără histeresis); (iv) pentru trecerea liniilor de câmp magnetic prin întrețier se consideră un coeficient de umflări  $k_U$ ; (v) coloanele au fiecare re-luctanța magnetică  $R_c$ ; (vi) cele două întrețieruri și giza au împreună reluctanța  $R_l$ . Se obține: [41]:

$$L(Z_\delta) = \frac{N^2}{R_b} \frac{R_b + R_l(Z_\delta) \tan \varphi}{R_b \tan \varphi + R_l(Z_\delta)} , \quad (3.12)$$

în care:

$$R_b = \sqrt{R_c R_G} ; \quad \varphi = \sqrt{R_c / R_G} \quad (3.13)$$

Expresiile din rîndul patru al tabelului 3.1. se pot stabili considerînd

$$R_l(Z_\delta) = R_l \sin \alpha + \frac{4Z_\delta}{\mu_0 A_p} k_U ; \quad (3.14)$$

- cu aproximație, se poate lua  $R_c = \frac{4h}{\mu_{Fe} A_p}$ .

**Cazul T-5.** Ipotezele de calcul sînt: (i) bobina electromagnetului este împărțită în două segmente egale așezate pe coloane; (ii) - (vi) idem cazul T-4; (vii) jugul electromagnetului are reluctanța magnetică  $R_j$ .



Rezultă expresia [41] :

$$L(Z_\delta) = \frac{N^2}{R_c} \left\{ 1 - \frac{2R_j R_l(Z_\delta)(\operatorname{ch} \varphi - 1)/R_b + (R_j + R_l(Z_\delta)) \operatorname{sh} \varphi}{R_c [(1 + R_j R_l(Z_\delta)/R_b^2) \operatorname{sh} \varphi + (R_j + R_l(Z_\delta)) R_b^{-1} \operatorname{ch} \varphi]} \right\} \quad (3.15)$$

**TABELUL 3.1.** RELATII DE CALCUL PENTRU PARAMETRII SES-IL CORESPUNZATOARE CAZURILOR DE ESTIMARE TEORETICA T-1, ..., T-4.

Parametrii Cazul	$K_I$	$K_\delta = C_I$	$C_\delta$	T	Observații
T-1	$\tilde{L}_0$	$K_1 \tilde{L}_0$	$K_1^2 \tilde{L}_0$	$T_1$	$T_1 = \tilde{L}_0 / R$ ; $K_1 = I_0 / Z_{\delta 0}$
T-2	$K_2 \tilde{L}_0$	$K_1 \tilde{L}_0$	$K_1^2 \tilde{L}_0$	$T_2 =$ $= K_2 T_1$	$K_2 = 1 + \tilde{L}_\infty / \tilde{L}_0 > 1$ $T_2 = (\tilde{L}_\infty / L_0) T_1$
T-3	$K_3 \tilde{L}_0$	$K_1 K_4^2 \tilde{L}_0$	$K_1^2 K_4^3 \tilde{L}_0$	$T_3 =$ $= K_3 T_1$	$K_3 = 1 / (1 + q) + \tilde{L}_\infty / \tilde{L}_0 > 1$ $K_4 = 1 / (1 + q) < 1$
T-4	$K_5 / K_6$	$\frac{K_1 K_5^2}{\tilde{L}_1 \operatorname{ch}^2}$	$\frac{K_1^2 K_5^3}{\tilde{L}_1^2 \operatorname{ch}^2 \varphi}$	$\frac{K_5}{R K_6}$	$K_5 = \frac{N^2}{R_b \operatorname{th} \varphi + R_l(Z_{\delta 0})}$ $K_6 = \frac{R_b}{R_b + R_l(Z_{\delta 0}) \operatorname{th} \varphi}$ $\tilde{L}_1 = \tilde{L}_0 / k_u$

În tabelul 3.2. se prezintă pentru cele cinci cazuri un exemplu numeric [41]. Atunci cînd punctul  $\Lambda_0$  se proiectează în domeniul liniar al curbei de magnetizare, precizia modelelor teoretice, cu excepția cazului T-1, este relativ bună. Masa  $M_0$  s-a calculat cu relația  $M_0 = 0,5 K_\delta I_0 / g$ .

**TABELUL 3.2.** VALORILE PARAMETRILOR UNUI SES-IL<sup>+</sup> ESTIMATE CONFORM CAZURILOR T-1, ..., T-5.

Parametrii	$K_I$ [Wb·A <sup>-1</sup> ]	$K_\delta$ [Wb·m <sup>-1</sup> ]	$C_I$ [N·A <sup>-1</sup> ]	$C_\delta$ [N·m <sup>-1</sup> ]	Observații	
					T [sec]	$M_0$ [kg]
T-1	0,02956	236,5	236,5	$1,8 \cdot 10^6$	0,077	964,32
T-2	0,03682	236,5	236,5	$1,8 \cdot 10^6$	0,0959	964,32
T-3	0,03671	234,7	234,7	$1,8 \cdot 10^6$	0,0957	956,98
T-4	0,04001	261,5	261,5	$2,0 \cdot 10^6$	0,104	1066,25
T-5	0,03948	258,8	258,8	$2,0 \cdot 10^6$	0,102	1055,25

<sup>+</sup>) Valorile corespund unui SES-IL, avînd următoarele dimensiuni și date nominale:  $a=0,0275$  m;  $w=0,11$  m;  $h=0,0335$  m;  $b=0,341$  m;  $b=0,313$  m;  $a_0=0,03$  m;  $Z_{\delta 0}=0,01$  m;  $I_0=80$  A;  $R=0,3836 \Omega$ ;  $B_0=1,104$  T;  $N=224$  spire.

### 3.2. Estimarea experimentală a parametrilor SES-1L.

Ipotezele simplificatorii din cazul estimării teoretice a valorilor parametrilor SES-1L se referă în general la modul de variație a permeabilității magnetice (dinamice) în lungul circuitului magnetic, la aproximarea traseului liniilor de forță ale câmpului magnetic util și ale câmpului magnetic de dispersie, la neglijarea pierderilor în fier și la considerarea unor valori constante pentru rezistența bobinajului electromagnetului. Referitor la ultimele două aspecte se consideră potrivit ca în locul rezistenței  $R$  din rel.(2.11) și (2.29) să se utilizeze o rezistență echivalentă  $R_g$  dependentă de pierderile în fier și de rezistența propriu-zisă, variabilă cu temperatura [171]. Datorită ipotezelor menționate valorile parametrilor primari ai SES-1L estimate cu relațiile de la pct.3.1. se abat destul de mult față de valorile reale corespunzătoare domeniului îngust, de valabilitate a MM de ordin redus, din vecinătatea punctului de funcționare staționară  $\Lambda_0$  considerat. O determinare mai precisă este posibilă numai pe cale experimentală, fiind utilizabile procedee de identificare experimentală în circuit deschis (pct.3.2.1) și în circuit închis (pct.3.2.2). În circuit închis parametrii SES-1L pot fi identificați fie în mod direct, fie în mod indirect prin estimarea parametrilor SLEM-1L.

#### 3.2.1. Posibilități de identificare experimentală a SES-1L în circuit deschis.

Utilizarea celor două procedee de identificare prezentate în continuare necesită blocarea și comanda mecanică a șinei și a electromagnetului și prelucrarea rezultatelor prin mediere și netezire. Se face ipoteza că SES-1L funcționează în porțiunea liniară a caracteristicii de magnetizare.

Cazul E-1. Alături de ipoteza menționată se mai presupun: (i) flux de dispersie neglijsabil; (ii) câmp omogen în întrefier, tubul de câmp avînd aria secțiunii egală cu aria unei tălpi polare ( $A_p/2$ ). Așadar:

$$B(Z_g, I) = K_B(Z_g)I \quad (3.16) ; \quad L(Z_g) = 0,5 \cdot N B_g(Z_g, I) \cdot A_p / I = f_1(Z_g). \quad (3.17)$$

Procedeul se bazează pe determinarea inductivității cu rel.(3.17) și din aceasta, pe cale grafo-analitică, a derivatelor ei, dependența (3.16) obținîndu-se punct cu punct prin intermediul caracteristicilor experimentale (3.18): fiecare caracteristică se determină pentru valori ale lui  $I$  ce satisfac ipoteza (3.16), furnizînd o valoare a inductivității, respectiv un punct al caracteristicii (3.17).

$$B_g = f_2(I) \quad , \quad Z_g = \text{const.} \quad (3.18)$$

Precizia cu care se obțin caracteristicile

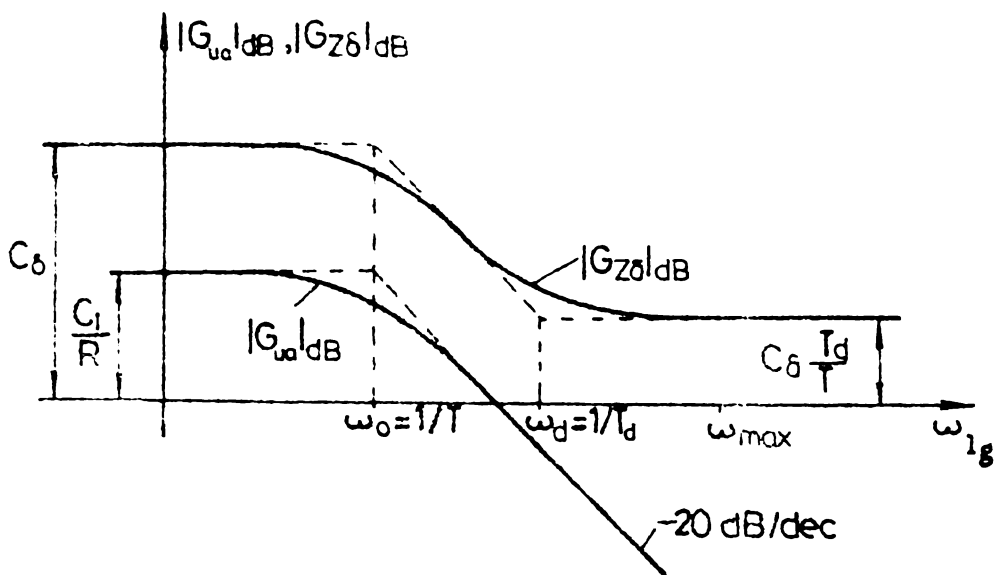
$$L'(Z_g) = f_3(Z_g) \quad \text{și} \quad L''(Z_g) = f_4(Z_g) \quad (3.19)$$

crește odată cu numărul punctelor caracteristicii  $L(Z_\delta)$  determinate experimental. Odată stabilit un punct de funcționare  $\Lambda_0$ , parametrii primari ai SES-1L se calculează cu rel.(3.3). Cu ajutorul acestui procedeu s-a realizat în bune condiții un stand experimental pentru studiul SLEM-1L [143].

Principalele curențe ale procedurii sînt: (i) valabilitatea lui numai în domeniul linear al curbei de magnetizare; (ii) calculul grafo-analitic al derivatelor (3.19); (iii) valabilitatea „aproximativă” a caracteristicilor (3.17) și în consecință și a caracteristicilor (3.19) pentru regimuri dinamice, datorită determinării lor în regim staționar constant; (iv) neglijarea dispersiei și a neomogenității câmpului magnetic din întrefier; (v) neextrapolabilitatea caracteristicilor (3.17) și (3.19) la întrefieruri din exteriorul domeniului în care s-au făcut determinările experimentale.

Cazul E-2. Identificarea experimentală se face utilizînd caracteristici de frecvență determinate și interpretate în acord cu rel.(2.28). Procedul, propus în [191], a fost aprofundat în [41] și [42]. În esență el se bazează pe determinarea experimentală a c.a-p. din fig. 3.3, în care

$$G_{U_a}(s) = \frac{F(s)}{U_a(s)} \Big|_{Z_\delta = Z_{\delta 0}} = \frac{C_I/R}{1+Ts} \quad , \quad G_{Z_\delta}(s) = \frac{-F(s)}{Z_\delta(s)} \Big|_{U_a = U_{a0}} = C_\delta \frac{1+T_d s}{1+Ts} \quad .$$



Determinarea experimentală corectă a celor două caracteristici presupune asigurarea unei funcționări lineare a sistemului cu semnale cauză ( $U_a$  sau  $Z_\delta$ ) și efect ( $F$ ) de formă sinusoidală și cu amplitudini cât mai mari. Experimentările trebuie efectuate în regim termic staționar.

Fig 3.3. C.d.f. utilizate pentru identificarea experimentală a SES-1L.

Caracteristica  $|G_{U_a}|_{dB}$ , care necesită determinări experimentale pe un interval de frecvență mai restrîns, permite obținerea valorilor a doi dintre parametrii primari ai SES-1L:

$$C_I = R \cdot \lim_{\omega \rightarrow 0} |G_{U_a}|_{dB} \quad \text{și} \quad K_I = R / \omega_0 \quad , \quad (3.20)$$

$\omega_0$  fiind pulsația de frîngere a caracteristicii considerate. Privind caracteristica  $|G_{Z_\delta}|_{dB}$  care furnizează valorile celorlalți doi parametri primari:

$$C_\delta = \lim_{\omega \rightarrow 0} |G_{Z_\delta}|_{dB} \quad \text{și} \quad K_\delta \approx [1 + |G_{Z_\delta}(j\omega_{max})| \frac{1}{C_\delta}] K_I C_\delta / C_I \quad , \quad (3.21)$$

( $\omega_{max}$  reprezintă pulsația maximă de care este capabil oscilatorul care acționează șina sau electromagnetul standardului experimental), se remarcă faptul că practic este suficientă **determinarea** unor puncte numai la capătul intervalului de frecvențe, respectiv în domeniul ușor de estimat utilizând relațiile cuprinse în tabelul 3.1.

Unele etape ale procedurii se pot simplifica înlocuind determinările dinamice cu determinări statice. Astfel, conform [41] :

$$C_I = \lim_{I \rightarrow I_0} \left| \frac{F - F_0}{I - I_0} \right|_{Z_\delta = Z_{\delta 0}} ; \quad C_\delta = \lim_{Z_\delta \rightarrow Z_{\delta 0}} \left| \frac{F_0 - F}{Z_\delta - Z_{\delta 0}} \right|_{I = I_0}$$

Principalul dezavantaj al procedurii E-2 îl constituie faptul că determinarea caracteristicilor  $|G_{U_0}|_{dB}$  și  $|G_{Z_\delta}|_{dB}$  reclamă un stand specializat cu aparatură adecvată, de mare sensibilitate, care să permită efectuarea unor măsurători semnificative la amplitudini relativ mici ale componentelor sinusoidale ale semnalelor de intrare  $U_0$  și  $Z_\delta$ .

### 3.2.2. Posibilități de identificare experimentală a SES-IL în circuit închis.

Identificarea experimentală a SES-IL în circuit închis necesită asigurarea stării de levitație a sistemului de către un SLS-IL care este spre exemplu cel din fig.3.4.  $Z_\delta$  reprezintă variația de cantitate a

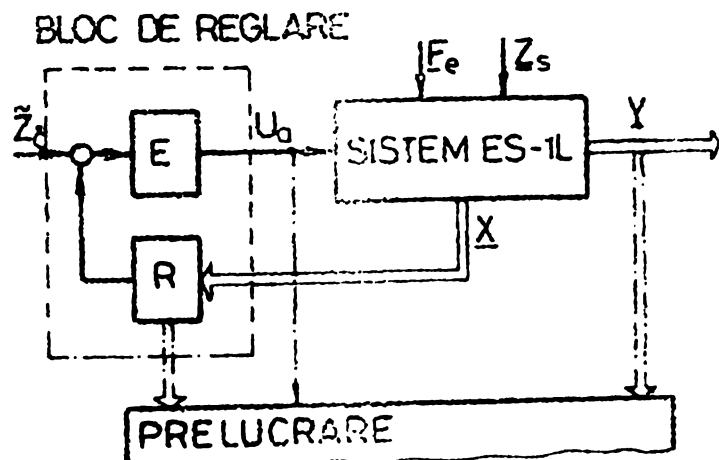


Fig. 3.4. Schema bloc a unui SLS-IL utilizat pentru identificarea experimentală în circuit închis a SES-IL.

mații referitoare la întreaga SLS-IL, și să se realizeze în acest scop urmându-se într-o primă etapă parametrii SLS-IL, în special cei care caracterizează parametrii primari ai SES-IL.

SLS-IL noi care se prezintă în forma setului de date  $Z_\delta$  de intrare și ieșire în timp real. Blocul de reglare conține un procesor de stabilizare și un element de frecvență  $\omega$ . Odată realizat SLS-IL, estimarea parametrilor SES-IL se poate efectua:

- (i) prin metoda de variație a amplitudinii de intrare  $U_0$  și măsurarea amplitudinii de ieșire  $Y$  la diferite amplitudini ale semnalului de intrare SES-IL;
- (ii) prin metoda de variație a frecvenței  $\omega$  și măsurarea amplitudinii de ieșire  $Y$  la diferite frecvențe ale semnalului de intrare SES-IL;

Se disting două categorii de procedee de identificare experimentală în circuit închis a SES-1L:

- procedee de identificare prin măsurare directă;
- procedee de identificare prin măsurare adaptivă.

Metodele de identificare prin măsurare directă, considerate, fac parte din categoria metodelor de identificare cu semnale de probă (metode active) neperiodice și cu măsurarea (înregistrarea) intrării și a răspunsului tranzitoriu. Se consideră așadar semnale deterministe afectate doar de mici perturbații. Nu s-au luat în considerație procedee de identificare cu semnale stohastice. De asemenea nu se tratează nici procedee de identificare cu semnale deterministe sinusoidale, întrucât utilizarea lor nu aduce elemente noi față de cazul E-2 și față de procedeele studiate în acest paragraf.

Pentru utilizarea procedeelelor de identificare prin măsurare adaptivă menționate, se recomandă excitarea SLEM-1L tot cu semnale de probă deterministe, neperiodice, informațiile trebuind să fie prelevate din mai multe puncte din sistem. Ele se pot utiliza și cu semnale din funcționarea normală a SES-1L.

Pentru ca ambele tipuri de procedee de identificare să conducă la rezultate corecte, utilizabile, este necesar ca procesul dinamic pe baza căruia se desfășoară identificarea experimentală să se producă în vecinătatea punctului nominal de funcționare staționară  $\Lambda_0$  al SES-1L.

### 3.2.2.1. Identificarea prin procedee de măsurare directă.

Se consideră SLEM-1L din fig. 3.4. În ipoteza că blocul de reglare este liniar și cunoscut, matricile de transfer ale sistemului au de asemenea un aspect cunoscut, iar problema identificării se pune numai sub aspectul estimării parametrilor pentru structura rezultată. Dezvoltarea problemei implică aplicarea unor metode de aproximare, care utilizează procedee analitice, grafice sau mixte.

#### 3.2.2.1.1. Relații de legătură între parametrii SES-1L și coeficienții MM al SLEM-1L.

Pentru blocul de reglare din fig. 3.4. se consideră legea de comandă

$$U_a = \underline{K}^T \underline{X} + \tilde{Z}_g, \quad (3.22)$$

$\underline{K}$  reprezentînd matricea compensatorului, avînd elementele constante și cunoscute. Elementul de execuție E se presupune că are coeficient de

transfer unitar. Din ec.(2.19) și (3.22), pentru vectorul de stare  $\underline{X}$ , rezultă:

$$\underline{X}(s) = (s\underline{I} - \underline{A} - \underline{B}_c \underline{K}^T)^{-1} \underline{B}_c \tilde{Z}_\delta(s) + (s\underline{I} - \underline{A} - \underline{B}_c \underline{K}^T)^{-1} \underline{B}_p U_p(s) \quad (3.23)$$

Inlocuind acest rezultat in ec.(2.20) se obține:

$$\underline{Y}(s) = \underline{C}(s\underline{I} - \underline{A} + \underline{B}_c \underline{K}^T)^{-1} \tilde{Z}_\delta(s) + \left[ \underline{C}(s\underline{I} - \underline{A} + \underline{B}_c \underline{K}^T)^{-1} \underline{B}_p + \underline{D}_p \right] U_p(s) \quad (3.24)$$

Expresia concretă a lui  $\underline{Y}(s)$  depinde de reprezentarea utilizată pentru vectorul de stare, ci doar de aspectul lui  $\underline{K}$ . Se consideră:

$$\underline{K} = [K_p \quad K_v \quad K_a]^T \quad (3.25)$$

Efectuind calculele din rel.(3.24)  $\underline{Y}(s)$  devine:

$$\underline{Y}(s) := \begin{bmatrix} Z_\delta(s) \\ I(s) \\ \ddot{Z}_m(s) \end{bmatrix} = \begin{bmatrix} \frac{b}{\Delta(s)} \\ \frac{b}{C_f} \frac{-Ms^2 + C_\delta}{\Delta(s)} \\ \frac{bs^2}{\Delta(s)} \end{bmatrix} \tilde{Z}_\delta(s) + \begin{bmatrix} \frac{sT+1}{MT\Delta(s)} & -\frac{s-b(K_a+K_{a0})}{\Delta(s)} \\ \frac{1}{K_i} \frac{K_a s^2 + (K_v + K_\delta)s + K_p}{M\Delta(s)} & -\frac{1}{K_i} \frac{(K_v - K_{v0})s + (\frac{C_\delta}{M} K_p + K_p)}{\Delta(s)} \\ \frac{s^2(sT+1)}{MT\Delta(s)} & \frac{b}{\Delta(s)} \frac{(K_{a0} - K_a)s + (K_{p0} - K_p)}{\Delta(s)} \end{bmatrix} \begin{bmatrix} F_e(s) \\ \ddot{Z}_s(s) \end{bmatrix} \quad (3.26)$$

in care:

$$\Delta(s) = s^3 - b(K_a + K_{a0})s^2 - b(K_v - K_{v0})s - b(K_p - K_{p0}) \quad (3.27)$$

este polinomul caracteristic al SLEM-ll considerat. Mărimile notate cu  $K_{p0}$ ,  $K_{v0}$ ,  $K_{a0}$  și  $b$  au expresiile:

$$K_{p0} = -\frac{C_f}{MbT}, \quad K_{v0} = -\frac{C_\delta T_d}{MbT}, \quad K_{a0} = -\frac{1}{bT}, \quad (3.28)$$

respectiv

$$b = -\frac{C_I}{MK_I}, \quad (3.29)$$

reprezentând așa-numiții parametri derivați ai SFS-ll. Parametrii  $K_{p0}$ ,  $K_{v0}$  și  $K_{a0}$  au aceeași dimensiune ca și  $K_p$ ,  $K_v$ , respectiv  $K_a$ .

La stabilirea rel.(3.26) s-a avut în vedere că în expresia lui  $\underline{U}_p(t)$  apar atât  $F_e(t)$  cât și  $\dot{F}_e(t)$ , prin trecerea în operațional fiind posibilă reducerea numărului componentelor lui  $\underline{U}_p$  de la trei la două:

$$\underline{U}_{pr}(s) = [F_e(s) \quad \ddot{Z}_s(s)]^T \quad (3.30)$$

Intrucit tensiunea  $U_a$  se obține de la un chopper, nu se recomandă utilizarea curentului  $I$  pentru identificarea prin procedee de măsurare directă datorită problemelor de filtrare care apar. Din acest motiv se consideră ca ieșiri numai  $Z_\delta$  și  $\ddot{Z}_m$ , iar ca intrări  $\tilde{Z}_\delta$ ,  $\ddot{Z}_s$  și  $Z_\delta$  (variația distanței de la șină la un referențial arbitrar de pe stand, măsurată în plan vertical). P.d.t. care intră în considerație sînt:

$$G_{\tilde{Z}_\delta Z_\delta}(s) = \frac{b}{\Delta(s)} \quad (3.31-1) \quad ; \quad G_{\ddot{Z}_s Z_\delta}(s) = -\frac{s-b(K_a+K_{a0})}{\Delta(s)}; \quad (3.31-2)$$

$$G_{\ddot{Z}_m Z_\delta}(s) = -\frac{s^3 - b(K_a + K_{a0})s^2}{\Delta(s)} = s^2 G_{\tilde{Z}_\delta Z_\delta}(s) \quad ; \quad (3.31-3)$$

$$G_{\tilde{Z}_\delta Z_m}(s) = \frac{bs^2}{\Delta(s)} \quad (3.31-4) ; \quad G_{\tilde{Z}_\delta \ddot{Z}_m}(s) = \frac{b(K_{vo} - K_v)s + b(K_{po} - K_p)}{\Delta(s)} \quad (3.31-5)$$

Cu excepția f.d.t.  $G_{\tilde{Z}_\delta Z_\delta}(s)$  și  $G_{\tilde{Z}_\delta \ddot{Z}_m}(s)$  în care apar patru coeficienți distincți în restul f.d.t. apar numai trei coeficienți distincți rezultând numai trei condiții pentru determinarea parametrilor primari ai SES-1L. În consecință estimarea lor se va face numai pe baza celor două f.d.t. menționate - legate, de altfel, prin relația  $G_{\tilde{Z}_\delta \ddot{Z}_m}(s) = s^2 G_{\tilde{Z}_\delta Z_\delta}(s)$  în rezolvarea problemei parcurgându-se două etape:

(i) Se determină coeficienții  $b, \alpha_0, \alpha_1, \alpha_2$  ai f.d.t. (3.31-1) și (3.31-4) prin identificare experimentală, folosind una dintre metodele prezentate în continuare. S-a notat:

$$\alpha_0 = -b(K_p - K_{po}) ; \quad \alpha_1 = -b(K_v - K_{vo}) ; \quad \alpha_2 = -b(K_a + K_{ao}) \quad (3.32)$$

(ii) Se calculează parametrii primari ai SES-1L în funcție de acești coeficienți cu relațiile:

$$K_I = \frac{R}{\alpha_2 + bK_a} ; \quad K_\delta = -bK_v - \alpha_1 + \frac{bK_p + \alpha_0}{b(bK_a + \alpha_2)} ; \quad (3.33)$$

$$C_I = -\frac{bMR}{bK_a + \alpha_2} ; \quad C_\delta = -M \frac{\alpha_0 + bK_p}{bK_a + \alpha_2} ,$$

deduse prin rezolvare în raport cu  $K_I, \dots, C_\delta$  a sistemului de ecuații format din rel. (3.32), (3.29) și (3.26).

Masa  $M$ , rezistența  $R$  și amplificările  $K_p, K_v$  și  $K_a$  ale blocului de reglare se consideră cunoscute. În cazurile practice, amplificările, la fel ca și mărimea  $\tilde{Z}_\delta$ , vor include și coeficientul de transfer al elementului de execuție.

### 3.2.2.1.2. Metode matematice utilizabile pentru identificarea f.d.t.

$G_{\tilde{Z}_\delta Z_\delta}(s)$  și  $G_{\tilde{Z}_\delta \ddot{Z}_m}(s)$  cu semnale de probă neperiodice, prin înregistrarea semnalului de intrare și a răspunsului tranzitoriu.

Se consideră o situație tehnică în care se poate neglija zgomotul și în care se dispune de înregistrări simultane ale semnalelor de intrare și de ieșire ale sistemului din fig. 3.5, MM-II al sistemului avînd forma:

$$y^{(n)} + \alpha_{n-1}y^{(n-1)} + \dots + \alpha_1 y + \alpha_0 y = \beta_m u^{(m)} + \beta_{m-1} u^{(m-1)} + \dots + \beta_1 u + \beta_0 u \quad (3.34)$$

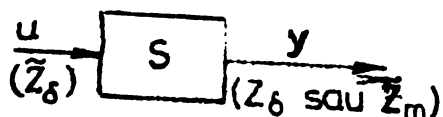


Fig. 3.5. Sistem monovariable la intrare și la ieșire.

Valorile coeficienților acestui model sau ai MM (3.35) de o generalitate mai redusă se pot determina prin gase metode bazate pe prelucrarea celor două înregistrări  $u(t)$  și  $y(t)$ .

$$y^{(n)} + \alpha_{n-1}y^{(n-1)} + \dots + \alpha_1 y + \alpha_0 y = \beta_0 u \quad (3.35)$$

Pentru  $n = 3$  și  $\beta_m = \dots = \beta_1 = 0$ , cele două MI corespund unui sistem cu f.d.t. (3.31-1), iar pentru  $n = 3$ ,  $\beta_2 = 1$  și  $\beta_1 = 0$ ,  $i \neq 2$  MI (3.34) corespunde unui sistem cu f.d.t. (3.31-4). Rezultă astfel cele două cazuri particulare care interesează. Principalele două metode tratate în continuare se referă tocmai la aceste forme particulare, fiind a fi generalizabile pentru sisteme de ordine mai mari.

Cazul ID-1: Metoda utilizării curbelor de performanță (v. anexa IV). Se consideră date caracteristicile de performanță (fig. IV-2)

$$G_1 = f_1(d), \quad \tau_m = f_2(d), \quad \tau_1 = f_3(d), \quad \frac{\tau_r}{\tau_1} = f_4(d), \quad \text{parametru } \beta = \frac{\omega_1}{\omega_0} \quad (3.36)$$

aferente sistemelor liniare de ordinul III cu f.d.t.:

$$G(s) = \frac{\omega_1 \omega_0^2}{(s + \omega_1)(s^2 + 2d\omega_0 s + \omega_0^2)} = \frac{\beta}{s^2 + \alpha_2 s + \alpha_1 s + \alpha_0} \quad (3.37)$$

Coeficienții  $\alpha_2, \alpha_1, \alpha_0$  și  $\beta_0 = 1$  se calculează parcurgînd următoarele etape:

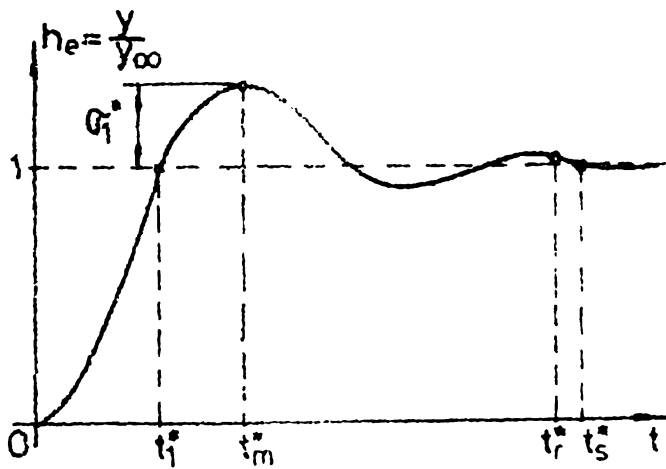


Fig. 3.6. Răspunsul indicial al sistemului din fig. 3.4. ( $y(t) = Z_f(t)$ ,  $u(t) = \tilde{Z}_f(t)$  și  $y_\infty = \lim_{t \rightarrow \infty} Z_f(t)$ ).

(i) Se stabilesc grafic valorile indicilor de performanță  $G_1^*$ ,  $t_1^*$ ,  $t_m^*$  și  $t_r^*$  pe baza răspunsului indicial al sistemului S (fig. 3.6), obținut experimental ( $y = Z_f$ ,  $u = \tilde{Z}_f$ ):

$$h_e(t) = \frac{y(t)}{y_\infty}, \quad y_\infty = \lim_{t \rightarrow \infty} y(t). \quad (3.38)$$

(ii) Se trasează într-un sistem de axe  $(\beta, \epsilon_G)$  sau  $(\beta, \epsilon_G)$ , delimitată de imaginile din planul  $(\beta, d)$  ale punctelor de intersecție dintre caracteristicile  $G_1 = f_1(d)$ , de parametru  $\beta$ , și ecuații

afășii  $G_1 = G_1^* + \epsilon_{G1}$  și  $G_1 = G_1^* - \epsilon_{G1}$ ,  $\epsilon_{G1}$  fiind eroarea de măsură la care se apreciază că s-a determinat  $G_1^*$ .

(iii) Se trasează în același sistem de axe  $(\beta, \epsilon_t)$  sau  $(\beta, \epsilon_t)$ , delimitată de imaginile din planul  $(\beta, d)$  ale punctelor de intersecție

dintre caracteristicile  $\frac{\tau_r}{\tau_1} = f_4(d)$ , de parametru  $\beta$ , și ecuațiile

$$\frac{\tau_r}{\tau_1} = \frac{t_r^*}{t_1^*} + \epsilon_t \quad \text{și} \quad \frac{\tau_r}{\tau_1} = \frac{t_r^*}{t_1^*} - \epsilon_t, \quad \epsilon_t \text{ fiind eroarea de măsură la care s-a determinat raportul } t_r^*/t_1^*.$$

(iv) Se alege arbitrar un punct de intersecție al celor două zone  $(\beta, \epsilon_G)$  și  $(\beta, \epsilon_t)$ .

(v) Se determină valoarea  $\tau_1^*$  conform ecuației  $\tau_1 = f_3(d)$ , de parametru  $\beta = \beta^*$  și  $\tau_m^* = t_m^* \omega_0^*$ .  $\omega_0^* = \frac{\tau_1^*}{t_1^*}$



(vi) Se verifică dacă  $\tau_m^*$  determinat pentru  $d = d^*$  pe caracteristica  $\tau_m = f_2(d)$ , de parametru  $\beta^*$ , satisface condiția:  $\omega_0^* |\tau_m^{**} - \tau_m^*| \leq t_\varepsilon$ ,  $t_\varepsilon$  fiind toleranța admisă pentru verificarea lui  $\tau_m$ . În cazul cînd această condiție este îndeplinită se consideră pentru prima f.d.t.

(3.37):  $d = d^*$ ,  $\omega_0 = \omega_0^*$  și  $\omega_1 = \omega_0^* \beta^*$ , iar în caz contrar se reiau ultimele două etape cu diverse perechi de valori  $d^*$ ,  $\beta^*$  corespunzătoare altor puncte din domeniul de intersecție al celor două zone menționate pînă la găsirea unui punct în care condiția precizată este satisfăcută. Odată stabilit un astfel de punct se recomandă compararea răspunsului de calcul, rel.(IV-2), cu cel experimental.

(vii) Se calculează parametrii primari ai SES-1L cu rel.(3.33), pentru

$$\alpha_2 = \omega_1 + 2d\omega_0, \quad \alpha_1 = \omega_0(\omega_0 + 2d\omega_1), \quad \alpha_0 = \omega_1\omega_0^2, \quad (3.39-1)$$

rezultate din (3.38) și pentru

$$b = \beta_0 = \alpha_0 y_\infty / u_\infty. \quad (3.39-2)$$

Algoritmul prezentat are, incontestabil, avantajul simplității, însă dezavantajul identificării pe baza unui număr redus de informații -  $G_1^*$ ,  $t_m^*$  și  $t_r^*$  - și al aprecierii preciziei pe baza unui criteriu local (compararea valorilor lui  $\tau_m^{**}$  și  $\tau_m^*$ ). Plecînd de la principiul expus pot fi concepute și alte variante.

Cazul ID-2: Metoda primului extrem [134,21,22]. Ea este valabilă numai pentru sistemele oscilante de ordinul III cu MM-II de forma:

$$\ddot{y}(t) + \alpha_2 \dot{y}(t) + \alpha_1 y(t) + \alpha_0 y(t) = \beta_0 u(t). \quad (3.40)$$

Pentru identificare se folosește un număr mult mai mare de informații decît în cazul anterior: 1° - integrala răspunsului indicial experimental

$\int_0^{t_S^*} h_e(t) dt$  în care  $t_S^*$  = timpul de la care începînd se consideră că  $h_e(t)$  a atins valoarea staționară  $h_e(\infty) = \frac{y(t_S^*)}{y_\infty} = 1$  (fig.3.6); 2° -

coordonatele primului extrem  $G_1^*$ ,  $t_m^*$ .

Parametrii SES-1L se determină cu rel.(3.33) pentru:

$$\alpha_2 = \frac{\alpha + \beta - \beta^2}{\alpha\beta} \gamma^2, \quad \alpha_1 = (\alpha\beta\gamma^2)^{-1}, \quad \alpha_0 = (\alpha\beta\gamma^3)^{-1} \quad (3.41)$$

și  $b$  calculat cu rel.(3.39-2). În rel.(3.41):

$$\gamma = \int_0^{t_S^*} [1 - h_e(t)] dt, \quad (3.42)$$

iar  $\alpha$  și  $\beta$  sînt soluțiile sistemului de ecuații transcendente:

$$G_1^* + (A \cos \omega \frac{t_m^*}{\gamma} + B \sin \omega \frac{t_m^*}{\gamma}) \exp(-\frac{1-\beta}{2\alpha} \frac{t_m^*}{\gamma}) + C \exp(-\frac{t_m^*}{\beta\gamma}) = 0$$

$$\frac{\beta-1}{2\alpha} G_1^* + C (\frac{1}{\beta} + \frac{\beta-1}{2\alpha}) \exp(-\frac{t_m^*}{\beta\gamma}) + (A \sin \omega \frac{t_m^*}{\gamma} - B \cos \omega \frac{t_m^*}{\gamma}) \omega \cdot \exp(-\frac{1-\beta}{2\alpha} \frac{t_m^*}{\gamma}) = 0. \quad (3.43)$$

S-au utilizat notațiile:

$$\omega = \sqrt{\frac{1}{\alpha} - \frac{(1-\beta)^2}{4\alpha^2}}; \quad A = \frac{\alpha - \beta + \beta^2}{\alpha - \beta + 2\beta^2}; \quad B = \frac{\alpha(1+\beta) - \beta(1-\beta)^2}{2\alpha\omega(\alpha - \beta + 2\beta^2)}; \quad C = \frac{\beta^2}{\alpha - \beta + 2\beta^2}.$$

Metoda primului extrem prezintă avantajul unei precizii bune determinată de utilizarea integrală a informațiilor din răspunsul indicial, însă dependentă de: a) modul de integrare a răspunsului indicial experimental - rel.(3.42) și b) precizia rezolvării sistemului (3.43). Pentru rezolvarea ultimei probleme în [21] se propune un algoritm original, prin care îmbunătățește considerabil rezultatele la care s-a ajuns în [134]. Precizia procedurii este comparabilă și în raport cu procedeele integrale ce recurg, pentru identificare, la integrări succesive. Răspunsurile indiciale calculate ca rezultate a care se obțin prin această metodă se abat față de cele experimentale cu mult mai puțin decât în cazul altor metode [23]. Diferența este explicată prin utilizarea, în cazul de față, numai a integralei simple a răspunsului indicial.

Principalul dezavantaj al metodei îl constituie aria sa limitată de variabilitate: numai pentru sistemele de ordinul III (tipurile II-III (3.40) și răspunsul indicial de forma din fig.3.0 - maxim absolut identic cu primul maxim (după Duytschaever: sisteme de ordinul III, oscilante, subamortizate, de tipul A [54]).

Cazurile ID-3, ID-4, ID-5 reprezintă particularizări ale metodei integrale de calcul al coeficienților, corespunzătoare identificării f.d.t. (3.31-1) și (3.31-4) în condițiile de folosirea a semnalelor treaptă. Rezultatele sînt cuprinse în tabelul 3.3. Informațiile din răspunsul indicial sînt folosite în mod integral. Datorită influenței negative pe care o pot avea perturbațiile la joasă frecvență este importantă filtrarea lor (cel puțin prin medie). Pentru efectuarea integrărilor se pot utiliza metode numerice sau grafice.

Alături de metodele prezentate, pentru identificarea SRS-II pot fi folosite o serie <sup>de</sup> alte metode, derivate din metodele integrale calculate și din metodele de aproximare diferențiale, utilizate în cazul aliniării unor semnale de intrare oarecari [15, 16, 161, 162, 17, 21].

Din rîndul acestora se remarcă metoda „int. celor două”, care nu recurge la utilizarea unor „funcții de cost”; ea face uz de procedeul propus în [47], extins pentru cazul unor funcții neliniare în [26]. Metodele menționate mai sus sînt prezentate în [162] prin trei elemente ce o caracterizează: 1<sup>o</sup> - soluțiile sistemelor instabile cu un pol în origine; 2<sup>o</sup> - algoritmul de integrări utilizate pentru alcătuirea sistemului algebric; 3<sup>o</sup> - algoritmul utilizat pentru identificare în [162], ca urmare a neutilizării pentru fiecare integrală a tuturor

**TABELUL 3.3. RELATII DE CALCUL SI PRECIZARI PENTRU CAZURILE ID-3, ID-4 SI ID-5.**

Denumirea metodei care a generat procedeul	Relații de calcul pentru coeficienții $\alpha_0, \alpha_1, \alpha_2$ și $b$ din (3.33)		Mențiuni
a) Autori b) Referința după care s-au stabilit relațiile c) Alte referințe	Relații principale a) pentru $G_{Z_s} Z_{\delta}(s)$ b) pentru $G_{Z_{\delta}} Z_m(s)$	Relații auxiliare de calcul a coeficienților integrali	a) Sensibilitate față de perturbații stohastice de înaltă frecvență b) Sensibilitate față de mici perturbații de joasă frecvență c) Alte mențiuni
<p>Metoda suprafeței varianta I</p> <p>a) [154, 161] b) [78] c) [135, 7]</p> <p><u>ID - 3</u></p>	<p>a) <math>\alpha_0 = (K_1^2 - K_2(K_2 + K_3))^{-1}</math> <math>\alpha_1 = K_1</math> <math>\alpha_2 = (K_1^2 - K_2)\alpha_0</math> <math>b = \alpha_0 / Z_{\delta\infty}</math></p> <p>b) <math>\alpha_0 = \left( \frac{K_3}{K_1} - \frac{K_3 K_4 + K_5}{K_2} \right)^{-1}</math> <math>\alpha_1 = \frac{K_3}{K_2}</math> <math>\alpha_2 = \left( \frac{K_3}{K_1} - \frac{K_4}{K_2} \right) \alpha_0</math> <math>b = K_2</math></p>	<p><math>K_r = \lim_{t \rightarrow \infty} \int_0^t (K_{r-1} - h_{r-1}(\tau)) d\tau</math> <math>h_{r-1}(t) = \int_0^t (K_{r-2} - h_{r-2}(\tau)) d\tau</math> <math>r = 1, 2, 3, 4, 5</math> <math>K_0 = \lim_{t \rightarrow \infty} h_e(t)</math> <math>h_0(t) = h_e(t)</math></p>	<p>a) - b) Redusă c) Metoda este aplicabilă și pentru semnale de intrare oarecari. Relațiile se modifică</p> <p>c) Procedeul este valabil numai dacă pentru semnalul treaptă aplicat <math>K_1 = 0</math> (tennic) a) - b) Medie</p>
<p>Metoda suprafeței varianta II</p> <p>a) [102, 161] b) [102] c) [56, 22]</p> <p><u>ID - 4</u></p>	<p>a) <math>\alpha_0 = \frac{1}{K_2}</math> <math>\alpha_1 = K_1</math> <math>\alpha_2 = K_2 \alpha_0</math> <math>b = \alpha_0 / Z_{\delta\infty}</math></p>	<p><math>K_i = K_{i-1} \int_0^{\infty} [y_{i-1}(t) - h_e(t)] dt</math> <math>y_{i-1}(t) = \frac{K_{i-2}}{K_{i-1}} \int_0^t [y_{i-2}(\tau) - h_e(\tau)] d\tau</math> <math>i = 1, 2, 3</math> <math>K_0 = 1, y_0(t) = 1</math></p>	<p>a) - b) Redusă c) Relațiile sînt valabile atît pentru semnale treaptă ideale, cît și pentru semnale treaptă reale.</p> <p>Metoda este aplicabilă și la semnale impuls</p>
<p>Metoda momentelor multiple</p> <p>a) Ba III b) [78] c) —</p> <p><u>ID - 5</u></p>	<p>a) <math>\alpha_0 = (M_0^3 - 4M_0M_1 + \frac{M_2}{2})^{-1}</math> <math>\alpha_1 = M_0</math> <math>\alpha_2 = (M_0^2 - M_1)\alpha_0</math> <math>b = \alpha_0 / Z_{\delta\infty}</math></p> <p>b) <math>\alpha_0 = \frac{24M_1^3}{(6M_2^3 - 4M_1M_2M_3 + M_1^2M_4)}</math> <math>\alpha_1 = \frac{M_2}{2M_1} \alpha_0</math> <math>\alpha_2 = \frac{1}{2} \left( \frac{M_2^2}{M_1^2} - \frac{1}{3} \frac{M_3}{M_1} \right) \alpha_0</math> <math>b = \frac{M_2}{M_1} \alpha_0</math></p>	<p><math>M_{\nu} = \int_0^{\infty} t^{\nu} (1 - h_e(t)) dt</math> <math>\nu = 0, 1, 2</math></p> <p><math>M_{\nu} = - \int_0^{\infty} t^{\nu} h_e(t) dt</math> <math>\nu = 0, 1, 2, 3, 4</math></p>	<p>a) - b) Medie, întrucît erori mici în determinarea lui <math>M_{\nu}</math> se soldează cu erori mari la determinarea lui <math>\alpha_0, \alpha_1</math> și <math>\alpha_2</math></p> <p>c) Procedeul este aplicabil numai dac <math>h_{e\infty} = 0</math> și <math>M_0 = 0</math> (tennic)</p> <p>a) - b) —</p>

informațiilor cuprinse în răspunsul sistemului;  $T^0$ -intervalele pe care se efectuează integralele sînt în [47] de forma  $[0, t_i]$ , iar în [162] de forma  $[t_i, \infty)$ , numărul valorilor inițiale necesare reformulării în scrierea de intrare și primale  $(n-1)$  derivate ale acestora.

**Cazul ID-6 : Metoda integralelor asociate** este valabilă pentru sistemele cu MM-II de forma (3.40). Ea se bazează pe relația :

$$\alpha_2 \int_0^{t_i} y(t) dt + \alpha_1 \int_0^{t_i} \int_0^t y(t) dt^2 + \alpha_0 \int_0^{t_i} \int_0^t \int_0^t y(t) dt^3 - b \int_0^{t_i} \int_0^t \int_0^t u(t) dt^3 = y(t_i) \quad (3.44)$$

dedusă din MM-II (3.40). Rel.(3.44) este valabilă indiferent de caracterul le intrare, cu condiția ca sistemul să se fi aflat inițial în condiții inițiale nule. [52]. Integralele care apar sînt denumite „integrale asociate”.

Particularizînd rel.(3.44) pentru patru valori de intrare  $t_i, i = 1, 2, 3, 4$  integralele asociate obțin valori diferite, care servesc ca coeficienți ai lui  $\alpha_2, \alpha_1, \alpha_0$  și  $b$ . Valorile acestora, necesare pentru aplicarea rel.(3.44), se calculează cu ajutorul algoritmului algebric liniar format din cele patru ecuații rezultate prin particularizarea lui  $t_i$ .

O primă variantă a acestui caz este dată de cazul în care există o funcție prezentată pentru  $u(t) = \tilde{Z}_g(t)$  și  $y(t) = Z_g(t)$ . O a doua variantă se obține particularizînd ec.(3.44) pentru  $\tilde{Z}_g(t)$  și  $Z_g(t)$  :

$$-bK_{g0} \int_0^{t_i} Z_g(t) dt + bK_{g1} \int_0^{t_i} \int_0^t Z_g(t) dt^2 + bK_{g2} \int_0^{t_i} \int_0^t \int_0^t Z_g(t) dt^3 - \int_0^{t_i} \int_0^t \int_0^t \tilde{Z}_g(t) dt^3 = Z_g(t_i) \quad (3.45)$$

**Cu ajutorul sistemului algebric menționat se estimează**

parametrii  $bK_{g0}, bK_{g1}, bK_{g2}$  și  $b$  și sistemele de ecuații (3.45) și (3.46) și (3.28) și (3.29)). Parametrii  $K_{g0}, K_{g1}, K_{g2}$  și  $b$  se determină în continuare cu rel.(3.46) de forma (3.46) și (3.47) :

$$K_{g1} = \frac{R}{-b K_{g0}}, \quad K_{g2} = \frac{Z_{g0}}{b(K_{g0}^2)}, \quad K_{g0} = \frac{Z_{g0}}{Z_{g0}}, \quad b = \frac{Z_{g0}}{Z_{g0}} \quad (3.46)$$

de care prezintă avantajul că literele  $Z_{g0}$  și  $Z_{g0}$  sînt constante fiind răspunsul sistemului în condiții inițiale nule. Algoritmii aplicat după aflarea sistemului de ecuații (3.46) și (3.47) sînt prezentate d.p.d.v. al volumului de calcul. Întrucît algoritmul este simplu și rapid, metodei este bună [32].

Cu excepția cazului ID-1, celelalte cazuri de identificare a parametrilor lui  $\alpha_2, \alpha_1$  și  $\alpha_0$ , fiind posibile numai în cazul în care se cunoaște în prealabil, pentru același semnal de intrare, valoarea de ieșire a sistemului față de cel experimental. În acest caz se poate utiliza metoda

obținerea coeficienților respectivi prin utilizarea procedurii de ajustare a modelului (3.40), prezentat în continuare, valabil în cazul identificării pe baza răspunsului indicial  $h_0(t)$ . Procedura cuprinde două etape.

În prima etapă se determină  $\alpha_2, \alpha_1, \alpha_0$  prin una din metodele anterioare, după ce s-a procedat la filtrarea perturbațiilor (spre exemplu prin mediere sau prin metode specializate [135]). Se notează cu  $\alpha'_2, \alpha'_1$  și  $\alpha'_0$  valorile obținute.

În a doua etapă se corectează valorile lui  $\alpha_2, \alpha_1$  și  $\alpha_0$  printr-o schemă de convergență considerând drept criteriu de eroare minimizarea erorii pătratice a răspunsului indicial:

$$E(\underline{\tilde{\alpha}}) = \int_0^{t^*} [n(t, \underline{\tilde{\alpha}}) - n_e(t)]^2 dt, \quad \underline{\tilde{\alpha}} = [d \ \omega_0 \ \omega_1]^T \quad (3.47)$$

în care  $n_e(t)$  este răspunsul indicial obținut experimental, normat, iar  $n(t, \underline{\tilde{\alpha}})$  este răspunsul indicial calculat cu rel.(IV-2). Legătura dintre parametrii  $d, \omega_0$  și  $\omega_1$  care apar în această expresie și parametrii  $\alpha_2, \alpha_1$  și  $\alpha_0$  este dată de rel.(3.39-1). Minimizarea lui  $E(\underline{\tilde{\alpha}})$  se poate întreprinde printr-una din schemele de convergență deterministe prezentate în [55].

### 3.2.2.2. Identificarea prin procedee de măsurare adaptivă.

Principiul metodelor de identificare prin procedee de măsurare adaptivă pentru cazurile în care structura proceselor este cunoscută, iar scopul identificării îl constituie numai estimarea parametrilor, este redat în fig.3.7. În vederea identificării se aplică procesului și modelului ace-

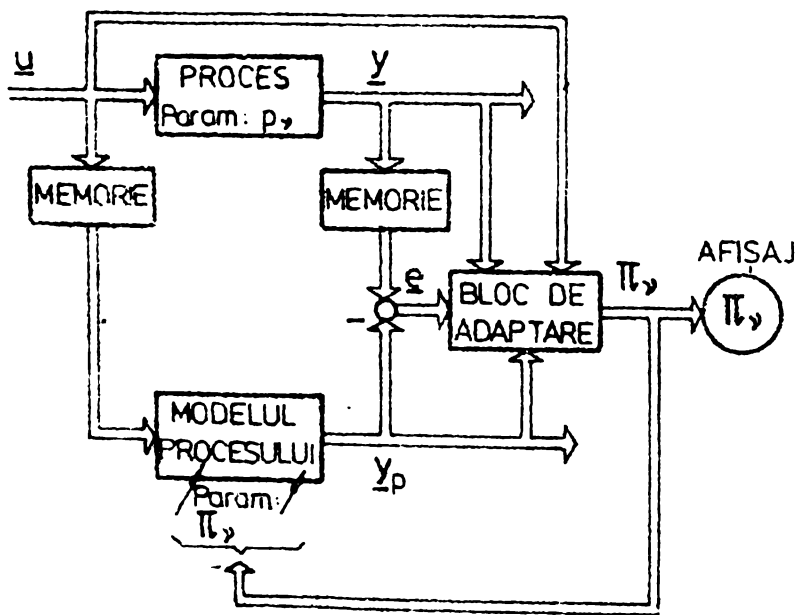


Fig. 3.7. Schemă bloc pentru identificarea proceselor prin procedee de măsurare adaptivă.

leași mărimi de intrare. Diferența dintre mărimile de ieșire ale modelului și ale procesului (eroarea  $e$ ) și în unele cazuri chiar și aceste mărimi inclusiv mărimile de intrare, sînt transmise unui bloc de adaptare care, în conformitate cu o strategie de adaptare, determină modificarea parametrilor  $\Pi_v$  ai modelului în sensul realizării egalității  $\Pi_v = p_v, v = 1, 2, \dots$  ( $p_v =$  parametrii procesului). În mod obișnuit parametrii estimați sînt afișați.

Cele mai multe strategii de adaptare decurg din criteriul minimizării erorii patratice  $\int e^T e dt$ , pentru senecole rezultate existențiale fațat- deauna certitudinea unei funcționări stabile [130,74,5]. Într-o serie de cazuri s-au obținut strategii de adaptare, caracterizate printr-o funcționare stabilă a buclei de adaptare, folosind metoda a doua a lui Liapunov pentru funcții având ca variabile parametrii procesului [130]. Identificarea adaptivă a SES-1I are la bază procedeul propus în anexa V, bazat tot pe cea de a doua metodă Liapunov.

O observație generală referitoare la utilizarea metodei Liapunov în procesul de adaptare adaptivă, valabilă și în acest caz, este următoarea: atunci când se lucrează cu modele de ordin redus ale proceselor, amplitudinile semnalelor de intrare trebuie limitate suficient, așa cum s-a demonstrat, atât și în funcționarea normală.

Pentru identificarea adaptivă a sistemului electromagnet-gină cu un grad de libertate se propun următoarele trei scheme (cazurile IA-1, IA-2 și IA-3):

Cazul IA-1. Procesul identificat este SES-1I. Modelul este (3.46) realizat prin particularizarea ec.(2.11b) pentru  $\alpha = 0$ .

$$\begin{bmatrix} \dot{Z}_\delta \\ \dot{\tilde{Z}}_m \end{bmatrix} = \begin{bmatrix} 0 & 1 & 0 \\ 0 & 0 & 1 \\ \frac{C_\delta}{MT} & \frac{C_\delta}{M} - \frac{C_I K_\delta}{MK_I} & -\frac{1}{T} \end{bmatrix} \begin{bmatrix} Z_\delta \\ \dot{Z}_\delta \\ \tilde{Z}_m \end{bmatrix} + \begin{bmatrix} 0 \\ C \\ -\frac{C_I}{MK_I} \end{bmatrix} U + \begin{bmatrix} 0 & 0 & 0 \\ 0 & 0 & -1 \\ \frac{1}{MT} & \frac{1}{M} & 0 \end{bmatrix} \begin{bmatrix} F \\ \dot{F} \\ \tilde{Z}_s \end{bmatrix} \quad (3.47)$$

$$\begin{bmatrix} Z_\delta \\ I \\ \tilde{Z}_m \end{bmatrix} = \begin{bmatrix} 1 & 0 & 0 \\ \frac{C_\delta}{C_I} & 0 & -\frac{M}{C_I} \\ 0 & 0 & 1 \end{bmatrix} \begin{bmatrix} Z_\delta \\ \dot{Z}_\delta \\ \tilde{Z}_m \end{bmatrix} + \begin{bmatrix} 0 & 0 & 0 \\ \frac{1}{C_I} & 0 & 0 \\ 0 & 0 & 0 \end{bmatrix} \begin{bmatrix} F \\ \dot{F} \\ \tilde{Z}_s \end{bmatrix} \quad (3.48)$$

Presupunând masa  $M$  cunoscută și în situații în care înlocuim în ec.(3.47) funcția perturbății, în SES-1SI rezultatul este prezentat în ec.(3.49). Coeficienții distincți ca în SES-1SI complet realizat. Coeficienții distincți apar numai în două ecuații:

$$(\tilde{Z}_m)^* = -bK_{po} Z_\delta - bK_{vo} \dot{Z}_\delta + bK_{uo} \tilde{Z}_m + \tilde{Z}_s, \quad (3.49)$$

$$I = \frac{C_\delta}{C_I} Z_\delta - \frac{M}{C_I} \tilde{Z}_m. \quad (3.50)$$

Ec.(3.49) este foarte importantă prin faptul că ea evidențiază parametri derivați (3.28) ai SES-1L, necesari în vederea proiectării SLEM-1L. Dacă, totuși, se doresc parametri primari ai SES-1L, atunci ei se obțin cu rel.(3.46). Utilizarea și necesită cunoașterea lui  $M$  și  $R$ . Determinarea lui  $R$ , în mod

exact, este dificilă chiar și pe ștand. Identificând și parametrul  $-\frac{M}{C_I}$  din ec.(3.50), valoarea lui R se poate determina cu relația:

$$R = \frac{bK_{a0}}{b(-\frac{M}{C_I})} \quad (3.51)$$

Schema de identificare prin măsurare adaptivă are aspectul din fig.3.8. Subsystemul adaptiv conține două părți: una corespunzătoare identificării coeficienților ec.(3.49) și alta corespunzătoare identificării coeficienților ec.(3.50). Pentru prima parte problema se tratează conform situației (ii-1) din anexa V, întrucât coeficientul lui  $\hat{z}_m$ ,  $bK_{a0} < 0$ . Strategiile de adaptare (3.52) rezultă prin particularizarea ec.(V-19):

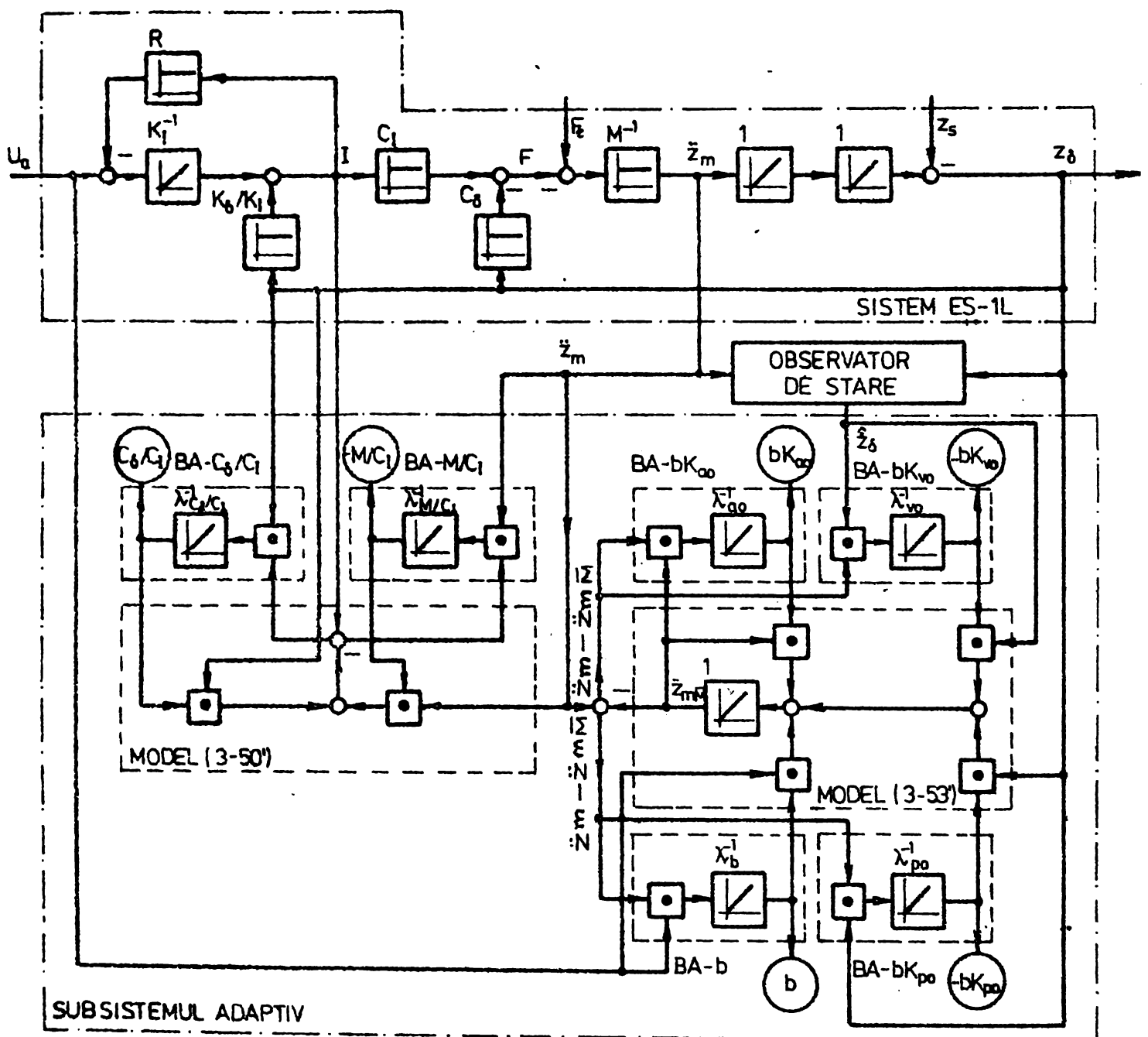


Fig. 3.8. Schema bloc pentru identificarea adaptivă a SES-1L pentru cazul MM-ISI (3.48). (cazul IA-1). BA-x = bloc de adaptare a coeficientului x.

$$(-bK_{ao})_{\bar{M}}^* = -\frac{1}{\lambda_{ao}}(\ddot{Z}_m - \ddot{Z}_{m\bar{M}})\ddot{Z}_{m\bar{M}}; \quad \dot{b}_{\bar{M}} = \frac{1}{\lambda_b}(\ddot{Z}_1 - \ddot{Z}_{1\bar{M}})C_b \quad (3.52)$$

$$(-bK_{po})_{\bar{M}}^* = \frac{1}{\lambda_{po}}(\ddot{Z}_m - \ddot{Z}_{m\bar{M}})Z_{\delta}; \quad (-bK_{vo})_{\bar{M}}^* = \frac{1}{\lambda_{vo}}(\ddot{Z}_m - \ddot{Z}_{m\bar{M}})\hat{Z}_{\delta}$$

Mărimile indexate cu  $\bar{M}$  corespund SM (3.53) aferent ec.(3.43):

$$(\ddot{Z}_{m\bar{M}})^* = (-bK_{po})_{\bar{M}} Z_{\delta} + (-bK_{vo})_{\bar{M}} \hat{Z}_{\delta} - (-bK_{ao})_{\bar{M}} \ddot{Z}_{m\bar{M}} + b_{\bar{M}} C_b, \quad (3.53)$$

viteza de variație a întrefierului  $\hat{Z}_{\delta}$ , amănuntele din ec.(3.53), fiind considerată prin estimata ei  $\hat{Z}_{\delta}$  furnisată de către un observator în stare cu parametrii independenți de cei ai SES-11 [ 0 ] (v. art. 5).

Pentru a doua parte se procedează ca la art.(1) în anexa V, strategiile de adaptare (3.54) obținându-se prin particulele reale ale (3.48) - iul aferent are ec. (3.50').

$$\left(-\frac{M}{C_I}\right)_{\bar{M}}^* = \frac{1}{\lambda_{M/C_I}}(I - I_{\bar{M}})\ddot{Z}_m; \quad \left(\frac{C_{\delta}}{C_I}\right)_{\bar{M}}^* = \frac{1}{\lambda_{C_{\delta}/C_I}}(I - I_{\bar{M}})Z_{\delta} \quad (3.54)$$

$$I_{\bar{M}} = \left(\frac{C_{\delta}}{C_I}\right)_{\bar{M}} Z_{\delta} + \left(-\frac{M}{C_I}\right)_{\bar{M}} \ddot{Z}_m \quad (3.54')$$

Preluarea curentului I impune o filtrare a acestuia, întrucât acesta este în bucla de adaptare. Prelevarea raportului  $\left(\frac{C_{\delta}}{C_I}\right)_{\bar{M}}^*$  este utilă în scopul de verificare.

Practic, în privința acestor coeficienți, se poate renunța la aceasta de a avea încă o măsură. Coeficienții  $\lambda_{ao}, \dots, \lambda_{C_{\delta}/C_I}$  se aleg toți pozitivi. Nu există metode de stabilire a celor mai bune valori pentru alegția. În cel obișnuit sînt necesare câteva tatonări.

Schema din fig.3.3 nu este completă, SES-11 fiind înlocuit de SLEM-11 din fig.3.4. În vederea identității sînt necesare  $\hat{Z}_{\delta}$  și prin aceasta și tensiunea  $U_{\delta}$ . Variația raportului  $\hat{Z}_{\delta}$  este în funcție încă: spectrul de frecvențe al semnalului  $\hat{Z}_{\delta}$  este în funcție de  $\hat{Z}_{\delta}$ .

Procedeeul de identificare prezentat poate fi realizat on-line, on-off și off-line. În cel de-al doilea caz se realizează prin metode experimentale efectuate pe proces unitar în timp și în spațiu.

Cazul IA-2. Procesul identificat este SLEM-11, ec.(3.11) și (3.12) utilizându-se reprezentarea  $\underline{X}(t) = \underline{X}_p(t)$  vectorului de stare...

$$\begin{bmatrix} \dot{I} \\ Z_{\delta} \\ \dot{Z}_{\delta} \end{bmatrix} = \begin{bmatrix} -\frac{1}{T} & 0 & \frac{K_{\delta}}{K_I} \\ 0 & 0 & 1 \\ -\frac{C_I}{M} & \frac{C_{\delta}}{M} & 0 \end{bmatrix} \begin{bmatrix} I \\ Z_{\delta} \\ \dot{Z}_{\delta} \end{bmatrix} + \begin{bmatrix} \frac{1}{K_I} \\ 0 \\ 0 \end{bmatrix} U_{\delta} + \begin{bmatrix} 0 & 0 & 0 \\ 0 & 0 & 0 \\ \frac{1}{M} & 0 & -1 \end{bmatrix} \begin{bmatrix} F \\ \dot{F} \\ \ddot{F} \end{bmatrix} \quad (3.55)$$



$$\begin{bmatrix} Z_\delta \\ I \\ \bar{Z}_m \end{bmatrix} = \begin{bmatrix} 0 & 1 & 0 \\ 1 & 0 & 0 \\ -\frac{C_I}{M} & \frac{C_\delta}{M} & 0 \end{bmatrix} \begin{bmatrix} I \\ Z_\delta \\ \dot{Z}_\delta \end{bmatrix} + \begin{bmatrix} 0 & 0 & 0 \\ 0 & 0 & 0 \\ \frac{1}{M} & 0 & 0 \end{bmatrix} \begin{bmatrix} F_e \\ \dot{F}_e \\ \bar{Z}_s \end{bmatrix} \quad (3.55-2)$$

Toți coeficienții care interesează apar practic în prima ecuație de stare și în ultima ecuație de ieșire. Considerînd forța exterioară constantă,  $F_e = F_{e0}$ , aceste ecuații obțin forma (3.56):

$$\dot{I} = -\frac{1}{T} I + \frac{K_\delta}{K_I} \dot{Z}_\delta + \frac{1}{K_I} U_a \quad (3.56-1); \quad \dot{I}_{\bar{M}} = \left(-\frac{1}{T}\right) \frac{I}{\bar{M}} + \left(\frac{K_\delta}{K_I}\right) \frac{\dot{Z}_\delta}{\bar{M}} + \left(\frac{1}{K_I}\right) \frac{U_a}{\bar{M}} \quad (3.57-1)$$

$$\bar{Z}_m = -\frac{C_I}{M} I + \frac{C_\delta}{M} Z_\delta \quad (3.56-2); \quad \bar{Z}_{m\bar{M}} = \left(-\frac{C_I}{M}\right) \frac{I}{\bar{M}} + \left(\frac{C_\delta}{M}\right) \frac{Z_\delta}{\bar{M}} \quad (3.57-2)$$

Ecuațiile (3.57) reprezintă modelele aferente ec.(3.56) scrise pe baza situațiilor (ii-1) și (i) din anexa V.

Schema de măsurare adaptivă are aspectul din fig. 3.9. În acest caz nu se poate renunța la nici una din cele două părți ale subsistemului adaptiv, ec.(3.56) conținînd împreună toți coeficienții variabili ai matricilor  $\underline{A}$  și  $\underline{B}_c$ , importanți d.p.d.v. al SLEM-1L. Strategiile de adaptare, rezultate prin particularizarea ec.(V-19) și (V-10), sînt:

$$\left(-\frac{1}{T}\right)_{\bar{M}}^{\circ} = \frac{1}{\lambda_T} (I - I_{\bar{M}}) \frac{I}{\bar{M}}; \quad \left(\frac{K_\delta}{K_I}\right)_{\bar{M}}^{\circ} = \frac{1}{\lambda_{K_\delta/K_I}} (I - I_{\bar{M}}) \frac{\dot{Z}_\delta}{\bar{M}}; \quad \left(\frac{1}{K_I}\right)_{\bar{M}}^{\circ} = \frac{1}{\lambda_{1/K_I}} (I - I_{\bar{M}}) \frac{U_a}{\bar{M}}, \quad (3.58-1)$$

respectiv

$$\left(-\frac{C_I}{M}\right)_{\bar{M}}^{\circ} = \frac{1}{\lambda_{C_I/M}} (\bar{Z}_m - \bar{Z}_{m\bar{M}}) I; \quad \left(\frac{C_\delta}{M}\right)_{\bar{M}}^{\circ} = \frac{1}{\lambda_{C_\delta/M}} (\bar{Z}_m - \bar{Z}_{m\bar{M}}) Z_\delta. \quad (3.58-2)$$

și în acest caz mărimea  $\dot{Z}_\delta$  se obține de la un observator de stare, iar curentul  $I$  trebuie filtrat de perturbațiile introduse prin cuoppare. Toți coeficienții  $\lambda_T, \dots, \lambda_{C_\delta/M}$  se adoptă strict pozitivi.

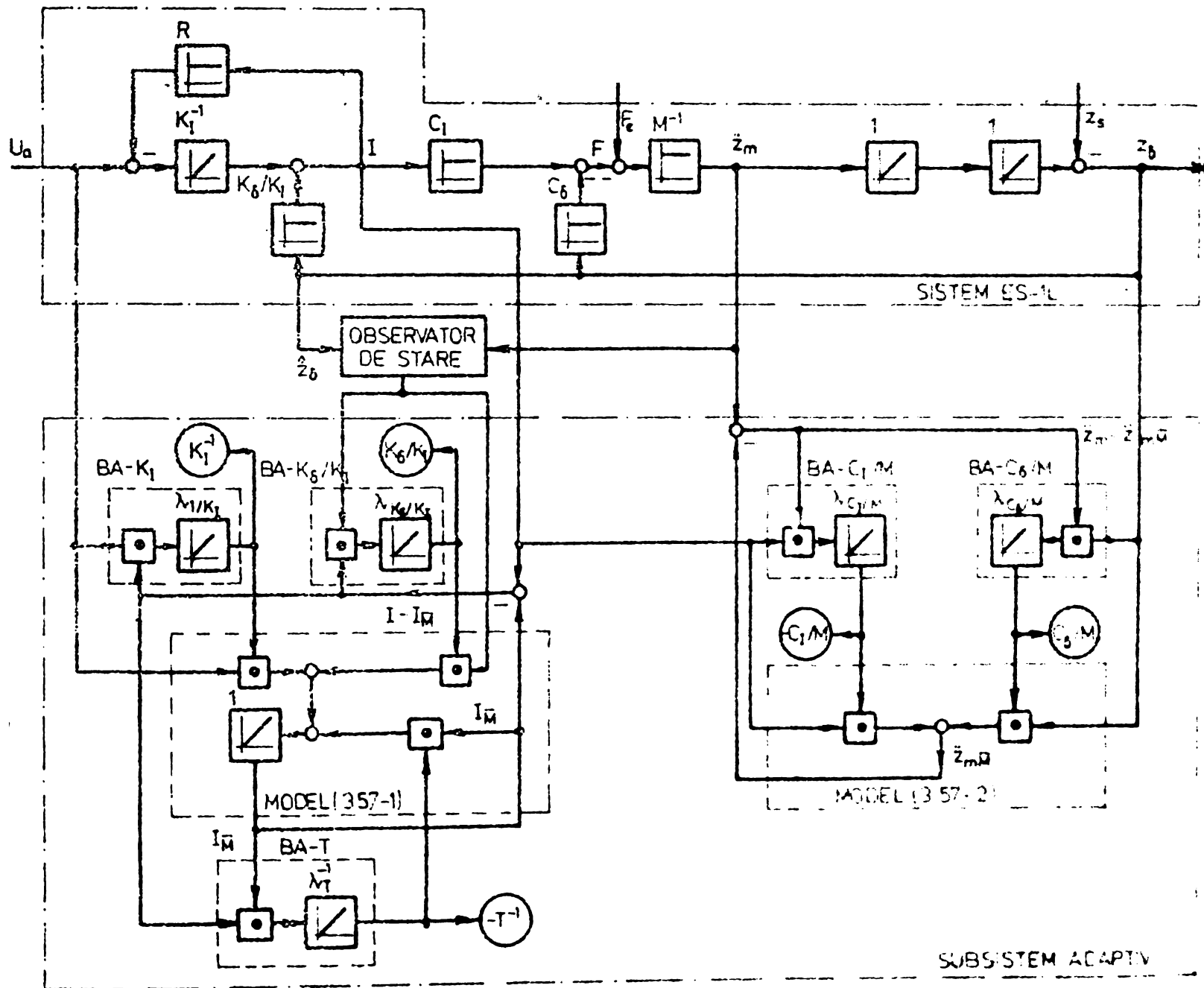
Cu datele obținute printr-o astfel de identificare pot fi determinați explicit numai parametrii  $K_I$ ,  $R$  și  $K_\delta$ . Pentru estimarea lui  $C_\delta$  și  $C_I$  este necesară cunoașterea lui  $M$ . Rămîn valabile precizările de la sfîrșitul cazului IA-1. Această variantă a fost prezentată pentru prima oară în [139].

Procedeu de identificare prezentat a fost studiat într-o formă ușor modificată de Schmidts în 1974. El a modelat pe calculator analogic o schemă care se deosebește de cea din fig. 3.9 prin faptul că:

$$\left(-\frac{1}{T}\right)_{\bar{M}}^{\circ} = \frac{1}{\lambda_T} (I - I_{\bar{M}}) I.$$

Rezultatele obținute sînt corespunzătoare cu toate că nu există garanția unei funcționări stabile a subsistemului adaptiv [140].

Similar cazurilor IA-1 și IA-2 poate fi dezvoltată o schemă de identificare prin măsurare adaptivă și pentru situația când SES-1L are ec. (2.19) + (2.20) de vector de stare  $\underline{x}_7$  (tabelul 2.2). Valoarea practică a acestei variante este de importanță mai redusă, întrucât subsistemul adaptiv necesită semnalul  $(\hat{\underline{z}}_m(t))^*$ , care nu se poate obține cu o precizie satisfăcătoare.



**Fig. 3.9.** Schema bloc pentru identificarea sistemului SES-1L pentru cazul RM-ISI (3.55); BA-x = funcție a coeficientului x.

Cazul IA-3. Procesul identificat este SLEM-1L din fig.3.4, cu legea de comandă (3.22), (3.25) corespunzătoare reprezentării  $\dot{X}(t) = \underline{X}_1(t)$  a vectorului de stare (v. tabelul 2.1). El are ecuațiile de stare:

$$\begin{bmatrix} \dot{Z}_\delta \\ \dot{\dot{Z}}_\delta \\ \dot{\ddot{Z}}_m \end{bmatrix} = \begin{bmatrix} 0 & 1 & 0 \\ 0 & 0 & 1 \\ -\alpha_0 & -\alpha_1 & -\alpha_2 \end{bmatrix} \begin{bmatrix} Z_\delta \\ \dot{Z}_\delta \\ \ddot{Z}_m \end{bmatrix} + \begin{bmatrix} 0 \\ 0 \\ b \end{bmatrix} \tilde{Z}_\delta + \begin{bmatrix} 0 & 0 & 0 \\ 0 & 0 & -1 \\ \frac{1}{MT} & \frac{1}{M} & 0 \end{bmatrix} \begin{bmatrix} F_e \\ \dot{F}_e \\ Z_s \end{bmatrix} \quad (3.59)$$

și ecuațiile de ieșire (3.48-2). Funcționarea stabilă a SLEM-1L necesitând  $\alpha_2 > 0$ , coeficienții SLEM-1L se obțin folosind schema din fig.3.10. Parametrii SES-1L se determină apoi din aceștia cu rel.(3.33).

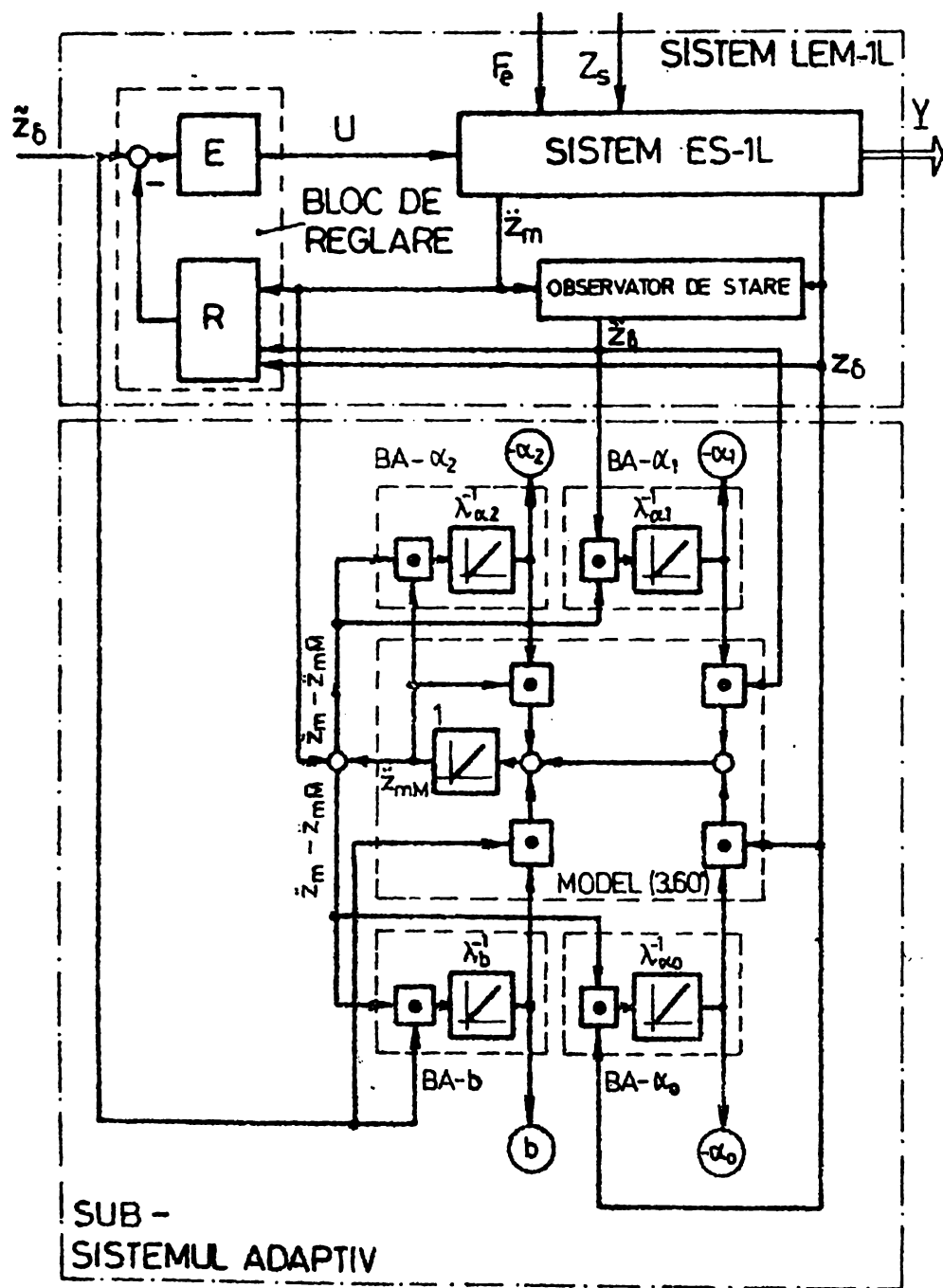


Fig. 3.10. Schema bloc pentru identificarea în circuit încnis prin măsurare adaptivă a SLEM-1L. SAR are MM-ISI (3.59) și (3.48-2). BA-x = bloc de adaptare al coeficientului x.

Coeficienții care interesează apar în ultima ecuație de stare, care pentru  $F_e = F_{e0}$ , devine:

$$(\ddot{Z}_m)^* = -\alpha_0 Z_\delta - \alpha_1 \dot{Z}_\delta - \alpha_2 \ddot{Z}_m + b \tilde{Z}_\delta \quad (3.60)$$

Identificarea se face în acord cu cazul (ii-1) din anexa V, modelul afe-

rent avînd ecuația:

$$(\ddot{\bar{z}}_{m\bar{M}})' = -\alpha_{0\bar{M}} \bar{z}_\delta - \alpha_{1\bar{M}} \dot{\bar{z}}_\delta - \alpha_{2\bar{M}} \ddot{\bar{z}}_{m\bar{M}} + \dot{\alpha}_{2\bar{M}} \bar{z}_\delta \quad (3.40')$$

Strategiile de adaptare corespund relațiilor:

$$\begin{aligned} -\dot{\alpha}_{2\bar{M}} &= \frac{1}{\lambda_{\alpha_2}} (\ddot{\bar{z}}_{m\bar{M}} - \ddot{\bar{z}}_{m\bar{M}}) \ddot{\bar{z}}_{m\bar{M}} \quad ; \quad -\dot{\alpha}_{1\bar{M}} = \frac{1}{\lambda_{\alpha_1}} (\ddot{\bar{z}}_{m\bar{M}} - \ddot{\bar{z}}_{m\bar{M}}) \dot{\bar{z}}_\delta \quad ; \\ -\dot{\alpha}_{0\bar{M}} &= \frac{1}{\lambda_{\alpha_0}} (\ddot{\bar{z}}_{m\bar{M}} - \ddot{\bar{z}}_{m\bar{M}}) \bar{z}_\delta \quad ; \quad \dot{\alpha}_{2\bar{M}} = \frac{1}{\lambda_{\alpha_2}} (\ddot{\bar{z}}_{m\bar{M}} - \ddot{\bar{z}}_{m\bar{M}}) \ddot{\bar{z}}_\delta \quad . \end{aligned} \quad (3.41)$$

Toți coeficienții  $\lambda_{\alpha_2}, \dots, \lambda_{\alpha_0}$  se aleg pozitivi.

Similar cazului IA-3 pot fi dezvoltate încă două scheme de identificare pentru situațiile în care SLEM-II se realizează prin reacție cu vectorii de stare  $\underline{X}(t) = \underline{X}_2(t)$ , respectiv  $\underline{X}(t) = \underline{X}_1(t)$ . Ele sînt de valoare practică redusă și de aceea nu se dezvoltă.

## CAPITOLUL 4

### PERFORMANTELE IMPUSE

#### SISTEMULUI CU LEVITATIE ELECTROMAGNETICA CU UN GRAD DE LIBERTATE

Precizarea performanțelor impuse SLEM-1L constituie o problemă deosebit de importantă întrucât ele afectează atât sinteza cât și proiectarea blocului de reglare al acestuia [63,64]. Deoarece SLEM-1L se pot utiliza în diverse scopuri - cum sînt: VPM și platformele vibratoare (PV) - performanțele impuse depind și de domeniul de utilizare.

Un SRA nu poate asigura întotdeauna toate performanțele impuse. Acesta este și cazul VPM pentru care SLEM nu poate asigura singur un confort de călătorie corespunzător, la viteze de croazieră mari. Cunoașterea performanțelor pe care SLEM le poate însă realiza este foarte importantă întrucât în funcție de acestea rezultă pe de-o parte algoritmul de proiectare al SLEM-1L, iar pe de altă parte performanțele sistemului de suspensie secundar, amplasat între boghiu și cutia vehiculului [67].

În literatura de specialitate nu există lucrări care să trateze în ansamblu problema performanțelor impuse SLEM-1L. În numeroase lucrări se fac referiri la performanțe, precizările fiind însă în general lacunare sau cu caracter particular. Pe de altă parte unele aspecte, cum sînt cele legate de perturbațiile provocate de modificarea poziției șinei, se tratează în mai multe moduri, impunîndu-se corelarea acestora.

#### 4.1. Aspecte calitative ale problemei performanțelor.

SLEM-1L are funcțiile de a stabiliza SES-1L și de a asigura o calitate corespunzătoare mișcării electromagnetului. Aceste două funcții conduc d.p.d.v. calitativ la următoarele cerințe care, în totalitate sau numai în parte, pot reprezenta performanțele impuse SLEM-1L :

- a. SLEM-1L trebuie să fie stabil.
- b. SLEM-1L trebuie să aibă o comportare corespunzătoare, atât în regim staționar cât și în regim dinamic, în raport cu modificarea unor parametri cum sînt: încărcătura statică  $Mg+F_{e0}$ , rezistența bobinei electromagnetului  $R$ , tensiunea  $U_{ac}$  de alimentare a chopperelor și valorile coeficienților blocului de reglare.
- c. SLEM-1L trebuie să aibă o comportare corespunzătoare, atât în regim staționar cât și în regim dinamic, în raport cu toate mărimile de intrare: mărimea de conducere  $\tilde{Z}_g$ , poziția șinei  $Z_g$  și forța exterioară  $F_g$ .
- d. Energia consumată de către SLEM-1L pentru comanda SES-1L și variația mărimilor de comandă trebuie să fie cât mai reduse.

Dintre cele patru categorii de performanță doar categoria c. depinde de domeniul de utilizare întrucât acesta dictează atât tipul semnalelor de intrare cât și modul în care SLEM-LL trebuie să se comporte față de ele. Referitor la categoriile b., c. și d. se impun următoarele precizări:

(i) SLEM-LL trebuie astfel conceput încât să poată primi din afară încărcături statice  $M_g + F_{eo}$  și să se comporte corect înaintea și după  $F_{eo}$  se modifică. Modificarea lui  $M$  afectează comportarea SLEM-LL întrucât parametrii derivați ai SBS-LL depind de masa  $M$ . În licitație parametrii SLEM-LL. Totodată, blocul de rezistență proiectat pentru sarcină nominală  $M_0$  dată. La o masă  $M \neq M_0$  comportarea va fi diferită. cea estimată prin proiectare, fiind nefavorabile situațiile când  $M > M_0$  și favorabile situațiile când  $M < M_0$ . Având în vedere aceste aspecte, în sinteză și proiectare pot fi luate în considerație variantele:

1° - SLEM-LL se proiectează pentru încărcare  $M_0$  dată, fapt echivalent cu admiterea a priori funcționării SLEM-LL într-un regim de subîncărcare (spre ex. cu un coeficient de încărcare  $\lambda_{M_0} = 0,7$ ;  $\lambda_{M_0} = M/M_0$ ). Se impune verificarea comportării la sarcini extreme:  $\lambda_{M \text{ min}}$  și  $\lambda_{M \text{ max}}$ .

2° - SLEM-LL se proiectează de asemenea pentru încărcare constantă să fie compensat efectul unei încărcări variabile. O soluție poate fi luată în considerație dacă SLEM-LL înseamnă să lucreze numai ca SBA statică, în care caz se poate de a înrăutății comportarea dinamică. În acest caz  $M_0 = M_0$  [83].

3° - SLEM-LL se realizează ca un sistem de rezonanță (unde corespunzătoare în cazul sarcinilor continue și discrete).

4° - SLEM-LL se realizează ca SBA cu rezonanță în care rezonanța are modificându-se odată cu noțiunea de rezonanță. În acest caz avea în vedere faptul că pentru viteze mici și mari rezonanța trepte de valori mici și numai atunci când viteza este mare ză (după direcția x).

Considerente similare se impun în cazul în care se proiectează un sistem în care se schimbă punctul de funcționare în timp.

(ii) Modificarea valorii rezistenței  $R$  este de asemenea de luat în vedere pentru intervalul de timp în care se produce schimbarea rezonanței sistemului până la atingerea rezonanței. În acest caz trebuie să se aibă în vedere faptul că pentru viteze mici și mari rezonanța trepte de valori mici și numai atunci când viteza este mare ză (după direcția x). Pentru a compensa efectele nefavorabile ale rezonanței se poate considera de asemenea patru variante de proiectare:

1<sup>o</sup>- SLEM-1L se proiectează pentru o rezistență nominală  $R_0$  corespunzătoare funcționării de durată la sarcină nominală. Dacă funcționarea cu rezistența la rece,  $R < R_0$ , este nefavorabilă, va trebui să se aștepte un interval de timp (timp de încălzire) pînă cînd se va atinge valoarea nominală  $R_0$ . În cazul în care nu se admite un timp de încălzire SLEM-1L se realizează în una din variantele următoare.

2<sup>o</sup>- Blocul de reglare se proiectează astfel încît pentru un regim staționar constant cu  $R \neq R_0$  efectul modificării valorii lui  $R$  față de  $R_0$  să fie compensat. Si în acest caz apare inconvenientul înrăutățirii comportării dinamice a sistemului chiar la  $R = R_0$ .

3<sup>o</sup>- SLEM-1L se realizează cu două sau mai multe subblocuri de reglare corespunzătoare lui  $R = R_0$  și unor valori  $R \neq R_0$  (adaptare discretă).

4<sup>o</sup>- SLEM-1L se realizează ca SRA cu adaptare continuă (SRA adaptiv), cu o lege de reglare care să țină cont de modificarea lui  $R$ .

(iii) Un alt factor care influențează funcționarea SLEM-1L este coeficientul de transfer  $K_c$  al sursei de alimentare a electromagnetului (un chopper). El se introduce prin relația:

$$U_a = K_c U_{cc} \quad , \quad (4.1)$$

în care  $U_{cc}$  reprezintă tensiunea de comandă a chopperului furnizată de blocul de reglare. Prin variația lui  $K_c$ , determinată în principal de variația tensiunii de alimentare a chopperului  $U_{ac}$ , se modifică coeficienții de transfer ai legii de reglare și prin aceasta atît stabilitatea SLEM-1L cît și performanțele reglării. Spre exemplu, în cazul legii de reglare (3.22),  $K_c$  intervine ca divizor al tuturor coeficienților, iar modificarea sa va determina aceeași variație procentuală a coeficienților  $K_p$ ,  $K_v$  și  $K_a$ . Ca urmare se impune o foarte bună stabilizare a coeficientului  $K_c$  prin stabilizarea tensiunii  $U_{ac}$ . Atunci cînd acest lucru nu este posibil este necesară adoptarea unor măsuri similare cu cele de la pct.(i) și (ii).

(iv) Din considerente similare cu cele de la pct.(iii) se impune o bună stabilizare a coeficienților blocului de reglare. Din acest motiv, oricare ar fi schema SLEM-1L, este necesar să se studieze sensibilitatea sistemului în raport cu coeficienții blocului de reglare pentru a se aprecia influența modificării valorilor lor asupra stabilității și performanțelor dinamice ale sistemului, respectiv pentru a se stabili erorile care se admit la ajustarea parametrilor blocului de reglare.

Privind blocul de reglare, în acord cu cele menționate la punctele anterioare, se precizează că în cazul unei adaptări discontinue a acestuia în funcție de valorile lui  $M$ ,  $R$  și/sau  $K_c$ , pentru a nu se afecta negativ calitatea reglării trebuie realizată o strategie adecvată de trecere a comenzii de la un bloc de comandă la altul.

(v) Comportarea SLEM-IL în raport cu variațiile de intrare se asociază prin intermediul variațiilor a două mărimi: înțrețierul  $Z_g$  și accelerația absolută  $\ddot{Z}_m$ , mărimi care reprezintă înțrețierul și accelerația SLEM-IL. Astfel, în cazul VPM se impun ca înțrețierul să prezinte de cât posibil variații reduse, fără pierdere de timp și energie dintr-un punct și șine, iar deplasările după direcții perpendiculară și paralelă cu de glisare să se producă cu accelerații cât mai mici, nepenajant pentru călător, în acest sens vorbindu-se despre confortul de călătorie. În cazul PV se impun variații de înțrețier, respectiv de poziție și variații de accelerații absolute ( $Z_m$  și  $\ddot{Z}_m$ ) de valori cu mult mai mari decât cele admise în primul caz, de asemenea fiind impact între electro-magnet și șină. În ambele situații buna funcționare a SLEM-IL impune limitarea variațiilor înțrețierului în raport cu valoarea nominală  $Z_{g0}$  a acestuia.

Detaliind problema în raport cu cele trei mărimi de intrare rezultă următoarele aspecte:

- Mărimea de conducere  $\tilde{Z}_g$  servește pentru prescrierea înțrețierului  $Z_g$ . La VPM  $\tilde{Z}_g(t) = \text{const.}$ , modificările lui  $\tilde{Z}_g$  au caracter de salt și se realizează avînd loc la intervale de timp relativ mari. În cazul PV  $\tilde{Z}_g(t) \neq \text{const.}$ , prin modificarea lui  $\tilde{Z}_g$  prezintă caracter de variație continuă și să varieze înțrețierul, respectiv poziția absolută a electro-magnetului, avînd în vedere că poziția șinei este fixă.

- Mărimea de intrare  $Z_g$  redă modificarea poziției șinei în raport cu un sistem de referință fix. Ea conține mai multe componente de caracter diferit (caracter de mărime = caracter de salt și caracter de perturbatoare) și de tip diferit (tip determinat și aleator). Astfel se disting: (1<sup>o</sup>) componenta utilă  $Z_{su}$  de tip determinat și de caracter de mărime de conducere (aria factă de variația înțrețierului și valoarea lui  $\tilde{Z}_m$ ), corespunzătoare tracului nominal al șinei de glisare; (2<sup>o</sup>) componenta perturbatoare  $Z_{sp1}$ , de tip determinat, datorată arcurii șinelor sub propria greutate și greutatea vehiculului, în cursul deplasării acestuia; (3<sup>o</sup>) componenta perturbatoare  $Z_{sp2}$ , de tip aleator, datorată impreciziei în construcția și formă ale căii de glisare și aserit în tracul în. Dacă notăm cu  $Z_g$  cele trei componente contribuție pozitivă la mărimea  $Z_g$ :

$$Z_g = Z_{su} + Z_{sp} \quad (4.7)$$

mărimea

$$Z_{sp} = Z_{sp1} + Z_{sp2} \quad (4.8)$$

reprezintă componenta cu caracter de perturbator în mărimea  $Z_g(t)$ .

**Nesesizarea existenței simultane a componentelor de intrare de caracter perturbatoare a făcut ca în literatura de specialitate problema perturbațiilor**



generate de calea de glisare să fie tratată, pînă în prezent, în mod unilateral, prin includerea perturbațiilor în numai cîte unul din cele două tipuri menționate. Astfel, autorii americani și japonezi au utilizat de preferință descrierea statistică, considerînd perturbația  $Z_{sp}(t)$  ca semnal aleator [143,183,17,144,186,187], iar autorii vest-germani descrierea deterministă [170,192,3,169]. Jāyawant (Anglia) menționează ambele moduri de caracterizare [83], fără a preciza o manieră de tratare a problemei.

Neregularitățile căii de glisare descrise de componenta  $Z_{su}$  sînt denumite în continuare și „neregularități de categoria I-a ale căii de glisare”, iar cele descrise de componenta  $Z_{sp}$  „neregularități de categoria a-II-a ale căii de glisare”. Avînd în vedere condiția funcțională, de menținere a unui întrefier  $Z_f > 0$ , și condiția de confort, de limitare a valorilor lui  $\ddot{Z}_{su}$ , comportarea SLEM-1L în raport cu cele două categorii de neregularități trebuie să fie diferită și anume: electromagnetul să urmărească neregularitățile de categoria I ale căii de glisare (prezența lor să nu determine modificarea întrefierului) și să nu urmărească neregularitățile de categoria a doua ale căii de glisare (decuplarea SLEM-1L față de acțiunea lor, adică prelucarea lor în mod integral de către întrefier). Totodată se precizează că decuplarea se impune și d.p.d.v. energetic [62].

Privind neregularitățile  $Z_{spl}$  se menționează că oscilațiile de încovoire a șinei în plan vertical sînt periculoase întrucît cea mai joasă frecvență proprie a acestora se situează aproape de frecvența limită (de rezonanță) a SLEM-1L. Acest fenomen apare și în cazul PV constituind practic singura cauză care determină modificarea lui  $Z_s$ . În acest sens se consideră că proiectarea căii de glisare și proiectarea SLEM-1L nu trebuie efectuate separat, fiind necesară corelarea lor prin asigurarea unor valori diferite pentru cele două frecvențe menționate și totodată prin stabilirea unui raport corespunzător între masa vehiculului și masa tronsoanelor de șină [83]. O tratare amplă, de dată recentă, a acestei probleme de datorează lui Meisinger [113,66,114,115,116].

În cazul SES-1L modificării lui  $Z_s$  îi corespunde modificarea poziției șinei, înzestrată teoretic cu posibilitatea de simulare a oricărei funcții  $Z_s(t)$ , fără ca asupra ei să se exercite o reacție din partea electromagnetului (ca și cînd șina ar aparține unui sistem mecanic de putere infinită).

- Mărimea de perturbație  $F_e$  corespunde forțelor exterioare care se exercită asupra electromagnetului datorită interacțiunii dintre acesta și mediul înconjurător. În cazul VPM forța  $F_e$  se datorește acțiunii

vîntului asupra cutiei vehiculului și forțelor centrifuge care apar la mișcarea vehiculului în curbe sau punte, acesta acționînd obîgnuit asupra electromagnetului prin intermediul sistem secundar de suspensie. Calitativ se însușește că nivelul de vibrație mare a SLEM-IL în raport cu  $F_{\text{g}}$ , este în statistică  $\gamma_{\text{g}}$  cît mai mare.

(vi) Puterea de comandă necesară pentru deplasarea SLEM-IL în jurul unei părți de punctul nominal de funcționare  $\Lambda_{\text{g}}$ , de natura constructivă ale acestui sistem și de calitatea cîmpului de vibrație, pentru diferite părți de legea de reglare. Energia de comandă poate fi realizată atât prin sinteza SLEM-IL cît și prin proiectarea acestuia.

Din considerente legate de complexitatea, gabaritul și greutatea cupplerului și a sursei de tensiune a acestuia, precum și din considerente legate de gabaritul și construcția electromagnetului de însușește limitarea tensiunii maxime și a curentului maxim de excitație a acestuia. Această cerință este însă în contradicție cu cerințele unei reglaj de calitate avînd în vedere că nivelul de vibrație este tocmai forțarea excitației electromagnetului. Nivelul de vibrație de excitație este determinat de constantele electrice ale SLEM-IL, de lățimea de bandă a SLEM-IL, de calitatea cîmpului de vibrație și de nivelul de forțului admis, fiind în general posibil să se realizeze de calitate [3,83]. Din considerente termice trebuie să se ia în considerare durata supracurenților de excitație. Prin urmare, metodele de reglare trebuie avute în vedere și această cerință, și nu numai odată și de funcționarea neliniară care poate să apară în urma limitării valorilor maxime ale tensiunii și curentului de excitație ale SLEM-IL.

În încheiere se impun încă două aspecte:

-Intrucît atât VPM cît și PV utilizează metode diferite de reglare, performanțele impuse se traduc la nivelul SLEM-IL printr-o serie de performanțe diferite cantitativ, dar asemănătoare calitativ (2. cap. 6).

-Detalierea subiectului performanțelor SLEM-IL trebuie să se realizeze în parte în vederea identificării surselor de probleme în funcționarea SLEM-IL în circuit încuș, care apar, iar în parte în vederea precizării metodelor de calcul care pot să apară într-o serie de cazuri.

#### 4.2. Aspecte cantitative ale problemei de reglare

Determinarea performanțelor unui SLEM-IL trebuie să se realizeze cantitativ și modurilor de variație ale cîmpului de vibrație  $\gamma_{\text{g}}$ , și în stabilirea unor metode de calcul și de apreciere a acestor metode.

Metodele de calcul folosite aparțin teoriei sistemelor de reglare automată liniare, întrucât dezvoltările se fac cu privire la SLEM-1L cu scopuri de reglare liniare, proiectate pentru MM de ordin redus al SES-1L. Calculele se efectuează atât în domeniul timp, cât și în domeniul frecvență, pentru aprecierea performanțelor utilizându-se mai multe mijloace, printre care: indicii de calitate empirici definiți în răspunsul indicial (suprareglaj, timp de reglare etc), caracteristicile de frecvență, densitățile spectrale de putere ale diferitelor semnale și energia consumată în procesul de comandă.

În cadrul acestui paragraf se abordează pe de-o parte problema modului de variație a mărimilor de intrare, iar pe de altă parte problema criteriilor de apreciere a calității SLEM-1L față de variațiile considerate, având în vedere lipsa unor standarde și norme pentru acest scop. Referirile cu privire la metodele de calcul a performanțelor au un caracter izolat, problemele de această factură fiind dezvoltate în cap.5.

#### 4.2.1. Aspecte referitoare la mărimea de conducere $\tilde{Z}_\delta$ .

În acord cu pct. 4.1. comportarea SLEM-1L în raport cu mărimea de conducere  $\tilde{Z}_\delta$  corespunde în cazul VPM unor SRA stabilizatoare, iar în cazul PV unor SRA de urmărire. Asigurarea comportării dorite presupune atât o proiectare algoritmică corectă a SLEM-1L, cât și o realizare tehnică corespunzătoare.

În cazul VPM apare cerința ca ridicarea și coborîrea electromagnetului să se facă neoscilant și fără șocuri (în acest sens se poate vorbi de o „decolare” și de o „aterizare” cât mai lină). În lipsa unor norme și standarde adecvate se consideră corespunzătoare o caracteristică de ridicare-coborîre de forma celei din fig.4.1. (a-ridicare, b-coborîre), realizabilă cu un bloc de prescriere având schema structurală din fig. 4.2. și răspunsul la o variație treaptă,  $\tilde{Z}_\delta^* \cdot u_{-1}(t)$ , de amplitudine  $\tilde{Z}_\delta^*$ , exprimat de relația:

$$\tilde{Z}_\delta(t) = \frac{\alpha}{\varphi \mu} \left[ 1 - \frac{\mu}{\mu - \varphi} e^{-\varphi t} + \frac{\varphi}{\mu - \varphi} e^{-\mu t} \right] \tilde{Z}_\delta^* \quad (4.4)$$

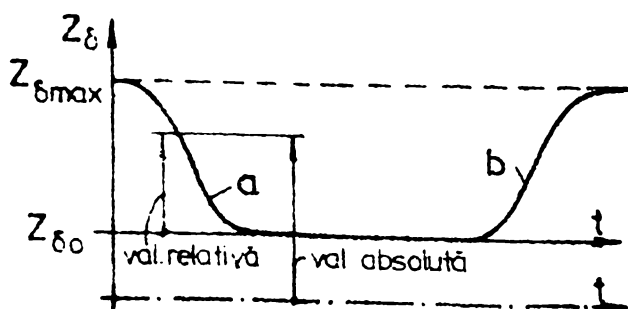


Fig. 4.1. Caracteristica de ridicare-coborîre a electromagnetului la un VPM.

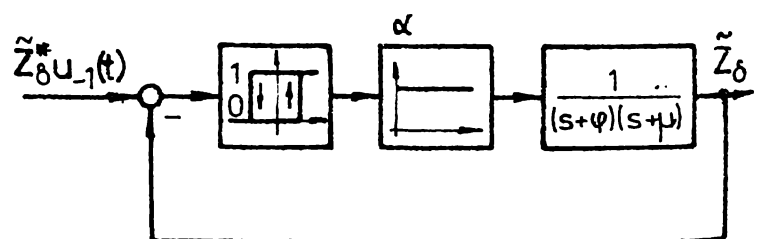


Fig. 4.2. Bloc de prescriere capabil de realizarea caracteristicii de ridicare-coborîre din fig.4.1.

Mărimile  $\alpha, \varphi$  și  $\mu$  sînt parametrii caracteristici ai interacțiune-coborîre prin intermediul căroră viteza și accelerații absolute ale electromagnetului pot fi aduse la valori prestabilite. Atîngerea valorii prestabilite finale  $\tilde{Z}_g(\infty) = \frac{\alpha}{\varphi \mu} \tilde{Z}_g^*$  se produce fără oscilații.

Pentru aprecierea comportării SLEM-IL în raport cu  $\tilde{Z}_g$  ca nivel de edificator răspunsul indicial al sistemului, adică răspunsul pentru  $\tilde{Z}_g(t) = u_{-1}(t)$ , analiza comportării sistemului pentru variații în forma (4.4) constituind o etapă ulterioară, de verificare. Problema este tratată în cap. 5.

În cazul VPM apare și o a doua cerință, anume ca în timpul variațiilor lui  $\tilde{Z}_g$  să se asigure modificarea poziției absolute și accelerației electromagnetului după o lege dorită, avînd în vedere că sarcinile la vibrații necesită oscilații de diverse feluri cu diferite amplitudini și frecvențe. În acest scop SLEM-IL trebuie să prezinte o caracteristică amplitudine-pulsație cu o anumită formă arbitrară. Astfel de caracteristici se pot asigura prin sinteza proiectarea SLEM-IL ca sistem de urmărire adaptat la o anumită formă de curba de intrare  $\tilde{Z}_g(t)$  [85,86,181,182].

#### 4.2.2. Aspecte referitoare la mărimea $\tilde{Z}_g$ .

##### 4.2.2.1. Neregularitățile de categorie II-a ale cîii de glisare.

Indiferent de modul în care se considează mărimea  $\tilde{Z}_g$  ca parte a II-a ale cîii de glisare,  $Z_{sp}(t)$ , scopul urmărit este de a stabili răspunsului la următoarele două probleme:

- (i) verificarea adoptării corecte a valorii nominale de intrare  $Z_{g0}$ , al SES-IL;
- (ii) aprecierea confortului de călătorie la nivelul electromagnetului levitat.

Complexitatea problemei impune o tratare etapizată, considerînd succesiv cazurile particulare  $Z_{sp} = Z_{sp2}$ ,  $Z_{sp} = Z_{sp1}$  și apoi cel general -rel.(4.3).

##### 4.2.2.1.1. Perturbațiile de tip aleator introduse de cîii de glisare.

În mod unanim se admite că componenta aleatorie  $Z_{sp}$  a perturbației  $\tilde{Z}_{sp}$  este caracterizată de densitatea spectrală de putere (d.p.p.):

$$S_{Z_{sp2}Z_{sp2}}(\Omega) = \frac{\alpha}{\Omega^2} \quad (4.5)$$

în care:  $\alpha$  = coeficientul de rugozitate a cîii de glisare și depinde de tipul neuniformităților suprafeței cîii,  $\Omega = \frac{2\pi}{\lambda} = \frac{\omega}{v}$  = numărul de unde (pe  $2\pi$  metri),  $\lambda$  = lungimea de undă a perturbațiilor și  $\omega$  = pulsația oscilațiilor,  $v$  = viteza de deplasare a cîii de glisare.

D.s.p.  $S_{Z_{sp2}Z_{sp2}}$  se poate exprima și ca funcție de  $\omega$ ,  $S_{Z_{sp2}Z_{sp2}}(\omega)$ , avînd în vedere expresiile echivalente ale amplitudinii elementare  $dA_{Z_{sp2}}$ :

$$dA_{Z_{sp2}} = \frac{1}{2\pi} S_{Z_{sp2}Z_{sp2}}(\Omega) d\Omega = \frac{1}{2\pi} S_{Z_{sp2}Z_{sp2}}(\omega) d\omega .$$

Se obține:

$$S_{Z_{sp2}Z_{sp2}}(\omega) = \frac{\alpha v}{\omega^2} . \quad (4.6)$$

Valorile indicate în literatură pentru coeficientul  $\alpha$  sînt diferite:

$$\alpha = (1,5 + 24,5) 10^{-6} \text{ m după [143,183,17,144] ,}$$

$$\alpha = (0,18 + 0,6) 10^{-6} \text{ m după [187] și } \alpha = (0,2 + 0,5) 10^{-6} \text{ m după [186],}$$

$$\alpha = (0,6 + 3,0) 10^{-6} \text{ m după [83] .}$$

Se poate admite că pentru o cale de calitate bună  $\alpha = (0,5 + 2,0) 10^{-6} \text{ m}$  iar pentru o cale de calitate medie  $\alpha = (2 + 4) 10^{-6} \text{ m}$ . Valorile mai mari corespund unor căi de slabă calitate (v. observația 1<sup>0</sup> de la pct. 4.2.215).

Modul în care  $Z_{sp2}(t)$  afectează o variabilă de ieșire oarecare  $Y(t)$  a SLEM-1L este redat de relația [53,59] :

$$S_{YY}(\omega) = |G_{Z_s Y}(j\omega)|^2 S_{Z_{sp2}Z_{sp2}}(\omega) , \quad (4.7)$$

în care  $G_{Z_s Y}(s) = \frac{Y(s)}{Z_s(s)}$  este f.d.t. ce caracterizează dependența dinamică dintre  $Z_s$  și  $Y$ . Deoarece  $S_{Z_{sp2}Z_{sp2}}(\omega) \sim \alpha$ , rezultă că și  $S_{YY}(\omega) \sim \alpha$ , adică

$$S_{YY}(\omega) = \alpha S_{\bar{\alpha}, YY}(\omega) , \quad (4.8)$$

indicele  $\bar{\alpha}$  indicînd o funcție ce nu depinde de  $\alpha$ . Așadar d.p.d.v. matematic influența căii de glisare poate fi separată de cea a sistemului de reglare,  $\alpha$  caracterizînd neuniformitățile căii, iar  $S_{\bar{\alpha}, YY}(\omega)$  caracterizînd sistemul de reglare. Apare astfel o posibilitate de separare a efectelor și de determinare a valorii maxime a lui  $\alpha$  pentru care d.p.d.v. al lui  $Z_{sp2}$  se mai asigură un anumit grad de confort.

Pe baza elementelor prezentate, în cazul  $Z_{sp}(t) = Z_{sp2}(t)$  soluționarea celor două probleme menționate decurge astfel:

(i) Pentru verificarea întrefierului nominal corespunzător unei căi de glisare date și unei viteze de croazieră date pentru VPM (deci la  $\alpha$  și  $v$  dați) se determină în prealabil valoarea medie patrată a variațiilor întrefierului datorite neregularităților șinei:

$$\overline{Z_\delta^2} = \frac{1}{\pi} \int_0^\infty S_{Z_\delta Z_\delta}(\omega) d\omega , \quad (4.9)$$

unde, în acord cu rel.(4.7):

$$S_{Z_\delta Z_\delta}(\omega) = |G_{Z_s Z_\delta}(j\omega)|^2 S_{Z_{sp2}Z_{sp2}}(\omega) . \quad (4.10)$$

**În ipoteza că  $Z_{sp2}$  este o variabilă aleatoare ergodică, cu distribuție**

normală și cu valoare medie nulă, rezultă că și  $Z_{\delta}$  va avea aceleași proprietăți. În consecință probabilitatea ca  $|Z_{\delta}| \geq Z_{\delta_0}$ , adică probabilitatea ca variația întrefierului să fie mai mare decât întrefierul nominal, este:

$$P(Z_{\delta_0}) = 2 \int_{Z_{\delta_0}}^{\infty} p(Z_{\delta}) dZ_{\delta} = \frac{2}{\sqrt{2\pi}} \int_{\frac{Z_{\delta_0}}{\sigma_{Z_{\delta}}}}^{\infty} e^{-\frac{z^2}{2}} dz \quad (4.11)$$

În această relație  $p(Z_{\delta}) = \frac{1}{\sqrt{2\pi} \sigma_{Z_{\delta}}} e^{-\frac{Z_{\delta}^2}{2\sigma_{Z_{\delta}}^2}}$  reprezintă probabilitatea ca întrefierul să varieze cu valoarea  $Z_{\delta}$ , iar

$$\sigma_{Z_{\delta}} = \sqrt{Z_{\delta}^2} \quad (4.12)$$

abaterea medie patratice corespunzătoare valorii  $Z_{\delta_0}$  patratice (4.7). Considerînd:

$$Z_{\delta_0} \geq 3 \sigma_{Z_{\delta}} \quad (4.13)$$

se obține  $P(Z_{\delta_0}) \leq 0,0027$ , respectiv  $\frac{1}{3} P(Z_{\delta_0}) \cdot 3600 \leq 4,0$  secunde de impact la o oră de funcționare continuă a SIM-11, adică o durată medie foarte redusă a acestui sistem. Cele prezintă justifică considerarea rel.(4.13), (4.12), (4.10), (4.9) și (4.6) ca condiții de verificare a întrefierului nominal.

(ii) În majoritatea lucrărilor în care se consideră  $S_{\ddot{z}_m}(\omega) = S_{\ddot{z}_{sp}}(\omega)$  criteriul de apreciere al confortului de călătorie este constituit de amplasarea caracteristicii

$$S_{\ddot{z}_m}(\omega) = |G_{\ddot{z}_m}(j\omega)|^2 S_{\ddot{z}_{sp}}(\omega) \quad (4.14)$$

în raport cu o curbă etalon  $\tilde{S}_{\ddot{z}_m}(\omega)$ . De regulă, în această curbă etalon s-a considerat curba 1 din fig. 4.3.a, utilizată la verificarea unei pernă de aer, numită curba UTACV (Urban Tracked Air-Bearing Vehicle), confortul de călătorie considerîndu-se corespunzător dacă curba  $S_{\ddot{z}_m}(\omega)$  este situată sub cea etalon și necorespunzător dacă intersectează sau trece peste aceasta sau se situează deasupra ei. Dacă corespunzător se face utilizînd date experimentale, confortul este considerat corespunzător numai cînd, la măsurători efectuate cu o bandă de frecvențe largă,  $\omega$ ,  $\omega \approx \omega_{max}$  măsurat se situează sub valoarea etalon corespunzătoare frecvenței medii [83]. Trecînd peste limitele inferioare și superioare de obținere a curbei UTACV, criteriul menționat este aplicabil și ca indicator în situațiile cînd  $S_{\ddot{z}_m}(\omega)$  derivă din curba UTACV dar este în jurul unei frecvențe înguste.

Avantajul simplității relațiilor de calcul din d.s.r. este limitat de imposibilitatea obținerii unei astfel de curbe etalon prin măsurători efectuate la frecvențe discrete, doar se poate obține o cantitate finite de energie pentru fiecare frecvență într-o măsură în care este ireconciliabil cu conceptul de d.s.r., în acord cu care cantitatea de energie corespunzătoare unei frecvențe este infinită.

Totuși problema se poate rezolva cu bună aproximație pe baza observației efectuate de C.C.Smith [156] cu privire la standardul ISO-2631 care se referă la evaluarea efectului vibrațiilor asupra omului [197]. Standardul se aplică vibrațiilor de bandă largă, cum este și semnalul  $\ddot{z}_m(t)$  din cazul de față, necesitînd examinarea unor benzi individuale cu o lățime de treime de octavă ( $f_2 = \sqrt[3]{2} f_1$ ) din spectrul total al vibrației aleatoare analizate. Conform acestui standard confortul de călătorie se consideră acceptabil dacă valoarea medie patratică a accelerației, după direcție verticală sau după direcție orizontală, corespunzătoare oricărui interval de frecvențe considerat se situează sub valoarea indicată de standard - curbele 3.a, respectiv 3.b din fig.4.6 - pentru frecvența medie a intervalului  $f_{med} = 0,5(f_1 + f_2)$ , adică cînd:

$$\overline{\ddot{z}_m^2} = \int_{f_1}^{f_2} S_{\ddot{z}_m \ddot{z}_m} (2\pi f) df \leq \overline{\ddot{z}_m^2}_{ISO} (f_{med}) .$$

Observația lui Smith se bazează pe relația de aproximare:

$$\overline{\ddot{z}_m^2} = \int_{f_1}^{f_2} S_{\ddot{z}_m \ddot{z}_m} (2\pi f) df \approx (f_2 - f_1) S_{\ddot{z}_m \ddot{z}_m} (f_{med}) = 0,23 f_{med} S_{\ddot{z}_m \ddot{z}_m} (f_{med}) ,$$

care permite transformarea caracteristicii  $\overline{\ddot{z}_m^2}(\omega)$  într-o caracteristică  $\tilde{S}_{\ddot{z}_m \ddot{z}_m}(\omega)$  folosind relația:

$$\tilde{S}_{\ddot{z}_m \ddot{z}_m}(\omega) = \frac{\overline{\ddot{z}_m^2}(\omega)}{0,23 f} = \frac{2\pi \overline{\ddot{z}_m^2}(\omega)}{0,23 \omega} . \quad (4.15)$$

Cu rel.(4.15) se obțin, din caracteristicile standardului ISO-2631, curbele etalon 2 și 3 din fig.4.3. corespunzătoare d.s.p. ale accelerației absolute de deplasare pe verticală, respectiv pe orizontală.

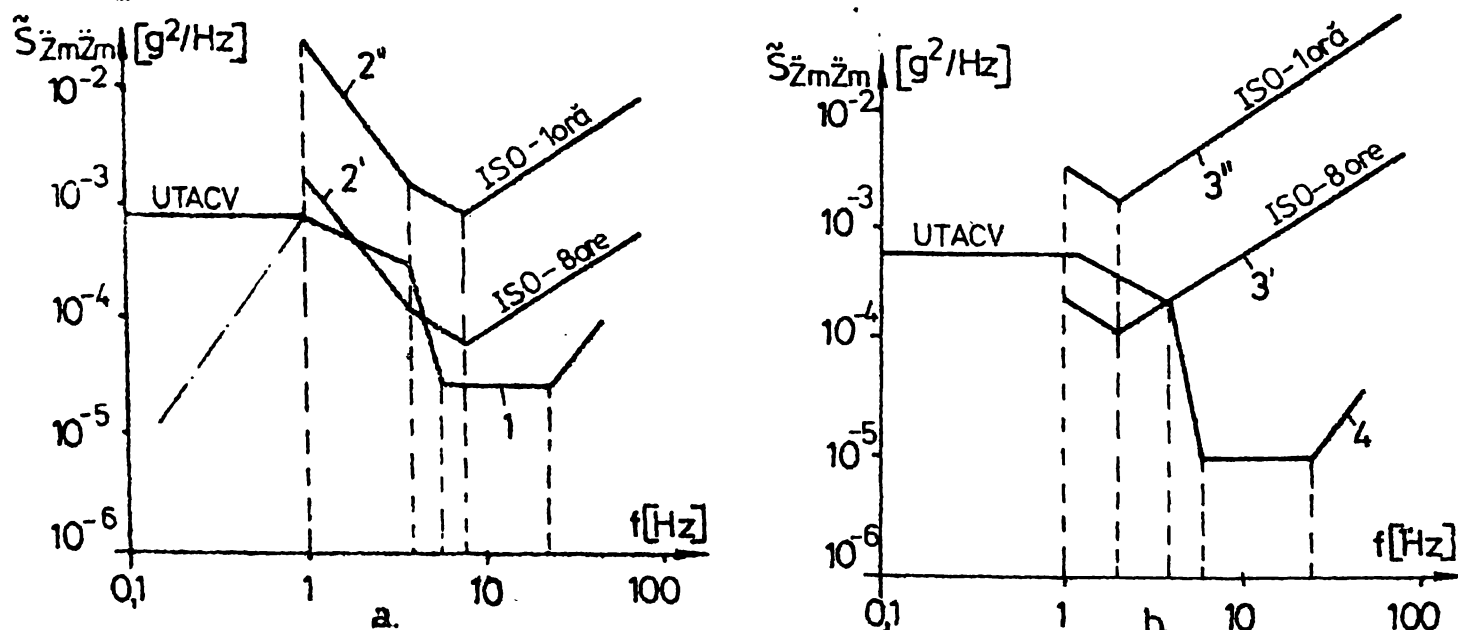


Fig.4.3. Caracteristici etalon pentru d.s.p. a vibrațiilor de bandă largă tolerate de om: a) vibrații după direcție verticală; b) vibrații după direcție orizontală. 1 și 4 - caracteristici utilizate la vehiculele pe pernă de aer, 2 și 3 - caracteristici derivate din standardul ISO-2631 (s-au reprezentat numai caracteristicile limită corespunzătoare nivelului de vibrații suportat de om în curs de o oră, respectiv de 8 ore).

În cazul utilizării acestor curbe etalon de confort, criteriul de acceptabilitate este considerat acceptabil dacă valoarea medie a d.s.p. pe intervalul de treisprezece de octavă se situează sub valoarea indicată de curbele etalon pentru frecvența medie a intervalului. În limitele acestei precizări se admit astfel și depășiri ale curbei  $\tilde{S}_{z_m z_m}(\omega)$  de către curba  $S_{z_m z_m}(\omega)$ , deosebite de primul procedeu prezentat.

Plecînd de la încercări experimentale în [17] se observază că: UTACV pentru  $f < 1$  Hz cu segmentul reprezentat în fig.4.3.a cu linie-punct. (O astfel de alură apare și la caracteristica 4 din fig.4.6. obținută prin încercări efectuate la frecvențe discrete).

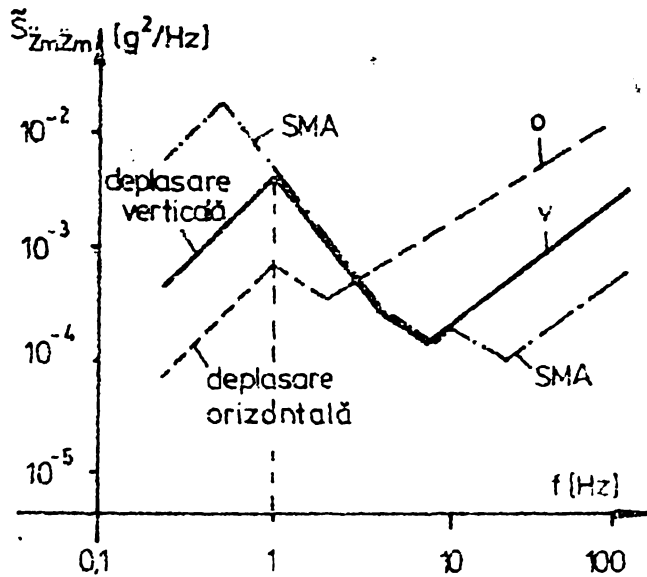


Fig. 4.4. Caracteristici etalon propuse pentru aprecierea confortului de călătorie la VPM pe baza d.s.p. a accelerației absolute.

Pe baza celor prezentate anterior ca fiind proșime drept caracteristici etalon pentru aprecierea confortului călătoriei în raport cu componente sp3 a perturbărilor  $S_{z_m z_m}$  caracteristicile din fig. 4.4. pot fi citate cu linie continuă. Pe baza celor prezentate și curbele 1 și 3 din fig.4.3. și previe din comparație cu caracteristicile ISO - 1 care caracteristiciile reprezentat în fig.4.7) pentru  $f < 1$  Hz cu un segment de linie-punct.

cel al caracteristicii UTACV (vezi fig. 4.3.a).

Deficiența de utilizare a caracteristicii etalon UTACV i-a de-

terminat pe specialiștii de la Ford Motor Company să cerceteze confortul de călătorie printr-un alt procedeu, utilizat și pentru automobile [143,17]. În acord cu acest procedeu se definește în funcție de un „indice de disconfort” în funcție de d.s.p. determinat:  $S_{z_m z_m}(f)$ :

$$DI = \left[ 2 \int_{0,2}^{50} df S_{z_m z_m} / a_{max}^2(f) \right]^{1/2} \quad (4.16)$$

în care  $a_{max}(f)$  reprezintă accelerația maximă admisibilă la frecvența  $f$ , apreciată de diverși autori în mod diferit (fig.4.5). Cea mai restrictivă curbă de ponderare este curba din fig. 4.6. obținută în felul următor:

$$a_{max}(f) = \begin{cases} 0,204/f & 1 < f \leq 10 \\ 0,033 & 10 < f \leq 100 \\ 1,7 \cdot 10^{-3} f & 100 < f \leq 1000 \end{cases} \quad (4.17)$$

unitatea de măsură a lui  $a_{max}$  fiind  $m/s^2$  (vezi la caracteristicile).

Considerînd  $a_{max}(f) = 0,204/f$  și pentru  $f < 1$  Hz, în funcție de (4.16) se obține pentru curba UTACV din fig.4.3.a valoarea DI = 1,44. Călcînd



propus de colectivul menționat constă în compararea valorii lui  $DI$  obținută pentru cazul ce interesează cu valoarea anterioară: dacă  $DI > 1,43$  atunci gradul de confort se consideră necorespunzător, iar dacă  $DI < 1,43$  confortul este apreciat corespunzător.

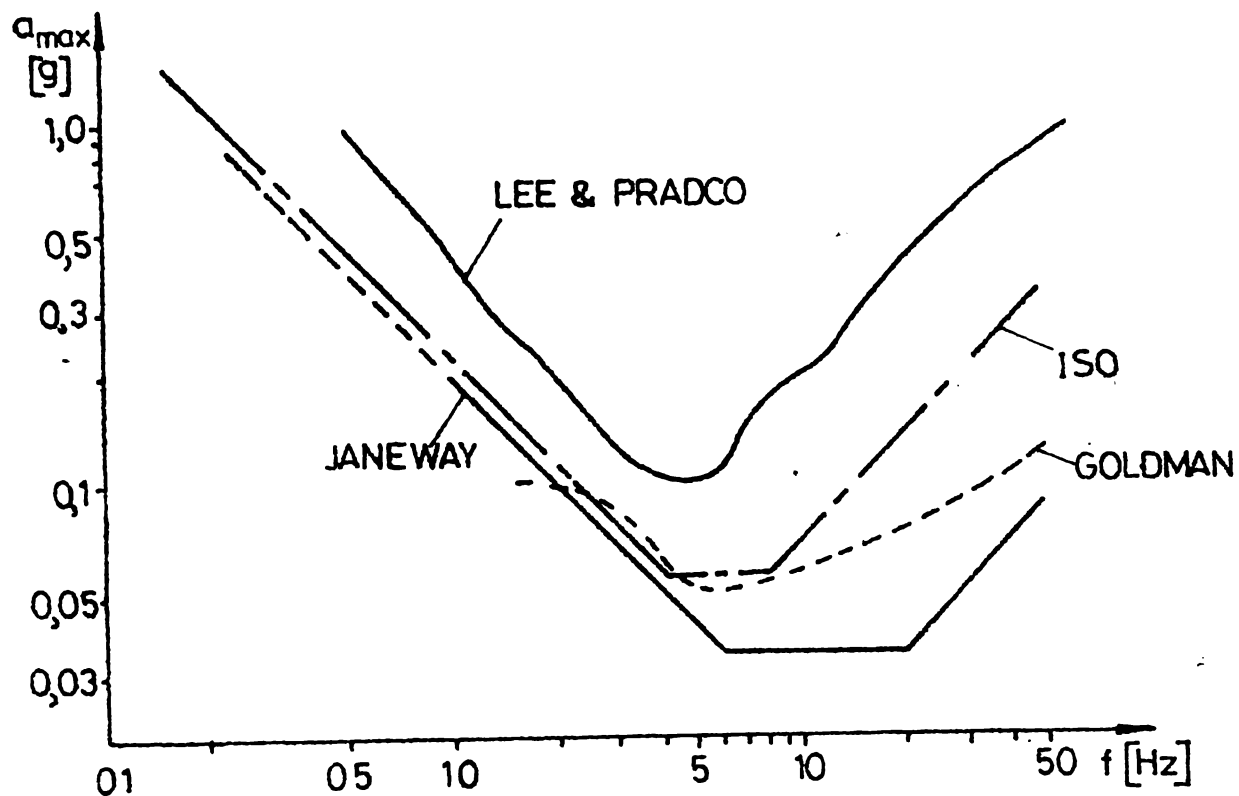


Fig. 4.5. Diferite curbe de ponderare utilizate pentru calculul indicelui de disconfort  $DI$ .

Existinzînd acest procedeu și pentru curbele etalon din fig.4.4 rezultă

- pentru deplasări pe verticală:  $DI_v = 4,82$
- pentru deplasări pe orizontală:  $DI_o = 13,25$  .

$$(4.18)$$

Se observă că față de primul caz se obțin condiții mai puțin restrictive. Valoarea lui  $DI_o$  s-a calculat considerînd curba Janeway valabilă și pentru deplasări pe orizontală, motiv pentru care acestei valori i se atribuie o importanță orientativă. Principalul avantaj al procedeuului bazat pe calculul indicelui de disconfort îl constituie soluționarea pe baza unei aprecieri integrale și nu a unei aprecieri locale a cazurilor cînd  $S_{Z_m Z_m}''(\omega)$  depășește  $\tilde{S}_{Z_m Z_m}''(\omega)$  într-un domeniu de frecvențe îngust dat fiind faptul că neregularitățile de înaltă frecvență ale căii de rulare sînt cel mai bine descrise prin semnale aleatoare.

Cu toate acestea procedeuul are cîteva dezavantaje notabile:

- nu poate face distincție între două situații avînd curbele d.s.p.  $S_{Z_m Z_m}''(f)$  diferite însă același  $DI$ ;
- domeniul de frecvențe (0,2 + 50) Hz care apare în integrala (4.16) nu este în fiecare caz semnificativ, în sensul că  $S_{Z_m Z_m}''(f)$  poate avea valorile importante într-un domeniu de frecvențe mai îngust, astfel că d.p.d.v. al confortului de călătorie ar fi semnificativ

calcularea și compararea valorii lui DI cu o valoare etalon diferită de cele indicate (în acestea ponderea mare o are valoarea integralei pentru  $f > 10$  Hz);

- domeniul de frecvențe (0,2 ÷ 1,0) Hz nu este reprezentat practic în valorile etalon ale lui DI, valoarea integralei din expresia lui DI fiind pe acest interval mai mică decât 0,01.

#### 4.2.2.1.2. Perturbațiile de tip determinist introduse de căile de glisare.

Privind componenta deterministă a lui  $Z_{sp}$  se admite că ea este redată de către un spectru discret de expresie:

$$Z_{sp1ef} = \frac{\beta}{f} \quad , \quad (4.19)$$

$\beta$  reprezentând coeficientul de rezonanță determinist al căii de glisare, iar  $f$  - frecvența oscilației armonice căreia îi corespunde valoarea efectivă (4.19):

$$Z_{sp}(t) = Z_{sp1ef} \sqrt{2} \sin(2\pi ft) \quad . \quad (4.20)$$

În [192] se consideră  $\beta = (5 \div 30) \cdot 10^{-6}$  m/s, valorile se pînă la  $20 \cdot 10^{-6}$  m/s corespunzînd unor căi de calitate foarte bună (v. observația 2<sup>o</sup> de la pct. 4.2.2.1.5. referitoare la rel. (4.19)).

În cazul  $Z_{sp}(t) = Z_{sp1}(t)$  soluționarea problemelor prezintate la începutul pct. 4.2.2.1. decurge astfel:

(i) Intrefierul nominal  $Z_{f0}$  se adoptă astfel încît soluțiile lui

$$Z_f(t) = \left| G_{Z_{sp} Z_f}(j2\pi f) \right| Z_{sp1ef} \sqrt{2} \sin \left[ 2\pi ft + \frac{\angle G_{Z_{sp} Z_f}(j2\pi f)}{\sqrt{2}} \right] \quad ,$$

să se producă cu o rezervă de minimum 3 dB, adică

$$Z_{f0} \geq \left| G_{Z_{sp} Z_f}(j2\pi f) \right| \frac{\beta \sqrt{2}}{f} + 3 \cdot 10^{-3} \quad [a] \quad (4.21)$$

Această relație se utilizează în primul rând ca o relație de verificare și mai puțin ca o relație de dimensionare.

(ii) Aprecierea confortului la nivelul electromagnetului levitat se face cu ajutorul curbelor etalon de egală calitate  $\tilde{Z}_{sp}(f)$  (în dB/Hz) care redau spectrul valorilor efective ale oscilațiilor armonice suportate de către om și considerate tolerabile numai într-un interval de timp  $T$  dat. Confortul de călătorie se consideră confortabil atunci cînd, la frecvența considerată, valoarea efectivă a lui  $\tilde{Z}_{sp}$  realizată de SLEM-11 se situează sub valoarea  $\tilde{Z}_{sp,ef}$  dată de curba etalon.

Pentru VPM, dată fiind durata maximă de  $T = 5$  ore care se extinde pentru o călătorie, se consideră semnificativ confortabil numai atunci cînd  $T = 4$  ore. În fig. 4.6 sînt redată, după diverse referințe bibliografice

**Caracteristici de acest gen obținute pe baza experimentelor. Pentru curba 5 nu se menționează o valoare a parametrului  $T$ , dar fiind singura curbă**

UTACV de apreciere a confortului a fost inclusă în categoria curbelor de parametru  $\tau = 4$  ore (se observă compatibilitatea ei cu celelalte curbe). Cu 6 s-a notat caracteristica solicitărilor minim admisibile (caracteristica SMA), trasată ca înfășurătoare a caracteristicilor 1, 2, 3a, 4 și 5.

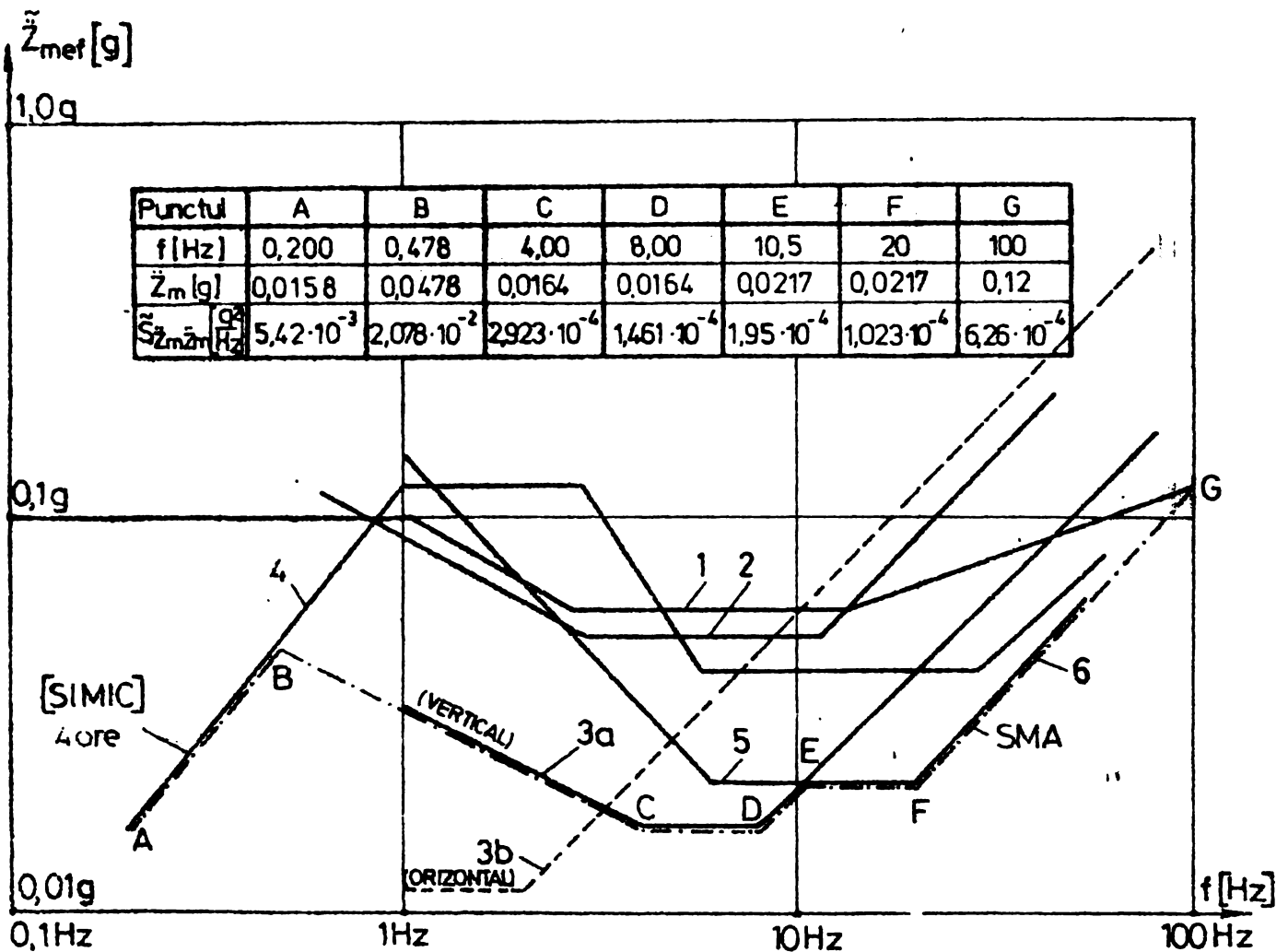


Fig. 4.6. Curbe de egală oboseală de parametru  $\tau = 4$  ore:  
 1 - curbă ISO [83]; 2 - curbă ISO [23]; 3 - curbe ISO obținute din [156] folosind rapoartele de interpolare rezultate din [23] (3a - deplasare pe verticală; 3b - deplasare pe orizontală); 4 - curba Simić [153]; 5 - curba UTACV [144]; 6 - curba SMA. Tabelul corespunde caracteristicii SMA redând coordonatele punctelor caracteristice ale acesteia și valorile corespunzătoare ale d.s.p. în acord cu rel.(4.15).

Analiza acestor caracteristici conduce la următoarele concluzii:

- Intre datele experimentale menționate în literatură apar diferențe notabile. Din acest motiv la aprecierea confortului de călătorie este necesar să se precizeze întotdeauna și curba etalon utilizată.
- Cu excepția curbei etalon determinate de Simić [153], celelalte curbe etalon nu furnizează date corecte pentru domeniul de frecvențe  $f < 1$  Hz; curba lui Simić corespunde din acest p.d.v. curbei UTACV - modificată, din fig. 4.3.a.
- Cele mai restrictive condiții de apreciere a confortului de călă-

torie sînt impuse de caracteristica SMA, care se realizează în acest scop.

- Pentru aprecierea confortului de călătorie în ceea ce privește miștile în plan orizontal trebuie utilizată curba etalon  $\tilde{Z}_m$  din fig. 4.4, diferită de oricare din curbele etalon  $\tilde{Z}_m$  care prezintă miștile de verticală.

- Panta cea mai cîștoare din caracteristica SMA (fig. 4.4) este cea de segmentului BC și este egală cu  $-10$  dB/dec. Dacă se reprezintă această caracteristică ca reprezentînd spectrul valorilor efective ale unui semnal sinusoidal  $\tilde{Z}_m(t)$ , rezultă că panta cea mai cîștoare din centrul semnalului  $\tilde{Z}_m(t)$  corespunzător va fi de  $-50$  dB/dec. Pentru se obține un astfel de rezultat, în condiții în care spectrul valorilor efective ale semnalului  $\tilde{Z}_{sp}(t)$  este reat de rel.(4.13), deci cînd prezintă o pantă de  $-20$  dB/dec, rezultă cu necesitate c.e.a-c.

$|G_{Z_s Z_m}|_{dB}$  cu o pantă de valoare  $\leq -10$  dB/dec pentru  $f > 1$  Hz (teoretic pentru  $f > 0,478$  Hz). Bazîndu-se probabil pe această pantă și luîndu-se în considerare, însă cu privire la curba Simić, în [102, 103, 104, \*] se poate obține o caracteristică  $|G_{Z_s Z_m}|_{dB}$  cu o pantă de  $-10$  dB/dec.

- Datorită faptului că în semnalul  $\tilde{Z}_{sp}(t)$  sînt prezente, într-o mișcare aproximativă, componente de diferite frecvențe, cu o variație caracteristicilor etalon  $\tilde{Z}_{m\text{ef}}(f)$  nu constituie un avantaj deosebit. Valoările furnizate de aceste caracteristici referindu-se numai la vibrații sinusoidale singulare, ele nu pot fi utilizate pentru măsurări experimentale în condițiile unui semnal  $\tilde{Z}_{sp}(t)$ , respectiv  $\tilde{Z}_p(t)$  avînd compoziția menționată. Prin folosirea rel.(4.15), respectiv prin introducerea condițiilor în care această relație este valabilă, acest dezavantaj poate fi înlăturat. Astfel caracteristica SMA din fig. 4.6 conduce la caracteristica SMA din fig. 4.4, respectiv la caracteristică etalon a d.s.p.  $\tilde{Z}_{m\text{ef}}(f)$  (v. valorile din altă parte a lucrării din fig. 4.6). Pentru această caracteristică etalon, cu rel. (4.16), se obține:

$$DI_{SMA} = 2,88 \quad (4.17)$$

#### 4.2.2.1.3. Verificarea întrefierului nominal și confortului de călătorie în condițiile acțiunii unei perturbații $\tilde{Z}_{sp}$ complete.

Prin „perturbație  $\tilde{Z}_{sp}$  completă” se înțelege o perturbație  $\tilde{Z}_{sp}$  în care sînt prezente ambele componente  $\tilde{Z}_{sp1}$  și  $\tilde{Z}_{sp2}$ . Sistemele LH-IL dezvoltate în capitolele următoare fiind liniare, analiza acestor sisteme în raport cu componentele lui  $\tilde{Z}_{sp}$  se poate efectua prin superpoziție. Metodele de verificare a întrefierului nominal și de verificare a confortului, prezentate în continuare, utilizează acest principiu în diferite

maniere și anume: prin introducerea unor termeni de siguranță, respectiv prin cumulare de verificări.

Privind întrefierul nominal  $Z_{\delta_0}$  se recomandă ca valoarea acestuia să se adopte în intervalul (5,7 + 25,0) mm. Limita inferioară asigură o rezervă de întrefier, față de oscilațiile de amplitudine  $\sqrt{2} \sigma_{Z_{\delta}}$ , de cel puțin 3 mm - valoare recomandată în [192]. Limita superioară este impusă de considerente referitoare la greutatea și gabaritul surselor de alimetare.

În condițiile existenței unei perturbații  $Z_{sp}$  complete valoarea aleasă a întrefierului nominal trebuie să satisfacă, d.p.d.v. al perturbației  $Z_{sp2}$ , rel.(4.13), iar d.p.d.v. al perturbației  $Z_{sp1}$ , rel.(4.21). Se apreciază că în acest caz condiția funcțională  $Z_{\delta} > 0$  este satisfăcută chiar și în cel mai nefavorabil caz de acțiune simultană a celor două perturbații. Prescrierea unui întrefier de valoare mai redusă decât cea necesită de rel.(4.13) nu este indicată, întrucât deja pentru  $Z_{\delta_0} = 2 \sigma_{Z_{\delta}}$  probabilitatea impactului dintre electromagnet și șină este de cca. 17 ori mai mare (82,80 secunde de impact la o oră de funcționare).

Referitor la confortul de călătorie se consideră că în cazul acțiunii unor perturbații  $Z_{sp}$  complete acesta este corespunzător dacă sînt satisfăcute, separat, atât condițiile de confort în raport cu  $Z_{sp2}$ , cît și cele în raport cu  $Z_{sp1}$ . Astfel:

1<sup>o</sup>- În raport cu  $Z_{sp2}$  se consideră echivalente procedeele (a) și (b) de mai jos:

(a) Confortul este corespunzător dacă d.s.p.  $S_{\ddot{z}_m \ddot{z}_m}(\omega)$  se situează integral sub curbele etalon  $v$  și/sau  $o$  din fig. 4.4.

(b) Confortul este corespunzător dacă indicele de disconfort DI calculat cu rel.(4.16) și (4.17) are o valoare mai mică decât valoarea precizată în rel.(4.18) și dacă pentru  $f < 1$  Hz valoarea medie a d.s.p.  $S_{\ddot{z}_m \ddot{z}_m}(\omega)$ , pe orice interval de o treime de octavă, se situează sub valorile indicate de curbele etalon  $v$  și/sau  $o$  din fig.4.4 pentru frecvența medie a intervalului.

2<sup>o</sup>- În raport cu  $Z_{sp1}$  confortul se consideră corespunzător dacă  $\ddot{z}_{m\text{ef}}(f)$  se situează sub valoarea lui  $\ddot{z}_{\text{med}}(f)$  corespunzătoare curbei din fig. 4.6, aleasă pentru aprecierea confortului.

În fine, în cazul cînd se urmărește ca aprecierea confortului să se facă în condiții deosebit de restrictive se va utiliza caracteristica SMA, enunțurile anterioare modificîndu-se din următoarele puncte de vedere:

- 1° : (a) ... sub curba etalon din fig. 4.4.  
 (b) ... cea precizată din rel. (4.22) ... sub curba etalon SRA din fig. 4.4.
- 2° : ... corespunzătoare caracteristicii SRA și Fig. 4.6.

4.2.2.1.4. Modelarea componentei determinate a neregularității din categoria a II-a ale căii de glisare.

Privind neregularitățile de categorie a doua ale căii de glisare problema sintezei SLEM-IL ca SRA cu compensarea unei anumite clase de semnale perturbatoare persistente se pune doar cu privire la componenta  $Z_{spl}$ , când aceasta este de joasă frecvență sau cu amplitudine mare. În acest scop este necesară modelarea predictibilă a lui  $Z_{spl}$  ca soluție a unui sistem abstract asociat, care să genereze, procedându-se la aproximarea formei arcuite a ginei răsucite între doi stâlpi cu

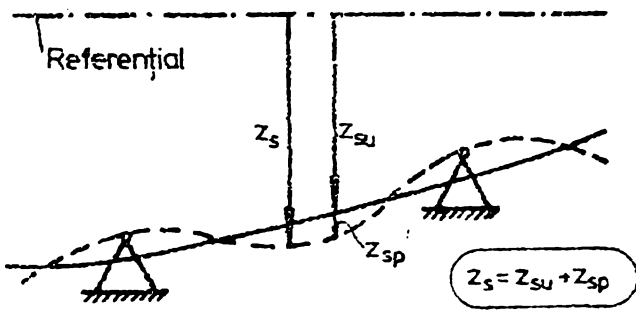


Fig. 4.7. Componenta perturbatoare periodică  $Z_{sp}$  și componenta utilă  $Z_{su}$  ale lui  $Z_s$ .

are înălțimi și extins pe interval de timp  $T$  (fig. 4.7):

$$Z_{sp}(t) = Z_{spl} \sin(\omega_s t + \varphi) \quad (4.22)$$

cu

$$\omega_s = 2\pi \frac{v}{l_s} \quad (4.23)$$

unde  $l_s$  este distanța între doi stâlpi de susținere laterali.

Folosind procesul stocastic [6], sistemul asociat generat de

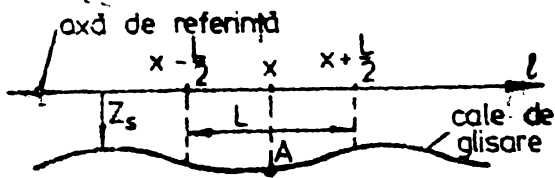
$Z_{sp}(t)$  sub forma (4.23) rezultă ca fiind:

$$\begin{bmatrix} \dot{Z}_{sp} \\ Z_{spo} \end{bmatrix} = \begin{bmatrix} 0 & 1 \\ -\omega_s^2 & 0 \end{bmatrix} \begin{bmatrix} Z_{sp} \\ Z_{spo} \end{bmatrix} + \begin{bmatrix} f_1(\delta_1, \delta_2) \\ f_2(\delta_1, \delta_2) \end{bmatrix} \quad (4.24)$$

În ec.(4.24)  $f_1$  și  $f_2$  reprezintă două funcții ale căror argumente fiind o variabile independente impulsurile Dirac de amplitudine  $\delta_1(\cdot)$  și  $\delta_2(\cdot)$ , în sensul că momentele de producere a acestora și amplitudinile lor sînt variabile aleatoare. Prin intermediul lui  $\delta_1$  și  $\delta_2$  se poate realiza, d.p.d.v. teoretic, posibilitatea ca în orice interval de timp  $T$  și  $\varphi_s$  să se modifice, surprinzîndu-se modificările de temperatură, respectiv modificările geometrice ale ginei. Sistemul asociat (4.24) este utilizat în scopul generării unei funcții  $Z_{sp}(t)$  prin intermediul  $[f_1 \ f_2]^T$ , prezența lui fiind justificată din punct de vedere fizic. Dezavantajul MM (4.24) îl constituie faptul că  $\omega_s$  trebuie să fie constant.

4.2.2.1.5. Asupra unor relații utilizate în cadrul pct. 4.2.2.1.

1°. Abaterea medie patrată în cazul unui punct A al căii de glisare în lungul căreia se deplasează VPM (fig.4.8) poate fi exprimată cu relația [59] :



$$\sigma_{Z_{sp}} = \left| Z_{sp}(x) - \frac{Z_{sp}(x+\frac{L}{2}) + Z_{sp}(x-\frac{L}{2})}{2} \right| \quad (4.25)$$

**Fig. 4.8.** Relativă la determinarea lui  $\sigma_{Z_{sp}}$ .

Plecînd de la rel.(4.25) în [187] se propune determinarea lui  $\alpha$  cu relația  $\alpha = 4 \sigma_{Z_s}^2 / (\pi L)$ , unde  $L = 10$  m. +)

2°. Alături de rel.(4.19) în literatură se propun și alte relații pentru  $Z_{sp\ ef}$ . Astfel în [144] se menționează relația  $Z_{sp\ ef} = \gamma / \sqrt{f}$ .

3°. Utilizarea indicelui de disconfort poate fi extinsă și pentru semnalele deterministe, după cum urmează. Admițînd că

$$\ddot{z}_m(t) = \sum_{k=1}^P \sqrt{2} \ddot{z}_m\ ef(f_k) \sin(2\pi f_k t + \varphi_k) \quad ,$$

rezultă

$$S_{\ddot{z}_m \ddot{z}_m}(f) = \sum_{k=1}^P \frac{\ddot{z}_m\ ef^2(f_k)}{2} \delta(f-f_k)$$

unde  $\delta(\cdot)$  este impulsul Dirac. Rel.(4.14) conduce în acest caz la:

$$DI = \sum_{k=1}^P \frac{\ddot{z}_m\ ef^2(f_k)}{a_{max}^2(f_k)} \quad .$$

4°. Privind ordinul de mărime al neregularităților de categoria a doua se consideră semnificative următoarele date [63,61,187] :

- Arcuirea șinelor în plan vertical pentru suportți fixați la distanța  $l_s = 15$  m este  $Z_{spl\ max} = 5 \cdot 10^{-3}$  m; pentru  $v = 500$  km/h = 138 m/s rezultă  $\omega_s = 58,17$  sec<sup>-1</sup>, respectiv  $\ddot{z}_{sp\ max} = 16,92$  m/sec<sup>2</sup> = 1,725g.

- Impreciziile de aliniere a capetelor tronsoanelor de șină pe stâlpii de susținere sînt:  $Z_{sp2} = \pm 2 \cdot 10^{-3}$  m.

4.2.2.2. Neregularitățile de categoria I-a ale căii de glisare.

Neregularitățile de categoria I-a ale căii de glisare,  $Z_{su}$ , corespund formei geometrice nominale a traseului pe care trebuie să-l urmeze VPM. În general acest traseu constă din linii drepte și arce de cerc legate prin arce de tranziție în lungul cărora modificarea razei de curbură  $R$ , de la  $R = \infty$  la valoarea  $R_{min}$  are loc după regula [63,62] :

$$\frac{1}{R(x)} = \frac{1}{2 R_{min}} \left( 2 \frac{x}{l_t} - \frac{1}{\pi} \sin \frac{2\pi x}{l_t} \right) \quad , \quad x \leq l_t \quad . \quad (4.26)$$

**x reprezintă segmentul parcurs de punctul curent în lungul arcului de**

+\*) Demonstrarea relației nu este suficient de riguroasă.

tranziție, arc de lungime totală  $l_t$ . Parametrii acestuia,  $R_{\min}$  și  $l_t$ , se obțin din condițiile de limitare superioară a valorilor maxime ale accelerației normale  $a_n$ :

$$a_n(t) = \frac{v^2}{R(x(t))} \quad (4.27)$$

și șocului  $\ddot{z}_{su}(t)$ , la o viteză de croazieră  $v$  dată. Pentru  $x = vt$  se obțin expresiile:

$$a_{n \max} = \frac{v^2}{R_{\min}}; \quad \ddot{z}_{n \max} = \frac{2 v^3}{R_{\min} l_t}$$

Astfel, pentru  $v = 500$  km/h,  $a_{n \max} = 1$  m/sec<sup>2</sup> și  $\ddot{z}_{n \max} = 0,5$  m/sec<sup>3</sup> rezultă un arc de tranziție cu parametrii  $R_{\min} = 20$  km și  $l_t = 540$  m, durata parcurgerii arcului fiind de cca. 3,888 sec.

Aproximînd:

$$\ddot{z}_{su}(x) = a_n(x) \quad (4.28)$$

se obțin diagramele din fig. 4.9. notate cu 1 și reprezentate cu linie continuă. Valorile trecute în parantezele drepte corespund punctelor A și B atunci cînd  $v = 500$  km/h. Caracteristica 2, trasată cu linie-punct, constituie o bună aproximație pentru curba 1. (O astfel de diagramă de aproximație a accelerației s-a utilizat în [3] pentru simulări analogice și digitale).<sup>\*)</sup> Ei îi corespunde diagrama 2 din fig. 4.9.a. Se observă că cele două tipuri de variație a accelerației șinei sînt foarte apropiate, iar diferența dintre diagramele 1 și 2 din fig. 4.9.a nu este de natură de a nămălțumi intrucît modul de variație al șocurilor se înscrie în limite admisibile.

Proiectarea SLEM-1L ca SRA cu compensarea neregularităților de categoria I-a ale căii de glisare,  $Z_{su}(t)$ , constituie o problemă deosebit de importantă. Conform [86] sistemul asociat ce generează pe  $Z_{su}(t)$  are

MM-II:

$$Z_{su}^{(4)}(t) = \delta_1 + \delta_2 + \delta_3 + \delta_4, \quad (4.29)$$

respectiv MM-ISI:

$$\begin{bmatrix} Z_{su} \\ Z_{su1} \\ Z_{su2} \\ Z_{su3} \end{bmatrix} \cdot = \begin{bmatrix} 0 & 1 & 0 & 0 \\ 0 & 0 & 1 & 0 \\ 0 & 0 & 0 & 1 \\ 0 & 0 & 0 & 0 \end{bmatrix} \begin{bmatrix} Z_{su} \\ Z_{su1} \\ Z_{su2} \\ Z_{su3} \end{bmatrix} + \begin{bmatrix} \delta_1 \\ \delta_2 \\ \delta_3 \\ \delta_4 \end{bmatrix} \quad (4.30)$$

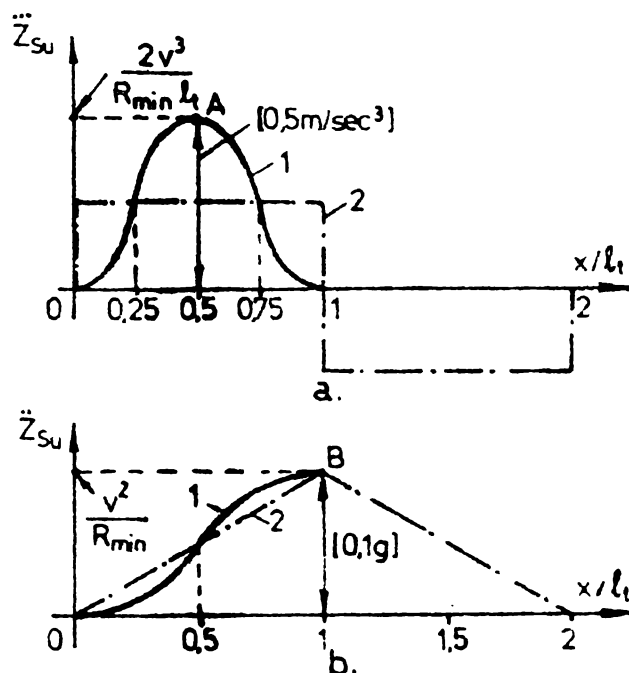


Fig. 4.9. Diagramele de variație ale șocului  $\ddot{z}_{su}$  și accelerației  $\ddot{z}_{su}$  în lungul arcelor de tranziție ale căii de glisare a VPM.

\*) În [3] figurează curba  $\ddot{z}_{su}(t)$ , obținută pentru  $v = \text{const.}$



Ieșirea acestui sistem este de forma

$$Z_{su}(t) = c_1 + c_2 t + c_3 t^2 + c_4 t^3, \quad (4.31)$$

impulsurile Dirac  $\delta_1, \dots, \delta_4$  furnizând d.n.d.v. matematic posibilitatea modificării aleatoare a coeficienților  $c_1, \dots, c_4$ .

În mod obișnuit mărimea care interesează este accelerația  $\ddot{z}_{su}(t)$ . Sistemul asociat care o generează are MM-II:

$$\ddot{z}_{su}^{(2)}(t) = \delta_1 + \delta_2, \quad (4.32)$$

respectiv MM-ISI:

$$\begin{bmatrix} \ddot{z}_{su} \\ \ddot{z}_{su4} \end{bmatrix} = \begin{bmatrix} 0 & 1 \\ 0 & 0 \end{bmatrix} \begin{bmatrix} \ddot{z}_{su} \\ \ddot{z}_{su4} \end{bmatrix} + \begin{bmatrix} \delta_1 \\ \delta_2 \end{bmatrix} \quad (4.33)$$

cu mărimea de ieșire de forma:

$$\ddot{z}_{su}(t) = c_1 + c_2 t. \quad (4.34)$$

În calculele ulterioare scrierea impulsurilor Dirac este omisă în vederea simplificării aspectului relațiilor.

MM propuse: (4.29) sau (4.30), respectiv (4.32) sau (4.33) diferă de cele propuse în [62], adică de MM:

$$Z_{su}^{(3)}(t) = 0, \text{ respectiv } \ddot{z}_{su}^{(1)}(t) = 0, \quad (4.35)$$

care conduc la  $Z_{su}(t) = c_1 + c_2 t + c_3 t^2$ , respectiv  $\ddot{z}_{su}(t) = c$ . Faptul că MM propuse au ordinul cu o unitate mai mare decât cele din [62] permite, după cum rezultă din examinarea expresiilor lui  $Z_{su}(t)$  și  $\ddot{z}_{su}(t)$ , surprinderea mai corectă a variațiilor lui  $Z_{su}(t)$  și a lui  $\ddot{z}_{su}(t)$  pe diferitele porțiuni ale arcelor de tranziție, făcând mai eficientă acțiunea blocului de reglare al SLEM-LL în lungul arcelor de tranziție. Totodată trebuie menționat că îmbunătățirea comportării SLEM-LL ca sistem de urmărire a mărimii de intrare  $\ddot{z}_{su}$ , prin utilizarea MM asociate neregularităților de categoria I-a, prezintă - la valori reduse ale vitezei  $v$  - reversul urmăririi neregularităților periodice  $Z_{spl}(t)$ , de categoria a II-a, ceea ce deteriorează confortul. În cazul MM propuse acest dezavantaj devine mai important decât în cazul MM (4.35). În fine, se consideră evident faptul că pe porțiunile drepte sau în formă de arce de cerc ale traceului nominal mărirea ordinului sistemelor cu unitate față de MM (4.35) este lipsită de sens.

Pentru cazurile reale determinarea MM asociate neregularităților de categoria I-a este foarte complicată, fiind practic necesar un MM nou pentru fiecare tronson de cale. Cu cât ordinul MM asociat lui  $Z_{su}(t)$  sau  $\ddot{z}_{su}(t)$  este mai mare, cu atât structura blocului de reglare al SLEM-LL este mai complexă, fiind necesare circuite mai complexe sau un volum mai mare de memorie și de calcule.

Toate aceste considerente recomandă ca în cazul sintezai și proiectării SLEM-1L să fie studiate comparativ toate variantele reacționate anterior și mai puțin varianta dezvoltată în anexa VI.

#### 4.2.3. Aspecte referitoare la mărimea $F_e$ .

Acțiunea forței exterioare  $F_e$  asupra SLS-1L, respectiv asupra SLEM-1L se produce în timp aleator, variațiile lui  $F_e$  fiind de tip treaptă, ca în fig. 4.10.a [62], sau ca în fig. 4.10.b [50]. În vederea realizării SLEM-1L ca SRA cu compensarea forței exterioare  $F_e$ , sistemul asociat are în primul caz MM:

$$\bar{F}_e(t) = \delta(\cdot) \quad , \quad (4.36)$$

iar în al doilea caz MM-II:

$$\bar{F}_e(t) = \dot{\delta}_1(t) + \delta_2(t) \quad , \quad (4.37)$$

căruia îi corespunde MM-ISI:

$$\begin{bmatrix} F_e \\ F_{el} \end{bmatrix} \cdot = \begin{bmatrix} 0 & 1 \\ 0 & 0 \end{bmatrix} \begin{bmatrix} F_e \\ F_{el} \end{bmatrix} + \begin{bmatrix} \delta_1 \\ \delta_2 \end{bmatrix} \quad . \quad (4.38)$$

În aceste relații  $\delta(\cdot)$ ,  $\delta_1(\cdot)$

și  $\delta_2(\cdot)$  reprezintă impulsuri

Dirac aleatoare, astfel că:

$$F_e(t) = c \quad , \quad \text{corespunzător ec. (4.36)} \quad , \quad (4.39)$$

$$F_e(t) = c_1 + c_2 t \quad , \quad \text{corespunzător ec. (4.37)} \quad , \quad (4.40)$$

cu  $c$ ,  $c_1$  și  $c_2$  variabile aleatoare.

Se apreciază că variațiile maxime ale lui  $F_e$  sînt de ordin la 30 % din greutatea totală a VPM, iar la nivelul unui electromagnet de 30 % din forța nominală statică  $F_0$  a acestuia. În general SLEM-1L prezintă o rigiditate relativ mare față de variațiile lui  $F_e$  [42,62], compensarea lui  $F_e$  impunîndu-se din considerente dinamice [50].

#### 4.2.4. Erori datorate traductoarelor de măsură.

În mod obișnuit pentru realizarea reacției SLEM-1L se utilizează două din cele trei ieșiri de măsură -  $Z_g$ ,  $I$  și  $\bar{Z}_m$  - ale SLS-1L și anume:  $Z_g$  și  $\bar{Z}_m$  sau  $Z_g$  și  $I$ .

Întrefierul  $Z_g$  se măsoară de regulă folosind traductoare inductive cu axa așezată paralel cu liniile câmpului magnetic din întrefier. Pentru măsurarea curentului se utilizează gunturi prevăzute cu filtre care înăltură oscilațiile datorate chopării, dar permit trecerea semnelor utile. Se consideră că aceste două măsurători nu sînt afectate de erori sistematice.

Măsurarea accelerației se efectuează cu accelerometre care în general introduc erori sistematice [64,61,62] :

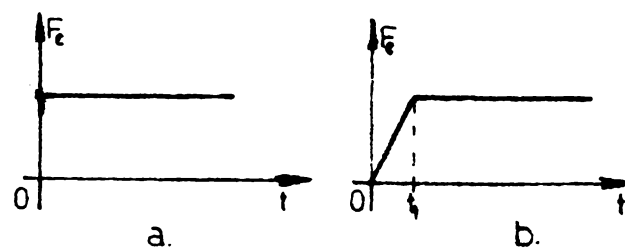


Fig. 4.10. Două modalități de variație ale forței perturbatoare  $F_e$ : a) variație în treaptă ideală b) variație în treaptă reală.

$$\bar{Z}_M = \bar{Z}_m + \bar{Z}_{m\epsilon} \quad (4.41)$$

Pentru înlăturarea erorii  $\bar{Z}_{m\epsilon}$  se recomandă două procedee:

(i) trecerea semnalului măsurat  $\bar{Z}_M$  printr-un filtru trece-sus, astfel încât semnalul util  $\bar{Z}_m$ , de frecvență medie, să ajungă la blocul de reglare, iar semnalul

$$\bar{Z}_{m\epsilon} = \text{const.} \quad (4.42)$$

să fie filtrat;

(ii) proiectarea SLEM-1L ca SRA cu compensarea lui  $\bar{Z}_m$  considerînd pentru  $\bar{Z}_{m\epsilon}$ , pe baza rel.(4.42), MM asociat:

$$\bar{Z}_{m\epsilon}^{(1)}(t) = \delta(\cdot) \quad (4.43)$$

cu  $\delta(\cdot)$  - impuls Dirac aleator.

În consecință, erorile de măsurare nu ridică probleme deosebite pentru funcționarea SLEM-1L, dar trebuie luate în considerație în proiectarea acestuia [61].

#### 4.2.5. Aspecte referitoare la puterea de comandă a SES-1L.

Domeniul de funcționare normală a unui SLEM-1L, adică domeniul în care se poate modifica punctul de funcționare al SES-1L, în condițiile unei scheme de reglare date și a unei cîi de glicare cunoscute, depinde în bună măsură de puterea de comandă maximă disponibilă  $P_{\max}$  a sursei de alimentare a electromagnetului. Funcționarea normală are loc la o putere  $P < P_{\max}$ , valori mari ale lui  $P$  fiind necesare în regimurile dinamice de forțare a excitației. Posibilitatea de obținere (exploatare) a valorii  $P_{\max}$  este influențată defavorabil de diverse procese de saturație, în speță de saturația blocului de reglare.

În cazul general puterea de comandă momentană și puterea de comandă medie se calculează cu relațiile:

$$P(t) = U_a(t) I(t) = [U_{a0} + \Delta U_a(t)] [I_0 + \Delta I(t)] \quad (4.44)$$

$$P_{\text{med}} = \overline{U_a(t) I(t)} = U_{a0} I_0 + U_{a0} \Delta I_{\text{med}} + I_0 \Delta U_{a \text{ med}} + \overline{\Delta U_a(t) \Delta I(t)} \quad (4.45)$$

unde:

$$\Delta U_a(t) \text{ o } \longrightarrow \text{ o } U_a(s) \quad , \quad \Delta I(t) \text{ o } \longrightarrow \text{ o } I(s)$$

(v. convenția de notare ce urmează rel.(2.7)),  $U_a(s)$  și  $I(s)$  reprezentînd imaginile Laplace într-un regim oarecare de funcționare liniară a SLEM-1L, cauzate de modificarea oricăreia din mărimile de intrare.

Cazul particular cel mai important corespunde situației cînd singura mărime de intrare care variază este  $Z_s$ , semnalul  $Z_s(t)$  considerîndu-se aleator, cu d.s.p. (4.6). Atunci, conform rel.(4.7), pentru d.s.p. ale lui  $U_a$  și  $I$  și pentru valorile medii patratice ale acestora rezultă **expresiile:**

$$S_{U_a U_a}(\omega) = \alpha |G_{Z_{sU_a}}(j\omega)|^2 \frac{v}{\omega^2}, \quad S_{II}(\omega) = \alpha |G_{Z_{sI}}(j\omega)|^2 \frac{v}{\omega^2} \quad (4.46)$$

$$\overline{\Delta U_a^2} = \frac{1}{\pi} \int_0^\infty S_{U_a U_a}(\omega) d\omega = \alpha v F_{U_a}(\underline{K}), \quad (4.47)$$

$$\overline{\Delta I^2} = \frac{1}{\pi} \int_0^\infty S_{II}(\omega) d\omega = \alpha v F_I(\underline{K}), \quad (4.48)$$

unde  $F_{U_a}(\cdot)$  și  $F_I(\cdot)$  reprezintă funcții de vectorul  $\underline{K}$  al parametrilor blocului de reglare. Avînd în vedere că  $\omega$  variază într-un interval mărginit ( $\omega = 2\pi f$  cu  $f_{\max} = 50$  Hz),  $\overline{\Delta U_a^2}$  și  $\overline{\Delta I^2}$  se calculează în limitele acestui interval. Totodată considerînd că pe același interval

$\Delta U_a \text{ med} = 0$  și  $\Delta I_{\text{med}} = 0$ , rezultă:

$$\overline{U_a^2} = U_{a0}^2 + \overline{\Delta U_a^2}; \quad \overline{I^2} = I_0^2 + \overline{\Delta I^2}, \quad (4.49)$$

respectiv expresiile de calcul ale puterilor de comandă aparentă, medie și activă:

$$P_{\text{ap}} = (\overline{U_a^2 I^2})^{1/2} = [(U_{a0}^2 + \overline{\Delta U_a^2})(I_0^2 + \overline{\Delta I^2})]^{1/2} \quad (4.50-1)$$

$$P_{\text{med}} = \overline{U_a I} = U_{a0} I_0 + \overline{\Delta U_a(t) \cdot \Delta I(t)} \quad (4.50-2)$$

$$P_a = \overline{I^2 R} = (I_0^2 + \overline{\Delta I^2}) R \quad (4.50-3)$$

Astfel de relații de calcul utilizabile în cazul cînd  $S_{Z_{sU_a}}$  este de forma (4.6) apar și în [187,143]. Rel.(4.49) nu sînt foarte utilizabile pentru măsurători. Din acest motiv în [143] se propun relațiile de aproximare:

$$\overline{U_a^2} = U_{a0}^2 + \sum_{\lambda=1}^{10} \overline{\Delta U_{a\lambda}^2}; \quad \overline{I^2} = I_0^2 + \sum_{\lambda=1}^{10} \overline{\Delta I_\lambda^2} \quad (4.51)$$

rezultînd

$$P_{\text{med}} = U_{a0} I_0 + \sum_{\lambda=1}^{10} \overline{\Delta U_{a\lambda}(t) \cdot \Delta I_\lambda(t)} \quad (4.52)$$

În aceste relații:  $\Delta I_\lambda(t)$  - reprezintă variația curentului  $I$  față de valoarea  $I_0$  în condițiile acționării asupra SLEM-LL a unei perturbații sinusoidale  $Z_{s\lambda}(t)$  avînd o valoare medie patetică egală cu cea a semnalului din funcționarea normală dintr-o bandă de frecvență de  $n$  Hz și o frecvență egală cu valoarea medie a acestuia;  $\Delta U_{a\lambda}(t)$  - semnalul  $U_a$  corespunzător lui  $\Delta I_\lambda(t)$ , determinat pe cale analitică;  $\overline{\Delta U_{a\lambda}(t) \cdot \Delta I_\lambda(t)}$  - variația puterii medii față de situația  $Z_{s\lambda}(t) = 0$ . În lucrarea menționată s-au considerat în intervalul  $(0 + 50)$  Hz benzi de frecvență de 1 Hz iar intervalul  $(10 + 50)$  Hz ca o singură bandă de frecvență. Calculul lui  $\Delta U_{a\lambda}(t)$  se explică prin faptul că electroparametrul se alimentează de la un chopper, mărimea purtătoare de informație  $U_c$  fiind de fapt o mărime de calcul, întrucît tensiunea reală este din punct de vedere de amplitudine constantă modulate în durată.

**Se apreciază** că dimensionarea sursei de alimentare electroparametrului

pentru  $P_{\max} = P_{\text{ap}}$  oferă un domeniu larg de funcționare pentru SLEM-1L. Pe de altă parte se consideră utilă compararea valorilor  $P_{\text{ap}}$  și  $P_{\text{med}}$  care sugerează ordinul de mărime al curenților pentru care trebuie dimensionată sursa de alimentare a electromagnetului. Modul în care calitatea căii de glisare influențează valorile curentului  $I$  și tensiunii  $U_a$  este redat de rel. (4.47) și (4.48). Și în acest caz se poate vorbi de o separabilitate a efectelor căii de glisare, care intervine prin coeficientul  $\alpha$ , și a SRA, care intervine prin  $F_{U_a}(\cdot)$  și  $F_I(\cdot)$ . În fine se menționează că pentru aprecierea VPM d.p.d.v. energetic se folosește obișnuit unul din rapoartele  $P_o/G$ ,  $P_{\text{med}}/G$ ,  $P_{\text{ap}}/G$ . Orientativ, după [143], acestea au ordinul de mărime 0,56 W/kg, 2,25 W/kg, 5,0 W/kg respectiv.

## CAPITOLUL 5

**SINTEZA, ANALIZA SI PROIECTAREA ALGORITMICA A SISTEMELOR CU LEVITATIE ELECTROMAGNETICA CU UN GRAD DE LIBERTATE CU REACTIE DUPA INTREFIER, VITEZA DE VARIATIE A INTREFIERULUI SI ACCELERATIA ABSOLUTA A ELECTROMAGNETULUI.**

### 5.1. Considerații referitoare la conținutul capitolului.

Dintre toate categoriile de SLEM-1L tratate în literatură, categoriei de sisteme care face obiectul acestui capitol i s-a acordat cea mai mare importanță și cea mai mare atenție. Cu toate acestea, problemele aferente analizei și proiectării sînt tratate doar la nivel principal, neexistînd o metodologie clară de proiectare algoritmică.

Principial, stabilizarea SES-1L se realizează printr-o reacție după vectorul de stare  $\underline{X}_1 = [Z_g \dot{Z}_g \ddot{Z}_g]^T$  utilizînd un compensator liniar  $\underline{K}$ , numit „compensator de stabilizare”. Rezultă așa-numitul „sistem cu levitație electromagnetică de bază al categoriei de SLEM-1L cu reacție după vectorul de stare  $\underline{X}_1$ ” (SLEM-B).

În vederea proiectării compensatorului  $\underline{K}$  la pct. 5.2. se face analiza SLEM-B, iar la pct. 5.3. se tratează aspecte referitoare la implicațiile pe care le are regimul staționar nominal al SLEM-B asupra comportării și proiectării sistemului. Ele constituie dezvoltarea concretă pentru SLEM-B a aspectelor calitative precizate la pct. 4.1.

Calculul compensatorului de stabilizare  $\underline{K}$  al SLEM-B, numit în mod curent în lucrare doar „compensator”, rezidă în rezolvarea unei prime probleme de alocare, de ordinul trei. Soluționarea acestei probleme face obiectul pct. 5.4, în tratarea ei distingîndu-se trei etape:

- (i) proiectarea lui  $\underline{K}$  în condiții de optimizare cu restricții suplimentare a regimului liber al SLEM-B, în concret ca soluție a unei probleme (liniar-patratice) de stabilizare optimală după un indice de calitate integral patratice (pct. 5.4.1);
- (ii) proiectarea lui  $\underline{K}$  în condiții de optimizare a regimurilor forțate (pct. 5.4.2);
- (iii) elaborarea unei metodologii de proiectare a lui  $\underline{K}$  valabilă pentru cazurile complexe în care, în acord cu cele precizate în capitolul 4, se impune atât optimizarea regimului liber cât și a regimurilor forțate (pct. 5.4.3).

Intrucît mărimea  $\dot{Z}_g$  se consideră nemăsurabilă, implementarea legii de comandă definită de  $\underline{K}$  se poate face numai printr-un observator de funcțională liniară de stare (OPLS). Calculul acestuia revine la soluționarea unei a doua probleme de alocare dezvoltată la pct. 5.5.

Principalul scop urmărit îl constituie proiectarea unor OFLS independenți de valorile parametrilor sistemului observat, în cazul de față de ordinul II SES-1L. Astfel la pct. 5.5.3. se obține o clasă de OFLS ce satisfac acest deziderat, iar la pct. 5.5.4. se stabilește un OFLS de ordinul I cu parametrii, deasemenea, independenți de parametrii SES-1L, numit „OFLS-varianta II”. În particular OFLS de ordinul II conduc la observatorul utilizat de firma MBB pe VPM de tip KOMET. El este denumit în lucrare „OFLS-varianta MBB”, în literatură neexistând nici o indicație privind modul în care a fost obținut. SLEM-1L cu OFLS-varianta MBB și SLEM-1L cu OFLS-varianta II sînt denumite în lucrare „SLEM-1L-varianta MBB”, respectiv „SLEM-1L-varianta II”.

SLEM-1L astfel realizate prezintă dezavantajul de a nu asigura compensarea efectului mărimilor de perturbație  $F_e$  și  $Z_g$  cari acționează asupra lor. Sinteza și proiectarea SLEM-1L cu compensarea perturbațiilor, dezvoltată în cadrul pct. 5.6., comportă rezolvarea unor noi probleme de alocare. Principiul de construcție a blocurilor de compensare a perturbațiilor constă în realizarea etajată, în cascadă, a acestora, fiecare etaj construindu-se în vederea compensării unei singure mărimi perturbatoare și calculîndu-se considerînd ca punct de plecare etajul inferior alcătuit dintr-un SLEM-1L stabilizat, fără compensare sau prevăzut cu compensarea altor mărimi de perturbație. Pe baza acestui principiu se obțin:

- la pct. 5.6.2.1. un SLEM-1L capabil să compenseze variații ale forței exterioare modelate prin sistemul auxiliar (4.38),
- la pct. 5.6.2.2. un SLEM-1L capabil să compenseze variații ale forței exterioare modelate prin sistemul auxiliar (4.36),
- la pct. 5.6.3. un OFLS care, în funcție de aspectul matricilor componente, poate să asigure fie compensarea lui  $Z_{su}$ , fie a lui  $Z_{sp}$ .

Evident, aceste rezultate nu acoperă decît cîteva dintre variantele de SLEM-1L posibile. Metodele de calcul prezentate permit însă dezvoltarea unui număr mult mai mare de variante de sisteme, cu două sau cu trei etaje de compensare.

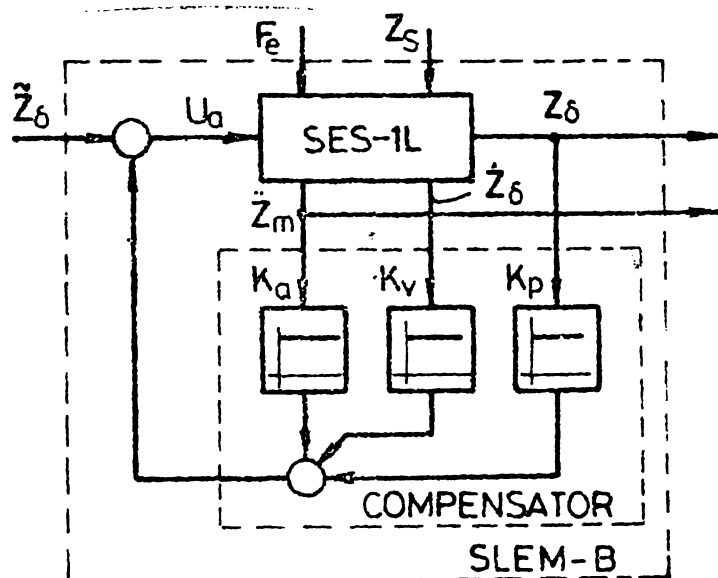
Problemele de analiză, sinteză și proiectare definite și soluționate în acest capitol furnizează toate elementele necesare pentru proiectarea algoritmică a sistemului cu levitație electromagnetică al vehiculelor pe pernă magnetică, în diverse variante, de diferite grade de complexitate, toate bazate pe stabilizarea SES-1L prin reacție după întrefier, viteza de variație a întrefierului și accelerația absolută de deplasare pe verticală a electromagnetului.

## 5.2. Analiza sistemului cu levitație electromagnetică de bază.

### 5.2.1. Ecuațiile SLEM-B.

Conform celor menționate la pct.5.1. prin SLEM-B al schemelor de reglare cu reacție după vectorul de stare  $\underline{X}_1$  se înțelege SLEM-1L rezultat prin stabilizarea SES-1L conform legii de reglare

$$U_a(t) = K_p Z_\delta(t) + K_v \dot{Z}_\delta(t) + K_a \ddot{Z}_m(t) + \ddot{Z}_\delta(t) = \underline{K}^T \underline{X}_1(t) + \ddot{Z}_\delta(t), \quad (5.1)$$



schema bloc avînd aspectul din fig. 5.1.

Posibilitatea de proiectare a compensatorului

$$\underline{K} = [K_p \ K_v \ K_a]^T \quad (5.2)$$

este garantată de controlabilitatea SES-1L (v. pct.2.1.2.2), sistem ale cărui ecuații de stare (v.ec.(2.19) și tabelul 2.1. pentru  $\underline{X} = \underline{X}_1$ ) sînt redată de ec.(5.3) în care  $K_{po}$ ,  $K_{vo}$ ,  $K_{ao}$  și  $b$  - de expresii (3.28) și (3.29) - împreună cu  $b_{p1}$  și  $b_{p2}$

Fig. 5.1. Schema bloc a SLEM-B.

- de expresii (5.4) - sînt parametrii derivați ai SES-1L.

$$\begin{bmatrix} \dot{Z}_\delta \\ \dot{\ddot{Z}}_\delta \\ \dot{Z}_m \end{bmatrix} = \begin{bmatrix} 0 & 1 & 0 \\ 0 & 0 & 1 \\ -bK_{po} & -bK_{vo} & bK_{ao} \end{bmatrix} \begin{bmatrix} Z_\delta \\ \dot{Z}_\delta \\ \ddot{Z}_m \end{bmatrix} + \begin{bmatrix} 0 \\ 0 \\ b \end{bmatrix} U_a + \begin{bmatrix} 0 & 0 & 0 \\ 0 & 0 & -1 \\ b_{p1} & b_{p2} & 0 \end{bmatrix} \begin{bmatrix} F_e \\ \dot{F}_e \\ \ddot{Z}_s \end{bmatrix} \quad (5.3)$$

$$b_{p1} = \frac{1}{MT} ; \quad b_{p2} = \frac{1}{M} . \quad (5.4)$$

Pe baza celor precizate în cap.4. ieșirile de apreciere ale unui SLEM-1L sînt  $Z_\delta$  și  $\ddot{Z}_m$ . Ca urmare MM-ISI al SLEM-B rezultat din ecuațiile de mai sus este:

$$\begin{bmatrix} \dot{Z}_\delta \\ \dot{\ddot{Z}}_\delta \\ \dot{Z}_m \end{bmatrix} = \begin{bmatrix} 0 & 1 & 0 \\ 0 & 0 & 1 \\ -b(K_{po}-K_p) & -b(K_{vo}-K_v) & b(K_{ao}+K_a) \end{bmatrix} \begin{bmatrix} Z_\delta \\ \dot{Z}_\delta \\ \ddot{Z}_m \end{bmatrix} + \begin{bmatrix} 0 \\ 0 \\ b \end{bmatrix} \ddot{Z}_\delta + \begin{bmatrix} 0 & 0 & 0 \\ 0 & 0 & -1 \\ b_{p1} & b_{p2} & 0 \end{bmatrix} \begin{bmatrix} F_e \\ \dot{F}_e \\ \ddot{Z}_s \end{bmatrix} \quad (5.5.1)$$

$$\begin{bmatrix} Z_\delta \\ \ddot{Z}_m \end{bmatrix} = \begin{bmatrix} 1 & 0 & 0 \\ 0 & 0 & 1 \end{bmatrix} \begin{bmatrix} \dot{Z}_\delta \\ \dot{\ddot{Z}}_\delta \\ \dot{Z}_m \end{bmatrix} . \quad (5.5.2)$$

Ecuația caracteristică a acestui sistem este:

$$\Delta(s) = s^3 - b(K_a + K_{ao})s^2 - b(K_v - K_{vo})s - b(K_p - K_{po}) = 0. \quad (5.6)$$

Scrînd polinomul caracteristic sub forma:

$$\Delta(s) = (s + \omega_1)(s^2 + 2d\omega_0 s + \omega_0^2) , \quad (5.7)$$

polii SLEM-B sînt:

$$p_1 = -\omega_1 , \quad p_{2,3} = -d\omega_0 \pm j\omega_0 \sqrt{1-d^2} , \quad 0 < d < 1 . \quad (5.8)$$



În mod obișnuit  $p_{2,3}$  sînt polii dominanți ai SLEM-B iar  $p_1$  este polul îndepărtat. Pulsația  $\omega_0$  este pulsația proprie a SLEM-B, iar  $d$  amortizarea acestuia.

Pentru analiza SLEM-B, în afara MM-ISI (5.5), se utilizează și MM-II (5.9) scris în domeniul operațional:

$$\begin{bmatrix} Z_f(s) \\ \tilde{Z}_m(s) \end{bmatrix} = \begin{bmatrix} \frac{b}{\Delta(s)} \\ \frac{bs^2}{\Delta(s)} \end{bmatrix} \tilde{Z}_f(s) + \begin{bmatrix} \frac{1+Ts}{MT \Delta(s)} & -\frac{s-b(K_{a0}+K_a)}{\Delta(s)} \\ \frac{s^2(1+Ts)}{MT \Delta(s)} & \frac{b(K_{v0}-K_v)s+b(K_{p0}-K_p)}{\Delta(s)} \end{bmatrix} \begin{bmatrix} F_e(s) \\ \tilde{Z}_s(s) \end{bmatrix} \quad (5.9)$$

La stabilirea lui  $s$ -a avut în vedere că:

$$\tilde{F}_e(t) \circ \rightarrow sF_e(s) - F_e(0_+), \quad \tilde{Z}_m(t) \circ \rightarrow s\tilde{Z}_m(s) - \tilde{Z}_m(0_+), \quad (5.10)$$

precum și faptul că, la fel ca și în cazul SES-1L, între condițiile inițiale există relația:

$$\tilde{Z}_m(0_+) = F_e(0_+) / M. \quad (5.11)$$

La calculul proceselor tranzitorii ale SLEM-1L, prin integrarea ec.(5. sau a altor ecuații similare care apar la punctele următoare, condiția inițială (5.11) nu trebuie omisă. Un astfel de caz apare, spre exemplu atunci cînd  $F_e(t)$  variază ca în fig.4.10.a.

### 5.2.2. Aspecte referitoare la performanțele SLEM-B în raport cu mărimile de intrare.

#### 5.2.2.1. Aspecte referitoare la performanțele SLEM-B în raport cu $\tilde{Z}_f$ .

Conform rel.(5.9) comportarea SLEM-B în raport cu mărimea de conducere  $\tilde{Z}_f$  este caracterizată de f.d.t.:

$$G_{\tilde{Z}_f Z_f}(s) = \frac{b}{\Delta(s)} \quad ; \quad G_{\tilde{Z}_f \tilde{Z}_m}(s) = \frac{bs^2}{\Delta(s)}. \quad (5.12)$$

D.p.d.v. al aterizării sau decolării unui VPM este important procesul tranzitoriu determinat de o variație  $\tilde{Z}_f(t)$  de forma (4.4) sau (5.59) (v. pct.5.2.3.1.3). Cu toate acestea, privind performanțele în raport cu mărimea de conducere se consideră edificator răspunsul indicial:

$$h_{\tilde{Z}_f Z_f}(t) \circ \rightarrow H_{\tilde{Z}_f Z_f}(s) = \frac{1}{s} \frac{b}{\Delta(s)}. \quad (5.13)$$

Aceasta se datorează următoarelor motive:

- (i) Indicii de calitate empirici definiți în răspunsul indicial pot fi determinați simplu și utilizați pentru proiectarea compensatorului  $K$ .
- (ii) Excitarea SLEM-B cu semnalul  $\tilde{Z}_f(t) = u_{-1}(t)$  determină o sollicitare mai dură, acoperitoare, a sistemului decît comenzile de tipul (4.4) sau (5.59).
- (iii) Determinarea corectă a parametrilor  $\varphi$  și  $\mu$  ai acestor comenzi în vederea asigurării caracteristicii de ridicare-coborîre din fig.

4.1.a se bazează pe cunoașterea răspunsului indicial.

(iv) Intrucît conform rel.(5.12)

$$h_{\tilde{Z}_\delta \tilde{Z}_m}(t) = \tilde{h}_{\tilde{Z}_\delta Z_\delta}(t) \quad , \quad (5.14)$$

răspunsul indicial face posibilă aproximarea valorii maxime a accelerației  $\tilde{Z}_m(t)$  pentru acest proces (s-a notat  $h_{\tilde{Z}_\delta \tilde{Z}_m}(t) \approx \frac{1}{s} G_{\tilde{Z}_\delta \tilde{Z}_m}$ ).

În continuare se procedează la o analiză de detaliu a acestor aspecte.

(i) Avînd în vedere că SLEM-B (5.5) este stabil, f.d.t.  $G_{\tilde{Z}_\delta Z_\delta}(s)$  caracterizează un sistem liniar de ordinul III, fără anticipare, stabil și subamortizat, avînd caracteristicile de performanță prezentate în anexa IV - fig.IV-2. Pentru utilizarea lor  $G_{\tilde{Z}_\delta Z_\delta}(s)$  se scrie, în prealabil, sub forma:

$$G_{\tilde{Z}_\delta Z_\delta}(s) = - \frac{1}{K_p - K_{p0}} \frac{\omega_1 \omega_0^2}{(s + \omega_1)(s^2 + 2d\omega_0 s + \omega_0^2)} \quad . \quad (5.15)$$

Coeficientul de transfer  $-1/(K_p - K_{p0}) < 0$ , indică un sistem cu fază negativă, ceea ce se explică prin faptul că la mărirea lui  $\tilde{Z}_\delta$  forța  $F$  crește, rezultînd reducerea valorii întrefierului  $Z_\delta$ .

Utilizarea indicilor  $\sigma_1$ ,  $t_1$  și/sau  $t_r$  pentru proiectarea lui  $\underline{K}$  se face prin impunerea unor restricții de forma:

$$\sigma_1 \leq \sigma_1 \text{ lim} \quad , \quad t_1 \leq t_1 \text{ lim} \quad , \quad t_r \leq t_r \text{ lim} \quad , \quad (5.16)$$

unde  $\sigma_1 \text{ lim}$ ,  $t_1 \text{ lim}$  și  $t_r \text{ lim}$  sînt performanțe limită admise, adoptate de proiectant.

(ii) Faptul că  $\tilde{Z}_\delta(t) = u_{-1}(t)$  constituie o solicitare mai puternică decît cele caracterizate printr-o funcție continuă la momentul  $t = 0$  este cunoscut din teoria reglării automate [57,52]. Asigurîndu-se prin proiectare condiții de forma (5.16) există certitudinea că valorile lui  $\sigma_1 \text{ lim}$ ,  $t_1 \text{ lim}$  și  $t_r \text{ lim}$  nu vor fi depășite la comenzi de tipul (4.4) sau (5.59).

(iii) Odată stabilit  $\underline{K}$  polii (5.8) sînt cunoscuți. Asigurarea caracteristicii de ridicare-coborîre din fig. 4.1., prin comenzi de tipul (4.4) sau (5.59) impune practic urmărirea comenzii de către SLEM-B. Aceasta se realizează corespunzător dacă:

$$\frac{1}{\mu} \geq \frac{4}{d\omega_0} \quad . \quad (5.17)$$

Rel.(5.17) se bazează pe de-o parte pe faptul că orice regim liber este practic amortizat într-un interval de timp egal cu de patru ori cea mai mare constantă de timp [164], iar pe de altă parte pe faptul că  $\frac{1}{\mu}$  reprezintă cea mai mică constantă de timp din comenzile menționate. Rezultatele din cap.7 confirmă valabilitatea acestei ipoteze.

(iv) Din rel.(IV-2) și rel.(5.14) se obține:

$$h_{\tilde{z}_\delta \tilde{z}_m}(t) = -\frac{\omega_1^2}{\beta^2 - 2d\beta + 1} e^{-\omega_1 t} + \frac{\beta \omega_0^2 (2d^2 - 1)^2}{\sqrt{1-d^2} \sqrt{\beta^2 - 2d\beta + 1}} e^{-d\omega_0 t} \sin(\sqrt{1-d^2} \omega_0 t - \delta)$$

în care

$$\delta = \arctg \frac{\sqrt{1-d^2}}{-d} + \arctg \frac{\sqrt{1-d^2}}{\beta-d} + \arctg \frac{\sqrt{1-d^2}}{d-0,5/d}$$

Este ușor de observat că un majorant al valorii maxime a lui  $h_{\tilde{z}_\delta \tilde{z}_m}(t)$  este coeficientul constant al celui de-al doilea termen. Ca urmare, la o variație în treaptă a întrefierului prescris cu  $\Delta \tilde{z}_\delta$  rezultă:

$$\max\{\Delta \tilde{z}_m(t)\} \ll \frac{\beta \omega_0^2 (2d^2 - 1)^2}{\sqrt{1-d^2} \sqrt{\beta^2 - 2d\beta + 1}} \Delta \tilde{z}_\delta =: M_{\tilde{z}_m}, \quad \beta = \frac{\omega_1}{\omega_0}$$

Intrucât din considerente de confort  $\tilde{z}_m \leq 1 \text{ m sec}^{-2}$ , rezultă  $M_{\tilde{z}_m} \leq 1$ , iar ca urmare amplitudinea maxim admisibilă de variație în treaptă a mărimii de conducere, care nu perturbază confortul, este:

$$\Delta \tilde{z}_\delta \leq \frac{\sqrt{1-d^2} \sqrt{1-2d\frac{\omega_0}{\omega_1} + \frac{\omega_0^2}{\omega_1^2}}}{\omega_0 \omega_1 (2d^2 - 1)^2} \quad (5.18)$$

### 5.2.2.2. Aspecte referitoare la performanțele SLEM-3 în raport cu $F_e$ .

Conform rel.(5.9) comportarea SLEM-B în raport cu forța exterioară  $F_e$  este caracterizată de f.d.t.:

$$G_{F_e \tilde{z}_\delta}(s) = \frac{1 + Ts}{KT \Delta(s)} ; \quad G_{F_e \tilde{z}_m}(s) = \frac{s^2(1+Ts)}{KT \Delta(s)} \quad (5.19)$$

Din motive similare cu cele de pct.5.2.2.1. și în raport cu  $F_e$  se consideră semnificativi indicii de calitate empirici definiți în răspunsul indicial (v. și pct.4.3.3):

$$h_{F_e \tilde{z}_\delta}(t) \text{ o---o } h_{F_e \tilde{z}_\delta}(s) = \frac{1}{s} \frac{1+Ts}{KT \Delta(s)} \quad (5.20)$$

F.d.t.  $G_{F_e \tilde{z}_\delta}(s)$  corespunde unui sistem linear de ordinul III, cu anticipare de ordinul I, stabil și subamortizat. Pentru astfel de sisteme indicii de calitate empirici se pot calcula prin procedura prezentată în [72], la care se fac referiri și în cazul IV-2 din anexa IV.

Pentru proiectarea compensatorului, asemănător condițiilor (5.16) referitoare la  $h_{\tilde{z}_\delta \tilde{z}_\delta}(t)$ , d.p.d.v. al lui  $h_{F_e \tilde{z}_\delta}(t)$  se pot impune restricțiile:

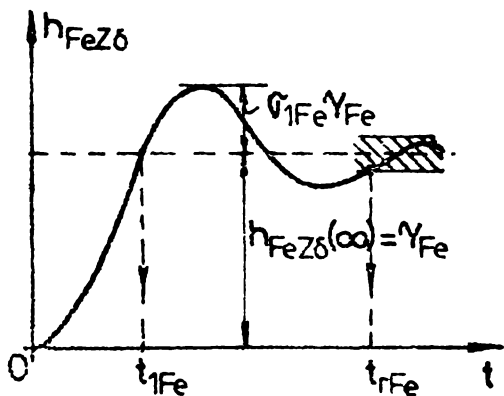
$$(1 + \sigma_{1 F_e}) \gamma_{F_e} < \frac{\Delta Z_{\delta F_e}}{\Delta F_e} ; \quad t_{r F_e} < t_{r F_e \text{ lim}} \quad (5.21)$$

S-a notat cu  $\Delta Z_{\delta F_e}$  variația maxim admisibilă a întrefierului în raport cu forța exterioară, cu  $\Delta F_e$  variația lui  $F_e$  pentru cazul considerat, iar cu

$$\gamma_{F_e} = \frac{K_{ao}}{N(K_p - K_{p0})} \quad (5.22)$$

statiunea SLEM-B în raport cu  $F_e$  (Fig.5.2). Aspectul diferit al primei

condiții (5.21) față de prima condiție (5.16) se explică prin faptul că modificarea lui  $Z_\delta$  sub acțiunea lui  $F_e$  constituie un efect nedorit, perturbator, pe cînd modificarea lui  $\tilde{Z}_\delta$  sub acțiunea lui  $\tilde{Z}_\delta$  exprimă un efect dorit, corespunzător procesului de conducere.



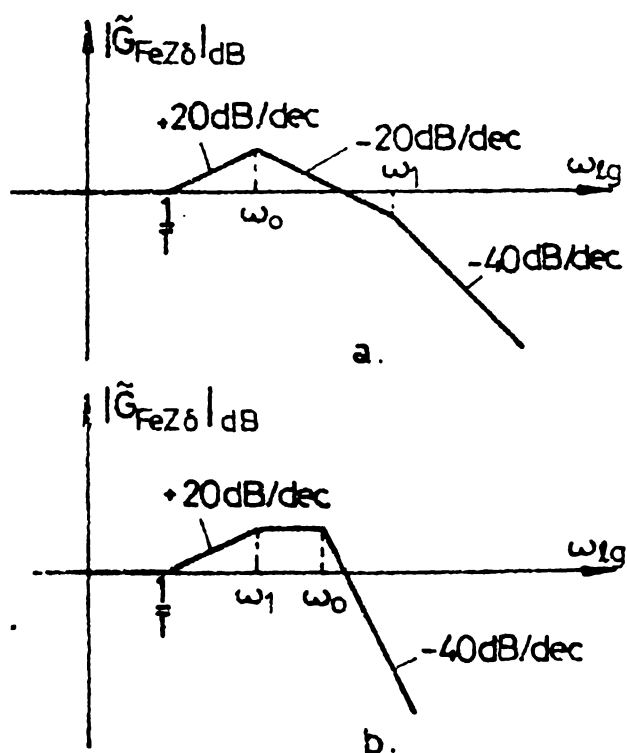
**Fig. 5.2.** Răspunsul indicial al SLEM-B în raport cu forța exterioară.

Reducerea statistului  $\gamma_{Fe}$  în vederea asigurării condiției (5.21) este posibilă prin mărirea amplificării  $K_p$ . Simultan se reduce însă și coeficientul de transfer în raport cu mărirea de conducere din rel. (5.15).

Comportarea SLEM-B la variații oarecari ale lui  $F_e$  poate fi apreciată în principiu cu ajutorul c.a-p.s. din fig.5.3. Ele

corespund f.d.t.:

$$\tilde{G}_{FeZ\delta}(s) = \frac{1}{\gamma_{Fe}} G_{FeZ\delta}(s) = \frac{\omega_0^2 \omega_1 (1+sT)}{(s^2 + 2d\omega_0 s + \omega_0^2)(s + \omega_1)}$$



**Fig. 5.3.** Aluri posibile pentru c.a-p.s. a SLEM-B în raport cu  $F_e$  (a:  $\omega_0 < \omega_1$ ; b:  $\omega_0 > \omega_1$ ).

După cum  $\omega_0 < \omega_1$  sau  $\omega_0 > \omega_1$  sînt posibile două aluri, caracterizate prin lățimi de bandă de valori diferite. În cazul unui  $\gamma_{Fe}$  de valoare redusă  $K$  se proiectează astfel încît să se asigure o bună amortizare:

$$d \geq 0,5 \quad (5.23)$$

În cazul unor valori mari pentru  $\gamma_{Fe}$  o calitate corespunzătoare se asigură impunînd, alături de (5.23) și limitarea superioară a valorii raportului  $\omega_0 / T^{-1}$ . În cazul VPM se mai cere ca valoarea lui  $\omega_0$  să fie diferită de frecvențele de rezonanță mecanică ale vehiculului. Se apreciază că, în general, prin proiectare se ajunge la o caracteristică  $|\tilde{G}_{FeZ\delta}|_{dB}$  de forma celei din fig.5.3.a.

**5.2.2.3. Aspecte referitoare la performanțele SLEM-B în raport cu  $Z_s$ .**

Potrivit rel.(5.9), comportarea SLEM-B în raport cu mărirea  $Z_s$ , ca și în raport cu componentele acesteia, poate fi apreciată folosind f.d.t.:

$$G_{Z_s Z_\delta}(s) = - \frac{s - b(K_a + K_{a0})}{\Delta(s)} ; \quad G_{Z_s \tilde{Z}_\delta}(s) = - \frac{b(K_{v0} - K_v)s + b(K_{p0} - K_p)}{\Delta(s)} \quad (5.24)$$

Performanțele impuse în raport cu cele două componente fiind diferite ca de altfel și metodele de calcul utilizate, dezvoltarea aspectelor se face separat.

### 5.2.2.3.1. Neregularitățile de categoria I-a: $Z_{su}$ .

Pentru  $\ddot{Z}_{su}(t)$  se consideră semnificative variațiile în lungul arcelor de tranziție redată de curba 1 din fig. 4.9.b, aproximată suficient de bine de caracteristica 2 (v.pct.4.2.2.2). În cazul ideal întrefierul 1 ar trebui să fie insensibil la o astfel de modificare, iar accelerația  $\ddot{Z}_{su}$  ar trebui să o reproducă fără abateri. În realitate, aceste performanțe ideale sînt irealizabile datorită caracterului inertial-oscilant -derivativ al proceselor de transfer  $\ddot{Z}_s \rightarrow Z_\delta$  și  $\ddot{Z}_s \rightarrow \ddot{Z}_m$ , caracter redat și de aspectul f.d.t. (5.24).

Astfel, privind transferul  $\ddot{Z}_{su} \rightarrow Z_\delta$  este de remarcat componenta proporțională a acestuia, respectiv coeficientul de transfer

$$\gamma_{\ddot{Z}_s} = - \frac{K_a + K_{a0}}{K_p - K_{p0}}, \quad (5.25)$$

datorită căruia în regim staționar proporțional, în cazul caracteristici 2 rezultă

$$Z_\delta(t) \approx Z_{\delta u}(t) = \gamma_{\ddot{Z}_s} \left[ t - \frac{1}{b(K_a + K_{a0})} - \frac{K_v - K_{v0}}{K_p - K_{p0}} \right] \frac{v^2/R_{\min}}{t_1}, \quad t \in [t_r^*, t_1]. \quad (5.26)$$

S-a notat:  $t_r^* = \max\{t_r, t_{r Fe}\}$  și  $t_1 = l_t/v$  (notațiile corespund pct. 4.2.2.2). Modificarea  $Z_{\delta u}(t)$  a întrefierului fiind nedorită, ca performanță se impune limitarea ei superioară la momentul  $t = t_1$ :

$$|Z_{\delta u}(t_1)| \leq Z_{\delta u \text{ lim}}. \quad (5.27)$$

Se apreciază că o limită potrivită este

$$Z_{\delta u \text{ lim}} = 0,25 Z_{\delta 0}. \quad (5.28)$$

Privind transferul  $\ddot{Z}_{su} \rightarrow \ddot{Z}_m$ , din expresia f.d.t.  $G_{\ddot{Z}_s \ddot{Z}_m}(s)$  rezultă că în regim staționar proporțional

$$\ddot{Z}_m(t) \approx \ddot{Z}_{su}(t), \quad t \in [t_r^*, t_1], \quad (5.29)$$

ceea ce corespunde teoretic cazului ideal. Potrivit celor prezentate la pct. 4.2.2.2. valorile lui  $\ddot{Z}_{su}(t)$  asigură un confort de călătorie corespunzător.

### 5.2.2.3.2. Neregularitățile de categoria a II-a: $Z_{sp}$ .

1. Cazul considerării lui  $Z_{sp}(t)$  ca semnal aleator a fost tratat în general la pct.4.2.2.1.1. În continuare se particularizează relațiile generale obținute în paragraful menționat și se analizează aceste rezultate în ideea utilizării lor pentru proiectarea compensatorului.

(i) D.p.d.v. funcțional abaterea medie patratică a întrefierului  $\overline{Z_\delta^2}$ , calculabilă cu rel.(4.9), împreună cu valoarea nominală  $Z_{\delta 0}$  a acestuia trebuie să satisfacă rel.(4.13), relație utilizabilă pentru verificarea

adoptării corecte a lui  $Z_{\delta 0}$ . În acest scop este necesară stabilirea unei expresii de calcul pentru  $G_{Z_{\delta}} = \sqrt{\bar{Z}_{\delta}^2}$ , valabilă pentru SLEM-B. O astfel de expresie se poate obține cu ajutorul egalității lui Parseval:

$$\int_{-\infty}^{\infty} f^2(t) dt = \frac{1}{2\pi j} \int_{-j\infty}^{j\infty} F(s) F(-s) ds, \quad s = j\omega, \quad (5.30)$$

dacă d.s.p.  $S_{Z_{\delta}Z_{\delta}}(\omega)$  - care reprezintă integrantul din rel.(4.9) - se poate scrie sub forma

$$S_{Z_{\delta}Z_{\delta}}(\omega) = |F(j\omega)|^2 = F(s)F(-s) \Big|_{s=j\omega}, \quad (5.31)$$

$f(t) \longleftrightarrow F(s)$  și  $f^2(t)$  fiind funcții absolut integrabile. Dacă în plus  $F(s)$  este o funcție rațională de variabilă  $s$ , cu numărătorul de grad mai mic decât numitorul, atunci integrala se poate exprima numai în funcție de coeficienții care apar în expresia lui  $F(s)$  [181,92,34, 24,25,52]. Această observație este valabilă pentru cazul de față întrucât - din rel.(4.10), (4.6) și relația de legătură

$$G_{Z_s Z_{\delta}}(s) = \frac{Z_{\delta}(s)}{Z_s(s)} = s^2 \frac{Z_{\delta}(s)}{\bar{Z}_s(s)} = s^2 G_{\bar{Z}_s Z_{\delta}}(s) \quad (5.32)$$

se deduce

$$S_{Z_{\delta}Z_{\delta}}(\omega) = \alpha \cdot v \left| \omega G_{\bar{Z}_s Z_{\delta}}(j\omega) \right|^2. \quad (5.33)$$

Identificînd acest rezultat cu rel.(5.31) se obține:

$$F(s) = \sqrt{\alpha v} s G_{\bar{Z}_s Z_{\delta}}(s) = \sqrt{\alpha v} \frac{-s^2 + b(K_a + K_{a0})s}{\Delta(s)}, \quad (5.34)$$

iar folosind relațiile din bibliografia menționată rezultă:

$$G_{Z_{\delta}} = \sqrt{\frac{1 - b(K_a + K_{a0})^2 / (K_v - K_{v0})}{b^2(K_a + K_{a0})(K_v - K_{v0}) + b(K_p - K_{p0})}} \cdot \alpha \cdot v. \quad (5.35)$$

Rel.(4.13) cu  $G_{Z_{\delta}}$  astfel determinat poate fi utilizată și ca restricție de proiectare a compensatorului  $\underline{K}$ . Se face observația că reducerea vitezei  $v$  constituie un mijloc de a asigura această condiție și totodată și condiția (5.27).

(ii) Criteriile de apreciere a confortului de călătorie au fost prezentate la pct.4.2.2.1.3 pct.(I). În principiu, pentru viteze de croazieră  $v > 100$  km/h confortul de călătorie este nesatisfăcător, în sensul că la astfel de viteze suspensia magnetică, singură, nu poate asigura un confort corespunzător, fiind necesar un sistem de suspensie secundar. Fiecare din cele două mijloace de apreciere precizate la pct.4.2.2.1.1. (mențiunea (ii)) conduce la o decizie corectă în ceea ce privește necesitatea unui astfel de sistem și calitățile pe care acesta trebuie să le prezinte.

Primul mijloc constă în utilizarea caracteristicii (4.14). Pentru construcția ei se va utiliza relația:

$$S_{Z_m Z_m}(\omega) = \alpha v |\omega G_{Z_s Z_m}(\omega)|^2 \quad (5.36)$$

dedusă ssemănător rel.(5.33),  $G_{Z_s Z_m}(s)$  avînd expresia (5.24). Confortul se consideră corespunzător atunci cînd  $S_{Z_m Z_m}(\omega) \leq \tilde{S}_{Z_m Z_m}(\omega), (*)\omega$ .

Al doilea mijloc constă în utilizarea indicelui de disconfort DI definit prin rel.(4.16). El se poate calcula folosind rel.(5.36) și rel.(4.17).

Condițiile menționate la pct.4.2.2.1. cu privire la confortul de călătorie fiind foarte restrictive, iar pe de altă parte existînd posibilitatea utilizării unei suspensii secundare, ele nu se consideră ca făcînd parte din categoria restricțiilor de proiectare a lui K.

2. Cazul considerării lui  $Z_{sp}(t)$  ca semnal determinist a fost analizat în general la pct.4.2.2.1.2. Se urmăresc aceleași aspecte ca și în cazul anterior.

(i) Verificarea valorii nominale a întrefierului  $Z_{\delta_0}$  se face cu rel.(4.21) în care  $G_{Z_s Z_{\delta_0}}(s)$  se calculează cu rel.(5.32). Avînd în vedere că maximum lui  $|G_{Z_s Z_{\delta_0}}(j2\pi f)| \frac{\beta\sqrt{2}}{f}$  se obține practic pentru  $f = f_0 = \frac{\omega_0}{2\pi}$  ( $\omega_0$  conform rel.(5.8)), se consideră suficientă verificarea rel.(4.21) numai pentru această frecvență. Din aceleași p.d.v. rezultă ca necesară proiectarea lui K de așa manieră încît  $\omega_0 \neq \omega_s$ , unde  $\omega_s$  este pulsația (4.23<sup>o</sup>) datorată arcuirii șinei de suspensie sub propria-i greutate.

(ii) Aprecierea confortului de călătorie se face comparînd caracteristica

$$Z_m \text{ ef}(f) = |G_{Z_s Z_m}(j2\pi f)| Z_s \text{ ef} = 2\pi\beta |s G_{Z_s Z_m}(s)|_{s=j\omega} \quad (5.37)$$

cu una din caracteristicile etalon  $\tilde{Z}_m \text{ ef}(f)$  menționate la punctele 4.2.2.1.2. și 4.2.2.1.3.

Așa cum s-a menționat la pct.4.2.2.1.2., comportarea lui SLEM-B față de variații deterministe ale lui  $Z_{sp}$  poate fi apreciată în principiu cu ajutorul c.a-p.  $|G_{Z_s Z_m}|_{dB}$ . Intrucît

$$G_{Z_s Z_m}(s) = G_{Z_s Z_m}^*(s) = -b(K_p - K_{p0}) \frac{1 + \frac{K_{v0} - K_v}{K_{p0} - K_p} s}{\Delta(s)}, \quad (5.38)$$

caracteristica  $|G_{Z_s Z_m}|_{dB}$  va avea același aspect cu caracteristica  $|G_{P_c Z_s}|_{dB}$  din fig.5.3. Se observă că pentru  $\omega > \max\{\omega_0, \omega_1\}$ ,  $|G_{Z_s Z_m}|_{dB}$  are panta de -40 dB/dec. Intrucît pentru un confort corespunzător se cere o pantă de cel mult -30 dB/dec. pentru  $f > 1$  Hz, observația anterioară nu conduce la un rezultat satisfăcător intrucît, în mod obișnuit,  $\max\{\omega_0, \omega_1\} > 2\pi$  rad/sec. Prin urmare și pe această cale rezultă necesitatea sistemului secundar de suspensie.

3. Cazul „perturbației  $Z_{sp}(t)$  complete”. Verificarea întrefierului nominal și a confortului de călătorie se face conform precizărilor de la pct.4.2.2.1.3. utilizând relațiile particulare corespunzătoare SLEM-B; precizate mai sus la pct. 1 și pct. 2.

### 5.2.3. Sensibilitatea SLEM-B.

Studiul sensibilității SLEM-B are ca scop stabilirea modului în care variația diversilor parametri influențează comportarea sistemului. Problema este abordată în continuare prin intermediul a două metode ale căror rezultate se completează reciproc. Astfel la pct.5.2.3.1. studiul se întreprinde cu ajutorul modelelor de sensibilitate, iar la pct.5.2.3.2. cu ajutorul locului rădăcinilor. În fiecare caz se iau în considerație cei opt parametri din rel.(5.41).

#### 5.2.3.1. Analiza sensibilității SLEM-B cu ajutorul modelelor de sensibilitate.

Problema analizei sensibilității sistemelor liniare continue, invariante în timp, cu ajutorul modelelor de sensibilitate a fost rezumată în anexa VII. S-a considerat utilă prezentarea unei astfel de sinteze pe de-o parte datorită faptului că în literatura de specialitate, de limbă română, problema este tratată foarte puțin, iar pe de altă parte datorită necesității de a construi o punte de legătură între relațiile pe care se bazează acest paragraf și relațiile dezvoltate în paragrafele anterioare.

##### 5.2.3.1.1. Modelele de sensibilitate ale SLEM-B.

Variabilele de ieșire ale SLEM-B fiind și variabile de stare, modelul de sensibilitate al sistemului (5.5) în raport cu un parametru oarecare  $\alpha_j$  se reduce la ec.(5.39), care au rezultat particularizînd ec. (VII-5) pentru cazul ec.(5.5-1):

$$\begin{bmatrix} \lambda^{\alpha_j} Z_{\delta} \\ \lambda^{\alpha_j} Z_{\delta} \\ \lambda^{\alpha_j} Z_{\delta} \\ \lambda^{\alpha_j} Z_{\delta} \\ \lambda^{\alpha_j} Z_{\delta} \\ \lambda^{\alpha_j} Z_{\delta} \end{bmatrix} = \begin{bmatrix} 0 & 1 & 0 \\ 0 & 0 & 1 \\ -b(K_{p0}-K_p) & -b(K_{v0}-K_v) & b(K_{a0}+K_a) \end{bmatrix} \begin{bmatrix} \lambda^{\alpha_j} Z_{\delta} \\ \lambda^{\alpha_j} Z_{\delta} \\ \lambda^{\alpha_j} Z_{\delta} \\ \lambda^{\alpha_j} Z_{\delta} \\ \lambda^{\alpha_j} Z_{\delta} \\ \lambda^{\alpha_j} Z_{\delta} \end{bmatrix} + \begin{bmatrix} 0 & 0 & 0 \\ 0 & 0 & 0 \\ a_1^{\alpha_j} & a_2^{\alpha_j} & a_3^{\alpha_j} \end{bmatrix} \begin{bmatrix} Z_{\delta} \\ Z_{\delta} \\ Z_{\delta} \\ Z_{\delta} \\ Z_{\delta} \\ Z_{\delta} \end{bmatrix} + \begin{bmatrix} 0 \\ 0 \\ b^{\alpha_j} \end{bmatrix} \tilde{Z}_{\delta} + \begin{bmatrix} 0 & 0 & 0 \\ 0 & c & 0 \\ b_{p1}^{\alpha_j} & b_{p2}^{\alpha_j} & 0 \end{bmatrix} \begin{bmatrix} F_e \\ F_e \\ Z_s \end{bmatrix} \quad (5.39)$$

În ec.(5.39) notația  $\alpha_j$  s-a utilizat ca indice superior, coeficienții noi introduși avînd semnificația următoarelor derivate în raport cu parametrul  $\alpha_j$ :

$$a_1^{\alpha_j} = -\frac{d}{d\alpha_j} [b(K_{p0}-K_p)]; \quad a_2^{\alpha_j} = -\frac{d}{d\alpha_j} [b(K_{v0}-K_v)]; \quad a_3^{\alpha_j} = \frac{d}{d\alpha_j} [b(K_{a0}+K_a)]; \quad (5.40-1)$$



$$b^{\alpha_j} = \frac{db}{d\alpha_j} ; \quad b_{p1}^{\alpha_j} = \frac{d}{d\alpha_j} \left( \frac{1}{M} \right) ; \quad b_{p2}^{\alpha_j} = \frac{d}{d\alpha_j} \left( \frac{1}{M} \right) . \quad (5.40-2)$$

Indicele „o” pus în dreptul fiecărei matrici de coeficienți din ec. (5.39), jos la dreapta, arată că elementele matricilor sînt calculate pentru valorile nominale ale parametrilor în raport cu care se studiază sensibilitatea sistemului.

Din analiza structurii coeficienților ec. (5.5.-1) a rezultat că mărimile în raport cu care este util să se studieze sensibilitatea SLEM-B, adică mărimile care se pot considera ca parametri  $\alpha_j$  sînt de două categorii:

(i) mărimi care definesc punctul de funcționare nominal al SLEM-B:

$Z_{\delta 0}$  - întrefierul nominal;  $M$  - masa nominală;  $R$  - rezistența bobinei de excitație;  $F_{e0}$  - componenta statică a forței exterioare;  $\mu_{Fe}$  - permeabilitatea magnetică;

(ii) parametri compensatorului de stabilizare:  $K_p, K_v, K_a$ .

În consecință vectorul parametrilor considerat pentru studiul sensibilității este:

$$\underline{\alpha} = [Z_{\delta 0}, M, R, F_{e0}, \mu_{Fe}, K_p, K_v, K_a]^T . \quad (5.41)$$

Pentru un SLEM-B dat parametrii  $M, F_{e0}, K_p, K_v$  și  $K_a$  sînt independenți. Ceilalți trei sînt, practic, dependenți de primii. Întrucît aceste dependențe sînt dificil de evaluat valoric, în continuare se presupun independente toate componentele vectorului  $\underline{\alpha}$ , recomandîndu-se corelarea variațiilor acestora, cuprinse în vectorul  $\underline{\Delta\alpha}$ , astfel ca semn și ordin de mărime:

$$\underline{\Delta\alpha} = [\Delta Z_{\delta 0}, \Delta M, \Delta R, \Delta F_{e0}, \Delta \mu_{Fe}, \Delta K_p, \Delta K_v, \Delta K_a]^T . \quad (5.42)$$

Conform rel. (VII-3), traiectoriile de stare adevărate  $Z_{\delta}(t, \underline{\alpha}_0 + \underline{\Delta\alpha})$ ,  $\dot{Z}_{\delta}(t, \underline{\alpha}_0 + \underline{\Delta\alpha})$  și  $\ddot{Z}_{\delta}(t, \underline{\alpha}_0 + \underline{\Delta\alpha})$  corespunzătoare unui regim tranzitoriu cauzat de funcții de intrare  $\tilde{Z}_{\delta}(t) = \tilde{Z}_{\delta}^{\Delta}(t)$ ,  $F_e(t) = F_e^{\Delta}(t)$  și  $\ddot{Z}_{\delta}(t) = \ddot{Z}_{\delta}^{\Delta}(t)$  bine precizate, vor fi approximate prin traiectoriile de stare  $Z_{\delta}^*(t)$ ,  $\dot{Z}_{\delta}^*(t)$  și  $\ddot{Z}_{\delta}^*(t)$  calculate cu relațiile:

$$\begin{bmatrix} Z_{\delta}^*(t) \\ \dot{Z}_{\delta}^*(t) \\ \ddot{Z}_{\delta}^*(t) \end{bmatrix} = \begin{bmatrix} Z_{\delta}(t) \\ \dot{Z}_{\delta}(t) \\ \ddot{Z}_{\delta}(t) \end{bmatrix} + \underbrace{\begin{bmatrix} \lambda_{Z_{\delta}}^{Z_{\delta 0}}(t) & \lambda_{Z_{\delta}}^M(t) & \dots & \lambda_{Z_{\delta}}^{K_v}(t) & \lambda_{Z_{\delta}}^{K_a}(t) \\ \lambda_{\dot{Z}_{\delta}}^{Z_{\delta 0}}(t) & \lambda_{\dot{Z}_{\delta}}^M(t) & \dots & \lambda_{\dot{Z}_{\delta}}^{K_v}(t) & \lambda_{\dot{Z}_{\delta}}^{K_a}(t) \\ \lambda_{\ddot{Z}_{\delta}}^{Z_{\delta 0}}(t) & \lambda_{\ddot{Z}_{\delta}}^M(t) & \dots & \lambda_{\ddot{Z}_{\delta}}^{K_v}(t) & \lambda_{\ddot{Z}_{\delta}}^{K_a}(t) \end{bmatrix}}_{\underline{\lambda}(t, \underline{\alpha}_0)} \underline{\Delta\alpha} . \quad (5.43)$$

În această relație  $Z_{\delta}(t)$ ,  $\dot{Z}_{\delta}(t)$ ,  $\ddot{Z}_{\delta}(t)$  reprezintă traiectoriile de stare ale sistemului (5.5-1) calculate pentru valorile nominale  $\underline{\alpha}_0$  ale parametrilor conținuți în  $\underline{\alpha}$ , deci pentru  $\underline{\Delta\alpha} = \underline{0}$ , și pentru funcțiile de intrare  $\tilde{Z}_{\delta}^{\Delta}(t)$ ,  $F_e^{\Delta}(t)$  și  $\ddot{Z}_{\delta}^{\Delta}(t)$ . Fiecare coloană a matricii  $\underline{\lambda}(t, \underline{\alpha}_0)$  conține funcțiile de sensibilitate ale traiectoriilor de stare ale sistemului (5.5-1), corespunzătoare funcțiilor de intrare  $\tilde{Z}_{\delta}^{\Delta}(t)$ ,  $F_e^{\Delta}(t)$

și  $\tilde{Z}_s^\Delta(t)$ , furnizate de către modelul de sensibilitate (5.39) aferent. Odată determinate funcțiile cuprinse în matricea  $\underline{\lambda}(t, \underline{\alpha}_0)$ , cu ec.(5.43) se poate stabili în orice moment cât de mare este influența diverșilor parametri  $\alpha_j$  asupra regimurilor tranzitorii ale SLEM-B cauzate de funcțiile de intrare  $\tilde{Z}_s^\Delta(t)$ ,  $F_e^\Delta(t)$ ,  $\tilde{Z}_s^\Delta(t)$ . Totodată memorînd funcțiile de sensibilitate  $\lambda_i^{\alpha_j}(t)$ ,  $i = Z_s, \dot{Z}_s$  și  $\tilde{Z}_m$ , se pot obține aproximații bune ale traiectoriilor de stare adevărate determinate de  $\tilde{Z}_s^\Delta(t)$ ,  $F_e^\Delta(t)$  și  $\tilde{Z}_s^\Delta(t)$ , pentru o gamă largă de variații  $\Delta\alpha$  ale parametrilor din  $\underline{\alpha}$ , fără a mai fi necesar ca acest sistem să se integreze de fiecare dată pentru funcțiile de intrare menționate.

Indiferent de parametrul  $\alpha_j$ , din ec.(5.39) rezultă că funcțiile de sensibilitate ale traiectoriilor de stare aferente SLEM-B, corespunzătoare unor funcții de intrare bine precizate, sînt legate prin relațiile:

$$\lambda_{\tilde{Z}_m}^{\alpha_j}(t) = \lambda_{\dot{Z}_s}^{\alpha_j}(t) = \lambda_{Z_s}^{\alpha_j}(t) \quad (5.44)$$

În consecință, privitor la rel.(5.43) rezultă:

$$\sum_{\alpha_j} \lambda_{\tilde{Z}_m}^{\alpha_j}(t) \cdot \Delta\alpha_j = \frac{d}{dt} \sum_{\alpha_j} \lambda_{\dot{Z}_s}^{\alpha_j}(t) \cdot \Delta\alpha_j = \frac{d^2}{dt^2} \sum_{\alpha_j} \lambda_{Z_s}^{\alpha_j}(t) \cdot \Delta\alpha_j \quad (5.45)$$

Matricea funcțiilor de sensibilitate

$$\underline{\lambda}(t, \underline{\alpha}_0) = \left[ \begin{array}{cccc} \lambda^{Z_{s0}}(t, \underline{\alpha}_0), & \lambda^M(t, \underline{\alpha}_0), & \lambda^R(t, \underline{\alpha}_0), & \lambda^{F_{e0}}(t, \underline{\alpha}_0), \\ \lambda^{\mu_{Fe}}(t, \underline{\alpha}_0), & \lambda^K(t, \underline{\alpha}_0), & \lambda^{K_v}(t, \underline{\alpha}_0), & \lambda^{K_a}(t, \underline{\alpha}_0) \end{array} \right] \quad (5.46)$$

care apare în rel.(5.43) se poate obține fie determinînd separat fiecare  $\lambda^{\alpha_j}(t, \underline{\alpha}_0)$  prin integrarea pentru fiecare  $\alpha_j$  a sistemului (5.47) de ordinul  $n = 6$ , fie simultan prin integrarea sistemului (5.48), de ordinul  $n = 27$ , rezultat prin particularizarea sistemului (VII-8-1).

$$\begin{bmatrix} \underline{X}_1 \\ \underline{\lambda}^{\alpha_j} \end{bmatrix} \cdot = \begin{bmatrix} \underline{A} & \underline{0} \\ \underline{A}^{\alpha_j} & \underline{A} \end{bmatrix} \circ \begin{bmatrix} \underline{X}_1 \\ \underline{\lambda}^{\alpha_j} \end{bmatrix} + \begin{bmatrix} \underline{B}_c \\ \underline{B}^{\alpha_j} \end{bmatrix} \circ \tilde{Z}_s + \begin{bmatrix} \underline{B}_p \\ \underline{B}^{\alpha_j} \end{bmatrix} \circ U_p \quad (5.47)$$

$$\begin{bmatrix} \underline{X}_1 \\ \underline{\lambda}^{Z_{s0}} \\ \underline{\lambda}^M \\ \underline{\lambda}^R \\ \underline{\lambda}^{F_{e0}} \\ \underline{\lambda}^{\mu_{Fe}} \\ \underline{\lambda}^{K_p} \\ \underline{\lambda}^{K_v} \\ \underline{\lambda}^{K_a} \end{bmatrix} \cdot = \begin{bmatrix} \underline{A} & \underline{0} & \underline{0} & \dots & \underline{0} \\ \underline{A}^{Z_{s0}} & \underline{A} & \underline{0} & \dots & \underline{0} \\ \underline{A}^M & \underline{0} & \underline{A} & \dots & \underline{0} \\ \underline{A}^R & \underline{0} & \underline{0} & \dots & \underline{0} \\ \underline{A}^{F_{e0}} & \underline{0} & \underline{0} & \dots & \underline{0} \\ \underline{A}^{\mu_{Fe}} & \underline{0} & \underline{0} & \dots & \underline{0} \\ \underline{A}^{K_p} & \underline{0} & \underline{0} & \dots & \underline{0} \\ \underline{A}^{K_v} & \underline{0} & \underline{0} & \dots & \underline{0} \\ \underline{A}^{K_a} & \underline{0} & \underline{0} & \dots & \underline{A} \end{bmatrix} \circ \begin{bmatrix} \underline{X}_1 \\ \underline{\lambda}^{Z_{s0}} \\ \underline{\lambda}^M \\ \underline{\lambda}^R \\ \underline{\lambda}^{F_{e0}} \\ \underline{\lambda}^{\mu_{Fe}} \\ \underline{\lambda}^{K_p} \\ \underline{\lambda}^{K_v} \\ \underline{\lambda}^{K_a} \end{bmatrix} + \begin{bmatrix} \underline{B}_c \\ \underline{B}_c^{Z_{s0}} \\ \underline{B}_c^M \\ \underline{B}_c^R \\ \underline{B}_c^{F_{e0}} \\ \underline{B}_c^{\mu_{Fe}} \\ \underline{B}_c^{K_p} \\ \underline{B}_c^{K_v} \\ \underline{B}_c^{K_a} \end{bmatrix} \circ \tilde{Z}_s + \begin{bmatrix} \underline{B}_p \\ \underline{B}_p^{Z_{s0}} \\ \underline{B}_p^M \\ \underline{B}_p^R \\ \underline{B}_p^{F_{e0}} \\ \underline{B}_p^{\mu_{Fe}} \\ \underline{B}_p^{K_p} \\ \underline{B}_p^{K_v} \\ \underline{B}_p^{K_a} \end{bmatrix} \circ U_p \quad (5.48)$$

Alături de notațiile din tabelul 2.1. în sistemele de mai

INSTITUTUL NAȚIONAL DE RECHIZIȚII ȘI PROIECTARE

folosit următoarele notații:

$$\underline{\lambda}^{\alpha_j} = \left[ \lambda_{Z_\delta}^{\alpha_j}, \lambda_{\dot{Z}_\delta}^{\alpha_j}, \lambda_{\ddot{Z}_m}^{\alpha_j} \right]^T ;$$

$$\underline{A}^{\alpha_j} = \begin{bmatrix} 0 & 0 & 0 \\ 0 & 0 & 0 \\ a_1^{\alpha_j} & a_2^{\alpha_j} & a_3^{\alpha_j} \end{bmatrix} ; \quad \underline{B}_c^{\alpha_j} = \begin{bmatrix} 0 \\ 0 \\ b^{\alpha_j} \end{bmatrix} ; \quad \underline{B}_p^{\alpha_j} = \begin{bmatrix} 0 & 0 & 0 \\ 0 & 0 & 0 \\ b_{p_1}^{\alpha_j} & b_{p_2}^{\alpha_j} & 0 \end{bmatrix} ; \quad \underline{U}_p = \begin{bmatrix} F_e \\ F_e \\ Z_s \end{bmatrix}$$

### 5.2.3.1.2. Expresiile coeficienților modelelor de sensibilitate ale SLEM-B.

În continuare se detaliază expresiile coeficienților (5.40) ai modelului de sensibilitate (5.39) pentru fiecare din componentele  $\alpha_j$  ale vectorului  $\underline{\alpha}$ , rel.(5.41). Toate expresiile s-au determinat considerînd că parametrii SES-1L, care intervin în calcule potrivit rel.(3.28) și (3.29) prin intermediul mărimilor  $K_{po}$ ,  $K_{vo}$ ,  $K_{ao}$  și  $b$ , se calculează cu relațiile din tabelul 3.1., aferente cazului T-3.

1<sup>o</sup> - În cazul parametrului  $Z_{\delta_0}$  expresiile coeficienților (5.40) sînt:

$$a_1^{Z_{\delta_0}} = b \left[ K_{po} - K_p \frac{1}{2+(1+q)\tilde{L}_\infty/\tilde{L}_0} \right] \cdot \frac{2+(1+q)\tilde{L}_\infty/\tilde{L}_0}{1+(1+q)\tilde{L}_\infty/\tilde{L}_0} \cdot \frac{1}{Z_{\delta_0}} ;$$

$$a_2^{Z_{\delta_0}} = b \left[ K_{vo} - K_v \frac{1}{4+3(1+q)\tilde{L}_\infty/\tilde{L}_0} \right] \cdot \frac{4+3(1+q)\tilde{L}_\infty/\tilde{L}_0}{1+(1+q)\tilde{L}_\infty/\tilde{L}_0} \cdot \frac{1}{Z_{\delta_0}} ; \quad "$$

$$a_3^{Z_{\delta_0}} = b \left[ K_{ao} - K_a \frac{1}{1+2(1+q)\tilde{L}_\infty/\tilde{L}_0} \right] \cdot \frac{1+2(1+q)\tilde{L}_\infty/\tilde{L}_0}{1+(1+q)\tilde{L}_\infty/\tilde{L}_0} \cdot \frac{1}{Z_{\delta_0}} ; \quad (5.49)$$

$$b^{Z_{\delta_0}} = -b \frac{1/Z_{\delta_0}}{1+(1+q)\tilde{L}_\infty/\tilde{L}_0} ; \quad b_{p_1}^{Z_{\delta_0}} = \frac{1+2(1+q)\tilde{L}_\infty/\tilde{L}_0}{1+(1+q)\tilde{L}_\infty/\tilde{L}_0} \cdot \frac{1}{MT} ; \quad b_{p_2}^{Z_{\delta_0}} = 0 .$$

2<sup>o</sup> - În cazul parametrului  $M$  expresiile coeficienților (5.40) se determină avînd în vedere că masa  $M$  apare în expresiile lui  $K_{po}$ ,  $K_{vo}$ ,  $K_{ao}$  și  $b$  atât explicit, cît și implicit prin intermediul lui  $K_1$ , respectiv al lui  $I_0$  (v. tab.3-1). Din rel.(3.2), (3.4), (2.6) și relațiile din tab. 3.1 rezultă:

$$I_0 = \sqrt{\frac{2Z_{\delta_0}(Mg+F_{e0})}{K_4^2 \cdot \tilde{L}_0}} . \quad (5.50)$$

Se obțin:

$$a_1^M = b \left[ K_{po} - K_p (1+0,5 G/F_{e0}) \right] \frac{1}{1+G/F_{e0}} \frac{1}{M} ; \quad b^M = -b \frac{1+0,5G/F_{e0}}{1+G/F_{e0}} \frac{1}{M} ;$$

$$a_2^M = b \left[ K_{vo} - K_v (1+0,5 G/F_{e0}) \right] \frac{1}{1+G/F_{e0}} \frac{1}{M} ; \quad b_{p_1}^M = -\frac{1}{MT} \frac{1}{M} ; \quad (5.51-1)$$

$$a_3^M = -b K_a \frac{1+0,5G/F_{e0}}{1+G/F_{e0}} \frac{1}{M} ; \quad b_{p_2}^M = 0 .$$

In cazul particular  $F_{eo} = 0$  prin trecere la limită rezultă:

$$\begin{aligned} a_1^M &= -b K_p \frac{1}{M} ; & a_2^M &= -b K_v \frac{1}{M} ; & a_3^M &= -b K_a \frac{1}{M} \\ b^M &= -b \frac{1}{M} ; & b_{p1}^M &= -\frac{1}{MT} \frac{1}{M} ; & b_{p2}^M &= 0 . \end{aligned} \quad (5.51-2)$$

In relațiile anterioare  $G = Mg$  este greutatea electromagnetului.

3° - In cazul parametrului  $R$  expresiile coeficienților (5.40) sînt:

$$a_1^R = 0 ; a_2^R = 0 ; a_3^R = b K_{aoR} \frac{1}{R} ; b^R = 0 ; b_{p1}^R = \frac{1}{MT} \frac{1}{R} ; b_{p2}^R = 0 . \quad (5.52)$$

4° - In cazul parametrului  $F_{eo}$  expresiile coeficienților (5.40) se obțin avînd în vedere că  $F_{eo}$  apare în expresiile lui  $K_{po}$ ,  $K_{vo}$ ,  $K_{ao}$  și  $b$  implicit, prin intermediul lui  $K_1$ , respectiv al lui  $I_0$ , corespunzător rel. (5.50). Se obțin:

$$\begin{aligned} a_1^{F_{eo}} &= -b(K_{po} - 2K_p) \cdot \frac{1}{1+G/F_{eo}} \cdot \frac{1}{F_{eo}} ; & b^{F_{eo}} &= b \cdot 2 \cdot \frac{1}{1+G/F_{eo}} \cdot \frac{1}{F_{eo}} ; \\ a_2^{F_{eo}} &= -b(K_{vo} - K_v \cdot 2) \cdot \frac{1}{1+G/F_{eo}} \cdot \frac{1}{F_{eo}} ; & b_{p1}^{F_{eo}} &= 0 ; \\ a_3^{F_{eo}} &= b \cdot 2K_a \cdot \frac{1}{1+G/F_{eo}} \cdot \frac{1}{F_{eo}} ; & b_{p2}^{F_{eo}} &= 0 . \end{aligned} \quad (5.53)$$

5° - In cazul parametrului  $\mu_{Fe}$  expresiile coeficienților (5.40) se determină observînd că  $\mu_{Fe}$  apare în expresiile lui  $K_{po}$ ,  $K_{vo}$ ,  $K_{ao}$  și  $b$  în mod implicit, prin intermediul lui  $K_3$  și  $K_4$  (v. tab. 3.1); rezultă:

$$\begin{aligned} a_1^{\mu_{Fe}} &= -b(K_{po} - K_p \frac{K_{\mu 4}}{K_{\mu 1}}) K_{\mu 1} \frac{1}{\mu_{Fe}} ; & b^{\mu_{Fe}} &= b K_{\mu 4} \frac{1}{\mu_{Fe}} ; \\ a_2^{\mu_{Fe}} &= -b(K_{vo} - K_v \frac{K_{\mu 4}}{K_{\mu 2}}) K_{\mu 2} \frac{1}{\mu_{Fe}} ; & b_{p1}^{\mu_{Fe}} &= \frac{1}{MT} K_{\mu 3} \frac{1}{\mu_{Fe}} ; \\ a_3^{\mu_{Fe}} &= b(K_{ao} + K_a \frac{K_{\mu 4}}{K_{\mu 3}}) K_{\mu 3} \frac{1}{\mu_{Fe}} ; & b_{p2}^{\mu_{Fe}} &= 0 . \end{aligned} \quad (5.54)$$

In aceste relații s-a notat:

$$\begin{aligned} K_{\mu 1} &= \frac{q}{1+q} \cdot \frac{2+3(1+q)\tilde{L}_\infty/\tilde{L}_0}{1+(1+q)L/\tilde{L}_0} ; & K_{\mu 3} &= \frac{q}{1+q} \cdot \frac{1}{1+(1+q)\tilde{L}_\infty/\tilde{L}_0} ; \\ K_{\mu 2} &= \frac{q}{1+q} \cdot \frac{3+4(1+q)\tilde{L}_\infty/\tilde{L}_0}{1+(1+q)\tilde{L}_\infty/\tilde{L}_0} ; & K_{\mu 4} &= \frac{q}{1+q} \cdot \frac{1+2(1+q)\tilde{L}_\infty/\tilde{L}_0}{1+(1+q)\tilde{L}_\infty/\tilde{L}_0} . \end{aligned}$$

6° - In cazul parametrului  $K_p$  expresiile coeficienților (5.40) sînt:

$$a_1^{K_p} = b ; a_2^{K_p} = 0 ; a_3^{K_p} = 0 ; b^{K_p} = 0 ; b_{p1}^{K_p} = 0 ; b_{p2}^{K_p} = 0 . \quad (5.55)$$

7° - In cazul parametrului  $K_v$  expresiile coeficienților (5.40) sînt:

$$a_1^{K_v} = 0 ; a_2^{K_v} = b ; a_3^{K_v} = 0 ; b^{K_v} = 0 ; b_{p1}^{K_v} = Q ; b_{p2}^{K_v} = 0 . \quad (5.56)$$

8° - In cazul parametrului  $K_a$  expresiile coeficienților (5.40) sînt:  
 $a_1^{K_a} = 0$  ;  $a_2^{K_a} = 0$  ;  $a_3^{K_a} = b$  ;  $b^{K_a} = 0$  ;  $b_{p_1}^{K_a} = 0$  ;  $b_{p_2}^{K_a} = 0$  . (5.57)

5.2.3.1.5. Tipuri de funcții de intrare pentru modelele de sensibilitate ale SLEM-B.

Funcțiile de sensibilitate corespund întotdeauna unor funcții de intrare bine precizate (v.ec.(VII -8)). In particular, funcțiile de sensibilitate ale SLEM-B, soluții ale ec.(5.39), corespund atât direct cît și indirect - prin intermediul soluției ec.(5.5-1) - unor funcții de intrare  $\tilde{Z}_\delta(t) = \tilde{Z}_\delta^\Delta(t)$ ,  $F_e(t) = F_e^\Delta(t)$ ,  $\tilde{Z}_s(t) = \tilde{Z}_s^\Delta(t)$ . Pentru studiul sensibilității SLEM-B, pe baza considerațiilor din cap.4, se consideră semnificative următoarele cazuri de studiu:

Cazul S-1 caracterizat prin modificarea în treaptă a lui  $\tilde{Z}_\delta$ . Deci:

$$\tilde{Z}_\delta^\Delta(t) = \tilde{Z}_{\delta 0} u_{-1}(t) ; \quad F_e^\Delta(t) = 0 ; \quad \tilde{Z}_s^\Delta(t) = 0 . \quad (5.58)$$

Cazul S-2 caracterizat prin modificarea lui  $\tilde{Z}_\delta$  corespunzător expresiei din membrul stîng al rel.(4.4) pe un interval de timp finit:

$$\tilde{Z}_\delta^\Delta(t) = \begin{cases} \frac{1 - \frac{\mu}{\mu-\varphi} e^{-\varphi t} + \frac{\varphi}{\mu-\varphi} e^{-\mu t}}{1 - \frac{\mu}{\mu-\varphi} e^{-\varphi t_x} + \frac{\varphi}{\mu-\varphi} e^{-\mu t_x}} \tilde{Z}_{\delta 0} & \text{pentru } t \leq t_x \\ \tilde{Z}_{\delta 0} & \text{pentru } t > t_x \end{cases} \quad (5.59)$$

$$F_e^\Delta(t) = 0 ; \quad \tilde{Z}_s^\Delta(t) = 0 .$$

$t_x$  reprezintă intervalul de timp după care  $\tilde{Z}_\delta(t)$  atinge valoarea finală  $\tilde{Z}_{\delta 0}$ .

Cazul S-3 caracterizat prin modificarea lui  $F_e$  în treaptă reală, conform fig. 4.10.b :

$$\tilde{Z}_\delta^\Delta(t) = 0 ; \quad \tilde{Z}_s^\Delta(t) = 0 ; \quad (5.60)$$

$$F_e^\Delta(t) = \begin{cases} K_F G \frac{t}{t_1} , & \text{pentru } t \leq t_1 \\ K_F G , & \text{pentru } t > t_1 \end{cases} ; \quad \dot{F}_e^\Delta(t) = \begin{cases} K_F G , & \text{pentru } t \leq t_1 \\ 0 , & \text{pentru } t > t_1 \end{cases}$$

$t_1$  reprezintă intervalul de timp după care  $F_e$  obține valoarea staționară  $K_F G$ ,  $K_F = 0$  constantă;  $G =$  greutatea electromagnetului.

Cazul S-4 caracterizat prin modificarea poziției șinei conform neregularităților de categoria I-a redate de rel.(4.26) + (4.28), respectiv de fig. 4.9.a :

$$\tilde{Z}_\delta^\Delta(t) = 0 ; \quad F_e^\Delta(t) = 0 ; \quad (5.61)$$

$$\ddot{Z}_{\delta H}^\Delta(t) = \begin{cases} 0,05 g \left( 2\frac{t}{t_1} - \frac{1}{\pi} \sin 2\pi \frac{t}{t_1} \right) , & \text{pentru } t \leq t_1 \\ 0,05 g \left[ 4 - \left( 2\frac{t}{t_1} - \frac{1}{\pi} \sin 2\pi \frac{t}{t_1} \right) \right] , & \text{pentru } t_1 < t \leq 2t_1 \\ 0 , & \text{pentru } t > 2t_1 \end{cases}$$

În rel.(5.61)  $t_1 = 3,888$  sec., iar  $g =$  accelerația gravitațională.

Cazul S-5 caracterizat prin variația simultană a mărimilor  $F_e$  și  $\bar{Z}_{su}$  corespunzător cazurilor S-3 și S-4, mărimea de conducere păstrându-se constantă. Deci:

$$\begin{aligned} \tilde{Z}_j^\Delta(t) &= 0 ; \\ F_e^\Delta(t) \text{ și } \dot{F}_e^\Delta(t) &\text{ conform rel.(5.60) ;} \\ \bar{Z}_{su}^\Delta(t) &\text{ conform rel.(5.61) .} \end{aligned} \quad (5.62)$$

### 5.2.3.2. Analiza sensibilității SLEM-B cu ajutorul locului rădăcinilor.

Problema sensibilității rădăcinilor unei ecuații caracteristice în raport cu un parametru  $\alpha_j$ , la mici variații ale acestuia, a fost studiată de diferiți autori, spre ex. [118,147,152]. Rezultatele obținute sînt caracterizate prin formularea unor teoreme, în general dificil de utilizat. Din acest motiv problema va fi abordată în continuare folosind locul rădăcinilor (LR) [172,37,150,57].

La mici variații ale unui parametru  $\alpha_j$ , cuprins în vectorul  $\underline{\alpha}$  -rel. (5.41)- ecuația caracteristică (5.6) devine:

$$\Delta(s, \Delta\alpha_j) = \Delta(s) + \Delta\alpha_j \cdot (a_3^{\alpha_j} s^2 + a_2^{\alpha_j} s + a_1^{\alpha_j}) = 0 \quad (5.63)$$

Acest rezultat permite utilizarea LR pentru analiza sensibilității SLEM-B în raport cu parametrul  $\alpha_j$  folosind, de la caz la caz, una din următoarele f.d.t. corespunzătoare unor sisteme descrise echivalente:

$$\tilde{G}_0^{\alpha_j}(s) = k \frac{s^2 + (a_2^{\alpha_j}/a_3^{\alpha_j})s + (a_1^{\alpha_j}/a_3^{\alpha_j})}{\Delta(s)} \quad (5.64-1)$$

atunci cînd  $a_3^{\alpha_j} \neq 0$ ,

$$\tilde{G}_0^{\alpha_j}(s) = k \frac{s + (a_1^{\alpha_j}/a_2^{\alpha_j})}{\Delta(s)} \quad (5.64-2)$$

atunci cînd  $a_3^{\alpha_j} = 0$ , dar  $a_2^{\alpha_j} \neq 0$  și

$$\tilde{G}_0^{\alpha_j}(s) = k \frac{1}{\Delta(s)} \quad (5.64-3)$$

atunci cînd  $a_3^{\alpha_j} = 0$  și  $a_2^{\alpha_j} = 0$ , dar  $a_1^{\alpha_j} \neq 0$ . În cele trei situații  $k = a_3^{\alpha_j} \Delta\alpha_j$ ,  $a_2^{\alpha_j} \Delta\alpha_j$ , respectiv  $a_1^{\alpha_j} \Delta\alpha_j$ . Privind LR aferente acestor sisteme sînt importante trei observații:

(i) Parametrul  $k$  ia atît valori pozitive, cît și valori negative, datorită lui  $\Delta\alpha_j$ . În consecință interesează atît LR propriu-zis, cît și LR complementar.

(ii) Polii configurației poli-zero-uri pe baza cărora se trasează LR sînt tocmai rădăcinile ec.(5.6), adică ale SLEM-B în situația cînd toți parametrii au valori nominale. Deci în toate cazurile ce interesează LR pornește din aceleași puncte critice. De la caz la caz va diferi numărul ramurilor ce se termină în punctul de la infinit sau amplasarea zerourilor.

(iii) Având în vedere intervalul mic de variație a parametrului  $\alpha_j$ , dia LR trasate este semnificativă numai porțiunea din vecinătatea polilor dați de  $\Delta(s)$ , adică vecinătatea  $|k| \leq \varepsilon_{\alpha_j}$ .

Correspondență rel. (5.49) + (5.57), f.d.t. (5.64) obțin expresiile:

$$1^\circ: \tilde{G}_o^{Z\delta_0}(s) = k \cdot \frac{s^2 + \frac{[4+3(1+q)\tilde{L}_\infty/\tilde{L}_0]K_{vo}-K_v}{[1+2(1+q)\tilde{L}_\infty/\tilde{L}_0]K_{ao}-K_a} s + \frac{[2+(1+q)\tilde{L}_\infty/\tilde{L}_0]K_{po}-K_p}{[1+2(1+q)\tilde{L}_\infty/\tilde{L}_0]K_{ao}-K_a} \Delta(s)}{s^2 + \frac{K_v(1+0,5G/F_{eo})-K_{vo}}{K_a(1+0,5G/F_{eo})} s + \frac{K_p(1+0,5G/F_{eo})-K_{po}}{K_a(1+0,5G/F_{eo})} \Delta(s)}$$

cu  $k = b \left[ \frac{1}{K_{ao}-K_a} \frac{1+2(1+q)\tilde{L}_\infty/\tilde{L}_0}{1+(1+q)\tilde{L}_\infty/\tilde{L}_0} \frac{\Delta Z \delta_0}{Z \delta_0} \right]$  (5.65)

$$2^\circ: \tilde{G}_o^M(s) = k \cdot \frac{\Delta(s)}{s^2 + \frac{K_v(1+0,5G/F_{eo})-K_{vo}}{K_a(1+0,5G/F_{eo})} s + \frac{K_p(1+0,5G/F_{eo})-K_{po}}{K_a(1+0,5G/F_{eo})} \Delta(s)}$$

cu  $k = -b \cdot K_a \cdot \frac{1+0,5G/F_{eo}}{1+G/F_{eo}} \cdot \frac{\Delta M}{M}$  (5.66)

In cazul particular  $F_{eo} = 0$  rel. (5.66) devin:

$$\tilde{G}_o^M(s) = -\frac{\Delta M}{M} \cdot \frac{1}{2} \cdot b \cdot \frac{s^2 + (K_v/K_a)s + (K_p/K_a)}{\Delta(s)}$$
 (5.67)

$$3^\circ: \tilde{G}_o^R(s) = b \cdot K_{ao} \cdot \frac{s^2}{\Delta(s)} \cdot \frac{\Delta R}{R}$$
 (5.68)

$$4^\circ: \tilde{G}_o^{F_{eo}}(s) = k \cdot \frac{s^2 + \frac{2K_v-K_{vo}}{2K_a} s + \frac{2K_p-K_{po}}{2K_a} \Delta(s)}{\Delta(s)}$$

cu  $k = \frac{\Delta F_{eo}}{F_{eo}} \cdot b \cdot 2 \cdot K_a \cdot \frac{1}{1+G/F_{eo}}$  (5.69)

$$5^\circ: \tilde{G}_o^{\mu_{Fe}}(s) = k \cdot \frac{s^2 + \frac{K_v K_{\mu 4} - K_{vo} K_{\mu 2}}{K_a K_{\mu 4} + K_{ao} K_{\mu 3}} s + \frac{K_p K_{\mu 4} - K_{po} K_{\mu 1}}{K_a K_{\mu 4} + K_{ao} K_{\mu 3}} \Delta(s)}{\Delta(s)}$$

cu  $k = \frac{\Delta \mu_{Fe}}{\mu_{Fe}} b (K_a K_{\mu 4} + K_{ao} K_{\mu 3})$  (5.70)

$$6^\circ: \tilde{G}_o^K(s) = \Delta K_p \cdot \frac{b}{\Delta(s)}, \quad (K = b \cdot \Delta K_p)$$
 (5.71)

$$7^\circ: \tilde{G}_o^{K_v}(s) = \frac{bs}{\Delta(s)} \cdot \Delta K_v, \quad (K = b \cdot \Delta K_v)$$
 (5.72)

$$8^\circ: \tilde{G}_o^{K_a}(s) = \Delta K_a \cdot \frac{bs^2}{\Delta(s)}, \quad (K = b \cdot \Delta K_a)$$
 (5.73)

Alurile de principiu ale LR corespunzătoare acestor f.d.t. au aspectul din fig. 5.4. Polii  $p_1, p_2$  și  $p_3$  corespund rel. (5.8). Cu linie continuă s-a trasat LR propriu-zis, iar cu linie întreruptă LR complementar. **Curbele închise delimitează simbolic vecinătățile  $|k| \leq \varepsilon_{\alpha_j}$ .**

Principalele informații pe care LR din fig. 5.4. pot să le furnizeze cu privire la SLEM-B se referă la:

- influența modificărilor parametrilor  $\alpha_j$  asupra stabilității;
- influența modificărilor parametrilor  $\alpha_j$  asupra amortizării și duratei regimurilor tranzitorii.

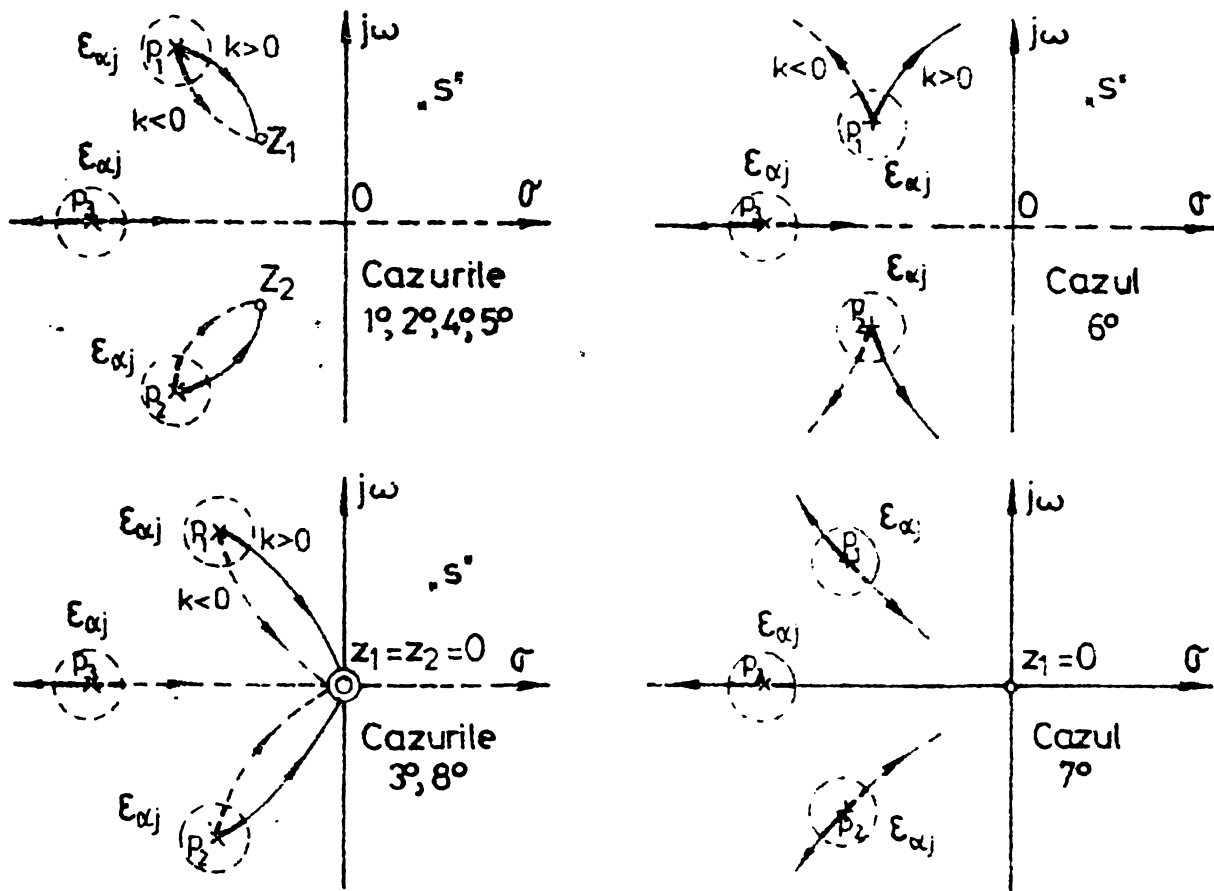


Fig. 5.4. Aluri de principiu ale locurilor rădăcinilor utilizate pentru analiza sensibilității SLEM-B în raport cu parametrii (5.41).

### 5.3. Probleme de analiză, sinteză și proiectare legate de regimul staționar al SLEM-B.

Aprecierea comportării SLEM-B în regim staționar atunci când se modifică unele mărimi care definesc punctul nominal de funcționare  $\Lambda_0$ , cum sînt  $M$ ,  $F_{e0}$ ,  $R$  ș.a. rezultă din ec.(2.6), ec.(3.3) și din ecuațiile aferente procedurii ales pentru estimarea parametrilor SES-1L (considerînd  $M = M_0$ ), completate cu ecuația  $U_{a0} = K_p Z_{\delta 0} - \tilde{Z}_{\delta 0}$  care redă comportarea blocului de reglare în regim staționar constant (v.rel.(5.1)) Toate aceste ecuații cumulate conduc la rel.(5.74). Ele corespund estimării parametrilor SES-1L conform cazului T-3 (pct.3.1.1):

$$U_{a0} = R I_0 = K_p Z_{\delta 0} - \tilde{Z}_{\delta 0}$$

$$I_0 = \sqrt{\frac{2Z_{\delta 0}(M_0 g + F_{e0})}{K_4^2 \tilde{L}_0}} ; F_0 = M_0 g + F_{e0} \quad (5.74)$$

$$K_4 = \frac{1}{1+q} ; q = \frac{\mu_0}{\mu_{Fe}} \frac{w+h+2a}{Z_{\delta 0}} ; \tilde{L}_0 = \frac{\mu_0 A_p N^2}{4Z_{\delta 0}} ; Z_{m0} = Z_{sc} + Z_{\delta 0}$$



Din aceste relații rezultă:

$$Z_{\delta_0} = \frac{\tilde{Z}_{\delta_0} + K_{po}(w+h+2a) \mu_0/\mu_{Fe}}{K_p - K_{po}}, \quad \tilde{Z}_{m_0} = 0, \quad (5.75)$$

în care, potrivit rel. (3.28) și (5.74),  $K_{po}$  este:

$$K_{po} = -\frac{C_{\delta}}{M_0 b T} = R \sqrt{\frac{8(M_0 g + F_{eo})}{\mu_0 \Lambda_p N^2}}. \quad (5.76)$$

Se observă că modificarea valorilor lui  $M$ ,  $F_e$ ,  $R$  și  $K_p$  față de valorile nominale cauzează modificarea întrefierului nominal  $Z_{\delta_0}$  precum și modificarea valorilor staționare ale celorlalte mărimi:  $F_0$ ,  $I_0$ ,  $U_{a0}$  și  $Z_{m_0}$ .

**Rezultă deci un punct de funcționare staționară al SLEM-B  $\Lambda'_0$  diferit de punctul nominal  $\Lambda_0$ . Intrefierul poate fi readus la valoarea nominală prin modificarea mărimii de conducere  $\tilde{Z}_{\delta_0}$ , fără ca prin această operație să se restabilească punctul nominal de funcționare.**

Rel. (5.75) și (5.76) pot fi utilizate, în principiu, în două scopuri:

- (i) studierea modului în care, în regim staționar constant, valoarea întrefierului se modifică față de valoarea nominală în funcție de valorile diverșilor parametrii;
- (ii) determinarea limitelor de variație ale acestor parametrii în funcție de limitele de variație admise pentru întrefier și curent.

Problema (i) care constituie și baza de abordare a problemei (ii) se tratează în cadrul pct. 5.3.1. ÷ 5.3.7. Dezvoltarea ei se face în concordanță cu cele prezentate la pct. 4.1.

### 5.3.1. Influența modificării masei $M$ .

Modul în care modificarea masei  $M$  afectează procesele tranzitorii cauzate de variațiile mărimilor de intrare se poate analiza conform pct. 5.2.3. La creșterea masei  $M$  reglarea decurge cu un consum de energie sensibil sporit, necesitînd variații mai pronunțate ale tensiunii de comandă  $U_a$  și ale curentului de comandă  $I$ .

Modificarea punctului de funcționare staționară se produce conform rel. (5.75). Odată cu creșterea lui  $M_0$  crește  $K_{po}$ , respectiv întrefierul  $Z_{\delta_0}$ . Admițînd că mărimile  $M$ ,  $F_e$  și  $R$  se modifică în bloc de la valorile nominale  $M_0$ ,  $F_{e0}$  și  $R_0$ , la noi valori  $M'_0$ ,  $F'_{e0}$ ,  $R'_0$ , o condiție suficientă de stabilitate este:

$$\frac{R'_0}{R_0} \sqrt{\frac{M'_0 g + F'_{e0}}{M_0 g + F_{e0}}} < 2. \quad (5.77)$$

Modificările lui  $M_0$ , în limitele permise de această inecuație, nu afectează stabilitatea sistemului. Considerînd  $M'_0 > M_0$  și  $\tilde{Z}_{\delta_0} = \text{const.}$ , rezultă  $I'_0 > I_0$ , respectiv o înrăutățire a regimurilor dinamice datorită

reducerii coeficientului de supraîncărcare dinamică  $\lambda_I$  a chopperului. Dacă  $M'_0 > M_0$  și  $\tilde{Z}_\delta$  se reduce astfel încît întrefierul  $Z_{\delta 0}$  să nu se modifice, atunci creșterea lui  $I_0$  va fi mai puțin pronunțată și de asemenea și reducerea lui  $\lambda_I$ . O astfel de acțiune este justificată și în cazul cînd  $M'_0 < M_0$ .

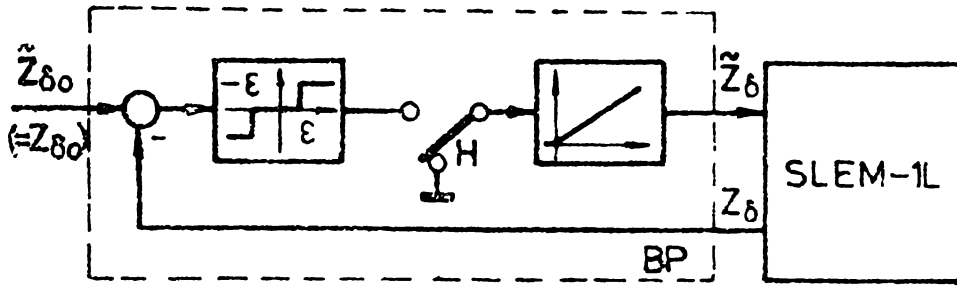
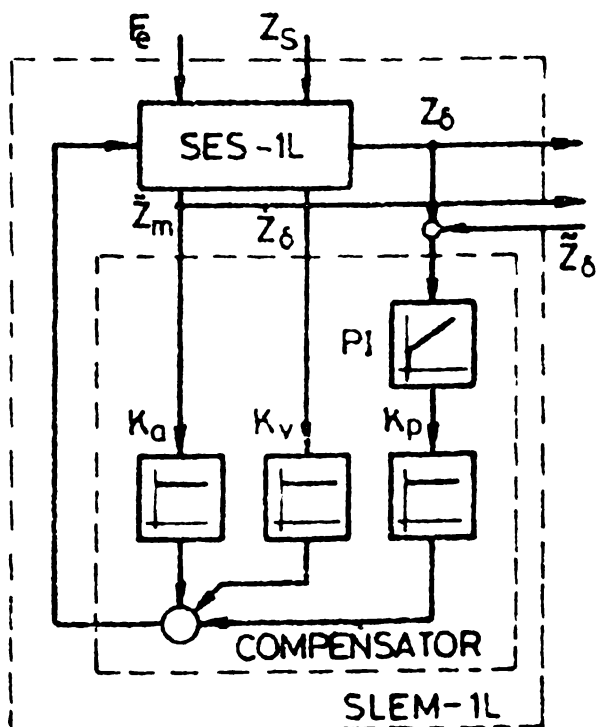


Fig. 5.5. SLEM-B cu bloc de prescriere (BP) cu ajustare intermitentă a mării de conducere  $\tilde{Z}_\delta$ . (Ieșirea integratorului se blochează prin trecerea cheii H în poziția inferioară).

Ajustarea permanentă a lui  $\tilde{Z}_\delta$  se poate realiza conform schemei din fig. 5.5. Cheia H se închide intermitent. Dacă  $|\tilde{Z}_{\delta 0} - Z_\delta| > \varepsilon$  atunci blocul tripozițional comandă blocul integrator astfel încît să readucă întrefierul la valoarea nominală  $Z_{\delta 0}$ .

D.p.d.v. al modificării masei  $M$  la pct.4.1-(i) s-au propus patru variante de blocuri de reglare:

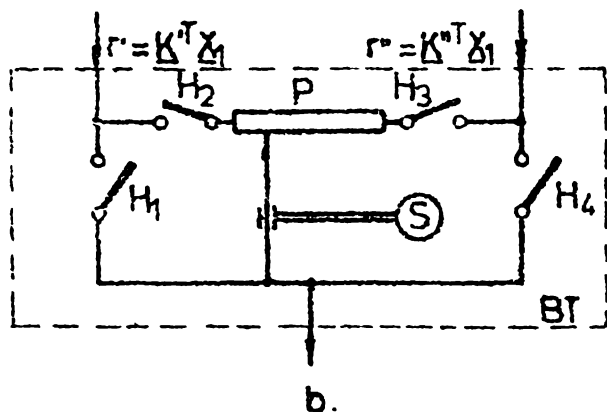
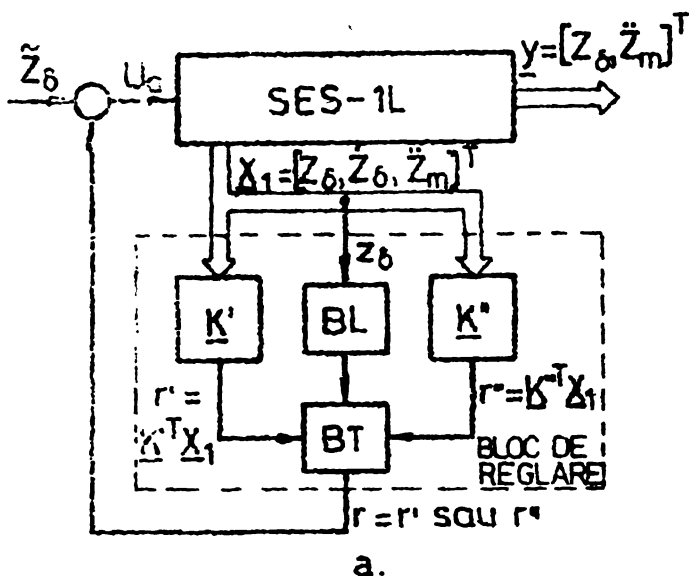
- Varianta 1<sup>o</sup>: SLEM-B are schema bloc din fig.5.1. cu compensatorul  $K$  calculat pentru o masă  $M = M_0 = 1,25 M'_0$  ( $M'_0$  = masa nominală) și pentru valorile nominale  $Z_{\delta 0}$  și  $F_{e0}$ . Fie  $\tilde{Z}_{\delta 01}$  valoarea mării de conducere din acest caz. În aceste circumstanțe la încărcătură statică nominală  $M'_0 g + F_{e0}$ , întrefierul  $Z_{\delta 0}$  se prescrie prin  $\tilde{Z}_{\delta 02} > \tilde{Z}_{\delta 01}$ . D.p.d.v. al sensibilității dinamice a sistemului se consideră semnificativ cazul cînd în ec.(5.42) se ia  $\Delta M = (\lambda_M - 1)M_0 = -0,2 M_0$ .



- Varianta 2<sup>o</sup>: Pentru asigurarea unei reglări astatice a întrefierului se poate utiliza schema de principiu din fig.5.6. Compensatorul după vectorul de stare  $X_1$  conține în plus față de schema din fig.5.1., blocul integrator PI (de fapt cu acțiune de tip proporțional-integral). Componenta integrală conferă SLEM-B caracterul astatic, determinînd înă și înrîutîirea comportării dinamice a sistemului.

Fig. 5.6. SLEM-B cu reglare astatică a întrefierului.

- Varianta 3<sup>o</sup>: Schema de reglare cu adaptare discretă a blocului de reglare are, în principiu, configurația din fig.5.7.a. Trecerea de la reacția  $r'$ , dată de compensatorul  $\underline{K}'$ , la reacția  $r''$ , dată de compensatorul  $\underline{K}''$  se face în mod automat de către blocul de trecere BT.



$r' - r''$	H1	H2	H3	H4	$S^*$	$r'' - r'$
Inițial	x					Final
Starea 1	x	x	x			Starea 4
Starea 2		x	x		x	Starea 3
Starea 3		x	x		x ↑	Starea 2
Starea 4		x	x	↓	x	Starea 1
Final					x	Inițial

\* Servomecanismul acționează numai în starea 3 și întotdeauna în sensul de trecere dorit.

c

Fig. 5.7. SLEM cu adaptare discretă. a) Schema bloc a sistemului. b) Blocul de trecere a comenzii blocului de reglare de la compensatorul  $\underline{K}'$  la compensatorul  $\underline{K}''$  și invers (P-potențiomtru; S-servomecanism; H1...H4-chei de trecere; BL-bloc logic). c) Tabelul de stări al blocului de trecere.

În fig.5.7.b și 5.7.c se prezintă o variantă analogică de realizare a blocului de trecere. Servomecanismul S are rolul de a deplasa cursorul potențiometrului P, în secvența 3 (starea 3), de la un capăt la altul, mărimile  $r'$ ,  $r''$  și  $r$  fiind tensiuni. Punerea în acțiune a blocului de trecere se face de către blocul logic BL în funcție de valoarea întrefierului  $Z_0$  atunci când aceasta depășește anumite limite prestabilite. Acest lucru este posibil întrucât, în acord cu rel.(5.75) și (5.76), pentru  $K_p > K_{p0}$ ,  $Z_{00} = f(M_0)$  este o funcție monoton crescătoare. Evident, în cazul unui reglaj numeric, d.p.d.v. tehnic, realizarea blocului de reglare va fi cu totul alta.

- Varianta 4<sup>o</sup>: Aceasta se bazează pe utilizarea strategiei de reglare expuse în anexa VIII sau a unor variante ale acesteia, cum este spre exemplu situația în care schema de reglare din fig. VIII-1 utilizează un transformator funcțional ce determină  $\beta_i = f(Z_{00})$ , rel.(VIII-11), pentru orice valoare a lui  $K_p$  rezultînd o adaptare în două etape, independentă de starea de mișcare a VPM. Matricile  $\eta$  și  $\xi$  din rel.(VIII-10)

utilizate la stabilirea dependențelor  $K_p(M_0)$ ,  $K_v(M_0)$  și  $K_a(M_0)$  au expresiile:

$$\underline{\eta} = \begin{bmatrix} 0 & 0 & 0 \\ 0 & 0 & 0 \\ \eta_{10}^{M_0} & \eta_{20}^{M_0} & 0 \end{bmatrix} ; \quad \underline{\xi} = \begin{bmatrix} 0 & 0 & 0 \\ 0 & 0 & 0 \\ 0 & 0 & \xi_{M_0} \end{bmatrix} ,$$

în care:

$$\eta_{10}^{M_0} = bK_{p0} \frac{1}{1+G_0/F_{e0}} \cdot \frac{1}{M_0} ; \quad \eta_{20}^{M_0} = bK_{v0} \frac{1}{1+G_0/F_{e0}} \cdot \frac{1}{M_0} ; \quad \xi_{M_0}^{M_0} = -2b^2 \cdot \frac{1}{M_0} .$$

Implementarea variantei 4<sup>o</sup> este mult mai complicată decât a primelor trei.

### 5.3.2. Influența modificării componentei statice a forței exterioare $F_{e0}$

Această constă în esență în: (i) modificarea punctului de funcționare staționară conform rel.(5.76), (5.75) și (5.74); (ii) modificarea domeniului de valabilitate a MM-ISI liniar (5.5); (iii) modificarea puterii de comandă (4.50-2) și a limitelor de variație a tensiunii de comandă  $U_a$  și curentului de comandă  $I$ .

Dacă noua valoare  $F'_{e0}$  satisface condiția (5.77) sistemul este stabil și în raport cu variațiile acestui parametru. Schema din fig.5.5. asigură și în acest caz păstrarea valorii nominale a întrefierului. Variantele de blocuri de reglare prezentate la punctul 5.3.1. sînt valabile în principiu și la variația lui  $F_{e0}$ . Se impun însă unele particularizări. Privind blocul logic BL din fig.5.7.a. și transformatorul funcțional TF din fig. VIII-1 care acționează în funcție de întrefierul măsurat în acord cu rel.(5.75), se face observația că ele nu sînt în măsură de a distinge natura cauzei care determină modificarea lui  $Z_{f0}$ , adică variația lui  $M_0$ , a lui  $F_{e0}$  sau a lui  $R_0$ . Acest lucru nu deranjează în cazul variantei 3<sup>o</sup> de la pct.5.3.1. Dacă însă  $M_0$ ,  $F_{e0}$  și  $R_0$  pot suferi modificări simultane, proiectarea algoritmică a variantei 4<sup>o</sup> devine mult mai laborioasă.

### 5.3.3. Influența modificării rezistenței $R_0$

Modificarea lui  $R$  față de valoarea  $R_0$  se soldează în principiu cu asemenea efecte care apar și la modificarea lui  $M$  și  $F_{e0}$ . Este foarte important faptul că odată cu creșterea lui  $R$  valoarea  $Z_{f0}$  a întrefierului crește. Acest efect este prezent la începutul funcționării SLM-3. Cele patru variante de blocuri de reglare propuse la punctul 4.3., menite să corecteze această comportare, sînt în esență asemănătoare cu variantele analizate la pct.5.3.1. Privind cea de a patra variantă se face observația că, spre deosebire de  $M$  și  $F_{e0}$ , rezistența  $R$  este o mărime care are întotdeauna variații importante: valoarea lui  $R$  poate crește datorită încălzirii cu cca. 30 % față de „rezistența la rece” (corespunzătoare unui curent de excitație nul). Din acest motiv adoptarea unei

reglări adaptive în funcție de R este prioritară față de o reglare adaptivă în funcție de M sau  $F_{eo}$ . Matricile  $\eta$  și  $\xi$  din rel.(VIII-10), necesare pentru stabilirea legilor de adaptare  $K_p(R)$ ,  $K_v(R)$  și  $K_a(R)$ , sînt:

$$\underline{\eta} = \text{diag} \left[ 0, 0, bK_{aoR} \frac{1}{R} \right] ; \quad \underline{\xi} = \underline{0} \quad .$$

#### 5.3.4. Influența modificării parametrului $K_c$ .

Parametrul  $K_c$  este coeficientul de transfer al sursei de alimentare a electromagnetului. Modificarea sa este echivalentă, așa cum s-a precizat la pct.4.2., cu a considera că parametrii  $K_p$ ,  $K_v$  și  $K_a$ , ai compensatorului, se modifică simultan și în aceeași proporție. Variația simultană este importantă numai d.p.d.v. al analizei sensibilității regimurilor dinamice ale sistemului. Privind regimul staționar constant, în acord cu rel.(5.75) este importantă numai modificarea lui  $K_p$ . În cazul cînd  $K_p^*$  este valoarea inițială, noua valoare a lui  $K_p$  va fi  $K_p^* K_c' / K_{co}$  ( $K_{co}$ -valoarea nominală a lui  $K_c$ , iar  $K_c'$ -valoarea modificată).

#### 5.3.5. Influența modificării independente a parametrilor $K_p$ , $K_v$ și $K_a$ .

Aceasta este importantă din următoarele considerente: (i) formularea unor precizări privind acordarea experimentală a blocului de reglare (referitoare la succesiunea de ajustare și la abaterile admise pentru cei trei parametri față de valorile lor nominale); (ii) estimarea consecințelor unor modificări accidentale, relativ mari, ale parametrilor. Astfel:

(i) Realizarea practică a unei variante optime, d.p.d.v. teoretic, nu este posibilă datorită erorilor de diverse naturi (identificare, calcul ajustare experimentală). Ordinul de mărime al abaterilor admise se poate estima corelînd rezultatele de la studiul sensibilității SLEM-B în raport cu modificarea simultană a celor trei parametri (pct.5.2.3) cu rezultatele de la pct.5.2.2.1. + 5.2.2.3. D.p.d.v. al regimului staționar constant, rel.(5.75) implică condiția  $K_p > K_{po}$ . Practic se impune introducerea unui coeficient de siguranță  $\varphi_{Kp}$ :

$$K_p \geq \varphi_{Kp} K_{po} \quad , \quad \varphi_{Kp} > 1,5 \quad .$$

Privind succesiunea de ajustare experimentală se apreciază că pe baza relațiilor literale nu se pot formula în mod simplu recomandări, rezolvarea unui caz numeric, particular, fiind însă în măsură de a furniza informații cu caracter general.

(ii) O primă condiție care se cere la modificări mari ale parametrilor este ca aceste modificări să nu contravină condițiilor de stabilitate (v. pct.5.4). O a doua condiție constă în asigurarea funcționării SLEM prin evitarea impactului dintre electromagnet și șină. Analiza unui astfel de regim, în cazul general, se consideră ineficientă dată fiind

necesitatea completării MM-ISI (5.5) cu relații particulare care să surprindă funcționarea neliniară a sistemului în cazurile cele mai defavorabile.

### 5.3.6. Influența erorii de măsură $\tilde{Z}_{m\epsilon}$ a traductorului de accelerație.

Aceasta se apreciază plecând de la relația de definiție (4.41). Din rel.(5.1) și rel.(4.41) se obține:

$$U_a = K_p Z_\delta + K_v \dot{Z}_\delta + K_a \ddot{Z}_m + \tilde{Z}_\delta = \underline{K}^T \underline{X}_1 + \tilde{Z}_\delta + K_a \tilde{Z}_{m\epsilon} \quad (5.78)$$

eroarea de măsură a accelerației acționând aditiv cu mărimea de conducere (ca și când în loc de  $\tilde{Z}_\delta$  s-ar prescrie  $\tilde{Z}_\delta + K_a \tilde{Z}_{m\epsilon}$ ). Cu urmarea aprecierea influenței lui  $\tilde{Z}_{m\epsilon}$  se face prin f.d.t.(5.12), respectiv pe baza considerentelor dezvoltate la pct.5.2.2.1. D.p.d.v. practic influența cea mai importantă se datorește componentei continue  $\tilde{Z}_{m\epsilon 0}$  a lui  $\tilde{Z}_{m\epsilon}$ , care determină reglarea întrefierului cu eroarea:

$$\Delta Z_{\delta 0, \tilde{Z}_m} = -(K_a \tilde{Z}_{m\epsilon 0}) / (K_p - K_{p0})$$

Ea se elimină aplicând unul din cele două procedee menționate la pct. 4.2.4.

### 5.3.7. Puterea de comandă a SLEM-B.

Puterea de comandă a SLEM-B se calculează în principiu conform celor precizate la pct. 4.2.5. Privind utilizarea relațiilor din acest paragraf sînt importante două aspecte:

(i) Modificarea punctului de funcționare staționară în raport cu diverși parametri, în sensul celor precizate la punctele anterioare, determină modificarea valorilor lui  $I_0$  și  $U_{a0}$  conform rel.(5.74) + (5.76), respectiv a valorii puterii de comandă în acord cu rel.(4.50) + (4.52).

(ii) Calcularea valorii medii patratice  $\overline{\Delta U_a^2}$  cu rel.(4.47) nu este posibilă în cazul SLEM-B, întrucît pentru schema din fig.5.1. rezultă:

$$G_{Z_s U_a}(s) = - \frac{s^2}{\Delta(s)} \left[ K_v s^2 + (K_p - b K_v K_{a0} - b K_v K_a) s + b (K_{p0} K_a - K_p K_{a0}) \right] \quad (5.79)$$

respectiv o valoare infinită pentru integrala (4.47). Rezultatul se explică prin faptul că expresia (4.6) a d.s.p.  $S_{Z_s Z_s}$  a fost definită pentru  $\omega \in (0, \infty)$ . Acest mod de definire nu deranjează în cazul sistemului considerat la calculul lui  $\sigma_{Z_\delta}$ , cînd rezultatul obținut cu rel.(5.35) furnizează o valoare apropiată de valoarea corectă. Situația din cazul lui  $\overline{\Delta U_a^2}$  se corectează modificînd limitele integralei (4.47), la fel ca și ale integralei (4.48), la intervalul  $(0, 2 \div 50)$  Hz, la fel ca și în cazul indicelui de disconfort (4.16), adică:

$$\overline{\Delta U_a^2} = 2 \int_{0,2}^{50} S_{U_a U_a}(\omega) d\omega \quad ; \quad \overline{\Delta I^2} = \int_{0,2}^{50} S_{II}(\omega) d\omega \quad (5.80)$$

#### 5.4. Proiectarea compensatorului de stabilizare al SLEM-B.

Proiectarea SLEM-B constă în determinarea parametrilor  $K_p$ ,  $K_v$  și  $K_a$  ai compensatorului de stabilizare  $K$ , rel.(5.1), astfel încît să se asigure într-o măsură cît mai mare satisfacerea performanțelor impuse. Problema nu are o soluție unică, iar satisfacerea tuturor performanțelor impuse este imposibilă.

Prezentarea făcută în continuare abordează problema proiectării lui  $K$  a.p.d.v. al unei polioptimizări, în concret al optimizării comportării SLEM-B în regim liber și în regimuri forțate, metoda propusă conducînd la o soluție de compromis care poate satisface o bună parte din performanțele impuse, ușurînd - în cazul VPM - sarcina sistemului secundar de suspensie.

Astfel la pct.5.4.1. se stabilesc condițiile pe care parametrii compensatorului trebuie să le satisfacă pentru ca regimul liber al SLEM-B să rezulte optim în raport cu un indice de calitate patratric, în condițiile limitării superioare a valorilor parametrilor compensatorului. Rezultatul îl constituie stabilirea unui domeniu în planul parametrilor  $\langle K_p, K_a \rangle$ . Rezolvarea acestei probleme constituie parcurgerea unei prime etape de optimizare. Problemele aferente unei a doua etape de optimizare și anume a optimizării regimurilor forțate ale SLEM-B fac obiectul pct. 5.4.2. Restricțiile care se impun, menționate în majoritate la pct. 5.2. și 5.3. conduc fie la restrîngerea domeniului rezultat la pct.5.4.1 fie la reducerea lui la o singură traiectorie, micșorîndu-se astfel rolul factorului arbitrar caracteristic problemelor de optimizare în spații multidimensionale.

#### 5.4.1. Considerente referitoare la proiectarea compensatorului de stabilizare în condiții de optimizare cu restricții a regimului liber al SLEM-B.

##### 5.4.1.1. Criteriile de calitate considerate.

Regimul liber al SLEM-B este redat de ec.(5.5) considerînd:

$$\begin{aligned} \tilde{Z}_f(t) &= 0 ; F_e(t) = 0 ; Z_s(t) = 0 ; \\ \underline{X}_1(0) &= [Z_f(0) \quad \dot{Z}_f(0) \quad \ddot{Z}_m(0)]^T = \underline{X}_{10} \end{aligned} \quad (5.81)$$

ceea ce se interpretează: „variații nule ale mărimilor de intrare și condiții inițiale oarecari, bine precizate”.

Pentru aprecierea regimurilor libere se consideră indicii de calitate patratrici [186,43] :

$$I(U_a) = 0,5 \int_0^{\infty} [q_p^2 z_f^2(t) + q_a^2 \ddot{Z}_m^2(t) + U_a^2(t)] dt \quad (5.82)$$

$$I'(U_a) = 0,5 \int_0^{\infty} [q_p^2 z_f^2(t) + q_v^2 \dot{Z}_f^2(t) + q_a^2 \ddot{Z}_m^2(t) + U_a^2(t)] dt \quad (5.83)$$

Proiectarea compensatorului  $\underline{K}$  se face adoptând drept criteriu de calitate minimizarea unuia din acești doi indici în condițiile limitării superioare a amplificărilor lui  $\underline{K}$  la valorile  $K_p \max$ ,  $K_v \max$  și  $K_a \max$  adoptate de proiectant, adică considerând indicii de calitate (5.82) și (5.83) ca funcții obiectiv și relațiile:

$$K_p \leq K_p \max, \quad K_v \leq K_v \max, \quad K_a \leq K_a \max \quad (5.84)$$

ca restricții (de tip inegalitate).

Alegerea indicelui de calitate sub forma (5.82) conduce la o polioptimizare [25]. Astfel prin primul termen se urmărește reducerea variațiilor întrefierului și a probabilității de producere a impactului între electromagnet și șină. Prin cel de-al doilea termen se caută reducerea variațiilor accelerației de deplasare pe verticală a electromagnetului și prin aceasta asigurarea unui grad de confort cât mai bun. În fine, prin cel de-al treilea termen se tinde spre minimizarea variațiilor cârmii de comandă, respectiv a consumului de putere. Limita superioară a indicelui integral s-a admis infinită din considerentul practic că SES-1L are o durată de funcționare mult mai mare decât constantele sale de timp. Având în vedere că interesează numai variantele stabile de SLEM-B, rezultă că prin criteriul de calitate adoptat se asigură principial satisfacerea principalelor cerințe ale performanțelor calitative de la pct.4.1. Asigurarea celorlalte cerințe este posibilă fie prin considerarea unor indici de calitate mai cuprinzători, fie printr-o alegere adecvată a valorilor ponderilor  $q_p$  și  $q_a$ .

Integrandul indicelui de calitate  $I'(U_g)$  diferă de cel al indicelui  $I(U_g)$  prin termenul  $q_v^2 \dot{Z}_\delta^2(t)$ . Așa cum se arată la pct.5.4.1.4 prezența lui este importantă d.p.d.v. matematic datorită variației parametrilor SES-1L cu diverși factori. Acționând în sensul reducerii vitezei de variație a întrefierului, el are un efect favorabil numai la viteze mici de creșteră. La viteze mari acest termen acționează în sensul reducerii confortului de călătorie, pe cînd la viteze mici în sensul reducerii vitezei de reglare. Din acest motiv ponderea  $q_v$  se alege de valoare mică.

Restricțiile (5.84) exprimă considerente legate de posibilitatea de realizare practică a compensatorului și de protecția acestuia față de zgomete.

#### 5.4.1.2. Incadrarea problemei de calcul a compensatorului ca o problemă de stabilizare optimă cu restricții.

Având în vedere precizările de la pct. 5.4.1.1., proiectarea compensatorului  $\underline{K}$  al SLEM-B din fig.5.1. se reduce la „sinteza regulatorului optim” al unui sistem liniar, neted, invariant în timp [4,122,176,181,24], care reprezintă de fapt o problemă de stabilizare optimă a SES-1L [25].



Identificând indicii de calitate  $I(U_a)$  și  $I'(U_a)$  cu forma canonică:

$$I(\underline{u}) = \frac{1}{2} \int_0^{\infty} [\underline{x}^T \underline{Q} \underline{x} + \underline{u}^T \underline{R} \underline{u}] dt \quad (5.85)$$

rezultă că matricile de ponderare ale indicilor de calitate adoptați au respectiv, expresiile:

$$\underline{Q} = \text{diag} [q_p^2, 0, q_a^2] ; \quad \underline{R} = [1] ; \quad (5.86)$$

$$\underline{Q} = \text{diag} [q_p^2, q_v^2, q_a^2] ; \quad \underline{R} = [1] . \quad (5.87)$$

Ele verifică proprietățile cerute de problema de stabilizare optimală, astfel că determinarea legii de comandă  $U_a(X_1)$  se rezumă la rezolvarea ecuației algebrice Riccati:

$$\underline{P} \underline{A} + \underline{A}^T \underline{P} - \underline{P} \underline{B}_c \underline{R}^{-1} \underline{B}_c^T \underline{P} + \underline{Q} = \underline{0} , \quad (5.88)$$

în raport cu matricea constantă simetrică

$$\underline{P} = \begin{bmatrix} P_{11} & P_{12} & P_{13} \\ P_{12} & P_{22} & P_{23} \\ P_{13} & P_{23} & P_{33} \end{bmatrix} \quad (5.89)$$

Odată rezolvată ec.(5.88) compensatorul se calculează cu relația:

$$\underline{K}^T = -\underline{R}^{-1} \underline{B}_c^T \underline{P} = -b [p_{13} \quad p_{23} \quad p_{33}] . \quad (5.90)$$

Din cele două expresii - (5.2) și (5.90) - ale lui  $\underline{K}$  rezultă relațiile de legătură:

$$K_p = -bp_{13} ; \quad K_v = -bp_{23} ; \quad K_a = -bp_{33} . \quad (5.91)$$

Pe de altă parte se observă că sistemul (5.5) este condiționat stabil, criteriul de stabilitate Hurwitz aplicat ecuației caracteristice (5.6) furnizând trei condiții de stabilitate asimptotică:

$$\begin{aligned} -b(K_a + K_{a0}) &> 0 \\ b^2(K_a + K_{a0})(K_v - K_{v0}) + b(K_p - K_{p0}) &> 0 \\ -b(K_p - K_{p0}) &> 0 . \end{aligned} \quad (5.92)$$

Parametrii SES-1L fiind strict pozitivi, din rel.(3.28) și (3.29) rezultă

$$b < 0 , \quad K_{p0} > 0 , \quad K_{v0} > 0 , \quad K_{a0} > 0 ,$$

iar condițiile de stabilitate (5.92) devin:

$$K_a > -K_{a0} , \quad (5.93-1)$$

$$b^2(K_a + K_{a0})(K_v - K_{v0}) + b(K_p - K_{p0}) > 0 , \quad (5.93-2)$$

$$K_p > K_{p0} . \quad (5.93-3)$$

Pe baza celor prezentate pînă aici sinteza compensatorului SLEM-B revine la rezolvarea ec.(5.88) pentru un  $\underline{Q}$  ales, astfel încît parametrii  $K_p$ ,  $K_v$  și  $K_a$  ai compensatorului, legați prin rel.(5.91) de soluția ec.(5.88), să satisfacă condițiile (5.93) și restricțiile suplimentare (5.84).

În cazul indicelui de calitate (5.82) problema are două grade de libertate corespunzătoare adoptării ponderilor  $q_p$  și  $q_a$ , iar în cazul indicelui de calitate (5.83) problema are trei grade de libertate, corespunzătoare lui  $q_p$ ,  $q_v$  și  $q_a$ .

5.4.1.3. Stabilirea domeniului soluției problemei de stabilizare optimală cu restricții în cazul indicelui de calitate  $I(U_a)$ .

O rezolvare a acestei probleme a fost prezentată de autor în [43,30], iar în [27,71] se abordează pe această bază cazuri de studiu concrete. În cele ce urmează se dezvoltă o variantă îmbunătățită de rezolvare, utilizată recent pentru proiectarea unui VPM [166]. Domeniul de existență al soluției problemei este în principiu domeniul  $\mathcal{D}$  din fig.5.8, parametrul  $K_v$  determinându-se cu rel.(5.99).

În continuare se prezintă calea pe care s-a ajuns la acest rezultat și se analizează unele aspecte legate de el. Principalele etape ale rezolvării problemei sînt, în esență, următoarele:

- Se explicitază sistemul de ecuații neliniare cuprins în ec.(5.83):

$$b^2 p_{13}^2 + 2bK_{po}p_{13} - q_p^2 = 0 \quad (5.94-1)$$

$$b^2 p_{13}p_{23} + bK_{po}p_{23} + bK_{vo}p_{13} - p_{11} = 0 \quad (5.94-2)$$

$$b^2 p_{13}p_{33} + bK_{po}p_{33} - bK_{ao}p_{13} - p_{12} = 0 \quad (5.94-3)$$

$$b^2 p_{23}^2 + 2bK_{vo}p_{23} - 2p_{12} = 0 \quad (5.94-4)$$

$$b^2 p_{23}p_{33} + bK_{vo}p_{33} - bK_{ao}p_{23} - p_{13} - p_{22} = 0 \quad (5.94-5)$$

$$b^2 p_{33}^2 - 2bK_{ao}p_{33} - 2p_{23} - q_a^2 = 0 \quad (5.94-6)$$

- Din rel.(5.91) se observă că matricea  $\underline{K}$  depinde doar de trei dintre elementele matricii  $\underline{P}$ :  $p_{13}$ ,  $p_{23}$  și  $p_{33}$ . Acestea se obțin ca soluții ale sistemului de ec.(5.95) rezultat din ec.(5.94) și relațiile de legătură (5.91):

$$K_p^2 - 2K_{po}K_p - q_p^2 = 0 \quad (5.95-1)$$

$$K_a^2 + 2K_{ao}K_a + \frac{2}{b}K_v - q_a^2 = 0 \quad (5.95-2)$$

$$K_v^2 - 2K_{vo}K_v - 2K_{ao}K_p - 2K_aK_p + 2K_{po}K_a = 0 \quad (5.95-3)$$

- Din ec.(5.95-1) rezultă pe de-o parte relația

$$q_p = \sqrt{K_p(K_p - 2K_{po})} \quad (5.96)$$

care, avînd în vedere că  $q_p$  este un parametru real nenul, stabilește împreună cu rel.(5.84) că intervalul în care  $K_p$  poate lua valori (se observă că acesta nu contravine condiției (5.95-3)) este:

$$2K_{po} < K_p \leq K_p \max \quad (5.97)$$

iar pe de altă parte stabilește relația de calcul a lui  $K_p$  pe acest interval:

$$K_p = K_{po} + \sqrt{K_{po}^2 + q_p^2} \quad (5.98)$$

Intrucît  $\Delta(s)$  este un polinom Hurwitz, din rel.(5.95-3) rezultă:

$$K_v = K_{vo} + \sqrt{K_{vo}^2 + 2(K_a + K_{ao})(K_p - K_{po}) + 2K_{ao}K_{po}} \quad (5.99)$$

Rel.(5.95-2) poate fi scrisă sub forma:

$$(K_a + K_{ao})^2 - K_{ao}^2 + \frac{2}{b} K_v = q_a^2 \quad (5.100)$$

- Condițiile de existență ale unei soluții reale pentru ecuația rezultată din rel.(5.99) și (5.100), prin eliminarea lui  $K_v$  sînt:

$$\left\{ \frac{b^2}{4} \left[ (K_a + K_{ao})^2 - K_{ao}^2 + \frac{2}{b} K_{vo} \right]^2 - K_{vo}^2 - 2K_{ao}K_{po} \right\} \frac{1}{2(K_a + K_{ao})} \geq K_p - K_{po} \quad (5.101-1)$$

și  $K_a \geq -K_{ao} + \sqrt{K_{ao}^2 - \frac{2}{b} K_{vo}}$ . Avînd în vedere și rel.(5.84) rezultă că intervalul în care  $K_a$  poate lua valori este:

$$-K_{ao} + \sqrt{K_{ao}^2 - \frac{2}{b} K_{vo}} \leq K_a \leq K_{a \max} \quad (5.101-2)$$

- Înlocuind  $K_v$  dat de rel.(5.99) în inecuația (5.93-2) și ținînd seama de rel.(5.97) rezultă condiția echivalentă:

$$K_{po} < K_p - K_{po} < b^2(K_a + K_{ao})^3 - b(K_a + K_{ao}) \sqrt{b^2(K_a + K_{ao})^4 + 2K_{ao}K_{po} + K_{vo}^2} \quad (5.102)$$

- Odată obținute rel.(5.97) și (5.102), problema stabilirii unei perechi  $\{q_p, q_a\}$  devine problema stabilirii punctului  $H(K_p - K_{po}, K_a + K_{ao})$  care să satisfacă inecuațiile (5.97), (5.101), (5.102) și (5.103) (ultima inecuație a rezultat din rel.(5.99) și (5.84)):

$$(K_a + K_{ao})(K_p - K_{po}) \leq \frac{1}{2}(K_v^2 \max - 2K_{vo}K_v \max - 2K_{ao}K_{po}) \quad (5.103)$$

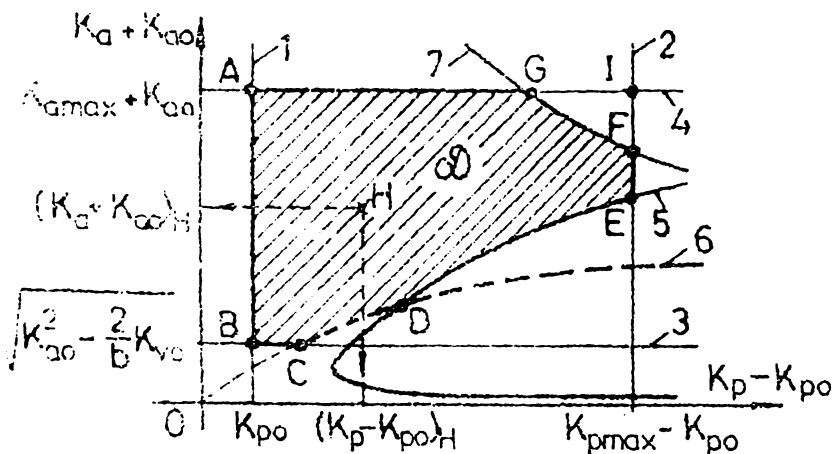


Fig. 5.8. Relativă la stabilirea domeniului în care perechea  $\{K_p, K_a\}$  poate lua valori.

(Dreptele 1 și 2 corespund rel.(5.97), dreptele 3 și 4 - rel.(5.101-2), curba 5 membrului stînga al rel.(5.101-1) curba 6 membrului drept al rel.(5.102), iar curba 7 membrului drept al rel.(5.103)).

- Problema se soluționează cel mai simplu pe cale grafică. Soluția ei este domeniul  $\mathcal{D}$  (hașurat) din fig.5.8., situat în cadranul I al planului  $\langle K_p - K_{po}, K_a + K_{ao} \rangle$  amplasat simultan :

- (i) - între dreptele 1 și 2,
- (ii) - între dreptele 3 și 4,
- (iii) - la stînga curbelor 5 și
- (iv) - sub hiperbola echilaterală

Reprezentările din această figură sînt reprezentări de principiu.

- Soluția problemei de optim în planul  $\langle q_p, q_a \rangle$  se obține considerînd transformarea definită de rel.(5.96) și relația:

$$q_a = \sqrt{(K_a + K_{ao})^2 - K_{ao}^2 + \frac{2}{b} K_v} \quad (5.104)$$

$K_v$  avînd expresia (5.99). Astfel, principial, pe baza acestei transformări domeniul  $\mathcal{D}$  din fig.5.8. se transformă în domeniul  $\mathcal{D}_q$  din fig.5.9 (rel.(5.104) s-a obținut din rel.(5.95-2)), punctele  $A', B', \dots$  corespunzînd punctelor  $A, B, \dots$ .

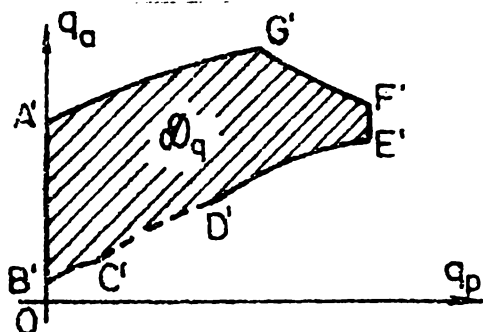


Fig. 5.9. Relativă la transformarea domeniului de existență a soluției de optim din planul  $\langle K_p - K_{po}, K_a + K_{ao} \rangle$  în planul  $\langle q_p, q_a \rangle$ .

Domeniul  $\mathcal{D}$  obținut pe calea indicată reprezintă mulțimea tuturor perechilor de valori  $\{K_p, K_a\}$  pentru care indicele de calitate (5.82), corespunzător SLEM-B din fig. 5.1., poate fi minimizat în acord cu „problema reglării optimale” a unui sistem linear continuu, invariant în timp, parametrii compensatorului fiind limitați superior potrivit rel.(5.84). Odată ales un punct  $H$  în domeniul  $\mathcal{D}$ , parametrii compensatorului se calculează astfel:

$$K_p^* = (K_p - K_{po})_H + K_{po} \quad (5.105-1)$$

$$K_a^* = (K_a + K_{ao})_H - K_{ao} \quad (5.105-2)$$

$$K_v^* = K_{vo} + \sqrt{K_{vo}^2 + 2(K_a^* + K_{ao})(K_p^* - K_{po}) + 2K_{ao}K_{po} + q_v^2} \quad (5.105-3)$$

iar valorile lui  $q_p$  și  $q_a$  rezultă cu rel.(5.96) și (5.100).

Frontierele domeniului  $\mathcal{D}$  corespund satisfacerii la limită a diferitelor condiții impuse. Astfel, în fig.5.8. punctele de pe laturile  $AB$ ,  $BC$  și  $DE$  satisfac la limită condițiile de existență a unei soluții pentru ecuația algebrică Riccati (5.88), punctele de pe laturile  $EF$ ,  $FG$  și  $GA$  satisfac la limită condițiile (5.84), iar punctele de pe latura  $CD$  corespund limitei de stabilitate. Intrucît pentru aceste ultime puncte sistemul este instabil, latura  $CD$  nu aparține domeniului  $\mathcal{D}$ . Pentru a evidenția acest fapt ea a fost reprezentată cu linie întreruptă. Analog, în fig.5.9. latura  $C'D' \notin \mathcal{D}_q$ . Totodată trebuie observat că domeniul  $\mathcal{D}$  reprezintă doar o parte a domeniului de stabilitate al SLEM-B. În fine trebuie menționat că în funcție de valorile parametrilor SES-1L și a limitelor impuse, configurația domeniului  $\mathcal{D}$  se poate schimba, numărul de laturi modificîndu-se (spre ex. dacă curba 7 este deasupra punctului I, atunci dispare latura  $FG$  ș.a.m.d.).

Din cele mai sus prezentate rezultă că în loc de a exploata cele două grade de libertate  $q_p$  și  $q_a$  este mai avantajos să se utilizeze cele două grade de libertate reprezentate de  $K_p$  și de  $K_a$ . Așa cum s-a menționat, aceste două grade de libertate pot fi utilizate în continuare pentru optimizarea unor regimuri forțate ale SLEM-B, în speță astfel

incît să fie satisfăcute și unele condiții de calitate empirice sau energetice în raport cu cel puțin una din mărimile de intrare ale SLEM-B. Rezolvarea acestei probleme este prezentată la pct.5.4.2.

5.4.1.4. Stabilirea domeniului soluției problemei de stabilizare optimă cu restricții în cazul indicelui de calitate  $I'(U_a)$ .

Indicele de calitate  $I(U_a)$  este utilizabil în ipoteza că parametrii SES-LL sînt constanți. Practic, ei pot avea - de la caz la caz - variații mai mult sau mai puțin pronunțate. Într-o astfel de situație, modificarea punctului de funcționare conduce, în condițiile unui compensator  $K$  constant și bine precizat, la nerespectarea relației de legătură (5.99) și prin aceasta la compromiterea indicelui  $I(U_a)$ .<sup>†)</sup>

Utilizarea indicelui de calitate  $I'(U_a)$  conduce la următoarele modificări ale relațiilor de la pct.5.4.1.3.:

$$b^2 p_{23}^2 + 2bK_{vo} p_{23} - 2p_{12} - q_v^2 = 0 \quad (5.94^*-4)$$

$$K_v^2 - 2K_{vo}K_v - 2K_{ao}K_p - 2K_aK_p - 2K_aK_{po} - q_v^2 = 0 \quad (5.95^*-3)$$

$$K_v = K_{vo} + \sqrt{K_{vo}^2 + 2(K_a + K_{ao})(K_p - K_{po}) + 2K_{ao}K_{po} + q_v^2} \quad (5.99^*)$$

$$\left\{ \frac{b^2}{4} [(K_a + K_{ao})^2 - K_{ao}^2 + \frac{2}{b} K_{vo}]^2 - K_{vo}^2 - 2K_{ao}K_{po} - q_v^2 \right\} \frac{1}{2(K_a + K_{ao})} \gg K_p - K_{po} \quad (5.101^*-1)$$

$$K_{po} < K_p - K_{po} < b^2(K_a + K_{ao})^3 - b(K_a + K_{ao}) \sqrt{b^2(K_a + K_{ao})^4 + 2K_{ao}K_{po} + K_{vo}^2 + q_v^2} \quad (5.102^*)$$

$$(K_a + K_{ao})(K_p - K_{po}) \leq \frac{1}{2}(K_v^2 \max - 2K_{vo}K_v \max - 2K_{ao}K_{po} - q_v^2). \quad (5.103^*)$$

Soluționarea problemei de optimizare se realizează în trei etape:

- (i) Se adoptă o valoare pentru  $q_v$ .
- (ii) Se construiește domeniul  $\mathcal{D}$  folosind, acolo unde este cazul, relațiile modificate notate cu accent.
- (iii) Se adoptă punctul H (v. fig.5.8), parametrii compensatorului calculîndu-se cu rel.(5.105-1), (5.105-2) și cu relația:

$$K_v^* = K_{vo} + \sqrt{K_{vo}^2 + 2(K_a^* + K_{ao})(K_p^* - K_{po}) + 2K_{ao}K_{po} + q_v^2}. \quad (5.105^*-3)$$

Valorile corespunzătoare ale ponderilor  $q_p$  și  $q_a$  se obțin cu rel. (5.96) și (5.104).

Spre deosebire de  $I(U_a)$ , indicele de calitate  $I'(U_a)$  este utilizabil și în cazul cînd parametrii SES-LL nu sînt constanți. Pentru a dovedi acest lucru se consideră că în urma modificării punctului de funcționare față

<sup>†)</sup> Modificarea parametrilor SES-LL determină în situația menționată o mică modificare a domeniului  $\mathcal{D}$  și a poziției punctului H. Acelorași valori ale lui  $K_p$  și  $K_a$  le corespund noi valori pentru  $q_p$  și  $q_a$ . Nevalidarea rel.(5.99), este echivalentă cu nevalidarea noilor valori ale acestor ponderi, deci cu a indicelui de calitate în sine.

de punctul nominal parametrării SES-1L iau noile valori  $K'_{po}$ ,  $K'_{vo}$ ,  $K'_{ao}$  și  $b'$ . Păstrarea compensatorului  $\underline{K}$ , fără modificarea coeficienților săi, este echivalentă cu modificarea valorilor ponderilor  $q_p$ ,  $q_v$  și  $q_a$  la valorile:

$$q'_p = \sqrt{K_p(K_p - 2K'_{po})} \quad ; \quad q'_a = \sqrt{(K_a + K'_{ao})^2 - K'_{ao}{}^2 + \frac{2}{b'} K_v} \quad ;$$

$$q'_{v'} = \sqrt{(K_v - K'_{vo})^2 - 2(K_a + K'_{ao})(K_p - K'_{po}) - K'_{vo}{}^2 - 2K'_{ao}K'_{po}} \quad .$$

În consecință modificarea punctului de funcționare staționară, în condițiile utilizării unui compensator  $\underline{K}$  constant și bine precizat, este echivalentă cu modificarea indicelui de calitate (5.83) sub forma:

$$I'(U_a) = \int_0^{\infty} [q_p'^2 Z^2(t) + q_v'^2 \dot{Z}^2(t) + q_a'^2 \ddot{Z}_m^2(t) + U_a^2(t)] dt \quad .$$

Acest rezultat permite următoarea observație: Considerînd compensatorul  $\underline{K}$  calculat în acord cu indicele de calitate  $I(U_a)$ , dacă prin modificarea punctului de funcționare staționară este satisfăcută condiția:

$$(K'_{po} - K_{vo}) K_a \geq (K'_{vo} - K_{vo}) K_v + (K'_{ao} - K_{ao}) K_p \quad , \quad (5.106)$$

atunci comportarea SLEM-B corespunde situației cînd același compensator s-ar fi acordat cu indicele de calitate  $I'(U_a)$  cu ponderile de eroare  $q'_p$ ,  $q'_v$  și  $q'_a$ . În cazul în care condiția menționată nu este satisfăcută acordarea compensatorului  $\underline{K}$  la SES-1L nu mai corespunde optimizării după nici unul din indicii de calitate  $I(U_a)$  și  $I'(U_a)$ .

În continuare se presupune utilizat indicele de calitate  $I'(U_a)$  întrucît  $I(U_a) = I'(U_a) \Big|_{q_v=0}$ .

#### 5.4.2. Considerente referitoare la proiectarea compensatorului de stabilizare în condiții de optimizare a regimurilor forțate ale SLEM-B.

Ca punct de plecare se consideră rezultatul obținut în paragraful 5.4.1 scopul urmărit constînd în proiectarea compensatorului  $\underline{K}$  (adică în stabilirea punctului H din domeniul  $\mathcal{D}$  - fig.5.8) de așa manieră încît SLEM-B să satisfacă anumite restricții în raport cu mărimile de intrare  $\tilde{Z}_f$ ,  $F_e$  și  $Z_s$ . Aceste restricții au fost stabilite în cea mai mare parte în paragrafele anterioare.

1° - În raport cu mărimea de conducere  $\tilde{Z}_f$  se impune în primul rînd considerarea parțială sau completă a restricțiilor de tip inegalitate (5.16). Ele conduc în general la restrîngerea domeniului în care  $K_p$  și  $K_a$  pot lua valori și anume la un subdomeniu al domeniului  $\mathcal{D}$ .

În al doilea rînd, se face observația că pentru stabilirea punctului H se poate considera și minimizarea indicilor de calitate integrali:

$$J_1 = \int_0^{\infty} [h_{Z_f} \tilde{Z}_f(t) - h_{Z_f} \tilde{Z}_f(\infty)]^2 dt \quad (5.107)$$

și

$$J_2 = \int_0^{\infty} \left\{ \left[ h_{Z_\delta Z_\delta}(t) - h_{Z_\delta Z_\delta}(\infty) \right]^2 + \tau_1^2 \dot{h}_{Z_\delta Z_\delta}^2(t) \right\} dt, \quad (5.108)$$

evaluabili cu ajutorul egalității lui Parseval, (5.30). (In rel.(5.107)  $h_{Z_\delta Z_\delta}(\infty) = -(K_p - K_{po})^{-1}$  reprezintă valoarea de regim staționar constant a răspunsului indicial.). Se obține:

$$J_1 = \frac{-(K_v - K_{vo})(K_p - K_{po}) - 3b(K_a + K_{ao})^2(K_p - K_{po}) - b(K_a + K_{ao})(K_{vo}^2 + 2K_{ao}K_{po})}{2b(K_p - K_{po})^3(K_v - K_{vo}) \left[ b(K_v - K_{vo})(K_a + K_{ao}) + (K_p - K_{po}) \right]} \quad (5.107')$$

$$J_2 = J_1 + \tau_1^2 \frac{-(K_a + K_{ao})}{2(K_p - K_{po})(K_v - K_{vo}) \left[ b(K_v - K_{vo})(K_a + K_{ao}) + (K_p - K_{po}) \right]} \quad (5.108')$$

Stabilirea punctului H devine acum o problemă de programare neliniară cu restricții și anume: „minimizarea funcției obiectiv  $J_1(K_p, K_v, K_a)$  sau  $J_2(K_p, K_v, K_a)$  în condițiile restricției de tip egalitate (5.99') și a restricțiilor de tip inegalitate ce delimitează domeniul  $\mathcal{D}$ ”. Rezolvarea acestei probleme sub formă literală (spre ex. prin metoda Hall-Phillips-Newton [181]) nefiind posibilă, pot fi luate în considerație doar soluționări numerice.

Intrucât, în general, minimizarea lui  $J_1$  conduce la procese puternic oscilante [150,24], se recomandă alegerea punctului H prin minimizarea lui  $J_2$ . Cu cât parametrul  $\tau_1$ , cu dimensiunea „timp”, are o valoare mai mare, cu atât - în condițiile problemei enunțate - răspunsul indicial va rezulta mai puțin oscilant și suficient de amortizat.

2° - În raport cu forța exterioară  $F_e$  trebuie avută în vedere considerarea parțială sau completă a restricțiilor de tip inegalitate (5.20), ele avînd un efect similar cu cel al restricțiilor (5.16).

3° - În raport cu mărimea  $Z_\delta$  principalele restricții de proiectare sînt exprimate de diagramele  $\omega_0 = f(Z_{\delta 0})$  stabilite la firma MBB pentru determinarea lărgimii de bandă a SLEM-1L, optime d.p.d.v. energetic (al puterii de comandă aparente sau reale).

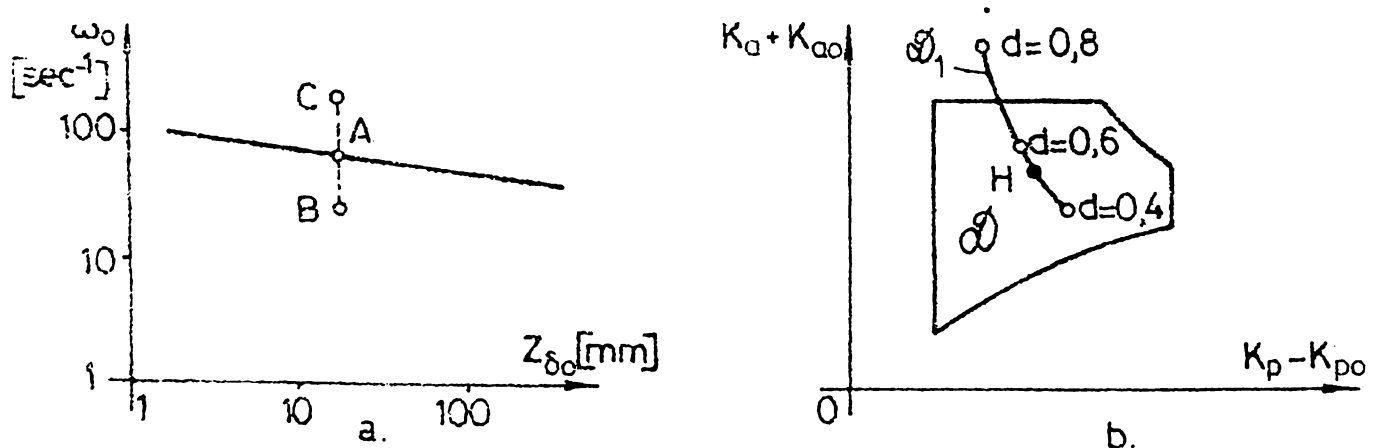


Fig. 5.10. Relativă la proiectarea compensatorului  $K$  pe bază de condiții de optim energetic: a) aspectul general al caracteristicilor de optim determinate la firma MBB; b) imaginea caracteristicilor de optim în domeniul  $\mathcal{D}$ .

Diagramele menționate apar în lucrările [62,66,65]. Ele au aspectul din fig.5.10.a., fiind trasate în coordonate logaritmice. Puterea de comandă necesară pentru levitare sau ghidare este minimă atunci când perechea de valori  $\{Z_{\delta_0}, \omega_0\} = \{\text{întrefier nominal, pulsație proprie dominantă a SLEM-B}\}$  corespunde unui punct de pe diagramă, cum este spre ex. punctul A. Dacă însă dimensionarea sistemului corespunde punctului B, adică  $\omega_0 < f(Z_{\delta_0})$ , atunci puterea de comandă este mai mică numai când SLEM-B lucrează la întrefier constant urmărind neregularitățile căii. În cazul dimensionării sistemului în punctul C, adică pentru  $\omega_0 > f(Z_{\delta_0})$ , o funcționare economică a sistemului necesită respectarea condiției  $Z_m = \text{const.}$ , electromagnetul nemai urmărind neregularitățile căii. În prezența ambelor categorii de perturbații ( $Z_{sp}$  perturbație completă), adică în cazul real, puterea de comandă din situațiile de dimensionare a SLEM-B în punctele B sau C este mai mare decât pentru situația de dimensionare în punctul A.

Avînd în vedere aspectul lor liniar, pentru diagramele  $\omega_0 = f(Z_{\delta_0})$  se pot stabili cu ușurință expresii analitice. Spre exemplu:

1.a - În cazul cînd drept criteriu de optim se utilizează minimizarea puterii aparente fără a se lua în considerație fluxul de dispersie sau

1.b - În cazul cînd drept criteriu de optim se utilizează minimizarea puterii reale cu sau fără considerarea fluxului de dispersie,

rezultă dependențele:

$$\lg Z_{\delta_0} + 2 \lg \omega_0 = 1 + \lg 2 \quad \text{sau} \quad \omega_0 = 10^{0,5 + \lg \sqrt{2/Z_{\delta_0}}} \quad (5.109)$$

2. - În cazul cînd drept criteriu de optim se utilizează minimizarea puterii reale cu considerarea fluxului de dispersie și a curenților turbionari, rezultă:

$$\lg Z_{\delta_0} \cdot \lg 5 + 2 \lg \omega_0 = 2 - \lg 5 \quad \text{sau} \quad \omega_0 = 10^{1 - \lg 5 \cdot \lg \sqrt{10 \cdot Z_{\delta_0}}} \quad (5.110)$$

În aceste relații  $Z_{\delta_0}$  se exprimă în  $m$ , iar  $\omega_0$  în  $\text{rad/sec}$ .

În ceea ce privește proiectarea compensatorului problema se pune astfel punctul H trebuie astfel determinat încît polii (5.8) să aibă  $\omega_0$  determinat în funcție de  $Z_{\delta_0}$  conform celor mai sus precizate. În aceste condiții, pentru proiectarea compensatorului mai rămîne disponibil un singur grad de libertate, restricțiile (5.109) și (5.110) fiind de tip egalitate. Cel mai potrivit parametru ce poate fi utilizat în acest scop este coeficientul de amortizare  $d$ , valoarea lui  $\omega_1$  rezultînd în mod nemijlocit.

Astfel, impunînd ecuației caracteristice (5.6) polii (5.8) cu  $\omega_0$  bine precizat, prin identificarea coeficienților rezultă sistemul neliniar de ecuații algebrice,



$$-b(K_a + K_{ao}) = \omega_1 + 2d\omega_0 ; -b(K_v - K_{vo}) = \omega_0^2 + 2d\omega_0\omega_1 ; -b(K_p - K_{po}) = \omega_1\omega_0^2.$$

Ținând seama, spre exemplu, de legătura (5.99') și considerînd pe  $d$  ca variabilă independentă rezultă:

$$K_p - K_{po} = \frac{\omega_0^3}{2} \sqrt{\frac{E}{d^2 - 0,5}} ; K_a + K_{ao} = \frac{\omega_0}{2} \sqrt{\frac{E}{d^2 - 0,5}} - 2 \frac{d}{b} \omega_0 \quad (5.111-1) \quad (5.111-2)$$

unde:

$$E = \frac{K_{vo}^2 + 2K_{ao}K_{po}}{\omega_0^4} - \frac{1}{b^2} .$$

Cele două relații definesc o traiectorie  $\mathcal{D}_1$  de parametru  $d$  :

$d \in (\frac{\sqrt{2}}{2}, 1)$  pentru  $E > 0$  și  $d \in (0, 1, \frac{\sqrt{2}}{2})$  pentru  $E < 0$ , situată parțial sau complet în domeniul  $\mathcal{D}$  (fig. 5.10.b). Odată adoptat  $d$ , polii  $p_{1,2,3}$  se obțin cu rel. (5.8) în care:

$$\omega_1 = -(b/\omega_0^2) \cdot (K_p - K_{po})_H .$$

#### 5.4.3. Metodologia de proiectare a compensatorului se stabilizează al SLEM-B.

Considerentele precizate în cadrul ultimelor două puncte impun ca metodologie de proiectare a compensatorului  $K$  cumulara în diverse variante a rezultatelor obținute pe parcursul lor. Aceste variante sînt determinate de modul de ordonare a importanței diferitelor regimuri forțate considerate. Indiferent de variantă, optimizarea cu restricții suplimentare a regimului liber se consideră obligatorie. Cu alte cuvinte punctul  $H$  ( $(K_p - K_{po})_H, (K_a + K_{ao})_H$ ) trebuie să aparțină domeniului  $\mathcal{D}$  (fig. 5.8), parametrii compensatorului calculîndu-se cu rel. (5.105) sau cu rel. (5.105-1), (5.105-2), (5.105'-3). Se consideră mai importante următoarele variante:

Cazul P-1.  $K$  se determină prin cumulara rezultatelor de la pct. 5.4.1. și 5.4.2-3<sup>o</sup>, ceea ce înseamnă că punctul  $H$  se alege pe porțiunea curbei  $\mathcal{D}_1$  situată în domeniul  $\mathcal{D}$ .

Calcululele constau în determinarea curbei  $\mathcal{D}_1$  prin puncte (pornind de la valori mari ale lui  $d$ ) și în verificarea condițiilor menționate în textul fig. 5.8.

Cazul P-2.  $K$  se determină prin cumulara rezultatelor de la pct. 5.4.1. și 5.4.2-1<sup>o</sup>.

Cazul P-3.  $K$  se determină prin cumulara rezultatelor de la pct. 5.4.1 și 5.4.2-2<sup>o</sup>.

Referitor la ultimele două cazuri trebuie observat că lipsa unor expresii explicite pentru indicii de calitate empirici definiți în răspunsul indicial -  $G_1$ ,  $t_1$  și  $t_r$  - face imposibilă explicitarea restricțiilor (5.16), respectiv (5.20), în funcție de coordonatele domeniului  $\mathcal{D}$ . Acest dezavantaj este parțial compensat de existența caracteristicilor de performanță  $G_1 = f_1(d)$ ,  $t_1 = f_2(d)$ ,  $t_r = f_3(d)$  ș.a.m.d. (v. anexa IV), sau de existența indicilor de calitate (5.107) și (5.108), care permit dezvoltarea unor metode euristice de stabilire a punctului H.

Spre exemplu, în [27] cazul P-2 se rezolvă în următoarele etape:

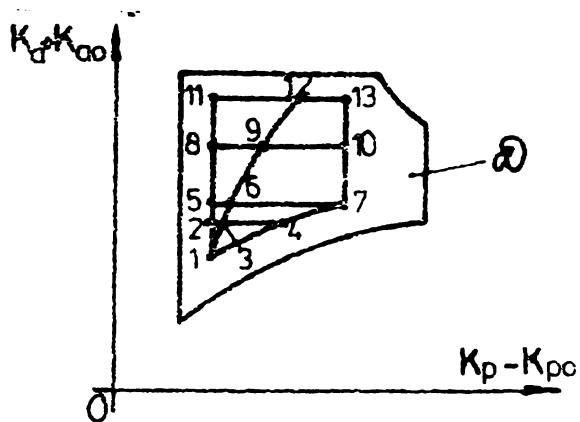


Fig. 5.11. Relativă la o metodă euristică de stabilire a punctului H.

1° - Se definește în planul domeniului  $\mathcal{D}$  o rețea de trasee cum este spre exemplu cea din fig. 5.11. Fie  $i = 1, 2, \dots$  nodurile rețelei.

2° - Se determină pentru fiecare nod „i” performanțele  $G_1$ ,  $t_M$ ,  $t_1$  și  $t_r$ , conform precizărilor din anexa IV - cazul IV-1. În acest scop, pentru fiecare nod „i” se calculează în prealabil parametrii compensatorului cu relațiile menționate și se pune polinomul caracteristic al SLEM-B sub forma (5.7).

3° - Se adoptă ca punct H unul dintre nodurile „i” în care indicii de calitate empirici satisfac complet sau parțial restricțiile (5.16).

Traseele definite (spre ex. traseul ce conține punctele 1, 3, 6, 9, 12) permit aprecierea modului în care indicii de calitate empirici se modifică în lungul lor, furnizând suficiente informații pentru a putea adopta punctul H și diferit de nodurile rețelei. Datorită erorilor care pot apărea în estimarea parametrilor SES-IL nu se recomandă alegerea lui H pe frontierele domeniului  $\mathcal{D}$ .

În ceea ce privește cazul P-1, se recomandă ca adoptarea finală a valorii lui  $d$  să se facă de asemenea în mod euristic, cumulând și rezultatele de la pct. 5.4.2-1° sau/și pct. 5.4.2-2°, iar în ceea ce privește cazurile P-2 și P-3 se recomandă interpretarea soluției conform fig. 5.10.a.

Considerentele mai sus precizate permit etapizarea metodologiei de proiectare a compensatorului  $\underline{K}$  al SLEM-B după cum urmează:

- a. Se stabilește punctul nominal al SES-IL și se procedează la corectarea valorilor lui  $M_0$  și R în concordanță cu precizările de la pct.

4.1-(i), 4.1-(ii), 5.3.1. și 5.3.3. Se determină parametrii derivați ai SES-1L conform capitolului 3.

b. Se calculează compensatorul  $\underline{K}$  conform unuia din cazurile P-1, P-2, P-3 de mai sus.

c. Se validează rezultatul obținut prin verificarea modului de comportare al SLEM-B în condiții considerate semnificative. Principalele mijloace sînt:

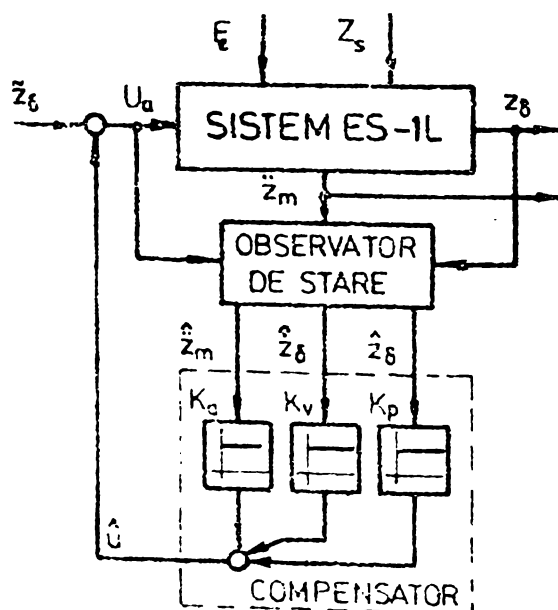
- studiul diverselor regimuri tranzitorii la funcționarea SLEM-B în vecinătatea punctului nominal, prin integrarea ec.(5.5) și verificarea pe această bază a umora dintre restricțiile neluate în considerație la pct. b. de mai sus;
- studiul diverselor regimuri tranzitorii în vecinătatea unor puncte de funcționare diferite de cel nominal;
- analiza sensibilității SLEM-B în raport cu diverși parametri.

În cazul VPM se impune verificarea întrefierului nominal, testul avînd calitatea de a valida sau nu soluția obținută. Verificarea confortului de călătorie, conform celor precizate în cap. 4 și la pct.5.2.23.2-(ii) nu are această calitate.

Odată proiectat compensatorul  $\underline{K}$  etapa următoare o constituie implementarea legii de reglare conform precizărilor de la pct.5.5. și pct.5.6.

### 5.5. Sisteme cu levitație electromagnetică cu un grad de libertate fără compensarea perturbațiilor.

SLEM-1L nu poate fi realizat practic sub forma SLEM-B datorită faptului că din cele trei mărimi de stare -  $Z_\delta$ ,  $\dot{Z}_\delta$  și  $\ddot{Z}_m$  - doar prima și ultima sînt direct măsurabile. Impedimentul se ocolește realizînd sistemul sub



forma din fig.5.12. Principial diferența dintre cele două scheme constă în faptul că ultima utilizează un observator de stare (OS) ale cărui mărimi de ieșire

$$\hat{\underline{X}}_1 = [\hat{Z}_\delta \quad \hat{\dot{Z}}_\delta \quad \hat{\ddot{Z}}_m]^T, \quad (5.112)$$

sînt estimatele componentelor vectorului  $\underline{X}_1$ .

OS din fig. 5.12 este un „observator de stare identic”, de ordin complet, adică de ordinul  $n' = n = 3$ .

Fig. 5.12. Schema bloc a SLEM-1L cu reacție după vectorul de stare  $\underline{X}_1 = [Z_\delta \quad \dot{Z}_\delta \quad \ddot{Z}_m]^T$  și cu OS identic.

SES-1L (5.3) fiind observabil (v.pct. 2.1.2.2) și avînd rang  $\underline{C} = 2 = m$ ,  $\underline{x}_1$  poate fi estimat și cu un OS de ordin redus, chiar de ordin minim  $n^* = n - m = 3 - 2 = 1$ . Concluzia apare ca naturală avînd în vedere că  $\underline{z}_j$  și  $\underline{z}_m$  fiind măsurabile pentru realizarea sistemului este necesară numai estimata  $\underline{z}_j$  a vitezei întrefierului  $\underline{z}_j$ .

5.5.1. Relații generale pentru calculul observatorilor SLEM-1L.

În cele ce urmează se prezintă, în rezumat, cîteva probleme referitoare la OS de tip Luenberger, utilizați în continuare la construirea mai multor variante de OS pentru SES-1L.

Considerînd sistemul liniar continuu, invariant în timp și observabil

$$\dot{\underline{x}}(t) = \underline{A} \underline{x}(t) + \underline{B} \underline{u}(t) \quad ; \quad \underline{y}(t) = \underline{C} \underline{x}(t) \quad , \quad (5.113)$$

se demonstrează [106] că sistemul

$$\dot{\underline{z}}(t) = \underline{F} \underline{z}(t) + \underline{G} \underline{y}(t) + \underline{J} \underline{B} \underline{u}(t) \quad , \quad (5.114)$$

construit astfel încît:

(i)  $\underline{F}$  să aibă valori proprii diferite de  $\underline{A}$ ; (5.115-1)

(ii)  $\underline{J} \underline{A} - \underline{F} \underline{J} = \underline{G} \underline{C}$  , (5.115-2)

este un OS al sistemului (5.113), între  $\underline{x}(t)$  și  $\underline{z}(t)$  existînd legătura:

$$\underline{z}(t) = \underline{J} \underline{x}(t) + e^{\underline{F}t} [\underline{z}(0) - \underline{J} \underline{x}(0)] \quad . \quad (5.116)$$

Dacă OS este asimptotic stabil atunci, după amortizarea lui  $e^{\underline{F}t}$  rezultă  $\underline{z}(t) = \underline{J} \underline{x}(t)$  ,  $\underline{z}(t)$  obținîndu-se din  $\underline{x}(t)$  prin transformarea liniară de matrice  $\underline{J}$ . Proiectarea OS (5.114) reprezintă o problemă de alocare și constă în determinarea matricilor  $\underline{F}$ ,  $\underline{G}$  și  $\underline{J}$  în acord cu condițiile (i) și (ii) de mai sus.

Un al doilea rezultat important îl constituie faptul că orice funcțională liniară de variabilele de stare  $\underline{x}(t)$  ale sistemului (5.115), în speță funcționala

$$\underline{u}(t) = \underline{K}^T \underline{x}(t) \quad (5.117)$$

poate fi estimată de către „observatorul de funcțională liniară de stare” (OFLS):

$$\begin{aligned} \dot{\underline{z}}(t) &= \underline{F} \underline{z}(t) + \underline{G} \underline{y}(t) + \underline{J} \underline{B} \underline{u}(t) \\ \hat{\underline{u}}(t) &= \underline{e}^T \underline{z}(t) + \underline{h}^T \underline{y}(t) \quad . \quad (5.118) \end{aligned}$$

Acest observator poate avea ordinul redus  $n^* = \nu - 1$ , unde [107,108]:

$$\begin{aligned} \nu &= \min \{ \mu \mid \text{rang} [\underline{C}^T \quad \underline{A}^T \underline{C}^T \quad (\underline{A}^T)^2 \underline{C}^T \quad \dots \\ &\quad \dots \quad (\underline{A}^T)^{\mu-1} \underline{C}^T] = \mu \} \quad , \quad (5.119) \end{aligned}$$

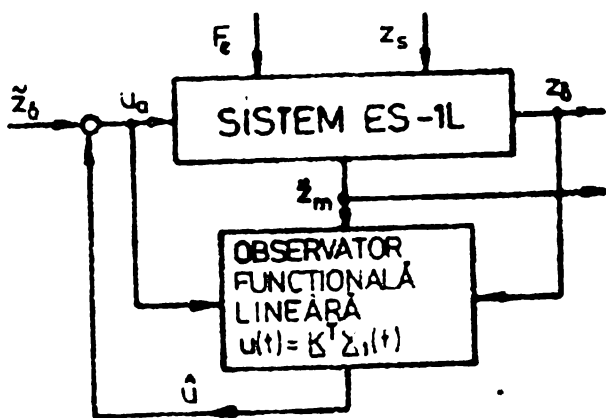


Fig. 5.13. Schema bloc a SLEM-1L cu OFLS:  $\underline{u} = \underline{K}^T \underline{x}_1(t)$ .

reprezintă indicele de observabilitate al sistemului (5.113). Proiectarea OFLS (5.118) reprezintă o problemă de alocare ce revine, în principiu, la a determina matricile  $\underline{F}$ ,  $\underline{G}$ ,  $\underline{J}$ ,  $\underline{e}$  și  $\underline{h}$  în acord cu condițiile:

$$(i) \underline{F} \text{ să aibă valori proprii diferite de } \underline{\Delta} ; \quad (5.120-1)$$

$$(ii) \underline{F} \underline{A} - \underline{F} \underline{F} = \underline{G} \underline{C} ; \quad (5.120-2)$$

$$(iii) \underline{e}^T \underline{F} + \underline{h}^T \underline{C} = \underline{K}^T . \quad (5.120-3)$$

În cazul SLEM-1L schema bloc aferentă utilizării unui astfel de OFLS are aspectul din fig. 5.13.

Pentru  $\underline{F} = \underline{I}$ , atât OS (5.114) cât și OFLS (5.118) conduc la „observatorul identic” [106] :

$$\underline{z}(t) = \underline{F} \underline{z}(t) + \underline{G} \underline{y}(t) + \underline{B} \underline{u}(t) , \quad (5.121)$$

pentru care, potrivit rel. (5.115-2) și (5.120-2), matricile  $\underline{F}$  și  $\underline{G}$  trebuie să satisfacă condiția:

$$\underline{A} - \underline{F} = \underline{G} \underline{C} , \quad (5.122)$$

legătura (5.116) dintre  $\underline{x}(t)$  și  $\underline{z}(t)$  devenind  $\underline{z}(t) = \underline{x}(t) + e^{\underline{F}t} [\underline{z}(0) - \underline{x}(0)] = \hat{\underline{x}}(t)$  .

Un al treilea rezultat esențial referitor la OS îl reprezintă „teorema separării”, în acord cu care:

$$\Delta_{SO}(s) = \Delta(s) \cdot \Delta_{OS}(s) , \quad (5.123)$$

unde:  $\Delta(s)$  este polinomul caracteristic al sistemului ideal, cu reacție după stare, iar  $\Delta_{OS}(s)$  polinomul caracteristic al observatorului utilizat pentru realizarea sistemului real, al cărui polinom caracteristic s-a notat cu  $\Delta_{SO}(s)$ . O consecință importantă a teoremei separării constă în posibilitatea proiectării sistemului închis prin proiectarea separată a compensatorului  $\underline{K}$  și a OS sau OFLS :  $\underline{K}$  astfel încât să se asigure pentru sistemul ideal ( $\underline{u} = \underline{K}^T \underline{x}$ ) dinamica dorită, iar  $\underline{F}$  astfel încât prin prezența OS sau OFLS dinamica sistemului real să nu se abată prea mult față de cea a sistemului ideal. În acest sens în literatură apare recomandarea amplasării polilor OS sau OFLS „puțin la stânga” polilor sistemului ideal [18].

Pentru cazul SLEM-1L din fig. 5.12 și fig. 5.13 compensatorul  $\underline{K}$  a fost proiectat la pct. 5.4.3.,  $\Delta(s)$  fiind polinomul caracteristic (5.6) cu valorile proprii (5.8). Obiectivul următoarelor trei paragrafe îl constituie sinteza și proiectarea a trei OS de tip Luenberger ce pot fi folosiți în schemele din fig. 5.12 și 5.13.

Înainte de abordarea acestor probleme se impune menționarea unor aspecte critice referitoare la observatorii de tip Luenberger. Astfel, potrivit ec. (5.113) „sistemul observat” trebuie să satisfacă condițiile:

(i) să fie liniar și determinat, structura și parametrii săi trebuind să fie a priori cunoscute;

(ii) să nu fie sub acțiunea altor mărimi de intrare decât cele de comandă, iar dacă se găsește și sub acțiunea altor mărimi de intrare, în special mărimi de perturbație, acestea să prezinte la intervale de timp

suficient de mari numai variații în formă de impulsuri Dirac, pentru ca efectul lor să fie asimilabil cu modificarea condițiilor inițiale [132].

În practică nici una din aceste condiții nu este complet respectată întrucât:

(i) Datorită erorilor de identificare a sistemului observat, observatorul va deservi întotdeauna un sistem real diferit de cel pentru care a fost proiectat. Utilizarea unui observator adaptiv pentru ameliorarea acestei situații nu constituie o soluție acceptabilă întrucât, în cazul proceselor rapide, prin introducerea lui se înrăutățește considerabil dinamica reglării. Într-o serie de cazuri, în particular și în cazul SES-1L - în ipoteza valabilității MM-ISI de ordin redus - situația poate fi complet ameliorată proiectând observatorul astfel încât să rezulte independent de sistemul observat. D.p.d.v. al sistemului (5.113) acest lucru implică condițiile evidente:

- În cazul OS (5.114): determinarea matricilor  $\underline{F}$ ,  $\underline{G}$  și  $\underline{J}$  astfel încât acestea precum și matricea  $\underline{J} \underline{B}$  să nu depindă de parametrii sistemului (5.113). (5.124-1)

- În cazul OFLS (5.118): determinarea matricilor  $\underline{F}$ ,  $\underline{G}$ ,  $\underline{J}$ ,  $\underline{e}$  și  $\underline{h}$  astfel încât  $\underline{F}$ ,  $\underline{G}$ ,  $\underline{e}$ ,  $\underline{h}$  și matricea  $\underline{J} \underline{B}$  să nu depindă de parametrii sistemului (5.113). (5.124-2)

(ii) Practic, foarte puține procese au ca mărimi de intrare numai mărimile de comandă. Situația este ameliorată parțial prin însăși structura observatorului de tip Luenberger, deoarece - în acord cu rel. (5.116) - aceștia se comportă astfel încât începând cu un anumit moment  $\underline{z} - \underline{J} \underline{x} \approx 0$ ; diferența dintre mărimile de stare ale sistemului și estimatele acestora se modifică sub propria-i acțiune, procesul de egalizare având o dinamică independentă, stabilită prin matricea  $\underline{F}$  a observatorului [133]. În principiu situația se poate ameliora și mai mult dacă:

- OS sau OFLS se proiectează prin optimizarea comportării sistemului închis în raport cu mărimile de intrare. (5.125)

Metoda necesită definirea unor indici de calitate adecvați, a unor variații tip a mărimilor de intrare ș.a.m.d., adică a definirii problemei de optimizare, garantându-se o comportare optimă numai în raport cu clasa funcțiilor de intrare considerate. O astfel de soluție a fost luată în considerație la proiectarea VPM 14 realizarea căreia a colaborat firma MBB, optimizarea făcându-se printr-o metoda euristică [63,61,62].

Legat de problema optimizării comportării SLEM-1L în raport cu mărimile de intrare se menționează că o altă posibilitate este studiată la pct. 5.6.

5.5.2. SLEM-1L cu observator de stare identic.

Toute variantele de observatori de la pct.5.5.2 - 5.5.4 se proiectează în vederea realizării SLEM-1L aferente SES-1L de ecuații:

$$\begin{bmatrix} \dot{Z}_\delta \\ \dot{Z}_m \\ \ddot{Z}_m \end{bmatrix} = \begin{bmatrix} 0 & 1 & 0 \\ 0 & 0 & 1 \\ -bK_{po} & -bK_{vo} & bK_{ao} \end{bmatrix} \begin{bmatrix} Z_\delta \\ \dot{Z}_m \\ \ddot{Z}_m \end{bmatrix} + \begin{bmatrix} 0 \\ 0 \\ b \end{bmatrix} U_a + \begin{bmatrix} 0 & 0 & 0 \\ 0 & 0 & -1 \\ b_{p1} & b_{p2} & 0 \end{bmatrix} \begin{bmatrix} F_e \\ \dot{F}_e \\ \ddot{Z}_s \end{bmatrix} \quad (5.126-1)$$

$$\dot{\underline{X}}_1 = \underline{A} \underline{X}_1 + \underline{B} \underline{U}_c + \underline{B}_p \underline{U}_p \quad (5.127-1)$$

$$\begin{bmatrix} Z_\delta \\ \dot{Z}_m \\ Z_m \end{bmatrix} = \begin{bmatrix} 1 & 0 & 0 \\ 0 & 0 & 1 \end{bmatrix} \begin{bmatrix} Z_\delta \\ \dot{Z}_m \\ Z_m \end{bmatrix} \quad (5.126-2)$$

$$\underline{Y} = \underline{C} \underline{X}_1 \quad (5.127-2)$$

Proiectarea unui OS identic pentru sistemul (5.126) revine la determinarea matricilor  $\underline{F}$ , (3,3) și  $\underline{G}$ , (3,2) astfel încât să fie satisfăcută rel. (5.122),  $\underline{F}$  avînd valori proprii diferite de ale lui  $\underline{A}$ . Problema are șase grade de libertate întrucît adoptînd matricea  $\underline{G}$  de forma (5.128), prin rezolvarea ec.(5.122) în raport cu  $\underline{F}$  se obține rezultatul (5.129):

$$\underline{G} = \begin{bmatrix} g_{11} & g_{12} \\ g_{21} & g_{22} \\ g_{31} & g_{32} \end{bmatrix} \quad (5.128) ; \quad \underline{F} = \begin{bmatrix} -g_{11} & 1 & -g_{12} \\ -g_{21} & 0 & 1-g_{22} \\ -g_{31} & -bK_{po} & -bK_{vo} -g_{32} + bK_{ao} \end{bmatrix} \quad (5.129)$$

OS identic are ec.(5.121) în care  $\underline{F}$  și  $\underline{G}$  au expresiile anterioare. SLEM-1L rezultat are schema bloc din fig. 5.12, iar observatorul structura din fig. 5.14.

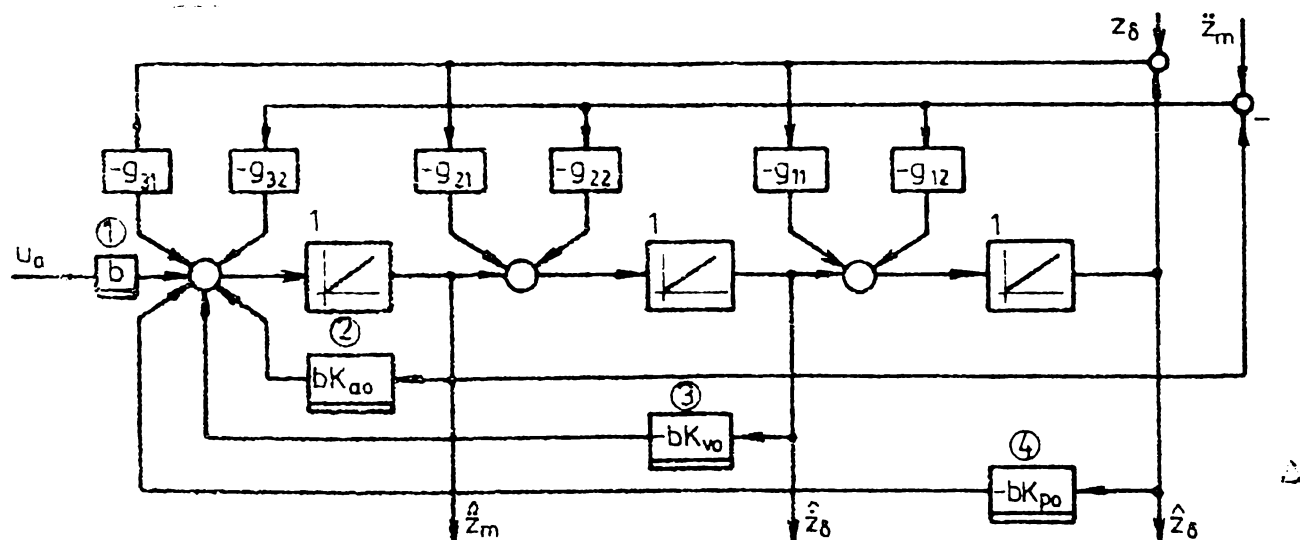


Fig. 5.14. Observator de stare identic pentru SLEM-1L din fig.5.12.

Principalul dezavantaj al implementării unui regulator cu un astfel de observator îl reprezintă sensibilitatea exagerată a SLEM-1L în raport cu parametrii SES-1L, situație datorată faptului că amplificările fixe ale OS - aferente blocurilor ① ... ④ - corespund valorilor calculate ale lui  $b$ ,  $K_{po}$ ,  $K_{vo}$  și  $K_{ao}$ , adică unor valori ce pot diferi de valorile reale ale parametrilor derivați ai SES-1L. (Pentru a evidenția acest lucru latura inferioară a celor patru blocuri s-a dublat). Datorită acestei

sensibilități exagerate, caracterizată prin posibilitatea instabilizării rapide a sistemului, indiferent de adoptarea matricii  $\underline{G}$ , SLEM-1L din fig.5.12 cu OS-identice din fig.5.14 se consideră necorespunzător.

5.5.3. SLEM-1L cu observator de ordinul II pentru funcționala liniară  $u = \underline{K}^T \underline{X}_1$ .

SLEM-1L are schema bloc din fig.5.13. Indicele de observabilitate al SES-1L (5.126) fiind

$$\nu = 2, \quad (5.130)$$

OFLS poate avea ordinul minim  $n^* = \nu - 1 = 1$ . Un astfel de OFLS este studiat la pct.5.5.4.

În paragraful de față se calculează un observator de ordin  $n^* = 2$  pentru FLS:  $u = \underline{K}^T \underline{X}_1$  și se analizează SLEM-1L rezultat. Ecuațiile acestui observator fiind de forma (5.118), matricile

$$\underline{F} = \begin{bmatrix} f_{11} & f_{12} \\ f_{21} & f_{22} \end{bmatrix}; \quad \underline{G} = \begin{bmatrix} g_{11} & g_{12} \\ g_{21} & g_{22} \end{bmatrix}; \quad \underline{J} = \begin{bmatrix} t_{11} & t_{12} & t_{13} \\ t_{21} & t_{22} & t_{23} \end{bmatrix}; \quad \underline{e} = \begin{bmatrix} e_1 \\ e_2 \end{bmatrix}; \quad \underline{h} = \begin{bmatrix} h_1 \\ h_2 \end{bmatrix}, \quad (5.131)$$

trebuie astfel determinate încît să fie satisfăcute condițiile (5.130). Studiul acestei probleme de alocare a cunosca la concluzia că este posibilă construcția unui OFLS:  $u = \underline{K}^T \underline{X}_1$  care să satisfacă și condiția (5.124-2), adică a unui OFLS cu parametri independenți de parametrii SES-1L. Practic sensibilitatea SLEM-1L va fi aceeași cu SLEM-3.

5.5.3.1. Construcția observatorului de ordinul II al FLS:  $u = \underline{K}^T \underline{X}_1$ .

OFLS mai sus menționat se construiește parcurgînd etapele următoare:

a) Se impune matricii  $\underline{J}$  condiția (5.124-2) rezultînd:

$$\underline{J} = \begin{bmatrix} t_{11} & t_{12} & 0 \\ t_{21} & t_{22} & 0 \end{bmatrix}. \quad (5.132)$$

b) Se adoptă matricea  $\underline{F}$  de așa manieră încît polinomul caracteristic al OFLS să corespundă unui element de transfer de ordinul II cu caracter oscilant amortizat. Astfel, considerînd:

$$\Delta_{OS}(s) = s^2 + 2\tau\omega_{OS}s + \omega_{OS}^2, \quad (5.133)$$

cu  $\tau$  și  $\omega_{OS}$  alese în concordanță cu condiția (5.120-2), rezultă:

$$\underline{F} = \begin{bmatrix} -2\tau\omega_{OS} & 1 \\ -\omega_{OS}^2 & 0 \end{bmatrix}. \quad (5.134)$$

c) Se impune matricilor  $\underline{J}$  și  $\underline{F}$  de mai sus și matricii  $\underline{G}$  din rel.(5.131) condiția (5.120-2). Rezultă sistemul liniar omogen (5.135) de variabile  $t_{11}, \dots, t_{22}, g_{12}, \dots, g_{22}$ . Acesta este independent de parametrii SES-1L și compatibil nedeterminat.



$$\begin{bmatrix} 2\zeta\omega_{OS} & 0 & -1 & 0 & -1 & 0 & 0 & 0 \\ 1 & 2\zeta\omega_{OS} & 0 & -1 & 0 & 0 & 0 & 0 \\ 0 & 1 & 0 & 0 & 0 & -1 & 0 & 0 \\ \omega_{OS}^2 & 0 & 0 & 0 & 0 & 0 & -1 & 0 \\ 0 & \omega_{OS}^2 & 1 & 0 & 0 & 0 & 0 & 0 \\ 0 & 0 & 0 & 1 & 0 & 0 & 0 & -1 \end{bmatrix} \begin{bmatrix} t_{11} \\ t_{12} \\ t_{21} \\ t_{22} \\ g_{11} \\ g_{12} \\ g_{21} \\ g_{22} \end{bmatrix} = \underline{0} \quad (5.135)$$

Prima proprietate este o consecință a formei (5.132) a matricii  $\underline{F}$ . A doua proprietate corespunde faptului că pentru stabilirea matricilor  $\underline{F}$  și  $\underline{G}$  în acord cu condiția (5.120-2) se dispune de două grade de libertate. Spre exemplu considerând ca variabile independente pe  $g_{12}$  și  $g_{22}$ , din (5.135) rezultă:

$$\begin{bmatrix} t_{11} \\ t_{12} \\ t_{21} \\ t_{22} \\ g_{11} \\ g_{21} \end{bmatrix} = \begin{bmatrix} -2\zeta\omega_{OS} & 1 \\ 1 & 0 \\ \omega_{OS}^{-2} & 0 \\ 0 & 1 \\ \omega_{OS}^2(1-4\zeta^2) & 2\zeta\omega_{OS} \\ -2\zeta\omega_{OS}^3 & \omega_{OS}^2 \end{bmatrix} \begin{bmatrix} g_{12} \\ g_{22} \end{bmatrix} \quad (5.136)$$

Numărul cel mai mare de parametri independenți de  $\zeta$  și  $\omega_{OS}$  se obține atunci când:

$$g_{12} = 0 \quad \text{și} \quad g_{22} = 1 \quad (5.137)$$

Adoptând aceste valori în final rezultă:

$$\underline{F} = \begin{bmatrix} 1 & 0 & 0 \\ 0 & 1 & 0 \end{bmatrix}; \quad \underline{G} = \begin{bmatrix} 2\zeta\omega_{OS} & 0 \\ \omega_{OS}^2 & 1 \end{bmatrix} \quad (5.138)$$

d) Se impune vectorilor  $\underline{e}$  și  $\underline{h}$  condiția (5.120-3). Această condiție aduce un nou grad de libertate, întrucât rezultă:

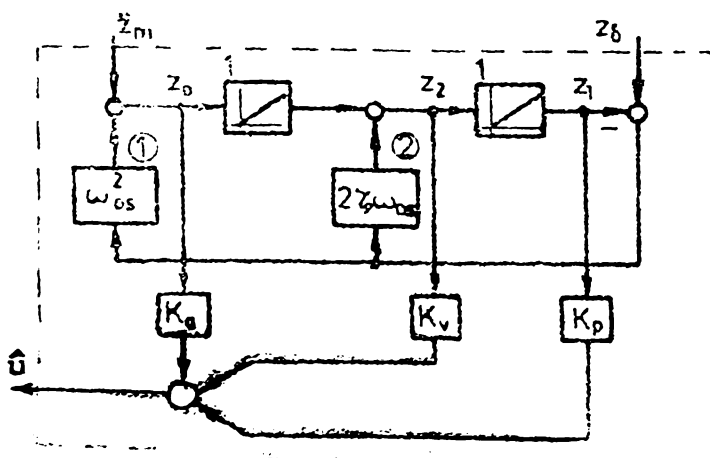
$$e_1 + h_1 = K_p, \quad e_2 = K_v, \quad h_2 = K_a \quad (5.139)$$

Adoptând în continuare

$$h_1 = \omega_{OS}(2\zeta K_v + \omega_{OS} K_a) \quad (5.140)$$

rezultă

$$\underline{e} = \begin{bmatrix} K_p - \omega_{OS}(2\zeta K_v + \omega_{OS} K_a) \\ K_v \end{bmatrix}; \quad \underline{h} = \begin{bmatrix} \omega_{OS}(2\zeta K_v + \omega_{OS} K_a) \\ K_a \end{bmatrix} \quad (5.141)$$



OFLS rezultat are ecuațiile:

$$\dot{\underline{z}}(t) = \underline{F} \underline{z}(t) + \underline{G} \underline{y}(t) \quad (5.142)$$

$$\hat{\underline{u}}(t) = \underline{e}^T \underline{z}(t) + \underline{h}^T \underline{y}(t)$$

respectiv schema bloc structurală din fig. 5.15.

Fig. 5.15. Observatorul SLEM-1L din fig. 5.13 (OFLS - varianta MBB).

Referitor la observatorul obținut se fac următoarele observații:

(i) Prin adoptarea valorilor lui  $g_{12}$ ,  $g_{22}$  și  $h_1$  conform rel. (5.137) și (5.140) s-a obținut OFLS utilizat inițial pe VPM ale căror SLEM-1L au fost proiectate de firma MBB (vehiculele KOMET) [63,62], motiv pentru care acesta va fi denumit în continuare „OFLS-varianta MBB”.

(ii) Metodologia de calcul a OFLS-varianta MBB a fost prezentată din următoarele motive:

1<sup>o</sup>- După cunoștința autorului în literatură nu se prezintă modul în care s-a obținut OFLS-varianta MBB. Acest observator este denumit în [62,191,125] „circuit de susținere” (Stützkreis), în unele dintre aceste lucrări vorbindu-se și despre „principiul circuitului de susținere” (Stützkreisprinzip), ceea ce introduce o notă de ambiguitate. În [63] și [62] se folosește în paralel și termenul de OS de ordin redus. Modul în care apare OFLS-varianta MBB în [191], cu blocurile ① și ② din fig.5.15 identice, dovedește că în faza inițială nu a existat o metodică de proiectare clară. Afirmția se bazează pe faptul că observatorul din [191], având întotdeauna o constantă de timp  $T_{OS} \geq 0,25$  sec, este necorespunzător fiind mult prea lent în raport cu rapiditatea proceselor din SLEM-1L.

2<sup>o</sup>- Metodologia de calcul prezentată este valabilă pentru întreaga clasă de OFLS de ecuații (5.142), OFLS-varianta MBB fiind cazul particular cu cea mai simplă structură: prin adoptarea valorilor din (5.137) stabilindu-se conectarea blocurilor  $K_v$  și  $K_a$  la variabilele  $z_2$  și  $z_0$ , iar prin adoptarea valorii din (5.140) conectarea blocului  $K_p$  la variabila  $z_1$  ( $\underline{z} = [z_1 \ z_2]^T$ , iar  $z_0$  este o variabilă intermediară).

3<sup>o</sup>- Este foarte probabil că d.p.d.v. al comportării SLEM-1L, prevăzut cu un OFLS de formă (5.142), în raport cu mărimile  $F_0$  și  $Z_0$  sînt mai potriviți alți OFLS, diferiți de OFLS-varianta MBB. Metodica prezentată permite investigarea lor.

### 5.5.3.2. Analiza SLEM-1L prevăzut cu OFLS-varianta MBB.

În continuare se studiază comportarea SLEM-1L cu OFLS-varianta MBB în raport cu mărimile de intrare în vederea optimizării acesteia prin adoptarea unor valori adecvate pentru  $\underline{z}$  și  $\omega_{OS}$ . Ecuațiile sistemului cuprind: ec.(5.126) ale SES-1L, ec.(5.142) ale OFLS cu  $\underline{F}$ ,  $\underline{G}$ ,  $\underline{e}$  și  $\underline{h}$  de expresii (5.134), (5.138) și (5.141) precum și expresia tensiunii de comandă:  $U_a(t) = \tilde{Z}_0(t) + \hat{u}(t)$ . În final se obține:

$$\begin{bmatrix} \ddot{z}_\delta \\ \ddot{z}_m \\ z_1 \\ z_2 \end{bmatrix} = \begin{bmatrix} 0 & 1 & 0 & 0 & 0 \\ 0 & 0 & 1 & 0 & 0 \\ b(h_1 - K_{po}) & -bK_{vo} & b(h_2 + K_{ao}) & be_1 & be_2 \\ 2\zeta\omega_{OS} & 0 & 0 & -2\zeta\omega_{OS} & 1 \\ \omega_{OS}^2 & 0 & 1 & -\omega_{OS}^2 & 0 \end{bmatrix} \begin{bmatrix} z_\delta \\ \dot{z}_\delta \\ \dot{z}_m \\ z_1 \\ z_2 \end{bmatrix} + \begin{bmatrix} 0 \\ 0 \\ b \\ 0 \\ 0 \end{bmatrix} \tilde{z}_\delta + \begin{bmatrix} 0 & 0 & 0 \\ 0 & 0 & -1 \\ b_{p1} & b_{p2} & 0 \\ 0 & 0 & 0 \\ 0 & 0 & 0 \end{bmatrix} \begin{bmatrix} F_e \\ \dot{F}_e \\ \ddot{z}_s \end{bmatrix} \quad (5.143)$$

Polinomul caracteristic al acestui sistem are forma (5.123), în care  $\Delta(s)$  și  $\Delta_{OS}(s)$  au expresiile (5.7), respectiv (5.133). În locul rel. (5.9), în acest caz se obține

$$\begin{bmatrix} z_\delta(s) \\ \dot{z}_m(s) \end{bmatrix} = \begin{bmatrix} \frac{b}{\Delta(s)} \\ \frac{bs^2}{\Delta(s)} \end{bmatrix} \tilde{z}_\delta(s) + \begin{bmatrix} \frac{1+Ts}{MT \cdot \Delta(s)} - \\ \frac{s^2(1+Ts)}{MT \cdot \Delta(s)} + \\ - \frac{[s-b(K_a+K_{ao})]\Delta_{OS}(s)-b(K_{vs}+K_p-\omega_{OS}^2 K_a)}{(s)_{OS}(s)} \\ + \frac{[b(K_{vo}-K_v)s+b(K_{po}-K_p)]\Delta_{OS}(s)+b(K_{vs}+K_p-\omega_{OS}^2 K_a)s^2}{\Delta(s) \cdot \Delta_{OS}(s)} \end{bmatrix} \begin{bmatrix} F_e(s) \\ \ddot{z}_s(s) \end{bmatrix} \quad (5.144)$$

Comparând rel.(5.144) corespunzătoare SLEM-1L cu OFLS-varianta MBB cu rel.(5.9) corespunzătoare SLEM-B rezultă următoarele concluzii:

- (i) Cele două sisteme prezintă aceleași performanțe în raport cu mărimea de conducere  $\tilde{z}_\delta$  și în raport cu forța exterioară  $F_e$ .
- (ii) Cele două sisteme prezintă performanțe diferite în raport cu  $\ddot{z}_s$ .

Ambele constatări sînt favorabile întrucît definesc o posibilitate de separabilitate și etapizare a optimizării comportării SLEM-1L-varianta MBB în raport cu mărimile de intrare. Astfel, într-o primă etapă se proiectează compensatorul  $K$  conform pct.5.4.3., iar într-o a doua etapă se proiectează observatorul stabilind valorile parametrilor  $\omega_{OS}$  și  $\zeta$  astfel încît să rezulte o comportare cît mai bună în raport cu  $\ddot{z}_s$ .

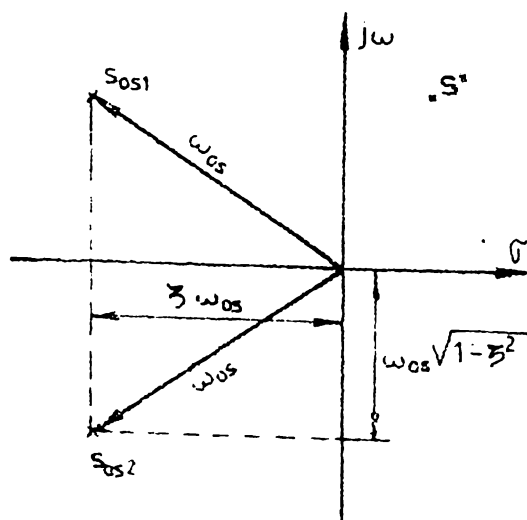


Fig. 5.16. Polii OFLS-varianta MBB.

Prin intermediul valorilor lui  $\omega_{OS}$  și  $\zeta$  se stabilesc pozițiile polilor

$$s_{OS\ 1,2} = -\zeta\omega_{OS} \pm j\omega_{OS}\sqrt{1-\zeta^2} \quad (5.145)$$

ai OFLS. Avînd în vedere că ei trebuie să se găsească la stînga polilor SLEM-B, iar pe de altă parte condiția ca „procesul de estimare” să fie suficient de amortizat, rezultă condițiile:

$$\zeta\omega_{OS} > \max\{\omega_1, d\omega_0\} \text{ și } \zeta \geq 0,5. \quad (5.146)$$

Pentru o apreciere cu caracter mai general a comportării sistemului în raport cu modificarea poziției șinei pot servi c.d.f. (fig.5.17):

$$|G_{Z_s Z_f}|_{dB} = \left\{ s^2 \cdot \frac{[s - b(K_a + K_{a0})] \Delta_{OS}(s) + b(K_v s + K_p - \omega_{OS}^2 K_a)}{\Delta(s) \Delta_{OS}(s)} \right\}_{s=j\omega} |_{dB} \quad (5.147-1)$$

$$|G_{Z_s \ddot{z}_m}|_{dB} = \left\{ \frac{[b(K_{v0} - K_v)s + b(K_{p0} - K_p)] \Delta_{OS}(s) + b(K_v s + K_p - \omega_{OS}^2 K_a)}{\Delta(s) \Delta_{OS}(s)} \right\}_{s=j\omega} |_{dB} \quad (5.147-2)$$

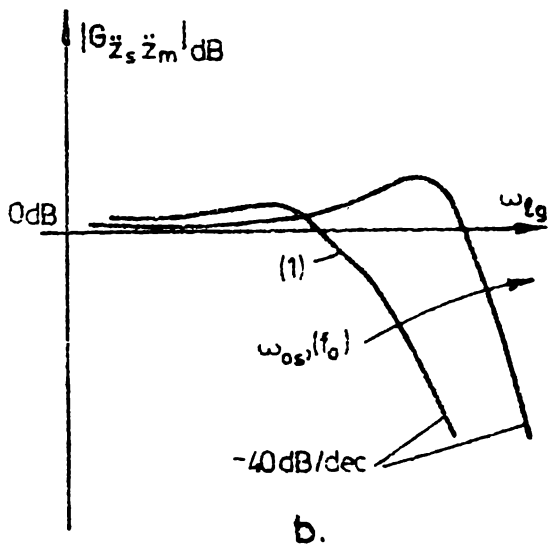
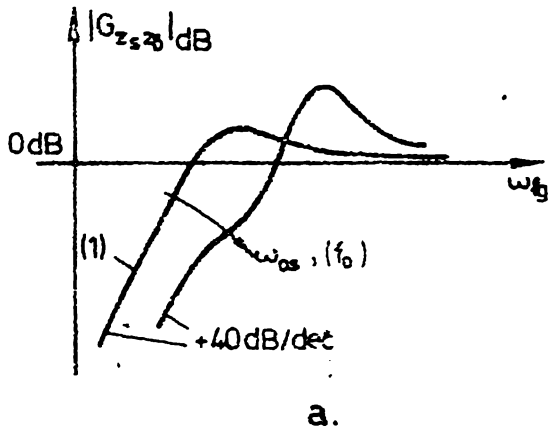


Fig. 5.17. Aluri de principiu ale c.d.f. ale SLEM-1L cu OFLS-varianța MBB (după [62]).

Caracteristica  $|G_{Z_s Z_f}|_{dB}$  avînd la frecvențe joase panta de +40 dB/dec, iar caracteristica  $|G_{Z_s \ddot{z}_m}|_{dB} = |G_{Z_s Z_m}|_{dB}$ , avînd la frecvențe înalte panta de -40 dB/dec, rezultă că ele satisfac condițiile menționate la pct.4.2.2.1.2. În plus, la creșterea lui  $\omega_{OS}$  cele două caracteristici se deplasează în principiu ca în fig.5.17. Cu toate acestea, la viteze mari SLEM-1L nu asigură confortul de călătorie dorit, fiind necesar un sistem de suspensie secundar [65]. Este de reținut însă efectul nefavorabil al măririi exagerate a lui  $\omega_{OS}$  d.p.d.v. al neregularităților de categoria a II-a ale căii de glisare, decuplarea sistemului față de acțiunea lor producîndu-se numai la frecvențe mai mari, iar pe de altă parte efectul favorabil d.p.d.v. al neregularităților de categoria I-a, caracterizat prin mărirea lărgimii de bandă. Totuși, prin mărirea lui  $\omega_{OS}$  spre o frecvență de

rezonanță în domeniul 10 + 20 Hz, deci chiar în domeniul benzii de frecvență în care lucrează SLEM-1L. În plus, avînd în vedere că prin mărirea lui  $\omega_{OS}$  amplificările blocurilor ① și ② ale OFLS cresc exagerat, se recomandă ca în cazul utilizării acestei variante de SLEM-1L valoarea lui  $\omega_{OS}$  să nu depășească cu mult limitele permise de condiția (5.146).

#### 5.5.4. SLEM-1L cu observator de ordinul I pentru funcționala liniară $u = K^T X_1$ .

Rel.(5.130) consemnează că funcționala  $u = K^T X_1$  poate fi estimată folosind un OFLS de ordinul I. În [44] autorul tezei a stabilit condițiile necesare și suficiente pentru proiectarea observatorilor de ordinul I, de tip Luenberger, cu parametrii independenți de parametrii sistemului

observat. In aceeași lucrare, în cadrul unui exemplu, se arată că SES-II verifică aceste condiții în raport cu funcționala  $u = \underline{K}^T \underline{X}_1$ , observatorul rezultat fiind numit în continuare „OFLS-varianta II”. La proiectarea aceleiași OFLS și la realizarea lui tehnică se fac referiri și în [27, 51,50]. Si în cazul utilizării OFLS-varianta II sensibilitatea SLEM-1L -varianta II (SLEM-1L cu OFLS-varianta II) este practic aceeași cu cea din cazul SLEM-B.

5.5.4.1. Construcția observatorului de ordinul I al FLS:  $u = \underline{K}^T \underline{X}_1$ .

Ordinul OFLS-varianta II fiind  $n' = 1$ , matricile ce apar în ec.(5.118) au aspectul:

$$\underline{F} = [-f_0] ; \quad \underline{G} = [g_1 \ g_2] ; \quad \underline{J} = [t_1 \ t_2 \ t_3] ; \quad \underline{e} = [e_0] ; \quad \underline{h} = \begin{bmatrix} h_1 \\ h_2 \end{bmatrix} \quad (5.148)$$

Structura acestui observator se obține parcurgând următoarele etape:

a) Se impune matricii  $\underline{J}$  condiția (5.124-2), rezultând

$$\underline{J} = [t_1 \ t_2 \ 0] . \quad (5.149)$$

b) Se adoptă  $\underline{F}$  astfel încât polul observatorului să fie la stînga poliilor sistemului ideal:

$$\underline{F} = [-f_0] \quad \text{cu} \quad f_0 > \max \{ \omega_1, d\omega_0 \} > 0. \quad (5.150)$$

c) Se impune matricilor  $\underline{J}$ ,  $\underline{F}$  și  $\underline{G}$  de mai sus condiția (5.120-2). Rezultă sistemul linear omogen (5.151) de variabile  $t_1$ ,  $t_2$ ,  $g_1$  și  $g_2$ , independent de parametrii SES-1L și compatibil nedeterminat:

$$\begin{bmatrix} f_0 & 0 & -1 & 0 \\ 1 & f_0 & 0 & 0 \\ 0 & 1 & 0 & -1 \end{bmatrix} \begin{bmatrix} t_1 \\ t_2 \\ g_1 \\ g_2 \end{bmatrix} = \underline{0} . \quad (5.151)$$

În consecință, pentru stabilirea matricilor  $\underline{J}$  și  $\underline{G}$  se dispune de un singur grad de libertate. Oricare din cele patru variabile poate fi considerată ca variabilă independentă. Spre exemplu, pentru  $g_2$  - variabilă independentă se obține:

$$\underline{J} = [-f_0 g_2 \quad g_2 \quad 0] ; \quad \underline{G} = [-f_0^2 g_2 \quad g_2] . \quad (5.152)$$

d) Se impune vectorilor  $\underline{e}$  și  $\underline{h}$  condiția (5.120-3), rezultând:

$$\underline{e} = \begin{bmatrix} K_v \\ g_2 \end{bmatrix} ; \quad \underline{h} = \begin{bmatrix} K_p + f_0 K_v \\ K_a \end{bmatrix} . \quad (5.153)$$

OFLS-varianta II astfel determinat are tot ec.(5.142) însă cu matricile date de rel.(5.150), (5.152) și (5.153). El are schema bloc din fig. 5.18.a, echivalentă cu schema bloc din fig.5.18.b. Cea de a doua schemă se poate obține din prima deplasînd blocul ① din fig.5.18.a la intrări, sau făcînd în ec.(5.142) schimbarea de variabilă:

$$\underline{z} = g_2 \underline{z}_1 . \quad (5.154)$$

Rezultă astfel OFLS particular, de ec.(5.155), utilizat de autor în [50,51,48].

$$\begin{aligned} \dot{z}_1 &= -f_0 z_1 - f_0^2 z_\delta + \ddot{z}_m \\ \ddot{u} &= (K_p + f_0 K_v) z_\delta + K_v z_1 + K_a \ddot{z}_m \end{aligned} \quad (5.155)$$

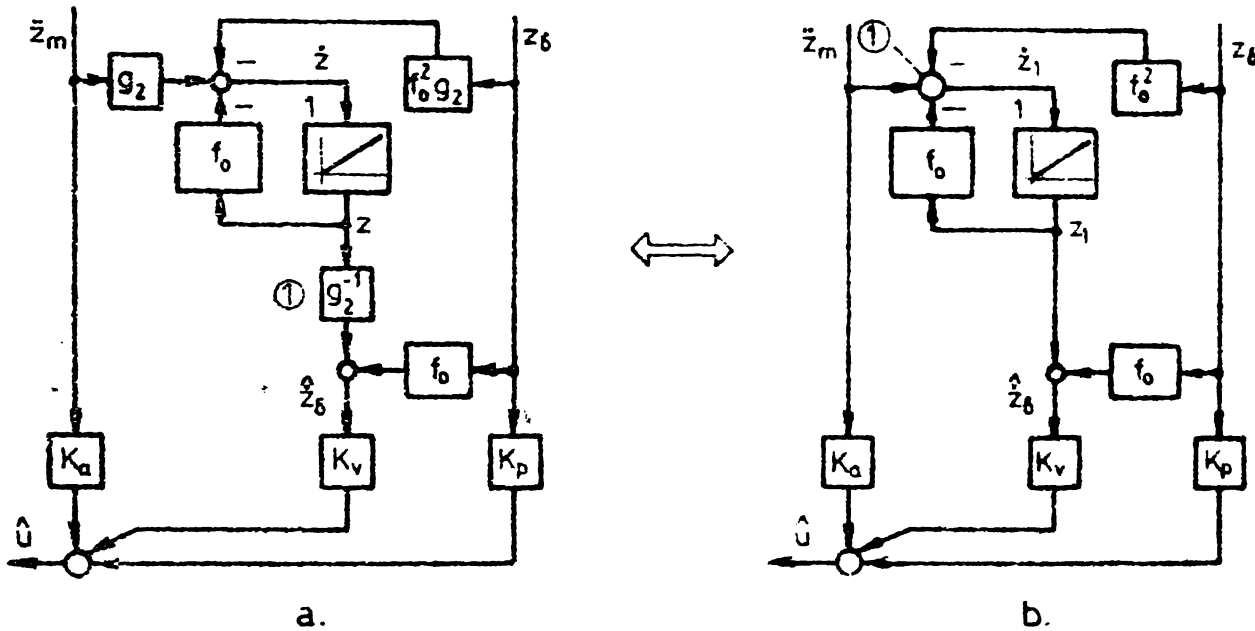


Fig. 5.18. OFLS-varianta II : a) Structura inițială ; b) Structura echivalentă.

Se observă că gradul de libertate menționat poate fi utilizat doar pentru ajustarea amplificărilor pe diferitele canale ale observatorului, ceea ce d.p.d.v. algoritmic nu interesează.

5.5.4.2. Analiza SLEM-1L prevăzut cu OFLS-varianta II.

MM-ISI al SLEM-1L-varianta II se obține asemănător MM-ISI (5.143) al SLEM-1L-varianta MBB. În cazul utilizării formei (5.155) a OFLS-varianta II rezultă:

$$\begin{bmatrix} z_\delta \\ \dot{z}_\delta \\ \ddot{z}_m \\ z_1 \end{bmatrix} = \begin{bmatrix} 0 & 1 & 0 & 0 \\ 0 & 0 & 1 & 0 \\ b(K_p - K_{p0}) + b f_0 K_v & -b K_{v0} & b(K_a + K_{a0}) & b K_v \\ -f_0^2 & 0 & 1 & -f_0 \end{bmatrix} \begin{bmatrix} z_\delta \\ \dot{z}_\delta \\ \ddot{z}_m \\ z_1 \end{bmatrix} + \begin{bmatrix} 0 \\ 0 \\ b \\ 0 \end{bmatrix} \ddot{z}_\delta + \begin{bmatrix} 0 & 0 & 0 \\ 0 & 0 & -1 \\ b_{p1} & b_{p2} & 0 \\ 0 & 0 & 0 \end{bmatrix} \begin{bmatrix} F \\ F_e \\ F_s \end{bmatrix} \quad (5.156)$$

Polinomul caracteristic al acestui sistem are forma (5.123) în care  $\Delta(s)$  are expresia (5.7), iar:

$$\Delta_{OS}(s) = s + f_0 \quad (5.157)$$

În locul rel.(5.144), în acest caz se obține:

$$\begin{bmatrix} z_\delta(s) \\ \ddot{z}_m(s) \end{bmatrix} = \begin{bmatrix} \frac{1+Ts}{MT \Delta(s)} & -\frac{[s-b(K_a+K_{a0})] \Delta_{OS}(s) - bK_v}{\Delta(s) \Delta_{OS}(s)} \\ \frac{s^2(1+Ts)}{MT \Delta(s)} & \frac{[b(K_{v0}-K_v)s+b(K_{p0}-K_p)] \Delta_{OS}(s) + bK_v s^2}{\Delta(s) \Delta_{OS}(s)} \end{bmatrix} \begin{bmatrix} F_e(s) \\ F_s(s) \end{bmatrix} + \begin{bmatrix} b \\ b s \end{bmatrix} \frac{\ddot{z}_\delta(s)}{\Delta(s)} \quad (5.158)$$

Comparând acest rezultat cu rel.(5.9) corespunzătoare SLEM-B rezultă că:

- (i) Cele două sisteme prezintă aceleași performanțe în raport cu mărimea de conducere  $\tilde{Z}_f$  și cu forța exterioară  $F_e$ .
- (ii) Performanțele celor două sisteme în raport cu mărimea de intrare  $\tilde{Z}_s$  sînt diferite.

Si în acest caz apare posibilitatea de a separa și etapiza optimizarea comportării SLEM-1L-varianta II în raport cu mărimile de intrare: într-o primă etapă se proiectează compensatorul  $K$  conform celor prezentate la pct.5.4.3., iar într-o a doua etapă se stabilește valoarea parametrului  $f_0$  al OFLS astfel încît să rezulte o comportare cît mai bună în raport cu  $\tilde{Z}_s$ . În cadrul ultimei etape, pentru aprecierea comportării sistemului se pot folosi metodele prezentate la pct.4.2.2.1.2., bazate pe utilizarea c.d.f. (c.a-p.):

$$|G_{Z_s Z_f}|_{dB} = \left| \left\{ s^2 \frac{[s-b(K_a+K_{a0})] \cdot \Delta_{OS}(s) - bK_v}{\Delta(s) \Delta_{OS}(s)} \right\}_{s=j\omega} \right|_{dB} \quad (5.159-1)$$

$$|G_{Z_s Z_m}|_{dB} = \left| \left\{ \frac{[b(K_{v0}-K_v)s + b(K_{p0}-K_p)] \cdot \Delta_{OS}(s) + bK_v s^2}{\Delta(s) \Delta_{OS}(s)} \right\}_{s=j\omega} \right|_{dB} \quad (5.159-2)$$

Cele două c.a-p. au în principiu alura curbelor (1) din fig.5.17. Cînd  $f_0$  crește poziția celor două caracteristici se modifică în sensul indicat de săgeți, fără a mai apare însă o frecvență de rezonanță. Acest aspect împreună cu faptul că structura OFLS-varianta II este mai simplă decît a OFLS-varianta MBB constituie avantajele SLEM-1L-varianta II față de SLEM-1L-varianta MBB.

### 5.6. Sisteme cu levitație electromagnetică cu un grad de libertate cu compensarea perturbațiilor.

Sinteza și proiectarea SRA cu compensarea perturbațiilor, bazate pe modelarea perturbațiilor ca mărimi de ieșire ale unor sisteme auxiliare, a făcut obiectul a numeroase studii întreprinse - mai ales - în ultimul deceniu (v. [85,86,36,181,182,25,123,105] și titlurile din bibliografia

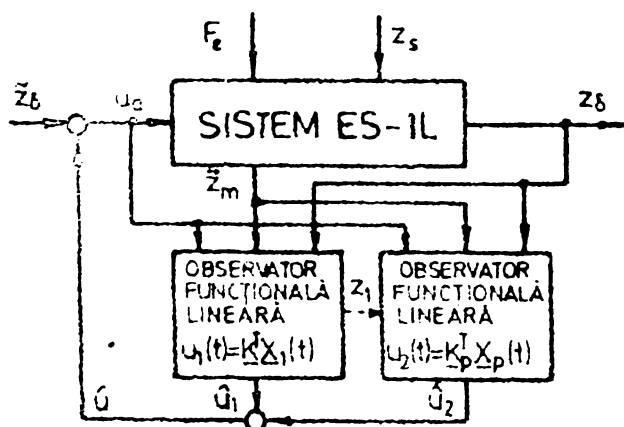


Fig. 5.19. Schemă bloc de principiu a SLEM-1L cu compensarea perturbațiilor.

acestor lucrări). După cum se menționează în [182] singurul domeniu de utilizare al acestei teorii, referitor la care există comunicări, este cel al VPM [63,61,62,104,120,31]. Independent de aceste lucrări, în [50] a fost propus un SLEM-1L cu compensarea efectului forței exterioare. Problema a fost reluată apoi în [46] în ideea dezvoltată în teză.

SLEM-1L cu compensarea perturbațiilor introduse de  $F_e$  și/sau  $Z_{su}$  sau  $Z_{sp}$ , considerat în continuare, are schema bloc din fig. 5.19. Față de schema din fig. 5.13 aici apare, în plus, un observator al funcționalei liniare  $K_p^T X_p$ , unde  $X_p$  este vectorul de stare al sistemului auxiliar ce generează clasa de perturbații persistente cărora îi aparțin perturbațiile considerate.

### 5.6.1. Relații generale pentru calculul reguletoarelor SLEM-1L.

SLEM-1L cu compensarea perturbațiilor se poate realiza în diverse variante, cu comportări diferite, folosind diferite tipuri de reguletoare. În acest paragraf se stabilesc relațiile generale de proiectare pentru reguletoarele ce se calculează în continuare la pct. 5.6.2. și 5.6.3. Ideea principală a metodei de calcul o reprezintă realizarea reguletoarelor prin asamblarea OFLS de la pct. 5.5., păstrați fără nici o modificare, cu blocuri de compensare a perturbațiilor  $F_e$  și/sau  $Z_{su}$  sau  $Z_{sp}$ .

#### 5.6.1.1. Relații pentru calculul reguletoarelor sistemelor liniare multivariabile.

Se consideră sistemul linear continuu invariant în timp:

$$\begin{aligned} \dot{\underline{x}}(t) &= \underline{A} \underline{x}(t) + \underline{B}_p u_p(t) + \underline{B} \underline{u}(t) \quad , \quad \underline{x}(0) = \underline{x}_0 \\ \underline{y}(t) &= \underline{C} \underline{x}(t) + \underline{C}'_p u_p(t) \\ \underline{\tilde{y}}(t) &= \underline{\tilde{C}} \underline{x}(t) + \underline{\tilde{C}}'_p u_p(t) \end{aligned} \quad (5.160)$$

în care, în plus față de notațiile utilizate pînă acum,  $\underline{u}_p$ ,  $(n_p, 1)$  - reprezintă vectorul perturbațiilor persistente, iar  $\underline{\tilde{y}}$ ,  $(\tilde{p}, 1)$  - vectorul ieșirilor reglate numite și ieșiri de apreciere. Fie

$$\begin{aligned} \dot{\underline{x}}_p(t) &= \underline{A}_0 \underline{x}_p(t) \quad , \quad \underline{x}_p(0) = \underline{x}_{p0} \\ \underline{u}_p(t) &= \underline{C}_0 \underline{x}_p(t) \end{aligned} \quad (5.161)$$

sistemul auxiliar ce descrie perturbațiile persistente ce acționează asupra sistemului (5.160). Cele două sisteme alcătuiesc sistemul echivalent:

$$\begin{aligned} \begin{bmatrix} \underline{x}(t) \\ \underline{x}_p(t) \end{bmatrix} &= \begin{bmatrix} \underline{A} & \underline{A}_p \\ \underline{0} & \underline{A}_0 \end{bmatrix} \begin{bmatrix} \underline{x}(t) \\ \underline{x}_p(t) \end{bmatrix} + \begin{bmatrix} \underline{B} \\ \underline{0} \end{bmatrix} \underline{u}(t) \quad , \quad \begin{bmatrix} \underline{x}(0) \\ \underline{x}_p(0) \end{bmatrix} = \begin{bmatrix} \underline{x}_0 \\ \underline{x}_{p0} \end{bmatrix} \\ \underline{y}(t) &= \begin{bmatrix} \underline{C} & \underline{C}_p \end{bmatrix} \begin{bmatrix} \underline{x}(t) \\ \underline{x}_p(t) \end{bmatrix} ; \quad \underline{\tilde{y}}(t) = \begin{bmatrix} \underline{\tilde{C}} & \underline{\tilde{C}}_p \end{bmatrix} \begin{bmatrix} \underline{x}(t) \\ \underline{x}_p(t) \end{bmatrix} \end{aligned} \quad (5.162)$$

S-a notat:

$$\underline{A}_p = \underline{B}_p \underline{A}_0 \quad ; \quad \underline{C}_p = \underline{C}'_p \underline{A}_0 \quad ; \quad \underline{\tilde{C}}_p = \underline{\tilde{C}}'_p \underline{A}_0 \quad . \quad (5.163)$$

Se consideră legea de comandă:

$$\underline{u}(t) = \underline{K} \underline{x}(t) + \underline{K}_p \underline{x}_p(t) \quad (5.164)$$

cu  $\underline{K}$ ,  $(m, n)$  și  $\underline{K}_p$ ,  $(m, n_p)$  matrici constante. Cuplînd (5.162) și (5.164) rezultă sistemul în circuit închis:



$$\begin{aligned} \dot{\underline{x}}(t) &= (\underline{A} + \underline{B} \underline{K}) \underline{x}(t) + (\underline{A}_p + \underline{B} \underline{K}_p) \underline{x}_p(t) \quad , \quad \underline{x}(0) = \underline{x}_0, \underline{x}_p(0) = \underline{x}_{p0} \\ \dot{\underline{y}}(t) &= \underline{\tilde{C}} \underline{x}(t) + \underline{\tilde{C}}_p \underline{x}_p(t) \quad . \end{aligned} \quad (5.165)$$

Rel.(5.164) definește o lege de reglare dacă sistemul (5.165) este stabil intern, adică  $\lim_{t \rightarrow \infty} \underline{x}(t) = \underline{0}$ ,  $(\forall) \underline{x}_0, \underline{x}_p(t) = \underline{0}$  și dacă sistemul (5.165) are proprietatea de reglare asimptotică, adică  $\lim_{t \rightarrow \infty} \underline{y}(t) = \underline{0}$ ,  $(\forall) \{\underline{x}_0, \underline{x}_{p0}\}$ .

În mod obișnuit variabilele de stare  $\underline{x}(t)$  și  $\underline{x}_p(t)$  nu sînt măsurabile, Astfel că pentru implementarea legii de reglare (5.164) este necesară utilizarea unui OS stabil:

$$\dot{\underline{z}}(t) = \underline{A}_1 \underline{z}(t) + \underline{B}_1 \underline{u}(t) + \underline{L}_1 (\underline{y}(t) - \underline{C}_1 \underline{z}(t)) \quad (5.166)$$

unde

$$\underline{A}_1 = \begin{bmatrix} \underline{A} & \underline{A}_p \\ \underline{0} & \underline{A}_o \end{bmatrix} ; \quad \underline{B}_1 = \begin{bmatrix} \underline{B} \\ \underline{0} \end{bmatrix} ; \quad \underline{C}_1 = \begin{bmatrix} \underline{C} & \underline{C}_p \end{bmatrix} \quad . \quad (5.167)$$

ansamblul format din OS identic (5.166) și legea de reglare

$$\underline{u}(t) = \underline{K}_1 \underline{z}(t) \quad , \quad \underline{K}_1 = \begin{bmatrix} \underline{K} & \underline{K}_p \end{bmatrix} \quad (5.168)$$

constituie regulatorul sistemului (5.162), asigurînd o reglare cu compensarea perturbațiilor. Proiectarea acestui regulator necesită satisfacerea următoarelor condiții [25]:

(i) Perechea  $(\underline{A}, \underline{B})$  să fie stabilizabilă.

Cazul cel mai favorabil este cel în care perechea  $(\underline{A}, \underline{B})$  este controlabilă, întrucît este posibilă alocarea tuturor polilor sistemului (5.165) prin intermediul matricei  $\underline{K}$ . Evident, alocarea se face astfel încît:

$$\mathcal{G}(\underline{A} + \underline{B} \underline{K}) \in \mathcal{C}^- \quad . \quad (5.169)$$

(ii) Perechea  $(\underline{C}_1, \underline{A}_1)$  să fie detectabilă.

Cazul cel mai favorabil este cel în care perechea  $(\underline{C}_1, \underline{A}_1)$  este observabilă, fiind posibilă alocarea tuturor polilor observatorului (5.166) prin intermediul matricei  $\underline{L}_1$  și anume astfel încît

$$\mathcal{G}(\underline{A}_1 - \underline{L}_1 \underline{C}_1) \in \mathcal{C}^- \quad . \quad (5.170)$$

(iii) Considerînd că  $\mathcal{G}(\underline{A}_o) \in \mathcal{C}^+$ , trebuie să existe matricile  $\underline{V}$ ,  $(n, n_p)$  și  $\underline{M}$ ,  $(m, n_p)$  astfel încît:

$$\begin{aligned} \underline{V} \underline{A}_o &= \underline{A} \underline{V} + \underline{A}_p + \underline{B} \underline{M} \\ \underline{0} &= \underline{\tilde{C}} \underline{V} + \underline{\tilde{C}}_p \quad . \end{aligned} \quad (5.171)$$

Mai sus s-a notat cu  $\mathcal{G}(\underline{S})$  spectrul matricei pătrate  $\underline{S}$ , cu  $\mathcal{C}^-$  semiplanul complex stîng și cu  $\mathcal{C}^+$  semiplanul complex drept inclusiv axa imaginară.

Odată determinate  $\underline{K}$ ,  $\underline{V}$  și  $\underline{M}$  în acord cu rel.(5.169) și (5.171),  $\underline{K}_p$  se obține cu relația:

$$\underline{K}_p = \underline{M} - \underline{K} \underline{V} \quad . \quad (5.172)$$

Ecuatiile sistemului în circuit închis se obțin combinînd ec.(5.162), (5.166) și (5.167). Notînd  $\underline{\xi}(t) = \begin{bmatrix} \underline{x}(t) \\ \underline{x}_p(t) \end{bmatrix} - \underline{z}(t)$  rezultă:

$$\begin{bmatrix} \underline{x}(t) \\ \underline{\varepsilon}(t) \end{bmatrix} = \begin{bmatrix} \underline{A} + \underline{B} \underline{K} & -\underline{B} \underline{K}_1 \\ \underline{0} & \underline{A}_1 - \underline{L}_1 \underline{C}_1 \end{bmatrix} \begin{bmatrix} \underline{x}(t) \\ \underline{\varepsilon}(t) \end{bmatrix} + \begin{bmatrix} \underline{A}_p + \underline{B} \underline{K}_p \\ \underline{0} \end{bmatrix} \underline{x}_p(t) \quad (5.173)$$

$$\underline{\tilde{y}}(t) = \begin{bmatrix} \underline{\tilde{C}} & \underline{0} \end{bmatrix} \begin{bmatrix} \underline{x}(t) \\ \underline{\varepsilon}(t) \end{bmatrix} + \underline{\tilde{C}}_p \underline{x}_p(t)$$

Si în acest caz este valabilă „teorema separării”, în acord cu care:

$$\Delta_{SO}(s) = \Delta(s) \Delta_{OS}(s) = \det[s\underline{I}_{n_1} - (\underline{A} + \underline{B} \underline{K})] \cdot \det[s\underline{I}_{n_1} - (\underline{A}_1 - \underline{L}_1 \underline{C}_1)]. \quad (5.174)$$

Algoritmul de proiectare a sistemului în circuit închis va conține în consecință etapele: (a) proiectarea compensatorului  $\underline{K}$ , (rezolvarea problemei de alocare (5.169)); (b) proiectarea OS (5.166), (rezolvarea problemei de alocare (5.170)); (c) calculul compensatorului  $\underline{K}_p$  cu rel.(5.171) și (5.172).

### 5.6.1.2. Relații pentru calculul blocurilor de compensare ale reguletoarelor SLEM-LL.

Pe baza relațiilor aferente cazului general precizate la pct.5.6.1.1. proiectarea SLEM-LL poate fi abordată prin echivalarea sistemului (5.170) cu SES-LL și prin parcurgerea algoritmului menționat. Aceasta este singura cale utilizată pînă în prezent în literatura referitoare la VPM, chiar dacă relațiile de calcul diferă de la lucrare la lucrare. Ea are două dezavantaje principiale:

- (i) reguletoarele rezultate au structuri complicate, capabile să compenseze perturbațiile numai pentru o singură valoare a vitezei  $v$  a VPM;
- (ii) gradele de libertate aferente algoritmilor parțiali corespunzători etapelor menționate se manipulează cu dificultate.

Un al doilea mod de abordare, care elimină aceste dezavantaje, este cel utilizat de autor în cadrul pct.5.6.2. și 5.6.3. În cadrul acestui punct se stabilesc relațiile generale de calcul corespunzătoare lui. Ideea de bază este cea a echivalării sistemului (5.160) cu SLEM-LL proiectate la pct.5.5. și nu cu SES-LL. Aceste sisteme fiind stabile și avînd dinamica dorită problema de alocare (5.169) nu se mai pune. În consecință, pentru a realiza SLEM-LL cu compensarea perturbațiilor  $F_p$  și/sau  $Z_{su}$  sau  $Z_{sp}$  mai sînt necesare numai blocurile de compensare. Obținerea lor constituie o problemă care se încadrează în problema generală de la pct. 5.6.1.1, corespunzînd cazului particular cînd reglarea are drept scop doar compensarea perturbației  $\underline{u}_p(t)$  și ca urmare compensatorul de stabilizare trebuie exclus. Deci  $\underline{K} = \underline{0}$  și

$$\underline{K}_1 = \begin{bmatrix} \underline{0} & \underline{K}_p \end{bmatrix}. \quad (5.175)$$

Algoritmul de proiectare a blocului de compensare va conține în consecință două etape: (b) proiectarea OS (5.166), (rezolvarea problemei de alocare (5.170) astfel încît OS să estimeze numai stările sistemului

auxiliar (5.161)); (c) calculul compensatorului de perturbație  $\underline{x}_p$  cu rel. (5.171) și (5.172).

Asimilînd SES-1L cu un proces cu ecuațiile de forma (5.160) stabilizat prin utilizarea unui OFLS cu ecuațiile de forma:

$$\begin{aligned} \dot{\underline{z}}_1(t) &= \underline{F} \underline{z}_1(t) + \underline{G} \underline{y}(t) \\ \hat{\underline{u}}_1(t) &= \underline{e}^T \underline{z}_1(t) + \underline{h}^T \underline{y}(t) \\ u(t) &= \hat{\underline{u}}_1(t) + \tilde{z}_\delta(t) \end{aligned} \quad (5.176)$$

SLEM-1L rezultate la pct. 5.5.3. și 5.5.4. au aspectul (v. ec. (5.143) și ec. (5.156)):

$$\begin{aligned} \dot{\underline{x}}_S(t) &= \begin{bmatrix} \underline{A} + \underline{B} \underline{h}^T \underline{C} & \underline{B} \underline{e}^T \\ \underline{G} \underline{C} & \underline{F} \end{bmatrix} \underline{x}_S(t) + \begin{bmatrix} \underline{B} \underline{h}^T \underline{C}'_p + \underline{B}'_p \\ \underline{G} \underline{C}'_p \end{bmatrix} \underline{u}_p(t) + \begin{bmatrix} \underline{B} \\ \underline{O} \end{bmatrix} \tilde{z}_\delta(t) \\ \underline{y}_S(t) &= \begin{bmatrix} \underline{C} & \underline{O} \\ \underline{O} & \underline{I}_{n_{z1}} \end{bmatrix} \underline{x}_S(t) + \begin{bmatrix} \underline{C}'_p \\ \underline{O} \end{bmatrix} \underline{u}_p(t) \\ \tilde{\underline{y}}_S(t) &= \begin{bmatrix} \tilde{\underline{C}} & \underline{O} \end{bmatrix} \underline{x}_S(t) + \begin{bmatrix} \tilde{\underline{C}}'_p \end{bmatrix} \underline{u}_p(t) \end{aligned} \quad (5.177)$$

S-a notat:

$$\underline{x}_S(t) = \begin{bmatrix} \underline{x}(t) \\ \underline{z}_1(t) \end{bmatrix} \text{ cu } \underline{z}_1, (n_{z1}, 1); \quad \underline{y}_S(t) = \begin{bmatrix} \underline{y}(t) \\ \underline{z}_1(t) \end{bmatrix} \quad (5.178)$$

Sistemul (5.177) pentru care, în acord cu cele mai sus menționate, se vor proiecta blocurile de compensare se poate scrie prescurtat sub forma (S = indice pentru mențiunea „stabilizat”):

$$\begin{aligned} \dot{\underline{x}}_S(t) &= \underline{A}_S \underline{x}_S(t) + \underline{B}_p \underline{u}_p(t) + \underline{B}_S \underline{u}_2(t) \quad , \quad \underline{x}_S(0) = \underline{x}_{S0} \\ \underline{y}_S(t) &= \underline{C}_S \underline{x}_S(t) + \underline{C}'_p \underline{u}_p(t) \\ \tilde{\underline{y}}_S(t) &= \tilde{\underline{C}}_S \underline{x}_S(t) + \tilde{\underline{C}}'_p \underline{u}_p(t) \end{aligned} \quad (5.179)$$

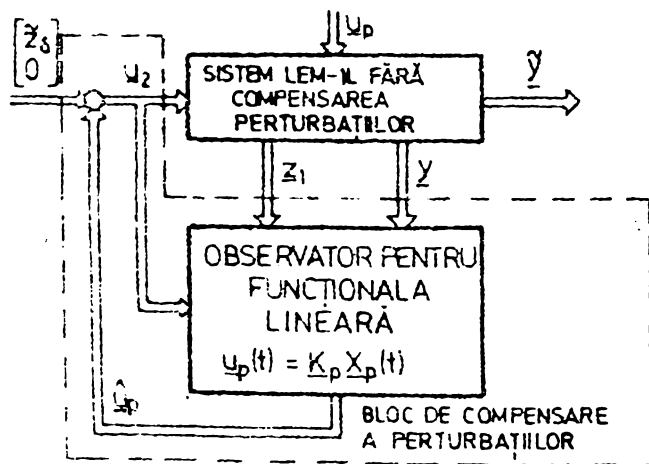


Fig. 5.20. Schema bloc a SLEM-1L cu compensarea perturbațiilor.

Compensarea perturbațiilor ce acționează asupra sistemului (5.179) se face conform schemei alăturată. Avînd în vedere că pentru compensare sînt necesare numai stările sistemului auxiliar (5.161), în locul observatorului identic (5.166) se va utiliza observatorul de ordin redus (5.181) al funcționalei liniare:

$$\underline{u}_p(t) = \underline{K}_p \underline{x}_p(t) \quad (5.180)$$

$$\begin{aligned} \dot{\underline{z}}_p(t) &= \underline{F}_p \underline{z}_p(t) + \underline{G}_p \underline{y}_S(t) + \tilde{\underline{y}}_p \underline{B}_{p-1S} \underline{u}_2(t) \\ \underline{u}_p(t) &= \underline{E}_p \underline{z}_p(t) + \underline{H}_p \underline{y}_S(t) \end{aligned} \quad (5.181)$$

Matricile acestui observator vor trebui să satisfacă următoarele condiții (ele sînt de forma (5.120)):

$$(i) \quad G(\underline{F}_p) \neq G(\underline{A}_S) \quad (5.182-1)$$

$$(ii) \quad \underline{J}_p \underline{A}_{1S} - \underline{F}_p \underline{J}_p = \underline{G} \underline{C}_{1S} \quad (5.182-2)$$

$$(iii) \quad \underline{E}_p \underline{J}_p + \underline{H}_p \underline{C}_{1S} = [\underline{0} ; \underline{K}_p] \quad , \quad (5.182-3)$$

matricea  $\underline{K}_p$  determinându-se potrivit ecuațiilor:

$$\begin{aligned} \underline{V} \underline{A}_0 &= \underline{A}_S \underline{V} + \underline{A}_{pS} + \underline{B}_S \underline{K}_p \\ \underline{0} &= \underline{C}_S \underline{V} + \underline{C}'_p \end{aligned} \quad (5.183)$$

rezultate din rel.(5.161), (5.172) și (5.175). S-a notat:

$$\begin{aligned} \underline{A}_{1S} &= \begin{bmatrix} \underline{A}_S & \underline{A}_{pS} \\ \underline{0} & \underline{A}_0 \end{bmatrix} ; & \underline{B}_{1S} &= \begin{bmatrix} \underline{B}_S \\ \underline{0} \end{bmatrix} ; & \underline{C}_{1S} &= \begin{bmatrix} \underline{C}_S & \underline{C}_{pS} \end{bmatrix} ; \\ \underline{A}_{pS} &= \underline{B}_{pS} \underline{A}_0 ; & \underline{C}_{pS} &= \underline{C}'_{pS} \underline{A}_0 . \end{aligned} \quad (5.184)$$

### 5.6.2. Sisteme cu levitație electromagnetică cu un grad de libertate cu compensarea efectului modificării forței exterioare.

Relațiile pentru calculul blocurilor de compensare ale reguletoarelor SLEM-1L stabilite la pct. 5.6.1.2. au un caracter general. Considerînd în particular sistemul (5.156) ca un SLEM-1L fără compensarea perturbațiilor și (v. fig.5.20):

$$\underline{u}_2 = [u_2] , \quad \underline{u}_p = [F_e \ \dot{F}_e]^T ,$$

cu  $F_e$  de MM asociat (4.38), respectiv

$$\underline{u}_2 = [u_2] , \quad \underline{u}_p = [F_e] ,$$

cu  $F_e$  de MM asociat (4.36), se obțin două scheme de SLEM-1L cu compensarea efectului modificării forței exterioare, prezentate la pct. 5.6.2.1. și 5.6.2.2.

#### 5.6.2.1. Compensarea efectului forței exterioare cu un compensator de ordinul II.

SLEM-1L stabilizat considerat are ec.(5.156) în care  $\tilde{Z}_g$  se înlocuiește prin:

$$u_2 := U_a - \hat{u} = \hat{u}_p + \tilde{Z}_g , \quad (5.185)$$

$\hat{u}$  avînd expresia din ec.(5.155). Forța exterioară și derivata ei se presupun generate de sistemul asociat (4.38). Vectorul ieșirilor reglate se consideră identic cu vectorul ieșirilor măsurate ale SLEM-1L necompensat. Această alegere asigură pe de-o parte o reglare asimptotică care corespunde performanțelor impuse SLEM-1L în raport cu forța exterioară, iar pe de altă parte asigură posibilitatea proiectării unui OFLS de ordin minim pentru blocul de compensare al perturbației (fig.5.20).

În aceste condiții pentru SLEM-1L necompensat se obțin ec.(5.186) și (5.187). Ele corespund formelor canonice (5.170) și (5.162).

$$\begin{bmatrix} \dot{z}_\delta \\ \dot{z}_m \\ z_1 \end{bmatrix} = \underbrace{\begin{bmatrix} 0 & 1 & 0 & 0 \\ 0 & 0 & 1 & 0 \\ b(K_p - K_{po}) + bf_o K_v & -bK_{vo} & b(K_a + K_{ao}) & bK_v \\ -f_o^2 & 0 & 1 & -f_o \end{bmatrix}}_{\underline{A}_S} \underbrace{\begin{bmatrix} z_\delta \\ \dot{z}_\delta \\ \dot{z}_m \\ z_1 \end{bmatrix}}_{\underline{x}_S} + \underbrace{\begin{bmatrix} 0 & 0 \\ 0 & 0 \\ b_{p1} & b_{p2} \\ 0 & 0 \end{bmatrix}}_{\underline{B}_{pS}} \underbrace{\begin{bmatrix} F_e \\ \dot{F}_e \end{bmatrix}}_{\underline{u}_p} + \underbrace{\begin{bmatrix} 0 \\ 0 \\ b \\ 0 \end{bmatrix}}_{\underline{B}_S} u_2 + \underbrace{\begin{bmatrix} 0 \\ 0 \\ -1 \\ 0 \end{bmatrix}}_{\underline{Z}_3} z_3 \quad (5.186)$$

$$\underbrace{\begin{bmatrix} z_\delta \\ \dot{z}_\delta \\ \dot{z}_m \\ z_1 \end{bmatrix}}_{\underline{y}_S \equiv \tilde{\underline{y}}_S} = \underbrace{\begin{bmatrix} 1 & 0 & 0 & 0 \\ 0 & 0 & 1 & 0 \end{bmatrix}}_{\underline{C}_S \equiv \tilde{\underline{C}}_S} \underbrace{\begin{bmatrix} z_\delta \\ \dot{z}_\delta \\ \dot{z}_m \\ z_1 \end{bmatrix}}_{\underline{A}_{pS}}$$

$$\underbrace{\begin{bmatrix} \dot{z}_\delta \\ \dot{z}_\delta \\ \dot{z}_m \\ z_1 \\ F_e \\ \dot{F}_e \end{bmatrix}}_{\dot{\underline{x}}_p} = \underbrace{\begin{bmatrix} 0 & 1 & 0 & 0 & 0 & 0 \\ 0 & 0 & 1 & 0 & 0 & 0 \\ b(K_p - K_{po}) + bf_o K_v & -bK_{vo} & b(K_a + K_{ao}) & bK_v & b_{p1} & b_{p2} \\ -f_o^2 & 0 & 1 & -f_o & 0 & 0 \\ 0 & 0 & 0 & 0 & 0 & 1 \\ 0 & 0 & 0 & 0 & 0 & 0 \end{bmatrix}}_{\underline{A}_{1S}} \underbrace{\begin{bmatrix} z_\delta \\ \dot{z}_\delta \\ \dot{z}_m \\ z_1 \\ F_e \\ \dot{F}_e \end{bmatrix}}_{\underline{x}_S} + \underbrace{\begin{bmatrix} 0 \\ 0 \\ b \\ 0 \\ 0 \\ 0 \end{bmatrix}}_{\underline{B}_{1S}} u_2 + \underbrace{\begin{bmatrix} 0 \\ 1 \\ 0 \\ 0 \\ 0 \\ 0 \end{bmatrix}}_{\underline{Z}_4} z_4 \quad (5.187)$$

$$\underbrace{\begin{bmatrix} z_\delta \\ \dot{z}_\delta \\ \dot{z}_m \\ z_1 \end{bmatrix}}_{\underline{y}_S \equiv \tilde{\underline{y}}_S} = \underbrace{\begin{bmatrix} 1 & 0 & 0 & 0 \\ 0 & 0 & 1 & 0 \end{bmatrix}}_{\underline{C}_S \equiv \tilde{\underline{C}}_S} \underbrace{\begin{bmatrix} z_\delta \\ \dot{z}_\delta \\ \dot{z}_m \\ z_1 \end{bmatrix}}_{\underline{C}_{pS} \equiv \tilde{\underline{C}}_{pS}}$$

5.6.2.1.1. Construcția blocului de compensare a perturbației  $\underline{x}_p = [F_e \ \dot{F}_e]^T$ .

Etapile de calcul ale acestui bloc de compensare sînt următoarele:

a) Se calculează compensatorul de perturbație  $\underline{K}_p$  cu ec.(5.183). Matricile  $\underline{V}$  și  $\underline{K}_p$  au forma:

$$\underline{V} = \begin{bmatrix} v_{11} & v_{21} & v_{31} & v_{41} \\ v_{12} & v_{22} & v_{32} & v_{42} \end{bmatrix}^T ; \quad \underline{K}_p = \begin{bmatrix} K_{p1} & K_{p2} \end{bmatrix} \quad (5.188)$$

iar restul matricilor corespund notațiilor făcute în ec.(5.186) și în ec.(5.187). Rezultă  $\underline{V} = \underline{0}$ , respectiv

$$\underline{K}_p = \begin{bmatrix} -\frac{b_{p1}}{b} & -\frac{b_{p2}}{b} \end{bmatrix} \quad (5.189)$$

b) Se calculează observatorul funcționalei liniare

$$u_p(t) = \underline{K}_p^T \underline{x}_p = -\frac{1}{b}(b_{p1} F_e + b_{p2} \dot{F}_e) \quad (5.190)$$

Perechea  $(\underline{C}_{1S}, \underline{A}_{1S})$  are indicele de observabilitate  $\nu_{Fe} = 4$ , ordinul minim posibil al OFLS (5.190) fiind  $\nu_{Fe} - 1 = 2$ . În continuare se proiectează un astfel de observator. În esență se parcurg aceleași etape ca și la pct. 5.5.3. Astfel, se adoptă pentru  $\underline{F}_p$  forma:

$$\underline{F}_p = \begin{bmatrix} -2\eta\omega_{Fe} & 1 \\ -\omega_{Fe}^2 & 0 \end{bmatrix} \quad (5.191)$$

Considerind apoi c celelalte matrici ale observatorului snt de forma:

$$\underline{G}_p = \begin{bmatrix} g_{11} & g_{12} \\ g_{21} & g_{22} \end{bmatrix}; \quad \underline{t}_p = \begin{bmatrix} t_{11} & t_{12} & t_{13} & t_{14} & t_{15} & t_{16} \\ t_{21} & t_{22} & t_{23} & t_{24} & t_{25} & t_{26} \end{bmatrix}; \quad \underline{e}_p = \begin{bmatrix} e_1 \\ e_2 \end{bmatrix}; \quad \underline{h}_p = \begin{bmatrix} h_1 \\ h_2 \end{bmatrix}. \quad (5.192)$$

condiiile (5.182-2)  (5.182-3) conduc la urmtorul sistem de 18 ecuaii cu 20 de nedeterminate:

$$\begin{aligned} \alpha_{31}t_{13} - f_0^2 t_{14} + 2\eta\omega_{Fe} t_{11} - t_{21} &= g_{11}; & \alpha_{34}t_{23} - f_0 t_{24} + \omega_{Fe}^2 t_{14} &= 0; \\ t_{11} + \alpha_{32}t_{13} + 2\eta\omega_{Fe} t_{12} - t_{22} &= 0; & b_{p1}t_{23} + \omega_{Fe}^2 t_{15} &= 0; \\ t_{12} + \alpha_{33}t_{13} + t_{14} + 2\eta\omega_{Fe} t_{13} - t_{23} &= g_{12}; & b_{p2}t_{23} + t_{25} + \omega_{Fe}^2 t_{16} &= 0; \\ \alpha_{34}t_{13} + (2\eta\omega_{Fe} - f_0) t_{14} - t_{24} &= 0; & e_1 t_{11} + e_2 t_{21} + h_1 &= 0; \\ b_{p1}t_{13} + 2\eta\omega_{Fe} t_{15} - t_{25} &= 0; & e_1 t_{13} + e_2 t_{23} + h_2 &= 0; \\ b_{p2}t_{13} + t_{15} + 2\eta\omega_{Fe} t_{16} - t_{26} &= 0; & e_1 t_{15} + e_2 t_{25} &= K_{p1}; \\ \alpha_{31}t_{23} - f_0^2 t_{24} + \omega_{Fe}^2 t_{11} &= g_{21}; & e_1 t_{12} + e_2 t_{22} &= 0; \\ t_{21} + \alpha_{32} + \omega_{Fe}^2 t_{12} &= 0; & e_1 t_{14} + e_2 t_{24} &= 0; \\ t_{22} + \alpha_{33}t_{23} + t_{24} + \omega_{Fe}^2 t_{13} &= g_{22}; & e_1 t_{16} + e_2 t_{26} &= K_{p2}; \end{aligned} \quad (5.193)$$

in care  $\alpha_{31}, \dots, \alpha_{34}$  reprezint elementele de pe cea de-a treia linie a matricii  $\underline{A}_S$ .

Tinind seama de faptul c valorile lui  $\omega_{Fe}$    $\eta$  nu au fost stabilite rezult c pentru rezolvarea sistemului (5.193) se dispune de patru grade de libertate. Analiznd diferitele posibiliti s-a constatat c pentru OFLS cutat cea mai simpl structur rezult dac se adopt:

$$\eta = \frac{1}{2}, \quad \omega_{Fe} = f_0, \quad e_1 = 0, \quad e_2 = f_0. \quad (5.194)$$

Fr a mai detalia rezolvarea se precizeaz c in final se obine:

$$\begin{bmatrix} Z_{p1}(t) \\ Z_{p2}(t) \end{bmatrix} = \begin{bmatrix} -f_0 & 1 \\ -f_0^2 & 0 \end{bmatrix} \begin{bmatrix} Z_{p1}(t) \\ Z_{p2}(t) \end{bmatrix} + \begin{bmatrix} (K_v - K_{v0}) & -\frac{1}{b} \\ (K_p - K_{p0}) & (K_a + K_{ec}) \end{bmatrix} \begin{bmatrix} Z_f(t) \\ \bar{z}_m(t) \end{bmatrix} + \begin{bmatrix} 0 \\ 1 \end{bmatrix} u_2(t) \\ \hat{u}_p(t) = \begin{bmatrix} 0 & f_0 \end{bmatrix} \begin{bmatrix} Z_{p1}(t) \\ Z_{p2}(t) \end{bmatrix} + \begin{bmatrix} f_0(K_v - K_{v0}) & -\frac{f_0}{b} \end{bmatrix} \begin{bmatrix} Z_f(t) \\ \bar{z}_m(t) \end{bmatrix}. \quad (5.195)$$

Parametrul  $f_0$  reprezint polul observatorului (5.142) amplasat in bucla de stabilizare. Observatorul (5.195) are schema bloc din fig. 5.21.

#### 5.6.2.1.2. Analiza SLEM-1L prevzut cu compensarea efectului perturbaiei $\underline{x}_p = [F_e \ \dot{F}_e]^T$

SLEM-1L prevzut cu posibilitatea de compensare a perturbaiei  $[F_e \ \dot{F}_e]^T$  are ec.(5.196)  structura din fig. 5.22. Regulatorul su este blocuit din OFLS (5.155)  OFLS (5.195). Singurul parametru variabil,

disponibil pentru proiectarea regulatorului este  $f_o$ .

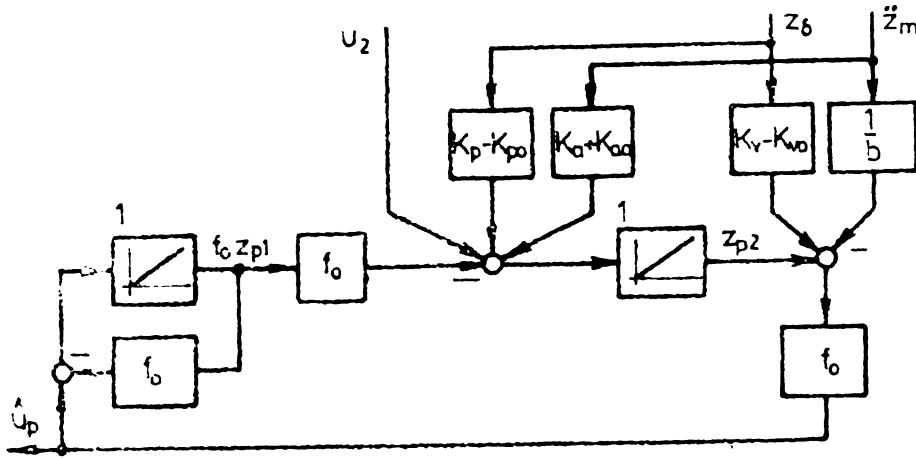


Fig. 5.21. Observatorul funcționalei liniare  $u_p = -(b_{p1}/b)F_e - (b_{p2}/b)F_e$  utilizat pentru compensarea efectului forței exterioare conform schemei bloc din fig.5.20.

$$\begin{bmatrix} Z_\delta \\ \dot{Z}_\delta \\ \ddot{Z}_\delta \\ Z_I \\ Z_{p1} \\ Z_{p2} \end{bmatrix} = \begin{bmatrix} 0 & 1 & 0 & 0 & 0 & 0 \\ 0 & 0 & 1 & 0 & 0 & 0 \\ b(K_p - K_{po}) + 2bf_o K_v - bf_o K_{vo} & -bK_{vo} & b(K_a + K_{ao}) - f_o & bK_v & 0 & bf_o \\ -f_o^2 & 0 & 1 & -f_o & 0 & 0 \\ K_v - K_{vo} & 0 & -\frac{1}{b} & 0 & -f_o & 1 \\ (K_p - K_{po}) + f_o(K_v - K_{vo}) & 0 & K_a + K_{ao} - \frac{f_o}{b} & 0 & -f_o^2 & f_o \end{bmatrix} \begin{bmatrix} Z_\delta \\ \dot{Z}_\delta \\ \ddot{Z}_\delta \\ Z_I \\ Z_{p1} \\ Z_{p2} \end{bmatrix} + \begin{bmatrix} 0 \\ 0 \\ b \\ 0 \\ 0 \\ I \end{bmatrix} \tilde{Z}_\delta + \begin{bmatrix} 0 & 0 & 0 \\ 0 & 0 & -1 \\ b_{p1} & b_{p2} & 0 \\ 0 & 0 & 0 \\ 0 & 0 & 0 \\ 0 & 0 & 0 \end{bmatrix} \begin{bmatrix} F_e \\ \dot{F}_e \\ \ddot{Z}_s \end{bmatrix} \quad (5.196)$$

$$\begin{bmatrix} Z_\delta \\ \ddot{Z}_m \end{bmatrix} = \begin{bmatrix} 1 & 0 & 0 & 0 & 0 & 0 \\ 0 & 0 & 1 & 0 & 0 & 0 \end{bmatrix} \underline{X}$$

Polinomul caracteristic al acestui sistem are expresia:

$$\Delta_{SO}(s) = \Delta(s) \Delta_{OS}(s) \Delta_{OP}(s) \quad (5.197)$$

în care:  $\Delta(s)$  este polinomul caracteristic (5.7) al SLIM-B,  $\Delta_{OS}(s)$  este polinomul caracteristic (5.157) al OFLS (5.155), iar

$$\Delta_{OP}(s) = s^2 + f_o s + f_o^2 \quad (5.198)$$

este polinomul caracteristic al OFLS (5.195).

Procedînd ca și la stabilirea rel.(5.9), de data aceasta se obține:

$$\begin{bmatrix} Z_\delta(s) \\ \ddot{Z}_m(s) \end{bmatrix} = \begin{bmatrix} \frac{b}{\Delta(s)} \\ \frac{bs^2}{\Delta(s)} \end{bmatrix} \tilde{Z}_\delta(s) + \begin{bmatrix} \frac{1 + Ts \cdot s^2}{MT \Delta(s) \Delta_{OP}(s)} \\ \frac{s^2(1+Ts) \cdot s^2}{MT \Delta(s) \Delta_{OP}(s)} \\ - \frac{[s - b(K_a + K_{ao})] \Delta_{OS}(s) \Delta_{OP}(s) - bK_v s^2}{\Delta(s) \Delta_{OS}(s) \Delta_{OP}(s)} \\ \frac{[b(K_{vo} - K_v)s + b(K_{po} - K_p)] \Delta_{OS}(s) \Delta_{OP}(s) + bK_v s^4}{\Delta(s) \Delta_{OS}(s) \Delta_{OP}(s)} \end{bmatrix} \begin{bmatrix} F_e(s) \\ \ddot{Z}_s(s) \end{bmatrix} \quad (5.199)$$

Comparînd acest rezultat cu rel. (5.9) și rel. (5.144) se constată că:  
(i) comportarea sistemului în raport cu mărimea de conducere  $\tilde{Z}_\delta$  este

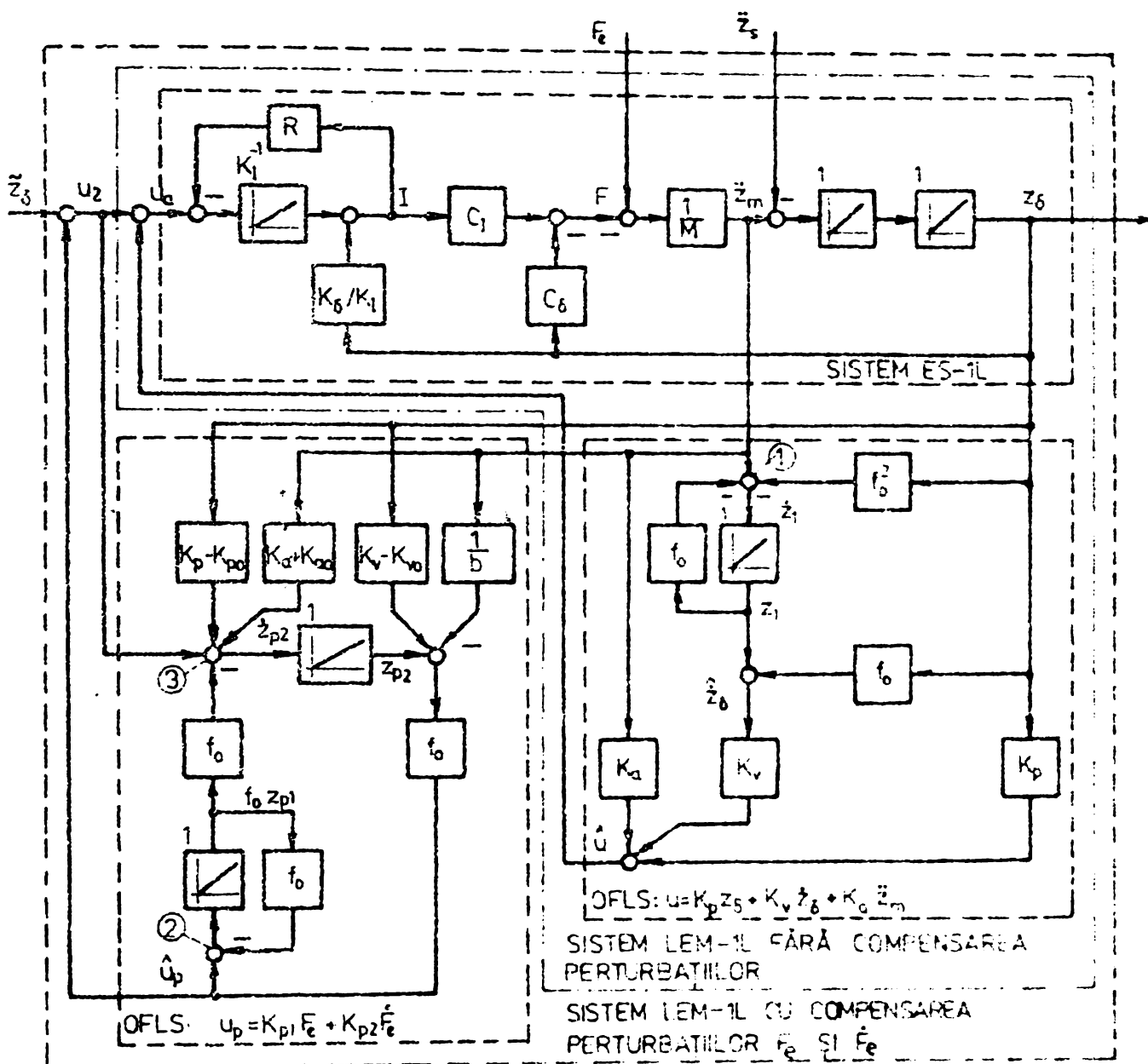


Fig. 5.22. Schema bloc a SLEM-IL cu regulator cu acțiune după vectorul de stare  $\underline{x}_1 = [z_\delta \ \dot{z}_\delta \ \ddot{z}_m]^T$  și vectorul de perturbație  $\underline{x}_2 = [F_e \ \dot{F}_e]^T$ .

aceeași; (ii) compensarea perturbației  $F_e$  se manifestă prin factorul  $s^2/\Delta_{OP}(s)$  care apare în f.d.t.  $G_{FeZ_\delta}(s)$  și  $G_{Fe\ddot{z}_m}(s)$  și care conferă SLEM-IL un caracter astatic față de variațiile staționare ale lui  $F_e$  (erori de reglare staționare nule); (iii) concertarea SLEM-IL în raport cu  $\ddot{z}_s$  este diferită de la caz la caz întrucât

$$G_{z_\delta z_\delta}(s) = -\frac{s-b(K_{A_1}+K_{A_0})}{\Delta(s)} + \left\{ 0, \frac{bK_v}{\Delta(s)\Delta_{OS}(s)}, \frac{bK_v s^2}{\Delta(s)\Delta_{OS}(s)\Delta_{OP}(s)} \right\}$$

rel.: (5.3)      (5.144)      (5.122)      (5.200-1)

$$G_{\ddot{z}_s \ddot{z}_m}(s) = \frac{b(K_{V_0}-K_v)s+b(K_{P_0}-K_p)}{\Delta(s)} + \left\{ 0, \frac{bK_v s^2}{\Delta(s)\Delta_{OS}(s)}, \frac{bK_v s^4}{\Delta(s)\Delta_{OS}(s)\Delta_{OP}(s)} \right\}$$

rel.: (5.3)      (5.144)      (5.122)      (5.200-2)

Aprecierea efectului termenilor aditionali în cazul general este dificilă. Ea se poate face în cazuri concrete.



5.6.2.2. Compensarea efectului forței exterioare cu un compensator de ordinul I.

Compensarea efectului lui  $F_e$  cu un bloc de compensare de ordinul I este posibilă <sup>cînd</sup> atunci pentru  $F_e$  se consideră sistemul auxiliar (4.36), iar pentru sistemul stabilizat se consideră fie varianta cu OS identic (pct. 5.5.2), fie schema cu OFLS-varianta MBB (pct.5.5.3). Problema se dezvoltă în continuare numai pentru cel de-al doilea caz cînd: (i) SLEM-IL stabilizat considerat are ecuațiile de stare (5.143) în care  $\tilde{Z}_f$  se înlocuiește prin  $u_2 := U_a - \hat{u} = \hat{u}_p + \tilde{Z}_f$ ,  $\hat{u}$  avînd expresia (5.142); (ii) vectorul ieșirilor reglate se consideră (din aceleași motive ca și la pct.5.6.2.1) identic cu vectorul ieșirilor măsurate ale SLEM-IL necompensat. Blocul de compensare are structura din fig. 5.20. În aceste condiții pentru SLEM-IL necompensat se obțin ec.(5.201) și (5.202). Ele corespund formelor canonice (5.179) și (5.162).

$$\underbrace{\begin{bmatrix} \dot{Z}_f \\ \ddot{Z}_m \\ Z_1 \\ Z_2 \end{bmatrix}}_{\underline{y}_S} = \underbrace{\begin{bmatrix} 0 & 1 & 0 & 0 & 0 \\ 0 & 0 & 1 & 0 & 0 \\ b(h_1 - K_{po}) & -bK_{vo} & b(h_2 + K_{ao}) & be_1 & be_2 \\ 2\zeta\omega_{OS} & 0 & 0 & -2\zeta\omega_{OS} & 1 \\ \omega_{OS}^2 & 0 & 1 & -\omega_{OS}^2 & 0 \end{bmatrix}}_{\underline{A}_S} \underbrace{\begin{bmatrix} Z_f \\ \dot{Z}_f \\ \ddot{Z}_m \\ Z_1 \\ Z_2 \end{bmatrix}}_{\underline{x}_S} + \underbrace{\begin{bmatrix} 0 \\ 0 \\ b_{p1} \\ 0 \\ 0 \end{bmatrix}}_{\underline{B}_{pS}} F_e + \underbrace{\begin{bmatrix} 0 \\ 0 \\ b \\ 0 \\ 0 \end{bmatrix}}_{\underline{B}_S} u_2 + \underbrace{\begin{bmatrix} 0 \\ -1 \\ 0 \\ 0 \\ 0 \end{bmatrix}}_{\underline{z}_S}$$

$$\underbrace{\begin{bmatrix} Z_f \\ \ddot{Z}_m \\ Z_1 \end{bmatrix}}_{\underline{y}_S} = \underbrace{\begin{bmatrix} 1 & 0 & 0 & 0 & 0 \\ 0 & 0 & 1 & 0 & 0 \\ 0 & 0 & 0 & 1 & 0 \end{bmatrix}}_{\underline{C}_S} \underline{x}_S ; \quad \underbrace{\begin{bmatrix} Z_f \\ \ddot{Z}_m \end{bmatrix}}_{\underline{\tilde{y}}_S} = \underbrace{\begin{bmatrix} 1 & 0 & 0 & 0 & 0 \\ 0 & 0 & 1 & 0 & 0 \end{bmatrix}}_{\underline{\tilde{C}}_S} \underline{x}_S \quad (5.201)$$

$$\underbrace{\begin{bmatrix} \dot{Z}_f \\ \ddot{Z}_m \\ Z_1 \\ Z_2 \\ F_e \end{bmatrix}}_{\underline{x}_p} = \underbrace{\begin{bmatrix} 0 & 1 & 0 & 0 & 0 & 0 \\ 0 & 0 & 1 & 0 & 0 & 0 \\ b(h_1 - K_{po}) & -bK_{vo} & b(h_2 + K_{ao}) & be_1 & be_2 & b_{p1} \\ 2\zeta\omega_{OS} & 0 & 0 & -2\zeta\omega_{OS} & 1 & 0 \\ \omega_{OS}^2 & 0 & 1 & -\omega_{OS}^2 & 0 & 0 \\ 0 & 0 & 0 & 0 & 0 & 0 \end{bmatrix}}_{\underline{A}_{1S}} \underbrace{\begin{bmatrix} Z_f \\ \dot{Z}_f \\ \ddot{Z}_m \\ Z_1 \\ Z_2 \\ F_e \end{bmatrix}}_{\begin{matrix} \underline{x}_S \\ \underline{x}_p \end{matrix}} + \underbrace{\begin{bmatrix} 0 \\ 0 \\ b \\ 0 \\ 0 \\ 0 \end{bmatrix}}_{\underline{B}_{1S}} u_2 + \underbrace{\begin{bmatrix} 0 \\ -1 \\ 0 \\ 0 \\ 0 \\ 0 \end{bmatrix}}_{\underline{z}_S}$$

$$\underbrace{\begin{bmatrix} Z_f \\ \ddot{Z}_m \\ Z_1 \end{bmatrix}}_{\underline{y}_S} = \underbrace{\begin{bmatrix} 1 & 0 & 0 & 0 & 0 & 0 \\ 0 & 0 & 1 & 0 & 0 & 0 \\ 0 & 0 & 0 & 1 & 0 & 0 \end{bmatrix}}_{\underline{C}_{1S}} \underbrace{\begin{bmatrix} \underline{x}_S \\ \underline{x}_p \end{bmatrix}}_{\underline{\tilde{x}}_S} ; \quad \underbrace{\begin{bmatrix} Z_f \\ \ddot{Z}_m \end{bmatrix}}_{\underline{\tilde{y}}_S} = \underbrace{\begin{bmatrix} 1 & 0 & 0 & 0 & 0 & 0 \\ 0 & 0 & 1 & 0 & 0 & 0 \end{bmatrix}}_{\underline{\tilde{C}}_{1S}} \underbrace{\begin{bmatrix} \underline{x}_S \\ \underline{x}_p \end{bmatrix}}_{\underline{\tilde{x}}_S} \quad (5.202)$$

Cantitățile  $e_1$ ,  $e_2$ ,  $h_1$  și  $h_2$  corespund matricilor (5.141).

5.6.2.2.1. Construcția blocului de compensare a perturbației  $x_p = [F_e]$ .

Etapele de calcul ale acestui bloc de compensare sînt următoarele:

a) Compensatorul de perturbație  $K_p$ , calculat cu ec.(5.183), este:

$$K_p = [K_{p1}] = [-b_{p1} / b] \quad (5.203)$$

totodată rezultă  $\underline{v} = \underline{0}$ .

b) Se calculează OFLS:

$$u_p(t) = K_p x_p(t) = -(b_{p1} / b) F_e(t) \quad (5.204)$$

avînd în vedere că perechea  $(C_{1S}, A_{1S})$  are indicele de observabilitate  $\nu_{Fe} = 2$ , ordinul minim posibil al observatorului este  $\nu_{Fe} - 1 = 1$ . În continuare se proiectează un observator de un astfel de ordin considerînd în (5.181):

$$F_p = [-f_p]; \quad G_p = [g_1 \ g_2 \ g_3]; \quad T_p = [t_1 \ t_2 \ t_3 \ t_4 \ t_5 \ t_6]; \quad e_p = [e_p]; \quad h_p = \begin{bmatrix} h_{p1} \\ h_{p2} \\ h_{p3} \end{bmatrix} \quad (5.205)$$

Condițiile (5.182-2) și (5.182-3) conduc la următorul sistem de 12 ecuații cu 14 nedeterminate:

$$\begin{aligned} b(h_1 - K_{p0})t_3 + 2\zeta\omega_{0S}t_4 + \omega_{0S}^2 t_5 + f_p t_1 &= g_1 & e_{p1} t_1 + h_{p1} &= 0 & ; \\ t_1 - bK_{v0}t_3 + f_p t_2 &= 0 & e_{p2} t_2 &= 0 & ; \\ t_2 + b(h_2 + K_{a0})t_3 + t_5 + f_p t_3 &= g_2 & e_{p3} t_3 + h_{p2} &= 0 & ; \\ be_1 t_3 - 2\zeta\omega_{0S}t_4 - \omega_{0S}^2 t_5 + f_p t_4 &= g_3 & e_{p4} t_4 + h_{p3} &= 0 & ; \\ be_2 t_3 + t_4 + f_p t_5 &= 0 & e_{p5} t_5 &= 0 & ; \\ b_{p1} t_3 + f_p t_6 &= 0 & e_{p6} t_6 &= K_{p1} & . \end{aligned} \quad (5.206)$$

Valoarea lui  $f_p$  considerîndu-se adoptată „puțin la stînga” polilor (5.8) ai sistemului necompensat, pentru rezolvarea sistemului (5.206) se dispune de un grad de libertate. Sistemul (5.206) este compatibil numai cînd acest grad de libertate este reprezentat de  $e_p$ ; prin intermediul lui este posibilă modificarea amplificărilor de pe canalele de intrare ale observatorului. Astfel, adoptînd:

$$e_p = f_p \quad (5.207)$$

rezultă:

$$\hat{z}_p(t) = -f_p z_p(t) + [h_1 - K_{p0} - 2\zeta\omega_{0S}e_2 + f_p K_{v0}, \quad h_2 + K_{a0} + \frac{f_p}{b}, \quad e_1 + 2\zeta\omega_{0S}e_2 - f_p e_2] \begin{bmatrix} z_8(t) \\ z_m(t) \\ z_1(t) \end{bmatrix} + u_2(t)$$

$$\hat{u}_p(t) = f_p z_p(t) + [-f_p K_{v0}, \quad -\frac{f_p}{b}, \quad f_p e_2] \begin{bmatrix} z_8(t) \\ z_m(t) \\ z_1(t) \end{bmatrix} \quad (5.208)$$

OFLS (5.208) are schema bloc din fig. 5.23.

5.6.2.2.2. Analiza SLEM-LL cu compensarea perturbației  $x_p = [F_e]$ .

SLEM-LL prevăzut cu posibilitatea de compensare a efectului perturbației  $u_p = [F_e]$  are ec.(5.209) și structura din fig. 5.24. Regulatorul său este

alestituit din OFLS (5.142) și OFLS (5.208). Pentru proiectarea regulatorului sînt disponibili trei parametri și anume:  $\omega_{OS}$ ,  $\zeta$  și  $f_p$ . Primii doi afectează amplificările întregului regulator, iar ultimul numai amplificările OFLS (5.208).

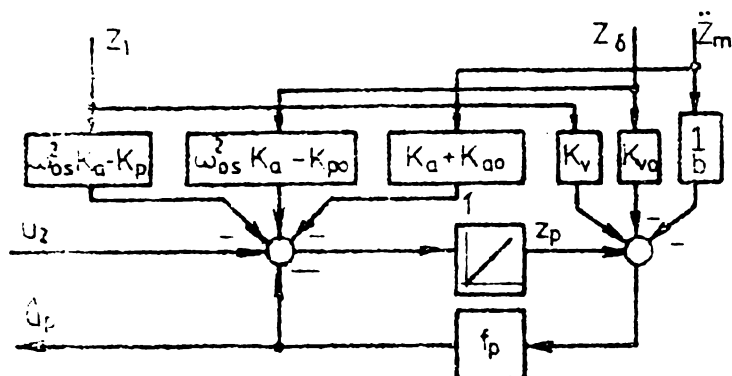


Fig. 5.23. Observatorul funcționalei liniare  $u_p = -(b_{pl} / b) F_e$  utilizat pentru compensarea efectului forței exterioare, corespunzător schemei din fig.5.20.

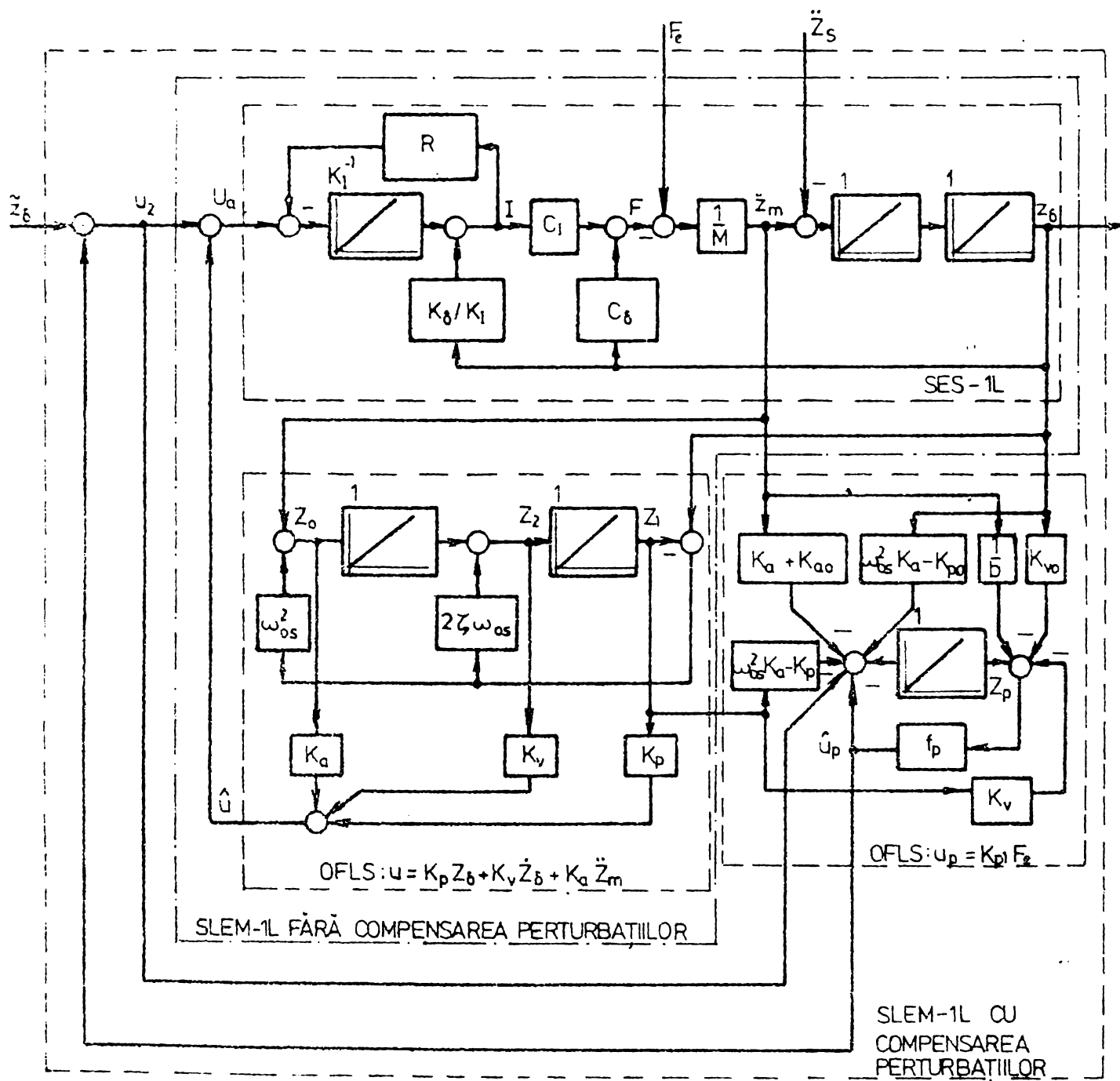


Fig. 5.24. Schema bloc a SLEM-1L cu regulator cu acțiune continuă după vectorul de stare  $\underline{x}_2 = [Z_\delta \quad \dot{Z}_\delta \quad \ddot{Z}_m]^T$  și vectorul de perturbare  $x_p = [F_e]$ .

$$\begin{bmatrix} Z_\delta \\ \dot{Z}_\delta \\ \ddot{Z}_m \\ Z_1 \\ Z_2 \\ Z_p \end{bmatrix} = \begin{bmatrix} 0 & 1 & 0 & 0 & 0 & 0 \\ 0 & 0 & 1 & 0 & 0 & 0 \\ b(h_1 - K_{po}) - bf_p K_{vo} & -bK_{vo} & b(h_2 + K_{ao}) - f_p & bK_{vo} + bf_p K_v & be_2 & bf_p \\ 2\zeta\omega_{OS} & 0 & 0 & -2\zeta\omega_{OS} & 1 & 0 \\ \omega_{OS}^2 & 0 & 1 & -\omega_{OS}^2 & 0 & 0 \\ \omega_{OS}^2 K_a - K_{po} & 0 & K_a + K_{ao} & K_p - \omega_{OS}^2 K_a & 0 & 0 \end{bmatrix} \begin{bmatrix} Z_\delta \\ \dot{Z}_\delta \\ \ddot{Z}_m \\ Z_1 \\ Z_2 \\ Z_p \end{bmatrix} + \begin{bmatrix} 0 & 0 \\ 0 & -1 \\ b_{pl} & 0 \\ 0 & 0 \\ 0 & 0 \\ 0 & 0 \end{bmatrix} \begin{bmatrix} F_\delta \\ \ddot{Z}_s \end{bmatrix} \quad (5.209)$$

Polinomul caracteristic al acestui sistem are expresia (5.197) în care  $\Delta(s)$  este polinomul caracteristic al SLEM-B,  $\Delta_{OS}(s)$  este polinomul caracteristic (5.133) al OFLS (5.142), iar

$$\Delta_{OP}(s) = s + f_p \quad (5.210)$$

este polinomul caracteristic al OFLS (5.208). În locul rel. (5.193) în acest caz se obține:

$$\begin{bmatrix} Z_\delta(s) \\ \ddot{Z}_m(s) \end{bmatrix} = \begin{bmatrix} \frac{b}{\Delta(s)} \\ \frac{bs^2}{\Delta(s)} \end{bmatrix} \ddot{Z}_\delta(s) + \begin{bmatrix} \frac{s}{MT\Delta(s)\Delta_{OP}(s)} \\ \frac{s^3}{MT\Delta(s)\Delta_{OP}(s)} \end{bmatrix} - \frac{[s - b(K_a + K_{ao})]\Delta_{OS}(s) - (K_v + K_p - \omega_{OS}^2 K_a)\Delta_{OP}(s)}{\Delta(s)\Delta_{OS}(s)} \begin{bmatrix} F_\delta(s) \\ \ddot{Z}_s(s) \end{bmatrix} \quad (5.211)$$

unde:

$$G_{Z_s \ddot{Z}_m}^-(s) = \frac{[b(K_{vo} - K_v)s + b(K_{po} - K_p)]\Delta_{OS}(s)\Delta_{OP}(s) + bs[s(K_v + K_p - \omega_{OS}^2 K_a)\Delta_{OP}(s) + f_p(K_v - K_{vo})\Delta_{OS}(s)]}{\Delta(s)\Delta_{OS}(s)\Delta_{OP}(s)}$$

Comportarea sistemului (5.209) în raport cu mărimea de conducere este aceeași ca și în cazurile anterioare. Compensarea perturbației se manifestă prin factorii  $s$  și  $s^3$  ai numărătorilor s.d.t.  $G_{Z_\delta \ddot{Z}_\delta}(s)$  și  $G_{F_\delta \ddot{Z}_m}(s)$ , iar comportarea în raport cu perturbația  $\ddot{Z}_s$  este diferită de cazurile anterioare.

5.6.3. SLEM-1L cu compensarea efectului neregularităților căii de glisare.

Compensarea efectului neregularităților căii de glisare se asigură în principiu cu reglatoare proiectate tot pe baza relațiilor stabilite la pct. 5.6.1.2. Spre deosebire de cazul compensării efectului forței exterioare, proiectarea acestor reglatoare este mai dificilă. Faptul se datorează pe de-o parte structurii mărimii  $Z_s$

( $Z_s = Z_{su} + Z_{sp}$ ) și a modelelor matematice asociate componentelor acesteia, iar pe de altă parte modului diferit în care se cere să se comporte SLEM-1L în raport cu cele două componente. Privind componenta perturbatoare  $Z_{sp}$  se precizează că în cadrul paragrafului se consideră numai partea deterministă a acesteia, adică  $Z_{sp} = Z_{spl}$ , în loc de  $Z_{spl}$  utilizându-se notația  $Z_{sp}$ .

5.6.3.1. Principiul de realizare a SLEM-1L cu compensarea efectului neregularităților căii de glisare.

La pct. 4.2.2. s-au stabilit pentru componentele  $Z_{su}$  și  $Z_{sp}$  ale lui  $Z_s$  diferite sisteme asociate ce pot fi luate în considerație în vederea compensării efectului nedorit al acestor mărimi asupra SLEM-1L.

Dacă SES-1L se consideră prin ec.(5.126) atunci compensarea efectului variațiilor lui  $\ddot{Z}_s$ , respectiv al variațiilor componentelor menționate, nu este posibilă întrucât vectorii  $[0 \ 0 \ b]^T$  și  $[0 \ -1 \ 0]^T$ , aferenți lui  $U_a$  și  $\ddot{Z}_s$  sînt liniari independenți. Altfel spus, nu există matrici  $V$  și  $M$  care, pentru acest caz, să satisfacă prima ec.(5.171) [88,87].

Acest inconvenient poate fi ocolit utilizînd ca variabile de stare mărimile:

$$X_{z1} = Z_m - Z_{su}, \quad X_{z2} = \dot{Z}_m - \dot{Z}_{su}, \quad X_{z3} = \ddot{Z}_m - \ddot{Z}_{su}. \quad (5.212)$$

În adevăr, din rel.(5.126) și (5.212) rezultă:

$$\begin{bmatrix} X_{z1} \\ X_{z2} \\ X_{z3} \end{bmatrix} = \begin{bmatrix} 0 & 1 & 0 \\ 0 & 0 & 1 \\ -bK_{po} & -bK_{vo} & bK_{ao} \end{bmatrix} \begin{bmatrix} X_{z1} \\ X_{z2} \\ X_{z3} \end{bmatrix} + \begin{bmatrix} 0 \\ 0 \\ b \end{bmatrix} U_a + \begin{bmatrix} 0 & 0 \\ 0 & 0 \\ bK_{po} & bK_{vo} \end{bmatrix} \begin{bmatrix} Z_{sp} \\ \dot{Z}_{sp} \end{bmatrix} + \begin{bmatrix} 0 & 0 \\ 0 & 0 \\ bK_{ao} & -1 \end{bmatrix} \begin{bmatrix} \ddot{Z}_{su} \\ \ddot{Z}_{su} \end{bmatrix} + \begin{bmatrix} 0 & 0 \\ 0 & 0 \\ b_{p1} & b_{p2} \end{bmatrix} \begin{bmatrix} i \\ i \end{bmatrix} \quad (5.213-1)$$

$$\begin{bmatrix} Z_s \\ \ddot{Z}_m \end{bmatrix} = \begin{bmatrix} 1 & 0 & 0 \\ 0 & 0 & 1 \end{bmatrix} \begin{bmatrix} X_{z1} \\ X_{z2} \\ X_{z3} \end{bmatrix} + \begin{bmatrix} -1 & 0 \\ 0 & 0 \end{bmatrix} \begin{bmatrix} Z_{sp} \\ \dot{Z}_{sp} \end{bmatrix} + \begin{bmatrix} 0 & 0 \\ 1 & 0 \end{bmatrix} \begin{bmatrix} \ddot{Z}_{su} \\ \ddot{Z}_{su} \end{bmatrix}, \quad (5.213-2)$$

toți vectorii din ec.(5.213-1), aferenți mărimilor  $Z_{sp}$ ,  $\dot{Z}_{sp}$ ,  $\ddot{Z}_{su}$ ,  $F_e$  și  $\dot{F}_e$  fiind coliniari cu vectorul mărimii de comandă  $U_a$ . Această transformare, prezentată în [31,62], a fost utilizată la firma MBB. În aceste lucrări se precizează că plecînd de la un astfel de model <sup>+) s-a proiectat un SLEM-1L folosind o reglare după stare bazată pe utilizarea unui observator de ordinul 9. Ordinul observatorului corespunde extinderii sistemului (5.213) prin sistemele asociate (4.24) și (VI-5). O astfel de variantă prin care se reglează asimptotic diferențele dintre variațiile pozițiilor și accelerațiilor electromagnetului și șinei prezintă următoarele dezavantaje:</sup>

<sup>+) În [82] mărimea  $Z_{sp}$  se omite fără nici o justificare.</sup>

(i) SLEM-1L rezultă complicat și prezintă o mare sensibilitate în raport cu parametrii SLS-1L extins prin cele două sisteme asociate. Practic sistemul este utilizabil numai pentru o singură valoare vitezei de croazieră (v. rel.(4.23') și (VI-1)).

(ii) Sistemul nu permite deconectarea unor canale de compensare a perturbațiilor, deconectarea oricărui canal afectând atât stabilitatea, cât și dinamica sistemului.

Din aceste motive lucrările menționate s-au orientat spre variante de SLEM-1L de ordin mai redus care compensează fie efectul modificării lui  $Z_{su}$ , fie efectul modificării lui  $Z_{sp}$ . Avantajul obținut îl constituie reducerea complexității sistemului. În fiecare din cele două cazuri se apreciază că rezultă o îmbunătățire a comportării SLEM-1L și în raport cu  $Z_{sp}$ , respectiv  $Z_{su}$ . Din cauza primului dezavantaj <sup>†)</sup> în [62] se renunță în final la această variantă de reglaj.

În continuare se va observa că variabilele de stare (5.212) pot fi utilizate în cazul oricăruia din sistemele (5.143), (5.156), (5.196) și (5.209), rezultând posibilitatea compensării efectului lui  $Z_{su}$  și  $Z_{sp}$  prin adăugarea unor noi bucle de compensare la sistemele din fig.5.13, 5.22 și 5.24, la fel cum s-a procedat și la pct.5.6.2. Acest principiu

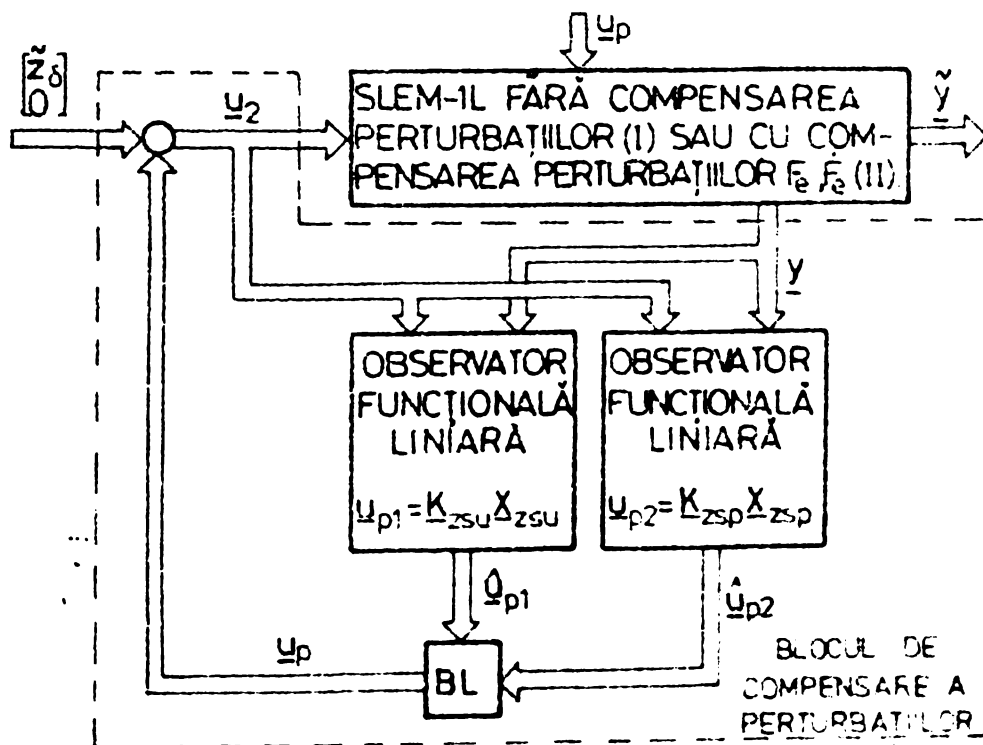


Fig. 5.25. Schemă bloc generală a SLEM-1L cu compensarea efectului perturbațiilor datorate cîii de glisare și forței exterioare. BL = bloc logic, care, la comandă, realizează  $u_p = 0$ ,  $u_{p1}$ ,  $u_{p2}$  sau  $u_{p1} + u_{p2}$ .

de realizare a SLEM-1L, observat de autor, elimină complet dezavantajul (ii) și reduce considerabil sensibilitatea în raport cu modificarea parametrilor în funcție de viteză v. Dacă, în plus, cămină de intrare  $Z_{su}$  se modelează prin sistemul asociat (4.33) cu parametrii independenți de v, acest ultim dezavantaj este eliminat într-o măsură și mai mare.

Schemă bloc generală a sistemelor ce intră în considerație este prezentată în fig.5.26.

<sup>†)</sup> În [31, 62] nu se face mențiunea (ii).

În cazul cînd se consideră SLEM-1L fără compensarea perturbațiilor (cazul I), în proiectarea blocului de compensare se pleacă de la ecuațiile de stare:

$$\begin{bmatrix} X_{z1} \\ X_{z2} \\ X_{z3} \\ Z_1 \end{bmatrix} = \begin{bmatrix} 0 & 1 & 0 & 0 \\ 0 & 0 & 1 & 0 \\ \alpha_{31} & \alpha_{32} & \alpha_{33} & \alpha_{34} \\ \alpha_{41} & 0 & 1 & \alpha_{44} \end{bmatrix} \begin{bmatrix} X_{z1} \\ X_{z2} \\ X_{z3} \\ Z_1 \end{bmatrix} + \begin{bmatrix} 0 & 0 \\ 0 & 0 \\ b & 0 \\ 0 & 1 \end{bmatrix} \begin{bmatrix} \tilde{Z}_\delta \\ \tilde{Z}_a \end{bmatrix} + \begin{bmatrix} 0 & 0 \\ 0 & 0 \\ -\alpha_{31} & -\alpha_{32} \\ -\alpha_{41} & 0 \end{bmatrix} \begin{bmatrix} Z_{sp} \\ \dot{Z}_{sp} \end{bmatrix} + \begin{bmatrix} 0 & 0 \\ 0 & 0 \\ \alpha_{33} & -1 \\ 1 & 0 \end{bmatrix} \begin{bmatrix} \ddot{Z}_{su} \\ \ddot{Z}_{su} \end{bmatrix} + \begin{bmatrix} 0 & 0 \\ 0 & 0 \\ b_{p1} & b_{p2} \\ 0 & 0 \end{bmatrix} \begin{bmatrix} F_e \\ \dot{F}_e \end{bmatrix} \quad (5.214)$$

obținute din ec.(5.156) și (5.212), iar în cazul cînd se consideră SLEM-1L cu compensarea perturbațiilor  $F_e$  și  $\dot{F}_e$  (cazul II) se pleacă de la ecuațiile de stare:

$$\begin{bmatrix} X_{z1} \\ X_{z2} \\ X_{z3} \\ Z_1 \\ Z_{p1} \\ Z_{p2} \end{bmatrix} = \begin{bmatrix} 0 & 1 & 0 & 0 & 0 & 0 \\ 0 & 0 & 1 & 0 & 0 & 0 \\ \beta_{31} & \beta_{32} & \beta_{33} & \beta_{34} & 0 & \beta_{36} \\ \beta_{41} & 0 & 1 & \beta_{44} & 0 & 0 \\ \beta_{51} & 0 & \beta_{53} & 0 & \beta_{55} & 1 \\ \beta_{61} & 0 & \beta_{63} & 0 & \beta_{65} & \beta_{66} \end{bmatrix} \begin{bmatrix} X_{z1} \\ X_{z2} \\ X_{z3} \\ Z_1 \\ Z_{p1} \\ Z_{p2} \end{bmatrix} + \begin{bmatrix} 0 & 0 & 0 \\ 0 & 0 & 0 \\ b & 0 & 0 \\ 0 & 0 & 1 \\ 0 & 0 & 1 \\ 1 & 1 & 0 \end{bmatrix} \begin{bmatrix} \tilde{Z}_\delta \\ \tilde{Z}_a \\ \tilde{Z}_b \end{bmatrix} + \begin{bmatrix} 0 & 0 \\ 0 & 0 \\ -\beta_{31} & -\beta_{32} \\ -\beta_{41} & 0 \\ -\beta_{51} & 0 \\ -\beta_{61} & 0 \end{bmatrix} \begin{bmatrix} Z_{sp} \\ \dot{Z}_{sp} \\ \dot{Z}_{sp} \end{bmatrix} + \begin{bmatrix} 0 & 0 \\ 0 & 0 \\ \beta_{33} & -1 \\ \beta_{43} & 0 \\ \beta_{53} & 0 \\ \beta_{63} & 0 \end{bmatrix} \begin{bmatrix} \ddot{Z}_{su} \\ \ddot{Z}_{su} \\ \ddot{Z}_{su} \end{bmatrix} + \begin{bmatrix} 0 & 0 \\ 0 & 0 \\ b_{p1} & b_{p2} \\ 0 & 0 \\ 0 & 0 \\ 0 & 0 \end{bmatrix} \begin{bmatrix} F_e \\ \dot{F}_e \\ \dot{F}_e \end{bmatrix} \quad (5.215)$$

obținute din ec.(5.196) și (5.212). Aceste două modele corespund SLEM-1L realizate prin utilizarea OFLS de la pct.5.5.4. Asemănător se pot stabili MM corespunzătoare cazurilor ce folosesc OFLS-varianta MBB (pct.5.5.3 și 5.6.2.2). Referitor la ec.(5.214) și (5.215) se fac următoarele precizări:

1<sup>o</sup>-Transformarea (5.212) nu modifică matricile sistemelor de bază. În consecință notațiile utilizate au următoarea semnificație:

$$\begin{aligned} \alpha_{31} &= b(K_p - K_{po}) + bf_o K_v & ; & \alpha_{32} = -bK_{vo} & ; & \alpha_{33} = b(K_a + K_{ao}) \\ \alpha_{34} &= bK_v & ; & \alpha_{41} = -f_o^2 & ; & \alpha_{44} = -f_o \end{aligned} \quad (5.216)$$

respectiv:

$$\begin{aligned} \beta_{31} &= b(K_p - K_{po}) + 2bf_o K_v - bf_o K_{vo} & ; & \beta_{32} = -bK_{vo} & ; & \beta_{33} = b(K_a + K_{ao}) - f_o & ; \\ \beta_{34} &= bK_v & ; & \beta_{36} = bf_o & ; & \beta_{41} = \beta_{65} = -f_o^2 & ; & \beta_{44} = \beta_{55} = -\beta_{66} = -f_o & ; & \beta_{51} = K_v - K_{vo} & ; \\ \beta_{53} &= -\frac{1}{b} & ; & \beta_{61} = (K_p - K_{po}) + f_o(K_v - K_{vo}) & ; & \beta_{63} = K_a + K_{ao} - f_o/b & . \end{aligned} \quad (5.217)$$

2° - Fiecare din cele două sisteme utilizează în afară de  $\tilde{Z}_f$  și alte mărimi de comandă:  $\tilde{Z}_a$ , respectiv  $\tilde{Z}_e$  și  $\tilde{Z}_y$ . Ele acționează în locurile de însumare ①, ② și ③ din fig. 5.16.1 și 5.22, toate aceste puncte fiind accesibile întrucît aparțin regulatorului.

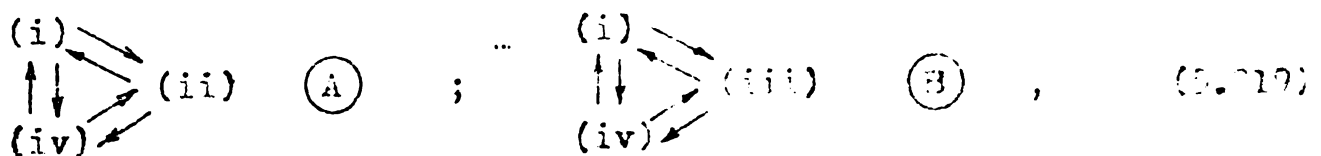
3° - Pentru fiecare din cele două sisteme observabilitatea este asigurată de diferite configurații ale vectorului de ieșire. Spre exemplu, în cazul sistemului (5.214) se pot lua în considerație următoarele variante:

$$\underline{y} = \begin{bmatrix} Z_f \\ Z_m \\ Z_1 \end{bmatrix}, \begin{bmatrix} Z_f \\ \tilde{Z}_m \\ Z_1 \end{bmatrix}, \begin{bmatrix} Z_f \\ Z_1 \end{bmatrix} \text{ sau } \begin{bmatrix} \tilde{Z}_a \\ Z_1 \end{bmatrix}. \quad (5.218)$$

Blocul logic BL din schema bloc generală are rostul de a permite realizarea mai multor variante de compensare și anume:

- (i)  $\underline{u}_p = \underline{0}$  cînd nu se compensează efectul modificării lui  $Z_s$ ;
- (ii)  $\underline{u}_p = \hat{\underline{u}}_{p1}$  cînd se compensează numai efectul modificării lui  $Z_{su}$  (la mersul în erce de tranziție);
- (iii)  $\underline{u}_p = \hat{\underline{u}}_{p2}$  cînd se compensează numai efectul modificării lui  $Z_{sp}$  (mers normal cu suspensie seculară pușca elastică) la o viteză constantă;
- (iv)  $\underline{u}_p = \hat{\underline{u}}_{p1} + \hat{\underline{u}}_{p2}$  cînd, (teoretic), se însurează efectele de la (ii) și (iii).

Principiul de realizare a compensării permite trecerea de la o variantă la alta pentru oricare din grupele:



fără a periclita stabilitatea sistemului. Structurile blocurilor de compensare din variantele (iv) aferente celor două grupe vor diferi întrucît posibilitățile de comutare (ii) ↔ (iv), respectiv (iii) ↔ (iv) se bazează pe două variante (iv) ce rezultă prin completarea reguletoarelor din variantele (ii), respectiv (iii). Spre exemplu, pentru grupa A varianta (iv) se realizează prin păstrarea regulatorului din varianta (ii) și adăugarea unui bloc de compensare a efectului lui  $Z_{sp}$  avînd structura dependentă de cea a regulatorului din varianta (ii).

Prezentarea de mai sus permite să se intitulase normal relativ mare de variante de SLEM-1L ce se pot lua în considerație. Întrucît, principial, proiectarea lor nu diferă, în continuare se analizează doar tipurile de SLEM-1L din variantele (ii) și (iii) aferente cazului I: varianta (ii) - cazul I la pct. 5.6.3.2. în situația particulară a adoptărilor (5.228) și (5.232) și varianta (iii) - cazul I la pct. 5.6.3.3. în situația particulară a adoptărilor (5.241) și (5.250). Opțiunea pentru cazul I s-a



făcut avînd în vedere și faptul că în cazul „roții magnetice” (pct.6.1), unde aceste variante au aplicabilitate directă, forța exterioară  $F_e$  nu mai acționează direct asupra electromagnetului (fig.6.1).

5.6.3.2. Varianta de SLEM-1L cu compensarea efectului modificării componentei  $Z_{su}$  a poziției căii de glisare.

SLEM-1L are în acest caz structura din fig. 5.25 - cazul I, fără OFLS:  $u_{p2}$ . Ecuațiile SLEM-1L necompensat sînt:

$$\begin{bmatrix} \ddot{x}_{z1} \\ \ddot{x}_{z2} \\ \ddot{x}_{z3} \\ \ddot{z}_1 \\ \ddot{z}_{su} \\ \ddot{z}_{su} \end{bmatrix} = \underbrace{\begin{bmatrix} 0 & 1 & 0 & 0 \\ 0 & 0 & 1 & 0 \\ \alpha_{31} & \alpha_{32} & \alpha_{33} & \alpha_{34} \\ \alpha_{41} & 0 & 1 & \alpha_{44} \\ c & 0 & 0 & 0 \\ 0 & 0 & 0 & 0 \end{bmatrix}}_{A_S} \underbrace{\begin{bmatrix} 0 & 0 \\ 0 & 0 \\ \alpha_{33} & -1 \\ 1 & 0 \\ 0 & 1 \\ 0 & 0 \end{bmatrix}}_{A_{pS}} \begin{bmatrix} x_{z1} \\ x_{z2} \\ x_{z3} \\ z_1 \\ z_{su} \\ z_{su} \end{bmatrix} + \underbrace{\begin{bmatrix} 0 & 0 \\ 0 & 0 \\ b & 0 \\ 0 & 1 \\ 0 & 0 \\ 0 & 0 \end{bmatrix}}_{B_S} \underbrace{\begin{bmatrix} \ddot{z}_d \\ \ddot{z}_a \end{bmatrix}}_{\ddot{z}} + \underbrace{\begin{bmatrix} 0 & 0 \\ 0 & 0 \\ -\alpha_{31} & -\alpha_{32} \\ -\alpha_{41} & 0 \\ 0 & 0 \\ 0 & 0 \end{bmatrix}}_{B_{1S}} \underbrace{\begin{bmatrix} z_{sp} \\ \dot{z}_{sp} \end{bmatrix}}_{z_{sp}} + \underbrace{\begin{bmatrix} 0 & 0 \\ 0 & 0 \\ b_{p1} & b_{p2} \\ 0 & 0 \\ 0 & 0 \\ 0 & 0 \end{bmatrix}}_{B_{1S} u_2} \underbrace{\begin{bmatrix} F_e \\ F_e \end{bmatrix}}_{F_e} \quad (5.220)$$

$$\underbrace{\begin{bmatrix} \ddot{z}_m \\ z_1 \end{bmatrix}}_{y_S} = \underbrace{\begin{bmatrix} 0 & 0 & 1 & 0 & 1 & 0 \\ 0 & 0 & 0 & 1 & 0 & 0 \end{bmatrix}}_{C_{1S}} \underbrace{\begin{bmatrix} x_S \\ x_p \end{bmatrix}}_{x_S}; \quad \underbrace{\begin{bmatrix} x_{z1} \\ x_{z3} \end{bmatrix}}_{\tilde{y}_S} = \underbrace{\begin{bmatrix} 1 & 0 & 0 & 0 & 0 & 0 \\ 0 & 0 & 1 & 0 & 0 & 0 \end{bmatrix}}_{\tilde{C}_{1S}} \underbrace{\begin{bmatrix} x_S \\ x_p \end{bmatrix}}_{x_S}$$

Ecuațiile de stare ale acestui sistem au rezultat prin extinderea sistemului (5.214) cu sistemul asociat (4.33). Ieșirile de măsură  $y_S$  s-au ales astfel încît ele să nu fie afectate de perturbațiile  $[z_{sp} \dot{z}_{sp}]^T$  și  $[F_e \dot{F}_e]^T$ . Ieșirile de apreciere s-au ales de așa manieră încît prin reglarea lor asimptotică vehiculul ajunge să urmărească traseul nominal păstrînd un întrefier constant și accelerația impusă de traseu:

$$x_{z1} = 0 \rightarrow z_m = z_{su} = z_S \Big|_{z_{sp}=0}; \quad x_{z3} = 0 \rightarrow \ddot{z}_m = \ddot{z}_{su}$$

În condițiile menționate proiectarea SLEM-1L cu compensarea lui  $Z_{su}$  se rezumă la proiectarea OFLS:  $u_{p1} = K_z su \cdot x_{z su}$ .<sup>\*)</sup> Pentru a putea utiliza rel.(5.180) + (5.184) aceeași funcțională se scrie sub forma:

$$u_p = K_p x_p \quad (5.221)$$

Etapele de calcul ale acestui observator sînt următoarele:

a) Se calculează compensatorul de perturbație  $K_p$  folosind ec.(5.183). Rezultă  $v = 0$  și

$$K_p = \begin{bmatrix} -\frac{\alpha_{33}}{b} & \frac{1}{b} \\ -1 & 0 \end{bmatrix} = \begin{bmatrix} -(K_a + K_{a0}) & \frac{1}{b} \\ -1 & 0 \end{bmatrix} = \begin{bmatrix} K_{p1}^T \\ K_{p2}^T \end{bmatrix} \quad (5.222)$$

\*) Notația corespunde fig. 5.25, în care  $x_{z su} = [\ddot{z}_{su} \ddot{z}_{su}]^T$ .

In consecință:

$$\underline{u}_p = \begin{bmatrix} \tilde{z}_{\delta 1} \\ \tilde{z}_{\alpha 1} \end{bmatrix} = \begin{bmatrix} -\frac{\alpha_{33}}{b} & \frac{1}{b} \\ -1 & 0 \end{bmatrix} \begin{bmatrix} \tilde{z}_{su} \\ \ddot{\tilde{z}}_{su} \end{bmatrix} \quad (5.223)$$

b<sub>1</sub>) Se calculează OFLS (5.223) avind în vedere că indicele de observabilitate al perechii (C<sub>1S</sub>, A<sub>1S</sub>) este  $\nu_{Zsu} = 4$ . Cu toate că ordinul minim al OFLS:  $\underline{u}_p$  rezultă tocmai  $\nu_{Zsu}$ , se adoptă un observator de ordinul 6 compus din doi OFLS autonomi de ordinul 3 și anume câte unul pentru fiecare din funcționalele liniare ce apar în rel. (5.223). Ecuațiile acestui observator sînt:

$$\begin{bmatrix} \dot{z}_{o1} \\ \dot{z}_{o2} \end{bmatrix} = \underbrace{\begin{bmatrix} F_1 & 0 \\ 0 & F_2 \end{bmatrix}}_{F_p} \begin{bmatrix} z_{o1} \\ z_{o2} \end{bmatrix} + \underbrace{\begin{bmatrix} G_1 \\ G_2 \end{bmatrix}}_{G_p} \underbrace{\begin{bmatrix} \tilde{z}_m \\ z_1 \end{bmatrix}}_{y_s} + \underbrace{\begin{bmatrix} \tilde{f}_1 \\ \tilde{f}_2 \end{bmatrix}}_{\tilde{f}} \underbrace{\begin{bmatrix} \tilde{z}_\delta \\ \tilde{z}_\alpha \end{bmatrix}}_{u_2} \quad (5.224)$$

$$\underline{u}_{pi} = \underbrace{\begin{bmatrix} e_1^T & 0 \\ 0 & e_2^T \end{bmatrix}}_{E_p} \begin{bmatrix} z_{o1} \\ z_{o2} \end{bmatrix} + \underbrace{\begin{bmatrix} h_1^T \\ h_2^T \end{bmatrix}}_{H_p} \begin{bmatrix} \tilde{z}_m \\ z_1 \end{bmatrix}$$

cu  $i = 1$ . Matricile primului observator conțin în OFLS (5.224) au aspectul

$$F_1 = \begin{bmatrix} -2\zeta_1 \omega_{u1} & 1 & 0 \\ -\omega_{u1}^2 & 0 & 0 \\ 0 & 0 & -\tilde{\omega}_{u1} \end{bmatrix}; \quad G_1 = \begin{bmatrix} g_{11} & g_{12} \\ g_{21} & g_{22} \\ g_{31} & g_{32} \end{bmatrix}; \quad \tilde{f}_1 = \begin{bmatrix} t_{11} & t_{12} & t_{13} & t_{14} & t_{15} & t_{16} \\ t_{21} & t_{22} & t_{23} & t_{24} & t_{25} & t_{26} \\ t_{31} & t_{32} & t_{33} & t_{34} & t_{35} & t_{36} \end{bmatrix} \quad (5.225)$$

$$e_1^T = [e_{11} \quad e_{12} \quad e_{13}] ; \quad h_1^T = [h_{11} \quad h_{12}]$$

iar ale celui de-al doilea aspectul:

$$F_2 = \begin{bmatrix} -2\zeta_2 \omega_{u2} & 1 & 0 \\ -\omega_{u2}^2 & 0 & 0 \\ 0 & 0 & -\tilde{\omega}_{u2} \end{bmatrix}; \quad G_2 = \begin{bmatrix} g_{41} & g_{42} \\ g_{51} & g_{52} \\ g_{61} & g_{62} \end{bmatrix}; \quad \tilde{f}_2 = \begin{bmatrix} t_{41} & t_{42} & t_{43} & t_{44} & t_{45} & t_{46} \\ t_{51} & t_{52} & t_{53} & t_{54} & t_{55} & t_{56} \\ t_{61} & t_{62} & t_{63} & t_{64} & t_{65} & t_{66} \end{bmatrix} \quad (5.226)$$

$$e_2^T = [e_{24} \quad e_{25} \quad e_{26}] ; \quad h_2^T = [h_{21} \quad h_{22}]$$

Matricile fiecărui observator trebuie să satisfacă condiții de formă (5.182).

b<sub>2</sub>) Se calculează primul observator folosind, în ordine, următoarele relații:

$$t_{11} = 0 ; \quad t_{21} = 0 ; \quad t_{31} = 0 ;$$

$$t_{16} = \frac{\alpha_{33}(\omega_{u1}^2 + \tilde{\omega}_{u1}^2) - \omega_{u1}^2 \tilde{\omega}_{u1}}{b(\omega_{u1}^2 - 2\zeta_1 \omega_{u1} \tilde{\omega}_{u1} + \tilde{\omega}_{u1}^2) \omega_{u1}^2 e_{12}} ; \quad t_{26} = \frac{2\alpha_{33} \zeta_1 \omega_{u1} + \tilde{\omega}_{u1}^2 - 2\zeta_1 \omega_{u1} \tilde{\omega}_{u1}}{b(\omega_{u1}^2 - 2\zeta_1 \omega_{u1} \tilde{\omega}_{u1} + \tilde{\omega}_{u1}^2) e_{12}}$$

$$t_{36} = \frac{\omega_{u1}(\omega_{u1} - 2\zeta_1 \alpha_{33})}{b(\omega_{u1}^2 - 2\zeta_1 \omega_{u1} \tilde{\omega}_{u1} + \tilde{\omega}_{u1}^2) e_{12} e_{13}} ;$$

$$t_{12} = \omega_{u1}^2 (1 - 4\zeta_1^2) t_{16} + 2\zeta_1 \omega_{u1} t_{26} ; \quad t_{22} = -2\zeta_1 \omega_{u1}^3 t_{16} + \omega_{u1}^2 t_{26} ; \quad t_{32} = -\tilde{\omega}_{u1}^2 t_{36}$$

$$t_{13} = -\frac{2\zeta_1 \omega_{u1}}{\alpha_{32}} t_{12} + \frac{1}{\alpha_{32}} t_{22}; \quad t_{23} = -\frac{\omega_{u1}^2}{\alpha_{32}} t_{12}; \quad t_{33} = -\frac{\tilde{\omega}_{u1}}{\alpha_{32}} t_{32};$$

$$t_{14} = -\frac{\alpha_{31}}{\alpha_{41}} t_{13}; \quad t_{24} = -\frac{\alpha_{31}}{\alpha_{41}} t_{23}; \quad t_{34} = -\frac{\alpha_{31}}{\alpha_{41}} t_{33};$$

$$t_{15} = t_{13} - 2\zeta_1 \omega_{u1} t_{16} + t_{26}; \quad t_{25} = t_{23} - \omega_{u1}^2 t_{16}; \quad t_{35} = t_{33} - \tilde{\omega}_{u1} t_{36};$$

$$e_{11} = t_{12} + (\alpha_{33} + 2\zeta_1 \omega_{u1}) t_{13} + t_{14} - t_{23}; \quad e_{12} = \alpha_{34} t_{13} + (\alpha_{44} + 2\zeta_1 \omega_{u1}) t_{14} - t_{24};$$

$$e_{21} = \omega_{u1}^2 t_{13} + t_{22} + \alpha_{33} t_{23} + t_{24}; \quad e_{22} = \omega_{u1}^2 t_{14} + \alpha_{34} t_{23} + \alpha_{44} t_{24};$$

$$e_{31} = t_{32} + (\alpha_{33} + \tilde{\omega}_{u1}) t_{33} + t_{34}; \quad e_{32} = \alpha_{34} t_{33} + (\alpha_{44} + \tilde{\omega}_{u1}) t_{34};$$

$$h_{11} = -e_{12} t_{23} - e_{13} t_{33}; \quad h_{12} = -e_{12} t_{24} - e_{13} t_{34}. \quad (5.227)$$

Relațiile anterioare s-au dedus impunând matricilor (5.225) condițiile (5.182). Dintre cele 9 grade de libertate ale sistemului rezultat patru s-au utilizat adoptând:

$$t_{11} = 0, \quad t_{21} = 0, \quad t_{31} = 0, \quad e_{11} = 0. \quad (5.228)$$

Celelalte cinci grade de libertate constau în:

$$\text{adoptarea valorilor lui } \omega_{u1}, \zeta_1, \tilde{\omega}_{u1}, e_{12}, e_{13}, \quad (5.229)$$

în acord cu condiția (5.182-1), adică  $\mathcal{G}(\underline{F}_1) \neq \mathcal{G}(\underline{A}_5)$ , și astfel încît:

$$(\omega_{u1}^2 - 2\zeta_1 \omega_{u1} \tilde{\omega}_{u1} + \tilde{\omega}_{u1}^2) \omega_{u1} e_{12} e_{13} \neq 0. \quad (5.230)$$

Aceste grade de libertate pot fi utilizate în continuare pentru a asigura o dinamică dorită pentru primul observator, respectiv pentru a simplifica structura acestuia prin anularea unora din elementele matricilor  $\underline{G}_1$  și  $\underline{h}_1$ .

b<sub>2</sub>) Se calculează cel de-al doilea observator folosind, în ordine, următoarele relații:

$$t_{41} = 0; \quad t_{51} = 0; \quad t_{61} = 0;$$

$$t_{46} = \frac{\omega_{u2}^2 + \tilde{\omega}_{u2}^2}{(\omega_{u2}^2 - 2\zeta_2 \omega_{u2} \tilde{\omega}_{u2} + \tilde{\omega}_{u2}^2) \omega_{u2}^2} e_{25}; \quad t_{56} = \frac{2\zeta_2 \omega_{u2}}{(\omega_{u2}^2 - 2\zeta_2 \omega_{u2} \tilde{\omega}_{u2} + \tilde{\omega}_{u2}^2) \omega_{u2}^2} e_{25};$$

$$t_{66} = -\frac{2\zeta_2 \omega_{u2}}{(\omega_{u2}^2 - 2\zeta_2 \omega_{u2} \tilde{\omega}_{u2} + \tilde{\omega}_{u2}^2) \omega_{u2}^2} e_{26};$$

$$t_{42} = \omega_{u2}^2 (1 - 4\zeta_2^2) t_{46} + 2\zeta_2 \omega_{u2} t_{56}; \quad t_{52} = -2\zeta_2 \omega_{u2}^2 t_{46} + \omega_{u2}^2 t_{56}; \quad t_{62} = -\tilde{\omega}_{u2}^2 t_{46} + \tilde{\omega}_{u2} t_{56};$$

$$t_{43} = \frac{1}{\alpha_{32}} (t_{52} - 2\zeta_2 \omega_{u2} t_{42}); \quad t_{53} = -\frac{\omega_{u2}^2}{\alpha_{32}} t_{42}; \quad t_{63} = -\frac{\tilde{\omega}_{u2}}{\alpha_{32}} t_{62};$$

$$t_{44} = -\frac{\alpha_{31}}{\alpha_{41}} t_{43}; \quad t_{54} = -\frac{\alpha_{31}}{\alpha_{41}} t_{53}; \quad t_{64} = -\frac{\alpha_{31}}{\alpha_{41}} t_{63};$$

$$t_{45} = t_{43} - 2\zeta_2 \omega_{u2} t_{46} + t_{56}; \quad t_{55} = t_{53} - \omega_{u2}^2 t_{46}; \quad t_{65} = t_{63} - \tilde{\omega}_{u2} t_{66}.$$

Aceste relații s-au obținut impunând matricilor (5.226) condițiile (5.182). Patru din cele nouă grade de libertate ale sistemului rezultat s-au folosit adoptând:

$$t_{41} = 0, \quad t_{51} = 0, \quad t_{61} = 0, \quad e_{24} = 0. \quad (5.232)$$

Celelalte cinci grade de libertate constau în :

$$\text{adoptarea valorilor lui } \omega_{u2}, \zeta_2, \tilde{\omega}_{u2}, e_{25}, e_{26}, \quad (5.233)$$

în acord cu condiția (5.182-1) <sup>\*)</sup> și astfel încît:

$$(\omega_{u2}^2 - 2\zeta_2 \omega_{u2} \tilde{\omega}_{u2} + \tilde{\omega}_{u2}^2) \omega_{u2} e_{25} e_{26} \neq 0. \quad (5.234)$$

Aceste cinci grade de libertate pot fi utilizate în continuare pentru a asigura dinamica dorită pentru al doilea observator și pentru a simplifica eventual structura acestuia prin anularea unora din elementele matricilor  $G_2$  și  $h_2$ .

Ecuatiile SLEM-1L cu compensarea efectului modificării componentei  $Z_{su}$  a poziției căii de glisare sînt alcătuite din ec.(5.220), (5.224) și din ecuația de legătură

$$\underline{u}_2 = \hat{u}_{pl} + \begin{bmatrix} \tilde{z}_\delta \\ 0 \end{bmatrix} = \begin{bmatrix} \tilde{z}_{\delta 1} + \tilde{z}_\delta \\ \tilde{z}_{a1} \end{bmatrix}. \quad (5.235)$$

Asemănător sistemelor (5.196) și (5.209), în acest caz se obține un sistem de ordinul zece. Ecuatiile acestuia nu se mai detaliază. El permite decuplarea și recuplarea observatorului (5.224) fără a apare pericolul pierderii stabilității. Totodată se precizează că datorită utilizării sistemului asociat (4.33) el rezultă invariant în raport cu viteza  $v$ . Sistemul de ordinul zece permite proiectarea unui compensator pentru componenta  $Z_{sp}$  a lui  $Z_s$ , structura acestuia fiind dependentă de cea a sistemului de ordinul zece. Pentru acest nou compensator nu este permisă cuplarea independentă la sistemul necompensat (5.214).

### 5.6.3.3. Variantă de SLEM-1L cu compensarea efectului modificării componentei $Z_{sp}$ a poziției căii de glisare.

SLEM-1L are în acest caz structura din fig. 5.25 - cazul I, fără OFIS:

$\underline{u}_{pl}$ . Ecuatiile SLEM-1L necompensat sînt:

$$\begin{bmatrix} X_{z1} \\ X_{z2} \\ X_{z3} \\ Z_1 \\ Z_{sp} \\ \dot{Z}_{sp} \end{bmatrix} = \underbrace{\begin{bmatrix} 0 & 1 & 0 & 0 & 0 & 0 \\ 0 & 0 & 1 & 0 & 0 & 0 \\ \alpha_{31} & \alpha_{32} & \alpha_{33} & \alpha_{34} & \alpha_{31} & \alpha_{32} \\ \alpha_{41} & 0 & 1 & \alpha_{44} & \alpha_{41} & 0 \\ 0 & 0 & 0 & 0 & 0 & 1 \\ 0 & 0 & 0 & 0 & -\omega_s^2 & 0 \end{bmatrix}}_{\underline{A}_{1S}} \begin{bmatrix} X_{z1} \\ X_{z2} \\ X_{z3} \\ Z_1 \\ Z_{sp} \\ Z_{sp} \end{bmatrix} + \underbrace{\begin{bmatrix} 0 & 0 \\ 0 & 0 \\ b & 0 \\ 0 & 1 \\ 0 & 0 \\ 0 & 0 \end{bmatrix}}_{\underline{B}_{1S}} \underbrace{\begin{bmatrix} \tilde{z}_\delta \\ \tilde{z}_a \end{bmatrix}}_{\underline{u}_2} + \begin{bmatrix} 0 & 0 \\ 0 & 0 \\ \alpha_{33} & -1 \\ 1 & 0 \\ 0 & 0 \\ 0 & 0 \end{bmatrix} \begin{bmatrix} \tilde{z}_{su} \\ \tilde{z}_{su} \end{bmatrix} + \begin{bmatrix} 0 & 0 \\ 0 & 0 \\ c_{p1} & b_{p2} \\ 0 & 0 \\ 0 & 0 \\ 0 & 0 \end{bmatrix} \begin{bmatrix} F_e \\ F_e \end{bmatrix} \quad (5.236)$$

\*)  $G(\underline{E}_2) \neq G(\underline{A}_S)$ .

$$\underbrace{\begin{bmatrix} z_s \\ z_p \end{bmatrix}}_{y_s} = \underbrace{\begin{bmatrix} 1 & 0 & 0 & 0 & -1 & 0 \\ 0 & 0 & 0 & 1 & 0 & 0 \end{bmatrix}}_{C_{1s}} \underbrace{\begin{bmatrix} x_s \\ x_p \end{bmatrix}}_{y_s}; \quad \underbrace{\begin{bmatrix} x_{z3} \end{bmatrix}}_{y_s} = \underbrace{\begin{bmatrix} 0 & 0 & 1 & 0 \\ 0 & 0 \end{bmatrix}}_{\tilde{C}_{1s}} \underbrace{\begin{bmatrix} x_s \\ x_p \end{bmatrix}}_{y_s}.$$

Ecuațiile de stare ale acestui sistem au rezultat prin extinderea sistemului (5.214) cu sistemul asociat (4.24). Ieșirile de măsură s-au ales astfel încît ele să nu fie afectate de perturbațiile  $\begin{bmatrix} z_{su} \\ z_{su} \end{bmatrix}$  și  $\begin{bmatrix} F \\ e \end{bmatrix}$ . S-a ales o singură ieșire de apreciere  $x_{z3}$ .

Prin reglarea asimptotică a acesteia vehiculul ajunge să urmărească accelerația prescrisă prin traseul nominal:

$$x_{z3} = 0 \rightarrow \ddot{z}_m = \ddot{z}_{su}. \quad (5.237)$$

În aceste condiții proiectarea SLEM-1L cu compensarea lui  $z_{sp}$  revine la proiectarea OFLS:  $u_{p2} = K_{zsp} x_{zsp}$  <sup>+</sup>). Pentru a evidenția utilizarea rel. (5.180) + (5.184) aceeași funcțională se scrie sub forma:

$$u_p = K_p x_p. \quad (5.238)$$

Etapile de calcul ale acestui observator sînt aceleași cu ale observatorului de la pct. 5.6.3.2:

a) Se calculează compensatorul de perturbație  $x_p$  cu rel. (5.183). Rezultat:  $y = 0$  și

$$x_p = \begin{bmatrix} \alpha_{31}/b & \alpha_{32}/b \\ \alpha_{41} & 0 \end{bmatrix} = \begin{bmatrix} K_p - K_{po} + f_o K_v & -K_{vo} \\ -f_o^2 & 0 \end{bmatrix} = \begin{bmatrix} K_{p1}^T \\ K_{p2}^T \end{bmatrix}. \quad (5.239)$$

În consecință:

$$u_p = \begin{bmatrix} \tilde{z}_{s2} \\ \tilde{z}_{a2} \end{bmatrix} = \begin{bmatrix} \alpha_{31}/b & \alpha_{32}/b \\ \alpha_{41} & 0 \end{bmatrix} \begin{bmatrix} z_{sp} \\ \dot{z}_{sp} \end{bmatrix}. \quad (5.240)$$

b<sub>1</sub>) Se calculează OFLS (5.240) avînd în vedere că indicele de observabilitate al perechii  $(C_{1s}, A_{1s})$  este  $\nu_{zsp} = 4$ . Cu toate că și în acest caz ordinul minim al OFLS:  $u_{p2}$  rezultă tocmai  $\nu_{zsp}$ , se va utiliza un observator de ordinul 6, compus din doi OFLS autonomi de ordinul 3 și anume cîte unul pentru fiecare din funcționalele liniare care apar în rel. (5.240). Observatorul compus are ec. (5.224), cu  $i = 2$ , matricile (5.225) corespunzînd primului observator, iar matricile (5.226) celui de-al doilea observator. Fiecare dintre acestea trebuie să satisfacă condiții de forma (5.182).

b<sub>2</sub>) Se calculează matricile primului observator. Matricea  $\tilde{J}_1$  se calculează folosînd, în ordine, relațiile:

$$t_{16} = \frac{\alpha_{32}}{b} \cdot \frac{\left[ 1 + 2\zeta_1 \frac{\tilde{\omega}_{ul}}{\omega_{ul}} + \left( \frac{\omega_{ul}}{\omega_s} \right)^2 \right] e_{11} - \tilde{\omega}_{ul} \left[ 1 - 4\zeta_1^2 - \left( \frac{\omega_{ul}}{\omega_s} \right)^2 \right] e_{12}}{2(1 - 2\zeta_1^2 + \zeta_1 \frac{\tilde{\omega}_{ul}}{\omega_{ul}})(e_{11}^2 + 2\zeta_1 \omega_{ul} e_{11} e_{12} + \omega_{ul}^2 e_{12}^2)}$$

+) Notatia corespunde fig. 5.25 în care  $x_{zsp} = [z_{sp}, \dot{z}_{sp}]^T$ .

$$t_{26} = \frac{\alpha_{32}}{b} \frac{\omega_{ul} \left\{ \left[ 1 - \left( \frac{\omega_{ul}}{\omega_s} \right)^2 \right] \frac{2\tilde{\omega}_{ul}}{\omega_{ul}} + \left[ 1 + \left( \frac{\omega_{ul}}{\omega_s} \right)^2 \right] 2\zeta_1 \right\} e_{11} + \omega_{ul}^2 \left[ 1 + \left( \frac{\omega_{ul}}{\omega_s} \right)^2 - 2\zeta_1 \frac{\tilde{\omega}_{ul}}{\omega_{ul}} \right] e_{12}}{2(1-2\zeta_1^2 + \zeta_1 \frac{\tilde{\omega}_{ul}}{\omega_{ul}}) (e_{11}^2 + 2\zeta_1 \omega_{ul} e_{11} e_{12} + \omega_{ul}^2 e_{12}^2)} ;$$

$$t_{36} = \frac{\alpha_{32}}{2be_{13}} \frac{1 - 4\zeta_1^2 - \left( \frac{\omega_{ul}}{\omega_s} \right)^2}{1 - 2\zeta_1^2 + \zeta_1 \frac{\tilde{\omega}_{ul}}{\omega_{ul}}} ;$$

$$t_{11} = \frac{\omega_s^2}{\omega_{ul}^2} t_{26} ; \quad t_{21} = \left( \frac{2\zeta_1}{\omega_{ul}} t_{26} - t_{16} \right) \omega_s^2 ; \quad t_{31} = \frac{\omega_s^2}{\tilde{\omega}_{ul}} t_{36} ;$$

$$t_{13} = \frac{1}{\alpha_{32}} (2\zeta_1 \omega_{ul} t_{16} - t_{26}) ; \quad t_{23} = \frac{1}{\alpha_{32}} \omega_{ul}^2 t_{16} ; \quad t_{33} = \frac{1}{\alpha_{32}} \tilde{\omega}_{ul} t_{36} ;$$

$$t_{12} = -\frac{1}{\omega_{ul}^2} (t_{21} + \alpha_{32} t_{23}) ; \quad t_{22} = t_{11} + \alpha_{32} t_{13} + 2\zeta_1 \omega_{ul} t_{12} ; \quad t_{32} = -\frac{1}{\tilde{\omega}_{ul}} (t_{31} + \alpha_{32} t_{33})$$

$$t_{14} = -t_{12} - (\alpha_{33} + 2\zeta_1 \omega_{ul}) t_{13} + t_{23} ; \quad t_{24} = -t_{22} - \alpha_{33} t_{23} ; \quad t_{34} = -t_{32} - (\alpha_{33} + \tilde{\omega}_{ul}) t_{33} ;$$

$$t_{15} = 0 ; \quad t_{25} = 0 ; \quad t_{35} = 0 . \quad (5.241)$$

Relațiile anterioare s-au dedus impunând matricilor (5.225) condițiile (5.182). Din cele 8 grade de libertate ale sistemului rezultat trei s-au utilizat adoptînd:

$$t_{15} = 0 , \quad t_{25} = 0 , \quad t_{35} = 0 . \quad (5.242)$$

Celelalte cinci grade de libertate constau în:

$$\text{adoptarea valorilor lui } \omega_{ul}, \zeta_1 \text{ sau } \tilde{\omega}_{ul} \text{ și a valorilor} \quad (5.243)$$

$$\text{lui } e_{11}, e_{12}, e_{13}$$

în acord cu condiția (5-182-1) <sup>\*)</sup> și cu condițiile de compatibilitate:

$$\left[ 1 + (1 - 4\zeta_1^2) \frac{\omega_{ul}^2}{\tilde{\omega}_{ul}^2} \right] \frac{\omega_s^2}{\omega_{ul}^2} = \left( 1 - \frac{\omega_{ul}}{\tilde{\omega}_{ul}} \right)^2 + \frac{2}{\tilde{\omega}_{ul}} (1 - 2\zeta_1^2 + \zeta_1 \frac{\tilde{\omega}_{ul}}{\omega_{ul}}) \frac{\alpha_{31}}{\alpha_{32}} \quad (5.244)$$

$$\omega_s \omega_{ul} (\omega_{ul} - 4\zeta_1^2 \omega_{ul} + \zeta_1 \tilde{\omega}_{ul}) (e_{11}^2 + 2\zeta_1 \omega_{ul} e_{11} e_{12} + \omega_{ul}^2 e_{12}^2) \neq 0 . \quad (5.245)$$

În particular, adoptînd

$$\omega_{ul} = \tilde{\omega}_{ul} , \quad (5.246)$$

din ec. (5.244) rezultă:

$$\omega_{ul} = \frac{1 - 2\zeta_1^2}{1 + \zeta_1 - 2\zeta_1^2} \cdot \frac{\alpha_{32}}{\alpha_{31}} \omega_s^2 , \quad \zeta_1 \in \left( \frac{1}{\sqrt{2}} , 1 \right) , \quad (5.247)$$

respectiv o problemă cu patru grade de libertate:  $\zeta_1, e_{11}, e_{12}, e_{13}$ . Aceste grade de libertate sau cele din rel. (5.243) pot fi utilizate în continuare pentru a asigura o dinamică dorită pentru primul observator, respectiv pentru a simplifica structura acestuia prin anularea unora din elementele matricilor  $\underline{G}_1$  și  $\underline{h}_1$  calculabile cu relațiile:

<sup>\*)</sup>  $\mathcal{G}(\underline{F}_1) \neq \mathcal{G}(\underline{A}_2)$ .

$$\begin{aligned}
 g_{11} &= \alpha_{31} t_{13} + \alpha_{41} t_{14} + 2\zeta_1 \omega_{u1} t_{11} - t_{21}; & g_{12} &= \alpha_{34} t_{13} + (\alpha_{44} + 2\zeta_1 \omega_{u1}) t_{14} - t_{24}; \\
 g_{21} &= \omega_{u1}^2 t_{11} + \alpha_{31} t_{23} + \alpha_{41} t_{24}; & g_{22} &= \alpha_{34} t_{23} + \alpha_{44} t_{24} + \omega_{u1}^2 t_{14}; \\
 g_{31} &= \tilde{\omega}_{u1} t_{31} + \alpha_{31} t_{33} + \alpha_{41} t_{34}; & g_{32} &= \alpha_{34} t_{33} + (\alpha_{44} + \tilde{\omega}_{u1}) t_{34}; \\
 h_{11} &= -\alpha_{31}/b; & h_{12} &= -e_{11} t_{14} - e_{12} t_{24} - e_{13} t_{34}.
 \end{aligned} \tag{5.248}$$

b<sub>3</sub>) Se calculează matricile celui de-al doilea observator. Matricea  $\tilde{J}_2$  se calculează folosind, în ordine, relațiile:

$$\begin{aligned}
 t_{45} &= 0; & t_{55} &= 0; & t_{65} &= 0; \\
 t_{56} &= \frac{\omega_{u2}^2 e_{24} + 2\zeta_2 \omega_{u2} e_{24} - \tilde{\omega}_{u2} e_{24}}{\tilde{\omega}_{u2} e_{25} + e_{24}} t_{46}; & t_{66} &= -\frac{\omega_{u2}^2 e_{25} + 2\zeta_2 \omega_{u2} e_{24} e_{25} + e_{24}^2}{\tilde{\omega}_{u2} e_{25} + e_{24}} \cdot \frac{t_{46}}{e_{26}}; \\
 t_{41} &= \frac{\omega_s^2}{\omega_{u2}^2} t_{56}; & t_{51} &= -\omega_s^2 t_{46} + 2\zeta_2 \frac{\omega_s^2}{\omega_{u2}} t_{56}; & t_{61} &= \frac{\omega_s^2}{\tilde{\omega}_{u2}} t_{66}; \\
 t_{42} &= \left(\frac{\omega_s^2}{\omega_{u2}^2} - 1\right) t_{46} - \frac{2\zeta_2}{\omega_{u2}} \omega_s^2 t_{56}; & t_{52} &= -\left(1 + \frac{\omega_s^2}{\tilde{\omega}_{u2}^2}\right) t_{66}; \\
 t_{62} &= 2\zeta_2 \frac{\omega_s^2}{\omega_{u2}} t_{46} + \left(\frac{\omega_s^2}{\omega_{u2}^2} - 1 - \frac{4\zeta_2^2 \omega_s^2}{\omega_{u2}^2}\right) t_{56}; \\
 t_{43} &= \frac{1}{\alpha_{32}} (2\zeta_2 \omega_{u2} t_{46} - t_{56}); & t_{53} &= \frac{1}{\alpha_{32}} \omega_{u2}^2 t_{46}; & t_{63} &= \frac{\tilde{\omega}_{u2}}{\alpha_{32}} t_{66}; \\
 t_{44} &= -t_{42} - (\alpha_{33} + 2\zeta_2 \omega_{u2}) t_{43} + t_{53}; & t_{54} &= -t_{52} - \alpha_{33} t_{53}; & t_{64} &= -t_{62} - (\alpha_{33} + \tilde{\omega}_{u2}) t_{63}.
 \end{aligned} \tag{5.249}$$

Aceste relații s-au obținut impunând matricilor (5.226) condițiile (5.182). Trei din cele 8 grade de libertate ale sistemului rezultat s-au epuizat adoptând:

$$t_{45} = 0; \quad t_{55} = 0; \quad t_{65} = 0. \tag{5.250}$$

Celelalte cinci grade de libertate constau în:

$$\text{adoptarea valorilor lui } \omega_{u2}, \zeta_2 \text{ sau } \tilde{\omega}_{u2} \text{ și a valorilor} \tag{5.251}$$

lui  $e_{24}, e_{25}, e_{26}$  sau  $t_{46}$ , în acord cu condiția (5.182-1)<sup>+</sup> și cu condițiile de compatibilitate:

$$\frac{\tilde{\omega}_{u2}}{\omega_{u2}} = \frac{2\zeta_2^2 - 1}{\zeta_2}; \quad \zeta_2 > \frac{1}{\sqrt{2}}; \quad \zeta_2 \neq 1; \tag{5.252}$$

$$(\omega_{u2}^2 + 2\zeta_2 \omega_{u2} e_{24} e_{25} + \omega_{u2}^2 e_{25}^2) e_{26} \neq 0; \tag{5.253}$$

$$-e_{25} + \frac{e_{24} + 2\zeta_2 \omega_{u2} e_{25}}{\omega_{u2}^2} \cdot \frac{\omega_{u2}^2 e_{25} + 2\zeta_2 \omega_{u2} e_{24} - \tilde{\omega}_{u2} e_{24}}{\tilde{\omega}_{u2} e_{25} + e_{24}} =$$

$$= \frac{\omega_{u2}^2 e_{25} + 2\zeta_2 \omega_{u2} e_{24} e_{25} + e_{24}^2}{\tilde{\omega}_{u2} (\tilde{\omega}_{u2} e_{25} + e_{24})} = \frac{\alpha_{41}}{\omega_s^2} \cdot \frac{1}{t_{46}} \tag{5.254}$$

$$\sigma(\tilde{F}_2) \neq \sigma(A_3).$$

In particular, adoptind

$$e_{25} = 0, \quad (5.255)$$

condiția (5.206) devine:

$$e_{24} t_{46} = \frac{\omega_{u2}}{\omega_g^2} \cdot \frac{2\zeta_2^2 - 1}{\zeta_2^2 - 1} \alpha_{41}, \quad (5.256)$$

iar relațiile de calcul ale lui  $t_{56}$  și  $t_{66}$  obțin aspectul:

$$t_{56} = (2\zeta_2 \omega_{u2} - \tilde{\omega}_{u2}) t_{46}; \quad t_{66} = -t_{46}/e_{25}, \quad (5.257)$$

rămânind disponibile patru grade de libertate.

Aceste grade de libertate sau cele din rel.(5.251) pot fi utilizate în continuare pentru a asigura o dinamică dorită pentru al doilea observator, respectiv pentru a simplifica structura acestuia prin anularea unora din elementele matricilor  $G_2$  și  $h_2$  calculabile cu relațiile:

$$\begin{aligned} g_{41} &= 2\zeta_2 \omega_{u2} t_{41} + \alpha_{31} t_{43} + \alpha_{41} t_{44} - t_{51}; & g_{42} &= \alpha_{34} t_{43} + (\alpha_{44} + 2\zeta_2 \omega_{u2}) t_{44} - t_{54}; \\ g_{51} &= \omega_{u2}^2 t_{41} + \alpha_{31} t_{53} + \alpha_{41} t_{54}; & g_{52} &= \omega_{u2}^2 t_{44} + \alpha_{34} t_{53} + \alpha_{44} t_{54}; \\ g_{61} &= \tilde{\omega}_{u2} t_{61} + \alpha_{31} t_{63} + \alpha_{41} t_{64}; & g_{62} &= \alpha_{34} t_{63} + (\alpha_{44} + \tilde{\omega}_{u2}) t_{64}; \\ h_{21} &= -\alpha_{41}; & h_{22} &= -e_{24} t_{44} - e_{25} t_{54} - e_{26} t_{56}. \end{aligned} \quad (5.258)$$

Ecuatiile SLEM-LL cu compensarea efectului modificării componentei  $Z_{sp}$  a poziției șinei sînt alcătuite din ec.(5.236), (5.224) pentru  $i = 2$  și din ecuația de legătură

$$\underline{u}_2 = \hat{\underline{u}}_{p2} + \begin{bmatrix} \tilde{z}_g \\ 0 \end{bmatrix} = \begin{bmatrix} \tilde{z}_{g2} + \tilde{z}_g \\ \tilde{z}_{a2} \end{bmatrix}. \quad (5.259)$$

Asemănător sistemelor (5.196) și (5.209) în acest caz se obține un sistem de ordinul zece. Ecuatiile acestuia nu se mai detaliază. Sistemul permite decuplarea și recuplarea OFLS (5.224) fără a apare pericolul pierderii stabilității. Avînd în vedere că a fost utilizat sistemul asociat (4.24), rezultă că sistemul de ordinul 10 este dependent de viteza  $v$ . Privind sistemul de ordinul 10 se mai menționează că el permite proiectarea unui compensator în raport cu componenta  $Z_{su}$  a lui  $Z_g$ , cu o structură dependentă de structura sistemului de ordinul 10. Pentru acest nou compensator nu se permite cuplarea la sistemul necompensat (5.214).



## CAPITOLUL 6

### SISTEME CU LEVITATIE ELECTROMAGNETICA CU MAI MULTE GRADE DE LIBERTATE.

La baza realizării VPM stau SLEM-ML. D.p.d.v. al structurii sistemului de reglare se disting două categorii de SLEM-ML: sisteme descentralizate și sisteme centralizate. Ele se deosebesc prin destinația funcțională a blocurilor de reglare. În primul caz fiecărui electromagnet îi este destinat, atât d.p.d.v. informațional cât și d.p.d.v. funcțional, un bloc de reglare propriu, care asigură controlul automat în circuit închis al electromagnetului respectiv în cadrul unei unități funcționale numită roată magnetică (pct. 6.1). În cel de-al doilea caz blocurile de reglare sînt destinate d.p.d.v. informațional conducerii subsistemelor autonome proprii fiecărui grad de libertate, iar d.p.d.v. funcțional controlului simultan, centralizat, al mai multor electromagneți (pct. 6.2).

În literatura de specialitate există mai multe lucrări care se referă la VPM bazate pe principiile de reglare menționate. Ideea roții magnetice aparține colectivului de la MBB [63,61,62,60], care are și meritul de a o fi transpus în practică prin vehiculul demonstrativ de la Hamburg [141,195]. Rezultatele obținute permit să se aprecieze că viitorul vehiculele pe pernă magnetică este asigurat tocmai de performanțele foarte bune de care sînt capabile aceste SLEM descentralizate.

Primele VPM construite au fost prevăzute cu SLEM centralizate [191, 169,168,84,81]. Toate lucrările menționate tratează problema calculului SLEM-ML centralizate doar în mod descriptiv. De la această notă generală fac excepție lucrările colectivului de la Brington [68,84,82] (și în acest caz precizările sînt de cele mai multe ori vagi sau generale) și ale colectivului de la IPTV Timișoara [48,49,202,71,73, 166,35].

Analizarea critică a rezultatelor prezentate pînă acum în literatură cu privire la cele două categorii de SLEM-ML au impus: prezentarea unitară a problemei VPM cu roată magnetică, precizarea modului de calcul al blocului de reglare al unei roți magnetice (pct. 6.1.2) și aprecierea critică a unei variante de roată magnetică recomandată în literatură [62] (pct. 6.1.3) precum și dezvoltarea unui SLEM-5L centralizat aferent SES-5L studiat la pct. 2.2. Principalul rezultat obținut rezidă în faptul că d.p.d.v. algoritmic atât proiectarea roții magnetice cât și proiectarea SLEM-5L menționat se reduc la proiectarea blocului de reglare al SLEM-1L dezvoltate în cap. 5.

6.1. SLEM-ML descentralizat cu roată magnetică.

6.1.1. Sistemul electromagnet-șină cu suspensie elastică cu un grad de libertate.

Sistemul electromagnet-șină cu suspensie elastică cu un grad de libertate (SESSE-1L) este prin definiție sistemul alcătuit din electromagnet, șină și resortul de legătură dintre electromagnet și boghiu, electro-

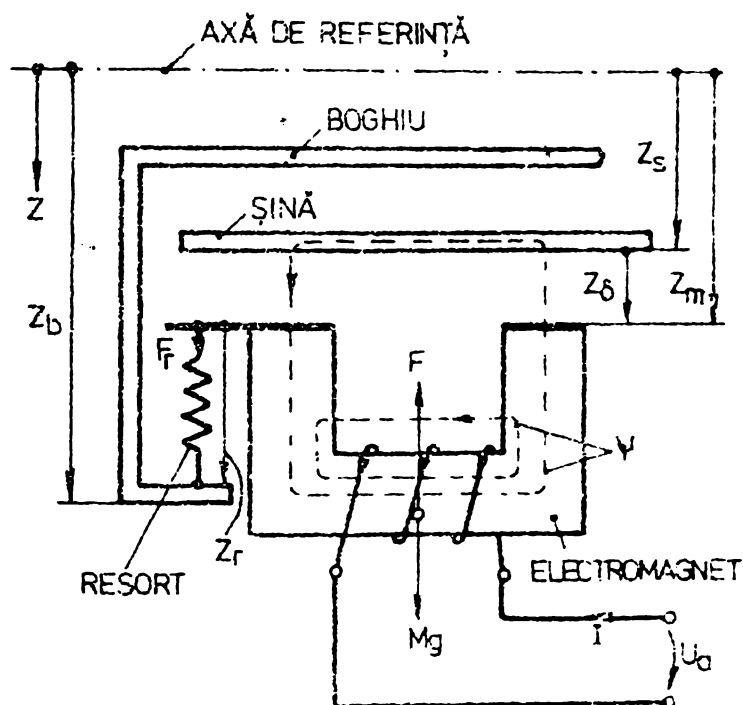


Fig. 6.1. Relativă la definiția sistemului electromagnet-șină cu suspensie elastică cu un grad de libertate (SESSE-1L).

magnetul avînd posibilitatea de a se deplasa numai în direcția  $z$  (fig.6.1). În stare relaxată resortul are lungimea  $l_r$ ; constanta sa de elasticitate este  $c$ . Spre deosebire de sistemul electromagnet-șină cu un grad de libertate, în cazul SESSE-1L forța  $F_e$  nu mai acționează asupra electromagnetului ci asupra boghiului.

Studiul întreprins în continuare se referă numai la comportarea SESSE-1L în ipoteza că ansamblul SESSE-1L + boghiu este separabil, astfel că interacțiunea SESSE-1L cu

boghiul se surprinde doar prin considerarea poziției boghiului, cota  $Z_b$ , ca mărime de intrare. Cu  $F_r$  s-a notat forța cu care resortul acționează asupra electromagnetului, lungimea în stare tensionată fiind  $Z_r$ . O astfel de ipoteză este valabilă în primă aproximație, doar pentru mici deplasări ale electromagnetului. Ea conduce însă la rezultate corecte în proiectarea SLEM-ML. Ipotezele făcute la pct. 2.1.1. se extind și pentru acest caz, ecuațiile SESSE-1L avînd, în consecință, aspectul (6.1).

$$\begin{aligned}
 U_a(t) &= R I(t) + \dot{\Psi}(t) \\
 \Psi(t) &= \Psi(I(t), Z_f(t)) \\
 F(t) &= F(I(t), Z_f(t)) \\
 M \ddot{Z}_m(t) &= Mg - F(t) + F_r(t) \quad (6.1) ; \\
 Z_m(t) &= Z_s(t) + Z_f(t) \\
 Z_r(t) &= -Z_m(t) + Z_b(t) \\
 F_r(t) &= c(Z_r(t) - l_r)
 \end{aligned}$$

$$\begin{aligned}
 U_a(t) &= R I(t) + \dot{\Psi}(t) \\
 \Psi(t) &= K_I I(t) - K_f Z_f(t) \\
 F(t) &= C_I I(t) - C_f Z_f(t) \\
 M \ddot{Z}_m(t) &= -F(t) + F_r(t) \quad (6.2) \\
 Z_m(t) &= Z_s(t) + Z_f(t) \\
 Z_r(t) &= -Z_m(t) + Z_b(t) \\
 F_r(t) &= c Z_r(t) .
 \end{aligned}$$

Ec.(6.2) sînt omoloagele ec.(2.9), reprezentînd un MM liniarizat al SESSE-1L, valabil în vecinătatea punctului de funcționare staționară

$\Lambda_0$  caracterizat de ecuațiile:

$$\begin{aligned} U_{a0} &= R I_0; \quad \psi_0 = \psi(I_0, Z_{\delta 0}); \quad F_0 = F(I_0, Z_{\delta 0}) = Mg + F_{ro} = Mg + c(Z_{ro} - l_r); \\ Z_{mo} &= Z_{so} + Z_{\delta 0}; \quad Z_{ro} = -Z_{mo} + Z_{bo}. \end{aligned} \quad (6.3)$$

Ecuațiilor de stare (5.3) ale SES-1L le corespund în cazul SESSE-1L ecuațiile de stare:

$$\begin{bmatrix} \dot{Z}_\delta \\ \dot{Z}_\delta \\ \dot{Z}_m \end{bmatrix} = \begin{bmatrix} 0 & 1 & 0 \\ 0 & 0 & 1 \\ -bK'_{po} & -bK'_{vo} & bK'_{ao} \end{bmatrix} \begin{bmatrix} Z_\delta \\ \dot{Z}_\delta \\ \tilde{Z}_m \end{bmatrix} + \begin{bmatrix} 0 \\ 0 \\ b \end{bmatrix} U_a + \begin{bmatrix} 0 & 0 \\ 0 & 0 \end{bmatrix} \begin{bmatrix} Z_b \\ \dot{Z}_b \end{bmatrix} + \begin{bmatrix} 0 & 0 & 0 \\ 0 & 0 & -1 \\ -b'_{p1} & -b'_{p2} & 0 \end{bmatrix} \begin{bmatrix} Z_s \\ \dot{Z}_s \\ \tilde{Z}_s \end{bmatrix} \quad (6.4)$$

în care:  $K'_{ao}$  și  $b$  au expresiile din (3.28) și (3.29),  $K'_{po}$  și  $K'_{vo}$  se obțin formal din  $K_{po}$  și  $K_{vo}$  prin înlocuirea lui  $C_\delta$  cu  $C_\delta - c$  (v. rel. (3.28),

$$(3.29)): \quad K'_{po} = -\frac{C_\delta - c}{MBT}, \quad K'_{vo} = -\frac{(C_\delta - c)T'_d}{MBT}, \quad T'_d = T - \frac{K_\delta C_I}{(C_\delta - c)R}, \quad (6.5)$$

iar (v. rel. (5.4)):

$$b'_{p1} = c b_{p1}, \quad b'_{p2} = c b_{p2}. \quad (6.6)$$

Coeficienții  $K_I$ ,  $K_\delta$ ,  $C_I$ ,  $C_\delta$  și  $T$  corespund definițiilor (2.10) și (2.11)

Spre deosebire de MM (5.3) al SES-1L, în MM (6.4) al SESSE-1L în loc de  $C_\delta$  și  $F_e(t)$  apar diferențele  $(C_\delta - c)$  și  $c[Z_b(t) - Z_s(t)]$ . Fizic, ele se datoresc prezenței resortului, SESSE-1L fiind echivalabil cu un SES-1L avînd:

$$C'_\delta = -\left. \frac{\partial F}{\partial Z_\delta} \right|_{\Lambda_0} = C_\delta - c \quad \text{și} \quad F_e = c(Z_b - Z_s) = c(Z_\delta + Z_r),$$

adică cu un SES-1L avînd o caracteristică statică  $F(Z_\delta)$  modificată și asupra căreia acționează o forță exterioară dependentă de variația întrefierului și de variația distanței dintre boghiu și electromagnet.

### 6.1.2. Roata magnetică.

Roata magnetică (RM) reprezintă prin definiție MELLE aferentă SESSE-1L. Structura ei este similară structurii MELLE din fig. 1.4., RM constituind agadar ansamblul alcătuit din SESSE-1L și blocurile de alimentare PA, -de traductoare BT și -de comandă și reglare BCR.

Avînd în vedere analogia dintre MM (5.3) al SES-1L și MM (6.4) al SESSE-1L, rezultă că marea majoritate a rezultatelor obținute în cap. 5 sînt aplicabile în mod nemijlocit în cazul RM. Astfel, prin utilizarea legii de reglare (5.1), similar SLEM-B, se obține roata magnetică de bază (RM-B) cu ecuațiile de stare:

$$\begin{bmatrix} \dot{Z}_\delta \\ \dot{Z}_\delta \\ \dot{Z}_m \end{bmatrix} = \begin{bmatrix} 0 & 1 & 0 \\ 0 & 0 & 1 \\ b(K_p - K'_{po}) & b(K_v - K'_{vo}) & b(K_r + K'_{ao}) \end{bmatrix} \begin{bmatrix} Z_\delta \\ \dot{Z}_\delta \\ \tilde{Z}_m \end{bmatrix} + \begin{bmatrix} 0 \\ 0 \\ b \end{bmatrix} \tilde{Z}_\delta + \begin{bmatrix} 0 & 0 \\ 0 & 0 \end{bmatrix} \begin{bmatrix} Z_b \\ \dot{Z}_b \end{bmatrix} + \begin{bmatrix} 0 & 0 & 0 \\ 0 & 0 & -1 \\ -b'_{p1} & -b'_{p2} & 0 \end{bmatrix} \begin{bmatrix} Z_s \\ \dot{Z}_s \\ \tilde{Z}_s \end{bmatrix} \quad (6.7)$$

Trecând ec.(6.7) în operațional se obține MM-II (6.8), asemănător cu MM-II (5.9):

$$\begin{bmatrix} Z_\delta \\ \ddot{Z}_\delta \\ Z_m \end{bmatrix} = \begin{bmatrix} b \\ \Delta'(s) \\ bs^2 \\ \Delta'(s) \end{bmatrix} \ddot{Z}_\delta + \begin{bmatrix} c(1+sT) \\ M\Delta'(s) \\ s^2c(1+sT) \\ M\Delta'(s) \end{bmatrix} Z_b - \begin{bmatrix} s^3 - s^2b(K_a + K_{ao}) + sb'_{p2} + b'_{p1} \\ \Delta'(s) \\ s^3 [cb'_{p2} + b(K_v - K'_{vo})] + s^2 [b'_{p1} + b(K_p - K'_{po})] \\ \Delta'(s) \end{bmatrix} Z_s. \quad (6.8)$$

$$\Delta'(s) = s^3 - b(K_a + K_{ao})s^2 - b(K_v - K'_{vo})s - b(K_p - K'_{po}) \quad (6.9)$$

este polinomul caracteristic al RM-B. Din rel.(6.8) rezultă dependența de regim staționar constant:

$$Z_\delta(\infty) = - \frac{1}{K_p - K'_{po}} \left[ \ddot{Z}_\delta(\infty) + \frac{b'_{p1}}{b} Z_b(\infty) - \frac{b'_{p1}}{b} Z_s(\infty) \right]. \quad (6.10)$$

Relațiile de mai sus conduc la următoarele observații:

(i) Comportarea RM-B în raport cu mărimea de conducere  $\ddot{Z}_\delta$  este formal aceeași ca a SLEM-B, aspectele prezentate în cap. 5 fiind valabile și în acest caz.

(ii) Comportarea RM-B în raport cu mărimile perturbatoare poate fi tratată în diverse maniere, dintre care în continuare se prezintă trei:

(ii-1) Un prim mod de abordare are la bază echivalarea menționată la pct. 6.1.1. cu privire la forța  $F_e$ , sistemul (6.7) scriindu-se sub forma:

$$\begin{bmatrix} Z_\delta \\ \ddot{Z}_\delta \\ Z_m \end{bmatrix} = \begin{bmatrix} 0 & 1 & 0 \\ 0 & 0 & 1 \\ b(K_p - K'_{po}) & b(K_v - K'_{vo}) & b(K_a + K_{ao}) \end{bmatrix} \begin{bmatrix} Z_\delta \\ \dot{Z}_\delta \\ \ddot{Z}_m \end{bmatrix} + \begin{bmatrix} 0 \\ 0 \\ b \end{bmatrix} \ddot{Z}_\delta + \begin{bmatrix} 0 & 0 & 0 \\ 0 & 0 & -1 \\ b'_{p1} & b'_{p2} & 0 \end{bmatrix} \begin{bmatrix} Z_b - Z_s \\ \dot{Z}_b - \dot{Z}_s \\ \ddot{Z}_s \end{bmatrix}. \quad (6.11)$$

Formal ec.(5.5-1) și (6.11) sînt identice, locul lui  $F_e$ ,  $K_{po}$ ,  $K_{vo}$ ,  $b_{p1}$  și  $b_{p2}$  fiind luat respectiv de  $Z_b - Z_s$ ,  $K'_{po}$ ,  $K'_{vo}$ ,  $b'_{p1}$  și  $b'_{p2}$ . Ca urmare, în ipoteza că  $Z_b - Z_s$  prezintă variații de aceeași formă ca și  $F_e$  (fig. 4.10), toate rezultatele din cap. 5 sînt nemijlocit utilizabile.

Faptul că  $Z_b - Z_s$  și  $(Z_b - Z_s)^*$  au coeficienți vectoriali coliniari cu  $\ddot{Z}_\delta$  permite o rezolvare simplă și a altor cazuri, spre exemplu a celor cînd perturbația  $Z_b - Z_s$  i se asociază MM-II:  $(Z_b - Z_s)^{***} = 0$ , compatibil cu MM-II (4.35).

(ii-2) Un al doilea mod de abordare constă în tratarea independentă a perturbațiilor  $Z_b$  și  $Z_s$  conform ec.(6.7). Astfel:

(ii-2.1) Modificarea poziției ochiului în direcție verticală are, în principiu, asupra RM-B același efect ca și modificarea forței exterioare asupra SLEM-B (pct.5.2.2.2). În regim staționar constant acesta este caracterizat de statismul  $\gamma_{Zb} = - b'_{p1} / (K_p - K'_{po})$ , care este cu atît mai mare cu cît resortul este mai rigid. În ceea ce privește regimul dinamic, dacă se admite că  $Z_b(t)$  prezintă variații în treaptă

sau sub formă de linie frântă, ca și variațiile lui  $F_e(t)$  din fig.4.10, compensarea efectului lui  $Z_b$  se face asemănător cu a lui  $F_e$ , fiind valabile rezultatele obținute la pct.5.6.2. cu mențiunea că  $F_e(t)$ ,  $K_{po}$ ,  $K_{vo}$ ,  $b_{p1}$  și  $b_{p2}$  se înlocuiesc respectiv cu  $Z_b(t)$ ,  $K'_{po}$ ,  $K'_{vo}$ ,  $b'_{p1}$  și  $b'_{p2}$ . Totodată se remarcă faptul că o astfel de compensare, bazată doar pe măsurarea întrefierului  $Z_\delta$  și accelerației  $\ddot{Z}_m$  acționează în mod automat și la variații ale lui  $Z_s(t)$  de forma celor din fig.4.10.

(ii-2.2) Comportarea RM-B în raport cu  $Z_s$  este diferită de cea SLEM-B datorită prezenței variabilelor  $Z_s$  și  $\dot{Z}_s$  în sistemul (6.7) precum și în sistemele (6.12) și (6.13), omoloagele sistemelor (5.143) și (5.156):

$$\begin{bmatrix} \dot{Z}_\delta \\ \dot{Z}_m \\ \dot{Z}_1 \\ \dot{Z}_2 \end{bmatrix} = \begin{bmatrix} 0 & 1 & 0 & 0 & 0 \\ 0 & 0 & 1 & 0 & 0 \\ b(h_1 - K'_{po}) - bK'_{vo} & b(h_2 + K'_{ao}) & be_1 & be_2 & \\ 2\zeta\omega_{OS} & 0 & -2\zeta\omega_{OS} & 1 & \\ \omega_{OS}^2 & 0 & -\omega_{OS}^2 & 0 & \end{bmatrix} \begin{bmatrix} Z_\delta \\ Z_m \\ Z_1 \\ Z_2 \end{bmatrix} + b \begin{bmatrix} 0 \\ 0 \\ 0 \\ 0 \end{bmatrix} \ddot{Z}_\delta + \begin{bmatrix} 0 & 0 & 0 & 0 & 0 \\ 0 & 0 & 0 & 0 & -1 \\ b'_{p1} & b'_{p2} & -b'_{p1} & -b'_{p2} & 0 \\ 0 & 0 & 0 & 0 & 0 \\ 0 & 0 & 0 & 0 & 0 \end{bmatrix} \begin{bmatrix} Z_b \\ \dot{Z}_b \\ Z_s \\ \dot{Z}_s \\ Z_s \end{bmatrix} \quad (6.12)$$

$$\begin{bmatrix} \dot{Z}_\delta \\ \dot{Z}_s \\ \dot{Z}_m \\ \dot{Z}_1 \end{bmatrix} = \begin{bmatrix} 0 & 1 & 0 & 0 & 0 \\ 0 & 0 & 1 & 0 & 0 \\ b(K_p - K'_{po}) + bf_o K_v & -bK'_{vo} & b(K_a + K'_{ao}) & bK_v & \\ -f_o^2 & 0 & 1 & -f_o & \end{bmatrix} \begin{bmatrix} Z_\delta \\ Z_s \\ Z_m \\ Z_1 \end{bmatrix} + b \begin{bmatrix} 0 \\ 0 \\ 0 \\ 0 \end{bmatrix} \ddot{Z}_\delta + \begin{bmatrix} 0 & 0 & 0 & 0 & 0 \\ 0 & 0 & 0 & 0 & -1 \\ b'_{p1} & b'_{p2} & -b'_{p1} & -b'_{p2} & 0 \\ 0 & 0 & 0 & 0 & 0 \end{bmatrix} \begin{bmatrix} Z_b \\ \dot{Z}_b \\ Z_s \\ \dot{Z}_s \\ Z_s \end{bmatrix} \quad (6.13)$$

Compensarea efectului modificării poziției șinei se poate realiza pe baza principiului prezentat la pct. 5.6.3.1. Spre exemplu, în cazul sistemului (6.13) punctele de plecare pentru calculul reguletoarelor aferente compensării componentelor  $Z_{su}$  și  $Z_{sp}$  sînt sistemele (6.14) și (6.15) cari înlocuiesc sistemele (5.220) și (5.236):

$$\begin{bmatrix} \dot{X}_{z1} \\ \dot{X}_{z2} \\ \dot{X}_{z3} \\ \dot{Z}_1 \\ \dot{Z}_{su} \\ \dot{Z}_{su} \\ \dot{Z}_{su} \\ \dot{Z}_{su} \end{bmatrix} = \underbrace{\begin{bmatrix} \underbrace{\begin{bmatrix} 0 & 1 & 0 & 0 \\ 0 & 0 & 1 & 0 \\ \alpha'_{31} & \alpha'_{32} & \alpha'_{33} & \alpha'_{34} \\ \alpha'_{41} & 0 & 1 & \alpha'_{44} \end{bmatrix}}_{A_S} \quad \underbrace{\begin{bmatrix} 0 & 0 & 0 & 0 \\ 0 & 0 & 0 & 0 \\ -b'_{p1} & -b'_{p2} & \alpha'_{33} & -1 \\ 0 & 0 & 1 & 0 \\ 0 & 1 & 0 & 0 \\ 0 & 0 & 1 & 0 \\ 0 & 0 & 0 & 1 \\ 0 & 0 & 0 & 0 \end{bmatrix}}_{A_{ps}} \quad \underbrace{\begin{bmatrix} 0 & 0 \\ 0 & 0 \\ b & 0 \\ 0 & 1 \\ 0 & 0 \\ 0 & 0 \\ 0 & 0 \\ 0 & 0 \end{bmatrix}}_{B_S} \begin{bmatrix} \ddot{Z}_\delta \\ \ddot{Z}_a \end{bmatrix} + \begin{bmatrix} 0 & 0 \\ 0 & 0 \\ b'_{p1} + \alpha'_{31} & b'_{p2} + \alpha'_{32} \\ \alpha'_{41} & 0 \\ 0 & 0 \\ 0 & 0 \\ 0 & 0 \\ 0 & 0 \end{bmatrix} \begin{bmatrix} Z_b \\ \dot{Z}_b \\ Z_s \\ \dot{Z}_s \end{bmatrix} \\ \underbrace{\begin{bmatrix} \underbrace{\begin{bmatrix} 0 & 0 & 0 & 0 \\ 0 & 0 & 0 & 0 \\ 0 & 0 & 0 & 0 \\ 0 & 0 & 0 & 0 \end{bmatrix}}_{A_0} \quad \underbrace{\begin{bmatrix} 0 & 0 \\ 0 & 0 \\ 0 & 0 \\ 0 & 0 \end{bmatrix}}_{B_0} \begin{bmatrix} \ddot{x}_S \\ \ddot{x}_P \end{bmatrix} + \underbrace{\begin{bmatrix} 0 & 0 \\ 0 & 0 \\ b'_{p1} & b'_{p2} \\ 0 & 0 \\ 0 & 0 \\ 0 & 0 \\ 0 & 0 \end{bmatrix}}_{B_{1S}} \underbrace{\begin{bmatrix} \ddot{u}_2 \\ \ddot{u}_2 \end{bmatrix}}_{u_2} \end{bmatrix} \begin{bmatrix} Z_b \\ \dot{Z}_b \\ Z_b \\ \dot{Z}_b \end{bmatrix} \quad (6.14-1)$$

$$\begin{bmatrix} \ddot{z}_m \\ z_1 \end{bmatrix} = \underbrace{\begin{bmatrix} 0 & 0 & 1 & 0 & 0 & 0 & 1 & 0 \\ 0 & 0 & 0 & 1 & 0 & 0 & 0 & 0 \end{bmatrix}}_{\substack{C_S \\ C_{-1S}}} \begin{bmatrix} x_S \\ x_p \end{bmatrix} \quad (6.14-2)$$

$$\begin{bmatrix} x_{z1} \\ z_3 \end{bmatrix} = \underbrace{\begin{bmatrix} 1 & 0 & 0 & 0 & 0 & 0 & 0 & 0 \\ 0 & 0 & 1 & 0 & 0 & 0 & 0 & 0 \end{bmatrix}}_{\substack{C_S \\ C_{-pS}}} \begin{bmatrix} x_S \\ x_p \end{bmatrix} \quad (6.14-3)$$

Ecuațiile de stare (6.14-1) au rezultat prin extinderea sistemului (6.13) cu sistemul asociat (4.30), coeficienții  $\alpha'_{31}$  și  $\alpha'_{32}$  calculându-se cu aceleași relații ca și  $\alpha_{31}$  și  $\alpha_{32}$  folosind însă expresiile (6.5).

$$\begin{bmatrix} x_{z1} \\ x_{z2} \\ x_{z3} \\ z_1 \\ z_{sp} \\ \dot{z}_{sp} \end{bmatrix} = \underbrace{\begin{bmatrix} 0 & 1 & 0 & 0 & 0 & 0 & 0 & 0 \\ 0 & 0 & 1 & 0 & 0 & 0 & 0 & 0 \\ \alpha'_{31} & \alpha'_{32} & \alpha_{33} & \alpha_{34} & -b'_{p1} - \alpha_{31} & -b'_{p2} - \alpha_{32} & 0 & 0 \\ \alpha_{44} & 0 & 1 & \alpha_{44} & -\alpha_{41} & 0 & 0 & 0 \\ 0 & 0 & 0 & 0 & 0 & 1 & 0 & 0 \\ 0 & 0 & 0 & 0 & -\omega_s^2 & 0 & 0 & 0 \end{bmatrix}}_{\substack{A_S \\ A_{pS} \\ A_0 \\ A_{-1S}}} \begin{bmatrix} x_{z1} \\ x_{z2} \\ x_{z3} \\ z_1 \\ z_{sp} \\ \dot{z}_{sp} \end{bmatrix} + \underbrace{\begin{bmatrix} 0 & 0 \\ 0 & 0 \\ b & 0 \\ 0 & 1 \\ 0 & 0 \\ 0 & 0 \end{bmatrix}}_{\substack{B_S \\ B_{-1S} u_2}} \begin{bmatrix} \ddot{z}_\delta \\ \ddot{z}_a \end{bmatrix} + \begin{bmatrix} 0 & 0 & 0 & 0 \\ 0 & 0 & 0 & 0 \\ -b'_{p1} & b'_{p2} & \alpha_{33} & -1 \\ 0 & 0 & 1 & 0 \\ 0 & 0 & 0 & 0 \\ 0 & 0 & 0 & 0 \end{bmatrix} \begin{bmatrix} \ddot{z}_{su} \\ \dot{z}_{su} \\ z_{su} \\ \ddot{z}_{su} \end{bmatrix} + \begin{bmatrix} 0 & 0 \\ 0 & 0 \\ b'_{p1} & b'_{p2} \\ 0 & 0 \\ 0 & 0 \\ 0 & 0 \end{bmatrix} \begin{bmatrix} z_b \\ \dot{z}_b \\ z_b \end{bmatrix} \quad (6.15-1)$$

$$\begin{bmatrix} z_\delta \\ z_1 \end{bmatrix} = \underbrace{\begin{bmatrix} 1 & 0 & 0 & 0 & -1 & 0 \\ 0 & 0 & 0 & 1 & 0 & 0 \end{bmatrix}}_{\substack{C_S \\ C_{-pS}}} \begin{bmatrix} x_S \\ x_p \end{bmatrix} \quad (6.15-2)$$

$$\begin{bmatrix} y_{z3} \\ \dot{y}_S \end{bmatrix} = \underbrace{\begin{bmatrix} 0 & 0 & 1 & 0 & 0 & 0 \\ 0 & 0 & 0 & 0 & 0 & 0 \end{bmatrix}}_{\substack{C_S \\ C_{-pS}}} \begin{bmatrix} x_S \\ x_p \end{bmatrix} \quad (6.15-3)$$

Ecuațiile de stare (6.15-1) s-au obținut prin extinderea sistemului (6.13) cu sistemul asociat (4.24).

(ii-3) Cel de-al treilea mod de abordare se bazează pe de-o parte pe sistemul (6.11), iar pe de altă parte pe faptul că mărimea  $Z_b - Z_s$  cu semnificația de distanță dintre boghiu și șină poate fi măsurată:  $(Z_b - Z_s)_M$ . Într-o primă etapă se compensează efectul lui  $(Z_b - Z_s)$  și  $(Z_b - Z_s)'$  prelucrând mărimea măsurată după o lege de reglare de tip PD cu constanta de timp derivativă egală cu constanta de timp T a SESSE-11:

$$\ddot{z}_\delta = \ddot{z}_\delta - \frac{b'_{p1}}{b} (Z_b - Z_s)_M - \frac{b'_{p2}}{b} (Z_b - Z_s)'_M = \ddot{z}_\delta - \frac{b'_{p1}}{b} [(Z_b - Z_s)_M + T(Z_b - Z_s)'_M],$$

$\ddot{z}_\delta$  reprezentînd mărimea de prescriere.

(iii) Față de SLEM-1L derivate din SLEM-B, RM derivate din RM-B prezintă datorită suspensiei elastice avantajul acordării unei importanțe mult mai reduse confortului de călătorie în cadrul proiectării blocului de reglare. Principalul obiectiv urmărit îl constituie reducerea variațiilor întrefierului în vederea asigurării unui întrefier nominal cât mai redus ( $Z_{\delta_0} = 5 + 7 \text{ mm}$ ).

### 6.1.3. Observație asupra unei variante de roată magnetică.

În [62] se menționează că în cazul RM-B compensatorul de stabilizare  $\underline{K}$ , după vectorul de stare  $\underline{X}_1 = [Z_\delta \ \dot{Z}_\delta \ \ddot{Z}_m]^T$ , poate fi transformat fără nici o omisiune într-un compensator de stabilizare  $\underline{K}_y$ , după ieșirea  $\underline{y} = [Z_\delta \ \dot{Z}_\delta \ I \ Z_r]^T$ , obținându-se SLEM-1L identice în ambele cazuri. Afirmarea nu este corectă, în continuare analizându-se critic unele aspecte referitoare la această alternativă de RM.

Din MM (6.2) al SESSE-1L rezultă că vectorii  $\underline{y}$  și  $\underline{X}_1$  sînt legați prin relația:

$$\begin{bmatrix} Z_\delta \\ \dot{Z}_\delta \\ I \\ Z_r \end{bmatrix} = \begin{bmatrix} 1 & 0 & 0 \\ C_\delta - c & 1 & 0 \\ \frac{c}{C_I} & 0 & -\frac{M}{C_I} \\ 1 & 0 & 0 \end{bmatrix} \begin{bmatrix} Z_\delta \\ \dot{Z}_\delta \\ \ddot{Z}_m \end{bmatrix} + \begin{bmatrix} 0 & 0 \\ 0 & 0 \\ \frac{c}{C_I} & 0 \\ -1 & 0 \end{bmatrix} \begin{bmatrix} Z_b \\ \dot{Z}_b \end{bmatrix} + \begin{bmatrix} 0 & 0 & 0 \\ 0 & 0 & 0 \\ -\frac{c}{C_I} & 0 & 0 \\ -1 & 0 & 0 \end{bmatrix} \begin{bmatrix} Z_s \\ \dot{Z}_s \\ \ddot{Z}_s \end{bmatrix} \quad (6.16)$$

Omitînd mărimile perturbatoare rel.(6.16) conduce la transformarea exprimată prin relațiile:

$$\begin{bmatrix} Z_\delta \\ \dot{Z}_\delta \\ I + \frac{c}{C_I} Z_r \end{bmatrix} = \begin{bmatrix} 1 & 0 & 0 \\ 0 & 1 & 0 \\ \frac{C_\delta}{C_I} & 0 & -\frac{M}{C_I} \end{bmatrix} \begin{bmatrix} Z_\delta \\ \dot{Z}_\delta \\ \ddot{Z}_m \end{bmatrix}; \quad \begin{bmatrix} Z_\delta \\ \dot{Z}_\delta \\ \ddot{Z}_m \end{bmatrix} = \begin{bmatrix} 1 & 0 & 0 \\ 0 & 1 & 0 \\ \frac{C_\delta}{M} & 0 & -\frac{C_I}{M} \end{bmatrix} \begin{bmatrix} Z_\delta \\ \dot{Z}_\delta \\ I + \frac{c}{C_I} Z_r \end{bmatrix} \quad (6.17)$$

Compensatorul  $\underline{K}_y$  după ieșirea  $\underline{y}$  se obține aplicînd legii de comandă (5.1) transformarea (6.17):

$$\begin{aligned} \underline{u}_a &= \underline{K}_x^T \underline{X}_1 + \ddot{Z}_\delta = \underbrace{\begin{bmatrix} C_\delta \\ K_p + \frac{C_\delta}{M} K_a, K_v, -\frac{C_I}{M} K_a \end{bmatrix}}_{\underline{K}_x^T} \begin{bmatrix} Z_\delta \\ \dot{Z}_\delta \\ \ddot{Z}_m \end{bmatrix} + \ddot{Z}_\delta = \\ &= \underbrace{\begin{bmatrix} K_p + \frac{C_\delta}{M} K_a, K_v, -\frac{C_I}{M} K_a, \frac{c}{M} K_a \end{bmatrix}}_{\underline{K}_y^T} \begin{bmatrix} Z_\delta \\ \dot{Z}_\delta \\ I \\ Z_r \end{bmatrix} \quad (6.18) \end{aligned}$$

Prima formă  $\underline{K}_x^T \underline{X}'$  se poate utiliza în cazul unei proiectări independente a RM cu reacție după vectorul de stare  $\underline{X}'$ . Cea de a doua formă explicitează matricea  $\underline{K}_y$ . Se observă că două dintre elementele lui  $\underline{K}_x$  și  $\underline{K}_y$  sînt puternic dependente de parametrii  $C_\delta$  și  $C_I$  ai SESSE-1L. O astfel

de variantă de RM necesită trei traductoare: un traductor de întrefier pentru  $Z_\delta$ , un traductor de deplasare pentru  $Z_r$  și un traductor de curent pentru  $I$  (cu filtru pentru variațiile de curent datorate chopării). Ea prezintă în consecință avantajul eliminării traductorului de accelerație.

Principala dezavantaj al RM analizate îl reprezintă faptul că pentru implementarea legii de comandă  $U_a = K_x^T X' = K_y^T y$  nu este posibilă proiectarea unor observatori de stare invarianți în raport cu parametrii SESSE-LL, soluțiile depinzând întotdeauna de  $C_\delta$  și  $C_I$ . Spre exemplu, pentru FLS:  $K_x^T X'$  se obține observatorul:

$$\begin{aligned} \dot{z} &= -f'_0 z + g'_1 Z_\delta + g'_2 \left( I + \frac{C}{C_I} Z_r \right) \\ \hat{u}_a &= e'_0 z + h'_1 Z_\delta + h'_2 \left( I + \frac{C}{C_I} Z_r \right) + \tilde{Z}_\delta, \end{aligned} \quad (6.19)$$

avînd parametrii legați prin relațiile:

$$e'_0 = -\frac{C_I K_v}{M g'_2}; \quad g'_1 = \frac{M f'_0{}^2 - C_\delta}{C_I} g'_2; \quad h'_1 = K_p + f'_0 K_v + \frac{C_\delta}{M}; \quad h'_2 = -\frac{C_I}{M} K_a. \quad (6.20)$$

Proiectarea observatorului (6.19) necesită adoptarea polului  $f'_0$  al acestuia și a unuia din parametrii  $e'_0$ ,  $g'_2$  și  $g'_1$ . Valoarea lui  $h'_2$  nu depinde de aceste adoptări.

Pe lângă erorile de estimare pe care le determină, dezavantajul menționat are drept consecință (negativă) și o dependență mai pronunțată a compensatorului în raport cu parametrii SESSE-LL. Toate acestea împiedică asupra acurateții reglajului acestei variante de RM, motiv pentru care autorul tezei optează pentru RM de la pct. 6.1.2.

#### 6.1.4. Utilizarea roții magnetice pentru realizarea VPM.

Roțile magnetice sînt destinate VPM cu structură mecanică modulară, ca în fig. 6.2.a [61,62,66,65]. În mod simplificat structura se reprezintă ca în fig. 6.2.b. Sustentarea și ghidarea VPM cu RM se obține printr-un SLEH-ML descentralizat, ierarhizat pe două nivele, în cadrul căruia fiecare RM este independentă și doar anumite funcții de comandă și de control se întreprind în mod centralizat.

Prima nivel al sistemului descentralizat (nivelul inferior) conține: electromagnetul cu suspensie elastică (cu sau fără instalație de răcire), sursa de energie, blocul de alimentare (comandabil), traductoarele de măsură, blocul de comandă și reglare (în variantă analogică, digitală sau hibridă) și dispozitivele de afișaj. Se observă că, în principal, primul nivel este alcătuit din RM a cărei proiectare se efectuează în acord cu cele precizate la pct.6.1.2. Reglarea separată, descentralizată, a electromagnetilor este posibilă prin faptul că fiecare



electromagnet se prinde „foarte elastic” în direcția mișcării de translație (folosind un resort primar de frecvență proprie scăzută, adică cu coeficient de elasticitate  $c$  de valoare redusă) și rigid în direcția mișcărilor de rotație posibile, prin intermediul unor resorturi cu foi, prinderea elastică menționată permițând ca, practic, magneții să se considere decuplați. Din punct de vedere teoretic decuplarea nu este valabilă, o proiectare riguroasă a SLEM-ML descentralizat fiind mult mai pretențioasă. În acest scop se pot utiliza metodele de calcul prezentate în [29,30].

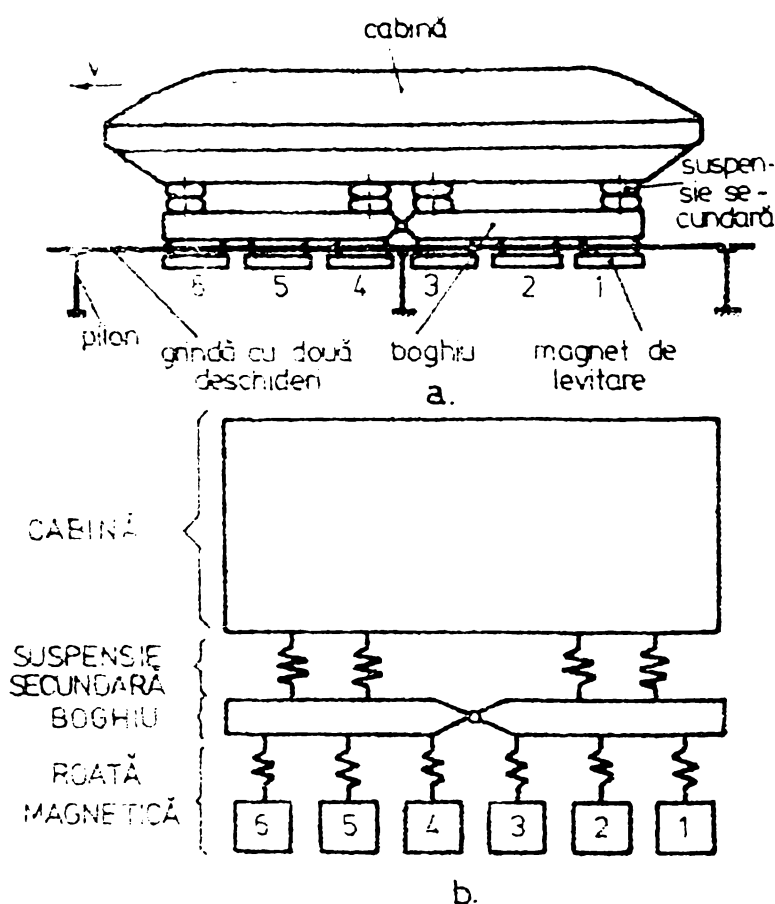


Fig. 6.2. Structura mecanică a unui VPM cu RM (representare de principiu).

unui număr mare de roți magnetice asigură funcționarea VPM chiar și atunci când unele roți magnetice „cad”, indiferent dacă nivelul 2 se păstrează sau nu.

Așa cum s-a menționat la pct. 6.1.2., VPM cu RM pot funcționa cu întrefier minimal de valoare redusă datorită faptului că, la nivelul roții magnetice, condiția de confort de călătorie este mai puțin importantă decât condițiile de variație redusă a întrefierului și de consum de energie redus. Aceasta înseamnă că față de VPM cu comandă centralizată, în indicele de calitate (8.3) ponderea  $q_a$  poate lua valori reduse. Aprecierea corectă a confortului de călătorie este posibilă numai prin simularea comportării întregului VPM. Simulările efectuate la firma MBB au evidențiat pe lângă faptul că pentru VPM cu RM confortul de călătorie este mai

Cel de al doilea nivel al sistemului descentralizat este în general condus de un calculator de bord. El comandă primul nivel al SLEM-ML asigurând realizarea următoarelor funcțiuni:

- înclinarea cabinei în curbe,
- compensarea modificării poziției boghiurilor și cabinei ca urmare a modificării sarcinii statice a VPM,
- controlul decolării și aterizării vehiculului,
- afișare și înregistrare de date
- identificarea și indicarea defecțiunilor,
- operații de verificare.

O astfel de structură ierarhizată prezintă avantajul că nivelul 1 funcționează și dacă nivelul 2 cade. Pe de altă parte prezența

bun decât pentru VPM cu comandă centralizată, un alt aspect avantajos și anume faptul că în regim de croazieră electromagneții sînt solicitați relativ identic, variațiile întrefierurilor, curenților și tensiunilor fiind, respectiv, de valori egale pentru toți electromagneții. Toate aceste avantaje se traduc totodată printr-un consum de putere mai redus pentru levitare.

## 6.2. SLEM-5L centralizat.

### 6.2.1. Structura SLEM-5L centralizat.

SLEM-5L centralizat considerat are schema bloc din fig. 6.3. El este prin definiție sistemul de reglare automată al SES-5L din fig. 2.20 și are schema bloc structurală din fig. 6.4. rezultată prin completarea schemelor bloc din fig. 2.25 și fig. 2.27 cu blocuri de reglare.

În mare, SLEM-5L centralizat este alcătuit din SES-5L, care reprezintă procesul reglat, și din blocul de reglare și conducere. Operația de conducere a întregului sistem este asigurată de către blocul de prescriere. Spre deosebire de SLEM-ML cu RM în cazul de față fiscare electromagnet este comandat în funcție de toate mărimile măsurate în cadrul subsistemului de reglare aferent (subsistemul de sustentare al SLEM-5L sau subsistemul de ghidare al SLEM-5L), iar prin acțiunea lui determină modificarea tuturor acestor mărimi. În consecință fiecare dintre cele două subsisteme ale SLEM-5L, subsistemul de sustentare și subsistemul de ghidare, constituie un sistem de reglare centralizat.

Din punct de vedere algoritmic, în ipotezele făcute la începutul pct. 2.2., cele două subsisteme sînt compuse din trei, respectiv două subsisteme de reglare independente (autonome), corespunzătoare celor cinci grade de libertate  $k = z, \varphi, \psi, y$  și  $\lambda$ , fiecare - în parte - avînd structura unui SLEM-1L. Acest lucru este posibil întrucît: (i) SES-5L prezintă autonomii după cele cinci grade de libertate (v. pct. 2.2.5); (ii) blocurile de reglare ale subsistemelor de sustentare, respectiv de ghidare, au structura din fig. 6.3, ele prezentînd, prin concepție, autonomii. În fig. 6.4. acestea apar fără a mai fi detaliate, mărimile de reacție obținindu-le de la traductoarele de întrefier  $T-Z_{\delta}$ ,  $T-Y_{\delta}$  și de accelerație  $T-\bar{Z}_m$ ,  $T-\bar{Y}_m$ , prin intermediul blocurilor de reducere de matrici  $R_S$ ,  $R_G$  și  $R_G^*$  (v. fig. 2.25, 2.27 și observațiile de la pct. 2.2.3 și 2.2.4). Întrucît din punct de vedere informațional sînt considerate ca mărimi de reacție numai  $\underline{G}_S$ ,  $\bar{Z}_{\delta 0}$  (pentru subsistemul de sustentare al SLEM-5L) și  $\underline{G}_G$ ,  $\bar{Y}_{\delta 0}$  (pentru subsistemul de ghidare al SLEM-5L), traductoarele și blocurile de reducere care furnizează aceste mărimi nu apar în structura informațională a SLEM-5L. Pentru a atrage atenția asupra acestei situații, în fig. 6.4. ele au fost reprezentate cu linie

întreruptă. Conform celor precizate la pct. 2.2.3. și 2.2.4. în aceeași situație se află și blocurile de distribuție.

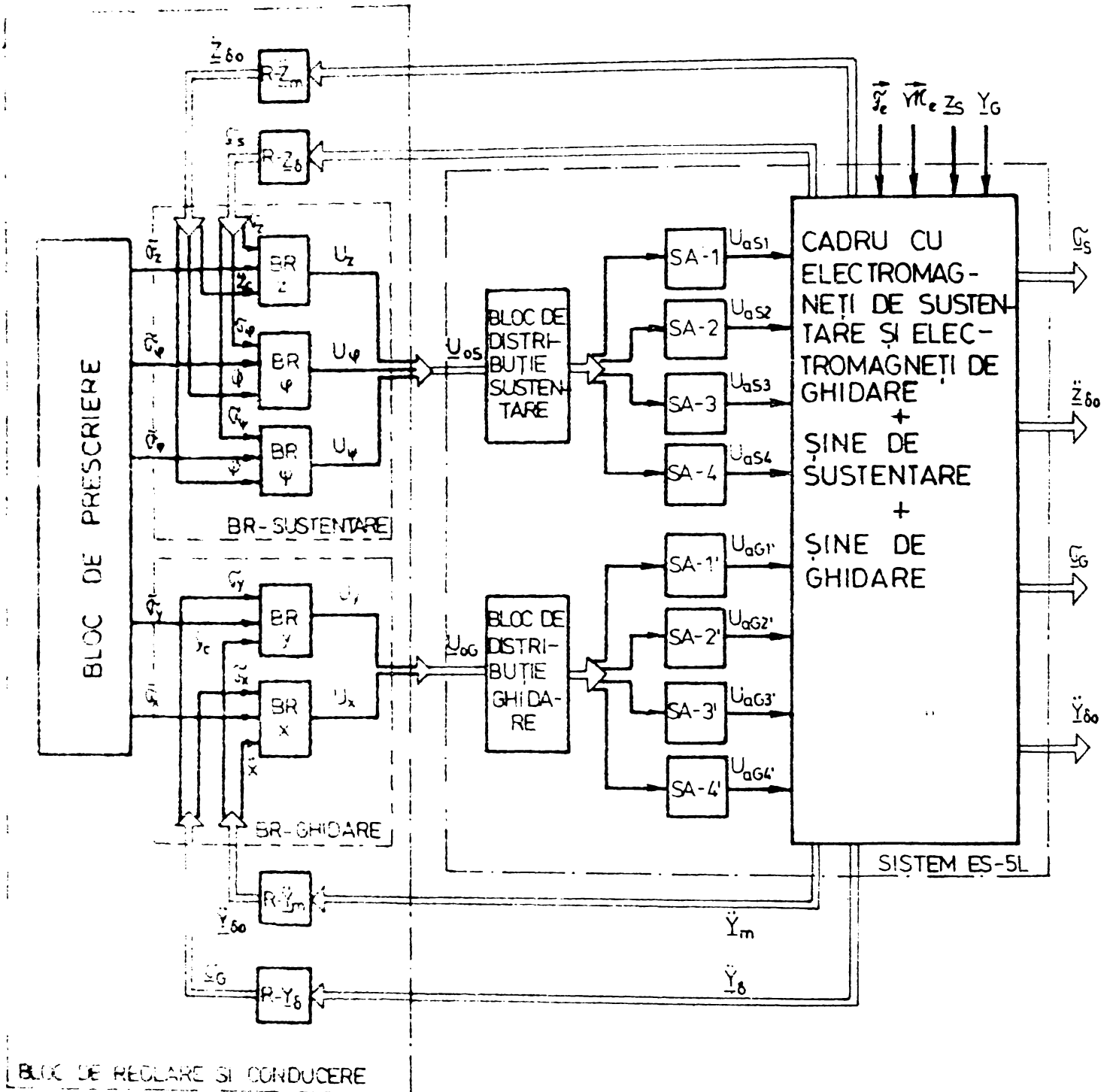
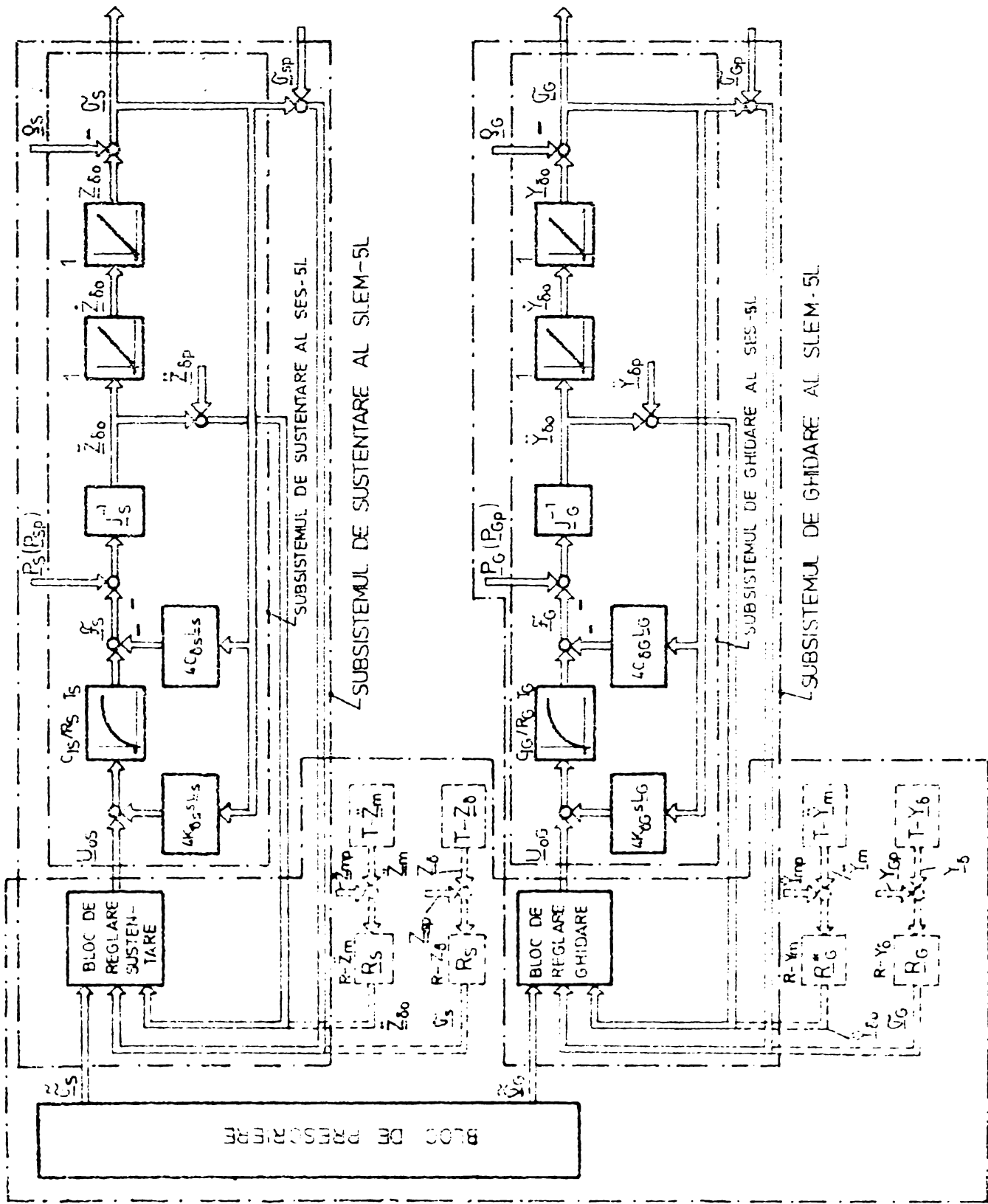


Fig. 6.3. Schema bloc a SLEM-5L centralizat.

( $\vec{G}_S, \vec{G}_G$  - întrefieruri echivalente prescrise;  $\vec{F}_e, \vec{M}_e$  - forțe și momente exterioare ce acționează asupra cadrului cu electromagneți;  $Z_S$  și  $Y_G$  - cotele șinelor de susținere și ordonatele șinelor de ghidare față de un referențial fix;  $\vec{G}_S, \vec{G}_G$  - întrefieruri echivalente corespunzătoare celor cinci grade de libertate;  $\ddot{Z}_{\delta_0}, \ddot{Y}_{\delta_0}$  - accelerațiile mișcării cadrului după cele cinci grade de libertate;  $U_{oS}, U_{oG}$  - tensiuni de comandă; BR - bloc de reglare; R - bloc de reducere; SA - sursă de alimentare a unui electromagnet;  $U_{aS}, U_{aG}$  - tensiuni de alimentare a electromagneților; S și G - indici pentru mărimile și blocurile aferente subsistemelor de susținere și de ghidare).

Fig. 6.4. Schema bloc structurală a SLEM-5L centralizat (notații - cf corespund pct. 2.2 și fig. 6.3;  $T-Z_m^m$ ,  $T-Y^m$  - blocurile de aceluiași tip;  $T-Z_\delta$ ,  $T-Y_\delta$  - blocurile traductoarelor de întrefier;  $P_{Sp}$ ,  $P_{Gp}$  - mărimi pondero-motoare virtuale echivalente avarierii electromagnetilor;  $G_{Sp}$ ,  $G_{Gp}$ ,  $Z_{Sp}$ ,  $Y_{Gp}$  - întrefieruri pentru batoare virtuale echivalente avarierii canalelor de măsurare;  $Z_{\delta p}$ ,  $Y_{\delta p}$ ,  $Z_{mp}$ ,  $Y_{mp}$  - accelerații perturbatoare echivalente avarierii canalelor de măsurare;  $R_S$ ,  $R_G$ ,  $R_G^*$  - blocuri de vedere).



In fig. 6.4. apar o serie de mărimi denumite „mărimi perturbatoare virtuale echivalente avarierii electromagneților, -canalelor de măsurare ale întrefierurilor și -canalelor de măsurare ale accelerațiilor”. Ele sînt mărimi de calcul care vor fi definite în continuare în cadrul pct. 6.2.4.

### 6.2.2. Calculul blocului de reglare al SLEM-5L centralizat.

După cum s-a arătat mai sus, din punct de vedere algoritmic SLEM-5L centralizat este compus din cinci subsisteme de reglare independente, subsistemele SLEM-1L-k aferente mișcărilor de suspensie ( $k = z$ ), -de ruluu ( $k = \varphi$ ), -de tangaj ( $k = \psi$ ), -de alunecare ( $k = y$ ) și -de rotație ( $k = \lambda$ ). Ele au o structură de SLEM-1L întrucît în fiecare caz procesul reglat îl constituie cîte unul din subsistemele autonome ale SES-5L (toate avînd structura SES-B), iar blocul de reglare BR-k al fiecărui subsistem este independent de blocurile de reglare ce conduc celelalte grade de libertate. În consecință rezultatele obținute în cap. 5 sînt utilizabile și pentru calculul blocurilor de reglare BR-k,  $k = z, \varphi, \psi, y$  și  $\lambda$ , care intră în componența blocului de conducere și reglare al SLEM-5L centralizat.

În principiu structura fiecărui bloc de reglare este independentă și la fel și calculul său, în considerație intrînd una din următoarele configurații:

- SLEM-1L cu OFLS-varianta MBB (fig.5.15 și ec.(5.142));
- SLEM-1L cu OFLS-varianta II (fig. 5.18 și ec.(5.155));
- SLEM-1L cu compensarea efectului forței exterioare (fig. 5.22 și ec.(5.195));
- SLEM-1L cu compensarea efectului forței exterioare (fig. 5.24 și ec.(5.208));
- SLEM-1L cu compensarea efectului uneia dintre componentele perturbației introduse de modificarea poziției căii de glisare (ec.(5.224)).

La utilizarea rezultatelor din cap. 5 trebuie avute în vedere relațiile de echivalare din tabelul 2.2 precum și indexarea cu indicele  $k$  a tuturor mărimilor introduse prin aceste rezultate. Spre exemplu, în ipoteza că SLEM-1L- $\varphi$  se realizează utilizînd OFLS-varianta II, BR- $\varphi$  va avea structura din fig. 5.18.b, reluată în fig. 6.5. În cea de a doua apar ca mărimi de intrare mărimile furnizate de subsistemul de ruluu al SES-5L și mărimea de conducere  $\tilde{\Theta}_\varphi$ . Parametrii și variabilele interne ale observatorului au fost indexate. Ecuațiile acestui observator reproduc, exceptînd mărimea de conducere, ec.(5.155):

$$\begin{aligned} \dot{z}_{1\varphi} &= -f_{0\varphi} z_{1\varphi} - f_{0\varphi}^2 \tilde{\Theta}_\varphi + \tilde{\varphi} \\ U_\varphi &= \hat{u}_\varphi + \tilde{\Theta}_\varphi = (K_{p\varphi} + f_{0\varphi} K_{v\varphi}) \tilde{\Theta}_\varphi + K_{v\varphi} z_{1\varphi} + K_{a\varphi} \tilde{\varphi} + \tilde{\Theta}_\varphi \end{aligned} \quad (6.21)$$

Parametrii  $K_{p\varphi}$ ,  $K_{v\varphi}$  și  $K_{a\varphi}$  din ec.(6.21) se calculează în același mod ca parametrii  $K_p$ ,  $K_v$  și  $K_a$  ai observatorului (5.155), plecînd însă de la următoarele relații de corespondență ce rezultă pe baza tabelului 2.2.:

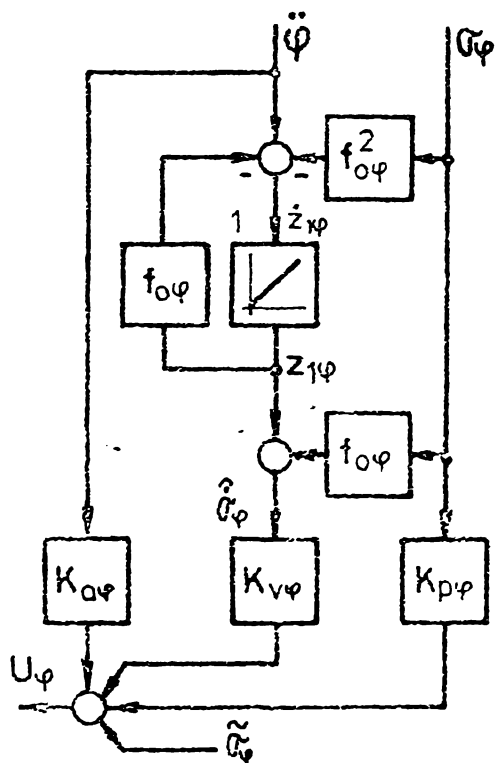


Fig. 6.5. Variantă de BR- $\varphi$  pentru SLEM-1L- $\varphi$ .

$$b = -\frac{C_I}{MK_I} \rightarrow b_\varphi = -\frac{C_{IS}}{\frac{Jx'}{l^*} K_{IS}};$$

$$K_{po} = -\frac{C_\delta}{MbT} \rightarrow K_{po\varphi} = \frac{4C_{\delta S} R_S}{C_{IS}};$$

$$K_{vo} = -\frac{C_\delta T_d}{MbT} \rightarrow K_{vo\varphi} = K_{po\varphi} (T_S - \frac{C_{IS} K_{SS}}{C_{SS} R_S});$$

$$K_{ao} = -\frac{1}{bT} \rightarrow K_{ao\varphi} = -\frac{1}{b_\varphi T_S}.$$

Dintre diversele considerente care, alături de aspectele dezvoltate în cap. 5., contribuie la stabilirea valorilor parametrilor  $K_{pk}$ ,  $K_{vk}$  și  $K_{ak}$  ai compensatoarelor de stabilizare ale blocurilor de reglare BR-k sînt mai importante următoarele:

(i) Aprecierea confortului de călătorie la nivelul cadrului cu electromagneți se face numai pe baza mărimilor  $\ddot{z}_C$  și  $\ddot{y}_C$ , întrucît se dispune de caracteristici etalon numai pentru deplasări pe verticală și pentru deplasări pe orizontală (v. pct. 4.2.2.1. și fig. 4.6). În calcule, cele două mărimi care apar în ec.(2.86-1), respectiv ec.(2.110-1) vor lua locul accelerației  $\ddot{z}_m$  din cazul SES-1L (v. tabelul 2.2). În locul mărimii perturbatoare  $\ddot{z}_g$  trebuie considerate mărimile  $\ddot{\rho}_z$  și  $\ddot{\rho}_y$  care reprezintă accelerațiile perturbatoare echivalente datorate modificării în timp a poziției șinelor de susținere, respectiv de ghidare ale căii de glisare. Întrucît astfel de perturbații apar numai la VPM și avînd în vedere relațiile de definiție (2.80-5) și (2.104-4), rezultă că fiecare în parte depinde de mărimi ce au, într-o anumită măsură, o variație corelată. Spre exemplu, considerînd că VPM se deplasează cu viteza  $v = \text{const.}$  în sensul pozitiv al axei  $x$  (fig. 2.21 și fig. 2.22) rezultă:

$$z_{6S}(t) = z_{5S}(t - \frac{v}{2L}) ; z_{7S}(t) = z_{8S}(t - \frac{v}{2L}) \quad (6.22)$$

$$y_{6G}(t) = y_{5G}(t - \frac{v}{2L}) ; y_{7G}(t) = y_{8G}(t - \frac{v}{2L})$$

(ii) În vederea asigurării unui confort cît mai bun la nivelul cadrului cu electromagneți, se impune corelarea vitezelor de acționare ale SLEM-1L-k. Aceasta se realizează prin adoptarea valorilor parametrilor  $K_{pk}$ ,  $K_{vk}$  și  $K_{ak}$  de așa manieră încît constantele de timp  $T_{LEM k} = 1/(d_k \omega_{ok})$

și/sau amortizările  $d_k$  aferente polilor dominanți (v. rel.(5.8))

$$p_{2,3 k} = -d_k \omega_{ok} \pm j \sqrt{1 - d_k^2} \omega_{ok}, \quad k = z, \varphi, \psi, y, x, \quad (6.23)$$

să satisfacă anumite relații de ordine sau de echivalență. Se consideră că sînt de interes practic următoarele trei cazuri:

- a)  $T_{LEM z} = T_{LEM \varphi} = T_{LEM \psi} = T_{LEM y} = T_{LEM x}$  ;
- b)  $T_{LEM z} = T_{LEM \varphi} > T_{LEM \psi}$ ,  $T_{LEM y} > T_{LEM x}$ ,  $T_{LEM z} \geq T_{LEM y}$  ;
- c)  $T_{LEM z} > T_{LEM \varphi} = T_{LEM \psi}$ ,  $T_{LEM y} > T_{LEM x}$ ,  $T_{LEM z} \geq T_{LEM y}$  .

Cazurile b) și c) urmăresc totodată să asigure și aducerea cât mai rapidă a cadrului cu electromagneți într-o poziție „paralelă” cu șinele de susținere și cu șinele de ghidare. Un studiu comparativ riguros al acestor cazuri este complicat de realizat.

(iii) Datorită dependențelor ce există pe de-o parte între cotele extremităților cadrului cu electromagneți, iar pe de altă parte între ordonatele acelorși puncte, ca urmare a rigidității corpului cadrului și datorită faptului că SLEM-B prezintă în raport cu forța exterioară statistic  $\bar{F}_{pe}$ , de expresie (5.21), problema compensării efectului mărimilor pondero-motoare ce acționează asupra SLEM-5L este foarte importantă.

Un prim aspect practic îl constituie faptul că SES-5L real, se abate de la SES-5L ideal (pct. 2.2.1) datorită: 1<sup>o</sup>- abaterii cadrului de la forma de placă dreptunghiulară rigidă subțire și a necoincidenței centrului de masă C cu centrul de simetrie; 2<sup>o</sup>- efectelor de interacțiune; 3<sup>o</sup>- erorilor de montare a electromagneților și a traductoarelor de măsură ș.s.m.d. Drept urmare compensarea tuturor mărimilor perturbatoare pondero-motoare echivalente  $F_{ez}$ ,  $\mathcal{M}_{e\varphi}$ ,  $\mathcal{M}_{e\psi}$ ,  $F_{ey}$  și  $\mathcal{M}_{ex}$ , care acționează respectiv asupra subsistemelor SLEM-1L-k poate conduce practic fie la instabilitate, fie la suprasolicitarea unor electromagneți. Din acest motiv pentru subsistemul de susținere al SLEM-5L compensarea discutată se recomandă numai pentru SLEM-1L-z și SLEM-1L-ψ, iar pentru subsistemul de ghidare al SLEM-5L numai pentru SLEM-1L-y.

Un al doilea aspect îl reprezintă maniera de compensare, în sensul că, în acord cu cele prezentate în cap. 5, există două variante de compensare: o compensare prin structură, conform pct. 5.6.2., și o compensare prin modificarea intermitentă a mărimilor de conducere, conform schemei din fig. 5.5. Decizia pentru o variantă sau alta depinde de condițiile concrete de funcționare ale SLEM-5L, a doua manieră de compensare recomandîndu-se în cazul unor modificări lente ale mărimilor pondero-motoare.

Compensarea efectelor componentelor perturbațiilor  $\ddot{\xi}_z$ ,  $\ddot{\xi}_\varphi$ ,  $\ddot{\xi}_\psi$ ,  $\ddot{\xi}_y$  și  $\ddot{\xi}_x$  este posibilă numai pe calea precizată la pct. 5.6.3. Din aceleași

considerente ca și mai sus, dintre subsistemele SLEM-1L-k cel mult trei pot fi prevăzute cu acest tip de compensare.

### 6.2.3. Pretensionarea electromagneților SLEM-5L centralizat.

Modelarea SES-5L s-a făcut în ipoteza că MM ale electromagneților de susținere sînt de forma (2.63), iar MM ale electromagneților de ghidare sînt de forma (2.91). Acestea sînt MM obținute prin liniarizarea ec. (2-1) + (2.3) în vecinătatea unui punct de funcționare  $\Lambda_0$ , variabilele care apar în cadrul lor reprezentînd, în acord cu convenția ce urmează rel.(2.7), creșterile mărimilor de același nume în vecinătatea punctului  $\Lambda_0$ .

Forței electromagnetice  $F$  din rel.(2.3) îi este specific faptul că poate lua numai valori pozitive, întrucît este o forță de atracție. În consecință punctul  $\Lambda_0$  se caracterizează prin (v. rel.(2.6)):  $F_0 > 0$ . Forța  $F_0$  reprezintă o valoare absolută a forței  $F$  și corespunde unei pretensionări a electromagneților în punctul  $\Lambda_0$ .

Pentru electromagneții de susținere pretensionarea se asigură, la fel ca și în cazul SES-1L, prin faptul că în stare levitată forțele de susținere echilibrează greutatea  $Mg$  a cadrului cu electromagneți (inclusiv încărcătura sa). În ipoteza omogenității și simetriei cadrului forța de pretensionare a electromagneților de susținere este aceeași pentru toți electromagneții și anume:

$$F_{S0} = \frac{M}{4} \cdot \quad (6.24)$$

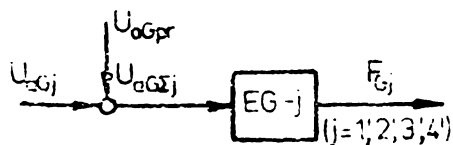


Fig.6.6. Schemă bloc relativă la pretensionarea electromagneților de ghidare.

În cazul electromagneților de ghidare, care nu au de compensat forțe gravitaționale, pretensionarea este de asemenea necesară întrucît numai prin prevederea ei se poate asigura un domeniu de funcționare liniară a întregului SLEM-5L centralizat. Electromagneții de ghidare trebuie pretensionați cu o forță:

$$F_{G0} = \Delta F_G \max \quad (6.25)$$

unde  $\Delta F_G \max$  reprezintă o variație maximă estimată pentru forțele  $F_{Gj}$ . Practic pretensionarea se realizează ca în fig. 6.6. prin componenta  $U_{aGpr}$  a mării de comandă  $U_{aG\Sigma j}$  (tensiune de alimentare) a electromagneților:  $U_{aG\Sigma j} = U_{aGj} + U_{aGpr}$ ,  $j = 1', 2', 3', 4'$ .

### 6.2.4. Simularea SLEM-5L centralizat.

Comportarea și performanțele SLEM-5L centralizat se pot studia prin simularea acestuia pe calculator numeric sau analogic. Ecuațiile sistemului sînt alcătuite din ecuațiile SES-5L, ec.(2.113) sau ec.(2.86) împreună cu ec.(2.110), și din ecuațiile blocurilor de reglare BR-k.



Mărimile de intrare ale SLEM-5L centralizat sînt: mărimile de conducere  $\tilde{\epsilon}_z, \tilde{\epsilon}_\varphi, \tilde{\epsilon}_\psi, \tilde{\epsilon}_y, \tilde{\epsilon}_\lambda$ , mărimile perturbatoare  $\underline{P}$  (pondero-motoare) și  $\underline{\tilde{g}}$  (accelerațiile echivalente modificării poziției șinelor). Ca mărimi de ieșire se consideră întrefierurile echivalente  $\underline{\tilde{g}}$  și accelerațiile cadrului cu electromagneți  $\underline{\tilde{\zeta}}$ , după cele cinci direcții independente.

Dintre mărimile de intrare doar mărimile de conducere se pot considera independente. Mărimile perturbatoare  $\underline{P}$  sînt de obicei corelate întrucît provin din forțe și cupluri care afectează dinamica sistemului simultan după mai multe grade de libertate. Spre exemplu, o forță perturbatoare perpendiculară pe planul cadrului este echivalentă cu modificarea simultană a lui  $F_{ez}, \mathcal{M}_{e\varphi}$  și  $\mathcal{M}_{e\psi}$ . Mărimile perturbatoare  $\underline{\tilde{g}}$ , depinzînd de modul de variație al componentelor vectorilor  $\underline{Z}_S$  și  $\underline{Y}_G$ , corelarea lor pentru șinele de sustentare, pe de-o parte, și pentru șinele de ghidare, pe de altă parte, rezultă din considerente similare cu cele care au condus la rel.(6.22).

În afara mărimilor de ieșire menționate, în studiu pot interesa încă două categorii de mărimi: o categorie formată din variabilele ce apar în mod distinct în ecuațiile SLEM-5L centralizat, cum sînt spre exemplu variabilele de comandă  $\underline{U}_C$ , vitezele de modificare a întrefierurilor echivalente  $\underline{\dot{g}}$  și variabilele de stare ale blocurile de reglare BR-k, și o a doua categorie formată din variabilele care au fost eliminate în cursul operațiilor de stabilire a MM (2.113). Din aceasta de a doua categorie fac parte: întrefierurile electromagneților, accelerațiile extremităților cadrului, tensiunile de alimentare și curenții de excitație ai bobinelor electromagneților și forțele dezvoltate de ei. În continuare se stabilesc relații de calcul pentru aceste mărimi.

(i) Întrefierurile electromagneților de sustentare se obțin cu relațiile:

$$z_{\delta i} = z_{mi} - z_{iS}, \quad i = 1, \dots, 4, \quad (6.26)$$

în care cotele  $z_{mi}$  și  $z_{iS}$  au expresiile:

$$z_{m1} = z_C + L^x(\sin \varphi \sin \lambda + \cos \varphi \sin \psi \cos \lambda) - l^x(\sin \varphi \cos \lambda + \cos \varphi \sin \psi \sin \lambda)$$

$$z_{m2} = z_C + L^x(\sin \varphi \sin \lambda + \cos \varphi \sin \psi \cos \lambda) - l^x(\sin \varphi \cos \lambda + \cos \varphi \sin \psi \sin \lambda)$$

$$z_{m3} = z_C - L^x(\sin \varphi \sin \lambda + \cos \varphi \sin \psi \cos \lambda) + l^x(\sin \varphi \cos \lambda + \cos \varphi \sin \psi \sin \lambda)$$

$$z_{m4} = z_C + L^x(\sin \varphi \sin \lambda + \cos \varphi \sin \psi \cos \lambda) + l^x(\sin \varphi \cos \lambda + \cos \varphi \sin \psi \sin \lambda)$$

$$\begin{bmatrix} z_{1S} \\ z_{2S} \\ z_{3S} \\ z_{4S} \end{bmatrix} = \begin{bmatrix} 0,5(1+L^x/L) & 0,5(1-L^x/L) & 0 & 0 \\ 0,5(1-L^x/L) & 0,5(1+L^x/L) & 0 & 0 \\ 0 & 0 & 0,5(1+L^x/L) & 0,5(1-L^x/L) \\ 0 & 0 & 0,5(1-L^x/L) & 0,5(1+L^x/L) \end{bmatrix} \underline{Z}_S, \quad (6.27-1)$$

$\underline{Z}_S = [z_{5S} \ z_{6S} \ z_{7S} \ z_{8S}]^T$  (v. rel.(2.80-5)) fiind, în acord cu cele mai sus prezentate, mărimi de intrare a SLEM-5L. Rel.(6.27-1) s-au obținut avînd în vedere că în raport cu centrul de masă C punctele 1, 2, 3, 4 au vectorii de poziție:

$$\begin{aligned} \bar{r}_1 &= L^{\#} \bar{i}' - l^{\#} \bar{j}' ; & \bar{r}_3 &= -L^{\#} \bar{i}' + l^{\#} \bar{j}' \\ \bar{r}_2 &= -L^{\#} \bar{i}' - l^{\#} \bar{j}' ; & \bar{r}_4 &= L^{\#} \bar{i}' + l^{\#} \bar{j}' \end{aligned} \quad (6.27-3)$$

În mod asemănător întrefierurile electromagneților de ghidare se calculează cu relațiile:

$$y_{\delta j} = y_{mj} - y_{jG} , \quad j = 1', 2' ; \quad y_{\delta j} = y_{jG} - y_{mj} , \quad j = 3', 4' , \quad (6.28)$$

care fac uz de rel.(6.29), omoloagele relațiilor (6.27) în cazul sub-sistemului de ghidare (s-a notat cu  $L_{SG}$  matricea de legătură din rel. (6.27.2)):

$$\begin{aligned} y_{m1'} &= y_G + L^{\#}(\cos\psi \sin\lambda + \sin\psi \sin\psi \cos\lambda) + l(\cos\psi \cos\lambda - \sin\psi \sin\psi \sin\lambda) \\ y_{m2'} &= y_G - L^{\#}(\cos\psi \sin\lambda + \sin\psi \sin\psi \cos\lambda) + l(\cos\psi \cos\lambda - \sin\psi \sin\psi \sin\lambda) \\ y_{m3'} &= y_G - L^{\#}(\cos\psi \sin\lambda + \sin\psi \sin\psi \cos\lambda) - l(\cos\psi \cos\lambda - \sin\psi \sin\psi \sin\lambda) \\ y_{m4'} &= y_G + L^{\#}(\cos\psi \sin\lambda + \sin\psi \sin\psi \cos\lambda) - l(\cos\psi \cos\lambda - \sin\psi \sin\psi \sin\lambda) \end{aligned} \quad (6.29-1)$$

$$[y_{1'G} \ y_{2'G} \ y_{3'G} \ y_{4'G}]^T = L_{SG} y_G \quad (6.29-2)$$

$$\begin{aligned} \bar{r}_{1'} &= L^{\#} \bar{i}' - l \bar{j}' ; & \bar{r}_{3'} &= -L^{\#} \bar{i}' + l \bar{j}' \\ \bar{r}_{2'} &= -L^{\#} \bar{i}' - l \bar{j}' ; & \bar{r}_{4'} &= L^{\#} \bar{i}' + l \bar{j}' \end{aligned} \quad (6.29-3)$$

$y_G = [y_{5G} \ y_{6G} \ y_{7G} \ y_{8G}]^T$  (v. rel.(2.104.-4)) este de asemenea mărime de intrare.

(ii) Accelerația unui punct  $\bar{\pi}$ , oarecare, al cadrului cu electromagneți se calculează cu relația [160]:

$$\bar{a}_{\bar{\pi}} = \bar{a}_C + \bar{\epsilon} \times \bar{r}_{\bar{\pi}} + \bar{\omega} \times (\bar{\omega} \times \bar{r}_{\bar{\pi}}) \quad (6.30)$$

în care:  $\bar{r}_{\bar{\pi}}$  este vectorul de poziție al punctului  $\bar{\pi}$ ,  $\bar{\omega}$  are expresia (2.52),  $\bar{\epsilon} = \frac{d\bar{\omega}}{dt}$ , iar  $\bar{a}_C$  este accelerația centrului de masă  $\bar{a}_C = \bar{x}_C \bar{i} + \bar{y}_C \bar{j} + \bar{z}_C \bar{k}$ . În particular, pentru  $\bar{\pi} = 5, 6, 7$  și 8 se obțin accelerațiile extremităților cadrului cu electromagneți.

(iii) Tensiunile de alimentare a electromagneților se determină cu relațiile:

$$U_{aS} = D_S U_{oS} ; \quad U_{aG} = D_G U_{oG} , \quad (6.31)$$

obținute din (2.71), (2.74) și (2.76), respectiv (2.98) și (2.101).

(iv) Curenții  $I_{Si}$ ,  $i = 1, 2, 3, 4$  și  $I_{Gj}$ ,  $j = 1', 2', 3', 4'$  din bobinele de excitație ale electromagneților se calculează cu rel.(6.32), rezultate din (2.9), (2.63) și (2.91):

$$\left. \begin{aligned} \dot{\Psi}_{Si} &= - (R_S/K_{IS}) \Psi_{Si} - (R_S K_S / K_{IS}) y_{\delta i} + U_{aSi} \\ I_{Si} &= \frac{1}{R_S} (U_{aSi} - \dot{\Psi}_{Si}) \end{aligned} \right\} ; \quad i = 1, 2, 3, 4 ; \quad (6.32-1)$$

$$\left. \begin{aligned} \dot{\Psi}_{Gj} &= - (R_G/K_{IG}) \Psi_{Gj} - (R_G K_{\delta G} / K_{IG}) y_{\delta j} + U_{aGj} \\ I_{Gj} &= \frac{1}{R_G} (U_{aGj} - \dot{\Psi}_{Gj}) \end{aligned} \right\} ; \quad j = 1', 2', 3', 4' \quad (6.32-2)$$

(v) Forțele dezvoltate de electromagneți  $F_{Si}$ ,  $i = 1, 2, 3, 4$  și  $F_{Gj}$ ,  $j = 1', 2', 3', 4'$  se calculează cu rel. (2.63) și (2.91) în funcție de înălțimile magnetice și întrefierurile aferente.

Precizările făcute pînă aici, în cadrul pct. 6.2., oferă toate elementele necesare pentru simularea comportării SLEM-5L centralizat în regimuri de funcționare normale, la variații bine precizate ale mărimilor de intrare. La fel de importantă este însă și studierea comportării sistemului în regimuri de avarie. În continuare se fac referiri la trei regimuri de avarie potențiale, determinate de:

- 1<sup>o</sup> - „căderea unui electromagnet” de susținere sau de ghidare, prin aceasta înțelegîndu-se situația în care, datorită unor defecțiuni, electromagnetul nu mai dezvoltă forță de atracție;
- 2<sup>o</sup> - întreruperea unui canal de măsurare al unuia din cele opt întrefieruri măsurate;
- 3<sup>o</sup> - întreruperea unui canal de măsurare al unuia din cele opt accelerații măsurate.

Principial de studiu a acestor regimuri constă în introducerea unor mărimi perturbatoare virtuale care, prin acțiunea lor, compensează valorile absolute ale forțelor dezvoltate de electromagneți, valorile semnalelor date de traductoarele de întrefier, respectiv valorile semnalelor furnizate de traductoarele de accelerație. Astfel:

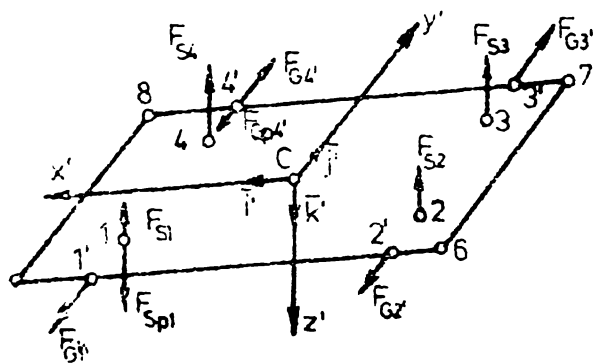
1<sup>o</sup> - Căderea electromagnetului de susținere  $i = 1, 2, 3, 4$  sau a electromagnetului de ghidare  $j = 1', 2', 3', 4'$  se echivalează prin introducerea unei forțe perturbatoare virtuale:

$$F_{Spi}(t) = F_{Si}(t) + F_{So}, \quad i = 1, 2, 3, 4, \quad (6.33)$$

care acționează în punctul  $i$  al cadrului cu electromagneți și este orientată în sens opus forței electromagnetice  $F_{Si}$ , respectiv prin introducerea unei forțe perturbatoare virtuale  $F_{Gpj}$ :

$$F_{Gpj}(t) = F_{Gj}(t) + F_{Go}, \quad j = 1', 2', 3', 4', \quad (6.34)$$

care acționează în punctul  $j$  al cadrului și este orientată în sens opus forței electromagnetice  $F_{Gj}$ . În relațiile de mai sus  $F_{Si}(t)$  și  $F_{Gj}(t)$  au expresiile (2.63), respectiv (2.91), iar  $F_{So}$  și  $F_{Go}$  expresiile (6.24), respectiv (6.25).



În calcule forțele perturbatoare virtuale apar prin intermediul mărimilor pondero-motoare perturbatoare  $\underline{P}_S$ , componentele aferente subsistemelor de susținere și de

**Fig. 6.7.** Relativă la regimul de avarie al SLEM-5L centralizat produs de căderea electromagnetului de susținere  $i = 1$  și electromagnetului de ghidare  $j = 4'$ . BUPT

ghidare fiind notate în fig. 6.4 cu  $\underline{P}_{Sp}$  și  $\underline{P}_{Gp}$ . Spre exemplu, căderea simultană a electromagnetului de sustentare  $i = 1$  și a electromagnetului de ghidare  $j = 4$  se echivalează considerând că asupra cadrului acționează forțele perturbatoare virtuale  $F_{Sp1}$  și  $F_{Gp4}$ , - de expresii (6.33), respectiv (6.34) - ca în fig. 6.7. În calcule, în acord cu rel.(2.61-3), ele se introduc prin relațiile:

$$\underline{P}_S = \underline{P}_{Sp} + \left[ F_{ez} \frac{1}{L^*} \mathcal{H}_{e\psi} \frac{1}{L^*} \mathcal{H}_{e\psi} \right]^T; \quad \underline{P}_G = \underline{P}_{Gp} + \left[ F_{ey} \frac{1}{L^*} \mathcal{H}_{e\lambda} \right]^T, \quad (6.35)$$

în care:

$$\underline{P}_{Sp}(t) = \begin{bmatrix} F_{Sp1}(t) \\ -L^* F_{Sp1}(t) \\ -L^* F_{Sp1}(t) \end{bmatrix}; \quad \underline{P}_{Gp}(t) = \begin{bmatrix} -F_{Gp4}(t) \\ -L^* F_{Gp4}(t) \end{bmatrix}. \quad (6.36)$$

Stabilirea semnelor din aceste expresii s-a făcut ținând seama de sensurile pozitive ale forțelor și momentelor exterioare perturbatoare definite prin ec.(2.59) și (2.60).

2° - Întreruperea unui canal de măsurare a unuia din cele opt întrefierurile  $z_{\delta i}$  și  $y_{\delta j}$ ,  $i = j = 5, 6, 7, 8$  se echivalează prin introducerea unor semnale perturbatoare virtuale pe canalele de măsurare a întrefierurilor:

$$z_{\delta pi}(t) = -z_{\delta i}(t), \quad i = 5, 6, 7 \text{ sau } 8 \quad (6.37-1)$$

la intrarea blocului de reducere  $R-\underline{Z}_{\delta}$ , aditiv cu semnalele măsurate de traductoarele  $T-\underline{Z}_{\delta}$  (fig.6.4), respectiv

$$y_{\delta pj}(t) = -y_{\delta j}(t), \quad j = 5, 6, 7 \text{ sau } 8 \quad (6.37-2)$$

la intrarea blocului de reducere  $R-\underline{Y}_{\delta}$ , aditiv cu semnalele măsurate de traductoarele  $T-\underline{Y}_{\delta}$ . În fig. 6.4. semnalele perturbatoare virtuale au fost cuprinse în vectorii:

$$\underline{Z}_{Sp} = [z_{\delta p5} \ z_{\delta p6} \ z_{\delta p7} \ z_{\delta p8}]^T; \quad \underline{Y}_{Gp} = [y_{\delta p5} \ y_{\delta p6} \ y_{\delta p7} \ y_{\delta p8}]^T. \quad (6.38)$$

La fel ca și întrefierurile măsurate  $\underline{Z}_{\delta}$  și  $\underline{Y}_{\delta}$ , nici semnalele perturbatoare virtuale  $\underline{Z}_{Sp}$  și  $\underline{Y}_{Gp}$  nu apar în mod explicit în ecuațiile sistemului. Așa cum  $\underline{Z}_{\delta}$  și  $\underline{Y}_{\delta}$  apar prin întrefierurile echivalente  $\underline{\mathcal{G}}_S$  și  $\underline{\mathcal{G}}_G$ , perturbațiile  $\underline{Z}_{Sp}$  și  $\underline{Y}_{Gp}$  apar prin

$$\underline{\mathcal{G}}_{Sp} = \underline{R}_S \underline{Z}_{Sp}, \quad \underline{\mathcal{G}}_{Gp} = \underline{R}_G \underline{Y}_{Gp}, \quad (6.39)$$

însă numai la intrarea blocurilor de reglare, însumându-se cu  $\underline{\mathcal{G}}_S$  și  $\underline{\mathcal{G}}_G$ .

Rel.(6.37) sînt scrise în ipoteza că traductoarele de întrefier sînt ajustate astfel încît pentru întrefierurile nominale, în vecinătatea cărora sînt valabile MM (2.63) și (2.91), furnizează la ieșire semnale de valoare egală cu zero.

3° - Similar punctului anterior, întreruperea unui canal de măsurare al unuia din accelerațiile  $\ddot{z}_{mi}$ ,  $\ddot{y}_{mj}$ ,  $i = j = 5, 6, 7, 8$  se ia în considerare prin semnalele perturbatoare  $\ddot{\underline{Z}}_{\delta p}$  și  $\ddot{\underline{Y}}_{\delta p}$ , de expresii (6.40), care se însumează cu semnalele  $\ddot{\underline{Z}}_{\delta 0}$  și  $\ddot{\underline{Y}}_{\delta 0}$  la intrarea în blocurile de reglare (fig.6.4).

$$\ddot{\underline{Z}}_{\delta p} = \underline{R}_S \ddot{\underline{Z}}_{mp}, \quad \ddot{\underline{Y}}_{\delta p} = \underline{R}_G^* \ddot{\underline{Y}}_{mp}. \quad (6.40)$$

$\ddot{\bar{z}}_{mp}$  reprezintă vectorul semnalelor perturbatoare virtuale pe canalele de măsurare a accelerațiilor în plan vertical:

$$\ddot{\bar{z}}_{mp} = [\ddot{z}_{mp5} \quad \ddot{z}_{mp6} \quad \ddot{z}_{mp7} \quad \ddot{z}_{mp8}]^T ; \quad \ddot{z}_{mpi}(t) = -\ddot{z}_{mi}(t) , \quad i = 5,6,7,8, \quad (6.41)$$

iar  $\ddot{\bar{y}}_{mp}$  reprezintă vectorul semnalelor perturbatoare virtuale pe canalele de măsurare a accelerațiilor în planul cadrului cu electromagneți:

$$\ddot{\bar{y}}_{mp} = [\ddot{y}_{mp5} \quad \ddot{y}_{mp6} \quad \ddot{y}_{mp7} \quad \ddot{y}_{mp8}]^T ; \quad \ddot{y}_{mpj}(t) = -\ddot{y}_{mj}(t) , \quad j = 5,6,7,8. \quad (6.42)$$

În final, ca exemplu de abordare a problemelor dezvoltate în cadrul punctelor 2° și 3° de mai sus, se consideră un regim de avarie determinat de întreruperea canalelor de măsurare ale întrefierului  $z_{\delta 6}$  și accelerației  $\ddot{z}_{m8}$ , în cazul unui SLEM-5L centralizat la care blocul de reglare BR- $\varphi$  acționează în regim normal de funcționare după ec.(6.21). Interesează noua expresie a tensiunii de comandă  $U_{\varphi}$ .

Având în vedere autonomia subsistemelor de sustentare și de ghidare ale SLEM-5L și faptul că avariile s-au produs numai pe canalele de măsurare ale primului subsistem, situația precizată nu afectează subsistemul de ghidare. În acord cu rel.(6.38), (6.37-1) și (6.41) ea se modelează prin:

$$\ddot{z}_{Sp} = 0 \begin{bmatrix} -z_{\delta 6} & 0 & 0 \end{bmatrix}^T \quad \text{și} \quad \ddot{\bar{z}}_{mp} = \begin{bmatrix} 0 & 0 & 0 & -\ddot{z}_{m8} \end{bmatrix}^T .$$

Înlocuind în rel.(6.39) și (6.40) rezultă

$$\begin{bmatrix} \mathcal{G}_{mp}(t) \\ \mathcal{G}_{\varphi p}(t) \\ \mathcal{G}_{\psi p}(t) \end{bmatrix} = \begin{bmatrix} -\frac{1}{4} z_{\delta 6}(t) \\ \frac{1}{4l} z_{\delta 6}(t) \\ -\frac{1}{4L} z_{\delta 6}(t) \end{bmatrix} ; \quad \begin{bmatrix} \ddot{z}_{Cp}(t) \\ \ddot{\varphi}_p(t) \\ \ddot{\psi}_p(t) \end{bmatrix} = \begin{bmatrix} -\frac{1}{4} \ddot{z}_{m8}(t) \\ -\frac{1}{4} \ddot{z}_{m8}(t) \\ \frac{1}{4} \ddot{z}_{m8}(t) \end{bmatrix} .$$

Dintre aceste semnale perturbatoare virtuale numai semnalele  $\mathcal{G}_{\varphi p}$  și  $\ddot{\varphi}_p$  afectează BR- $\varphi$ , ele însumându-se cu semnalele reale  $\mathcal{G}_{S6}$ , respectiv  $\ddot{\varphi}$ . Noua expresie a lui  $U_{\varphi}$  se obține înlocuind, așadar, în ec.(6.21)  $\mathcal{G}_{\varphi}$  prin  $(\mathcal{G}_{\varphi} + \mathcal{G}_{\varphi p})$  și  $\ddot{\varphi}$  prin  $(\ddot{\varphi} + \ddot{\varphi}_p)$ . Rezultă:

$$\dot{z}_1 = -f_{0\varphi} z_1 - f_{0\varphi}^2 (\mathcal{G}_{\varphi} + \frac{1}{4l} z_{\delta 6}) + (\ddot{\varphi} - \frac{1}{4} \ddot{z}_{m8})$$

$$U_{\varphi} = (K_{p\varphi} + f_{0\varphi} K_{v\varphi}) (\mathcal{G}_{\varphi} + \frac{1}{4l} z_{\delta 6}) + K_{v\varphi} z_{1\varphi} + K_{a\varphi} (\ddot{\varphi} - \frac{1}{4} \ddot{z}_{m8}) ,$$

variabilele  $z_{\delta 6}$  și  $\ddot{z}_{m8}$  calculându-se conform precizărilor de la punctele (i) și (ii) de la începutul acestui paragraf.

## CAPITOLUL 7

### EXEMPLE DE PROIECTARE SI ANALIZA A UNOR SISTEME CU DEVIATIE ELECTROMAGNETICA CU UN GRAD DE LIBERTATE. INCERCARI EXPERIMENTALE.

Elementele de analiză, sinteză și proiectare a SLEM-1L prezentate în capitolele anterioare au făcut posibilă abordarea unor exemple numerice concrete, atât prin simulare pe calculator numeric cât și pe cale experimentală. Rezultatele obținute la pct. 7.1. prin simularea comportării unor SLEM-1L (SLEM-B, SLEM-1L-varianta MBB și SLEM-1L-varianta II) pe calculator numeric și rezultatele obținute la pct. 7.2. pe cale experimentală confirmă valabilitatea celor mai importante aspecte prezentate în cap. 2 + 5. În consecință, se verifică în practică și elementele de proiectare algoritmică a SLEM-1L prezentate în lucrare.

Studiul efectuat pe baza simulării SLEM-1L a urmărit atât aspectul energetic cât și cel funcțional. S-a constatat că d.p.d.v. energetic cele două variante de SLEM-1L nu se deosebesc decât în regiuni tranzitorii, în sensul că SLEM-1L-varianta MBB este cu ceva mai avantajos decât SLEM-1L-varianta II. D.p.d.v. funcțional, în raport cu neregularitățile de categoria a doua ale căii de glisare, apare mai avantajos SLEM-1L-varianta II, întrucât la nivelul electromagnetului rezultă oscilații de nivel mai redus decât în cazul variantei MBB. Se precizează că în literatură nu figurează exemple numerice de proiectare și analiză a SLEM-1L.

Studiul experimental a fost întreprins pe standul din fig. 1.1. S-a studiat un SLEM-1L-varianta II.

#### 7.1. Proiectarea și analizarea unor SLEM-1L.

Sistemul electromagnet-șină cu un grad de libertate pentru care în acest paragraf de dezvoltă diverse SLEM-1L are aspectul și datele din fig. 7.1. Totodată se menționează că:

- înfășurarea de excitație are rezistența  $R = 1,75 \Omega$  (la cald);
- permeabilitatea magnetică a miezului de fier este  $\mu_{Fe} = 6,66 \cdot 10^{-3} \text{ H} \cdot \text{m}^{-1}$  [119];
- încărcătura statică exterioară este  $F_{ec} = 0 \text{ N}$ .

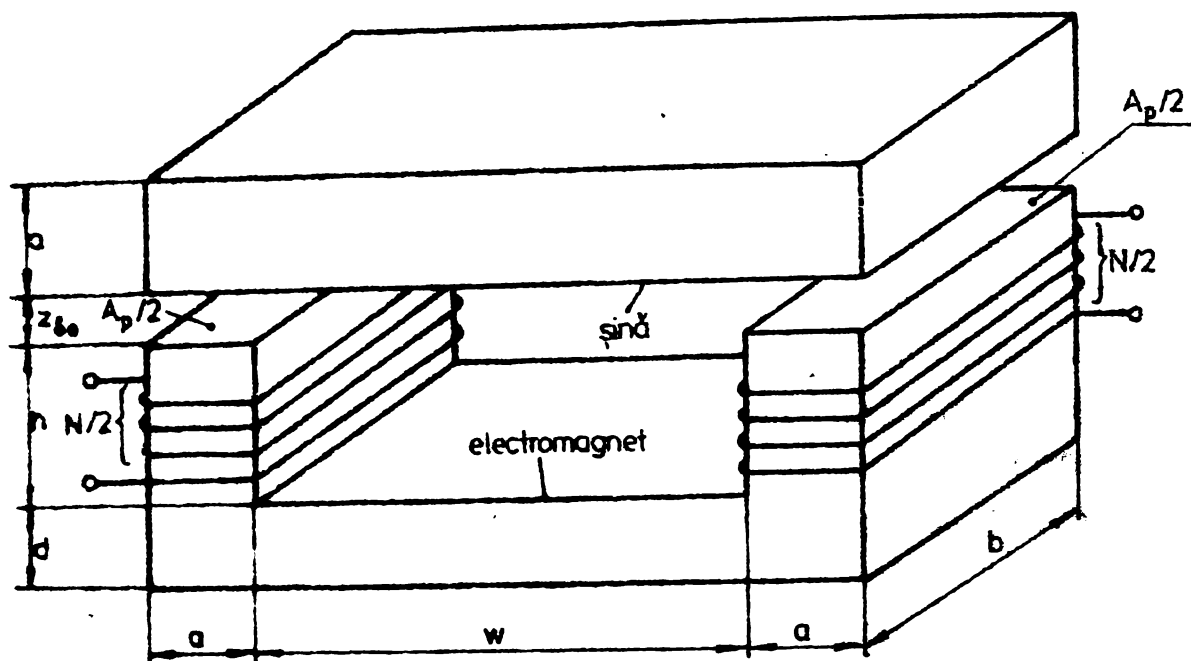


Fig. 7.1. SES-1L considerat. ( $Z_{\delta 0} = 0,0075 \text{ m}$ ,  $a = 0,027 \text{ m}$ ,  $b = 0,24 \text{ m}$ ,  $d = 0,02 \text{ m}$ ,  $h = 0,038 \text{ m}$ ,  $w = 0,118 \text{ m}$ ,  $A_p = 0,0129 \text{ m}^2$ ,  $N = 314$  spire,  $M_0 = 176,1 \text{ kg}$ ).

### 7.1.1. Punctul nominal și parametrii SES-1L.

Folosind datele mai sus precizate și rel. (2.6), (3.2) și (3.15), pentru punctul nominal al SES-1L se obțin următoarele date caracteristice:

$$\begin{aligned} Z_{\delta 0} &= 7,5 \cdot 10^{-3} \text{ m}; & F_{e0} &= 0 \text{ N}; & F_0 &= 1727,54 \text{ N}; & I_0 &= 16,51 \text{ A}; \\ U_{a0} &= 28,56 \text{ V}. \end{aligned} \quad (7.1)$$

Parametrii primari ai SES-1L calculați în funcție de aceste date, pe baza cazului T-5 de la pct. 3.1.2., au valorile:

$$\begin{aligned} K_I &= 0,102 \text{ Wb} \cdot \text{A}^{-1}; & K_{\delta} &= 209,17 \text{ Wb} \cdot \text{m}^{-1}; \\ C_I &= 209,17 \text{ N} \cdot \text{A}^{-1}; & C_{\delta} &= 456,54 \cdot 10^3 \text{ N} \cdot \text{m}^{-1}, \end{aligned} \quad (7.2-1)$$

constanta de timp a electromagnetului fiind:

$$T = 0,059 \text{ s}. \quad (7.2-2)$$

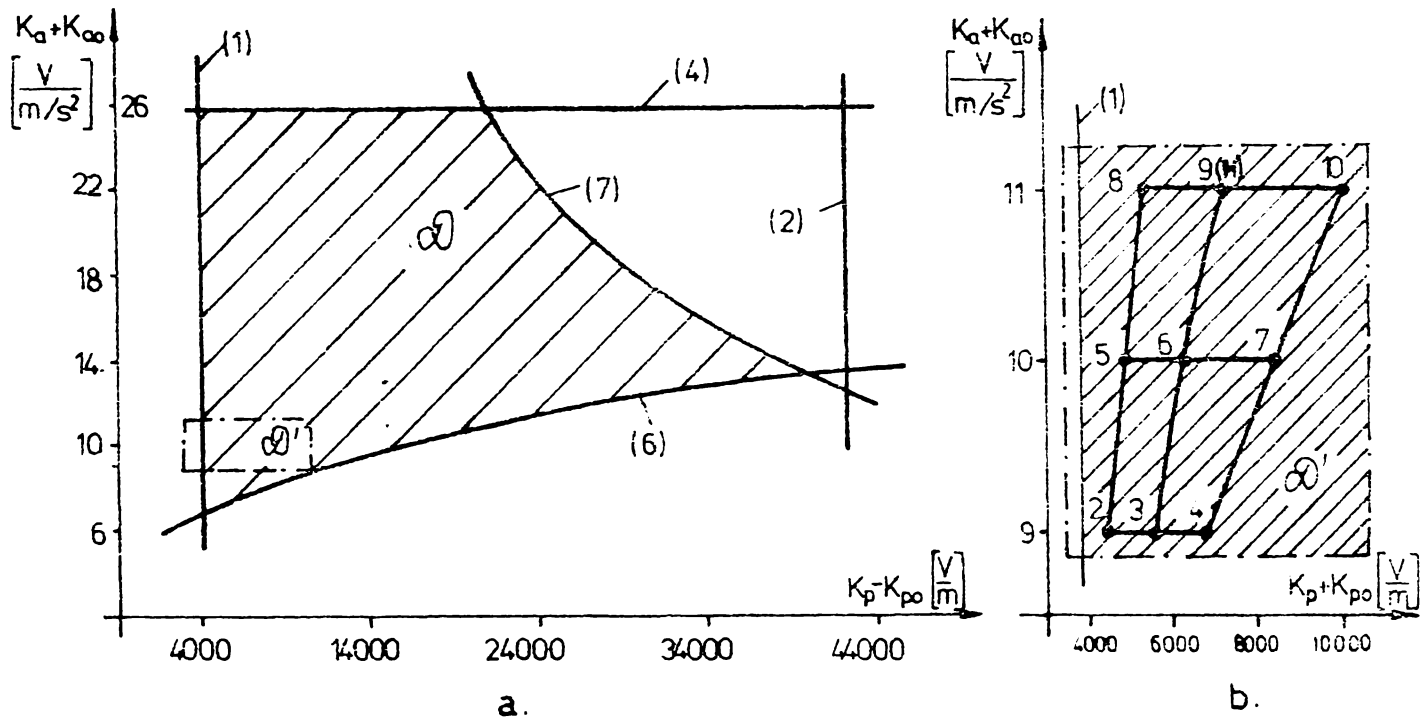
În calculele de proiectare SES-1L se consideră prin ec.(5.5) în care intervin parametrii derivați ai SES-1L (rel.(3.28), (3.29) și (5.4)):

$$\begin{aligned} b &= -11,64 \text{ m} \cdot \text{V}^{-1} \cdot \text{s}^{-3}; \\ K_{p0} &= 3776 \text{ V} \cdot \text{m}^{-1}; & K_{y0} &= 13,52 \text{ V} \cdot \text{m}^{-1} \cdot \text{s}; & K_{e0} &= 1,4565 \text{ V} \cdot \text{m}^{-1} \cdot \text{s}^2 \\ b_{p1} &= 0,0962 \text{ kg}^{-1} \cdot \text{s}^{-1}; & b_{p2} &= 5,678 \cdot 10^{-3} \text{ kg}^{-1}. \end{aligned} \quad (7.3)$$

### 7.1.2. Calculul compensatorului de stabilizare al SLEM-B.

Pentru calculul compensatorului de stabilizare (5.2) al SLEM-B se utilizează procedura prezentată la pct. 5.4.3, varianta P-2. Astfel, adoptând restricțiile  $K_p \text{ max} = 46.000 \text{ V} \cdot \text{m}^{-1}$ ,  $K_v \text{ max} = 1060 \text{ V} \cdot \text{m}^{-1} \cdot \text{s}$ ,  $K_a \text{ max} = 24,27 \text{ V} \cdot \text{m}^{-1} \cdot \text{s}^2$ , pentru parametrii  $K_p$  și  $K_a$  rezultă domeniul din fig. 7.2.a. Față de cazul general din fig. 5.8. el este delimitat de un număr mai redus de arce de curbă. Fiecare punct din acest domeniu reprezintă o soluție a problemei de la pct. 5.4.1. corespunzătoare SES-1L

de la punctul 7.1.1. și indicelui de calitate (5.82). Pentru stabilirea unui punct H în acest domeniu se utilizează metoda euristică precizată la pct. 5.4.3.



**Fig. 7.2.** Domeniul  $\mathcal{D}$  în care perechea de parametrii  $\{K_p, K_a\}$  poate lua valori: a) Aspect general; b) Subdomeniul  $\mathcal{D}' \subset \mathcal{D}$  și rețeaua de puncte auxiliare utilizate pentru stabilirea punctului H.

Astfel se consideră o rețea alcătuită din nouă puncte notate cu 2, 3, ..., 10 (fig.7.2.b) amplasate într-un subdomeniu  $\mathcal{D}' \subset \mathcal{D}$ . Coordonatele acestor puncte și parametrii f.d.t. (5.15) și (5.19) se dau în tabelul 7.1.

Performanțele SLEM-B în raport cu mărimea de conducere  $\tilde{Z}_\zeta$ , calculate potrivit anexei IV - cazul IV-1, pentru fiecare din cele 9 puncte sînt precizate în tabelul 7.2. O imagine intuitivă asupra modului de variație al performanțelor - amortizarea  $d$ , suprareglajul  $\mathcal{G}_1$ , timpul de primă reglare  $t_1$ , timpul primului extrem  $t_m$  și timpul de reglare  $t_r$  - în lungul celor 6 laturi ale rețelei de puncte: 2-3-4, 5-6-7, 8-9-10, 2-5-8, 3-6-9 și 4-7-10 este redată de caracteristicile din fig. 7.3.

Performanțele aceluiași sistem în raport cu mărimea de perturbație  $F_e$ , calculate potrivit anexei IV - cazul IV-2, pentru fiecare din punctele rețelei nu au mai fost tabelate, ci redată prin caracteristicile de performanță din fig. 7.4.

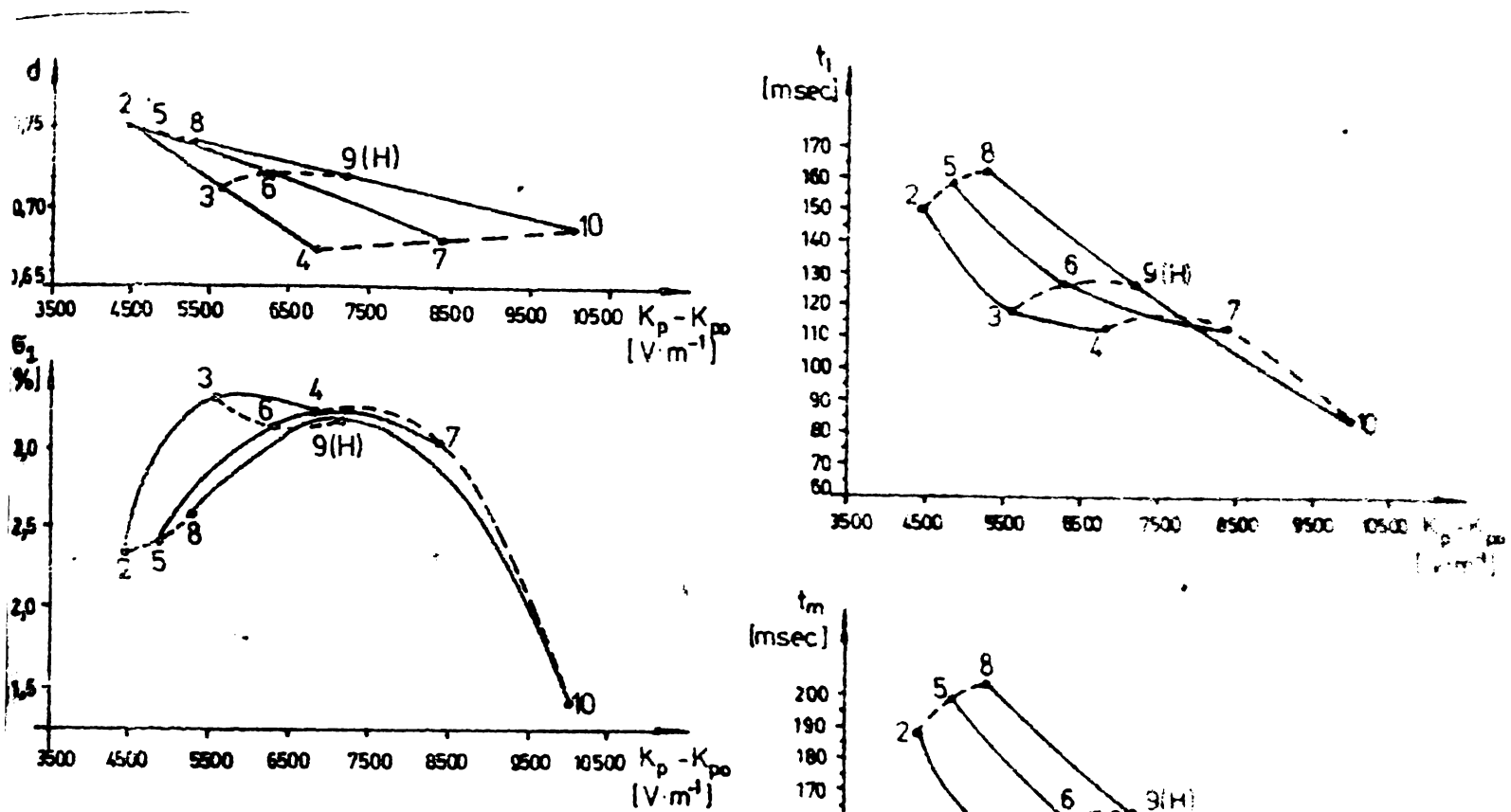
Pe baza caracteristicilor de performanță în raport cu  $\tilde{Z}_\zeta$  și  $F_e$  se apreciază că cea mai bună comportare se obține prin dimensionarea compensatorului de stabilizare în punctul 9. Ca atare, drept punct de optim H (v. fig. 5.8 și fig. 5.11) se consideră punctul 9 (s-a notat 9(H)) în care:



**TABELUL 7.1. VARIANTE DE COMPENSATOARE (5.2) CONSIDERATE PENTRU STABILIZAREA SES-11 DE LA PCT. 7.1.1. SI PARAMETRII AFERENTI F.D.T. (5.15) SI (5.19).**

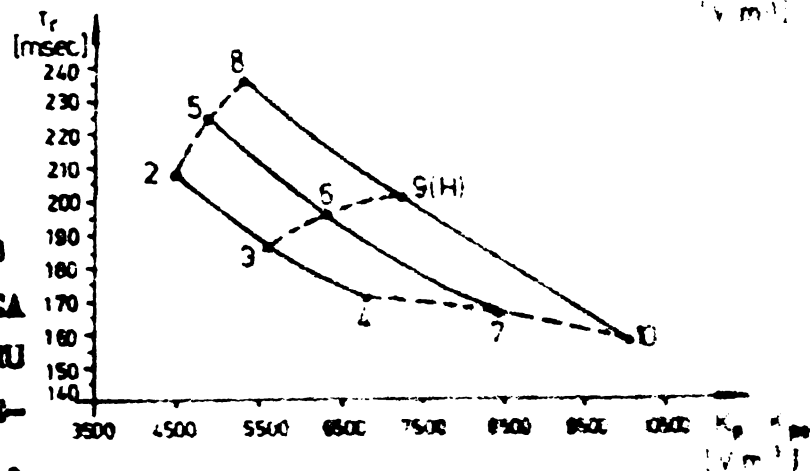
Punctul	Parametrii compensatorului			Coordonatele punctului		Parametrii f.d.t. (5.15)					Parametrii f.d.t. (5.19)	
	$K_p$ [V·m <sup>-1</sup> ]	$K_v$ [V·m <sup>-1</sup> ·s]	$K_a$ [V·m <sup>-1</sup> ·s <sup>2</sup> ]	$K_p - K_{po}$ [V·m <sup>-1</sup> ]	$K_a + K_{ao}$ [V·m <sup>-1</sup> ·s <sup>2</sup> ]	$(K_p - K_{po})^{-1}$ [m·V <sup>-1</sup> ]	$\omega_0$ [s <sup>-1</sup> ]	$\omega_1$ [s <sup>-1</sup> ]	$\beta$	$d$	$\omega_d$ [s <sup>-1</sup> ]	$\alpha$
2	8226	265,09	7,5435	4450	9	0,178·10 <sup>-3</sup>	29,12	61,07	2,09	0,75	16,95	0,581
3	9376	348,15	7,5435	5600	9	0,147·10 <sup>-3</sup>	34,12	55,99	1,64	0,71	16,95	0,496
4	10576	379,00	7,5435	6800	9	0,215·10 <sup>-3</sup>	38,86	52,40	1,34	0,67	16,95	0,436
5	8626	342,43	8,5435	4850	10	0,206·10 <sup>-3</sup>	27,31	75,67	2,77	0,74	16,95	0,620
6	10076	383,90	8,5435	6300	10	0,158·10 <sup>-3</sup>	32,45	69,60	2,14	0,72	16,95	0,522
7	12176	436,81	8,5435	8400	10	0,119·10 <sup>-3</sup>	39,49	62,69	1,58	0,68	16,95	0,429
8	9076	370,98	9,5435	5300	11	0,188·10 <sup>-3</sup>	26,31	89,13	3,38	0,74	16,95	0,644
9	10976	425,32	9,5435	7200	11	0,138·10 <sup>-3</sup>	31,95	82,10	2,56	0,72	16,95	0,530
10	13776	494,33	9,5435	10000	11	0,100·10 <sup>-3</sup>	39,82	73,41	1,84	0,68	16,95	0,425

Notații:  $\beta = \omega_1 / \omega_0$ ,  $\omega_d = 1/T$ ,  $\alpha = \omega_d / \omega_0$  (v. anexa IV).



**Fig. 7.3.** Performanțe empirice ale SLEM-B în raport cu mărimea de conducere  $\tilde{Z}_\delta$ .

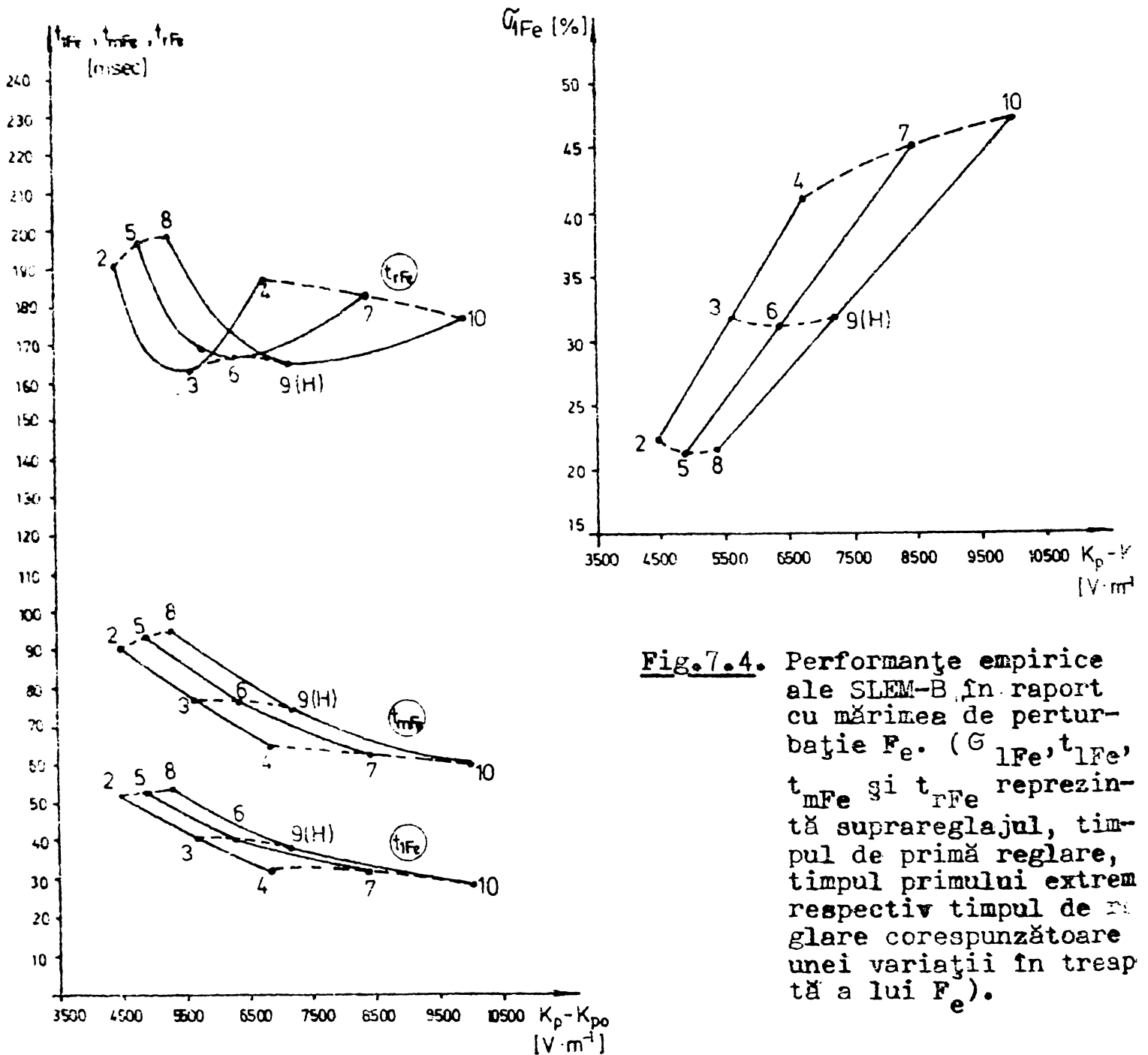
**TABELUL 7.2.** PERFORMANTELE EMPIRICE ALE SLEM-B ÎN RAPORT CU MĂRIMEA DE CONDUCERE, PENTRU CAZUL COMPENSATOARELOR DIN TABELUL 7.1.



Punctul	d	$G_1$ [%]	$t_1$ [s]	$t_m$ [s]	$t_r$ [s]
2	0,75	2,31	0,150	0,188	0,209
3	0,714	3,3	0,120	0,152	0,187
4	0,763	3,22	0,115	0,142	0,171
5	0,745	2,44	0,159	0,199	0,225
6	0,721	3,12	0,127	0,161	0,196
7	0,68	3,02	0,113	0,141	0,167
8	0,739	2,6	0,163	0,204	0,236
9	0,719	3,18	0,129	0,163	0,199
10	0,689	1,42	0,085	0,129	0,158

$$K_p = 10976 \text{ V}\cdot\text{m}^{-1}; \quad K_v = 425,32 \text{ V}\cdot\text{m}^{-1}\cdot\text{s}; \quad K_a = 9,5435 \text{ V}\cdot\text{m}^{-1}\cdot\text{s}^2 \quad (7.4-1)$$

$$\omega_0 = 31,952 \text{ s}^{-1}; \quad d = 0,719; \quad \omega_1 = 82,099 \text{ s}^{-1}. \quad (7.4-2)$$



**Fig.7.4.** Performanțe empirice ale SLEM-B, în raport cu mărimea de perturbație  $F_e$ . ( $G_{lFe}$ ,  $t_{lFe}$ ,  $t_{mFe}$  și  $t_{rFe}$  reprezintă suprareglajul, timpul de primă reglare, timpul primului extrem respectiv timpul de reglare corespunzătoare unei variații în treaptă a lui  $F_e$ ).

Această alegere asigură o soluție de compromis caracterizată prin suprareglaje și timpi caracteristici cu valori relativ reduse. D.p.d.v. al caracteristicilor (5.109) și (5.110) punctul  $\{Z_{00}, \omega_0\}$  astfel obținut ocupă o poziție similară cu punctul B din fig. 5.10.a, rezultând că puterea de comandă necesită de electromagnet este mai redusă la funcționarea SLEM-B la întrefier constant.

### 7.1.3. Calculul OFLS-varianta MBB.

OFLS-varianta MBB are ec.(5.142), calculul lui reducându-se la adoptarea parametrilor săi,  $\zeta$  și  $\omega_{OS}$ , în concordanță cu rel.(5.146); ca urmare parametrii observatorului trebuie să satisfacă condițiile:

$$\zeta \cdot \omega_{OS} \geq 82,099 \text{ și } \zeta \geq 0,5. \quad (7.5)$$

Se adoptă:

**TABELUL 7.3. PARAMETRII OFLS-VARIANTA MBB.**

$\omega_{OS}$ \ $\zeta$	0,5	0,6	0,7
175	x	x	x
200	-	x	x
225	-	-	x

$$\zeta = 0,6 \text{ și } \omega_{OS} = 175 \text{ s}^{-1} \quad (7.6)$$

In afara acestui observator s-au studiat și cazurile marcate cu „x” in tabelul 7.3. Au fost confirmate toate observațiile făcute la pct. 5.5.3.2. privind comportarea comparativă a tuturor SLEM-1L - varianta MBB în raport cu  $\tilde{Z}_g$  și  $F_e$ , între aceste cazuri și

SLEM-B neapărînd deosebiri. Principalele concluzii sînt prezentate în cadrul pct. 7.1.5.

**7.1.4. Calculul OFLS-varianta II.**

OFLS-varianta II are ec. (5.155), calculul său reducîndu-se la adoptarea parametrului  $f_0$ , astfel încît:

**TABELUL 7.4. PARAMETRUL OFLS-VARIANTA II.**

$f_0$	87,5	105	122,5	140	157,5
-------	------	-----	-------	-----	-------

$$f_0 > \max \{ \omega_1, d\omega_0 \} = 82,1. \quad (7.7)$$

Se adoptă

$$f_0 = 122,5 \text{ s}^{-1}. \quad (7.8)$$

In afara acestui observator s-au mai studiat încă patru cazuri, toate menționate în tabelul 7.4. Au fost confirmate observațiile de la pct. 5.5.4.2. privind comportarea sistemelor în raport cu  $\tilde{Z}_g$  și  $F_e$ . Principalele concluzii sînt prezentate în cadrul punctului următor.

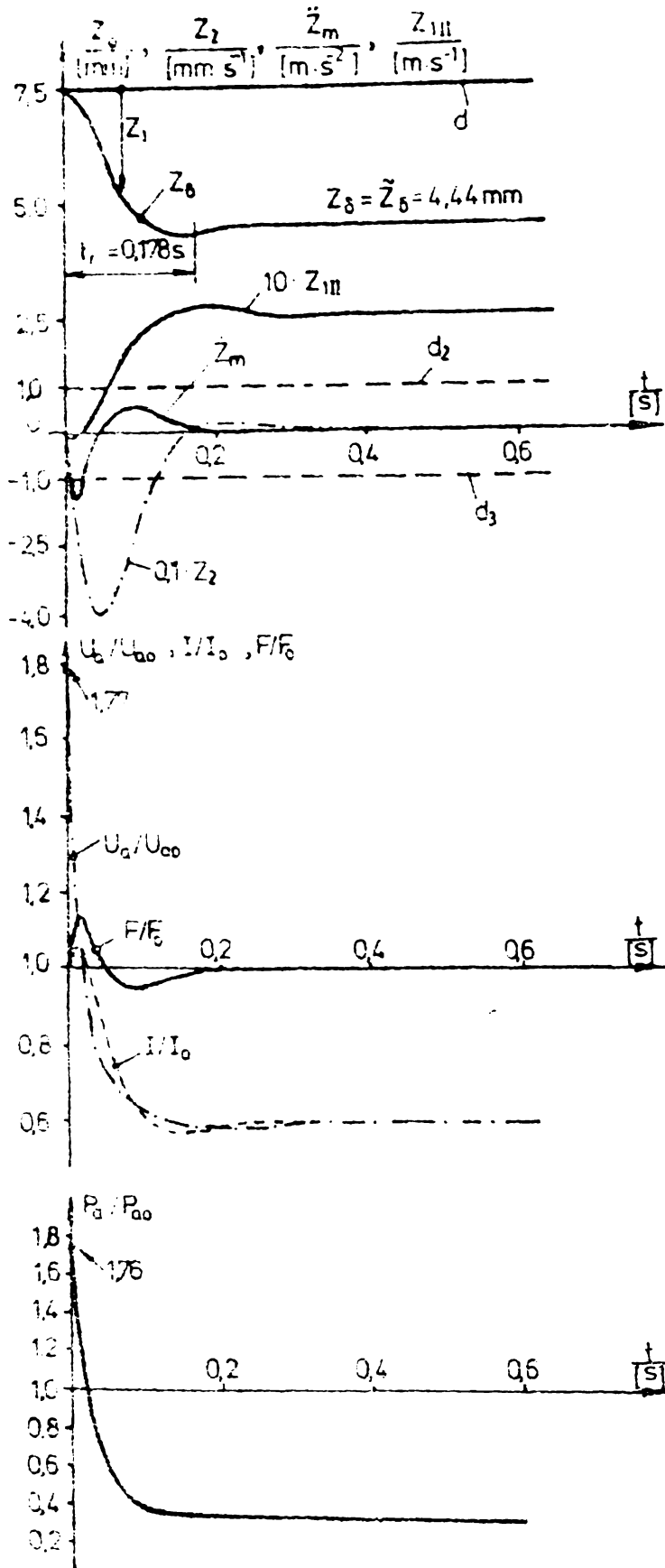
**7.1.5. Studiul comportării SLEM-B, SLEM-1L-varianta MBB și SLEM-1L-varianta II de la pct. 7.1.2. - 7.1.4.**

Studiul celor trei variante de SLEM-1L la care se referă paragraful de față s-a efectuat prin simulare pe calculator numeric cu ajutorul programului SLEM1GL prezentat în anexa IX.

**7.1.5.1. Comportarea în raport cu mărimea de conducere  $\tilde{Z}_g$ .**

Studiul s-a efectuat prin analizarea proceselor tranzitorii determinate de variații ale mărimei de conducere în formă de treaptă și variații de formă exponențială exprimate de rel. (5.59) și reprezentate în fig. 4.1. Comportarea sistemelor aparținînd aceleiași variante nu a fost influențată de parametrii OFLS. Din acest motiv în cele ce urmează nu se face distincție între cazurile din tabelul 7.3. sau între cazurile din tabelul 7.4.

1<sup>o</sup> - In primul caz, cînd  $\tilde{Z}_g$  variază în formă de treaptă, sînt semnificative procesele tranzitorii prezentate în fig. 7.5. Ele redau răspunsurile celor trei variante de SLEM-1L la o variație treaptă a mărimei de conducere cu amplitudinea  $\tilde{Z}_g = \tilde{Z}_g^* = 22 \text{ V}$ . In acord cu rel. (5.12), (5.144), (5.150) și (5.15) ea determină în final o variație a întregului:



**Fig. 7.5** Procesele tranzitorii ale SLEM-B, SLEM-1L-varianta MBB și SLEM-1L-varianta II determinate de o variație în treaptă  $\tilde{Z}_g = 22$  V a mărimii de conducere. Procesele  $Z_1(t)$  și  $Z_2(t)$  sînt specifice SLEM-1L-varianta MBB, iar  $Z_{III}(t)$  SLEM-1L-varianta II. Celelalte caracteristici sînt comune celor trei variante.

$$\Delta Z_g = G_{\tilde{Z}_g} Z_g(0) \cdot \tilde{Z}_g = - \frac{\tilde{Z}_g^*}{K_p - K_{po}} = - 3,056 \cdot 10^{-3} \text{ m,}$$

de la  $Z_g(0) = 7,5$  mm la  $Z_g(\infty) = 4,44$  mm. Procesele tranzitorii s-au calculat cu un pas de calcul maxim de 0,5 msec. Curba întrefierului prezintă un suprareglaj de 2,4 % și un timp de reglare de 0,178 s. (Aceste valori sînt puțin mai mici decît cele corespunzătoare punctului 9 din tabelul 7.2). Alura curbei accelerației se explică ținînd seamă de sensurile pozitive din fig. 2.1. și de faptul că prin variația treaptă a lui  $\tilde{Z}_g$  s-a prescris o reducere a întrefierului. Dreptele  $d_2$  și  $d_3$  delimitează domeniul de accelerații admisibile  $|\ddot{Z}_m| \leq 1 \text{ m}\cdot\text{s}^{-2}$ . El este depășit la începutul procesului tranzitoriu, valoarea maximă de  $-1,411 \text{ m}\cdot\text{s}^{-2}$  apărînd la  $t = 0,015$  s. Aspectul căzător al curbelor valorilor raportate ale tensiunii de alimentare a electromagnetului  $U_a/U_{ao}$ , curentului de excitație  $I/I_o$  și puterii de comandă  $P/P_o = (U_a/U_{ao}) \cdot (I/I_o)$  se explică prin micșorarea întrefierului. La momentul  $t = 0$  tensiunea și ca urmare și puterea de comandă, efectuează un salt datorită saltului mărimii de conducere (rel.(5.1)). Ca urmare a caracterului inductiv al circuitului de excitație curentul reproduce variația crescătoare cu întârziere și într-o proporție mult redusă.

Caracteristica forței are același aspect cu cea a accelerației (ele au sensuri pozitive diferite, fig. 2.1).  $U_0$ ,  $I_0$  și  $F_0$  au valorile din rel. (7.1). Fig. 7.5. redă totodată și variația variabilelor de stare  $Z_1$  și  $Z_2$  ale OFLS (5.142) din fig. 5.15 și a variabilei de stare  $Z_1$  a OFLS (5.155) din fig. 5.18. Ultima a fost notată în fig. 7.5. cu  $Z_1$  II. Din modul de reprezentare se observă că  $Z_1$  redă chiar variația întrefierului, cu alte cuvinte în cazul SLEM-1L-varianta MBB

$$Z_1(t) \approx Z_f(t) \quad (7.9)$$

Avînd în vedere liniaritatea sistemelor studiate rezultă că pentru variații treaptă ale mărimei de conducere cu amplitudinea  $\tilde{Z}_f \neq \tilde{Z}_f^x$ , cu excepția caracteristicii puterii, se obțin caracteristici dinamice cu amplitudinile variațiilor proporționale cu variațiile mărimilor reprezentate în fig. 7.5. Din condiția de limitare superioară a accelerației  $|\tilde{Z}_m|$  la valoarea de  $1 \text{ m} \cdot \text{s}^{-2}$  și ca urmare a proprietății menționate și a valorii maxime din fig. 7.5., rezultă că valoarea limită a treptei  $\tilde{Z}_f$  aplicabile SLEM-1L pentru care se mai asigură condițiile de confort este:

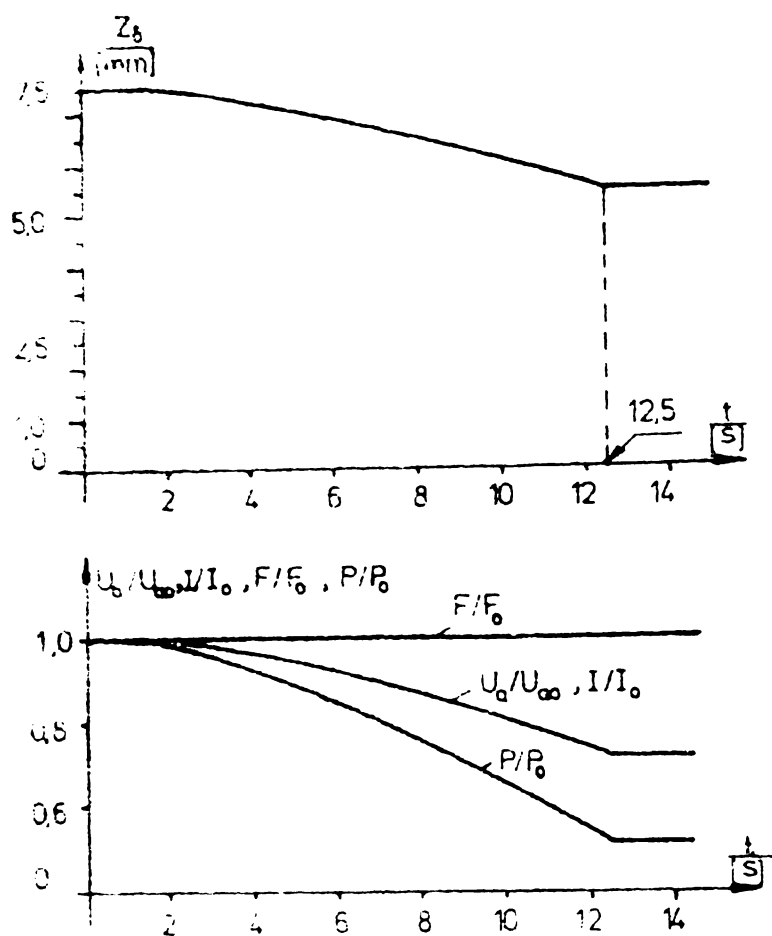
$$\tilde{Z}_{f \max} = \tilde{Z}_f^x / \tilde{Z}_m \max(\tilde{Z}_f^x) = \tilde{Z}_f^x / 1,411 = 15,59 \text{ V} \quad (7.10)$$

Ei îi corespunde o variație a întrefierului  $\Delta Z_f = 2,165 \text{ mm}$ .

Din punctul de vedere al VPM rezultă că : (i) limitarea șocurilor din cabină în cursul manevrelor de ridicare-coborîre sau de modificare a întrefierului de levitare se poate face și prin variații ale întrefierului prescris în trepte de amplitudine limitată; (ii) amplitudinea maximă a treptelor este dependentă de punctul de funcționare staționară al SLEM-1L; (iii) amplitudinea maximă a treptelor poate fi determinată și ca urmare a liniarității SLEM-1L, pe baza analizării caracteristicii dinamice  $\tilde{Z}_m(t)$  corespunzătoare oricărei trepte  $\tilde{Z}_f^x$  cu ajutorul primei egalități din rel. (7.10), în care  $\tilde{Z}_m \max(\tilde{Z}_f^x)$  reprezintă valoarea absolută maximă a accelerației absolute  $\tilde{Z}_m$  aferentă caracteristicii menționate.

2<sup>o</sup> - Privind comportarea SLEM-1L la variații exponențiale ale mărimei de conducere s-a constatat că acestea posedă calități bune de sistem de urmărire, întrefierul real urmărind întrefierul prescris cu erori practic neglijabile. Mărimile caracteristice prezintă variații continue, iar confortul de călătorie este asigurat fără aportul unei suspensii secundare. Astfel, fig. 7.6. redă răspunsurile celor trei variante de SLEM-1L în cazul cînd întrefierul prescris are expresia:

$$\tilde{Z}_f(t) = \begin{cases} \frac{1-2 e^{-t/20} + e^{-t/10}}{1-2 e^{-0,625} + e^{-1,25}} \cdot 2,0834 \text{ mm} & \text{pentru } t \leq 12,5 \text{ s} \\ 2,0834 \text{ mm} & \text{pentru } t > 12,5 \text{ s} \end{cases} \quad (7.11)$$



**Fig. 7.6.** Processe tranzitorii ale SLEM-B, SLEM-1L-varianta MBB și SLEM-1L-varianta II determinate de variația (7.11) a mărimei de conducere. Caracteristicile sînt comune tuturor variantelor

**7.1.5.2. Comportarea în raport cu forța exterioară.**

S-au studiat două categorii de situații corespunzătoare variației lui  $F_e$  de la 0 la 0,3 Mg : (i) în treaptă ideală și (ii) în treaptă reală pe un interval de timp  $t_1$  (fig. 4.10). Comportarea celor trei categorii de sisteme a fost similară.

În fig. 7.7. s-au redat cele mai semnificative caracteristici pentru cazul  $t_1 = 1$  sec. SLEM-1L studiate fiind necompensate, ele prezintă în raport cu  $F_e$  un caracter static. Variațiile în treaptă ideală, mai puțin plauzibile în realitate, se soldează cu șocuri de tensiune și de putere avînd amplitudinea proporțională cu amplitudinea treptei lui  $F_e$ . Variațiile în treaptă reală, mult mai apropiate de realitate, se soldează practic cu perturbații neînsemnate în accelerația  $\ddot{Z}_m$ , fără a periclita confortul de călătorie. În tensiunea și puterea de comandă a electromagneților nu apar virfuri. Virfurile de amplitudine redusă care apar în caracteristicile accelerației, tensiunii și puterii la începutul și la sfîrșitul intervalului de creștere a lui  $F_e$  se datorează variației discontinue a lui  $\dot{F}_e$ .

Avînd în vedere aceste aspecte rezultă că d.p.d.v. practic se impune în primul rînd compensarea efectului forței exterioare în regim staționar constant și de abia în al doilea rînd în regim dinamic.

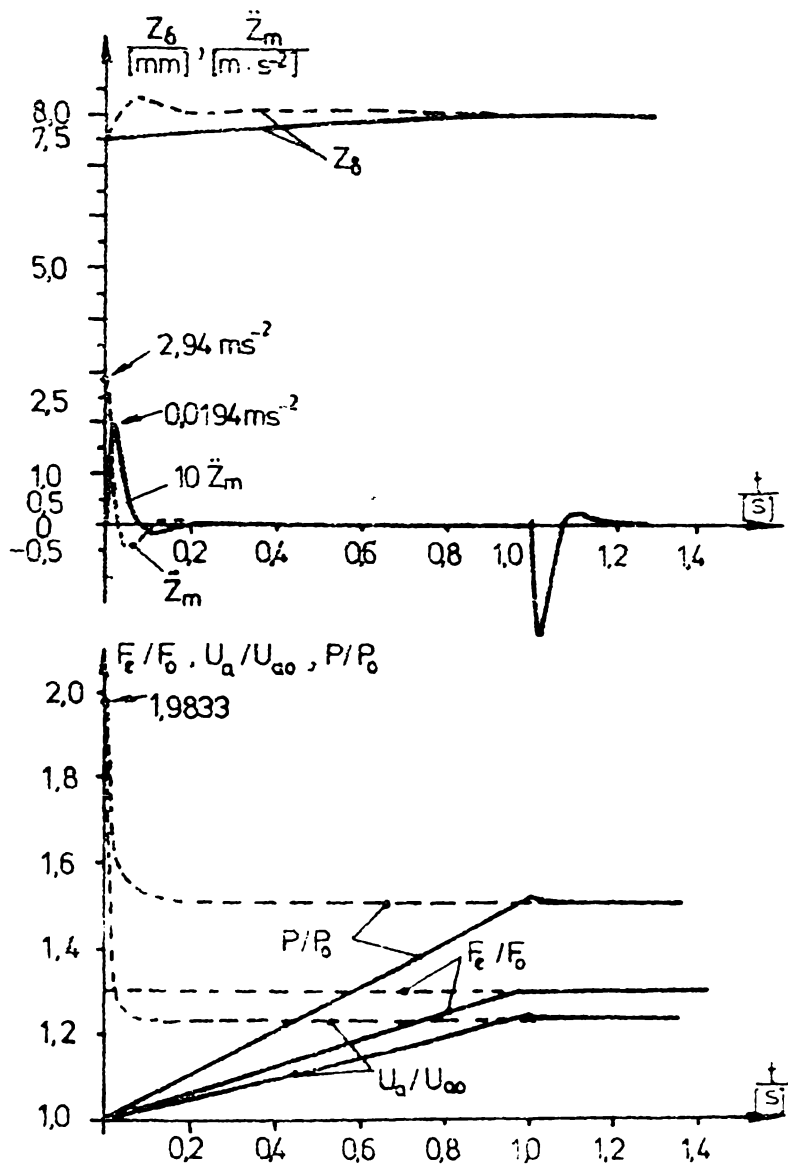


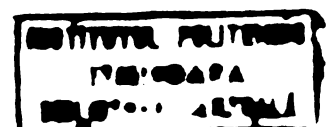
Fig.7.7. Processe tranzitorii ale SLEM-B, SLEM-IL-varianta MB3 și SLEM-LL-varianta II determinate de variația forței exterioare  $F_e$  de la 0 la  $0,3 Mg$  în: (i) treaptă ideală (---); (ii) treaptă reală (—). Caracteristicile sînt comune tuturor variantelor. Durata de creștere a forței în cazul treptei reale este de 1 s.

7.1.5.3. Comportarea în raport cu neregularitățile de categoria I-a ale căii de glisare.

S-au studiat două categorii de situații corespunzătoare parcurgerii unui arc de tranziție de lungime dată cu viteză constantă dată, profilul arcului corespunzînd variației lui  $\ddot{Z}_{su}$ : (i) după curba 1 din fig. 4.9.b, respectiv (ii) după curba 2 din fig. 4.9.b. Aspectele analizate au fost:

- a) influența profilului arcului;
- b) influența tipului de SLEM-LL;
- c) influența razei de curbură minime ( $R_{min}$  din rel.(4.26)).

Rezultatele numerice prezentate în tabelul 7.5 se referă la parcurgerea unor trasee în pantă, cu lungimea de 1080 m, cu o viteză de  $100 km \cdot h^{-1}$  (durata de parcurgere fiind 38,88 s). Variațiile  $\Delta Z_g, \dots, \Delta P$  din tabel s-au calculat ca diferențe dintre valorile extreme care au apărut pe parcursul regimurilor tranzitorii studiate și valorile nominale corespunzătoare momentului inițial.





TABELUL 7.5. DATE REFERITOARE LA COMPORTAREA SLEM-1L IN RAPORT CU  $Z_{su}$ .

Tipul sistemului	$R_{min}$ [km]	$\ddot{Z}_s \max$ [m·s <sup>-2</sup> ]	$\Delta Z_s$ [m]	$\ddot{Z}_m \max$ [m·s <sup>-2</sup> ]	$\Delta Z_s$ [mm]	$\Delta F$ [N]	$\Delta I$ [A]	$\Delta U$ [V]	$\Delta P$ [W]
SLEM-B	10	0,0771	29,2	0,0771	-0,08	-13,6	-0,24	-0,40	-12,5
SLEM-B	5	0,1543	58,3	0,1543	-0,24	-36,0	-0,79	-1,23	-32,0
SLEM-1L var. MBB	5	0,1543	58,3	0,1543	-0,04	-27,0	-0,22	-0,37	-12,5

Principalele concluzii referitoare la aspectele a), b) și c) sînt respectiv următoarele:

a) La viteza considerată profilul arcului nu este important. Pentru razele de curbură considerate, între situațiile (i) și (ii) apar deosebiri numai pentru viteze  $v \geq 250 \text{ km}\cdot\text{h}^{-1}$ .

b) Variațiile întrefierului, forței, curentului, tensiunii și puterii de comandă au, în ansamblu, valori reduse, comportarea SLEM-1L-varianta MBB și -varianta II fiind mai favorabilă decît a SLEM-B.

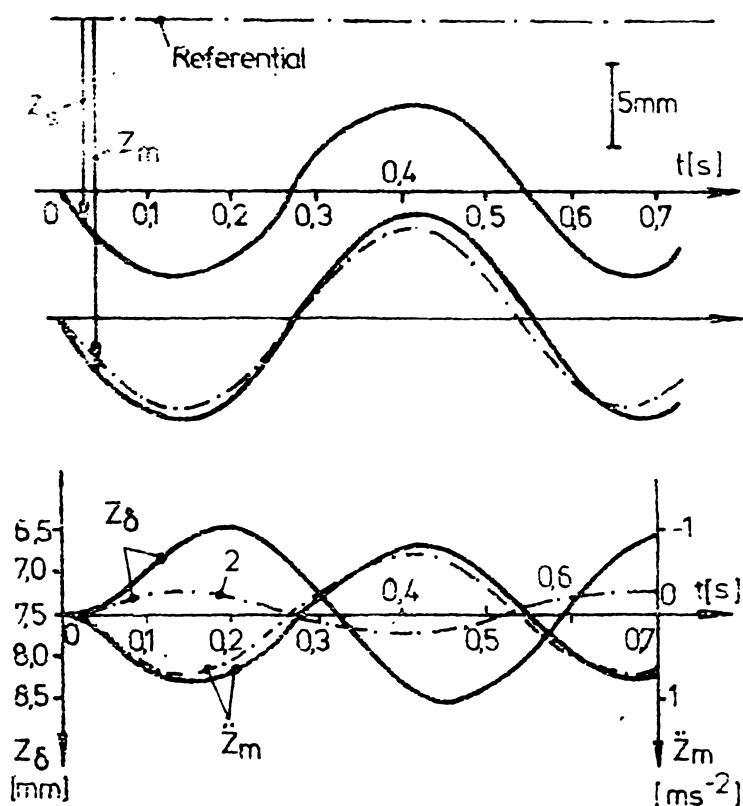
c) Solicitarea SLEM-1L este cu atît mai ușoară cu cît raza de curbură  $R_{min}$  este de valoare mai mare.

În plus trebuie menționat că în fiecare caz  $\ddot{Z}_m$  a urmărit variația lui  $\ddot{Z}_s$ . Importanța acestei observații este deosebită, ea confirmînd posibilitatea de control a confortului prin intermediul formei traseului parcurs.

#### 7.1.1.4. Comportarea în raport cu neregularitățile de categoria a II-a ale căii de glisare.

În acest caz viteza  $v$  reprezintă un parametru foarte important, la o cale de glisare dată pulsația perturbațiilor fiind dependentă de aceasta (v. pct. 4.2.2.1.4). Studiile întreprinse în literatură cu privire la regimul staționar armonic au arătat că d.p.d.v. al confortului de călătorie este critic domeniul de frecvențe  $(1 + 6)\text{Hz}$  [16,17,18]. În acest context, în continuare se fac referiri doar cu privire la comportarea sistemelor studiate în cazul parcurgerii unei căi suspendate (fig. 4.7), cu parametrii  $l_s = 15 \text{ m}$  și  $Z_{sp1 \max} = 5 \cdot 10^{-3} \text{ m}$ , cu o viteză  $v = 100 \text{ km}\cdot\text{h}^{-1} = 27,7 \text{ m}\cdot\text{s}^{-1}$ , rezultînd  $f_s = 1,85 \text{ Hz}$ . Tabelul 7.6. sintetizează cîteva din rezultatele obținute aferente: (i) regimului tranzitoriu corespunzător trecerii VPM dintr-o porțiune de cale de glisare netedă într-o porțiune cu undulații (perturbații de tip  $Z_{sp1}(t)$ ); (ii) regimului staționar (armonic) corespunzător parcurgerii căii cu undulații. Tot la primul regim se referă și fig. 7.8.

Principalele constatări sînt următoarele:



**Fig. 7.8.** Processe tranzitorii ale SLEM-B (—) și ale SLEM-11-varianta MBB (— · — · —) la intrarea dintr-o porțiune de cale de glisare netedă într-o porțiune ondulată (se interpretează conform fig. 2.1 și fig. 4.7).

- In regim tranzitoriu comportarea SLEM-11-varianta II este foarte apropiată de cea a SLEM-B, comportarea SLEM-11-varianta MBB fiind însă superioară acestora prin faptul că domeniile de variație ale principalelor mărimi caracteristice sînt mai reduse.

- In regim staționar armonic SLEM-11-varianta MBB sînt superioare SLEM-B și SLEM-11-varianta II d.p.d.v. al confortului de călătorie însă inferioare d.p.d.v. funcțional, ca urmare a unor variații mult mai mari ale întrefierului în jurul valorii nominale.

- In toate cazurile confortul de călătorie este necorespunzător, nivelul lui  $\bar{Z}_m \max$  depășind valoarea limită  $\sqrt{2} \bar{Z}_m \text{ef}(f_s) = 0,334 \text{ m} \cdot \text{s}^{-2}$  rezultată din caracteristicile ISO-4 ore și SMA (fig. 4.6), amplitudinea oscilațiilor mișcării electro-

magneților fiind mai mare decît amplitudinea oscilațiilor căii de glisare.

**TABELUL 7.6.** DATE REFERITOARE LA COMPORTAREA SLEM-11 IN RAPORT CU  $Z_{sp}$

Tipul sistemului	Intervale de variație în regim tranzitoriu (i) (Amplitudinea oscilațiilor în regim staționar (ii))						
	$Z_{\delta}(\Delta Z_{\delta \max})$ [mm]	$(Z_{m \max})$ [mm]	$\bar{Z}_m (\bar{Z}_m \max)$ [m · s <sup>-2</sup> ]	F [N]	I [A]	U <sub>a</sub> [V]	P [W]
SLEM-B	6,49÷8,51 (1,015)	(5,2)	-0,79÷0,79 (0,794)	1588÷ 1867	13,7÷ 19,33	23,92÷ 33,24	328÷ 642
SLEM-11- var. MBB cu OFLS din tab. 7.3	7,26÷7,74 (1,85)	(5,2)	-0,71÷0,72 (0,71)	1600÷ 1852	15,4÷ 17,62	26,5÷ 30,6	408÷ 540
SLEM-11- var. II cu OFLS din tab. 7.4.	6,18÷8,82 (1,3)	(6,12)	-0,83÷0,82 (0,82)	1582÷ 1873	13,0÷ 20,0	22,1÷ 34,4	298÷ 688

7.1.5.5. Comportarea în regimuri determinate de acțiunea simultană a perturbațiilor.

Studiul s-a efectuat în condițiile specificate în anexa IX pentru regimurile R9 + R14, fiind analizate regimurile tranzitorii determinate de acțiunea simultană, cu diferite semne algebrice, a perturbațiilor în raport cu care, la pct. 7.1.5.2 + 7.1.5.4, s-a tratat în mod separat comportarea celor trei tipuri de SLEM-1L. Ca urmare a liniarității MM utilizate pentru aceste sisteme, variațiile tuturor mărimilor rezultă, în principiu, prin superpoziția variațiilor de la punctele menționate. Întrucât valorile extreme ale diferitelor mărimi nu pot fi determinate în mod concret pe cale analitică nici în acest caz, posibilitatea de analiză prin simulare a acestor regimuri este de o mare importanță fiindcă oferă o cale sigură pe care pot fi determinate limitele de variație ale principalelor mărimi caracteristice ale SLEM-1L, respectiv domeniile limită în care trebuie să se asigure o funcționare liniară a diferitelor părți componente ale unei MELLE (fig. 1.4) într-un caz real. D.p.d.v. al subansamblului format de traductoare, blocul de reglare (compensator) și sursa de alimentare a electromagnetului astfel de informații sînt de primă utilitate întrucît, ca urmare a valorilor mari ale amplificărilor de pe canalele compensatorului  $K$ , se cere o repartizare potrivită a acestora pe elementele componente ale subansamblului. Rezultatele obținute în acest context în cazul simulărilor efectuate sînt consemnate în tabelul 7.7.

**TABELUL 7.7. DOMENII LIMITA PENTRU FUNCTIONAREA LINIARA IN REGIMURI TRANZITORII A SLEM-1L IN CAZUL ACTIUNII SEPARATE SAU SIMULTANE A PERTURBATIILOR  $F_e$ ,  $Z_{spl}$ ,  $Z_{su}$ .**

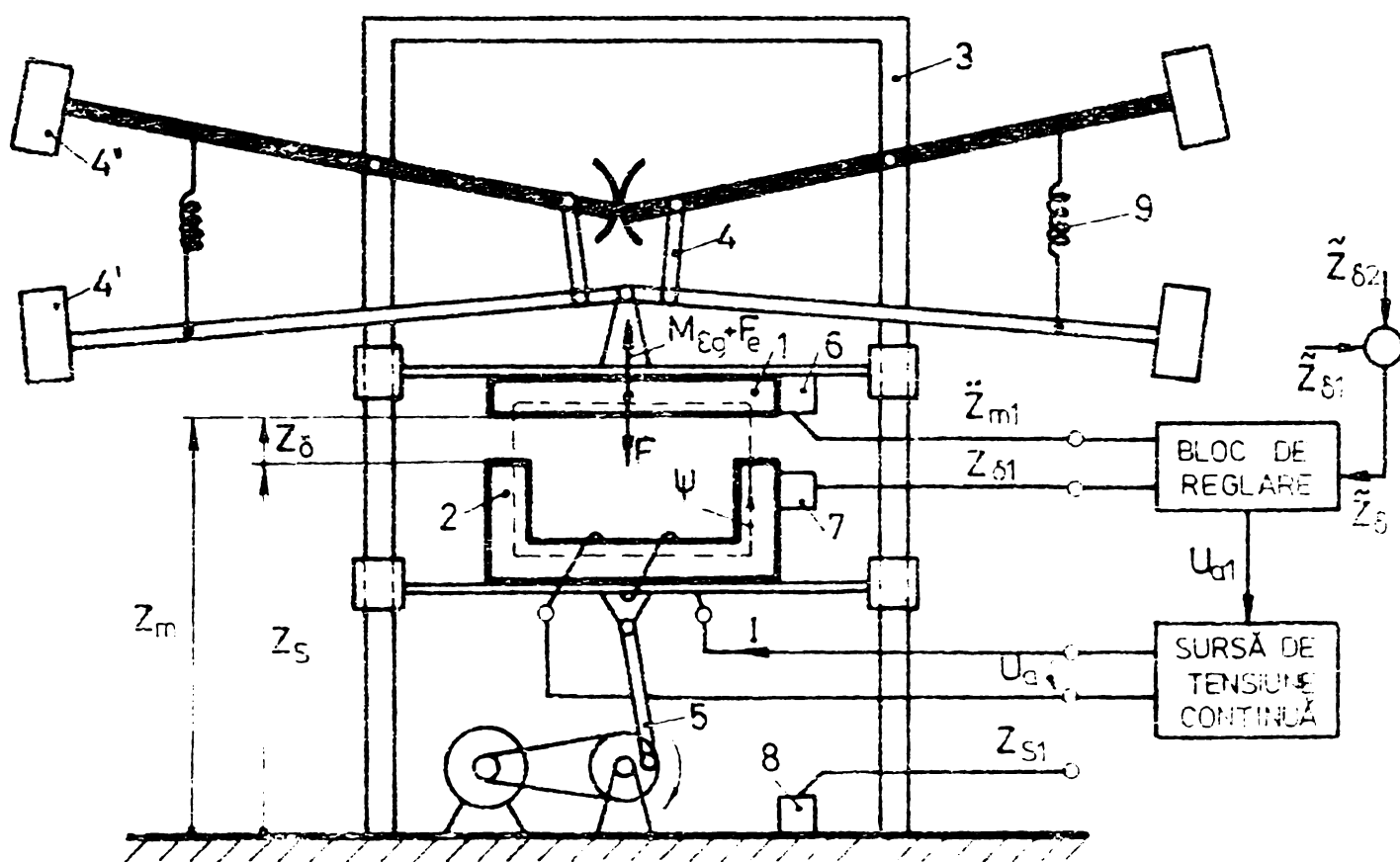
Tipul sistemului	Mărimi caracteristice			
	$Z_s$ [mm] (100%=7,5mm)	$\bar{z}_{m \max}$ [m·s <sup>-2</sup> ]	I [A] (100%=16,51A)	$U_a$ [V] (100% = 28,56 V)
SLEM-B	5,6 ÷ 9,1 (74,6÷121)%	-3 ÷ 3 -	9,9 ÷ 23,1 (59,9÷139,9)%	0,47 ÷ 56,94 (1,6÷199,3)%
SLEM-1L var. MBB cu OPLS din tab.7.3.	6,5 ÷ 8,4 (86,6÷112)%	-3 ÷ 3 -	11,3 ÷ 21,5 (68,4÷130,2)%	0,47 ÷ 56,94 (1,6÷199,3)%
SLEM-1L var. II cu OPLS din tab.7.4.	5,55÷9,65 (74÷128,6)%	-3 ÷ 3 -	9,2 ÷ 23,8 (55,7÷144,1)%	0,47÷ 56,94 (1,6÷199,3)%

Se apreciază că valorile procentuale din tabel sînt de valabilitate generală. În primul rînd se remarcă necesitatea acelorăși domenii de variație liniară pentru accelerație, tensiunea de alimentare, respectiv

putere (ultima nu figurează în tabel). Domeniile de variație liniară pentru întrefier și curent sînt aparent diferite, întrucît tabelul se referă la regimuri tranzitorii. Corelînd însă aceste rezultate cu cele de la pct. 7.1.5.2 și pct. 7.1.5.4 referitoare la regimurile staționare rezultă în final tot domenii comune de variație și anume  $(0,7 \div 1,3) \cdot Z_{\delta 0}$  pentru întrefier și  $(0,5 \div 1,5) I_0$  pentru curentul de excitație.

## 7.2. Studiul experimental al SLEM-1L-varianta II aferent unei MELLE.

Studiul s-a efectuat pe standul din fig. 1.1 [202/1979, 206], redat în mod schematic în fig. 7.9 împreună cu blocul de comandă și reglare al MELLE.



**Fig. 7.9.** Reprezentarea schematică a standului pentru studiul experimental al MELLE: 1 - placă feromagnetică (șină); 2 - electromagnet de c.c.; 3 - ramă de susținere, ghidare și limitare; 4 - mecanism de modificare a sarcinii  $F_e$  și a masei  $M_e$  a SES-1L ( $= 1 + 2$ ) prin intermediul greutăților  $4'$  și  $4''$ ; 5 - mecanism cu excentric utilizat pentru generarea perturbațiilor de tip  $Z_{sp1}$ ; 6 - traductor primar de accelerație; 7, 8 - traductoare primare de întrefier pentru măsurarea lui  $Z_{\delta}$ , respectiv  $Z_s$ ; 9 - element de amortizare al mecanismului 4.

Față de SES-1L din fig. 2.1., SES-1L de pe stand se deosebește prin faptul că electromagnetul este partea fixă, iar șina partea mobilă. Ca urmare, în raport cu planul de referință (suprafața soclului pe care este fixată rama) electromagnetul are cota  $Z_s$  iar șina cota  $Z_m$ , traductorul de accelerație fiind solidar cu șina.

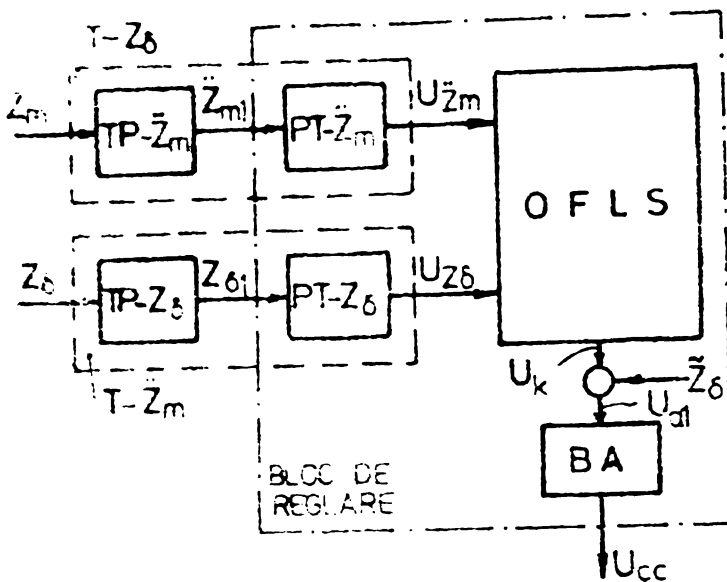


Fig. 7.10. Structurile, blocului de reglare și traductoarelor de măsură ale standului din fig. 7.9 (T-... traductor; TP-... traductor primar; PT-... punte tensometrică de tip N 2302; OFLS - observator de funcțională liniară de stare; BA - bloc de adaptare).

Blocul de reglare are structura din fig. 7.10. El conține în afara OFLS punțile tensometrice aferente traductoarelor T- $Z_{\delta}$  și T- $\tilde{Z}_m$  și un bloc de adaptare BA (al OFLS la sursa de tensiune continuă (chopper)). Fiecare traductor este alcătuit din două părți: un traductor primar (TP-...) atașat SES-1L și o punte tensometrică (PT-...) aparținând blocului de reglare.

Standul permite studiul comportării MELLE, respectiv al SLEM-1L în raport cu toate mărimile de intrare:

(i) Mărimile de conducere  $\tilde{Z}$  se aplică sub formă de tensiune la ieșirea OFLS. Ea are două componente:  $\tilde{Z}_{\delta 1}$  care asigură

punctul de funcționare staționară  $\Lambda_0$  și  $\tilde{Z}_{\delta 2}$  prin care se perturbă starea de echilibru determinând variații ale punctului de funcționare curent  $\Lambda$  în vecinătatea lui  $\Lambda_0$ . Semnalul  $\tilde{Z}_{\delta 2}$  poate fi determinat sau aleator, obținându-se de la un generator de semnale adecvat.

(ii) Modificarea forței exterioare  $F_0$  se asigură cu aproximație prin modificarea masei de încărcare 4', iar modificarea masei levitate echivalente  $M_{\xi}$  se asigură prin modificarea masei de încărcare 4. Trebuie precizat însă că mecanismul 4 nu asigură  $M_{\xi} = \text{const.}$

(iii) Standul permite studiul efectului perturbațiilor introduse de neregularitățile de categoria a II-a ale căii de glisare ( $Z_s = Z_{spl}$ ) prin intermediul mecanismului cu excentric 5, acționat de un motor de c.c. Modificarea frecvenței  $f_s$  a perturbațiilor ( $f_s = v/l_s$ ) (v. rel. (4.23')) se obține prin modificarea turației motorului de c.c., iar modificarea amplitudinii  $Z_{spl \max}$  prin modificarea gradului de excentricitate. Modificarea lui  $Z_s$  se măsoară cu traductorul 8 (furnizează semnalul  $Z_{s1}$ ).

Încercările s-au efectuat cu un SES-1L având dimensiunile geometrice din fig. 7.1 și

$$Z_{\delta 0} = 10 \cdot 10^{-3} \text{ m}; M_0 = 200 \text{ kg}; R = 1,532 \Omega. \quad (7.12)$$

În condițiile unei încărcări statice exterioare suplimentare nule  $F_{e0} = 0 \text{ N}$ , levitarea electromagneților s-a asigurat cu un curent

nominal  $I_0 = 26$  A, respectiv cu o tensiune nominală  $U_{a0} = 39,8$  V. In funcție de aceste date, pe baza cazului T-5 de la pct. 3.1.2, pentru parametrii primari ai SES-LL au rezultat valorile:

$$\begin{aligned} K_I &= 8,21 \cdot 10^{-2} \text{ Wb} \cdot \text{A}^{-1}; & K_\delta &= 153,56 \text{ Wb} \cdot \text{m}^{-1}; \\ C_I &= 153,56 \text{ H} \cdot \text{A}^{-1}; & C_\delta &= 3,92 \cdot 10^5 \text{ N} \cdot \text{m}^{-1}. \end{aligned} \quad (7.13-1)$$

constanta de timp a electromagnetului fiind

$$T = 0,053 \text{ s.} \quad (7.13-2)$$

Parametrii derivați ai SES-LL au valorile:

$$\begin{aligned} b &= -9,35 \text{ m} \cdot \text{V}^{-1} \cdot \text{s}^{-3}; \\ K_{po} &= 3954,35 \text{ V} \cdot \text{m}^{-1}; & K_{vo} &= 56,94 \text{ V} \cdot \text{m}^{-1} \cdot \text{s}; & K_{ao} &= 2,01 \text{ V} \cdot \text{m}^{-1} \cdot \text{s}^2. \end{aligned}$$

Parametrii compensatorului de stabilizare determinați conform varianței P-2 de la pct. 5.4.3, în condițiile restricțiilor limitative  $K_p \text{ max} = 60.000 \text{ V} \cdot \text{m}^{-1}$ ,  $K_v \text{ max} = 1250 \text{ V} \cdot \text{m}^{-1} \cdot \text{s}$ ,  $K_a \text{ max} = 10 \text{ V} \cdot \text{m}^{-1} \cdot \text{s}^2$  sînt [27]:

$$K_p = 7126,97 \text{ V} \cdot \text{m}^{-1}; \quad K_v = 271,39 \text{ V} \cdot \text{m}^{-1} \cdot \text{s}; \quad K_a = 6 \text{ V} \cdot \text{m}^{-1} \cdot \text{s}^2, \quad (7.14)$$

iar parametrii f.d.t. (5.15):

$$\begin{aligned} (K_p - K_{po})^{-1} &= 0,3151 \cdot 10^{-3} \text{ m} \cdot \text{V}^{-1}; \\ \omega_0 &= 25,67 \text{ s}^{-1}; & \omega_1 &= 45 \text{ s}^{-1}; & d &= 0,582. \end{aligned} \quad (7.15)$$

Analizînd punctul  $\{Z_{\delta_0}, \omega_0\}$  prin prisma fig. 5.10.a rezultă că în raport cu caracteristicile (5.109) și (5.110) acesta ocupă poziția B, SLEM-LL proiectat avînd d.p.d.v. energetic o comportare bună la funcționarea la întrefier constant.

În continuare se fac referiri numai cu privire la experimentarea unui SLEM-LL-varianta II. Avînd în vedere parametrii (7.15) și condiția (5.150), pentru OFLS s-a adoptat polul

$$f_0 = 50 \text{ s}^{-1}, \quad (7.16)$$

astfel încît ec.(5.155) ale OFLS obțin aspectul:

$$\begin{aligned} \dot{Z}_1 &= -50 \cdot Z_1 - 2500 \cdot Z_\delta + \tilde{Z}_m \\ U_a &= 20696,5 \cdot Z_\delta + 271,39 \cdot Z_1 + 6 \cdot \tilde{Z}_m + \tilde{Z}_\delta. \end{aligned} \quad (7.17)$$

Coefficienții de transfer ai traductoarelor și chopperului au fost:

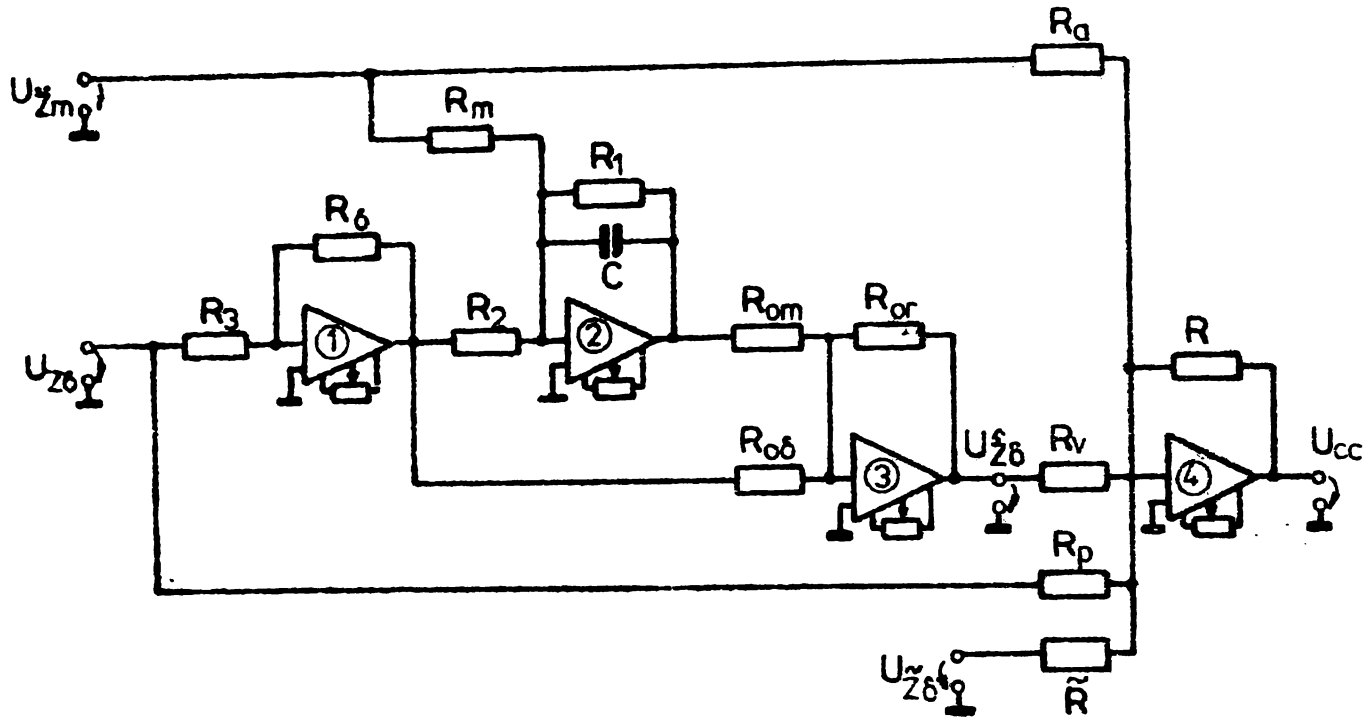
$$K_{T-Z_\delta} = 250 \text{ V} \cdot \text{m}^{-1}; \quad K_{T-\tilde{Z}_m} = 0,045 \text{ V} \cdot \text{m}^{-1} \cdot \text{s}^2; \quad K_C = 12,5 \text{ V/V}. \quad (7.18)$$

În acest caz, făcînd abstracție de blocul de adaptare ( $K_{BA} = 1 \text{ V/V}$ ), pentru OFLS din fig. 7.10 rezultă ecuațiile (v. și rel.(4.1)):

$$\begin{aligned} \dot{Z}_1 &= -50 \cdot Z_1 - 10 \cdot U_{Z_\delta} + 22,22 \cdot U_{\tilde{Z}_m} \\ U_c &= 6,62 \cdot U_{Z_\delta} + 21,71 \cdot Z_1 + 10,66 \cdot U_{\tilde{Z}_m} + \tilde{K} U_{\tilde{Z}_\delta}, \end{aligned} \quad (7.17')$$

pentru a cărui modelare fizică a fost folosită schema electronică, cu patru amplificatoare operaționale ①, ..., ④, din fig.7.11 [50].

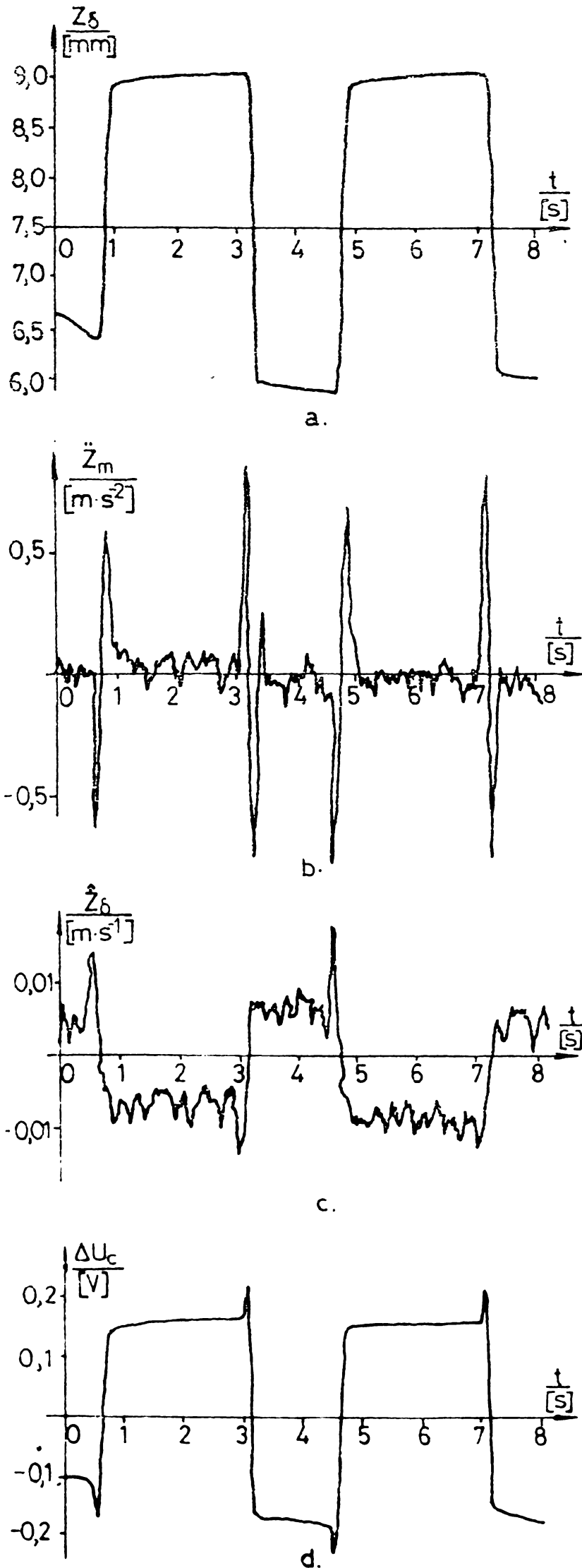
În fig.7.12 este reprezentat un set de caracteristici dinamice temporale obținute prin experimentări pe stand [15]. Acestea redau variațiile



**Fig. 7.11.** Schema electronică de principiu utilizată pentru modelarea fizică a OFLS (7.17').

intrefierului, accelerației, estimatei vitezei de variație a intrefierului și tensiunii de comandă a chopperului, cauzate de variațiile semnificative de conducere  $\tilde{Z}_{\delta 2}$  sub forma unei succesiuni de impulsuri aproximativ dreptunghiulare și de polarități diferite (fiecare impuls fiind asimilabil cu un semnal treaptă). Se observă că la nivelul intrefierului  $Z_{\delta}$  variațiile în treaptă ale lui  $\tilde{Z}_{\delta 2}$  se soldează cu variații în treaptă fără suprareglaje. Variațiile de polaritate ale lui  $\tilde{Z}_{\delta 2}$  crează însă în semnalele  $\tilde{Z}_m$  și  $\tilde{Z}_{\delta}$  impulsuri de amplitudine mai mare, cu o durată de  $\approx 45$  msec, ca urmare a mișcării șinei în sus și în jos. Datorită diverselor perturbații (cauzate de choppare, vibrații, zgomote radio sau de zgomotele provenite de la punțile tensometrice) SLEM-1L se află într-un permanent echilibru dinamic, mărimile de stare executând mici oscilații. Având în vedere amplificările mari ale canalelor compensatorului  $K$ , efectul perturbațiilor depinde în mare măsură de punctele în care acestea atacă canalele de reacție și blocul de reglare. Diminuarea efectului lor se obține prin ecranarea acestora și prin filtrarea diverselor mărimi de reacție și a unora dintre mărimile intermediare din compensator.

Aspectul general al caracteristicilor dinamice temporale s-a păstrat pentru comenzi care au determinat variații de intrefier de pînă la 2 m peste această valoare nu s-au efectuat încercări ca urmare a capacității limitate de suprasolicitare termică a electromagnetului.



**Fig.7.12.** Caracteristici dinamice temporale ale SLEM-1L studiat:

- a - variația înțrefierului,
- b - accelerația absolută,
- c - estimata vitezei de variație a înțrefierului,
- d - variația tensiunii de comandă a chopperului.



În fig. 7.13 și 7.14 sînt prezentate caracteristici dinamice în domeniul frecvență (caracteristici amplitudine-frecvență) obținute prin experimentări pe stand [202/1979]. Ca urmare a condițiilor în care s-au efectuat încercările a fost necesară modificarea punctului de funcționare staționară  $\Lambda_0$  corespunzător unui întrefier nominal  $Z_{\delta_0} = 4,5 \text{ mm}$ . Caracteristicile din fig. 7.13 și caracteristica 1 din fig. 7.14 s-au determinat, ca urmare a acestei modificări, pentru  $K_p = 2688,18 \text{ V}\cdot\text{m}^{-1}$ ,  $K_v = 99 \text{ V}\cdot\text{m}^{-1}\cdot\text{s}$ ,  $K_a = 0,56 \text{ V}\cdot\text{m}^{-1}\cdot\text{s}^2$ .

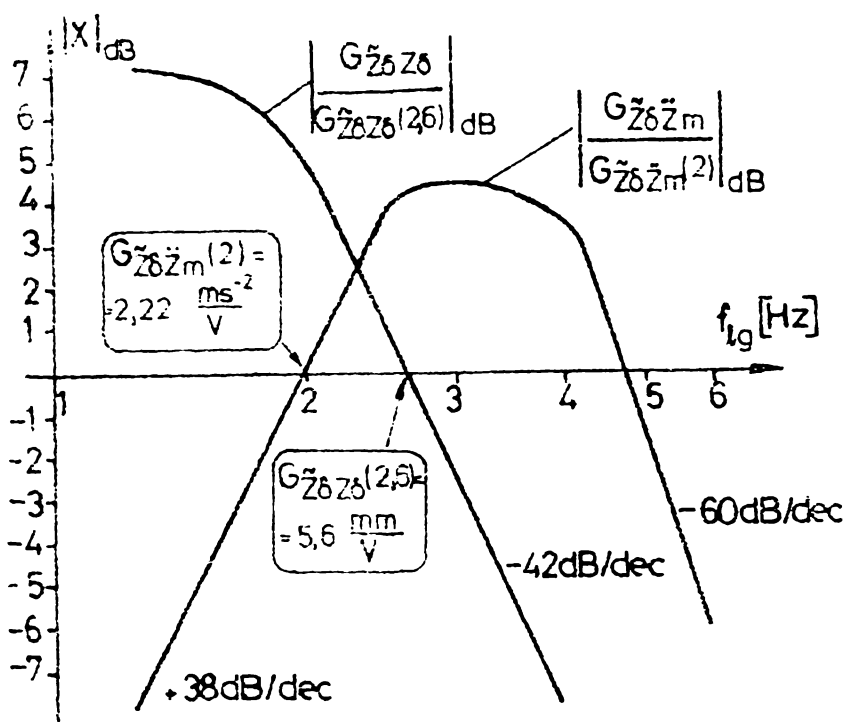


Fig. 7.13. Caracteristici de frecvență în raport cu mărimea de conducere (obținute experimental).

Aspectul caracteristicilor obținute experimental corespunde celor calculate. Spre exemplu caracteristicile din fig. 7.14 sînt asemănătoare celor din fig. 5.17

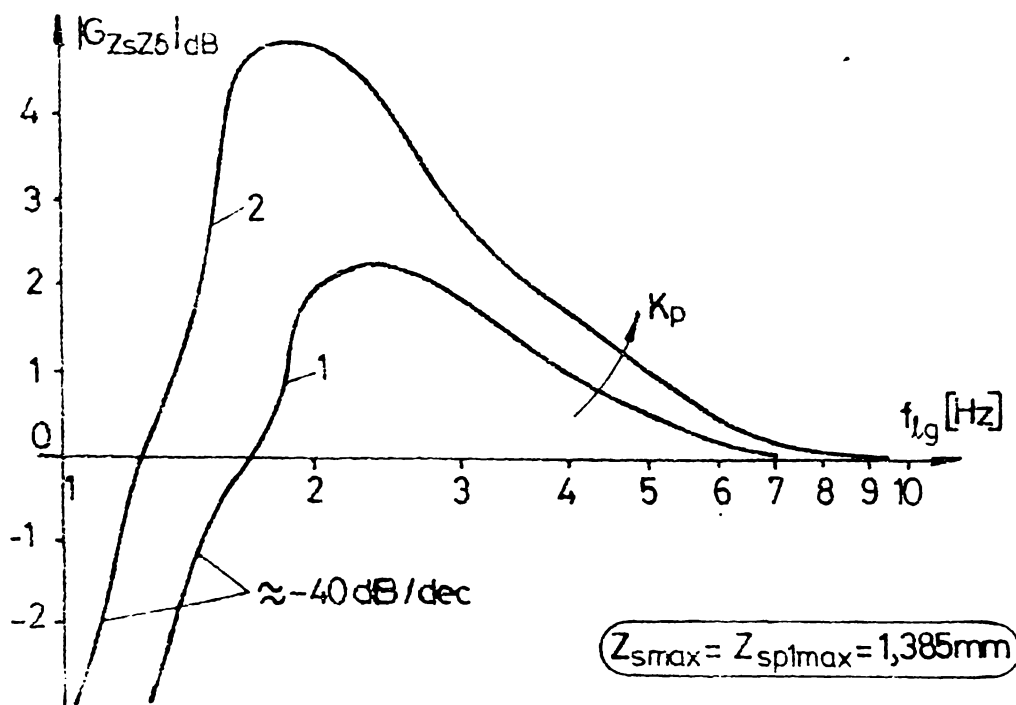


Fig. 7.14. Caracteristici de frecvență în raport cu mărimea perturbatoare  $Z_s = Z_{spl}$  (obținute experimental).

Toate caracteristicile corespund atât d.p.d.v. calitativ cât și d.p.d.v. cantitativ cu alte caracteristici cunoscute din literatură [192,63,64]. Se confirmă așadar valabilitatea studiului întreprins. Domeniul frecvențelor de lucru ale sistemului studiat a fost limitat superior de valoarea  $f_{max} = 6 \text{ Hz}$ .

## CAPITOLUL 8

### CONCLUZII

Construirea VPM constituie un domeniu tehnic cu ample implicații științifice, intens abordat în ultimul deceniu. O categorie importantă de VPM o reprezintă vehiculele bazate pe utilizarea MELLE, numite și „vehicule cu levitație electromagnetică” sau „vehicule cu sustentație electromagnetică”, care sînt în fond sisteme de MELLE. Principial o MELLE constituie un sistem automat de reglare care asigură conducerea în circuit închis a unui electromagnet de c.c. comandat în tensiune sau în carent. Privită din punctul de vedere al problemei de control automat MELLE este numită în teză „sistem cu levitație electromagnetică” (SLEM).

Teza este o amplă sinteză a problemelor de calcul ce intervin în general în modelarea, analizarea, proiectarea și simularea SLEM și în special a categoriei de SLEM-LL cu reacție după întrefier și accelerație absolută, respectiv a SLEM-ML reducibile la primele. După cunoștința autorului abordarea problemei într-o astfel de manieră reprezintă prima încercare sistematică de acest fel din țară, iar prin aria și numărul problemelor tratate este una dintre cele mai cuprinzătoare și documentate lucrări pe plan mondial. Văzută sub acest unghi, teza se înscrie în primul rînd, în ansamblu, ca o contribuție originală la:

(i) dezvoltarea și sistematizarea aspectelor referitoare la sistemele electromagnet-șină, care reprezintă procesul condus din cadrul SLEM și

(ii) dezvoltarea și aprofundarea problemelor de analiză, proiectare și simulare ale categoriei de SLEM-LL și SLEM-ML cu reacție după întrefier și accelerație absolută,

iar în al doilea rînd aduce contribuții de ansamblu sau de detaliu atît în aceste două domenii cît și în domeniul:

(iii) teoriei sistemelor de reglare liniare constante.

Principalele contribuții originale pe care lucrarea le aduce, în ideea menționată, în aceste domenii sînt următoarele:

(i)

1. Dezvoltarea conceptelor de:

- mașină electrică liniară cu levitație electromagnetică (MELLE),
- sistem electromagnet-șină cu un grad de libertate (SES-LL), - cu mai multe grade de libertate (SES-ML), - cu suspensie elastică cu un grad de libertate (SESSE-LL).

2. Sistematizarea aspectelor referitoare la modelarea și analiza SES-1L și SES-5L prin:

- 2.1. Presentarea sistematică și analizarea critică a MM liniare și neliniare ale SES-1L existente în literatură.
- 2.2. Dezvoltarea MM teoretice de ordin redus ale SES-1L și definirea sistemului electromagnet-șină de bază (SES-B).
- 2.3. Analizarea dependenței parametrilor primari ai SES-1L și a coeficienților MM-ISI de ordin redus al aceluiași sistem în raport cu punctul nominal de funcționare cu formularea concluziilor că:
  - variațiile parametrilor primari sînt reduse;
  - variațiile coeficienților în raport cu masa și întrefierul SES-1L și cu rezistența bobinei de excitație sînt cu aproximație liniare.
- 2.4. Stabilirea unui nou MM teoretic, liniar, pentru SES-5L alcătuit din subsisteme autonome, corespunzătoare fiecărui grad de libertate, avînd structura SES-B.

3. Dezvoltarea unor noi MM liniare pentru SES-1L și anume:

- 3.1. Un MM de ordinul 5 obținut prin liniarizarea unui MM neliniar rezultat pe baza aplicării unui principiu de modelare cunoscut din literatură.
- 3.2. Un MM obținut prin modificarea structurii schemelor bloc aferente MM de ordin redus, prin înlocuirea unor blocuri neinertiale cu blocuri inerțiale.

4. Sistematizarea pentru prima oară în literatură, a problemei estimării parametrilor primari ai SES-1L prin:

- 4.1. Distingerea utilizării sau aplicabilității unor procedee de:
  - estimare teoretică (analitică),
  - estimare experimentală: - în circuit deschis
    - în circuit închis prin: - procedee de măsurare directă
    - procedee de măsurare adaptivă.

4.2. Stabilirea a două noi relații de calcul a inductivității SES-1L în ipoteze mai apropiate de realitate decît ipotezele care stau la baza expresiilor inductivității utilizate în cadrul procedeelelor de estimare teoretică cunoscute în literatură (pct.3.1 - cazurile T-4 și T-5).

4.3. Analizarea critică a procedeelelor de estimare experimentală în circuit deschis utilizate pînă în prezent și sublinierea deficiențelor acestora.

4.4. Propunerea estimării experimentale în circuit închis a parametrilor primari ai SES-1L, prin estimarea parametrilor SLEM-1L folosind procedee deterministe bazate pe perturbarea stării de echilibru a sistemului închis prin intermediul mărimii de conducere și pe

măsurarea variației întrefierului. SLEM-1L avînd un compensator dat, calculat pe baza estimării teoretice a parametrilor SES-1L, estimarea acestor parametri în modul precizat se apreciază a fi cea mai corectă.

4.5. Propunerea a două noi scheme de identificare adaptivă, în circuit închis, a parametrilor SES-1L bazate, la fel ca și un alt caz prezentat în literatură, pe extrapolarea procedurii de identificare adaptivă propus de autor (v. pct. 18) și pentru identificarea sistemelor avînd o parte din variabilele de stare măsurabile direct, iar altă parte măsurabile indirect prin intermediul unor observatori de stare avînd doar structura dependentă de sistemul identificat.

(ii)

5. Sistematizarea, pentru prima oară în literatură, a problemei performanțelor impuse SLEM, prin distingerea următoarelor aspecte:

5.1. Aspecte calitative:

- argumentarea dependenței structurii și performanțelor SLEM-1L în raport cu parametri nominali ai sistemului, printre care: încărcătura statică, rezistența bobinajului de excitație, coeficienții compensatorului de stabilizare și coeficientul de transfer al sursei de alimentare a electromagnetului;
- definirea ieșirilor de apreciere ale SLEM-1L utilizate în cadrul VPM sau al maselor vibratoare și stabilirea modurilor de variație ale mărimilor de intrare care trebuie luate în considerație;
- precizarea manierei de tratare a neregularităților căii de glisare și anume ca mărimi de intrare în care sînt prezente atât semnale deterministe cît și semnale aleatoare, respectiv ca mărime cu o componentă cu caracter de mărime de conducere și cu două componente cu caracter de mărimi perturbatoare.

5.2. Aspecte cantitative:

- analiza critică și sintetizarea elementelor referitoare la modurile de descriere matematică a semnalelor de intrare ale SES-1L, respectiv SLEM-1L și la criteriile de apreciere a calității SLEM-1L în raport cu aceste semnale;
- analiza critică și sintetizarea rezultatelor referitoare la MM asociate dezvoltate pentru mărimile de intrare în raport cu care se pune problema realizării SLEM-1L ca sisteme cu adaptare la o anumită clasă de semnale de intrare, precum și propunerea unor noi MM în acest scop;
- analiza critică și sintetizarea aspectelor, odată cu propunerea unor noi procedee, referitoare la modul de verificare a adoptării corecte a valorii nominale a întrefierului, la aprecierea și verificarea confortului de călătorie atât în condițiile acțiunii

separate a componentelor neregularităților căii de glisare, cât și în condițiile acțiunii concomitente a acestor componente;

- adaptarea unor caracteristici ISO pentru aprecierea confortului de călătorie la VPM și propunerea în același scop, pentru situațiile cele mai restrictive, a unor caracteristici de solicitare minim admisibilă;
- efectuarea unei sinteze asupra metodelor și posibilităților de determinare a puterii necesare pentru comanda SES-1L în cadrul SLEM-1L
- justificarea unor afirmații și rezultate ce figurează în literatură, fără a fi demonstrate, cu privire la unele din aspectele de mai sus, printre care: dezvoltarea MM de ordinul IV asociat componentei utile a neregularităților căii de glisare și justificarea relației de verificare a întrefierului nominal în cazul acțiunii singulare asupra SLEM-1L a perturbațiilor de tip aleator, introduse de calea de glisare.

6. Analizarea SLEM-B format prin stabilizarea SES-1L cu un compensator după stare (mărimile de stare fiind întrefierul  $Z_g$ , viteza de variație a acestuia  $\dot{Z}_g$  și accelerația absolută  $\ddot{Z}_g$ ) prin:

6.1. Stabilirea performanțelor dinamice ale sistemului în raport cu mărimea de conducere, forța exterioară și poziția șinei, în vederea optimizării comportării sistemului la variații tip ale acestora.

6.2. Argumentarea necesității analizei sensibilității SLEM-1L și stabilirea în acest scop a modelelor de sensibilitate în raport cu patru parametri nominali ai SES-1L, -cu permeabilitatea magnetică a acestui sistem și -cu parametrii compensatorului; stabilirea expresiilor f.d.t. necesare pentru analiza sensibilității în raport cu aceiași parametri prin metoda locului rădăcinilor.

6.3. Stabilirea performanțelor de regim staționar constant în raport cu masa electromagnetului, componenta statică a forței exterioare ce acționează asupra sistemului și rezistența bobinei de excitație; propunerea unor scheme de reglare pentru optimizarea comportării staționare a sistemului.

7. Elaborarea unei metode sistematice de proiectare a compensatorului (de stabilizare) după stare al SLEM-B ca soluție a unei probleme liniar-patratice de stabilizare optimă cu restricții de limitare superioară a valorilor parametrilor compensatorului și cu restricții impuse de optimizarea (funcțională) în raport cu toate mărimile de intrare și de optimizarea (energetică) în raport cu perturbațiile introduse de neregularitățile căii de glisare.

8. Construirea a doi observatori de stare de ordin redus utilizabili pentru implementarea legii de comandă a SLEM-B în cazul când sînt măsurabile doar întrefierul și accelerația absolută, observatorii

bucurându-se de proprietatea de a avea parametrii independenți de parametrii SES-LL pe care îl stabilizează. Astfel:

8.1. Se stabilesc relațiile de proiectare ale unei clase de observatori de funcțională liniară (OFLS) de ordinul II care oferă proiectantului cinci grade de libertate, clasă care conține ca un caz particular subclasa de OFLS cu două grade de libertate căreia îi aparține observatorul utilizat pentru stabilizarea aceluiași sistem de către firma MBB, numit în lucrare „OFLS-varianta MBB”.

8.2. Se stabilesc relațiile de proiectare ale unui OFLS de ordinul I, cu un singur grad de libertate, numit în lucrare „OFLS-varianta II”, SLEM-LL rezultat prin implementarea lui asigurând practic performanțe similare cu SLEM-LL cu OFLS-varianta MBB. În felul acesta se propune pentru prima dată în literatură stabilizarea SES-LL cu un compensator de ordinul I care d.p.d.v. al implementării reprezintă cea mai simplă soluție posibilă.

9. Prezentarea principiului de construcție a unor noi algoritmi de reglare a SES-LL în cadrul unor SLEM-LL destinate VPM, implementabili în principal în variantă numerică, reglatoarele rezultate în principiu prin construcția în cascadă a unor blocuri de compensare peste SLEM-LL stabilizate, având o structură mai simplă. Folosind principiul menționat, în lucrare se construiesc următoarele reglatoare în două etaje:

- 9.1. Un regulator pentru stabilizarea SES-LL cu OFLS-varianta MBB și compensarea efectului forței exterioare;
- 9.2. Un regulator pentru stabilizarea SES-LL cu OFLS-varianta II și compensarea efectului forței exterioare;
- 9.3. Un regulator pentru stabilizarea SES-LL cu OFLS-varianta II și compensarea efectului datorat modificării profilului căii de glisare;
- 9.4. Un regulator pentru stabilizarea SES-LL cu OFLS-varianta II și compensarea efectului perturbațiilor deterministe introduse de calea de glisare.

În fiecare caz se stabilesc relațiile de calcul ale tuturor parametrilor regulatorului, se precizează gradele de libertate existente la îndemna proiectantului și se discută diverse aspecte ale implementării algoritmului. După cunoștința autorului <sup>algoritmii de la pct. 9.1 și 9.2</sup> sunt primii algoritmi de reglare propuși în literatură care asigură compensarea efectului forței exterioare; totodată algoritmii de la pct. 9.3 și 9.4 sunt superiori, din diferite puncte de vedere, celor existenți în literatură. O trăsătură comună, esențială, a celor patru reglatoare propuse o reprezintă posibilitatea de conectare și deconectare a etajului superior, de compensare fără stinjenirea stării și stabilității SLEM-LL.

10. Sistematizarea aspectelor referitoare la SLEM-ML de tip descentralizat, cu roți magnetice, prin:

10.1. Analizarea proprietăților roții magnetice de bază rezultate prin stabilizarea SESSE-1L cu un compensator după stare ( $Z_s, \dot{Z}_s, \ddot{Z}_s$ ).

10.2. Stabilirea modului de aplicare nemijlocită a rezultatelor menționate mai sus la pct. 5 ÷ 8 pentru cazul roții magnetice.

10.3. Precizarea modului de aplicare a principiului de la pct. 9 pentru compensarea efectului perturbațiilor introduse de neregularitățile căii de glisare.

10.4. Analizarea critică a unei variante de roată magnetică prezentată în literatură și demonstrarea imposibilității de sinteză pentru aceasta a unui OFLS cu parametrii independenți de cei ai SESSE-1L, așa cum sînt OFLS de la pct. 8.

11. Conceperea în detaliu a unui SLEM-5L centralizat rezultat prin comanda independentă, în circuit închis, a fiecărui grad de libertate al SES-5L menționat la pct. 3.4 printr-un sistem avînd structura SLEM-1 la care s-au referit pct. 6 ÷ 9 de mai sus, stabilirea particularităților de simulare a funcționării acestui sistem și stabilirea tuturor elementelor algoritmice necesare unei astfel de simulări.

12. Prezentarea unui exemplu de proiectare și analiză (prin intermediul unui simplu program FORTRAN de simulare) a unor SLEM-1L de tipul celor menționate la pct. 6 ÷ 8 de mai sus și analizarea comparativă a acestor sisteme cu evidențierea caracteristicilor asemănătoare și a elementelor de diferențiere.

13. Experimentarea, în colaborare, a unui SLEM-1L cu OFLS-varianta II și evidențierea valabilității concluziilor stabilite prin analiza teoretică și simulările întreprinse cu privire la aceste sisteme.

(iii)

14. Deducerea unor noi relații pentru identificarea prin metode de frecvență a unui element de transfer derivativ cu întârziere de ordinul I.

15. Stabilirea a două procedee de identificare experimentală deterministă a sistemelor liniare constante de ordinul III, fără anticipare, stabile și subamortizate și anume:

- un procedeu bazat pe utilizarea caracteristicilor de performanță (cazul ID-1, pct. 3.2.3.1.2) datorat exclusiv autorului;
- un procedeu intitulat „metoda primului extrem” (cazul ID-2, pct. 3.2.3.1.2) elaborat de autor în colaborare.

16. Elaborarea, în colaborare, a unui procedeu de identificare experimentală deterministă a sistemelor liniare constante, procedeu care face

parte din categoria metodelor de identificare bazate pe integrale asociate (cazul ID-6); acesta a fost propus alături de procedeele de la pct. 15 pentru identificarea experimentală în circuit închis prin măsurare directă a parametrilor primari ai SES-LL.

17. Stabilirea de către autor, în colaborare, a unei metode de determinare a indicilor de calitate empirici ai sistemelor liniare constante de ordinul III utilizate în contextul lucrării la stabilirea caracteristicilor de performanță ale unor sisteme fără anticipare sau cu anticipare de ordinul I, stabile și subamortizate.

18. Stabilirea unui procedeu de identificare adaptivă a sistemelor liniare constante cu variabile de stare măsurabile, stabilitatea schemelor de identificare fiind garantată, cu excepția unui caz particular, de obținerea unor funcții Liapunov.

19. Elaborarea unei metode de proiectare sistematică a compensatorului de stabilizare a unui sistem liniar constant de ordinul III, adus în formă canonică controlabilă, ca soluție a problemei liniar patratică de stabilizare optimală cu restricții de diverse tipuri. După cunoștința autorului, în literatură nu există lucrări care să trateze problema într-o manieră similară sau apropiată.

20. Prezentarea unor exemple de stabilizare și compensare în cascadă a unui proces multivariabil, liniar, constant cu regulatoare care prezintă facilitatea deconectării și conectării selective a etajelor superioare de compensare, fără afectarea stabilității sistemului.

Pentru elaborarea lucrării a fost utilizată o bibliografie ce cuprinde 206 titluri. Ea include și 21 lucrări ale căror autor sau coautor este autorul tezei, după cum urmează: 6 lucrări individuale, 14 lucrări în colaborare și un titlu ce înglobează protocoalele contractelor elaborate la IPTV Timișoara cu privire la domeniul VPM și care înglobează și aportul autorului la rezolvarea problemelor ce s-au pus.



ANEXE

**ANEXA I. RELATII PENTRU IDENTIFICAREA ET-PDT2 PE BAZA CARACTERISTICILOR DE FRECVENTA.**

Prin definiție ET-PDT2 are f.d.t.:

$$G(s) = \frac{K(s + \omega_d)}{s^2 + 2d\omega_0 s + \omega_0^2} \quad (I-1)$$

Identificarea experimentală a ET-PDT2 pe baza caracteristicilor de frecvență urmărește determinarea valorilor coeficienților  $K$ ,  $\omega_d$ ,  $\omega_0$  și  $d$  din c.d.f. determinate experimental.

În [78,163] ca și în numeroase alte lucrări sînt expuse o serie de procedee generale de identificare a unui ET rațional oarecare folosind c.d.f. În cazul ET-PDT2 pot fi deduse însă relații particulare, a căror utilizare simplifică esențial volumul calculelor. Utilizarea este condiționată însă de siguranța cu care se poate afirma că sistemului identificat îi corespunde sau nu f.d.t. (I-1), validarea unui rezultat numeric făcîndu-se prin compararea c.d.f. corespunzătoare rezultatului identificării cu cele determinate experimental.

Pe baza procedurii propus în continuare stau expresiile corespunzătoare c.a-p. (I-2) și c.f-p. (I-3) ale ET-PDT2:

$$|G(j\omega)| = K \sqrt{\frac{\omega_d^2 + \omega^2}{(\omega_0^2 - \omega^2)^2 + (2d\omega_0\omega)^2}} = M(\omega) \quad (I-2)$$

$$\text{tg } \angle G(j\omega) = \frac{\omega[(\omega_0^2 - \omega^2) - 2d\omega_0\omega_d]}{\omega_d(\omega_0^2 - \omega^2) + 2d\omega_0\omega^2} = \varphi(\omega) \quad (I-3)$$

Procedeeul este următorul: Se stabilesc două pulsații  $\omega_1$  și  $\omega_2$  semnificative pentru intervalul  $(\omega_{\min}, \omega_{\max})$  pe care s-au determinat c.d.f.; fie  $M_1$  și  $\varphi_1$ , respectiv  $M_2$  și  $\varphi_2$  valorile modulelor (amplitudinilor) și defazaajelor corespunzătoare lui  $\omega_1$ , respectiv  $\omega_2$ . Parametrii  $\omega_d$ ,  $\omega_0$ ,  $d$  și  $K$  sînt în consecință soluțiile următorului sistem algebric:

$$\begin{aligned} |G(j\omega_1)| &= M_1 ; \quad \text{tg } \angle G(j\omega_1) = \text{tg } \varphi_1 ; \\ |G(j\omega_2)| &= M_2 ; \quad \text{tg } \angle G(j\omega_2) = \text{tg } \varphi_2 , \end{aligned} \quad (I-4)$$

expresiile detaliate rezultînd prin utilizarea rel.(I-2) și (I-3). Soluțiile sistemului (I-4) se obțin după cum urmează:

- se determină  $\omega_d$  ca soluție a ec.(I-5):

$$\frac{\omega_d - \omega_1 \text{ctg } \varphi_1}{\omega_d - \omega_2 \text{ctg } \varphi_2} = \pm \frac{\omega_1 M_1}{\omega_2 M_2} \sqrt{\frac{1 + \text{ctg}^2 \varphi_1}{1 + \text{ctg}^2 \varphi_2}} \quad (I-5)$$

- cu  $\omega_d$  calculat anterior se determină apoi  $\omega_0^2$  ca soluție a ec.(I-6)

$$\frac{\omega_0^2 - \omega_1^2}{\omega_0^2 - \omega_2^2} = \frac{\omega_1}{\omega_2} \frac{\omega_1 + \omega_d \operatorname{ctg} \varphi_1}{\omega_2 + \omega_d \operatorname{ctg} \varphi_2} \frac{\omega_d - \omega_2 \operatorname{ctg} \varphi_2}{\omega_d - \omega_1 \operatorname{ctg} \varphi_1} ; \quad (\text{I-6})$$

- avînd pe  $\omega_d$  și  $\omega_0$ ,  $d$  și  $K$  se obțin succesiv cu rel.(I-7) și (I-8)

$$d = \frac{(\omega_1 \operatorname{ctg} \varphi_1 - \omega_d)(\omega_0^2 - \omega_1^2)}{2\omega_0 \omega_1 (\omega_1 + \omega_d \operatorname{ctg} \varphi_1)} \quad (\text{I-7})$$

$$K = M_1 \sqrt{\frac{(\omega_0^2 - \omega_1^2)^2 + (2d\omega_0\omega_1)^2}{\omega_d^2 + \omega_1^2}} ; \quad (\text{I-8})$$

- în cazul în care din cele două soluții corespunzătoare ec.(I-5) nu se elimină una, ca urmare a unor situații de forma:  $\omega_d < 0$ ,  $\omega_0^2 < 0$  sau  $d < 0$ , cea mai bună aproximare se selectează prin compararea c.d.f. calculate cu cele determinate experimental.

Ca exemplu se consideră c.d.f.  $\Lambda_2$  din fig.2.8, pentru care se apreciază ca frecvențe semnificative:  $f_1 = 0,4$  Hz și  $f_2 = 10$  Hz (fig.2.8.a), respectiv  $f_1 = 0,4$  Hz și  $f_2 = 8$  Hz (fig.2.8.b):

- în primul caz:  $M_1 = 8$  kN/A,  $\varphi_1 = -10^\circ$ ,  $M_2 = 3,3$  kN/A,  $\varphi_2 = -38,5^\circ$ , rezultînd:

$$G^{(1)}(s) = \frac{415(s+20,27)}{s^2+123,84s+1019,35} = \frac{5,03}{1+0,1128s} + \frac{3,22}{1+0,008697s} ; \quad (\text{I-9})$$

verificînd rezultatul obținut pentru  $f = 1$  Hz, rezultă:  $M = |G(j2\pi)| \approx 7$  kN/A și  $\varphi = \angle G(j2\pi) \approx -21^\circ$ , adică valori foarte apropiate de cele experimentale;

- în al doilea caz:  $M_1 = 1,4$  kN/mm,  $\varphi_1 = -6^\circ$ ,  $M_2 = 1$  kN/mm,  $\varphi_2 = -12,5^\circ$ , rezultînd:

$$G^{(2)}(s) = \frac{319(s+10,5047)}{s^2+326,37s+2327,58} = \frac{0,45}{1+0,137s} + \frac{0,9897}{1+0,00313s} ; \quad (\text{I-10})$$

și în acest caz verificarea pentru  $f = 1$  Hz, conduce la rezultate foarte apropiate de cele experimentale:  $M = |G(j2\pi)| = 1,27$  kN/mm și  $\varphi = \angle G(j2\pi) = -10,98^\circ$ .

## ANEXA II. OBSERVAȚIE REFERITOARE LA POSIBILITATEA DE REDUCERE A NUMARULUI TRADUCTOARELOR DE ACCELERATIE ALE SES-5L.

Detaliînd rel.(2.84) și rel.(2.108) se obțin expresiile:

$$\left. \begin{aligned} z_C &= \frac{1}{4} (z_{m1} + z_{m2} + z_{m3} + z_{m4}) \\ \ddot{\varphi} &= \frac{1}{4L} (-z_{m1} - z_{m2} + z_{m3} + z_{m4}) \\ \ddot{\psi} &= \frac{1}{4L} (-z_{m1} + z_{m2} + z_{m3} - z_{m4}) \end{aligned} \right\} , \quad (\text{II-1})$$

respectiv

$$\left. \begin{aligned} \ddot{y}_C &= \frac{1}{4} (\ddot{y}_{m1} + \ddot{y}_{m2} + \ddot{y}_{m3} + \ddot{y}_{m4}) \\ \ddot{\lambda} &= \frac{1}{4L} (\ddot{y}_{m1} - \ddot{y}_{m2} - \ddot{y}_{m3} + \ddot{y}_{m4}) \end{aligned} \right\} \quad (II-2)$$

Datorită asimilării cadrului cu electromagneți cu o placă dreptunghiulară plană, între coordonatele extremităților lui există relațiile (v. fig. 2.21):

$$y_{m1} + y_{m3} = y_{m2} + y_{m4} \quad , \quad (II-3.1)$$

$$z_{m1} + z_{m3} = z_{m2} + z_{m4} \quad . \quad (II-3.2)$$

Acestea conduc la două relații de legătură, de aceeași formă, între accelerațiile măsurate:

$$\ddot{y}_{m1} + \ddot{y}_{m3} = \ddot{y}_{m2} + \ddot{y}_{m4} \quad , \quad (II-4.1)$$

$$\ddot{z}_{m1} + \ddot{z}_{m3} = \ddot{z}_{m2} + \ddot{z}_{m4} \quad , \quad (II-4.2)$$

care permit reducerea numărului de traductoare de accelerație necesare pentru estimarea lui  $\ddot{z}_C$ ,  $\ddot{\varphi}$ ,  $\ddot{\psi}$ ,  $\ddot{y}_C$  și  $\ddot{\lambda}$ .

În adevăr, eliminând din rel.(II-2) și (II-4.1) una dintre accelerațiile  $\ddot{y}_{m1}, \dots, \ddot{y}_{m4}$ , rezultă posibilitatea estimării lui  $\ddot{y}_C$  și  $\ddot{\lambda}$  cu numai trei traductoare de accelerație în loc de patru, conform egalităților:

$$\underline{\ddot{y}}_{\delta 0} = \begin{bmatrix} \ddot{y}_C \\ \ddot{\lambda} \end{bmatrix} = \begin{bmatrix} \frac{1}{2}(\ddot{y}_{m2} + \ddot{y}_{m4}) \\ \frac{1}{2L}(-\ddot{y}_{m3} + \ddot{y}_{m4}) \end{bmatrix} = \begin{bmatrix} \frac{1}{2}(\ddot{y}_{m1} + \ddot{y}_{m3}) \\ \frac{1}{2L}(-\ddot{y}_{m3} + \ddot{y}_{m4}) \end{bmatrix} = \begin{bmatrix} \frac{1}{2}(\ddot{y}_{m2} + \ddot{y}_{m3}) \\ \frac{1}{2L}(\ddot{y}_{m1} - \ddot{y}_{m2}) \end{bmatrix} = \begin{bmatrix} \frac{1}{2}(\ddot{y}_{m1} + \ddot{y}_{m3}) \\ \frac{1}{2L}(\ddot{y}_{m1} - \ddot{y}_{m2}) \end{bmatrix} \quad (II-5)$$

În mod analog, din rel.(II-1) și (II-4.2) rezultă posibilitatea estimării lui  $\ddot{z}_C$ ,  $\ddot{\varphi}$  și  $\ddot{\psi}$  cu numai trei traductoare de accelerație în loc de patru, conform egalităților:

$$\underline{\ddot{z}}_{\delta 0} = \begin{bmatrix} \ddot{z}_C \\ \ddot{\varphi} \\ \ddot{\psi} \end{bmatrix} = \begin{bmatrix} \frac{1}{2}(\ddot{z}_{m2} + \ddot{z}_{m4}) \\ \frac{1}{2L}(-\ddot{z}_{m2} + \ddot{z}_{m3}) \\ \frac{1}{2L}(\ddot{z}_{m3} - \ddot{z}_{m4}) \end{bmatrix} = \begin{bmatrix} \frac{1}{2}(\ddot{z}_{m1} + \ddot{z}_{m3}) \\ \frac{1}{2L}(-\ddot{z}_{m1} + \ddot{z}_{m4}) \\ \frac{1}{2L}(\ddot{z}_{m3} - \ddot{z}_{m4}) \end{bmatrix} = \begin{bmatrix} \frac{1}{2}(\ddot{z}_{m2} + \ddot{z}_{m4}) \\ \frac{1}{2L}(-\ddot{z}_{m1} + \ddot{z}_{m4}) \\ \frac{1}{2L}(-\ddot{z}_{m1} + \ddot{z}_{m2}) \end{bmatrix} = \begin{bmatrix} \frac{1}{2}(\ddot{z}_{m1} + \ddot{z}_{m3}) \\ \frac{1}{2L}(-\ddot{z}_{m2} + \ddot{z}_{m3}) \\ \frac{1}{2L}(-\ddot{z}_{m1} + \ddot{z}_{m2}) \end{bmatrix} \quad (II-6)$$

Numărul traductoarelor de accelerație necesare pentru măsurarea lui  $\ddot{y}_C$  și  $\ddot{\lambda}$  poate fi redus la doi dacă acestea se amplasează la mijlocul laturilor 5-8 și 6-7 ale cadrului cu electromagneți, adică în punctele 9 și 10 (fig.2.21 și fig.2.22), astfel încît să măsoare accelerațiile în direcția  $y$ . Astfel, întrucît

$$\left. \begin{aligned} y_{m9} &= \frac{1}{2} (y_{m1} + y_{m4}) \\ y_{m10} &= \frac{1}{2} (y_{m2} + y_{m3}) \end{aligned} \right\} \implies \begin{cases} \ddot{y}_{m1} + \ddot{y}_{m4} = 2\ddot{y}_{m9} \\ \ddot{y}_{m2} + \ddot{y}_{m3} = 2\ddot{y}_{m10} \end{cases}$$

rel.(II-2) se reduce la:

$$\begin{bmatrix} \ddot{y} \\ \ddot{\lambda} \end{bmatrix} = \begin{bmatrix} \frac{1}{2}(\ddot{y}_{m9} + \ddot{y}_{m10}) \\ \frac{1}{2L}(\ddot{y}_{m9} - \ddot{y}_{m10}) \end{bmatrix} \quad (II-7)$$

În consecință, din rel.(II-6) și (II-7) rezultă că numărul minim de traductoare de accelerație necesare pentru realizarea unui SLEM-5L este 5.

ANEXA III. PRESCRIEREA INTREFIERURILOR SES-5L.

Poziționarea cadrului cu electromagneți în raport cu șinele de susținere și cu șinele de ghidare se face prescriind valorile întrefierurilor echivalente  $\underline{G}$  din rel.(2.113). Datorită separabilității SES-5L, problema se analizează separat pentru fiecare din subsistemele de ghidare și de susținere. Analiza se bazează pe rel.(2.94), respectiv pe rel.(2.66).

(i) Astfel din rel.(2.94), pentru subsistemul de ghidare, se obține:

$$y_{\delta 5} - y_{\delta 8} = 2(G_y + 2L G_x) \quad , \quad (\text{III-1.1})$$

$$y_{\delta 6} - y_{\delta 7} = 2(G_y - 2L G_x) \quad . \quad (\text{III-1.2})$$

În consecință, prescriind  $\underline{G}_G = \underline{G}_G^*$ , adică valorile  $G_y^*$  și  $G_x^*$  pentru  $G_y$  și  $G_x$ , se prescrie o poziție bine determinată a cadrului în raport cu șinele de ghidare și anume: valoarea  $2(G_y^* + 2L G_x^*)$  pentru diferența întrefierurilor  $y_{\delta 5}, y_{\delta 8}$ , respectiv valoarea  $2(G_y^* - 2L G_x^*)$  pentru diferența  $y_{\delta 6} - y_{\delta 7}$  (v.fig. 2.21). În particular, dacă  $\underline{G}_G^* = \underline{0}$ , rezultă  $y_{\delta 5} = y_{\delta 8}$  și  $y_{\delta 6} = y_{\delta 7}$ , adică o poziție a cadrului caracterizată prin întrefieruri (măsurate) anterioare de valoare egală și prin întrefieruri (măsurate) posterioare de valoare egală. Dacă față de această situație se modifică  $G_y^*$ , atunci pentru  $G_y^* < 0$  rezultă o alunecare spre stînga a cadrului (în sensul negativ al axei  $y$  - v. fig.2.22), iar pentru  $G_y^* > 0$  o alunecare spre dreapta a acestuia. Asemănător, prin modificarea lui  $G_x^*$  se produce o mișcare de rotație în jurul axei  $Oz$ : în sensul pozitiv al direcției  $x$  când  $G_x^* > 0$ , respectiv în sensul negativ când  $G_x^* < 0$ .

(ii) Pentru subsistemul de susținere, din rel.(2.66) rezultă:

$$\begin{aligned} 0,5 (z_{\delta 5} + z_{\delta 6}) &= G_z - l G_\varphi \\ 0,5 (z_{\delta 6} + z_{\delta 7}) &= G_z + L G_\psi \\ 0,5 (z_{\delta 7} + z_{\delta 8}) &= G_z + l G_\varphi \\ 0,5 (z_{\delta 8} + z_{\delta 5}) &= G_z - L G_\psi \end{aligned} \quad (\text{III-2})$$

În consecință, prescriind  $\underline{G}_S = \underline{G}_S^*$ , adică valorile  $G_z^*$ ,  $G_\varphi^*$ ,  $G_\psi^*$  pentru  $G_z$ ,  $G_\varphi$  respectiv  $G_\psi$ , se prescrie o poziție bine determinată a cadrului față de șinele de susținere și anume: valorile  $G_z^* - l G_\varphi^*$ ,  $G_z^* + L G_\psi^*$ ,  $G_z^* + l G_\varphi^*$  și  $G_z^* - L G_\psi^*$  pentru întrefierurile (fictive) din dreptul mijloacelor laturilor  $\overline{5-6}$ ,  $\overline{6-7}$ ,  $\overline{7-8}$ , respectiv  $\overline{8-5}$  ale cadrului. Prin acestea se înțeleg distanțele dintre mijloacele acestor laturi și segmentele  $\overline{5_S-6_S}$ ,  $\overline{6_S-7_S}$ ,  $\overline{7_S-8_S}$ , respectiv  $\overline{8_S-5_S}$ , punctele  $5_S$ ,  $6_S$ ,  $7_S$ ,  $8_S$  reprezentînd proiecțiile punctelor 5, 6, 7, 8, după direcție verticală, pe șinele de susținere (fig. 2.21).

În particular, pentru

$$\underline{G}_S^* = \begin{bmatrix} G_z^* & 0 & 0 \end{bmatrix}^T \quad , \quad (\text{III-3})$$

din rel.(III-2) rezultă pe de-o parte egalitățile:

$$0,5(z_{55}+z_{66}) = 0,5(z_{66}+z_{77}) = 0,5(z_{77}+z_{88}) = 0,5(z_{88}+z_{55}) = \mathcal{G}_z^{\times}, \quad (\text{III-4})$$

iar pe de altă parte egalitățile:

$$z_{55} = z_{77} \quad ; \quad z_{66} = z_{88} \quad . \quad (\text{III-5})$$

Ca urmare, prin adoptarea (III-3) se prescrie aceeași valoare  $-\mathcal{G}_z^{\times}$  - pentru toate întrefierurile din dreptul mijloacelor laturilor cadrului, respectiv valori egale pentru întrefierurile din dreptul punctelor de la capetele fiecărei diagonale. Această poziție se poate interpreta ca o poziție de quasiparalelism a cadrului cu șinele de sustentare. Prin  $\mathcal{G}_z^{\times} > 0$  se asigură coborîrea cadrului, iar prin  $\mathcal{G}_z^{\times} < 0$  ridicarea acestuia. Față de poziția (III-4) inclinarea cadrului în sensul pozitiv al direcției  $\varphi$  se obține prescriind  $\mathcal{G}_{\varphi}^{\times} > 0$ , iar în sensul negativ prin  $\mathcal{G}_{\varphi}^{\times} < 0$ . Analog, inclinarea cadrului în sensul pozitiv al direcției  $\psi$  se obține prescriind  $\mathcal{G}_{\psi}^{\times} > 0$ , iar în sensul negativ prin  $\mathcal{G}_{\psi}^{\times} < 0$ .

Valorile întrefierurilor prescrise (III-6) se obțin din rel.(III-2), (2.77) și (II-3.2) considerînd pentru  $\underline{\mathcal{G}}_S = \underline{\mathcal{G}}_S^{\times}$  expresia (III-3):

$$\begin{aligned} z_{55}^{\times} = z_{77}^{\times} &= \mathcal{G}_z^{\times} + \frac{1}{4} (z_{6S} + z_{8S}) - \frac{1}{4} (z_{5S} + z_{7S}) \\ z_{66}^{\times} = z_{88}^{\times} &= \mathcal{G}_z^{\times} - \frac{1}{4} (z_{6S} + z_{8S}) + \frac{1}{4} (z_{5S} + z_{7S}) \end{aligned} \quad (\text{III-6})$$

Rezultatele de la pct.(i) și (ii) de mai sus au fost preluate în cadrul pct. 2.2.5 sub forma  $\mathcal{G}_y = 0, \mathcal{G}_x = 0 \implies y_{\delta 1} = y_{\delta 4}, y_{\delta 2} = y_{\delta 3}$  și rel.(III-3)  $\implies$  rel.(2.115) și rel.(2.116). Formele utilizate corespund egalităților  $y_{\delta 5} = y_{\delta 8}, y_{\delta 6} = y_{\delta 7}$ , respectiv rel.(III-4) și rel.(III-5), aproximările bazîndu-se pe ipotezele utilizate și în cadrul rel.(2.66) și rel.(2.94).

În cazul SLEM-5L centralizat cvintuplul  $\{\mathcal{G}_z^{\times}, \mathcal{G}_{\varphi}^{\times}, \mathcal{G}_{\psi}^{\times}, \mathcal{G}_y^{\times}, \mathcal{G}_x^{\times}\}$  se asigură prin mărimile de conducere  $\tilde{\mathcal{G}}_z, \tilde{\mathcal{G}}_{\varphi}, \tilde{\mathcal{G}}_{\psi}, \tilde{\mathcal{G}}_y$  și  $\tilde{\mathcal{G}}_x$  (v. fig.6.3).

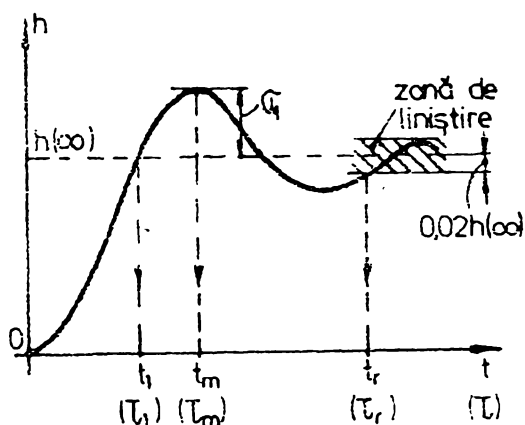
Se face mențiunea că, în acord cu convenția de notare de la pct. 2.1.2.1 mărimile mai sus utilizate trebuie interpretate ca variații (creșteri) față de valorile corespunzătoare punctului nominal de funcționare  $\Lambda_0$ .

#### ANEXA IV. ASUPRA PERFORMANTELOR DE RĂSPUNS INDICIAL ALE UNOR CLASE DE SISTEME LINIARE DE ORDINUL III.

Caracteristicile performanțelor de răspuns indicial reprezintă un mijloc important de analiză și proiectare a SRA [24,57,99,33,52,190]. Ele se referă la indicii de performanță empirici de tipul timpului de reglare  $t_r$ , timpului de primă reglare  $t_1$ , suprareglajului  $\mathcal{G}_1$  și momentului producerii lui,  $t_m$  (fig. IV-1), redînd modul în care aceștia se modifică, pentru diferite clase de sisteme, în funcție de un parametru (de obicei amortizarea  $d$ ), atunci cînd ceilalți parametri sînt menținuți constanți

Clasele de sisteme pentru care s-au determinat, pînă de curînd, astfel de caracteristici sînt în număr redus. Cazul cel mai complicat luat în considerare este cel al sistemelor de ordinul III fără anticipare [88, 54, 89], adică al sistemelor cu f.d.t. (normată):

$$G(s) = \frac{\omega_1 \omega_0^2}{(s + \omega_1)(s^2 + 2d\omega_0 s + \omega_0^2)}, \quad d \in (0, 1) \quad (IV-1)$$



În vederea rezolvării problemelor abordate în teză s-a conceput un procedeu de calcul al caracteristicilor mai sus menționate, valabil pentru toate clasele de sisteme de ordinul III, stabile și subamortizate, adică pentru sistemele cu f.d.t.:

$$G(s) = \frac{b_3 s^3 + b_2 s^2 + b_1 s + b_0}{(s + \omega_1)(s^2 + 2d\omega_0 s + \omega_0^2)}, \quad d \in (0, 1) \quad (IV-2)$$

Procedeu este prezentat în [72], iar organigrama unui program de calcul bazat pe acest procedeu este redată în [70].

**Fig. IV-1.** Relativă la definiția indicilor de performanță empirici aferenți răspunsului indicial.

În continuare se fac referiri la caracteristicile de performanță utilizate în te-

ză, calculate pe baza procedeuului din [70].

**Cazul IV-1** se referă la clasa de sisteme liniare de ordinul III fără anticipare, stabile și subamortizate avînd f.d.t. (IV-1), respectiv răspunsul indicial:

$$h(t) = 1 - \frac{e^{-\omega_1 t}}{\beta^2 - 2d\beta + 1} + \frac{\beta e^{-d\omega_0 t}}{\sqrt{1-d^2} \sqrt{\beta^2 - 2d\beta + 1}} \sin(\sqrt{1-d^2} \omega_0 t - \psi), \quad (IV-3)$$

în care:  $\psi = \arctg(\sqrt{1-d^2}/(-d)) + \arctg(\sqrt{1-d^2}/(\beta-d))$ . În fig. IV-1 sînt prezentate cîteva din caracteristicile de performanță corespunzătoare acestei clase de sisteme:

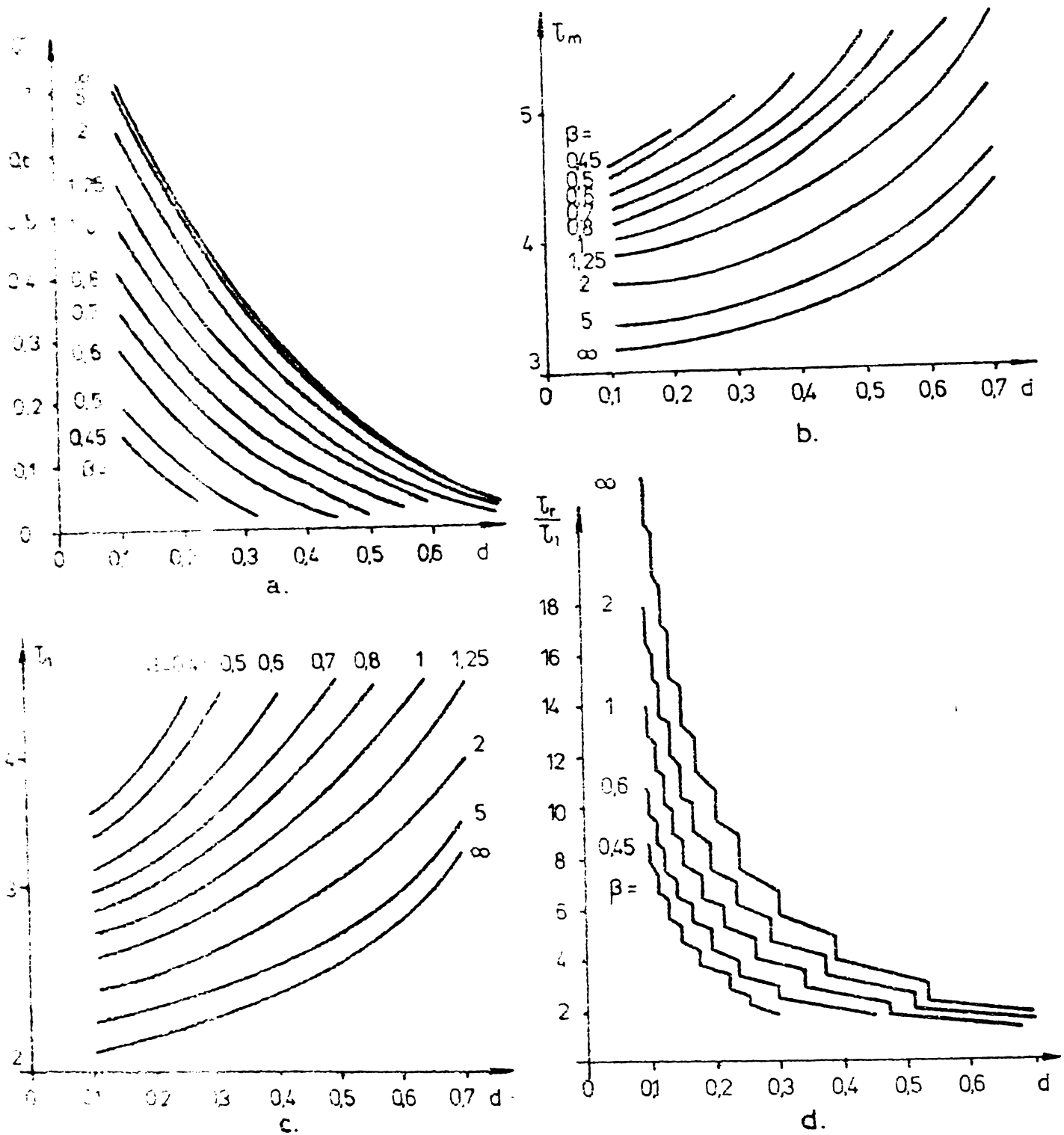
$$\sigma_1 = f_1(d), \quad \tau_m = f_2(d), \quad \tau_1 = f_3(d), \quad \tau_r/\tau_1 = f_4(d). \quad (IV-4)$$

Parametrul lor este  $\beta = \omega_1/\omega_0$ , iar

$$\tau = t \omega_0 \quad (IV-5)$$

reprezintă timpul normat. Deci  $t_m = \tau_m/\omega_0$ ,  $t_1 = \tau_1/\omega_0$  și  $t_r = \tau_r/\omega_0$ .

Caracteristicile  $\sigma_1 = f_1(d)$  și  $\tau_m = f_2(d)$  sînt practic identice cu cele din [88], iar caracteristicile  $\tau_1 = f_3(d)$  și  $\tau_r/\tau_1 = f_4(d)$  le corectează pe cele din [88].



**Fig. IV-2.** Caracteristicile performanțelor de răspuns indicial ale clasei de sisteme cu f.d.t. (IV-1);  $\beta = \omega_1 / \omega_0$ .

Cazul IV-2 se referă la clasa de sisteme liniare de ordinul III cu anticipare de ordinul I, stabile și subamortizate, avînd f.d.t.:

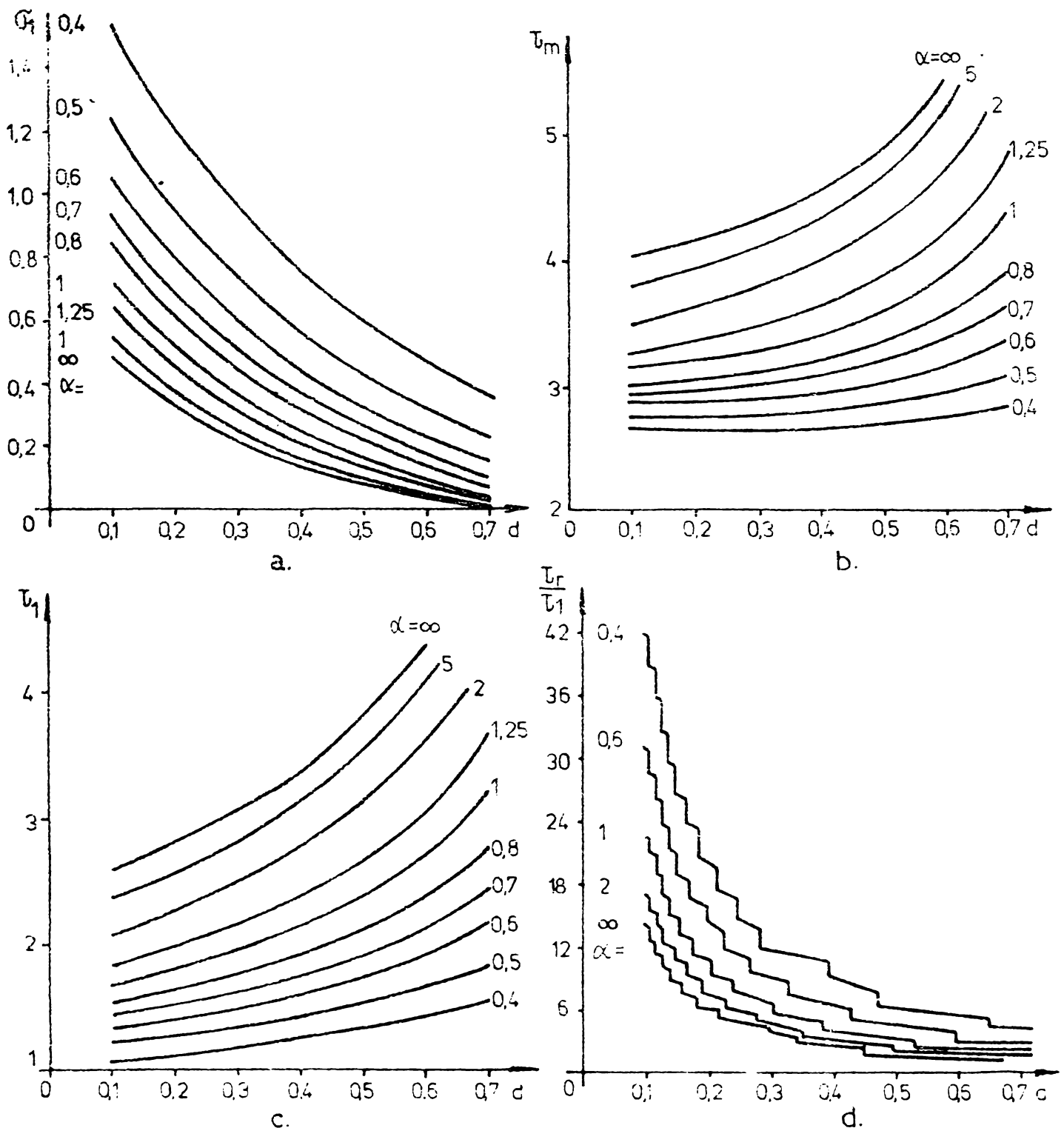
$$G^*(s) = \frac{\omega_1 \omega_0^2}{\omega_d} \frac{s + \omega_d}{(s + \omega_1)(s^2 + 2d\omega_0 s + \omega_0^2)}, \quad (IV-6)$$

respectiv răspunsul indicial

$$h^*(t) = \frac{1}{\omega_d} \dot{h}(t) + h(t), \quad (IV-7)$$

$h(t)$  avînd expresia (IV-2).

**Pentru această clasă de sisteme se pot utiliza diverse categorii de caracteristici de performanță în funcție de modul de normare a timpului.**



**Fig. IV-3.** Caracteristicile performanțelor de răspuns indicial ale clasei de sisteme liniare de ordinul III cu f.d.t. (IV-6), de parametru  $\beta = \omega_1 / \omega_0 = 1$ . S-a notat  $\alpha = \omega_d / \omega_0$ .

Situația se explică prin faptul că numărul parametrilor este mai mare cu unu decît în cazul IV-1. Spre exemplu, atunci cînd normarea se efectuează conform rel. (IV-5) se pot utiliza următoarele două categorii de caracteristici de performanță:

- (i)  $G_1 = f_1(d)$ ,  $\tau_m = f_2(d)$ ,  $\tau_1 = f_3(d)$ ,  $\tau_r / \tau_1 = f_4(d)$ , de parametru  $\alpha = \omega_d / \omega_0$ , pentru o valoare dată a parametrului  $\beta = \omega_1 / \omega_0$ ;
- (ii)  $G_1 = f_1(d)$ ,  $\tau_m = f_2(d)$ ,  $\tau_1 = f_3(d)$ ,  $\tau_r / \tau_1 = f_4(d)$ , de parametru  $\beta = \omega_1 / \omega_0$ , pentru o valoare dată a parametrului  $\alpha = \omega_d / \omega_0$ .

În fig. IV-3 este reprezentată o familie de caracteristici de tipul (i) de parametru  $\beta = 1$ .



În unele aplicații  $\omega_d$  are o valoare constantă, bine determinată. Aceasta este și cazul SLEM-1L pentru care f.d.t.  $G_{FeZ\delta}(s)$  este de forma (IV-6) și  $\omega_d = 1/T$  ( $T =$  constanta de timp a electromagnetului). Obținerea unor caracteristici de performanță de parametru  $\omega_d$ , pentru astfel de situații, nu este posibilă întrucît prin  $\omega_d$  nu se fixează nici unul dintre parametrii  $\alpha$  și  $\beta$ . Din acest motiv, pentru astfel de probleme, procedeul prezentat în [72] nu este utilizabil în calculele de proiectare decît pentru validarea blocurilor de reglare calculate pe baza altor considerente (validare în raport cu canalele pe care transmiterea informației este caracterizată de f.d.t. de forma (IV-6). Acesta este modul în care cazul IV-2 este utilizat la pct. 5.2.2.2 și în capitolul 7.

**ANEXA V. METODA DE IDENTIFICARE ADAPTIVA A UNUI SISTEM LINIAR INVARIANT IN TIMP.**

Se consideră sistemul liniar invariant în timp (V-1) avînd variabilele de intrare și variabilele de stare -  $\underline{u}$ , ( $r,1$ ), respectiv  $\underline{x}$ , ( $n,1$ ) - măsurabile, la fel ca și variabilele de ieșire  $\underline{y}$ , ( $m,1$ ).

$$\dot{\underline{x}} = \underline{A} \underline{x} + \underline{B} \underline{u} \quad , \quad \underline{y} = \underline{C} \underline{x} + \underline{D} \underline{u} \quad . \quad (V-1)$$

Elementele matricilor  $\underline{A} = [a_{ij}]$ ,  $\underline{B} = [b_{ik}]$ ,  $\underline{C} = [c_{li}]$  și  $\underline{D} = [d_{lk}]$  cu  $i, j = \overline{1, n}$ ,  $k = \overline{1, r}$  și  $l = \overline{1, m}$  pot fi identificate experimental utilizînd procedeul de identificare adaptivă prezentat în continuare. Pentru identificarea elementelor matricilor  $\underline{A}$  și  $\underline{B}$  trebuie cunoscute, suplimentar semnele elementelor  $a_{ii}$ , de pe diagonala principală a matricii  $\underline{A}$  - matricea sistemului. Influența perturbațiilor asupra strategiilor de adaptare prezentate nu se analizează.

(i) Identificarea elementelor matricilor  $\underline{C}$  și  $\underline{D}$  ale sistemului (V-1) se face asociînd fiecărei ecuații de ieșire:

$$y_l = c_{l1}x_1 + \dots + c_{ln}x_n + d_{l1} + \dots + d_{lr}u_r \quad (V-2)$$

cîte un model cu o structură similară însă cu coeficienți variabili (indicele  $\overline{M}$  denotă mărimi aferente modelului):

$$y_{l\overline{M}} = c_{l1\overline{M}}x_1 + \dots + c_{ln\overline{M}}x_n + d_{l1\overline{M}} + \dots + d_{lr\overline{M}}u_r \quad . \quad (V-3)$$

Estimînd eroarea de adaptare global, prin diferența mărimilor de ieșire ale procesului și modelului  $e_y := y - y_{\overline{M}}$ , rezultă:

$$e_{y_l} = (c_{l1} - c_{l1\overline{M}})x_1 + \dots + (c_{ln} - c_{ln\overline{M}})x_n + (d_{l1} - d_{l1\overline{M}}) + \dots + (d_{lr} - d_{lr\overline{M}})u_r \quad (V-4)$$

În procesul de adaptare coeficienții  $c_{li\overline{M}}$  și  $d_{lk\overline{M}}$  fiind variabili, în continuare se stabilește o strategie de adaptare astfel încît:

$$V := \sum_{i=1}^n \lambda_{c_{li}} (c_{li} - c_{li\overline{M}})^2 + \sum_{k=1}^r \lambda_{d_{lk}} (d_{lk} - d_{lk\overline{M}})^2 \quad (V-5)$$

cu  $\lambda_{c_{li}} > 0$ ,  $\lambda_{d_{lk}} > 0$ , să fie o funcție Liapunov. Pentru aceasta este

necesar ca derivata ei:

$$\frac{dV}{dt} = -2 \sum_{i=1}^n \lambda_{c_{li}} \dot{c}_{li\bar{M}} (c_{li} - c_{li\bar{M}}) - 2 \sum_{k=1}^r \lambda_{d_{lk}} \dot{d}_{lk\bar{M}} (d_{lk} - d_{lk\bar{M}}). \quad (V-6)$$

să fie strict negativă. In acest scop se adoptă:

$$\lambda_{c_{li}} \dot{c}_{li\bar{M}} = K_{ci} e_{y_l} \quad ; \quad \lambda_{d_{lk}} \dot{d}_{lk\bar{M}} = K_{dk} e_{y_l} \quad ; \quad (V-7)$$

rel.(V-6) devine:

$$\frac{dV}{dt} = -2 e_{y_l} \left[ (c_{l1} - c_{l1\bar{M}}) K_{c1} + \dots + (c_{ln} - c_{ln\bar{M}}) K_{cn} + (d_{l1} - d_{l1\bar{M}}) K_{d1} + \dots + (d_{lr} - d_{lr\bar{M}}) K_{d\bar{M}} \right] \quad (V-8)$$

Adoptînd în continuare

$$K_{ci} = x_i \quad ; \quad K_{dk} = u_k \quad , \quad (V-9)$$

rel.(V-8) devine:

$$\frac{dV}{dt} = -2 e_{y_l}^2 < 0 \quad .$$

Strategia de adaptare a parametrilor modelului (V-3) obținută în final din (V-7) și (V-9) este așadar:

$$\dot{c}_{li\bar{M}} = \frac{1}{\lambda_{c_{li}}} x_i e_{y_l} \quad ; \quad \dot{d}_{lk\bar{M}} = \frac{1}{\lambda_{d_{lk}}} u_k e_{y_l} \quad , \quad (V-10)$$

mărimea  $e_{y_l}$  fiind furnizată de model. Rezultatul este rezumat în schema bloc din fig. V-1. Cercurile simbolizează înregistratoarele aferente mărimilor notate în interior.

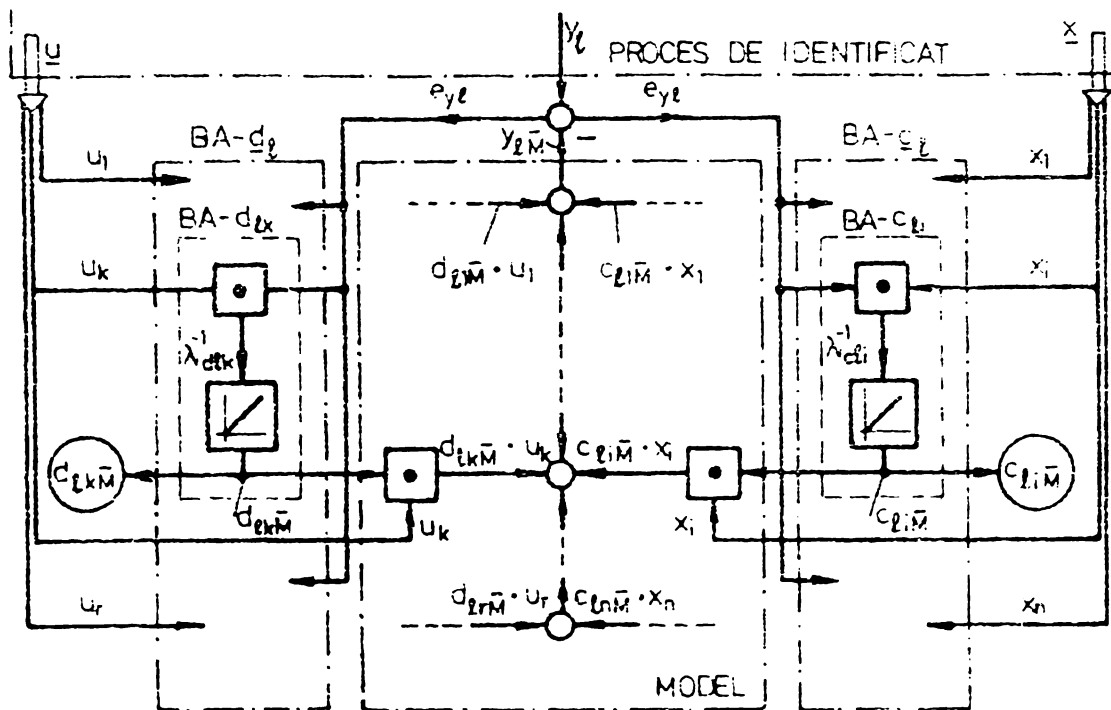


Fig.V-1. Schemă bloc pentru identificarea adaptivă a elementelor liniei  $l$  a matricilor  $C$  și  $D$  ale sistemului (V-1),  $l = \overline{1, m}$ ;  $BA-x$  = bloc de adaptare a coeficientului  $x$ .

Utilizînd metoda prezentată pentru toate liniile  $l = \overline{1, m}$  ale ecuației de ieșire a sistemului (V-1), elementele matricilor  $C$  și  $D$  se pot identifica prin  $m$  scheme de tipul celei din fig. V-1.

(ii) Identificarea elementelor matricilor  $A$  și  $B$  se face asociînd fiecărei ecuații de stare:

$$\dot{x}_i = a_{i1}x_1 + \dots + a_{ii}x_i + \dots + a_{in}x_n + b_{i1}u_1 + \dots + b_{ir}u_r \quad (V-11)$$

cite un model cu o structură similară, însă cu coeficienți variabili:

$$\dot{x}_{i\bar{M}} = a_{i1\bar{M}}x_1 + \dots + a_{ii\bar{M}}\tilde{x}_i + \dots + a_{in\bar{M}}x_n + b_{i1\bar{M}}u_1 + \dots + b_{ir\bar{M}}u_r \quad (V-12)$$

Semnificația variabilei  $x_i$  se va preciza ulterior. Eroarea de adaptare se estimează global prin:

$$e_{x_i} = x_i - x_{i\bar{M}} \quad (V-13)$$

În vederea identificării adaptive a coeficienților ec.(V-11) cu ajutorul modelului (V-12) se disting două situații, după cum coeficientul  $a_{ii} < 0$  sau  $a_{ii} > 0$ . Evident, în acest sens sînt necesare informații apriorice. Cazul  $a_{ii} = 0$  (element de transfer integrator) nu se ia în considerație în mod distinct, din două motive: 1<sup>o</sup> - în practică se întîlnesc foarte rar blocuri integratoare propriu-zise care trebuie identificate, dispozitivele „integratoare” fiind de cele mai multe ori elemente de ordinul I cu constante de timp mari; 2<sup>o</sup> - un bloc integrator poate fi identificat prevăzîndu-i o reacție negativă proporțională, stabilizatoare și identificînd ansamblul (element de ordinul I) conform cazului ii-1.

(ii-1) Cazul  $a_{ii} < 0$ . În acest caz se consideră:

$$\tilde{x}_i = x_{i\bar{M}} \quad (V-14)$$

Notînd:

$$\omega_i = -a_{ii} > 0 ; \quad \omega_{i\bar{M}} = -a_{ii\bar{M}} \quad (V-15)$$

ecuația modelului devine:

$$\dot{x}_{i\bar{M}} + \omega_i x_{i\bar{M}} = \sum_{j=1, j \neq i}^n a_{ij\bar{M}} x_j + \sum_{k=1}^r b_{ik\bar{M}} u_k \quad (V-12')$$

Din rel.(V-11), (V-12') și (V-13) se obține:

$$\dot{e}_{x_i} + \omega_i e_{x_i} = \sum_{j=1, j \neq i}^n (a_{ij} - a_{ij\bar{M}}) x_j + \sum_{k=1}^r (b_{ik} - b_{ik\bar{M}}) u_k - (\omega_i - \omega_{i\bar{M}}) x_{i\bar{M}} \quad (V-16)$$

Strategia de adaptare rezultă impunînd ca:

$$V := e_{x_i}^2 + \sum_{\substack{j=1 \\ j \neq i}}^n \lambda_{a_{ij}} (a_{ij} - a_{ij\bar{M}})^2 + \sum_{k=1}^r \lambda_{b_{ik}} (b_{ik} - b_{ik\bar{M}})^2 + \lambda_{\omega_i} (\omega_i - \omega_{i\bar{M}})^2 \quad (V-17)$$

cu  $\lambda_{a_{ij}} > 0$ ,  $\lambda_{b_{ik}} > 0$ ,  $\lambda_{\omega_i} > 0$ , să fie o funcție Liapunov. Din rel.

(V-17) și rel.(V-16) rezultă succesiv:

$$\frac{dV}{dt} = 2 e_{x_i} \dot{e}_{x_i} - 2 \sum_{\substack{j=1 \\ j \neq i}}^n \lambda_{a_{ij}} \dot{a}_{ij\bar{M}} (a_{ij} - a_{ij\bar{M}}) - 2 \sum_{k=1}^r \lambda_{b_{ik}} \dot{b}_{ik\bar{M}} (b_{ik} - b_{ik\bar{M}}) - 2 \lambda_{\omega_i} \dot{\omega}_{i\bar{M}} (\omega_i - \omega_{i\bar{M}})$$

$$\begin{aligned} \frac{dV}{dt} = & -2 e_{x_i}^2 - 2 \sum_{\substack{j=1 \\ j \neq i}}^n (e_{x_i} x_j - \lambda_{a_{ij}} \dot{a}_{ij\bar{M}}) (a_{ij} - a_{ij\bar{M}}) - \\ & - 2 \sum_{k=1}^r (e_{x_i} u_k - \lambda_{b_{ik}} \dot{b}_{ik\bar{M}}) (b_{ik} - b_{ik\bar{M}}) - 2 (e_{x_i} x_{i\bar{M}} + \lambda_{\omega_i} \dot{\omega}_{i\bar{M}}) (\omega_i - \omega_{i\bar{M}}). \end{aligned} \quad (V-18)$$

Adoptînd

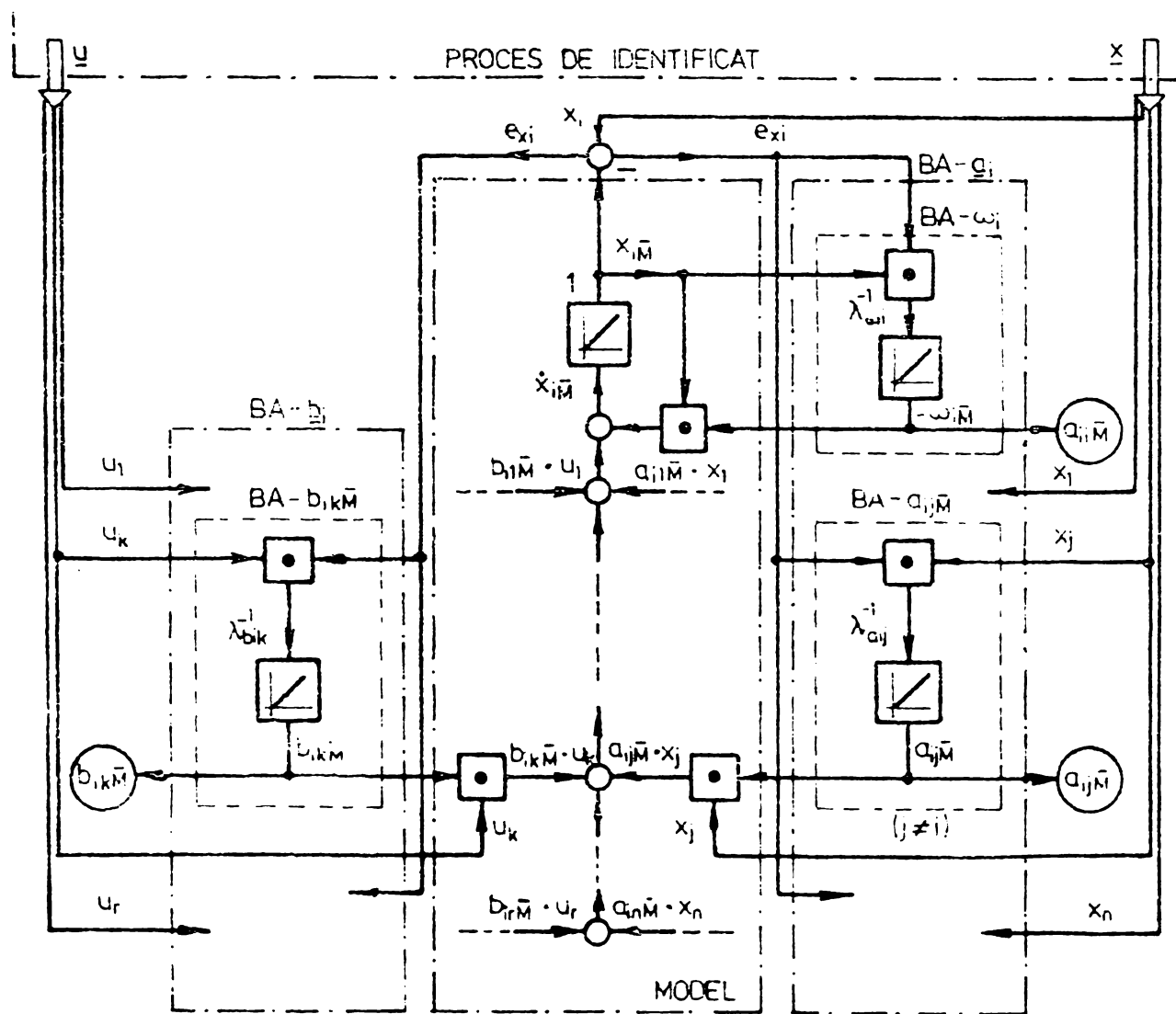
$$\dot{\omega}_{i\bar{M}} = -\frac{1}{\lambda_{\omega_i}} e_{x_i} x_{i\bar{M}} ; \quad \dot{a}_{ij\bar{M}} = \frac{1}{\lambda_{a_{ij}}} e_{x_i} x_j ; \quad \dot{b}_{ik\bar{M}} = \frac{1}{\lambda_{b_{ik}}} e_{x_i} u_k \quad (V-19)$$

parentezele din rel.(V-18) ce conțin derivatele coeficienților modelului (V-12) se anulează, rezultând:

$$\frac{dV}{dt} = -2\omega_i e_{x_i}^2 < 0. \quad (V-20)$$

Funcția definită prin rel.(V-17), fiind o sumă de patrate și fiind îndeplinită condiția (V-20), rezultă că  $V$  este o funcție Liapunov și că procesul de adaptare a modelului (V-12) este stabil.

În fig.V-2 este prezentată schema bloc corespunzătoare strategiei de adaptare găsite. Spre deosebire de cazul (i), de data aceasta modelul este inertial și furnizează blocului de adaptare mărimea  $x_{i\bar{M}}$ . Pentru a simplifica aspectul schemei blocul de adaptare s-a reprezentat și în acest caz prin două subblocuri:  $BA-\underline{a}_i$  și  $BA-\underline{b}_i$ .



**Fig. V-2.** Schemă bloc pentru identificarea adaptivă a elementelor liniei  $i$  a matricilor  $A$  și  $B$  ale sistemului (V-1) în cazul  $\omega_i = -a_{ii} > 0$ ;  $i = \overline{1, n}$ ;  $BA-x$  = bloc de adaptare a coeficientului  $x$ .

Strategia de adaptare prezentată nu este adecvată situațiilor în care  $a_{ii} > 0$ , întrucât în acest caz  $\frac{dV}{dt}$  nu mai satisface condiția (V-20).

(ii-2) Cazul  $a_{ij} > 0$ . De data aceasta se consideră:

(V-21)

ecuația modelului devenind:

$$\dot{x}_{i\bar{M}} = \sum_{j=1}^n a_{ij\bar{M}} x_j + \sum_{k=1}^r b_{ik\bar{M}} u_k \quad (V-12'')$$

Din rel. (V-11), (V-12'') și (V-13) se obține:

$$\dot{e}_{x_i} = \sum_{j=1}^n (a_{ij} - a_{ij\bar{M}}) x_j + \sum_{k=1}^r (b_{ik} - b_{ik\bar{M}}) u_k \quad (V-22)$$

Impunând ca funcție Liapunov pe

$$V = \sum_{j=1}^n \lambda_{a_{ij}} (a_{ij} - a_{ij\bar{M}})^2 + \sum_{k=1}^r \lambda_{b_{ik}} (b_{ik} - b_{ik\bar{M}})^2 \quad (V-23)$$

și procedând asemănător cazului (i) se găsește că acest lucru este posibil dacă strategia de adaptare este:

$$\dot{a}_{ij\bar{M}} = \frac{1}{\lambda_{a_{ij}}} \dot{e}_{x_i} x_i \quad ; \quad \dot{b}_{ik\bar{M}} = \frac{1}{\lambda_{b_{ik}}} \dot{e}_{x_i} u_k \quad (V-24)$$

În adevăr din rel. (V-23), (V-24) și (V-22) se obține:

$$\frac{dV}{dt} = -2 \dot{e}_{x_i}^2 < 0 \quad (V-25)$$

Din punct de vedere practic utilizarea acestui rezultat este mai anevoioasă întrucît mărimea

$$\dot{e}_{x_i} = \dot{x}_i - \dot{x}_{i\bar{M}}$$

nu se mai obține în mod simplu, ca și  $e_{y_2}$  și  $e_{x_1}$  din cazurile anterioare: mărimea  $\dot{x}_{i\bar{M}}$  se poate obține ca mărime de ieșire a modelului (V-12''), la fel ca și în celelalte două cazuri, însă  $\dot{x}_i$  este în general nemăsurabilă, pentru obținerea ei fiind necesară derivarea mărimii  $x_i$ , operație însoțită de unele neajunsuri. Este de remarcat totuși un caz particular de importanță practică: atunci cînd  $A$  este o matrice Frobenius,  $\dot{x}_i = x_{i+1}$ , ( $\forall i < n$ ), strategia de adaptare (V-24) permițînd o identificare ușoară a elementelor matricii  $B$  întrucît

$$\dot{e}_{x_i} = x_{i+1} - \dot{x}_{i\bar{M}}, (\forall i < n)$$

### Observații:

1<sup>o</sup> - Ideea utilizării unor funcții Liapunov în vederea dezvoltării unei strategii de adaptare a fost utilizată de diverși cercetători. O lucrare de referință în acest sens este [130]. Tangența dintre această lucrare și procedeul prezentat în teză îl constituie sistemul de ordinul I:

$$\dot{x} + \omega x = a u, \quad \omega > 0 \quad (V-26)$$

care reprezintă o situație particulară ce se încadrează în cazul (ii-1) Pentru sisteme de ordin  $n > 1$  lucrarea [130] propune soluții doar pentru situații particulare, prin utilizarea unei funcții Liapunov scrisă cu ajutorul matricii de stabilitate Hermite [131].

2<sup>o</sup> - Posibilitatea de utilizare practică a procedurii prezentat în această anexă este limitată de ipoteza că „toate variabilele de stare sînt măsurabile”. Din acest punct de vedere este important de observat că practic procedeul poate fi utilizat pentru identificarea elementelor matricilor sistemului (V-1) care intervin în acele expresii de forma (V-3) și (V-13) în care apar numai variabile măsurabile și/sau obținute cu observatori de stare cu parametri independenți de elementele matricilor sistemului. Identificarea SES-IL pe baza metodei propuse la pct. 3.2.3.2. se încadrează tocmai în această ultimă situație.

**ANEXA VI. STABILIREA UNUI MODEL MATEMATIC DE PRECIZIE MAI MARE ASOCIAT MĂRIMII  $\ddot{Z}_{su}$ .**

MM (4.34) al mărimii  $\ddot{Z}_{su}(t)$  este valabil numai în cazul diagramei 2 - -simplificate, a accelerației - din fig. 4.9.b. Această diagramă aproximează suficient de bine curba 1, mai apropiată de realitate, din aceeași figură. Apar însă diferențe notabile în diagramele șocului  $\ddot{Z}_{su}(t)$  reprezentate în fig. 4.9.a. Considerînd că în arcele de tranziție VPM se deplasează cu viteză constantă, deci  $x = v \cdot t$ , și notînd:

$$\Omega = 2\pi v / l_t, \quad (VI-1)$$

rel. (4.26) și (4.27) devin:

$$\frac{1}{R(t)} = \frac{1}{2\pi R_{\min}} (\Omega t - \sin \Omega t), \quad (VI-2)$$

și

$$\ddot{Z}_{su}(t) \approx a_n(t) = \frac{v^2}{R(t)} = \frac{v^2}{2\pi R_{\min}} (\Omega t - \sin \Omega t). \quad (VI-3)$$

Prin această aproximare în expresia lui  $\ddot{Z}_{su}(t)$  apar două funcții de bază [86]:  $f_1(t) = t \circ \frac{1}{s^2}$  și  $f_2(t) = \sin \Omega t \circ \frac{\Omega}{s^2 + \Omega^2}$ , produsul numitorilor imaginilor Laplace ale acestora conducînd la MM-II:

$$\ddot{Z}_{su}^{(4)}(t) + \Omega^2 \ddot{Z}_{su}^{(2)}(t) = \omega^*(t), \quad (VI-4)$$

respectiv la MM-III:

$$\begin{bmatrix} \ddot{Z}_{su} \\ Z'_{su} \\ Z''_{su} \\ Z'''_{su} \end{bmatrix} = \begin{bmatrix} 0 & 1 & 0 & 0 \\ 0 & 0 & 1 & 0 \\ 0 & 0 & 0 & 1 \\ 0 & 0 & -\Omega^2 & 0 \end{bmatrix} \begin{bmatrix} \ddot{Z}_{su} \\ Z'_{su} \\ Z''_{su} \\ Z'''_{su} \end{bmatrix} + \begin{bmatrix} f_1(\delta_1, \delta_2) \\ f_2(\delta_1, \delta_2) \\ f_3(\delta_1, \delta_2) \\ f_4(\delta_1, \delta_2) \end{bmatrix} \quad (VI-5)$$

Funcțiile  $f_i(\delta_1, \delta_2)$ ,  $i=1,4$  conferă MM-III (VI-5) posibilitatea modificării aleatoare a coeficienților funcțiilor de bază din expresia (VI-3), reprezentînd patru funcții neliniare de variabilele independente  $\delta_1(\cdot)$  și  $\delta_2(\cdot)$ , care sînt două impulsuri Dirac ce apar aleator în timp și cu amplitudini aleatoare. Dispunîndu-se de expresia (VI-3) a lui  $\ddot{Z}_{su}(t)$

precizarea acestor funcții nu este necesară.  $\omega^*(t)$  simbolizează o serie complet necunoscută de aceleași impulsuri Dirac. Prezența ei în ecuația (VI-4), ca și a funcțiilor  $f_i(\delta_1, \delta_2)$  în ec. (VI-5), are un caracter formal.

Rezultatul obținut fiind valabil în măsura în care aproximarea din rel. (VI-3) este valabilă, este necesar să se arate că, plecând de la expresia (VI-3) a lui  $\ddot{z}_{su}(t)$ , pentru raza de curbură a traseului nominal al căii rezultă, prin aproximare, expresia (VI-2). Demonstrația este imediată. Astfel, din condiția ca  $\ddot{z}_{su}(t)$  să fie o funcție continuă rezultă:

$$\dot{z}_{su}(t) = \frac{v^2}{2\pi R_{\min}} \left( \frac{\Omega}{2} t^2 + \frac{1}{\Omega} \cos \Omega t \right).$$

Dezvoltind relația de calcul a razei de curbură [38] se obține:

$$\frac{1}{R(t)} = \frac{\frac{d^2 z_{su}}{dx^2}}{\left[ 1 + \left( \frac{dz_{su}}{dx} \right)^2 \right]^{3/2}} = \frac{\frac{1}{v^2} \ddot{z}_{su}(t)}{\left[ 1 + \frac{1}{v^2} \dot{z}_{su}(t)^2 \right]^{3/2}} = \frac{\frac{1}{2\pi R_{\min}} (\Omega t - \sin \Omega t)}{1 + \left[ \frac{v}{2\pi R_{\min}} \left( \frac{\Omega}{2} t^2 + \frac{1}{\Omega} \cos \Omega t \right) \right]^2} \quad (VI-6)$$

Considerând  $v=500 \text{ km/h} = 138,89 \text{ m/sec}$ ,  $l_t = 540 \text{ m}$ ,  $R_{\min} = 20 \text{ km}$  (v. p. 4.2.3.2) și  $t = l_t/v = 3,888 \text{ sec}$ , cantitatea din paranteza dreaptă din rel. (VI-6) obține valoarea maximă de  $1,82 \cdot 10^{-4} \ll 1$ , rezultând că expresia (VI-2) constituie o foarte bună aproximație a expresiei exacte (VI-6).

Ordinalul  $n = 4$  al MM (VI-5) și dependența acestuia în raport cu  $\Omega$  reprezintă principalele dezavantaje ale acestui model în comparație cu MM de ec. (4.32) și (4.35). El este valabil numai pentru un anumit  $\Omega$ , adică pentru  $v/l_t = \text{const.}$

## ANEXA VII. ANALIZA SENSIBILITĂȚII SISTEMELOR LINIARE CONTINUE, INVARIANTE ÎN TIMP, CU AJUTORUL MODELELOR DE SENSIBILITATE.

Se consideră sistemul liniar invariant în timp:

$$\begin{aligned} \dot{\underline{x}}(t, \underline{\alpha}) &= \underline{A}(\underline{\alpha}) \underline{x}(t, \underline{\alpha}) + \underline{B}(\underline{\alpha}) \underline{u}(t) \\ \underline{y}(t, \underline{\alpha}) &= \underline{C}(\underline{\alpha}) \underline{x}(t, \underline{\alpha}) + \underline{D}(\underline{\alpha}) \underline{u}(t) \end{aligned} \quad (VII-1)$$

cu  $\underline{x}$ ,  $(n,1)$ ,  $\underline{y}$ ,  $(q,1)$ ,  $\underline{u}$ ,  $(p,1)$  și cu  $\underline{A}$ ,  $\underline{B}$ ,  $\underline{C}$ ,  $\underline{D}$  matrici de dimensiuni adecvate avînd elementele componente funcții derivabile în raport cu vectorul  $\underline{\alpha} = [\alpha_j]$ ,  $(s,1)$ , vector ce cuprinde parametrii sistemului.

Fie  $\underline{x}(t) = \underline{x}(t, \underline{\alpha}_0)$  traiectoriile de stare corespunzătoare unei stări inițiale  $\underline{x}_0 = \underline{x}(t_0)$  și unei funcții de intrare  $\underline{u}(t)$ ,  $t > t_0$  pentru cazul cînd Parametrii sistemului iau valorile idealizate  $\underline{\alpha}_0 = [\alpha_{j0}]$ . În cazul real valorile parametrilor  $\underline{\alpha}$  sînt diferite de cele idealizate, astfel

că traiectoriile de stare reale  $\underline{x}^*(t) = \underline{x}(t, \underline{\alpha})$  corespunzătoare aceluiași condiții inițiale și aceleiași funcții de intrare, vor diferi de traiectoriile idealizate  $\underline{x}(t)$ . Aceleași considerente sînt valabile și cu privire la traiectoriile reale și idealizate -  $\underline{y}^*(t)$ , respectiv  $\underline{y}(t)$  - ale variabilei de ieșire.

Măsura în care traiectoriile  $\underline{x}^*(t)$  și  $\underline{y}^*(t)$  pot diferi față de traiectoriile  $\underline{x}(t)$  și  $\underline{y}(t)$  ca urmare a modificării parametrului  $\underline{\alpha}$  poate fi determinată cu aproximație pe baza analizei sensibilității sistemelor dinamice [58,32]. Astfel, considerînd că

$$\underline{\alpha} = \underline{\alpha}_0 + \underline{\Delta\alpha}, \quad (\text{VII-2})$$

în primă aproximație rezultă

$$\underline{x}^*(t) = \underline{x}(t) + \underline{\lambda}(t, \underline{\alpha}_0) \underline{\Delta\alpha}. \quad (\text{VII-3})$$

În această relație

$$\underline{\lambda}(t, \underline{\alpha}_0) = \left[ \underline{\lambda}_1(t, \underline{\alpha}_0) \vdots \dots \vdots \underline{\lambda}_j(t, \underline{\alpha}_0) \vdots \dots \vdots \underline{\lambda}_r(t, \underline{\alpha}_0) \right] \quad (\text{VII-4})$$

este matricea sensibilităților traiectoriilor de stare ale sistemului (VII-1) în raport cu  $\underline{\alpha}$ . O coloană oarecare  $\underline{\lambda}_j(t, \underline{\alpha}_0)$ ,  $j = \overline{1, r}$  a acestei matrici conține funcțiile de sensibilitate ale variabilelor de stare ale sistemului (VII-1) în raport cu parametrul  $\alpha_j$ , aceste funcții rezultînd ca soluții ale sistemului (VII-5) numit „modelul de sensibilitate al sistemului (VII-1) în raport cu parametrul  $\alpha_j$ ”:

$$\dot{\underline{\lambda}}_j(t, \underline{\alpha}_0) = \underline{A}(\underline{\alpha}_0) \underline{\lambda}_j(t, \underline{\alpha}_0) + \left. \frac{\partial \underline{A}(\underline{\alpha})}{\partial \alpha_j} \right|_{\underline{\alpha}_0} \underline{x}(t) + \left. \frac{\partial \underline{B}(\underline{\alpha})}{\partial \alpha_j} \right|_{\underline{\alpha}_0} \underline{u}(t); \quad \underline{\lambda}_j(t_0, \underline{\alpha}_0) = \underline{0} \quad (\text{VII-5})$$

Pentru variabilele de ieșire este valabilă relația:

$$\underline{y}^*(t) = \underline{y}(t) + \underline{G}(t, \underline{\alpha}_0) \underline{\Delta\alpha}$$

în care

$$\underline{G}(t, \underline{\alpha}_0) = \left[ \underline{G}_1(t, \underline{\alpha}_0) \vdots \dots \vdots \underline{G}_j(t, \underline{\alpha}_0) \vdots \dots \vdots \underline{G}_r(t, \underline{\alpha}_0) \right] \quad (\text{VII-6})$$

este matricea sensibilităților variabilelor de ieșire ale sistemului (VII-1). Vectorul  $\underline{G}_j(t, \underline{\alpha}_0)$  are expresia:

$$\underline{G}_j(t, \underline{\alpha}_0) = \underline{C}(\underline{\alpha}_0) \underline{\lambda}_j(t, \underline{\alpha}_0) + \left. \frac{\partial \underline{C}(\underline{\alpha})}{\partial \alpha_j} \right|_{\underline{\alpha}_0} \underline{x}(t) + \left. \frac{\partial \underline{D}(\underline{\alpha})}{\partial \alpha_j} \right|_{\underline{\alpha}_0} \underline{u}(t). \quad (\text{VII-7})$$

Se observă că pentru  $\underline{\alpha} = \underline{\alpha}_0$  modelul de sensibilitate (VII-5) are expresia matricii sistemului identică cu a sistemului original (VII-1), deci și același polinom caracteristic. Deosebirea față de sistemul original se referă la variabilele de intrare și la condițiile inițiale. Astfel, modelul de sensibilitate are condiții inițiale nule și ca variabile de intrare atât variabilele de intrare ale sistemului original cît și variabilele de stare ale acestuia corespunzătoare lui  $\underline{\alpha} = \underline{\alpha}_0$ .

Pentru a simplifica integrarea modelelor de sensibilitate se procedează la integrarea simultană a sistemului original și a celor  $r$  modele de sensibilitate, prin integrarea așa-numitului „sistem general”, adică a sistemului (VII-8) care înglobează sistemul original și cele  $r$  modele de sensibilitate.



$$\begin{bmatrix} \underline{x}(t, \underline{\alpha}_0) \\ \lambda_1(t, \underline{\alpha}_0) \\ \lambda_2(t, \underline{\alpha}_0) \\ \vdots \\ \lambda_r(t, \underline{\alpha}_0) \end{bmatrix} = \begin{bmatrix} \frac{\partial \underline{A}(\underline{\alpha})}{\partial \alpha_1} & \underline{0} & \underline{0} & \dots & \underline{0} \\ \underline{A}(\underline{\alpha}) & \underline{0} & \underline{0} & \dots & \underline{0} \\ \frac{\partial \underline{A}(\underline{\alpha})}{\partial \alpha_2} & \underline{0} & \underline{A}(\underline{\alpha}) & \dots & \underline{0} \\ \vdots & \vdots & \vdots & \ddots & \vdots \\ \frac{\partial \underline{A}(\underline{\alpha})}{\partial \alpha_r} & \underline{0} & \underline{0} & \dots & \underline{A}(\underline{\alpha}) \end{bmatrix}_{\underline{\alpha}_0} \begin{bmatrix} \underline{x}(t, \underline{\alpha}_0) \\ \lambda_1(t, \underline{\alpha}_0) \\ \lambda_2(t, \underline{\alpha}_0) \\ \vdots \\ \lambda_r(t, \underline{\alpha}_0) \end{bmatrix} + \begin{bmatrix} \frac{\partial \underline{B}(\underline{\alpha})}{\partial \alpha_1} \\ \frac{\partial \underline{B}(\underline{\alpha})}{\partial \alpha_2} \\ \vdots \\ \frac{\partial \underline{B}(\underline{\alpha})}{\partial \alpha_r} \end{bmatrix}_{\underline{\alpha}_0} \underline{u}(t)$$

(VII-8.1)

$$\begin{bmatrix} \underline{y}(t, \underline{\alpha}_0) \\ \sigma_1(t, \underline{\alpha}_0) \\ \sigma_2(t, \underline{\alpha}_0) \\ \vdots \\ \sigma_r(t, \underline{\alpha}_0) \end{bmatrix} = \begin{bmatrix} \frac{\partial \underline{C}(\underline{\alpha})}{\partial \alpha_1} & \underline{0} & \underline{0} & \dots & \underline{0} \\ \underline{C}(\underline{\alpha}) & \underline{0} & \underline{0} & \dots & \underline{0} \\ \frac{\partial \underline{C}(\underline{\alpha})}{\partial \alpha_2} & \underline{0} & \underline{C}(\underline{\alpha}) & \dots & \underline{0} \\ \vdots & \vdots & \vdots & \ddots & \vdots \\ \frac{\partial \underline{C}(\underline{\alpha})}{\partial \alpha_r} & \underline{0} & \underline{0} & \dots & \underline{C}(\underline{\alpha}) \end{bmatrix}_{\underline{\alpha}_0} \begin{bmatrix} \underline{x}(t, \underline{\alpha}_0) \\ \lambda_1(t, \underline{\alpha}_0) \\ \lambda_2(t, \underline{\alpha}_0) \\ \vdots \\ \lambda_r(t, \underline{\alpha}_0) \end{bmatrix} + \begin{bmatrix} \frac{\partial \underline{D}(\underline{\alpha})}{\partial \alpha_1} \\ \frac{\partial \underline{D}(\underline{\alpha})}{\partial \alpha_2} \\ \vdots \\ \frac{\partial \underline{D}(\underline{\alpha})}{\partial \alpha_r} \end{bmatrix}_{\underline{\alpha}_0}$$

(VII-8.2)

Sistemul general se integrează pentru  $\underline{u}(t)$ ,  $t > t_0$  considerat și pentru condițiile inițiale:

$$\begin{bmatrix} \underline{x}(t_0, \underline{\alpha}_0) \\ \lambda_1(t_0, \underline{\alpha}_0) \\ \vdots \\ \lambda_r(t_0, \underline{\alpha}_0) \end{bmatrix} = \begin{bmatrix} \underline{x}_0 \\ \underline{0} \\ \vdots \\ \underline{0} \end{bmatrix}$$

(VII-9)

**ANEXA VIII. PROIECTAREA ALGORITMICA A UNOR BLOCURI DE REGLARE ADAPTIVA PENTRU SLEM-B.**

Se consideră SLEM-B din fig. 5.1 cu compensatorul de stabilizare  $\underline{K}$ , de expresie (5.2), calculat conform metodologiei prezentate la pct. 5.4. Compensatorul astfel obținut asigură pentru SLEM-B: (i) o comportare optimă în regimuri libere în acord cu indicele de calitate (5.83) sau (5.82), de forma:

$$I(\underline{U}_a) = \frac{1}{2} \int_0^{\infty} (\underline{x}_1^T \underline{Q} \underline{x}_1 + \underline{u}_a^2) dt ; \tag{VIII-1}$$

(ii) o comportare optimă în regimuri forțate bine determinate. Elementele matricii

$$\underline{Q} = \text{diag} [q_p^2, 0, q_a^2] \text{ sau } \underline{Q} = \text{diag} [q_p^2, q_v^2, q_a^2]. \tag{VIII-2}$$

se obțin în funcție de parametrii compensatorului cu rel. (5.96) și

și (5.104) ,  $q_v$  adoptându-se.

Se consideră în continuare vectorul

$$\underline{\beta} = [\beta_i] = [Z_{\delta_0} \quad M_0 \quad R_0 \quad F_{e0}]^T \quad (\text{VIII-3})$$

care conține date nominale independente ale SLEM-B. Prin ipoteză se admite că numai unul din elementele lui  $\underline{\beta}$  se poate modifica. Fie  $\beta_i$  parametrul considerat și  $[\beta_i \text{ min}, \beta_i \text{ max}]$  domeniul în care el poate lua valori. Se consideră șirul de valori

$$\beta_{i1} = \beta_i \text{ min} < \beta_{i2} < \dots < \beta_{i,k-1} < \beta_{ik} = \beta_i \text{ max} , \quad (\text{VIII-4})$$

ale lui  $\beta_i$  și șirurile de valori

$$q_{p1}, q_{p2}, \dots, q_{pk} \quad \text{și} \quad q_{a1}, q_{a2}, \dots, q_{ak} \quad (\text{VIII-5})$$

ale lui  $q_p$  și  $q_a$  rezultate în funcție de compensatoarele  $\underline{K}(\beta_{ij})$ ,  $j=\overline{1,k}$ , calculate pe baza metodologiei menționate ( $q_{pj}$  și  $q_{aj}$  corespund lui  $\beta_{ij}$ ). Fie

$$q_p = f_1(\beta_i) , \quad q_a = f_2(\beta_i) , \quad \beta_i \in [\beta_i \text{ min}, \beta_i \text{ max}] , \quad (\text{VIII-6})$$

relațiile de legătură între parametrul  $\beta_i$  și elementele matricii  $\underline{Q}$  estimate pe baza șirurilor (VIII-4) și (VIII-5) printr-un procedeu oarecare de aproximare (spre exemplu prin aproximare polinomială).

Anterior compensatorul  $\underline{K}$  a trebuit să fie recalculat pentru fiecare  $\beta_{ij}$ ,  $j=\overline{1,k}$  întrucât coeficienții MM-ISI (5.3) depind de  $\beta_i$ , adică:

$$\underline{X}_1 = \underline{A}(\beta_i) \underline{X}_1 + \underline{B}_c(\beta_i) \underline{U}_c \quad (\text{VIII-7})$$

Matricile  $\underline{A}(\beta_i)$  și  $\underline{B}_c(\beta_i)$  fiind funcții continuu diferentiabile, compensatorul  $\underline{K}(\beta_i)$  se poate calcula în continuare (pentru  $\forall \beta_i$ ) folosind metoda propusă în [80]. Conform acesteia, în cazul indicelui (VIII-1), rezultă:

$$\underline{K}^T(\beta_i) = - \underline{B}_c^T(\beta_i) \underline{P}(\beta_i) , \quad (\text{VIII-8})$$

$\underline{P}(\beta_i)$  fiind soluția ecuației Riccati (VIII-9) avînd pe  $\beta_i$  ca parametru independent, integrată în condițiile inițiale  $\underline{P}(\beta_i \text{ min})$ .

$$\frac{d\underline{P}}{d\beta_i} (\underline{A} - \underline{S} \underline{P}) + (\underline{A} - \underline{S} \underline{P})^T \frac{d\underline{P}}{d\beta_i} = - \underline{P} \underline{\eta} - \underline{\eta}^T \underline{P} + \underline{P} \underline{\zeta} \underline{P} - \underline{G} . \quad (\text{VIII-9})$$

În aceste ecuații:  $\underline{P}$  are aspectul (5.89),  $\underline{A}(\beta_i)$  și  $\underline{B}_c(\beta_i)$  sînt matricile de coeficienți din MM (5.3), iar celelalte matrici se calculează cu relațiile (argumentul nu a mai fost notat):

$$\underline{S} = \underline{B}_c \underline{B}_c^T ; \quad \underline{\eta} = \frac{d\underline{A}}{d\beta_i} ; \quad \underline{\zeta} = \frac{d\underline{S}}{d\beta_i} ; \quad \underline{G} = \frac{d\underline{Q}}{d\beta_i} , \quad (\text{VIII-10})$$

În care  $\underline{Q}$  rezultă înlocuind (VIII-6) în (VIII-2). Matricea  $\underline{P}(\beta_i \text{ min})$  este practic cunoscută, avînd în vedere că pentru stabilirea rel. (VIII-6) a trebuit calculat compensatorul  $\underline{K}(\beta_{i1})$ ,  $\beta_{i1} = \beta_i \text{ min}$ .

Principial reglarea adaptivă a SLEM-B în funcție de parametrul  $\beta_i$  corespunde schemei din fig. VIII-1.

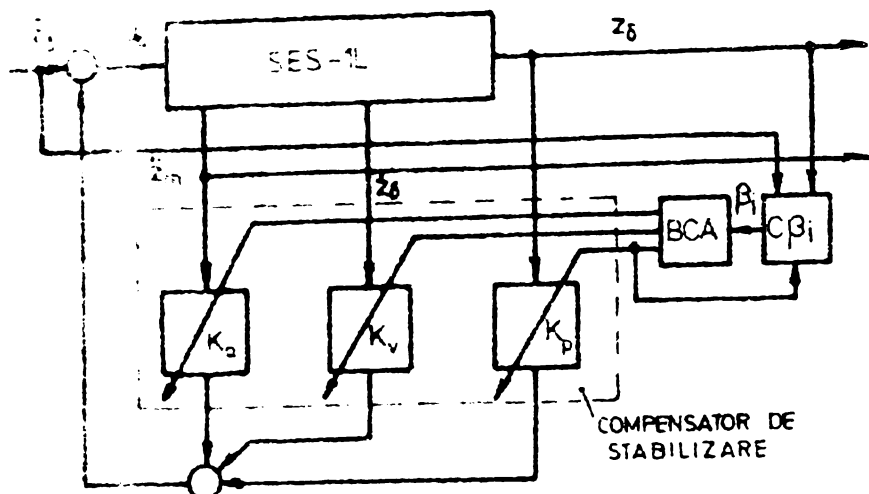


Fig. VIII-1. Schemă de reglare adaptivă a SLEM-B în funcție de parametrul  $\beta_i$  (v. rel. (VIII-3)).

Blocul  $C\beta_i$  calculează valoarea parametrului  $\beta_i$  pe baza dependenței

$$\beta_i = f(z_\delta, \tilde{z}_\delta, K_p) \quad (\text{VIII-11})$$

rezultată din rel. (5.75) și (5.76), iar blocul de comandă-adaptare BCA modifică valorile parametrilor compensatorului  $K$  la valorile (VIII-8).

Cu toată prezentarea succintă a problemei reglării adaptive a SLEM-B

este ușor de întrevăzut că rezolvarea ei implică dificultăți apreciable de ordin analitic și ordin tehnic.

#### ANEXA IX. PROGRAMUL DE CALCUL AL REGIMURILOR TRANZITORII ALE SLEM-1L.

Pentru studiul regimurilor tranzitorii ale SLEM-1L a fost conceput programul SLEM1GL scris în limbaj FORTRAN. El este destinat calculului a 14 tipuri de regimuri tranzitorii, notate cu R1 + R14, pentru cinci tipuri de SLEM-1L, notate cu S1 + S5.

Regimurile tranzitorii considerate sînt:

- R1 - regim liber și R2 + R14 = regimuri forțate determinate de:
- R2 - modificarea întrefierului prescris  $\tilde{z}_\delta$  în treaptă ideală de amplitudine dată;
- R3 - modificarea continuă a întrefierului prescris pînă la o valoare dată, conform rel. (4.4);
- R4 - modificarea forței exterioare  $F_e$  în treaptă ideală de amplitudine dată (fig. 4.10.a);
- R5 - modificarea forței exterioare  $F_e$  în treaptă reală de amplitudine și de durată de creștere date (fig. 4.10.b);
- R6 - modificarea lui  $Z_{su}$  la parcurgerea unui arc de tranziție de lungime dată, cu viteză constantă dată, profilul arcului corespunzînd variației lui  $Z_{su}$  aferente modificării lui  $\tilde{z}_{su}(t)$  după curba 1 din fig. 4.9.b;
- R7 - modificarea lui  $Z_{su}$  la parcurgerea unui arc de tranziție de lungime dată, cu viteză constantă dată, profilul arcului corespunzînd variației lui  $Z_{su}$  aferente modificării lui  $\tilde{z}_{su}(t)$  după curba 2 din fig. 4.9.b;
- R8 - modificarea lui  $Z_{sp}$  la parcurgerea, cu viteză constantă dată, a

unei căi suspendate pe stâlpi amplasați echidistant în lungul căii, profilul acesteia fiind descris de ec.(4.23), iar amplitudinea oscilațiilor  $Z_{sp} \text{ l max}$  fiind dată;

- R9 - modificarea lui  $F_e$  ca la R4 + modificarea lui  $Z_{su}$  ca la R6 (forța exterioară acționează în sens pozitiv din momentul intrării SLEM-1L pe o porțiune coboritoare);
- R10 - modificarea lui  $F_e$  ca la R4 - modificarea lui  $Z_{su}$  ca la R6 (forța exterioară acționează în sens pozitiv din momentul intrării SLEM-1L pe o porțiune de urcuș);
- R11 - modificarea lui  $Z_{sp}$  ca la R8 + modificarea lui  $F_e$  ca la R4 (forța exterioară acționează asupra SLEM-1L, în sensul creșterii întrefierului, din momentul trecerii sistemului prin dreptul unui stâlp de susținere);
- R12 - modificarea lui  $Z_{sp}$  ca la R8 - modificarea lui  $F_e$  ca la R4 (spre deosebire de R11 forța exterioară acționează în sensul reducerii întrefierului);
- R13 - modificarea lui  $F_e$  ca la R4 + modificarea lui  $Z_{su}$  ca la R6 + modificarea lui  $Z_{sp}$  ca la R8 (forța exterioară acționează asupra SLEM-1L în sensul creșterii întrefierului, din momentul trecerii sistemului prin dreptul unui stâlp de susținere care se găsește la începutul unui tronson de coborîre);
- R14 - modificarea lui  $F_e$  ca la R4 - modificarea lui  $Z_{su}$  ca la R6 + modificarea lui  $Z_{sp}$  ca la R8 (spre deosebire de R13 stâlpul de susținere se găsește la începutul unui tronson de urcare) +)

Tipurile de sisteme pentru care se poate studia fiecare dintre aceste regimuri sînt:

- S1 - SLEM-B cu ec.(5.5);
- S2 - SLEM-1L cu OFLS-varianta MBB cu ec.(5.143);
- S3 - SLEM-1L cu OFLS-varianta II cu ec.(5.156);
- S4 - SLEM-1L cu OFLS-varianta II și cu compensarea forței exterioare cu ec.(5.196);
- S5 - SLEM-1L cu OFLS-varianta MBB și cu compensarea forței exterioare avînd ec.(5.209).

Programul este conceput astfel încît oferă posibilități de extindere, fără complicații deosebite, și pentru studiul altor categorii de sisteme.

Optional, programul listează pas cu pas variația în timp a principalelor mărimi caracteristice ale sistemului studiat ( $k = 0$ ), reprezintă grafic curbele de variație în timp ale acestor mărimi după ce ele au fost

---

+ ) Interpretarea regimurilor s-a precizat între paranteze numai pentru cazurile mai complicate, R9 + R14.

calculate și memorate ( $k = 1$ ) sau efectuează succesiv ambele operații:  
listare + reprezentare grafică ( $k = 2$ ).

Datele de intrare ale programului sînt:

- numerele de ordine ale cazului studiat (identificator de catalogare), ale regimului analizat și sistemului considerat precum și valoarea lui  $k$ ;
- parametrii SES-1L și valorile mărimilor caracteristice ale acestui sistem corespunzător punctului de funcționare staționară  $\Lambda_0$  considerat;
- parametrii compensatorului de stabilizare  $K$ ;
- parametrii curbelor de variație ale mărimilor perturbatoare: valoarea întrefierului prescris, amplitudinea treptei lui  $F_e$ , durata frontului ei (fig. 4.10.b), raza de curbură a traseului, viteza de parcurgere a acestuia, distanța dintre stîlpii de susținere a căii și săgeata maximă a acesteia (fig. 4.7);
- parametrii necesari pentru calculul regimului tranzitoriu pe un interval de timp folosind o metodă numerică de tip Runge-Kutta-Gill: momentul inițial și momentul final ale intervalului în care se produce regimul tranzitoriu, pasul de calcul maxim pe interval, eroarea maxim admisibilă pe un pas de calcul, valorile inițiale ale variabilelor dependente, ponderile de eroare aferente variabilelor și numărul intervalelor de integrare succesive (deci durata de studiu a regimului tranzitoriu);
- parametrii OFLS (în cazul sistemelor S2, S3, S4 și S5) și parametrii blocurilor de compensare a perturbațiilor (în cazurile S4 și S5).

Programul SLEMIGL este segmentat conținînd următoarele proceduri:

- programul principal = segmentul SLEMIGL;
- subprogramul RKGS (Runge-Kutta-Gill-Subroutine) = segmentul F; el efectuează integrarea unui sistem de ecuații diferențiale de ordinul I; ecuațiile sînt conținute în subprogramul FCT1, iar listarea rezultatelor integrării se face prin subprogramul OUTP1 [40];
- subprogramul FCT1 = segmentul FCT1; el calculează valorile derivatelor care apar în ecuațiile de stare ale diverselor sisteme S1 + S5 în cazul regimurilor R1 + R14;

subprogramul OUTP1 = segmentul OUTP1; acesta listează în cazurile  $k = 0$  și  $k = 2$  diverse variabile ce aparțin SLEM-1L studiat precum și variabile ce aparțin SES-1L aferent; pentru unele variabile se dau valorile absolute, iar pentru altele doar creșterile în raport cu valorile staționare corespunzătoare punctului  $\Lambda_0$ ; valorile menționate sînt listate la momentul  $t = 0$  și la momentul final al fiecărui pas de integrare; totodată valorile mărimilor ce urmează să fie reprezentate grafic se memorează în tabloul AG;

- subprogramul REPGRAF = segmentul REP, reprezintă o procedură care are scopul de a grupa datele din tabloul AG, încărcat cu valorile tuturor mărimilor ce trebuie reprezentate grafic, în subgrupe mai mici, pregătind toate datele necesare reprezentărilor grafice în două variante: a) reprezentări la scară diferită a tuturor variabilelor dintr-o subgrupă, astfel încît graficul fiecărei variabile <sup>să</sup> se extindă pe întregul segment de ordonată disponibil; b) reprezentări la aceeași scară a tuturor variabilelor dintr-o subgrupă astfel încît ansamblul graficelor să ocupe segmentul de ordonată disponibil (101 puncte); subprogramul REPGRAF pregătește aceste două variante în parte și în mod adecvat pentru fiecare regim R1 - R14 și fiecare sistem S1 + S5 ;

- subprogramul GRAPH = segmentul GRAPH (scris în limbaj ASSIRIS); el reprezintă grafic, utilizînd caracterele alfanumerice „A, B, ..., J” și „ \* ” (ultimul în cazul cînd punctele a două grafice se suprapun), un număr de pînă la 10 variabile, în lungul unei abscise cu un număr finit de puncte echidistante, în una din cele două variante menționate anterior [109].

Pentru transmiterea de date de la o procedură la cealaltă se folosesc atât listele de parametrii formali ce însoțesc denumirile procedurilor cît și patru blocuri COMMON ce reunesc datele comune unor grupuri alcătuite cu procedurile mai sus prezentate.

## BIBLIOGRAFIE

1. ALEXANDROVA, R. *Magnetolet*, Sputnik, 4, 148-150, 1980.
2. APPUN, P., RITTER, G.R. Calculation and optimization of the magnets for an electromagnetic levitation systems, IEEE Trans. MAG-11, 1, 39-44, 1975.
3. APPUN, P., von THUN, H.-J. Ein elektromagnetisches Trag- und Führungssystem für schienengebundene Hochgeschwindigkeitsfahrzeuge, Elektrische Bahnen, 46, 4, 86-94, 1975.
4. ATHANS, M., FALB, P.L. Optimal control. An introduction to the theory and its applications, New York, Mc.Graw-Hill, 1966.
5. BABUTIA, I., BUDISAN, N. Teoria sistemelor automate, vol.2, Timișoara, IPTVT, 1972.
6. BAIBAKOV, S.N. s.a. Structure of magnetic levitation and motion systems for cargo and passenger ground vehicles, Moskova, World electr. Congr., Section 7, Paper 08, 21-25 June, 1977.
7. BAIER, W. Kommt die Magnetschwebbahn zu spät ? ETZ-B, 26, 3, 60-61, 1974.
8. BOHN, G., LANGERHOLC, J. Theoretical calculations of the electrodynamic properties of ferromagnetic levitation systems, J. Appl. Phys., 48, 7, 3093-3099, 1977.
9. BOHN, G., ROMSTEDT, P., ROTHMAYER, W., SCHWÄRZLER, P. A contribution to magnetic technology, Proc. 4th ICEC, Eindhoven, 202-208, 1972.
10. BOLDEA, I. Calculul electromagneților de ghidaj la vehiculul experimental MAGNIBUS 01, Timișoara, IPTVT, 1978.
11. BOLDEA, I. Vehicule pe pernă magnetică, București, Ed. Academiei RSR, 1981.
12. BOLDEA, I., NASAR, S.A. Field windig drag and normal forces of linear synchronous homopolar motors, EME int. quat., 2, 2, 253-268, 1978.
13. BOPP, K. Probleme des spurgebundenen Landverkehrs der Zukunft mit höchsten Geschwindigkeiten aus der Sicht des Elektrotechnikers, Elektrische Bahnen, 45, 10, 1974.
14. BOPP, K. s.a. Entwicklung auf dem Gebiet der unkonventionellen Trag-, Antriebs- und Führungskomponenten in der BRD, Int. Congr. Elektrische Bahnen, 7.2.01-7.2.18, 1971.
15. BORACI, R., DRAGOMIR, T. Incercarea pe stand a unui sistem cu sustentație electromagnetică cu un singur grad de libertate, Sesiune de comunicări tehnico-științifice Timișoara, IPTVT, oct. 1979.
16. BORCHERTS, R.H., DANNIS, F.W., DAVIS, L.C., REITZ, J.R. Preliminary design studies of magnetic suspension for high speed ground transportation, Rep. No. FRA-RT-73-27A, SUA, NTIS PB 230489, 1973.
17. BORCHERTS, R.H., WILKIE, D.F., DAVIS, L.C., REITZ, J.R. Preliminary design studies of magnetic suspension for high speed ground transportation, vol.II (Experimental ride simulation studies), Rep. No. FRA-RT-73-27A, Final rep. (Task III), 1972-1973.
18. BROGAN, W.L. Modern control theory, New York, Quantum Publ. Inc., 1974
19. BRZEZINA, W., LANGERHOLC, J. Lift and side forces on rectangular pole pieces in two dimensions, J. Appl. Phys., 45, 1869-1872, 1974.

20. BRZEZINA, W., LANGERHOLC, J. Calculation of the pole dimension corrections for the treatment of stray flux in electromagnetic suspension magnets, ETZ-A, 95, 524-525, 1974.
21. BUDISAN, N., DRAGOMIR, T., BABUTIA, I., DRAGOMIR, E. Determinarea modelului matematic al proceselor liniare cu ajutorul calculatorului numeric, Bul. științific și tehnic al I.P.Timișoara, 18, 1, 71-81, 1973.
22. BUDISAN, N., DRAGOMIR, T., BABUTIA, I., DRAGOMIR, E. Über einige Identifizierungsmethoden der Schwingungsprozesse und über Vergleichsbetrachtungen dieser Identifizierungsmethoden, Wiss. Zeitschrift der T.H. Otto von Guericke Magdeburg, 18, 4, 409-411, 1974.
23. BUZDUGAN, GH., MIHAILESCU, E., RADES, M. Măsurarea vibrațiilor, București, Ed. Academiei RSR, 1979.
24. CALIN, S. Regulate automate, București, Ed. Did. și Ped., 1976.
25. CALIN, S. ș.a. Optimizări în automatizări industriale, Ed. Tehnică, București, 1979.
26. CHELU, P., DRAGOMIR, T. Procedure of deterministic identification of a class of vari-linear systems, Bul. științific și tehnic al IPTVT, 23, 1, 146-148, 1978.
27. CIORTUZ, D. Optimizarea sistemului automat de reglare al unui stand cu susținere magnetică, Timișoara, Proiect de diplomă IPTVT (cond. T.L. Dragomir), 1978.
28. COFFEY, H.T., CHILTON, F., HOPPIE, L.C. The feasibility of magnetically levitating high speed ground vehicles, Rep. No. FRA-RT-72-39, SUA, NTIS 210505, 1972.
29. CORFMAT, J.P., MORSE, A.S. Decentralized control of linear multivariable systems, SUA, Massachusetts, 6th IFAC Congr. Boston/Cambridge, Paper 43.3, August 1975.
30. CORFMAT, J.P., MORSE, A.S. Decentralized control of linear multivariable systems, Automatica, 12, 477-495, 1976.
31. CRÄMER, W., ROCHE, CH. Einsatz erweiterter Zustandsbeobachter zur Verbesserung des Fahrverhaltens von Magnetfahrzeugen, Frankfurt/M, VDI/VDE-Gesellschaft für Mess- und Regelungstechnik, Aussprachetag „Filterverfahren und Beobachtersysteme“, Februar, 1975.
32. CRUZ, J.B. Feedback systems, New York, Mc.Graw-Hill, 1972.
33. CSÁKI, F. Automatika, Budapest, T.K., 1972.
34. CSÁKI, F. Szabályozások dinamikája, Budapest, A.K., 1974.
35. CZEGLÉDI, I., MARGITTAI, G., MIKLOS, A. Proiectarea sistemului de reglare al vehiculului experimental cu levitație electromagnetică MAGNIBUS 01, Timișoara, Proiect de diplomă IPTVT (cond. T.L. Dragomir), 1981.
36. DAVISON, E.J., GOLDENBERG, A. Robust control of a general servomechanism problem: The servo compensator, Boston, IFAC, Session 9.5, August 1975.
37. D'AZZO, J.J., HOUPIS, C.H. Feedback control systems analysis and synthesis, New York - Sydney, Mc.Graw-Hill, 1966.
38. DOBRESCU, A. Geometrie diferențială, București, Ed. Did. și Ped., 1963.
39. DORDEA, T. Mașini electrice, București, Ed. Did. și Ped., 1970.
40. DRAGOMIR, E. Subprograme în limbaj FORTRAN, Timișoara, IPTVT, 1972.



41. DRAGOMIR, T.L. Regimul dinamic al sistemului magnet-șină al vehiculelor cu sustentație electromagnetică, Timișoara, Referat de doctorat IPTVT, nov. 1976.
42. DRAGOMIR, T.L. Modelul dinamic al sistemului magnet-șină al unui stand cu sustentație electromagnetică cu un singur grad de libertate, Brașov, Comunicare la a V-a Sesiune a inginerilor și tehnicienilor, nov. 1976.
43. DRAGOMIR, T.L. Reglarea optimală a unui sistem cu sustentație electromagnetică cu un singur grad de libertate, Timișoara, Referat de doctorat IPTVT, iunie 1978.
44. DRAGOMIR, T.L. Sinteza unor observatori de stare particulari, Bul. științific și tehnic al I.P.Timișoara, 24, 2, 189-205, 1979.
45. DRAGOMIR, T.L. Stadiul actual de dezvoltare al vehiculelor cu sustentație magnetică, Timișoara, Referat de doctorat IPTVT, oct. 1975.
46. DRAGOMIR, T.L. Asupra unor sisteme cu levitație electromagnetică cu un grad de libertate, Preprints of the 4th Int. Conf. on Contr. syst. and Computer Sc., vol. III, București, 265-270, 1981.
47. DRAGOMIR, T.L., BUDISAN, N., DRAGOMIR, E. Procedeu pentru identificarea unor sisteme liniare, Bul. științific și tehnic al I.P. Timișoara, seria Electrotehnică, 18, 2, 153-161, 1973.
48. DRAGOMIR, T.L., BORACI, R. ș.a. Electromagnetical levitation system, Proc. 2nd Nat. Conf. Electrical drives, Cluj-Napoca, A-75 ÷ A-78 1978.
49. DRAGOMIR, T.L., BORACI, R. ș.a. Reglarea vehiculelor cu levitație electromagnetică, Timișoara, Sesiune de comunicări IPTVT, oct. 1979.
50. DRAGOMIR, T.L., CIORTUZ, D. Observatori de stare pentru reglarea întrefierului unui sistem electromagnet-șină, Cluj-Napoca, Lucr. tehn.-șt. I.P. Cluj-Napoca, Seria electrotehnică, E-I-125 ÷ E-L-130, 1978.
51. DRAGOMIR, T.L., CIORTUZ, D. Sistem automat de reglare a unui stand pentru studiul sustentației electromagnetice, București, Simpozion IPA, Lucr. tehn.-șt., vol. A, Lucrarea A-9, 1978.
52. DRAGOMIR, T.L., PREITL, S. Teoria sistemelor și reglării automate, Timișoara, Lit. IPTVT, 1978.
53. DRAGOMIR, T.L., PREITL, S. Elemente de teoria sistemelor și reglaj automat, vol. II, cap. IX, Timișoara, Lit. IPTVT, 1979.
54. DUYTSCHAEVER, D.V. Comment „On the step response of a class of third-order linear systems”, IEEE Trans. AC-13, 1, 134-135, 1968.
55. EYKHOFF, P. Identificarea sistemelor (trad. l. engleză - SUA), București, Ed. Tehnică, 1977.
56. FEHER, P. Subprograme FORTRAN pentru probleme de automatică, Timișoara, Proiect de diplomă IPTVT (cond. T.L. Dragomir), 1974.
57. FÖLLINGER, O. Regelungstechnik, Berlin, Elitera-Verlag, 1972.
58. FRANK, P.M. Empfindlichkeitsanalyse dynamischer Systeme, München - Wien, R. Oldenbourg-Verlag, 1976.
59. GĂRLASU, S. Prelucrarea în timp real a semnalelor fizice, Craiova, Ed. Scrisul românesc, 1978.
60. GEARY, P.J. Magnetic and electric suspension (A survey of instr. parts, Nr. 6), London, British Sc. Instr. Research Ass., Sira Research Rep. R 314, 1964

61. GOTTZEIN, E., BROCK, K.-H., SCHNEIDER, E., PFEFFERL, J. Control aspects of a tracked magnetic levitation high speed test vehicle, *Automatica*, 13, 205-223, 1977.
62. GOTTZEIN, E., CRÄMER, W. Critical evaluation of multivariable control techniques based on MAGLEV vehicle design, 4th Symposium on multivariable technological systems IFAC, 1977.
63. GOTTZEIN, E., LANGE, B. Magnetic suspension control system for the MEB high speed train, *Automatica*, 11, 271-284, 1975.
64. GOTTZEIN, E., LANGE, B., OSSENBERG-FRANCES, E. Control system concept for a passenger carrying MAGLEV vehicle, *High Speed Ground Transp. J.*, 9, 1, 435-447, 1975.
65. GOTTZEIN, E., MEISINGER, R., MILLER, L. Anwendung des „Magnetischen Rades“ in Hochgeschwindigkeitsmagnetschwebbahnen, *ZEV-Glasers Annalen*, 103, 5, 227-232, 1979.
66. GOTTZEIN, E., MILLER, L., MEISINGER, R. Magnetic suspension control system for high speed ground transportation vehicles, *Moskova, World electr. Congr.*, Section 7, Paper 07, 21-25 June, 1977.
67. GÜNTHER, C.R., HAYM, K.D., NAVÉ, P.M.W. Das EMS-Trag- und Führungssystem aus dynamischer Sicht, *ETZ-A*, 96, 9, 373-377, 1975.
68. HAZLERIGG, A.D.G., SINHA, P.K. Design of a multivariable controller for a magnetically supported vehicle, *London, IEE Conference* 117, 233-239, aug. 1974.
69. HEDRICH, S.H. Entwicklung einer magnetischen Schnellbahn, *ETR*, 28, 1/2, 62-68, 1973.
70. HETTMAN, E. Asupra performanțelor unor sisteme de ordinul III, Timișoara, Sesiune de comunicări IPTVT, mai 1979.
71. HETTMAN, E. Proiectarea sistemului de reglare automată a unui sistem cu susținere electromagnetice cu mai multe grade de libertate, Proiect de diplomă IPTVT (cond. T.L. Dragomir), 1979.
72. HETTMAN, E., DRAGOMIR, T.L., VACARESCU, E. Berechnungsverfahren für Einheitssprungantwortgütekriterien Systemer dritter Ordnung, *Bul. științific și tehnic al IPTVT, Seria electrotehnică*, 25, 1, 1980.
73. HETTMAN, E., TAKACS, B.I., SZABO, B. Reglarea unui sistem cu susținere electromagnetice, Timișoara/București, Sesiune de comunicări stud. mai 1979/dec. 1979.
74. HIPPE, P. Zustandsregler in einläufigen Regelkreisen, *Regelungstechnik*, 22, 12, 388-394, 1974.
75. HODKINDSON, R.L. Power amplifier and magnet techniques in controlled levitation systems, *London, IEE Conf.* 117, 184-192, aug. 1974.
76. HORTOPAN, G. Aparate electrice, București, Ed. Did. și Ped., 1972.
77. HUGEL, J. Der schwebende Körper veränderlichen Gewichts mit selbstanpassender Regelung, *Regelungstechnik*, 16, 1, 10-14, 1966.
78. ISERMANN, R. Experimentelle Analyse der Dynamik von Regelssystemen (Identifikation I), *Mannheim-Wien-Zürich, HTB-Verlag*, 1971.
79. JAMSHIDI, M. s.a. Application of a parameter-embedded Riccati equation, *IEEE Trans. AC-15 (Correspondence)*, 682-683, 1970.
80. JAMSHIDI, M., KOKOTOVIC, P. Optimal tension regulation of a strip winding process, *Proc. JACC (Atlanta, Ga.)*, pp. 1-6, 1970.
81. JAYAWANT, B.V. Magnetic suspension systems; possibilities for urban and high speed systems, *Sydney, Proc. Conf. on Transport in the Years Ahead, Chartered Institute of Transport*, Sept. 1975.

82. JAYAWANT, B.V., REA, D.P. New electromagnetic suspension and its stabilization. Proc. IEE, 115, 4, 549-554, 1968.
83. JAYAWANT, B.V., SINHA, P.K. Low speed vehicle dynamics and ride quality using controlled d.c. electromagnets, Automatica, 13, 605-610, 1977.
84. JAYAWANT, B.V. s.a. Development of 1-ton magnetically suspended vehicle using controlled d.c. electromagnets, Proc. IEE, 123, 9, 941-948, 1976.
85. JOHNSON, C.D. Accomodation of external disturbances in linear regulator and servomechanism problems, IEEE Trans. AC-16, 6, 635-644, 1971.
86. JOHNSON, C.D. Theory of disturbance-accomodating controllers (Cap. 7) Control and dynamic systems, Vol. 12, Edited by Leonard, C.T., New York - San Francisco - London, Academic Press, 1976.
87. JOHNSON, C.D. On observers for systems with unknown and inaccessible inputs, Int. J. Control, 21, 5, 825-831, 1975.
88. JONES, G.A. Transient descriptors for a class of linear third order systems, IEEE Trans. AC-14, 5, 579-580, 1969.
89. JONES, G.A. On the step response of a class of third-order linear systems, IEEE Trans. AC-12, 341, 1967.
90. KEMPER, H. Schwebende Aufhängung durch elektromagnetische Kräfte: eine Möglichkeit für eine grundsätzlich neue Fortbewegungsart, Elektrotechnische Zeitschrift, 59, 15, 391-395, 1938.
91. KEMPER, H. Elektrisch angetriebene Eisenbahnfahrzeuge mit elektromagnetischer Schwebeführung, ETZ-A, 11-14, 1 Jan. 1953.
92. KRASOVSKII, A.A., POSPELOV, G.S. Osnovf avtomatiki i tehniceskoi kibernetiki, Moskova, GEJ, 1962.
93. KROGMANN, U. Dynamische Probleme bei der selbsttätigen Ausrichtung einer Trägheitsplattform unter Berücksichtigung von Kopplungen, Regelungstechnik, 17, 108, 1969.
94. KUHLMANN, J.H. Design of electrical apparatus, New York, J.Wiley, 73-74, 1954.
95. LAITHWAITE, E.R. Electromagnetic levitation, Proc. IEE, 112, 2361-2375, 1965.
96. LAITHWAITE, E.R. (editor). Transport without wheels, London, Electrical Science, 1977.
97. LAITHWAITE, E.R., BARWELL, F.T. Applications of linear induction motors to high-speed transport systems, Proc. IEE, 116, 713-724, 1969.
98. LAITHWAITE, E.R., NASAR, S.A. Linear-motion electrical machines, Proc. IEEE, 58, 4, 531-542, 1970.
99. LANDGRAF, C., SCHNEIDER, G. Elemente der Regelungstechnik, Berlin-Heidelberg-New York, Springer-Verlag, 1970.
100. LANGE, F.H. Korrelationselektronik, §2.3, Berlin, VEB Verlag Technik, 1959.
101. LEITGEB, W. Diskussionsbeitrag zu H. Weh „Der asynchrone Linear-motor, sein Betriebsverhalten und seine Anwendungsmöglichkeiten“, ETZ-A, 91, 12, 717, 1970.
102. LEPERS, H. Integrationsverfahren zur Systemidentifizierung aus gemessenen Systemantworten, Regelungstechnik, 20, 10, 1972.
103. LORENZEN, H.W., WILD, W. Der synchrone Linear-Motor, München, T.U.München-Bericht, 1975.

104. LÜCKEL, J., MÜLLER, P.C. Verallgemeinerte Störgrössenaufschaltung bei unvollständiger Zustandskompensation am Beispiel einer aktiven Federung, Frankfurt/M, VDI/VDE - Aussprachetag „Regelungssynthese im Zustandsraum“, 14/15.2.1977.
105. LÜCKEL, J., MÜLLER, P.C. Verallgemeinerte Störgrössenaufschaltung bei unvollständiger Zustandskompensation am Beispiel einer aktiven Federung, Regelungstechnik, 27, 9, 281-288, 1979.
106. LUENBERGER, D.G. An introduction to observers, IEEE Trans. AC-16, 6, 596-602, 1971.
107. LUENBERGER, D.G. Observers for multivariable systems, IEEE Trans. AC-11, 2, 190-197, 1966.
108. LUENBERGER, D.G. Canonical forms for linear multivariable systems, IEEE Trans. AC-12, 3, 290-293, 1967.
109. LUSTREA, B. Subprogram pentru reprezentare grafică a mai multor funcții de aceeași variabilă, date sub formă tabelată, Timişoara, IPTVT, 1980.
110. MANGERON, D., IRIMICIUC, N. Mecanica rigidelor cu aplicații în inginerie, Vol. I, București, Ed. Academiei RSR, 1978.
111. MATSUMURA, F., TACHIMORI, S. Magnetic suspension system suitable for wide range operation, Electrical Eng. in Jap., 99, 1, 29-35, 1979.
112. MEISENHOLDER, S., WANG, T.C., Dynamic analysis of an electromagnetic suspension system for a suspended vehicle system, Rep. No. FRA-RT-73-1, 1973.
113. MEISINGER, R. Control systems for flexible MAGLEV vehicles riding over flexible guideways, Delft, Proc. of IUTAM Symposium, 1975.
114. MEISINGER, R. Analog simulation of magnetically levitated vehicles on flexible guideways - Simulation of control systems, Trans. IMACS, 207-214, 1978.
115. MEISINGER, R. Optimale Regelung periodischer Systeme mit sprungförmiger Zustandsänderung, ZAMM, 57, 79-81, 1977.
116. MEISINGER, R. Optimale Filterung periodischer Systeme mit sprungförmiger Zustandsänderung, ZAMM, 59, 137-139, 1979.
117. MIKIRTICHEV, A.A., KIM, K.J. Electrodynamics of MAGLEV systems of repulsive type, Moskova, World electr. Congr., Section 7, Paper 77, 21-25 June, 1977.
118. MORGAN, B.S. Computational procedure for the sensitivity of an eigenvalue, Electronic Letters, 2, 197-198, 1966.
119. MÖCKEL, R. Berechnung eines elektromagnetischen Tragsystem mit einem stabilen Kennlinienbereich, Diss., Karlsruhe, Fak. Elektrotechnik der Univ. Karlsruhe, 1974.
120. MÜLLER, P.C. Elektromagnetisches Trag- und Führungsregelsystem für spurgebundene Hochgeschwindigkeitsfahrzeuge, Frankfurt/M, VDI/VDE - Aussprachetag „Regelungssynthese im Zustandsraum“, 1977.
121. MÜLLER, P.C. Schnelligkeitsoptimales Ausrichten von Trägheitsplatten, Ing. Arch., 40, 248-265, 1971.
122. MÜLLER, P.C., BREMER, H., BREINL, W. Tragregelsysteme mit Störgrössenaufschaltung für Magnetschwebefahrzeuge, Regelungstechnik, 24, 8, 257-265, 1976.
123. MÜLLER, P.C., LÜCKEL, J. Zur Theorie der Störgrössenaufschaltung in linearen Mehrgrößen - Regelsystemen, Regelungstechnik, 25, 54-59, 1977.
124. NASAR, S.A., BOLDEA, I. Linear motion electric machines, New York-London-Sidney-Toronto, J.Wiley & Sons, Interscience Publ., 1976

125. NAVÉ, P.M.W. Elektromagnetische Schwebetechnik, Berna, *Comunicare la „Informationstagung über Linearmotoren, Magnerschwebetechnik und deren Anwendungen“ - Tagungsbericht des Schweizerischen Elektrotechnischen Vereins*, 13.3.1975.
126. NAVÉ, P.M.W. Stand der Magnetentwicklung für MBB, III Statusseminar: Spurgebundener Schnellverkehr mit berührungsfreier Fahrtechnik, München, ZLDI, BMFT-Forschungsbericht T-74-40, 1974.
127. NAVÉ, P.M.W. Maglev test facilities at MBB Munich, *High Speed Ground Transp. J.*, 8, 3, 255-260, 1974.
128. OBERREITL, K. Vergleich von Linearmotorantriebs- und Schwebesystemen für Schnellbahnen, *ETZ-A*, 99, 8, 512, 1978.
129. PADULO, L., ARBIB, M. *System theory*, Philadelphia-London-Toronto, W.B.Saunders Co., 1974.
130. PARKS, P.C. Liapunov redesign of model reference adaptive control system, *IEEE Trans. AC-11*, 3, 362-367, 1966.
131. PARKS, P.C. A new look at the Routh-Hurwitz problem using Liapunov's second method, *Bull. l'Acad. Polonaise de Sc.*, XII, 6, 439-441, 1964.
132. PAVLIK, E. Aspekte des praktischen Einsatzes von „Beobachtern“ für die Prozessautomatisierung, *Regelungstechnische Praxis*, 21, 2, 37-44, 1973.
133. PAVLIK, E. Anschauliche Darstellung des Beobachters nach Luenberger, *Regelungstechnik*, 26, A5-A10, 1978.
134. PECIORINA, I.N. ș.a. *Rasciot sistem avtomaticeskovo upravlenia*, Moskova, GNT Izd., 1962.
135. PENESCU, C. ș.a. *Identificarea experimentală a proceselor automatizate*, București, Ed. Tehnică, 1971.
136. PENESCU, C., IONESCU, V., ROSINGER, E. *Procese optime*, București, Ed. Acad. RSR, 1970.
137. PENESCU, C. *Sisteme*, București, Ed. Tehnică, 1975.
138. POLGREEN, G.R. *New applications of modern magnets*, Cap. 10, London, Mc. Donald, 1966.
139. PREITL, S., DRAGOMIR, T.L. Posibilități de identificare a sistemului electromagnet-șină la un stand pentru studiul sustentăției electromagnetice, *Comunicare la Ses. jub. I.P.Cluj-Napoca*, oct. 1978.
140. PREITL, S., DRAGOMIR, T.L. Identificarea experimentală a sistemului electromagnet-șină la standuri cu sustentatăție electromagnetice cu ajutorul modelelor adaptive, Baia-Mare, *Bul. șt. al Sesiunii interjudețene de la Baia-Mare*, vol. I, 243-246, 1980.
141. RASCHBICHLER, H.-G. IVA pilot-plant based on electromagnetic suspension technique, Hamburg, *Int. Symposium on Traffic and Transportation Technology*, 283-309, June 1979.
142. REISTER, D., WEH, H., ROGG, D. Berührungsloser spurgebundener Schnellverkehr als Ergänzung zur Rad-Schiene-Technik, *ETZ-A*, 97, 1, 50-52, 1976.
143. REITZ, J.R., BORCHERTS, R.H., DAVIS, L.C., HUNT, T.K., WILKIE, D.F. Preliminary design studies of magnetic suspensions for high speed ground transportation, Rep. No. FRA-RT-73-27, SUA, 103-127, march 1973.
144. REITZ, J.R., BORCHERTS, R.H., DAVIS, L.C., WILKIE, D.F. Technical feasibility of magnetic levitation as a suspension system for high-speed ground transportation, Rep. No. FRA-RT-72-40, Feb. 1971 - Feb. 1972.

145. ROGG, D. The development of the magnetically suspended transportation system in the Federal Republic of Germany, Hamburg, Int. Symposium on Traffic and Transportation Technology, 89-121, June 1979.
146. ROGG, D., SCHULZ, H. Systementscheidung bei der Magnetschwebetechnik, ETR-Eisenbahntechnische Rundschau, 11, 721-728, 1978.
147. ROSENBROCK, H.H. The sensitivity of an eigenvalue to changes in the matrix, Electronics Letters, 1, 1-4, 1965.
148. SALAMON, M. Berechnung der Konstanten von Ersatzregelstrecken aus Betriebsmessungen, Zmsr, 3, 5, 200-205, 1960.
149. SCHMIDTS, W. On-line-Identification von Magnetparametern, München, MBB-Bericht Nr. TN-RE 11 - 11/74, 1974.
150. SEBASTIAN, L. Automatica, Bucuresti, Ed. Did. și Ped., 1973.
151. SENATORI, L. Rechenmodell zur Simulation des Systems Magnet-Schiene für Schnellbahnen, ETZ-A, 97, 3, 173-178, 1976.
152. SHAVE, B.A., BARNETT, S. Sensitivity of Stable linear system, IEEE Trans. AC-17, 1, 148-150, 1972.
153. SIMIĆ, D. Beitrag zur Optimierung der Schwingungseigenschaften des Fahrzeugs, Berlin-West, Diss. T.U.Berlin, 1970.
154. SIMOIU, M.P. Oprederenie koefițientov peredatocinŭ funcții liniarizovannŭh zveniev i sistem avtoregulirovania, Moskova, Avtomatika i telemekhanika, 18, 6, 514-528, 1957.
155. SINHA, P.K., JAYAWANT, B.V. Analytical and design aspects of magnetically suspended vehicles, Automatica, 15, 539-552, 1979.
156. SMITH, C.C. On using the ISO standard to evaluate the ride quality of broad-band vibration spectra in transportation vehicles, Trans. ASME - J. dyn. syst., measurement and control, 440 - 443, 1976.
157. SOMMERER, J. Simulation und Verifizierung komplexer Systeme am Beispiel der Magnetschwebebahn, Regelungstechnik, 26, 6, 177-182, 1978.
158. STEIMEL, K. Einige kritische Gedanken zum spurgebundenen Schnellverkehr, ETZ-A, 96, 10, 1975.
159. STEIMEL, K. Noch einige kritische Gedanken zum spurgebundenen Schnellverkehr, ETZ-A, 97, 2, 126-127, 1976.
160. STOENESCU, AL., SILAS, G. Mecanică teoretică, Bucuresti, Ed. Tehnică, 1959.
161. STREJC, V. Auswertung der dynamischen Eigenschaften von Regelstrecken bei gemessenen Ein- und Ausgangssignalen allgemeiner Art, Zmsr, 3, 1, 7-11, 1960.
162. STREJC, V. Evaluation of general signals with non-zero initial condition, Praga, Acta technica, 6, 4, 378-391, 1961.
163. STROEBEL, H. Systemanalyse mit determinierten Testsignalen, Berlin, VEB-Verlag, 1968.
164. SUCIU, I. Aparate electrice, Bucuresti, Ed. Did. și Ped., 1968.
165. SUCIU, I. Teoria electromagneților, aparate de automatizare, aparate de pornire și reglare, Timișoara, IPT lit., 1968.
166. TAKÁCS, B.I., SARKADI, I. Sistem automat de reglare al vehiculului experimental MAGNIBUS 01, Timișoara, Proiect de diplomă IITVT (cond. T.L. Dragomir), 1980.
167. TAKANO, I., SAITO, Y., OGIWARA, H. Design and cooperation of ultra-high-speed ground transportation systems, Electrical Eng. in Jap., 95, 2, 26-33, 1975.

168. Von THUN, H.-J. Die elektromagnetische Schweberegelung als Mehrgrößenensystem, Mannheim, II Statusseminar, NT 248-250 BMFT, 1973.
169. Von THUN, H.-J., ZIMMERMANN, H. A control system for the electromagnetic levitation of a high-speed ground vehicle, Monte-Carlo, Preprints of 2nd IFAC/IPIP/IFORS Symposium of the "Traffic control and transportation systems", 565-576, 1974.
170. Von THUN, H.-J., ZIMMERMANN, H. A controlled electromagnetic levitating frame of a track-bound vehicle, London, IEE Conf. 117, 193-199, aug. 1974.
171. TIMOTIN, A., HORTOPAN, V., IFRIM, A., PREDA, M. Lectii de bazele electrotehnicii, Bucuresti, Ed. Did. si Ped., 1970.
172. TRJXAL, J.G. Entwurf automatischer Regelsysteme, Wien-München, R. Oldenbourg Verlag, 1960.
173. UMEMORI, T. s.a. Development of DC linear motor (Fundamental Construction and feasibility), IEEE Power Engineering Society, F 78-757-7, May 1978.
174. URANKAR, L. Basic magnetic levitation systems with a continuous sheet track, Siemens P.u.E. Berichte, 4, 1, 25-32, 1975.
175. WAGNER, F.E., GAST, T.H. Gleichungen der Strecke einfacher abstandgeregelter Schwebesysteme, Regelungstechnik und Prozess-Datenverarbeitung, 22, 5, 143-149, 1974.
176. WEH, H. Die Integration der Funktionen magnetisches Schweben und elektrischer Vortrieb, ETZ-A, 96, 3, 131-135, 1975.
177. WEH, H. Synchroner Langstatorantrieb mit geregelten, anziehend wirkenden Normalkräften, ETZ-A, 96, 9, 409-412, 1975.
178. WEH, H. Magnetische Schwebetechnik für Schnellbahnen, Bull. ASE, 64, 9, 564-571, 1973.
179. WEH, H. s.a. Modell eines integrierten Trag- und Vortriebsaggregats auf elektromagnetischer Grundlage, ETZ-A, 95, 12, 684-685, 1974.
180. WEH, H., MOSEBACH, H., MAY, H. Design and technology of the iron-core linear synchronous motor for advanced ground transportation, Braunschweig, T.U.-Bericht, 1978.
181. WEIRICH, G. Optimale Regelung linearer deterministischer Prozesse, Münche-Wien, R. Oldenbourg Verlag, 1973.
182. WEIRICH, G. Mehrgrößen-Zustandsregelung unter Einwirkung von Stör- und Führungssignalen, Regelungstechnik, 25, 6/7, 166-177/204-209, 1977.
183. WILKIE, D.F. Dynamics, control and ride quality of a magnetically levitated high speed ground vehicle, Transp. Res., 6, 343-369, 1972.
184. YAMAMURA, S. Theory of linear induction motors, J.Wiley, 1972.
185. YAMAMURA, S. Magnetic levitation technology of tracked vehicles; present status and prospects, IEEE Trans. MAG-12, 6, 1976.
186. YAMAMURA, S. Performance analysis of magnetically levitated vehicle, Moskova, World electr. Congr., Section 7, Paper 09, 21-25 June, 1977.
187. YAMAMURA, S., ABE, S., HAYASHI, T. Attractive electromagnet levitation of vehicles, Electrical Eng. in Jap., 94, 3, 72-79, 1974.
188. YAMAMURA, S., ABE, S. Control and speed characteristics of magnetically levitated vehicles of attracting-magnet type, Electrical Eng. in Jap., 96, 3, 41-49, 1976.

189. YAMAMURA, S., ITO, T. Analysis of speed characteristics of the attractive electromagnet for the magnetic levitation vehicles, *Electrical Eng. in Jap.*, 95, 84-89, 1975.
190. ZACH, F. *Technisches Optimieren*, Wien-New York, Springer Verlag, 1974.
191. ZANDER, P. Das Regelungssystem des MBB-Prinzipfahrzeugs, München, MBB-Bericht Nr. TN-REll 121/71, 1972.
192. ZIMMERMANN, H. Die dynamischen Eigenschaften der elektromagnetischen Aufhängung, Mannheim, II Statusseminar Forschungsaufgaben, NT 248-250, BMFT, 1973.
193. ZAWAWI, A., BAUDON, Y., IVANES, M. Dynamic analysis of an electromagnetically levitated vehicle using linear synchronous motors, Grenoble, ENS d'Ing. Electr. de Grenoble, Report, 1980.
194. ZUREK, R. Stand der Entwicklung des elektromagnetischen Schnellbahnsystems, *ZEV-Glas. Ann.*, 104, 8/9, 233-240, 1980.
195. ZUREK, R. Les transports terrestres sans roues, *La Recherche*, 9, 984-991, 1978.
196. \* \* \* HSST Information - Development of the Japan Air Lines High Speed Surface Transport, JAL, Tokyo, 1979.
197. \* \* \* ISO - Guide for the evaluation of human, exposure to whole-body vibration, Int. Standard ISO 2631, New York, 1974.
198. \* \* \* Istoria generală a științei, vol. III: Știința contemporană, București, Ed. Științifică, 1972.
199. \* \* \* IEE Conference on Control aspects of new forms of guided land transport nr. 117, London, 28/30.8.1974.
200. \* \* \* I.P.Iași - CCSIT Electroputare Craiova, Sisteme electrice de transport acționate cu motoare liniare, protocol, 1980.
201. \* \* \* Kleine Enzyklopädie - Mathematik, Leipzig, VEB Verlag Enzyklopädie, 1968.
202. \* \* \* I.P.T.V.Timisoara - CCSIT Electroputare Craiova, Sisteme electrice de transport acționate cu motoare liniare, protocoale, 1976, 1977, . . . , 1981.
203. \* \* \* Technologien für Bahnsysteme, Frankfurt/M, Umschau Verlag - Forschung Aktuell, Hrsg. H.Matthöfer, 1977.
204. \* \* \* TDC Project Directory - Department of supply and services of transport Canada research and development centre, Toronto, Catalogue No. T 48-17/1978.
205. \* \* \* Spurgebundener Schnellverkehr mit berührungsfreier Fahrtechnik, III Statusseminar, München, ZLBI, BMFT - Forschungsbericht T 74-40, Vol. III: Fahrbahnen, Tragen und Fahren, Sicherheit, Zuverlässigkeit, 1974.
206. ORGOVICI, I., CIOARA, T. Stand pentru studiul dinamicii sistemului cu sustentație magnetică, Conferința de vibrații, Timisoara, pp. 175-180, 1978.